

همه‌ی اینکه

بنام خدا

نظر به اینکه کتابی جامع به زبان فارسی و یا زبانهای خارجی کسه همه سرفصلهای درسهای شیمی معدنی مصوبه ستاد انقلاب فرهنگی را در برداشته باشد، در کشورمان وجود ندارد و در نتیجه دانشجویان و علاقمندان رشته‌شیمی برای دسترسی به مطالب شیمی معدنی به کتابهای متعددی که بسیاری از آنها ترجمه نشده‌اند و نیز کمیاب اند نیاز دارند، لازم دیدیم که یک سری کتابهای شیمی معدنی تدوین کرده و در اختیار علاقمندان قرار دهیم. در طرح ریزی این سری از کتابها، کوشش شده است که مطالب، تمام سرفصلهای مصوبه ستاد را پوشانند تا قدم مؤثری جهت یک‌باختشدن روند تدریس و آموزش شیمی معدنی برداشته شود. ناگفته‌نمایند برای اینکه این سری از کتابها به صورت یک مجموعه کامل درآید، فصلها، بخشها و بیوپستهای متعددی نیز علاوه بر مصوبه ستاد منظور شده است. این سری کتابها در هفت جلد طرح ریزی و تاکنون چهار جلد از آن تدوین و جلد اول آن (کتاب حاضر) چاپ و جلد دوم، سوم و چهارم آن در مرحله‌های حروفچینی و زیرچاپ اند.

این کتاب (جلد اول) شامل شش فصل به شرح زیر است:

فصل اول: تاریخچه - نشر و جذب تابشها ایکترومغناطیسی.

فصل دوم: مدل‌های اویله و مدل‌های کوآنتمی اتم

فصل سوم: بررسی حرکت الکترون در اتم از دیدگاه مکانیک موجی اور بیتا‌لهاي اتمی

فصل چهارم: آرایش الکترونی اتم - ترمبهای طیفی - بار مؤثر هسته اتم

فصل پنجم: طبقه‌بندی عناصر - ارتباط آرایش الکترونی عناصر با جدول تنادی

فصل ششم: خواص بنیادی اتم

در اینجا لازم می‌دانیم که از سازمان آموزشی و انتشاراتی علوی بهویژه سرپرست محترم آن، جناب آقای دکتر سید یحیی سلطانی و همکاران ایشان سپاسگزاری کنیم. از دوست و همکار عزیزان ام جناب آقای دکتر مهدی شفائی که نمونه‌های نهایی را بازبینی کرده‌اند و همچنین از جناب آقای سید جلال امیرآفتابی و سرکار خانم مسعوده محققی که نمونه‌های دست‌نویس را بادقت خاصی آماده کرده‌اند سپاسگزاری می‌شود. ضمناً لازم است از دست‌اندرکاران موسسه حروف چینی هویزه بهویژه آقایان جوهر و علی‌محمدی تشکر شود.

در پایان از کلیه خوانندگان این کتاب تقاضا می‌شود چنانچه با هر گونه ایراد و اشتباهی در آن مواجه شدند بهر نحوی که صلاح می‌دانند ما را مطلع فرمایند تا در تجدید چاپ این کتاب از نظرهای پیشنهادی استفاده شود.

حسین آقا بزرگ - محمد رضا ملاردی
بهار ۱۳۶۹

بسم الله الرحمن الرحيم

فهرست

صفحة	عنوان	مقدمه
۱	فصل اول	تاریخچه - نشر و جذب تابش‌های الکترومغناطیسی
۱	۱-۱	تاریخچه
۶	۲-۱	تابش‌های الکترومغناطیسی
۷	۳-۱	اشاره‌ای به اصول نظریه کلاسیک تابش‌های الکترومغناطیسی
۹	۴-۱	جسم سیاه - تابش جسم سیاه
۱۱	۵-۱	قوانين مربوط به محاسبه انرژی و طول موج تابش جسم سیاه
۱۴	۶-۱	اصول نظریه کوآنتمی پلانک
۱۷	۷-۱	اثر فتو الکتریک
۲۱	۸-۱	طیف
۲۹	فصل دوم	مدلهای اولیه و مدلهای کوآنتمی اتم
۲۹	۱-۲	مدلهای اتمی تامسون و رادرفورد
۳۱	۲-۲	نظریه اتمی بوهر
۴۲	۳-۲	تجییه چگونگی پیدایش سریهای خطوط طیف نشری اتم هیدروژن
۴۹	۴-۲	کاربرد جرم کاهش یافته

عنوان

صفحه

۵۲	۵-۲ تعمیم نظریه بوهر به یونهای هیدروژن - مانند
۵۴	۶-۲ بسط نظریه بوهر - نظریه اتمی سامرفلد
۶۰	۷-۲ اثر زیمان - عدد کوآنتمی مغناطیسی
۶۴	۸-۲ نارساپی نظریه اتمی بوهر - سامرفلد
۶۹	فصل سوم بررسی حرکت الکترون در اتم از دیدگاه مکانیک موجی اور بیتلهاوس اتمی
۶۹	۱-۳ کلیات
۷۷	۲-۳ نظریه لویی دوبروی - امواج مادی
۷۹	۳-۳ اصل عدم قطعیت
۸۱	۴-۳ اصل عدم قطعیت هایزنبرگ در مورد زمان و انرژی الکترون
۸۲	۵-۳ معادله انتشار موج پیش‌رونده
۸۴	۶-۳ معادله انتشار موج در سه بعد فضا
۸۵	۷-۳ معادله موج الکترون
۸۶	۸-۳ صورت هامیلتونی معادله شرودینگر
۸۸	۹-۳ احتمال در مکانیک موجی
۹۲	۱۰-۳ موج ذره در جعبه
۹۳	۱۱-۳ صورت معادله شرودینگر برای اتم هیدروژن
۹۴	۱۲-۳ حل معادله موج الکترون در فُورد اتم هیدروژن
۹۶	۱۳-۳ مفهوم ریاضی اور بیتل اتمی
۹۷	۱۴-۳ نمودار تابع موج شعاعی
۹۸	۱۵-۳ نمودار تابع احتمال شعاعی
۱۰۱	۱۶-۳ نمودار تغییرات توابع موج زاویه‌ای
۱۰۴	۱۷-۳ نمودار تابع موج زاویه‌ای اور بیتل‌های d
۱۰۶	۱۸-۳ نمودار تابع موج زاویه‌ای اور بیتل‌های f
۱۰۷	۱۹-۳ نمودار تابع احتمال زاویه‌ای (Φ^2 و θ^2)
۱۱۴	۲۰-۳ نمودارهای دانسیته الکترونی
۱۱۵	۲۱-۳ تقارن اور بیتل‌های اتمی
۱۱۷	۲۲-۳ حل معادله شرودینگر برای اتمهای چند الکترونی
	۲۳-۳ وضعیت اور بیتل‌ها در اتمهای چند الکترونی

عنوان	صفحه
فصل چهارم آرایش الکترونی اتم-ترمهاهای طیفی-بار مؤثر هسته اتم	۱۱۹
۱-۴ آرایش الکترونی اتم	۱۱۹
الف) اصل بناگذاری اتم (اصل آفبا)	۱۱۹
ب) تعیین پایداری نسبی ترازهای انرژی	۱۱۹
ج) اصول پایداری ترازها	۱۳۰
د) ترتیب پرشدن اوربیتالهای یک تراز	۱۳۱
۲-۴ ترمهاهای طیفی	۱۳۲
الف) کلیات	۱۳۳
ب) جفت شدن ممانها در میدان قوی	۱۳۶
ج) جفت شدن ممانها در میدان ضعیف	۱۲۷
د) تعیین تعداد آرایشهای متمایز یک آرایش الکترونی (حالتهای ریز)	۱۳۹
ه) تعیین ترمهاهای طیفی	۱۴۱
و) تعیین ترتیب نسبی حالتنهای انرژی	۱۴۵
تمرینات	۱۴۸
ز) تعیین ترمهاهای طیفی بدروش فاکتور گیری از اسپین	۱۷۹
تمرینات	۱۸۲
۳-۴ بار مؤثر هسته اتم	۱۸۶
الف) محاسبه بار مؤثر هسته اتم	۱۸۸
ب) روند تغییرات بار مؤثر هسته اتمها	۱۹۴
ج) روند تغییرات بار مؤثر هسته اتم در دوره‌ها	۱۹۴
د) روند تغییرات بار مؤثر هسته اتم در گروهها	۱۹۷
ه) کاربردهای بار مؤثر هسته	۱۹۷
ز) بار مؤثر هسته اتم در مولکول $(Z_{eff})_{mol}$	۱۹۷
ح) روند تغییرات $(Z_{eff})_{mol}$	۱۹۹
فصل پنجم طبقه‌بندی عناصر- ارتباط آرایش الکترونی عناصر با جدول تناوبی	۲۰۲
۱-۵ کلیات	۲۰۲
۲-۵ تاریخچه	۲۰۳
۳-۵ قانون تناوبی	۲۱۱
۴-۵ جدول تناوبی عناصر	۲۱۴

صفحه	عنوان
۲۱۸	۵-۵ کشف گازهای نجیب و تکمیل جدول تناوبی
۲۱۹	۶-۵ اهمیت جدول تناوبی و نقش آن در پیشبرد دانش شیمی
۲۱۹	۷-۵ تصحیخ جرم اتمی برخی از عناصر
۲۲۰	۸-۵ تعیین جرم اتمی عناصر با استفاده از اصل کانیزارو (یا کانیسارو)
۲۲۱	۹-۵ تعیین جرم اتمی عناصر با استفاده از قانون دولن و پتی
۲۲۲	۱۰-۵ تعیین جرم اتمی عناصر با استفاده از قانون هم ریختی
۲۲۲	۱۱-۵ ایجاد انگیزه تحقیق
۲۲۵	۱۲-۵ نارساپیهای جدول مندلیف
۲۲۶	۱۳-۵ پرتوهای X عناصر-کشف عدد اتمی عناصر توسط موزلی
۲۳۲	۱۴-۵ تغییر مبنای طبقه بندی عناصر
۲۳۷	۱۵-۵ عناصر بعد از اورانیوم (یا عناصر ترانس اورانیم)
۲۳۸	۱۶-۵ بسط جدول تناوبی
۲۴۱	۱۷-۵ بررسی ارتباط بین جدول تناوبی و ترازهای الکترونی عناصر- مفهوم دوره در جدول تناوبی
۲۴۴	۱۸-۵ مفهوم گروه در ارتباط با آرایش الکترونی-تشابه گروهی (عمودی)
۲۴۷	۱۹-۵ تعیین موقعیت عناصر در جدول تناوبی براساس آرایش الکترونی
۲۵۰	فصل ششم خواص بنیادی اتم
۲۵۰	۶-۱ الکترونخواهی اتم
۲۵۰	الف) تعریف
۲۵۱	ب) انرژی الکترونخواهی
۲۵۱	ج) محاسبه ΔH الکترونخواهی
۲۵۴	د) توجیه روندهای تغییرات انرژی الکترونخواهی اتمها
۲۵۷	ه) الکترونخواهی مولکولها و رادیکالها
۲۵۸	و) ارتباط الکترونخواهی اتم با الکترونگاتیوی آن
۲۵۹	ز) نقش الکترونخواهی عناصر در قدرت اسیدی ترکیبات دوتایی هیدروژن دار
۲۵۹	ح) نقش الکترونخواهی اتم در تشکیل پیوند یونی
۲۵۹	ط) نقش الکترونخواهی عناصر در قدرت پیوند بین اتمها
۲۶۰	۲-۶ یونیزاسیون اتم
۲۶۰	الف) تعریف

صفحه	عنوان
۲۶۱	ب) انرژی یونیزاسیون اتم
۲۶۱	ج) اندازه‌گیری انرژی یونیزاسیون
۲۶۴	د) اندازه‌گیری پتانسیل یونیزاسیون
۲۶۷	ه) ارتباط انرژی یونیزاسیون اتم با بار مؤثر هسته آن
۲۷۱	و) توجیه روندتغییرات انرژی یونیزاسیون عناصر در دوره‌های جدول تناوبی
۲۷۵	ذ) بررسی روندتغییرات انرژی یونیزاسیون عناصر در گروههای جدول تناوبی
۲۷۸	ح) تغییر ترتیب پایداری ترازهای d و d لایه ظرفیت اتم و تأثیر آن بر یونیزاسیون
۲۸۴	ط) یونیزاسیون دادیکالها و مولکولها
۲۸۵	ی) ارتباط الکترونخواهی و یونیزاسیون اتم
۲۸۹	ک) ارتباط انرژی یونیزاسیون با نوع پیوند بین اتمی
۲۸۹	ل) ارتباط انرژی یونیزاسیون با الکترونگاتیوی اتم
۳۰۶	۳- الکترونگاتیوی عناصر
۲۸۹	الف) تعریف
۲۹۰	ب) محاسبه الکترونگاتیوی عناصر بdroش پاولینگ
۲۹۳	ج) روش‌های دیگر محاسبه الکترونگاتیوی
۲۹۸	د) تغییرات الکترونگاتیوی
۳۰۴	ه) الکترونگاتیوی مولیکن-یافه
۳۰۹	ز) اصل برابری الکترونگاتیوی
۳۱۱	ح) روندتغییرات الکترونگاتیوی عناصر در دوره‌های جدول تناوبی و توجیه آن
۳۱۲	ط) روندتغییرات الکترونگاتیوی عناصر در گروههای جدول تناوبی و توجیه آن
۳۱۳	ی) نقش و کاربردهای الکترونگاتیوی
۳۲۲	ک) ارتباط الکترونگاتیوی با درجه سختی و نرمی گونه‌های شیمیابی
۳۲۵	۴- ظرفیت و اعداد اکسایش
۳۲۵	الف) تاریخچه
۳۲۶	ب) معیار اولیه ظرفیت عناصر
۳۲۶	ج) تغییر پذیری ظرفیت عناصر
۳۲۷	د) مفهوم الکترونی ظرفیت عناصر
۳۲۹	ه) مفهوم ظرفیت الکتریکی یا الکترووالانس

عنوان

صفحه

و) مفهوم ظرفیت کو والاتسی یا کو والانس	۳۲۹
ز) مفهوم عدد اکسایش عنصر	۳۳۱
ح) تعیین عدد اکسایش بک عنصر در یک ترکیب براساس ساختار الکترونی آن ترکیب	۳۳۳
ط) آرایشهای الکترونی پایدار	۳۳۵
ی) توجیه عمل تغییر و تنوع اعداد اکسایش عنصر	۲۳۹
ک) توجیه افزایش پایداری حالتها اکسایش بالاتر در عنصر سنگین‌گروهها	۳۵۳
ل) حالتها اکسایش پایین و غیرعادی فلزات	۳۵۶
م) تأثیر عدد اکسایش فلزات در خواص ترکیبات آنها مسائل، تمرینها و پرسشها	۳۵۶
مسائل، تمرینها و پرسشهای فصل اول	۳۵۸
مسائل، تمرینها و پرسشهای فصل دوم	۳۵۹
مسائل، تمرینها و پرسشهای فصل سوم	۳۶۱
مسائل، تمرینها و پرسشهای فصل چهارم	۳۶۳
مسائل، تمرینها و پرسشهای فصل پنجم	۳۶۵
مسائل، تمرینها و پرسشهای فصل ششم	۳۶۷
جدولهای پیوست	۳۷۲
واژه‌نامه	۳۸۴
منابع	۴۱۱

فصل اول

تاریخچه - نشر و جذب تابش‌های الکترومغناطیسی

۱-۱ تاریخچه

آشنایی با مفهوم اتم، ساختهای بس طولانی (از قرن پنجم قبل از میلاد مسیح) دارد. فلاسفه یونان باستان، مانند لوسیپ^۱ و طرفداران مکتب او، بدویژه ذیقراطیس^۲ و آپی کود^۳، معتقد بودند که ماده، ساختاری ناپیوسته دارد و تقسیم پذیری آن محدود است. مواد موجود در طبیعت از ذراتی بسیار ریز، جامد، و غیرقابل نفوذ و تقسیم ناپذیر که آن را اتم نامیده بودند، تشکیل شده است. اتمها آنقدر کوچکند که دیده نمی‌شوند، هرچند که از نظر شکل و اندازه، بسیار متفاوتند، ولی همگی از یک نوع ماده اولیه تشکیل شده‌اند. درجهان چیزی غیر از اتمها و فضاهای خالی بین آنها، یافت نمی‌شود، تفاوت موجود بین اجسام مختلف، فقط به تعداد، شکل و چگونگی آرابش اتمهای تشکیل دهنده آنها بستگی دارد.

این نظریات، نسبت به سطح فهم علمی مردم آن زمان، بسیار پیشرفته بود. وازان رو، استقبالی از آن به عمل نیامده بود. به علاوه، چون بر تجربه و اصول روش علمی متکی نبود، تحولی در شناخت ساختار اتم و پیشرفت دانش شیمی، پدید نیاورد.

بررسی و شناخت ساختار اتم و ارائه مدل‌هایی برای آن، یک موضوع نسبتاً تازه علمی است. در حقیقت نظریه اتمی طرفداران مکتب لوسیپ، پس از قرنها فراموشی اولین بار در قرن هفدهم توسط گاسنדי^۴ مطرح شد و در قرن هیجدهم، بحث و بررسیهای

۱) Leukippus (حدود ۴۵۰-۳۷۵ ق.م) ۲) Demokritos (حدود ۴۶۰-۳۷۵ ق.م)

۳) Epicurus (حدود ۳۴۱-۲۷۵ ق.م) ۴) Gassendi

زیادی توسط لمبری^۱، بویل^۲، بهویژه نیوتن^۳ و هیگینس^۴ درباره آن صورت گرفت و زمینه‌های مساعدی فراهم آمده بود. در اوایل قرن نوزدهم بررسیهای دقیقی براساس «روش علمی» توسط بسیاری از دانشمندان، بهویژه در زمینه ترکیب وزنی عناصر صورت گرفته بود. با توجه به این واقعیت که قوانین وزنی مربوط به ترکیب عناصر با یکدیگر (مثلًاً قانون نسبتها) ثابت که توسط پرداخت^۵ و یا قانون نسبتها چند تایی که توسط دالتون^۶ کشف شده بود)، همگی خصلت انفصلی دارند و اصولاً باید نشانی از انفصالی بودن ساختار ماده باشند، دالتون به این نتیجه رسیده بود که ماده باید ساختار ناپیوسته داشته باشد. از این‌رو، نظریه انتی طرفداران مکتب لوسیپ را پس از قرنها فراموشی، مورد تأیید قرارداده، اولین بار در سال ۱۸۰۵ آن را به صورت تازه‌ای تنظیم کرد و با بررسیهای بیشتر به تکمیل آن پرداخت که در سال ۱۸۰۷ منتشر شد. خلاصهً نظریه انتی دالتون چنین است:

عناصر شیمیایی از ذرات بسیار ریز و تقسیم‌ناپذیری بنام اتم که ماهیت خود را در تغییرات شیمیایی حفظ می‌کنند، تشکیل شده‌اند.

همه اتمهای یک عنصر از هر نظر بهویژه، از نظر وزن یکسانند. تفاوت اتمهای عناصر مختلف در وزن آنها است بدطوری که هر عنصر براساس وزن اتم خود از عناصر دیگر تمیز داده می‌شود.

مواد مرکب از اجتماع تعداد محدودی از اتمهای که بین تعداد آنها نسبتهای ساده‌ای برقرار است، تشکیل می‌شوند.

اگرچه این نظریه توانسته بود بسیاری از مسائل علمی آن زمان از جمله، پدیده‌های فیزیکی، نظریه منجمد شدن، ذوب شدن، بخار شدن مواد و قوانین مربوط به ترکیب شدن عناصر با یکدیگر را به خوبی توجیه کند و برهمین اساس بود که مورد قبول همگان واقع شد. ولی، در برخی از زمینه‌ها، از جمله در مورد ظرفیت عناصر و یا علت ترکیب شدن آنها با یکدیگر، یعنی ماهیت پیوندهای شیمیایی نارسای داشت. تا اینکه داوی^۷ با استفاده از پیل و لتا^۸، در آغاز قرن نوزدهم پدیده الکترونیز را کشف کرد و نظریه الکتروشیمیایی خود را در سال ۱۸۵۶ ارائه داد که براساس آن معلوم داشت، ماده علاوه بر جرم دارای خصلت الکتریکی است و بیوند بین اتمهای عناصر، ماهیت الکتریکی دارد. برزیلوس^۹ نیز با ارائه نظریه الکتروشیمیایی خود، به نتایج مشابهی دست یافته بود.

۱) Lemmery

۲) Boyle

۳) Newton

۴) Higgins

۵) Proust

۶) Dalton

۷) Davy

۸) Berzelius

فادراده^۱ با کشف قوانین الکترولیز بین سالهای ۱۸۳۲ تا ۱۸۳۳، توانست رابطه بین مقدار جرمی که از هر عنصر ضمن الکترولیز آزاد می‌شود و مقدار الکتریسیته لازم برای آزاد شدن این مقدار جرم را به طور تجربی به دست آورد و ثابت کند که مقدار الکتریسیته لازم (q) برای آزاد کردن مقدار معینی از هر عنصر، به ماهیت آن عنصر بستگی ندارد، بلکه با ظرفیت الکتریکی یون آن عنصر (n) در الکترولیز مورد آزمایش، مناسب است، یعنی می‌توان نوشت:

$$q = nF \quad (1-1)$$

q مقدار الکتریسیته لازم برای آزاد کردن یک یون گرم از عنصر (بر حسب کولن)، n ظرفیت یون و F ثابتی برابر ۹۶۴۸۶ کولن بر مول است که به ثابت فادراده موسوم است. با توجه به اینکه n عدد درستی است، q مضرب درستی از مقدار ثابتی الکتریسیته است، فادراده توانست ثابت کند که الکتریسیته به صورت مضارب درستی از یک مقدار مشخص در ساختار مواد شرکت دارد. به بیانی دیگر، مانند جرم ماده، ماهیت ناپیوسته دارد.

شناخت ساختار واقعی اتم در حقیقت با کشف الکترون و پیدا شده رادیواکتیویتی دیزی شد. با کشف پرتوهای کاتدی از طریق ایجاد تخلیه الکتریکی درون گازها در فشار کم توسط پلوکر^۲ در سال ۱۸۵۹ و بررسی خواص این پرتوها، توسط هیتورد^۳ (در سال ۱۸۶۹)، کروکس^۴ (در سال ۱۸۷۶) و تامسون^۵ (در سال ۱۸۹۷)، وجود الکترون در ساختار اتم کشف شد. تامسون با مشاهده انحراف این پرتوها به سمت قطب مثبت میدان الکتریکی، پی بوده بود که این پرتوها از ذراتی حامل بار الکتریکی منفی تشکیل شده است. ضمناً با انجام بررسیهای بیشتر، دریافتہ بود که چنین ذراتی در ساختار تمام مواد، شرکت دارد. قابل توجه است که استونی^۶ (در سال ۱۸۷۴) توانسته بود مقدار تقریبی بار این ذرات را حساب کند. او این مقدار بار را به عنوان واحد بار الکتریکی در نظر گرفته و چنین نظر داده بود که الکتریسیته به صورت واحدهای بار الکتریکی در ساختار اتم عناصر شرکت دارد. در سال ۱۸۹۱ نام الکترون (به معنی که هر با) را برای این واحد بار الکتریکی انتخاب کرد.

تامسون با تأثیر دادن میدانهای الکتریکی و مغناطیسی بر پرتوهای کاتدی و بررسی میزان انحراف این پرتوها در این میدانها، توانسته بود در سال ۱۸۹۷ نسبت بار الکترون

۱) Faraday

۲) Plucker

۳) Hittorf

۴) Crookes

۵) Thomson

۶) Stoney

(e) به جرم آن (m_e) را حساب کنند:

$$\frac{e}{m_e} = 1.7587 \times 10^8 C/g$$

میلیکان^۱ با انجام آزمایش معروف خود (آزمایش قطره روغن) بین سالهای ۱۹۰۸ و ۱۹۰۹، توانست بار الکترون را اندازه گرفته و مقداری برابر 1.56×10^{-19} کولن برای آن به دست آورد. از این رو، امکان محاسبه جرم الکترون که با هیچ وسیله آزمایشگاهی قابل اندازه گیری نبوده است را فراهم سازد. زیرا، داریم:

$$\frac{1.56 \times 10^{-19} C}{m_e} = 1.7587 \times 10^8 C/g$$

و یا :

$$m_e = 9.11 \times 10^{-28} g$$

کشف بار الکتریکی منفی و شرکت الکترونها در ساختار اتم، مسئله تازه‌ای را پیش آورده بود. زیرا، با قبول وجود الکترون در اتم، می‌باشد همه اتمها و در نتیجه همه مواد دارای بار الکتریکی منفی باشند. حال آنکه، تجربه چینن رویدادی را تأیید نمی‌کرد. از این رو، امکان شرکت داشتن ذراتی با بار الکتریکی مثبت در اتم که قدر مطلق بار آنها با بار الکترون برابر بوده و تعداد آنها نیز با تعداد الکترونها در هر اتم برابر باشد، امری اجتناب ناپذیر به نظر می‌رسید.

در سال ۱۸۶۶ گلدشتین^۲، ضمن بررسی تخلیه الکتریکی درون گازها با کاتد سوراخدار، پرتوهای مجرایی را کشف کرد و شرکت ذراتی با بار الکتریکی مثبت را در ساختار مواد به اثبات رسانید. تامسون ضمن اندازه گیری نسبت بار این ذرات به جرم آنها، دریافت بود که جرم آنها در تمام اتمها یکسان نیست. کوچکترین ذره مثبت که آن را واحد بار الکتریکی مثبت در نظر گرفته بود، مربوط به اتم هیدروژن بود که جرم آن حدود ۱۸۳۷ مرتبه از جرم الکترون بیشتر است و از این رو، پرتوون (به معنی ذره یا سبکترین ذره) نامیده شده است.

با کشف پس迪له رادیواکتیوی طبیعی توسط بکرل^۳ (در سال ۱۸۹۶) و بررسی و پیگری آن توسط دانشمندان، شرکت ذرات مثبت در اتمهای سنگین به اثبات رسید. دادرفور^۴ (در سال ۱۹۱۹) ضمن انجام اولین واکنش هسته‌ای، یعنی بمباران اتم نیتروژن به وسیله

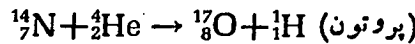
۱) Millikan

۲) Goldstein

۳) Becquerel

۴) Rutherford

ذرات آلفا (هسته اتم هلیم)، توانست وجود پروتون را در اتمهای دیگر (یعنی غیر از اتم هیدروژن) کشف کند:



با کشف الکترون و پروتون و بررسی خواص آنها، اگرچه موضوع خشی بودن اتم، روشن شده، ولی با توجه به اینکه در آن زمان با پیشرفت روش‌های تجربی، امکان محاسبه جرم اتمی و یا جرم مولکولی عناصر فراهم آمده بود، مسئله تازه‌ای جلوه گر شد. زیرا، مقادیری که برای جرم اتمی یا مولکولی عناصر از طریق تجربی بدست می‌آمد، بافرض اینکه فقط الکترون و پروتون در ساختار اتم شرکت دارند، هماهنگی نداشت. برای روشن شدن این مطلب به بررسی یک نمونه می‌پردازیم:

دولن^۱ و پتنی^۲ (در سال ۱۸۱۹) گرمای ویژه فلزات مختلف را حساب کردند و با بررسیهایی که در این زمینه انجام دادند، دریافتند که حاصل ضرب جرم اتمی عناصر در گرمای ویژه آنها (در حالت جامد)، تقریباً مقدار ثابتی حدود ۳۶ کالری بر مول در درجه است که آن را گرمای اتمی نامیدند (قاعده دولن و پتنی)، یعنی:

$$C \cdot M \approx 36 \text{ cal/mol} \cdot \text{deg} \quad (2-1)$$

C گرمای ویژه عنصر (در حالت جامد) و M جرم اتمی آن عنصر است. با توجه به اینکه مثلاً، گرمای ویژه سدیم در حالت جامد برابر ۰۲۸ کالری بر گرم در درجه است، توانسته بودند جرم اتمی سدیم را بر اساس رابطه ۲-۱، با تقریب بدست آورند:

$$M \approx \frac{6 \text{ cal/g} \cdot \text{deg}}{0.28 \text{ cal/g} \cdot \text{deg}} = 22.5 \quad (\text{جرم اتمی سدیم})$$

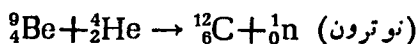
اما زمانی که امکان تعیین تعداد الکترونها و پروتونهای تشکیل دهنده اتم فراهم آمده بود و جرم این ذرات بر حسب واحد جرم اتمی، مشخص شد، جرم اتمی سدیم که در واقع، مجموع جرم ذرات تشکیل دهنده اتم آن است، می‌باشد با آنچه که بر اساس قانون دولن و پتنی بدست آمده بود، هماهنگی داشته باشد. حال آنکه چنین نبوده زیرا، بر طبق محاسبه زیر، تقریباً برابر نصف مقدار تجربی آن، بدست می‌آمد:

$$\begin{aligned} & \text{جرم } 11 \text{ الکترون} + \text{جرم } 11 \text{ پروتون} = \text{جرم اتمی سدیم} \\ & + 11 \times 1.007277 \text{ (amu)} \\ & = 11.08608 \text{ (amu)} \end{aligned}$$

از این رو، فکر شرکت داشتن ذره دیگری غیر از الکترون و پروتون در ساختار اتم، که

فاقد بار الکتریکی بوده، جرم و تعداد آن در حدود جرم و تعداد پروتون باشد، در بین دانشمندان قوت گرفت. تا اینکه رادرفورد (در سال ۱۹۲۵) وجود نوترون (یعنی ذره خشی) را در اتم پیش بینی کرد.

این ذره چندین سال بعد (در سال ۱۹۳۲) توسط چادویک^۱. ضمن بمباران بریلیم به وسیله ذره های آلفا، مطابق واکنش هسته ای زیر کشف شد:



بررسیها بی که در مورد خواص نوترون صورت گرفته بود، معلوم داشت که در ساختار اتم هیدروژن معمولی ($H = 1$) شرکت ندارد و در عناصر دیگر تعداد آن برابر یا بیشتر از تعداد پروتونهاست و جرم آن کمی از جرم پروتون بیشتر است (برابر 1.0508665 واحد جرم اتمی).

مسئله بسیار مهم دیگری که پس از کشف الکترون و پروتون، توجه دانشمندان شیمی و فیزیک را در آن زمان به خود جلب کرده بود، چگونگی آرایش این ذرات در داخل اتم، به عبارت دیگر، مسئله مدل اتمی بود. از این رو، براساس روند تاریخی، جهت دستیابی به پاسخی برای این مسئله می باشد، ابتدا به بررسی مدل های او لیه ای که توسط تامسون و رادرفورد برای اتم ارائه شد، پردازیم، سپس نظریه های اتمی بوهر^۲ و سامرفلد^۳ را که براساس نظریه کوآنتمی تابش های الکترومغناطیسی ارائه شده است و آنگاه مدل موجی اتم را که براساس نظریات دویری^۴ و هایزنبرگ^۵ توسط شرودینگر^۶ ارائه شد، مورد بررسی قرار دهیم. ولی، با توجه به اینکه بررسی مدل های ساختار اتمی و قبول یا رد آنها به آشنا بی با تابش های الکترومغناطیسی، نظریه کلاسیک و نظریه کوآنتمی در مورد این تابشها و نیز آشنا بی با طیف نشری اتم نیاز مبرم دارد، از این رو، در این فصل به بحث درباره این مطالعه پیش نیازی می پردازیم و بررسی مدل ها و نظریه های اتمی را به فصل بعد موکول می کنیم.

۲-۱ تابش های الکترومغناطیسی

هر ذره باردار، در فضای اطراف خود میدان نیروی الکتریکی ایجاد می کند که به اختصار، میدان الکتریکی آن نامیده می شود. اگر چنین ذره ای در حرکت باشد، دارای یک میدان نیروی مغناطیسی (یا میدان مغناطیسی) نیز خواهد شد. از این رو، هر ذره باردار

۱) Chadwick

۲) Bohr

۳) Sommerfeld

۴) de Broglie

۵) Heisenberg

۶) Schrodinger

در حال حرکت، دارای یک میدان الکترومغناطیسی است.

آثار میدان الکترومغناطیسی یک ذره باردار که دارای حرکتی نوسانی است، به صورت امواجی است که در دو سطح نوسان عمود بر هم، بدون اثلاف انرژی و با سرعتی ثابت برابر $10^1 \times 29979$ سانتی متر در ثانیه و به خط مستقیم در تمام راستاهای در فضا پیش می‌رود. چنانچه در سر راه خود به یک ذره باردار برخورد کند آن را به نوسان درمی‌آورد. این امواج را امواج الکترومغناطیسی یا تابشهای الکترومغناطیسی می‌نامند که توسط هرقز^۱ (در سال ۱۸۸۸) کشف و خواص مهم آن بررسی شد.

تابشهای الکترومغناطیسی را براساس ویژگیهای آنها به ترتیب افزایش طول موج، می‌توان به پرتوهای : گاما (γ)، ایکس (X)، فرابنفش (UV)، مرئی (Vis)، زیرقرمز (یا فروسرخ IR) و امواج هرزلر، امواج ریز و امواج رادیو - تلویزیونی مطابق شکل ۱-۱، تقسیم کرد.*

۳-۱ اشاره‌ای به اصول نظریه کلاسیک تابشهای الکترومغناطیسی

نظریه کلاسیک تابش، همان، نظریه موجی تابشهای الکترومغناطیسی است که توسط هیوگنس^۲ (در سال ۱۶۷۸) پی‌ریزی و توسط یانگ^۳ و هاکسول^۴ (در سال ۱۸۶۵) توسعه و تکامل یافت.

براساس آن، پدیده‌هایی مانند پراش، شکست و تداخل نور را می‌توان توجیه کرد. از این‌رو، تا سال ۱۹۰۰، تنها نظریه قابل قبول درباره تابشهای الکترومغناطیسی بود و اصولاً آن را می‌توان به صورت زیر جلاصه کرد:

هر نوسان‌کننده، با تغییردادن دامنه نوسان خود، می‌تواند تمام مقادیر پیوسته انرژی از صفر به بالا را تابش یا جذب کند، از این‌رو، تابشهای الکترومغناطیسی از جمله نور به صورت پیوسته منتشر یا جذب می‌شود.

هر ذره باردار که دارای حرکتی شتابدار (مثلًاً حرکت نوسانی) باشد، می‌تواند

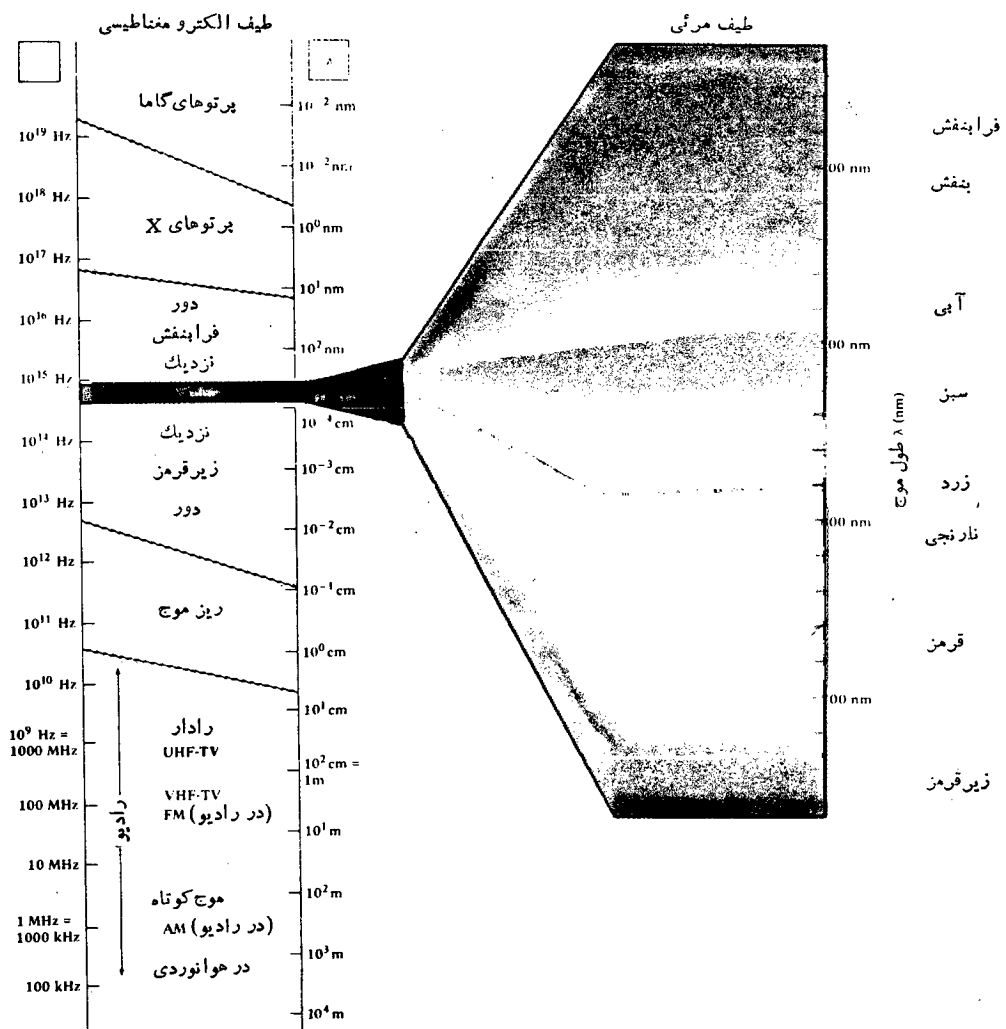
۱) Hertz

* معمولاً پرتوهای فرابنفش و مرئی با طول موج (بر حسب آنکستروم یا نانومتر) ولی تابشهای زیرقرمز با عدد موجی عکس طول موج، بر حسب cm^{-1} مشخص می‌شود (هر نانومتر برابر یک میلی میکرون یعنی برابر 10^{-7} آنکستروم است). به طور کلی، در منابع طیف نمایی به جای طول موج، امروزه بیشتر از عدد موجی استفاده می‌شود.

۲) Huggins

۳) Young

۴) Maxwell



شکل ۱-۱ (الف) طیف تابهای الکترومغناطیسی ب) طیف نور مرئی

در هر شرایطی انرژی خود را به تدریج به صورت تابش‌های الکترومغناطیسی منتشر کند. شدت تابش هر نوسان کننده باردار، با توان دوم دامنه نوسان و یا توان دوم فرکانس آن مناسب است (باید توجه داشت که اگر شدت تابش با مجدوّر فرکانس آن مناسب می‌بود، بر اثر تابش‌های کیهانی تا امروز موجود ننده و یا ماده به صورت فعلی بر روی زمین باقی نمی‌ماند).

۱-۴ جسم سیاه- تابش جسم سیاه

مفهوم جسم سیاه

اصل‌الاً در هر دمایی که از صفر مطلق بالاتر باشد، اجسام کم یا بیش، مقداری از انرژی خود را به صورت تابش‌های الکترومغناطیسی منتشر می‌کنند. بدیهی است که هر چه دمای جسم بالاتر باشد، بر شدت این تابشها افزوده می‌شود. همچنین، هرجسمی می‌تواند کم یا بیش انرژی پرتوهایی را که بر آن بتاپد، جذب کند.

بر حسب تعریف، هرجسمی که فقط جزیی از انرژی تابشی را بتواند جذب کند و جزء دیگر را بازتاب داده و یا از خود عبور دهد، اصطلاحاً جسم حقیقی (یا معمولی) نامیده می‌شود. بررسیها نشان داده است که درین اجسام معمولی، سطح صیقلی فلزات (آینه) کمترین قدرت جذب انرژی تابشی (حدود ۶ درصد) را دارد و قسمت عمده آن را بازتاب می‌دهد. بدیهی است که هر چه سطح جسم ناهموارتر باشد، مقدار بیشتری از انرژی تابشی را می‌تواند جذب کند.

هرجسمی که بتواند در دمای معمولی، تمامی انرژی تابش‌های را که با هر طول موج و تحت هر زاویه‌ای که بر آن بتاپد، جذب کند، اصطلاحاً جسم سیاه نامیده می‌شود. بدیهی است که هر گاه جسم سیاه در محیطی که دمای کمتر دارد قرار گیرد، می‌تواند تمامی تابش‌های جذب شده را نشود. یعنی جسم سیاه هم جذب کننده کامل و هم نشودنده کامل است. هر چند که چنین جسمی ممکن است وجود خارجی نداشته باشد ولی تا حدی می‌توان به آن دسترسی پیدا کرد. در عمل، برای دست یافتن به جسمی که تقریباً مانند جسم سیاه عمل کند، حفره‌ای در دیواره یک کوره که جدار داخلی آن کاملاً دوده اندود بوده و به تعداد زیادی از پره‌های دوده اندود مجهز باشد، ایجاد می‌کنند. در این صورت تقریباً ۹۷ صد انرژی پرتوهایی که به داخل آن حفره بتابند، جذب می‌شوند.

ضوییب جذب (جدبیت) سطح هرجسم، یعنی کسری از انرژی تابشی تابیده شده که به وسیله آن جسم جذب شده است (A)، در مورد جسم سیاه برابر واحد در نظر گرفته می‌شود

(۱) $A_0 = A$. یعنی جسم سیاه تمام مقدار انرژی تاییده شده بر سطح خود را جذب می‌کند.
طبق قانون کرشمef^۱ نسبت قدرت انتشار یعنی انتشار از واحد سطح جسم در واحد زمان: (E) به ضریب جذب در مورد هر جسمی، در دمای ثابت مقدار ثابتی است، یعنی می‌توان نوشت:

$$\frac{E_0}{A_0} = \frac{E}{A} \quad (\text{جسم حقیقی}) \quad (3-1)$$

چون $A_0 = A$ در نظر گرفته می‌شود، پس داریم:

$$E = AE_0. \quad (4-1)$$

از طرفی چون $A < A_0$ است، پس $E < E_0$ است. یعنی هیچ جسمی نمی‌تواند بیشتر از جسم سیاه، قدرت جذب (یا انتشار) تابشها را داشته باشد.

مفهوم تابش جسم سیاه

تابش‌های گرمایی (تابش زیر قرمز) که طول موج آنها از طول موج تابش‌های مرئی بزرگتر و انرژی آنها کمتر است و منحصر آراحت تحریک گرمایی اتمهای جسم به وجود می‌آیند،
تابش جسم سیاه نامیده می‌شود. چنین تابشی بهماهیت جسم یا منبعی که آن را از خود منتشر می‌کند، بستگی ندارد، بلکه به دمای آن جسم وابسته است. از آنجایی که این نوع تابشها، مرئی نبوده و در نتیجه، اگر منبع نورانی خارجی وجود نداشته باشد، جسمی که آنها را تابش می‌کند نیز دیده نمی‌شود و سیاه به نظر می‌آید، از این‌رو، اصطلاحاً تابش جسم سیاه نامیده شده است.

بدیهی است که با بالا رفتن دما، جسم سیاه، می‌تواند تابش‌ای با طول موجهای کوتاه‌تر را منتشر کند. مثلاً در دماهای پایین تر از ۱۵۰۰ درجه کلوین، فقط پرتوهای زیر قرمز تابش می‌شوند (تابش‌های گرمایی) که دیده نمی‌شود. بین ۲۰۰۰ تا ۳۰۰۰ درجه کلوین (دمای کمان الکترونیکی و رشته تنگستن) پرتوهای مرئی نیز تابش می‌شود ولی تابش‌های گرمایی شدت بیشتری دارد و جسم به رنگ سرخ دیده می‌شود. ولی بین دماهای ۴۰۰۰ تا ۶۰۰۰ درجه کلوین (دمای سطح خورشید) علاوه بر پرتوهای زیر قرمز و مرئی، پرتوهای فرابنفش نیز تابش می‌شود و جسم به تدریج به رنگهای قرمز، نارنجی، زرد و سرانجام سفید دیده می‌شود.

۱-۵ قوانین مربوط به محاسبه انرژی و طول موج تابش جسم سیاه

استفان^۱ (در سال ۱۸۷۹)، رابطه‌ای تجربی برای محاسبه قدرت انتشار سطح هر جسم و دمای آن، به صورت زیر، کشف کرد:

$$E = e\sigma T^4 \quad (5-1)$$

که در آن e ، ضریب قدرت انتشار سطح جسم (یعنی نسبت قدرت انتشار واحد سطح آن (E) به واحد سطح جسم سیاه (E_0): $e = E/E_0$) و σ مقدار ثابتی است برابر $10^{-8} \times 567 \times 10^{-8} \text{ J/s} \cdot \text{m}^2 \cdot \text{K}^4$ که به ثابت استفان-بولتسمن^۲ موسوم است.

تمرین ۱-۱

قدرت انتشار سطح جسمی را که ضریب قدرت انتشار آن برابر 800 و دمای آن برابر $K 1000$ است، حساب کنید.

حل:

با استفاده از رابطه ۱-۵، می‌توان نوشت:

$$E = 0.5800 \times 567 \times 10^{-8} \text{ J.s}^{-1} \cdot \text{m}^{-2} \cdot \text{K}^{-4} \times (1000 \text{ K})^4 = \\ 4454 \times 10^4 \text{ J/s} \cdot \text{m}^2$$

لومر^۳ و پرینگشایم^۴ (در سال ۱۸۹۹) ، با انجام آزمایشها و بررسی نتایج حاصل از آنها، توانستند، نمودار تغییرات انرژی تابشی جسم سیاه یا جسم ملتهب را نسبت به طول موج (ظیف انرژی) در دماهای مختلف برای جسم سیاه (یا جسم ملتهب) مطابق شکل ۱-۲، به دست آورند. با درنظر گرفتن اصول نظریه کلاسیک تابشی‌ای الکترومغناطیسی، روند این نمودارها غیرمنتظره و بسیاری از جنبه‌های آن غیرقابل توجیه بود. زیرا برخلاف آنچه که براساس نظریه کلاسیک تابشی‌ای الکترومغناطیسی پیش‌بینی می‌شد، انرژی تابشی جسم سیاه، متناسب با توان فرکانس یعنی متناسب با عکس محدود طول موج افزایش نمی‌یابد. بلکه در هر دما، به تدریج که طول موج کوتاهتر می‌شود، ابتدا انرژی تابشی افزایش یافته و

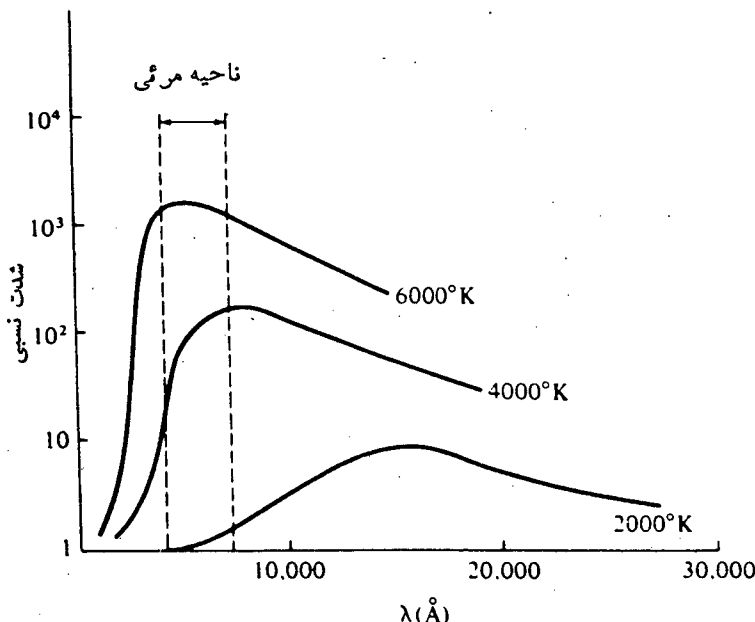
۱) Stefan

۲) Boltzmann

۳) Lummer

۴) Pringsheim

پس از رسیدن به یک مقدار ماکسیمم، رو به کاهش می‌گذارد.



شکل ۲-۱ نمودارهای توزیع (طیف) انرژی تابشی یک جسم سیاه نسبت به طول موج در دماهای مختلف

علاوه بر آن، در هر دما، طول موجی که به ازای آن، انرژی تابشی جسم سیاه به مقدار ماکسیمم خود می‌رسد، کوتاه‌تر می‌شود.

به منظور توجیه چنین روندهای غیرمنتظره، دین^۱ (در سال ۱۹۰۵) براساس نظریه کلاسیک تابهای الکترومغناطیسی، رابطه‌ای بین طول موج، انرژی تابشی جسم سیاه و دما به دست آورده بود*

قابل توجه است که این رابطه فقط برای توجیه روند تغییرات انرژی جسم سیاه در طول موجهای کوتاه کارآیی داشت و طول موج مربوط به انرژی ماکسیمم و مقدار این انرژی، مطابق روابط ۱-۶ و ۲-۱ قابل محاسبه است:

1.) Wien

* این رابطه به صورت $E_\lambda = (\sigma/\lambda^5)(e^{-\sigma/\lambda T})$ بود که در آن σ و T مقادیر ثابتی‌اند.

$$\lambda_{max} = A/T \quad (6-1)$$

$$E_{max} = B \cdot T^5 \quad (7-1)$$

A ثابتی برای $B \cdot T^5$ و B ثابتی برای E_{max} می باشد.

تمرین ۲-۱

در دمای 5000K ، به ازای کدام طول موج، جسم سیاه بیشترین مقدار انرژی را تابش می کند؟ مقدار این انرژی را بر حسب \AA ، کیلوکالری و ارگ حساب کنید.

حل:

$$\lambda_{max} = \frac{25897 \times 10^{-4} \text{m} \cdot \text{K}}{5000 \text{K}} = 50794 \times 10^{-7} \text{m} = 50794 \times 10^{-7} \text{m} \times$$

$$\frac{10^{-10} \text{\AA}}{1 \text{m}} = 50794 \text{\AA}$$

$$E_{max} = 152881 \times 10^{-4} \text{J} \cdot \text{K}^{-5} \times (5000\text{K})^5 = 405253 \times 10^{14} \text{J}$$

$$= 405253 \times 10^{14} \text{J} \frac{10^7 \text{erg}}{1 \text{J}}$$

$$= 405253 \times 10^{21} \text{erg}$$

$$E_{max} = 405253 \times 10^{14} \text{J} \times \frac{1 \text{cal}}{421868 \text{J}}$$

$$= 956143 \times 10^{10} \text{k cal}$$

(دایله^۱ (در سال ۱۹۰۵) با کاربرد اصول کلاسیک « تقسیم مساوی انرژی »، معادله‌ای را که به معادله (دایله-جینس^۲ موسوم است، ارائه داد که در طول موجهای بلند و دماهای بالا، کارآبی دارد. *

۱) Rayleigh

۲) Jeans

* این رابطه به صورت $E_\lambda = \frac{2\pi K}{\lambda^4} \times \frac{T^4}{c^3} \times \frac{1}{\lambda^5}$ است که در آن c سرعت نور، K ثابت بولتسمنان و λ طول موج است. $E_\lambda = \frac{2\pi K}{\lambda^4} \times \frac{T^4}{c^3} \times \frac{1}{\lambda^5} = \frac{2\pi K}{c^3} \times \frac{T^4}{\lambda^5}$ می باشد.

در هر حال، این روابط که بر اساس نظریه کلاسیک تابهای الکترومغناطیسی پیشها داشده بودند، نمی‌توانستند مبنای درستی برای توجیه کامل روند نتایج تجربی مربوط به تابش جسم سیاه باشند. پلانک^۱، به منظور ارائه یک زیربنای نظری قابل قبول برای توجیه نتایج تجربی تابش جسم سیاه و جسم ملتهب، در سال ۱۹۰۵ نظریه کاملاً تازه‌ای بیان داشت که نظریه کوآنتومی تابش نامیده شده است.

۱-۶ اصول نظریه کوآنتومی پلانک

برخلاف نظریه کلاسیک، یک نوسان کننده، نمی‌تواند تمام مقادیر پیوسته انرژی را در برداشته باشد، بلکه باید قبول کرد که در هر شرایطی دارای مقدار مشخصی انرژی است. هر یک از این مقادیر مشخص انرژی، مضارب درستی از یک واحد بنیادی انرژی بنام کوآنتوم انرژی (ε) است. یعنی می‌توان نوشت:

$$*E = n\epsilon \quad (8-1)$$

〃 عدد درستی است که عدد کوآنتومی نامیده می‌شود و می‌توان تمام اعداد درست مثبت و صفر را به آن نسبت داد.

هر نوسان کننده، فقط هنگامی می‌تواند مقداری از انرژی خود را تابش کند که دارای سطوح انرژی مشخص و مجازی باشد و از یک سطح انرژی مجاز بالاتر (E_2) به سطح انرژی مجاز پایین‌تر (E_1) سقوط کند که در این صورت، تفاوت انرژی دو سطح را به صورت یک کوآنتوم انرژی، تابش می‌کند یعنی می‌توان نوشت:

$$\epsilon = E_2 - E_1 \quad (9-1)$$

به ازای هر طول موج، یک کوآنتوم مشخص تابش می‌شود که مقدار آن با عکس طول موج و یا با فرکانس تابش متناسب بوده و از رابطه زیر قابل محاسبه است:

$$\epsilon = h\nu \quad (10-1)$$

که در آن ν فرکانس تابش و h ثابتی است که به ثابت پلانک معروف شده و مقدار آن برابر

(به خاطر همین نظریه، جایزه نوبل فیزیک سال ۱۹۱۸ نصیب او شد): Planck

* پلانک در مورد محاسبه انرژی تابش جسم سیاه را پنهانی به صورت زیر ارائه داده بوده

$$E_\lambda = \frac{2\pi c}{\lambda^4} \cdot \frac{F}{e^{E_\lambda / kT} - 1}$$

که در آن c سرعت نور و F ثابت بولستمان است.

$J.S = 10^{-34} \times 10^{26}$ رء است. این رابطه را با توجه به اینکه $\frac{c}{\lambda} = v$ است، می‌توان به

صورت ذیرنوشت:

$$\epsilon = \frac{hc}{\lambda} \quad (11-1)$$

با توجه به رابطه (۱۱-۱)، رابطه (۱۰-۱) را می‌توان به صورت $E = nhv$ نوشت که نشان می‌دهد، برخلاف نظریه کلاسیک، انرژی تابشی با فرکانس تابش متناسب است (نه با توان دوم آن).

در توجیه پیوسته به نظرآمدن تابهای الکترومغناطیسی، پلانک، فرض کرد که هر نوسان کننده، یک کوآنتم انرژی متناسب با فرکانس خاص خود را تابش می‌کند. چون تعداد نوسانکننده‌ها در جسم تابش کننده، فوق العاده زیاد است و هر کدام با فرکانس معینی نوسان می‌کنند، امکان تابش تمام کوآنتمهای قابل تصور به وسیله جسم ملتهب یا جسم سیاه وجود دارد. از این‌رو، تابش آنها پیوسته به نظر می‌آید.

در توجیه وجود ماسیم در نمودارهای شکل ۱-۲، پلانک فرض کرد که به ازای هر دما، فرکانس مناسبی (فرکانس غالب) وجود دارد که تعدادی‌شتری از نوسانکننده‌ها با آن فرکانس نوسان می‌کنند. در نتیجه، انرژی تابش جسم سیاه، عدد تأ شامل کوآنتمهای مر بوط به چنین فرکانس خواهد بود، در صورتی که کوآنتمهای کوچکتر و یا بزرگتر، امکان تابش کمتری دارند.

در پاسخ به این پرسش که چرا با بالارفتن دما، نقطه ماسیم در نمودارهای شکل ۱-۲، به سمت طول موجه‌ای کوتاه‌تر جا بجا می‌شود، پلانک فرض کرد که فرکانس نوسانکننده‌ها، از جمله فرکانس غالب افزایش یافته، طول موج نظیر آن (λ_{max}) نیز درجهت کوتاه‌تر شدن، جا بجا می‌شود. ضمناً، مقدار این طول موج از رابطه ذیر قابل محاسبه است:

$$\lambda_{max} = \frac{hc}{5KT} \quad (12-1)$$

در مورد شدت انرژی تابشی جسم سیاه، پلانک برخلاف طرفداران نظریه کلاسیک پیشنهاد کرد که این شدت با تعداد کوآنتمهایی که در واحد زمان از واحد سطح جسم تابش می‌شود متناسب است.

تمرین ۳-۱

براساس نظریه پلانک، معین کنید که در دمای ۵۰۰۰ درجه کلوین، بهازای کدام طول موج، شدت تابش انرژی جسم سیاه بیشتر است؟ اندازه این طول موج را بر حسب آنگستروم (\AA)، نانومتر (nm)، پیکومتر (pm) و میکرون (μ) حساب کنید.

حل:

با استفاده از رابطه ۱-۲، داریم:

$$\begin{aligned}\lambda_{\max} &= \frac{hc}{5KT} \\ \lambda_{\max} &= \frac{6626 \times 10^{-34} \text{J.s} \times 29979 \times 10^8 \text{ms}^{-1}}{5 \times 1381 \times 10^{-23} \text{JK}^{-1} \times 5000 \text{K}} = 5754 \times 10^{-9} \text{m} \\ &= 5754 \times 10^{-9} \text{m} \times \frac{1 \times 10^{10} \text{\AA}}{1 \text{m}} = 5754 \text{\AA} \\ &= 5754 \times 10^{-9} \text{m} \times \frac{1 \times 10^9 \text{nm}}{1 \text{m}} = 5754 \text{nm} \\ &= 5754 \times 10^{-9} \text{m} \times \frac{1 \times 10^{12} \text{pm}}{1 \text{m}} = 575400 \text{pm} \\ &= 5754 \times 10^{-9} \text{m} \times \frac{1 \times 10^6 \mu}{1 \text{m}} = 5754 \mu\end{aligned}$$

تمرین ۴-۱

در صورتی که شدت یک تابش بهازای طول موج ۵۰۰ nm برابر 4.5×10^{37} از گ باشد، تعداد فوتونهایی که از هر سانتیمترمربع سطح این جسم در ثانیه منتشر می‌شوند را حساب کنید.

حل:

$$\text{چون داریم } E = nh\nu \text{ و } \nu = \frac{c}{\lambda}, \text{ پس می‌توان نوشت:}$$

$$E = nch/\lambda$$

$$45025 \times 10^{27} \text{ erg} = n \times 666262 \times 10^{-27} \text{ erg.s} \times \frac{29979 \times 10^8 \text{ m.s}^{-1}}{500 \times 10^{-9} \text{ m}}$$

$$n = \frac{45025 \times 10^{27} \text{ erg} \times 500 \times 10^{-9} \text{ m}}{10^{-27} \text{ erg.s} \times 29979 \times 10^8 \text{ m.s}^{-1}} = 1.3 \times 10^{13}$$

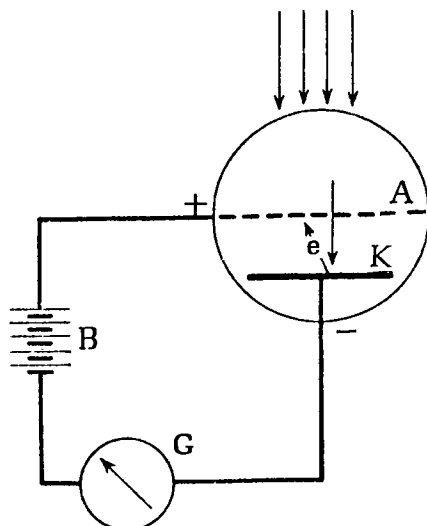
۷-۱ اثر فتوالکتریک

اولین بار هر تز (در سال ۱۸۸۷) مشاهده کرده بود که تابانیدن پرتوهای فرابنفس بر فلزات، موجب ایجاد بار الکتریکی مثبت بر سطح آنها می‌شود. در توجیه چنین مشاهده‌ای، وی معتقد شد که در این عمل باید مقداری از بارهای الکتریکی منفی از سطح فلز خارج شود. بعدها، با کشف الکترون معلوم شد که این بارهای منفی همان الکترونهایی‌اند که از سطح فلز کنده می‌شوند. به طوری که اگر تیغه فلزی که در مقابله باشند پرتوهای فرابنفس قرار دارند، به قطب منفی یک پیل متصل شود و در مقابل آن یک تیغه فلزی دیگر که به قطب مثبت همان پیل متصل است، قرار گیرد، آن‌گاه، دو تیغه فلزی در حبابی شیشه‌ای خالی از هوا (مطابق شکل ۳-۱) جای داده شود، الکترونهای جدا شده از سطح تیغه منفی، به طرف تیغه مثبت حرکت کرده و جریان الکتریسیته در مدار، برقرار می‌شود. چون بعداً معلوم شده بود که این اثر از طریق تابش پرتوهای نورانی نیز ظاهر می‌شود، از این‌رو، آن را اثر فتوالکتریک و الکترونهایی که به وسیله نور از سطح فلز کنده می‌شوند را فتوالکترون نامیدند.

قابل توجه است که چون با قرار گرفتن هر مانعی که از تابش نور بر سطح فلز جلوگیری کنند، جریان الکتریسیته در مدار قطع شده و با کنار رفتن آن مانع، جریان دوباره برقرار می‌شود. از این‌رو، از این اثر در دستگاهی به نام سلول فتوالکتریک، به عنوان چشم الکتریکی برای کنترل ورود و خروج افراد یا اشیاء، بسته شدن در آسانسورها وغیره استفاده می‌شود. در شکل ۳-۱ طرح یک سلول فتوالکتریک نشان داده شده است. از بررسی دقیق اثر فتوالکتریک، نتایجی به دست آمده بود که براساس نظریه کلاسیک تابش‌های الکترون‌مغناطیسی، غیرمنتظره وغیرقابل توجیه بود. این نتایج را می‌توان چنین خلاصه کرد:

جدا کردن الکترون از سطح تیغه یک فلز معین، در صورتی امکان دارد که فرکانس آن

تابش از حد معینی (فرکانس آستانه، ν_0) بیشتر باشد.



شکل ۳-۱ طرح سلول فتوالکتریک (B، پیل، G؛ گالوانومتر، K؛ قطب منفی و A؛ قطب مثبت).

با افزایش فرکانس (یا مقدار انرژی) تابش، تعداد فتوالکترونها زیاد نمی‌شود، بلکه انرژی جنبشی آنها افزایش می‌یابد.

با افزوده شدن شدت تابش به کار رفته، انرژی فتوالکترونها، افزایش نمی‌یابد ولی تعداد آنها بیشتر می‌شود.

برای توجیه این مشاهدات، اینشتین^۱ (در سال ۱۹۰۵) پیشنهاد کرد که خصلت کوآنتمی را نباید به جذب و نشر تابش‌های گرمایی محدود کرد، بلکه باید قبول کرد که هر تابش الکترومغناطیسی، از جمله پرتوهای مرئی (نور) نیز به صورت کوآنتمی جذب و یا منتشر می‌شود. وی به طور کلی، هر کوآنتم تابش الکترومغناطیسی و به ویژه نور را یک فوتون (یعنی ذره نور) نامید. با این تعمیم، توانست نتایج تجربی حاصل از بررسی اثر فتوالکتریک را به شرح زیر توجیه کرده و اعتبار جهانی برای نظریه کوآنتمی تابش‌های الکترومغناطیسی کسب کند.

بخشی از انرژی هر فوتون که اصطلاحاً تابع کاد نامیده شده است ($W = h\nu$)، صرف جدا کردن یک الکترون از سطح فلز می‌شود و مقدار آن به ماهیت فلز بستگی داشته،

درمورد فلزمعین مقدار آن ثابت است. ازین رو، برای اینکه الکترون از سطح یک فلزمعین جدا شود، نوری که بر آن تابانیده می‌شود، باید حداقل دارای فرکانسی برابر ν باشد. بخش دیگر انرژی فوتون، صرف افزایش انرژی جنبشی ($1/2 mv^2$) الکترونهای جدا شده از سطح فلز می‌شود. پس، می‌توان نوشت:

$$h\nu = h\nu_0 + \frac{1}{2} m v^2 \quad (13-1)$$

براساس این رابطه، هر گاه، درمورد یک فلزمعین، فرکانس نورتابشی (یعنی انرژی فوتون) افزایش یا بد، چون مقدار $h\nu$ ثابت است. پس مقداری که از انرژی فوتون باقی می‌ماند، بر انرژی جنبشی فتوالکترونها افزوده می‌شود.

با توجه به اصول نظریه کوآنتومی، چون شدت تابش با تعداد فوتونها بی که بر واحد سطح و در واحد زمان تابیله می‌شود متناسب است و هر فوتون می‌تواند یک الکترون را از سطح فلز جدا کند، پس درمورد تابش تکرنگ که فقط یک نوع فوتون را شامل است، افزایش شدت آن تابش (یعنی افزایش تعداد فوتونهای هم انرژی) موجب افزایش تعداد فتوالکترونها می‌شود، بدون اینکه بر انرژی جنبشی این الکترونها افزوده شود.

تمرین ۱-۵

تابع کار در مورد اتم پتاسیم برابر 2×10^{-12} الکترون ولت است. معین کنید که آیا تابشی با طول موج 350 نانومتر، می‌تواند بر فلز پتاسیم اثر فتوالکتریک داشته باشد؟ در صورتی که چنین اثری امکان داشته باشد، حداقل مقداری که بر انرژی جنبشی فتوالکترونها اضافه خواهد شد را حساب کنید.

حل:

چون هر الکترون ولت برابر $10^{-12} \times 10^{19} \times 1.6 \times 10^{-19} \text{ eV} = 2 \times 10^{-12} \text{ erg}$ است، می‌توان نوشت:

$$h\nu = 2 \times 10^{-12} \text{ erg} \quad (\text{تابع کار})$$

با توجه به اینکه نانومتر برابر 10^{-7} سانتیمتر است. داریم:

$$h\nu = \frac{hc}{\lambda} = \frac{6 \times 10^{-22} \text{ erg} \cdot \text{s} \times 2.9979 \times 10^10 \text{ cm} \cdot \text{s}^{-1}}{350 \times 10^{-7} \text{ cm}} \quad (\text{انرژی فوتون})$$

$$= 5 \times 10^{-12} \text{ erg}$$

چون مقدار انرژی فتوونهای این تابش از مقدار تابع کار (یعنی $h\nu$) بیشتر است، پس این تابش می‌تواند الکترونها را از سطح فلزپتاسیم جدا کند. بر اساس رابطه ۱۳-۱، می‌توان مقداری را که بر انرژی جنبشی فتوالکترونها حاصل، افزوده می‌شود، حساب کرد.

$$\frac{1}{2}mv^2 = h\nu - h\nu_0 = (557 - 555) \times 10^{-12} \text{ erg} = 2 \times 10^{-12} \text{ erg}$$

(انرژی جنبشی فتوالکترون)

تمرین ۶-۱

در صورتی که مقدار W برای فلزپتاسیم برابر ۲۶۵۰ الکترون ولت باشد، حداقل فرکانس لازم برای انجام عمل فتوالکتریک بر سطح این فلز، طول موج (بر حسب Å و nm) و عدد موجی (بر حسب cm^{-1} و m^{-1}) مربوط به این فرکانس را حساب کنید. اگر طول موج نوری که بر سطح این فلز می‌تابد برابر ۳۵۰ nm باشد، انرژی جنبشی فتوالکترونها و سرعت آنها را حساب کنید.

حل:

ابتدا مقدار W را بر حسب ارگ به دست می‌آوریم:

$$2650 \text{ eV} \times 1.602 \times 10^{-12} \text{ erg/eV} = 3.621 \times 10^{-12} \text{ erg}$$

حال با توجه به رابطه فرکانس حد (ν_0) با W ، می‌توان نوشت:

$$\nu_0 = \frac{W}{h} = \frac{3.621 \times 10^{-12} \text{ erg}}{5.465 \times 10^{34} \text{ s}^{-1} (\text{Hz})} = 6.626 \times 10^{26} \text{ s}^{-1}$$

با استفاده از رابطه $c = \lambda\nu$ ، می‌توان اندازه طول موج را حساب کرد.

$$\begin{aligned} \lambda &= \frac{2.998 \times 10^8 \text{ cm} \cdot \text{s}^{-1}}{6.626 \times 10^{26} \text{ s}^{-1}} = 5.486 \times 10^{-5} \text{ cm} \\ &= 5486 \text{ Å} \\ &= 5486 \text{ nm} \end{aligned}$$

با توجه به رابطه عدد موجی ($\bar{\nu}$) با طول موج، می‌توان عدد موجی را حساب کرد:

$$\bar{\nu} = \frac{1}{\lambda} = \frac{1}{55486 \times 10^{-9} \text{ cm}} = 18223 \times 10^4 \text{ cm}^{-1}$$

$$= 18223 \times 10^8 \text{ m}^{-1}$$

برای حل قسمت دوم این تمرین چنین عمل می کنیم:

$$\nu = \frac{c}{\lambda} = \frac{2998 \times 10^8 \text{ m.s}^{-1}}{350 \times 10^{-9} \text{ m}} = 85566 \times 10^{14} \text{ Hz}$$

$$\frac{1}{2}mv^2 = h\nu - h\nu_0 = (6626 \times 10^{-27} \text{ erg.s})(85566 \times 10^{14} \text{ s}^{-1}) -$$

$$3621 \times 10^{-12} \text{ erg}$$

$$= 2055 \times 10^{-12} \text{ erg}$$

واز آنجا، سرعت فتوالکترونها چنین محاسبه می شود:

$$E = \frac{1}{2}mv^2 \Rightarrow v^2 = \frac{2E}{m}$$

$$\nu = \left(\frac{2 \times 2055 \times 10^{-12} \text{ erg}}{9.11 \times 10^{-28} \text{ g}} \right)^{\frac{1}{2}} = 6717 \times 10^7 (\text{erg/g})^{\frac{1}{2}}$$

$$= 6717 \times 10^7 (\text{g.cm}^2 \cdot \text{s}^{-2}/\text{g})^{\frac{1}{2}}$$

$$= 6717 \times 10^7 \text{ cm/s}$$

۸-۱ طیف

مفهوم کلی

معمولًاً طیف به مجموعه‌ای از نورهای تکر نگک اطلاق می شود که به صورت نوارهای پهن یا باریک و یا خطوط دور یا نزدیک بهم، پس از عبور تابش الکتر و مغناطیسی از یک منشور و یا دریک طیف نما قابل مشاهده و عکسبرداری است. طیف هر جسم یکی ازویژگیهای بنیادی و وسیله‌ای دقیق برای بررسی و شناخت ساختار آن است. اصولاً کشف طیف عناصر و بررسی آنها یکی از عوامل مؤثر در شناخت ساختار اتم و پیدا یافتن نظریه‌های اتمی جدید

بوده است. برهمین اساس است که به عنوان پیشنبازی جهت آشنا شدن با چگونگی کشف ساختار اتم، طیفها به ویژه طیف نشری اتم هیدروژن را مورد بررسی قرار می دهیم.

أنواع طيف

(الف) طیف نشری که از طریق برانگیختن اتم (یامو لکول) به وجود می آید و با تابانیدن مستقیم پرتوهای حاصل به طیف نما، تشکیل می شود. این نوع طیف را به روشهای متفاوتی می توان به دست آورد. مهمترین این روشهای عبارتند از:

- ۱- قراردادن جسم در شعله (طیف شعله) که در مورد نمکها متداول است.
- ۲- ایجاد تخلیه الکتریکی درون گازها (طیف تخلیه)، که در مورد مواد گازی شکل متداول است.
- ۳- افزایش دمای جسم جامد تا حالت التهاب، که در مورد فلزات و مواد جامد متداول است (طیف جسم ملتهب).
- ۴- قراردادن جسم در گرمای حاصل از یک کمان الکتریکی که در مورد فلزات قلیابی و قلیابی تراکمی و ترکیبات آنها متداول است (طیف کمان و یا طیف جرقه).

(ب) طیف جذبی که پس از عبور یک تابش معین از یک محیط (جامد، مایع یا گاز) وارد شدن آن در یک طیف نما، تشکیل می شود. در چنین طیفی برعی از طول موجهای تابش جذب شده، به جای آنها در طیف، نوارها یا خطوط سیاه مشاهده می شود. با توجه به اینکه، بر اساس قانون کرشمef، هر محیط، همان تابشایی را جذب می کند که خود در شرایط مناسب می توانست آنها را تابش کند، از این رو، طیف جذبی هر جسم، یکی از ویژگیهای آن جسم است و با بررسی آن می توان به ساختار و خواص جسم پی برد.

قابل توجه است که چنانچه به جای طیف نما، از دستگاه طیف نگار استفاده شود. محل طول موجهای جذب شده به صورت پیکهای جذبی، مشخص می شود.

صورتهای مختلف طیف

طیف اجسام، ممکن است به یکی از صورتهای زیر تشکیل شود:

طیف پیوسته که نشان دهنده تابش یا جذب مقادیر پیوسته ای از انرژی بوده وین نواحی مختلف آن، مرز مشخصی نمی توان تشخیص داد.

طیف نشری پیوسته که به وسیله جامدات ملتهب، مایعات و گازهای فوق العاده متراکم در دمایهای بالا، حاصل می شود. مانند طیف نور سفید که مطابق شکل ۴-۱، بین رنگهای مختلف آن، مرز مشخصی وجود ندارد.

طیف جذبی پیوسته را می توان با عبور نور سفید از یک ماده جامد شفاف (مثل



شکل ۴-۱ طیف نشری نور سفید

شیشه رنگی) و یا محلول رنگی به دست آورد.
طیف خطی که نشان‌دهنده تابش یا جذب مقادیر مشخص و ناپیوسته‌ای از انرژی تابشی است و به صورت خطوط طیفی مشخصی که با فاصله‌های معینی از یکدیگر متمایزند، ظاهر می‌شود.

طیف نشری خطی بدوسیله اتمها در حالت گازی در دماهای بالا تابش می‌شود. مانند طیف نشری خطی اتم هیدروژن که در شکل ۱-۵ نشان داده شده است.



شکل ۱-۵ طیف نشری (خطی) اتم هیدروژن

سریهای خطوط طیفی در همان زمانهایی که تابش جسم سیاه و مسائل مربوط به آن توجه عده‌ای از دانشمندان را به خود جلب کرده بود، گروه دیگری از اندیشمندان کوشش‌های خود را در زمینه بررسی طیفهای نشری حاصل از اتمها، متوجه کرده بودند.
در سال ۱۸۸۳، لیوینگ^۱ و دوار^۲ دریافته بودند که طیف نشری فلزات قلیایی و قلیایی خاکسی، شامل دسته‌های متمایزی از خطوط (سری خطوط طیفی) است که با نظم مشخصی به ترتیب طول موج کنار یکدیگر قرار می‌گیرند. ولی نتوانسته بودند رابطه‌ای

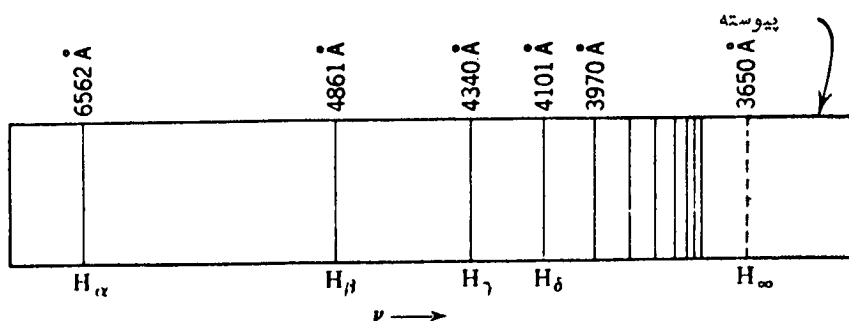
۱) Living

۲) Dewar

تجربی درباره تعیین محل این خطوط طیفی به دست آورند.

طیف نشی اتم هیدروژن نسبتاً ساده‌تر بود. اولین بار بالمر^۱ (در سال ۱۸۸۵)

طیف نشی اتم هیدروژن را بهروش تخلیه‌الکتریکی به دست آورد و وجود یک سری خطوط طیفی را مطابق شکل ۱-۶ در ناحیه مرئی کشف کرد که به خطوط سری بالمر شهرت یافت.



شکل ۱-۶ طیف نشی اتم هیدروژن در ناحیه مرئی

با بررسی وضعیت این خطوط، رابطه‌ای تجربی برای تعیین طول موج و محل اهتزاز آنها در طیف پیشنهاد کرد که نتایج نسبتاً دقیقی از آن به دست آمده بود.

$$\lambda = \lambda_0 \frac{m^2}{m^2 - 4} \quad (14-1)$$

λ ثابتی برابر ۳۶۴۶ آنگستروم و m عدد درستی است که می‌تواند مقادیر ۳، ۴، ۵، ۶، ... و ∞ را اختیار کند. چون معمولاً، در روابط مربوط به طیف، عموماً به جای طول موج عکس طول موج، یعنی عدد موجی (که با علامت $\bar{\nu}$ نشان داده می‌شود) را در نظر می‌گیرند، رابطه ۱۴-۱ را می‌توان به صورت زیر نوشت:

$$\bar{\nu} = \frac{1}{\lambda_0} \cdot \frac{m^2 - 4}{m^2} = \frac{4}{\lambda_0} \left(\frac{1}{2^2} - \frac{1}{m^2} \right) \quad (15-1)$$

اگر در این رابطه، m را برابر ۳، ۴، ۵ و ... قرار دهیم، به ترتیب طول موج خطوط طیفی H_α ، H_β ، H_γ و ... به دست می‌آید.

تمرین ۷-۱

به ازای $m=3$ ، کدام خط طیفی از سری بالمر مشخص می‌شود؟

حل :

با استفاده از رابطه ۱۵-۱ می‌توان نوشت:

$$\bar{v} = \frac{4}{3646} \left(\frac{1}{4} - \frac{1}{9} \right) \times 10^{-4} \text{ Å}^{-1}$$

$$\lambda = \frac{1}{\bar{v}} = 6563 \text{ Å} \quad \text{خط } \alpha$$

(دیدبرگ^۱ با بررسیهای خود (در سال ۱۸۹۰) دریافته بود که رابطه طیفی بالمر (رابطه ۱۴-۱)، جنبه کلی دارد و آن را برای تعیین طول موج خطوط طیفی سری دیگری که پاشن^۲ در ناحیه زیر قرمز طیف نشری اتم هیدروژن کشف کرده بود نیز می‌توان به کار برد. برای این منظور، او رابطه ۱۵-۱ را به صورت کلی زیر ارائه داد:

$$\bar{v} = R_H \left(\frac{1}{n^2} - \frac{1}{m^2} \right) \quad (16-1)$$

که در آن R_H مقدار ثابتی برای $\bar{v} = 109677$ است. و به ثابت دیدبرگ برای اتم هیدروژن موسوم است. n عدد درستی است که در مورد خطوط سری بالمر برابر ۲ و برای خطوط سری پاشن برابر ۳ و m عدد درست دیگری برابر $n+1$ ، $n+2$ ، $n+3$ ، $n+4$ و ... است ($m \geq n+1$). براساس این رابطه کلی، چنانچه n برابر ۲ و m برابر ۳ ، ۴ ، ۵ ، ۶ و غیره باشد، خطوط طیفی سری بالمر مشخص می‌شود که در ناحیه مرئی تابش‌های الکترومغناطیسی قرار دارند. اگر n برابر ۳ و m برابر ۴ ، ۵ ، ۶ ، ۷ و غیره باشد، خطوط طیفی سری پاشن مشخص می‌شود که در ناحیه زیر قرمز نزدیک قرار دارند. یادآوری می‌شود که سریهای دیگر خطوط طیفی اتم هیدروژن، پس از کشف ساختار الکترونی اتم (در سال ۱۹۱۳ توسط بوهر دانشمند دانمارکی) کشف شدند (مثلث سری فوند^۳ در سال ۱۹۲۴ کشف شد).

قابل توجه است که با در نظر گرفتن رابطه $\bar{v}_C = u$ ، رابطه ۱۶-۱ را می‌توان برای محاسبه فرکانس خطوط طیفی، به صورت زیر نیز نوشت:

۱) Rydberg

۲) Paschen

۳) Pfund

$$\nu = 3.291 \times 10^{15} \left(\frac{1}{n^2} - \frac{1}{m^2} \right) \quad (17-1)$$

تمرین ۸-۱

طول موج (بر حسب آنگستروم) و فرکانس سومین خط از سری پاشن را حساب کنید.

حل :

با استفاده از روابط ۱۶-۱ و ۱۷-۱ و با توجه به اینکه برای خطوط طیفی سری پاشن $n = 3$ و برای سومین خط این سری $m = 6$ است، خواهیم داشت:

$$\bar{\nu} = 109677 \text{ cm}^{-1} \left(\frac{1}{9} - \frac{1}{36} \right) = 9140 \text{ cm}^{-1}$$

$$\lambda = \frac{1}{\bar{\nu}} = \frac{1}{9140 \text{ cm}^{-1}} = 0.0001094 \text{ cm} \times \frac{1 \times 10^8 \text{ Å}}{1 \text{ cm}} = 1094 \times 10^4 \text{ Å}$$

$$\nu = 3291 \times 10^{15} \left(\frac{1}{9} - \frac{1}{36} \right) = 2574 \times 10^{14} \text{ Hz}$$

تمرین ۹-۱

با استفاده از رابطه ۱۶-۱ طول موج (بر حسب pm*) آخرین خط طیفی از سری پاشن را حساب کنید.

حل :

در مورد آخرین خط از هر سری طیفی، باید m را برابر بینهایت در نظر گرفت. از این رو، می‌توان نوشت:

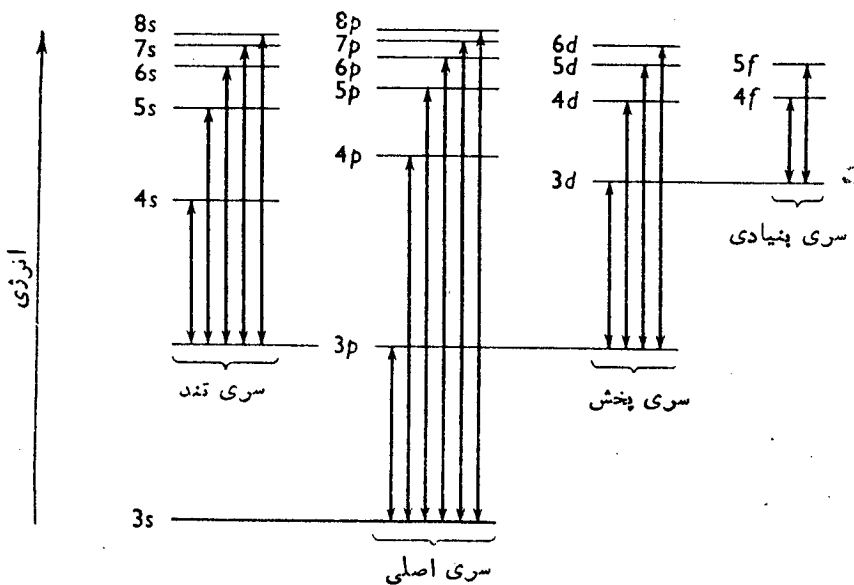
$$\bar{\nu} = 109677 \text{ cm}^{-1} \left(\frac{1}{3^2} - \frac{1}{\infty^2} \right) = 12186 \text{ cm}^{-1}$$

نشانه پیکومتر (Picometer) است که برابر 10^{-12} متر، 10^{-15} سانتیمتر و یا برابر ۱۰۵ آنگستروم است.

$$\lambda = \frac{1}{\nu} = \frac{1}{12186 \text{ cm}^{-1}} = 82061 \times 10^{-9} \text{ cm}$$

$$= 82061 \times 10^{-9} \text{ cm} \times \frac{10^{10} \text{ pm}}{1 \text{ cm}} = 820610 \text{ pm}$$

ضمیراً، ریدبرگ با بررسیهای دقیقی که انجام داده بود و با استفاده از نظریات لیوینگک و دوار در مورد طیف نشری بخار فلزات قلیایی و قلیایی خاکی (که بسیار پیچیده‌تر از طیف نشری اتم هیدروژن بود) توانسته بود وجود تشابه‌ی بین خطوط مختلف مشاهده شده در طیف آنها را پیدا کرده و آنها را دسته‌بندی و نامگذاری کند. به این ترتیب که دسته‌ای از خطوط را که شدت بیشتری داشتند، خطوط سری تند^۱، دسته‌دیگر را که از خطوط دیگر روشن‌تر بودند، خطوط سری اصلی^۲، آن دسته از خطوط را که فاصله زیادتری از یکدیگر داشتند، خطوط سری پخش^۳ و دسته دیگری از این خطوط را خطوط سری بنیادی^۴



شکل ۷-۱ نمایش جهش‌های الکترونی در اتم سدیم که سریهای تند، اصلی، پخش و بنیادی خطوط طیفی آن را به وجود می‌آورد.

۱) Sharp

۲) Principal

۳) Diffuse

۴) Fundamental

نامیده بود. وی براساس حرف اول نام، آنها را به ترتیب با S ، P ، D ، F مشخص کرد.

قابل توجه است که پس از کشف ساختار اتم و پیشنهاد مدل موجی برای آن، علایمی را که ریدبرگ برای سریهای خطوط طیفی اتمهای فلزات قلیایی و قلیایی خاکسی در نظر گرفته بود، به عنوان علایم حالتها اتمی (یا ترمهای طیفی) پذیرفته شدند (در مورد حالتها اتمی به بخش ۲-۴ رجوع شود) و نیز به صورت حروف کوچک به عنوان علامت ترازهای انرژی اتم، یعنی ترازهای s ، p ، d ، f انتخاب شدند. این انتخاب براساس مشاهدات تجربی صورت گرفت. زیرا، معلوم شد که مثلاً در طیف نشی فلزات قلیایی، خطوطی را که ریدبرگ خطوط سری S نامیده بود، مطابق شکل ۱-۷ باجهش الکترون از ترازهایی که بعداً ترازهای s نامیده شد، به ترازهایی که ترازهای p نامیده شدند، مطابقت دارد و خطوطی را که خطوط سری P نامیده بود، باجهش الکترون از ترازهای p به ترازهای d ، خطوطی را که خطوط سری D نامیده بود، باجهش الکترون از ترازهایی که بعداً ترازهای d نامیده شد به ترازهای p و بالاخره، خطوطی را که وی خطوط سری F نامیده بود، باجهش الکترون از ترازهایی که بعداً ترازهای f نامیده شد، به ترازهای d مطابقت دارد.

فصل دوم

مدلهای اولیه و مدل‌های کوآنتومی اتم

۲-۱ مدل‌های انتی تامسون و رادرفورد

همان طور که در بخش ۱-۱ اشاره شد، پس از کشف الکترون و بروتون و تعیین مقدار بار الکتریکی و تعداد هر یک از آنها در اتم، مسئله چگونگی بخش بارهای مثبت و منفی و وضع نسبی این ذرات در اتم، توجه دانشمندان را به خود جلب کرده بود. تامسون اولین کسی بود که به حل این مسئله پرداخت، وی بر اساس نتایج تجربی که به آنها دسترسی داشت، در سال ۱۹۰۱ مدلی برای ساختار اتم پیشنهاد کرد. در این مدل، اتم را به صورت کره‌ای به قطر یک آنگستروم در نظر گرفت که بارهای مثبت به طور یکنواخت در آن، در لایه‌های کروی (به خاطر دافعه الکتروستاتیکی) براکتده بوده و الکترونها به تعدادی که برای خشی کردن این بارهای مثبت لازم باشد، در وضعیت تعادل (از نظر نیروهای دافعه و جاذبه الکتروستاتیکی) در درون این کره قرار دارند. هر چند که در حالت پایه، الکترونها در داخل توده بار مثبت همچو نوع حرکتی ندارند، ولی در حالت برانگیخته اتم، این الکترونها می‌توانند نسبت به وضعیت تعادل خود، نوسان کنند (همین حرکت می‌تواند منشاء تابش انرژی به وسیله اتم باشد). از این رو، تامسون توanstه بود تا حدی چگونگی تابش و طیف اتم را توضیح دهد. ولی در این تلاش با نارساییها و ایرادهای زیادی رو برو شد که مهمترین آنها ناتوانی در توجیه نتایج حاصل از آزمایش رادرفورد بود. زیرا، در آن روزها برای پی بردن به چگونگی توزیع بارهای مثبت و منفی در اتم، دانشمندان به فکر افتاده بودند که ذره باردار مثبتی را بروزقه بسیار نازک فلزی که چندین ردیف اتم را در بردارد بتا بنده و چگونگی انحراف این ذرات به وسیله اتمها را ملاک قضاوت خود درباره

چگونگی توزیع این ذرات در درون اتم قرار دهنند. ذره مشتبی که برای این منظور انتخاب شده، هسته هلیم یعنی ذره آلفا بود. تامسون بر اساس مدل اتمی پیشنهادی خود و محاسباتی که انجام داد، پیش‌بینی کرده بود که میانگین انحراف این ذرات بسیار ناچیز بوده و امکان انحراف زیاد‌آنها از مسیر اولیه، برای صفر است. در صورتی که آزمایشها و بررسیهای مادرسدن^۱ و گایگر^۲ به سرپرستی رادرفورد که در سال ۱۹۱۱ صورت گرفته بود، نشان داد که در آزمایش با ورقه بسیار نازک طلا، حدود $\frac{1}{8000}$ تعداد کل ذرات آلفای تابیده شده، با انحراف بزرگتر از ۹۰ درجه از مسیر اولیه خود خارج می‌شوند. از این‌رو، پیش‌بینی تامسون و مدل اتمی پیشنهادی او، مردود شناخته شد.

رادرفورد در توجیه نتایج این آزمایش، مدل جدیدی برای اتم پیشنهاد کرد که به «مدل اتم هسته‌دار» موسوم است و براساس آن تمامی بارمثبت و تقریباً تمامی جرم اتم در قسمت مرکزی آن تمرکز دارد. انحراف قابل توجه ذرات آنها را می‌توان به نزدیک شدن آنها به این توده بارهای مثبت و جرم نسبتاً زیاد‌آن نسبت داد. این قسمت مرکزی به «هسته‌atom» موسوم شده که الکترونها بر روی مدارهای مختلفی به دور آن می‌چرخند. چون رادرفورد حرکت الکترون به دورهسته را مشابه با حرکت سیارات به دور خوردشید در نظر گرفته بود، از این‌رو، مدل اتمی رادرفورد، «مدل منظومه شمسی مازندر» اتم نیز نامیده شده است. اگرچه مدل رادرفورد، براساس نتایج تجربی پیشنهاد شده بود و با روند انحراف ذرات آلفا در برخورد به ورقه‌های نازک فلزی، هماهنگی کامل داشت، ولی با وجود این موفقیت، بانارساییها و ایرادهایی اساسی مواجه شد که به دو مورد آن اشاره می‌کنیم.

با توجه به اینکه هسته اتم دارای بارمثبت و الکترون‌دارای بارمنفی است، الکترون نمی‌تواند در اتم بی‌حرکت باشد، زیرا الکترون جذب هسته شده و موجودیت اتم در معرض سوال قرار می‌گیرد. پس باید قبول کرد که الکترون به دور هسته اتم می‌چرخد، در این صورت، براساس نظریه کلاسیک تابش‌های الکترومغناطیسی، چون الکترون ذره‌ای باردار است و حرکت آن به دورهسته یک حرکت شتابدار محسوب می‌شود، پس باید به طور پیوسته و تدریجی انرژی خود را به صورت تابش‌های الکترومغناطیسی از دست بدهد که بررسیهای تجربی چنین رویدادی را تأیید نمی‌کند. زیرا، اگرچنین بود، از یک طرف طیف نشی اتم می‌باشد پیوسته باشد، در صورتی که مطابق آنچه در بخش ۸-۱ مورد بررسی قرار گرفت،

1) Marsden

2) Geiger

طیف نشی اتم، طیفی خطی است. از طرف دیگر، الکترون می‌باشد به طور پیوسته و تدریجی انرژی خود را ازدست بدهد و با طی مسیر مارپیچی، پس از مدت معینی بر روی هسته بیفتد. حال آنکه عملاً^۱ این چنین، روی نداده است.

قابل توجه است که مسئله علمی روز در آن زمان فقط، چگونگی قرار گرفتن الکترونها و پروتونها در درون اتم و یا تعیین وضعیت الکترون در اطراف هسته اتم نبود، بلکه مسائل مهم دیگری توجه دانشمندان را به خود جلب کرده بود که به طیف نشی اتم مر بوط می‌شد. مثلاً چرا طیف نشی اتم در حالت گازی، به صورت خطی است؟ و یا اتم هیدروژن که فقط یک الکترون دارد، چگونه طیفی خطی شامل چند سری از خطوط طیفی در نواحی مرئی و زیرقرمز می‌دهد که هرسری خود شامل چندین خط طیفی است؟

نه تنها مدل اتمی تامسون، بلکه مدل اتمی رادرفورد نیز، نمی‌توانست پاسخی برای این نوع پرسشها پیدا کند. از این‌رو، مدل اتمی رادرفورد نیز مدلی نارسا قلمداد شد. در حالی که مسائل حل نشده روز، به ویژه مسائل مر بوط به طیف اتم، به زیربنای نظری کاملتری نیاز داشت.

هر چند که کنوی^۱ بدون تکیه بر مدل اتمی خاصی (در سال ۱۹۰۷) او لین بار مسئله خطی بودن طیف نشی اتم را بر اساس نظریه کوآنتومی مورد بررسی قرارداد و نظر داد که هر اتم اگر در حالت برانگیخته دارای یک الکترون باشد، یک خط طیفی مشخصی تابش می‌کند و تعداد فوق العاده زیاد اتمها با وضعیت برانگیختگی متفاوت که در جرم معینی از ماده گازی وجود دارد، طیف نشی خطی را به وجود می‌آورند. ولی او لین کسی که مسائل مر بوط به طیف نشی اتم را با ارائه مدل اتمی نسبتاً کامل و در عین حال ساده‌ای بر اساس نظریه کوآنتومی حل و فصل کرد، بوهر^{*} دانشمند دانمارکی بود.

۲-۳ نظریه اتمی بوهر

بوهر (در سال ۱۹۱۳) برای برطرف کردن نواقص و نارسانی نظریه اتمی رادر-فورد، نظریه جدیدی درباره ساختار اتم هیدروژن و یونهای هیدروژن-مانند (یعنی سیستمهای تک الکترونی) ارائه داد که بیش از هر نظریه در زمینه‌های شیمی یا فیزیک مورد پذیرش جهانی قرار گرفت.

بوهر نظریه اتمی خود را با توجه به نکات زیر، یعنی:

قبول اساس نظریه رادرفورد (یعنی مسیرهای دایره‌ای برای حرکت الکترون به دور

(۱) Conway

* (به خاطر همین کار جایزه موبایل سال ۱۹۳۲ در شیمی به او تعلق گرفت).

هسته)، استفاده از نظریه کوآنتومی تابهای الکترومغناطیسی، استفاده از نتایج تجربی حاصل از بررسیهای طیف‌شناسان، بهویژه خطی بودن طیف نشری اتم هیدروژن به صورت دو پذیره^{*}، بیان داشت:

پذیره اول

اتم هیدروژن، دارای هسته‌ای (با بار $e = +e$) و یک الکترون (با بار $-e$) است و این الکترون برخلاف نظر رادرفورد در مسیرهای دایره‌ای بهم پیوسته، به دور هسته نمی‌چرخد، بلکه براساس نظر کوآنتومی، بر روی مسیرهای دایره‌ای مجزایی که به فاصله معینی از هسته قرار داشته و نموداری از سطح انرژی مشخص و ثابت است، مطابق شکل ۱-۲، به دور هسته می‌چرخد. تا هنگامی که الکترون بر روی چنین مدار مجاز و پایداری می‌چرخد، به هیچ صورت انرژی خود را از دست نمی‌دهد و تابشی منتشر نمی‌کند. به عبارت دیگر، سرعت و انرژی آن همواره بر روی چنین مداری ثابت باقی می‌ماند. از این‌رو، این مدارها را «مدارهای ایستاده» می‌نامند (امروزه به جای مدار، تراز انرژی و یا حالت انرژی به کار می‌برند) با توجه به نظریه کوآنتومی، فاصله ترازهای مجاز از هسته اتم، طوری باید تنظیم شود که اندازه حرکت زاویه‌ای الکترون بر روی هر یک از آنها مضرب درستی از واحد بنیادی کوآنتوم (یعنی $h/2\pi$) باشد. یعنی همواره باید داشته باشیم:

$$\vec{l} = mvr = n \frac{h}{2\pi} \quad (1-2)$$

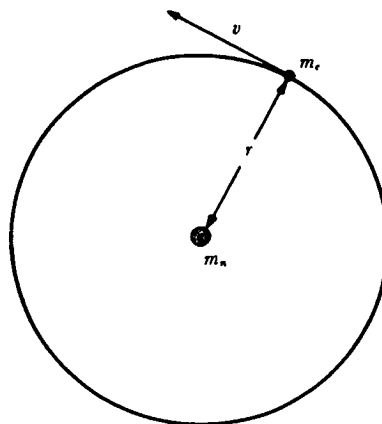
که در آن، \vec{l} → اندازه حرکت زاویه‌ای الکترون، m ، v و r به ترتیب جرم، سرعت حرکت الکترون و شعاع مدار مجاز است. n عدد درستی برابر ۱، ۲، ۳، ۴، ۵ و ... می‌باشد که عدد کوآنتومی نامیده می‌شود (امروزه به عدد کوآنتومی اصلی موسوم است). نیروی جاذبه الکتروستاتیکی بین هسته والکترون بر روی هر مدار ایستاده، بدوسیله نیروی مرکزگرای حاصل از چرخش الکترون به دور هسته بر روی آن مدار (مطابق شکل ۱-۲)، جبران می‌شود. به طوری که شعاع آن مدار همواره ثابت باقی مانده، از نزدیک شدن تدریجی الکترون به هسته اتم و یا افتادن آن بر روی هسته، جلوگیری می‌شود. براساس این پذیره، بوهر نه تنها ایراد نظریه رادرفورد را بر طرف کرد، بلکه امکان توجیه مسایلی نظری شعاع مدارها، شکل آنها و شعاع و یا حجم اتم و ... را فراهم آورد.

پنجه دوم

براساس نظریه کوآنتمی تابش‌های الکترومغناطیسی، اتم فقط موقعی می‌تواند تابش کند که یک کوآنتم مشخص از انرژی را جذب کرده و الکترون را از سطح انرژی مجاز به سطح انرژی مجاز معین بالاتر E_2 ارتقاء دهد. چنین الکترونی در بازگشت از سطح انرژی بالاتر به سطح انرژی پایین‌تر، تفاوت انرژی این دو حالت را به صورت یک کوآنتم انرژی (که برای همان کوآنتم انرژی جذب شده به وسیله اتم است)، تابش می‌کند. یعنی می‌توان نوشت:

$$\Delta E = E_2 - E_1 = h\nu \quad (2-2)$$

به این ترتیب بوهر توانست، ذیر بنایی نظری درمورد چگونگی جذب و تابش انرژی به وسیله اتم و توجیه طیف اتم هیدروژن، ارائه دهد.



شکل ۱-۲ نمایش ساده‌ای از مدل اتمی بوهر

با توجه به اینکه زاویه دوران α در هر دور از گردش الکترون به دورهسته، از صفر تا 2π تغییر می‌کند. با استفاده از رابطه ۱-۲، داریم:

$$\left\{ \begin{aligned} \int_0^{2\pi} mvr d\hat{\alpha} &= mvr \int_0^{2\pi} d\hat{\alpha} = mvr |\hat{\alpha}|_0^{2\pi} \\ &= mvr \cdot 2\pi = n \frac{h}{2\pi} \cdot 2\pi = nh \end{aligned} \right. \quad (3-2)$$

درمورد پایدارترین سطح انرژی در اتم هیدروژن و بیونهای هیدروژن - مانند که به

حالات پایه (یا حالت اصلی) موسوم است، $n=1$ است ولایه K نامیده می‌شود. مدارهای مجاز بالاتر که اصطلاحاً سطوح انرژی برانگیخته نامیده می‌شوند، به ترتیب عدد کوآنتومی، با حریقای L ($n=2$)، M ($n=3$)، N ($n=4$)، O ($n=5$)، P ($n=6$)، Q ($n=7$) و ... مشخص می‌شوند. بوهر بر اساس نظریه خود به محاسبه طول شعاع هر یک از مدارهای مجاز، سرعت الکترون بر روی آنها و مقدار انرژی جاذبه بین هسته والکترونی که بر روی آنها به دور هسته درچرخش باشد، پرداخت.

محاسبه طول شعاع مدارهای مجاز (۶)

نیروی جاذبه الکتروستاتیکی بین هسته والکترون در اتم هیدروژن، بر اساس شکل ۱-۲، از رابطه زیرقابل محاسبه است:

$$F_1 = K \frac{e^2}{r^2} \quad (4-2)$$

که در آن e بار الکترون، r فاصله الکترون از هسته (یا شعاع مدار مجاز) و K ثابتی است که مقدار آن در سیستم بین المللی برابر $\frac{1}{4\pi\varepsilon_0}$ است. چون e (نفوذپذیری خلا) برابر $C^2/m \cdot J$ و K برابر $10^{-12} \times 8854 \times 10^{-10} N$ در نظر گرفته می‌شود: مقدار K برابر $10^9 m \cdot J / C^2$ است. ولی در سیستم الکتروستاتیک $C \cdot g \cdot S$ مقدار K برابر واحد است. از این‌رو، در اینجا برای سهولت، محاسبات در سیستم اخیر صورت گرفته و K حذف می‌شود.

مقدار نیروی حاصل از چرخش الکترون به دور هسته را نیز می‌توان از رابطه زیر حساب کرد:

$$F_2 = \frac{mv^2}{r} \quad (5-2)$$

که در آن m جرم الکترون و v سرعت حرکت آن در مدار مجاز به شعاع r است. با توجه به اینکه مسیر حرکت الکترون به صورت دایره است، مقدار این دونیرو باید با یکدیگر برابر باشد. از این‌رو، با مساوی قرار دادن F_1 و F_2 (روابط ۴-۲ و ۵)، می‌توان نتیجه گرفت که:

$$v^2 = \frac{e^2}{mr} \quad (6-2)$$

اگر مقدار ν را با استفاده از رابطه ۷-۱ به دست آورده و در رابطه ۷-۲ قرار دهیم، خواهیم داشت:

$$r_{(n)} = \frac{n^2 h^2}{4\pi^2 m e^2} \quad (7-2)$$

براساس این رابطه، در مورد شاعع اتم هیدروژن در حالت اصلی آن ($n=1$) می‌توان نوشت:

$$\begin{aligned} r &= \frac{(1) \times 10^{-34} \text{ J.s}}{(2(3\pi 1416)^2 (9.1096 \times 10^{-31} \text{ kg}) \left(1.6022 \times 10^{-19} \text{ C} \times \frac{9.64805 \times 10^4 \text{ kg}^{1/2} \cdot m^{3/2} \cdot s^{-1}}{1 \text{ C}} \right)^2} \\ &= 0.5291 \times 10^{-10} \frac{\text{J} \cdot \text{s}}{\text{kg}^{1/2} \cdot m^{3/2} \cdot s^{-2}} = 0.5291 \frac{\text{kg} \cdot m^{1/2} \cdot s^{-3}}{(\text{kg}^{1/2} \cdot m^{3/2} \cdot s^{-2})^2} \\ &= 0.5291 \times 10^{-10} \text{ m} = 0.5291 \times 10^{-10} \text{ m} \times \frac{10^{10} \text{ Å}}{1 \text{ m}} = 0.5291 \text{ Å} \\ &\simeq 0.529 \text{ Å} \end{aligned}$$

که با مقدار به دست آمده از روش‌های دیگر، مطابقت کامل دارد و در حقیقت اولین معیار برای درستی نظریه اتمی بوهر محسوب می‌شود.
این طول را معمولاً با a_0 نشان می‌دهند و آن را شاعع بوهر و یا یک بوهر می‌نامند که به عنوان واحدی برای تعیین طول شاعع اتمی، شاعع یونی، طول پیوند وغیره به کار می‌رود.
با توجه به رابطه ۷-۲، در مورد شاعع مدار $n=1$ ، می‌توان نوشت:

$$r_{(n)} = \frac{h^2}{4\pi^2 m e^2} \cdot n^2 = a_0 \cdot n^2 \quad (8-2)$$

یعنی اندازه شاعع مدارهای مجاز دارای محدودیت کوآنتموی می‌باشد.

تمرین ۱-۳

فاصله سومین و چهارمین مدار مجاز را در اتم هیدروژن بر حسب a_0 و بر حسب آنگستروم حساب کنید.

حل:

براساس رابطه ۲-۸ می‌توان نوشت:

$$\begin{aligned} r_{(2)} &= a_0 \times 3^2 = 9a_0 \\ r_{(4)} &= a_0 \times 4^2 = 16a_0 \\ \Delta r &= r_{(4)} - r_{(2)} = 7a_0 \\ &= 7 \times 0.5291 = 3.704 \text{ Å} \end{aligned}$$

محاسبه سرعت حرکت الکترون بر روی مدارهای مجاز

اگر مقدار r را از رابطه ۲-۱ استخراج کنیم، خواهیم داشت:

$$v_{(n)} = n \left(\frac{h}{2\pi} \right) \frac{1}{mr} \quad (9-2)$$

و اگر به جای r مقدار آن را (از رابطه ۷-۲) قرار دهیم، نتیجه می‌شود:

$$v_{(n)} = \frac{nh}{2m} \times \frac{4\pi^2 me^2}{n^2 h^2} = \frac{2\pi e^2}{nh} \quad (10-2)$$

براساس رابطه ۹-۲، در مورد سرعت الکترون در حالت پایه اتم هیدروژن ($n=1$ و $r=0.5291 \text{ Å}$)، داریم:

$$\begin{aligned} v_{(1)} &= \frac{10^{-27} \times 10^{-18} \times 10^{-18} \times 10^{-18} \text{ erg.s}}{2 \times 3.1416 \times 9.1096 \times 1.6726 \times 10^{-27} \text{ g} \times 1.6726 \times 10^{-18} \text{ cm}} \\ &= 2.188 \times 10^8 \frac{\text{erg} \cdot \text{s}}{\text{g} \cdot \text{cm}} = 2.188 \times 10^8 \frac{(\text{g} \cdot \text{cm}^2 \cdot \text{s}^{-2}) \text{s}}{\text{g} \cdot \text{cm}} \\ &= 2.188 \times 10^8 \text{ cm/s} \end{aligned} \quad (1)$$

قابل توجه است که این مقدار، حدود $\frac{1}{137}$ سرعت نور است.

محاسبه انرژی کل الکترون

انرژی کل الکترون بر روی هر مدار ایستاده در اطراف هسته (E) که در واقع سطح انرژی آن مدار را مشخص می‌کند، برابر جمع جبری مقایر انرژی پتانسیل جاذبه هسته والکترون (V) و انرژی جنبشی الکترون (E_k) بر روی آن مدار ایستاده است:

$$E = V + E_k \quad (11-2)$$

با استفاده از رابطه ۲-۶، می‌توان مقدار انرژی جنبشی الکترون را در هر مدار ایستاده حساب کرد:

$$E_k = \frac{1}{2} mv^2 = \frac{1}{2} m \frac{e^2}{mr} = \frac{e^2}{2r} \quad (12-2)$$

می‌دانیم که انرژی پتانسیل، مقدار انرژی جاذبه‌ای است که برای آوردن الکترون از فاصله بینها یت دور از هسته (که در حالت سکون فرض می‌شود) و نزدیک کردن آن تا فاصله r بهسته لازم است. با بیان ریاضی، پتانسیل نیروی جاذبه الکتروستاتیکی، گرادیان نیروی جاذبه نسبت به فاصله و یا انتگرال مکانی نیروی جاذبه است. چنانچه، پتانسیل جاذبه هسته برای الکترون در فاصله بینها یت برابر صفر فرض شود، مقدار آن در مورد الکترونی که به فاصله r از هسته اتم قرار داشته باشد، از رابطه زیر، قابل محاسبه است:

$$V = \int_{\infty}^r F_1 dr = \int_{\infty}^r \frac{e^2}{r^2} dr = -\frac{e^2}{r} \quad (13-2)$$

با در نظر گرفتن روابط ۱۱-۲، ۱۲-۲ و ۱۳-۲، می‌توان نوشت:

$$E = -\frac{e^2}{2r} \quad (14-2)$$

اگر به جای r ، مقدار آن (از رابطه ۷-۲) را در این رابطه قرار دهیم، خواهیم داشت:

$$E_n = -\frac{2\pi^2 me^4}{n^2 h^2} \quad (15-2)$$

مقدار انرژی الکترون در حالت ایستاده اتم هیدروژن ($E_{(n=1)}$) برابر است با:

$$1C = ۹۵۴۸۰۵ \times 10^4 \text{ kg}^{1/2} \cdot m^{3/2} \cdot s^{-1} ; 1eV = ۱۶۰۲ \times 10^{-۱۹} J$$

$$E_{(1)} = \frac{2(3)(1416) \times 954805 \times 10^4 \text{ kg}^{1/2} m^{3/2} \cdot s^{-1}}{(1)^2 \times (1.626 \times 10^{-44} \text{ J} \cdot \text{s})^2} = ۲۵۱۸۰ \times 10^{-۱۸} \text{ kg m}^2 \text{s}^{-۲}$$

$$= (25180 \times 10^{-18} \text{ kg m}^2 \text{s}^{-2}) \left(\frac{1 \text{ J}}{1 \text{ kg m}^2 \text{s}^{-2}} \right) = 25180 \times 10^{-18} \text{ J}$$

$$= (25180 \times 10^{-18} \text{ J}) (1 \text{ eV} / 1562 \times 10^{-19} \text{ J}) = 13561 \text{ eV}$$

$$E_{(1)} = -13561 \text{ eV}$$

در مورد انرژی مدار مجاز n ، براساس رابطه ۱۵-۲ می‌توان نوشت:

$$E_{(n)} = -E_{(1)} \times \frac{1}{n^2} \quad (16-2)$$

یعنی انرژی الکترون، از محدودیت کوآنتومی بیرونی می‌کند و به نسبت عکس توان دوم عدد کوآنتومی مدارهای ایستاده، کم و یا زیاد می‌شود. بدینهی است که هرچه الکترون از هسته دورتر باشد، چون n بزرگتر می‌شود، براساس روابط (۱۵-۲)، یا (۱۶-۲)، انرژی کل آن از لحاظ قدر مطلق کاهش یافته ولی با توجه به علامت منها، مقدار آن افزایش می‌یابد. قابل توجه است که با دورتر شدن الکترون از هسته در محدوده جاذبه هسته، مقدار انرژی پتانسیل آن افزایش ولی مقدار انرژی جنبشی آن کاهش می‌یابد. ولی افزایش مقدار انرژی پتانسیل آن بر کاهش انرژی جنبشی آن غلبه دارد. در نتیجه، مقدار کل انرژی الکترون افزایش می‌یابد. در شکل ۲-۲ انرژی ترازهای الکترونی، انرژی برانگیختگی و انرژی لازم برای جدا شدن الکترون در هر یک از ترازهای انرژی در اتم هیدروژن نشان داده شده است.

تمرین ۲-۳

- (الف) مقدار نیروی جاذبه الکترون-هسته،
- (ب) انرژی پتانسیل الکترون،
- (ج) انرژی جنبشی الکترون،
- (د) انرژی کل را برای الکترونی که بر روی دو مین مدار مجاز به دور هسته می‌چرخد، بر حسب واحدهای سیستم الکتروستاتیکی S.G.S. حساب کنید.

حل :

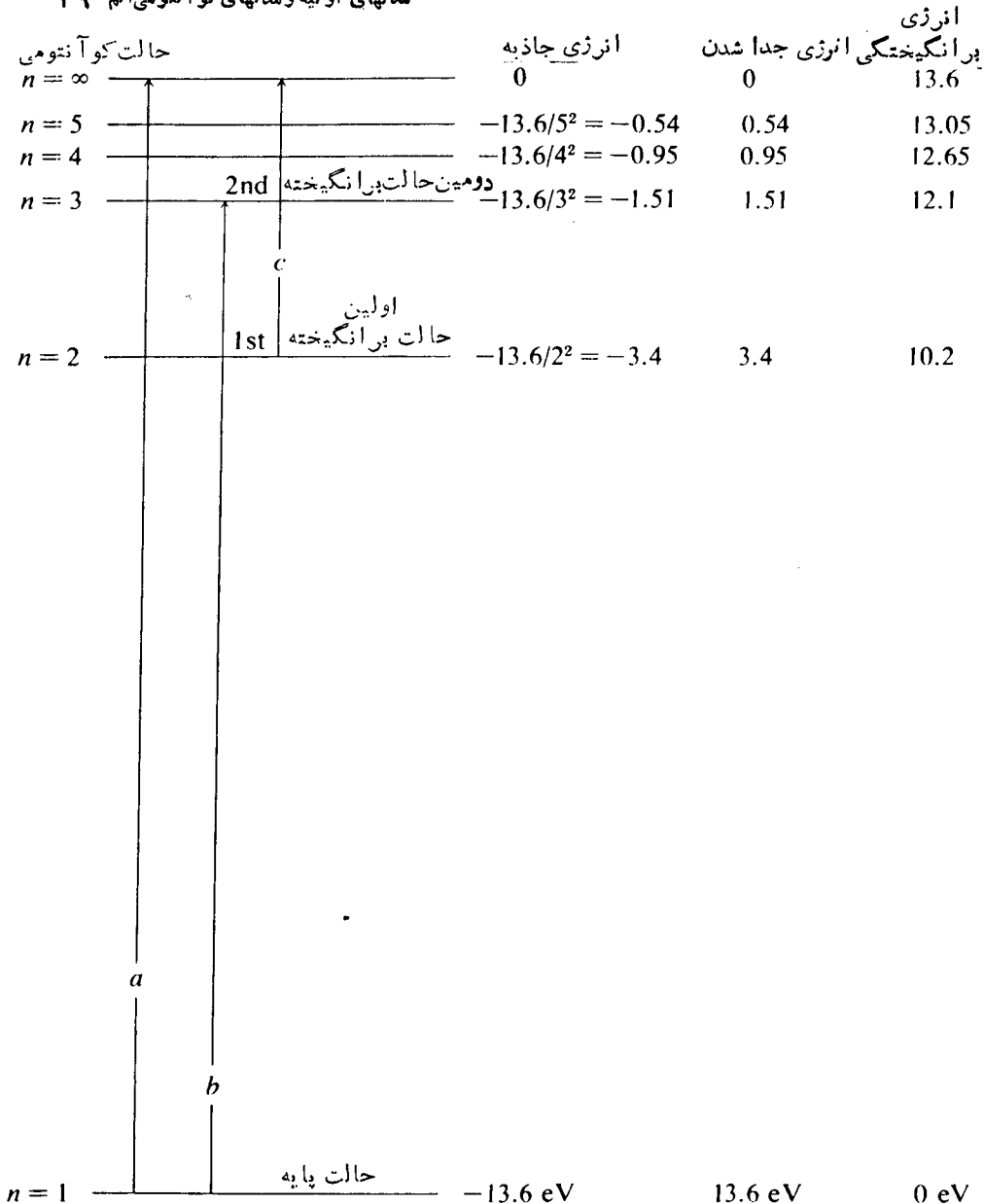
(الف)

$$r_{(2)} = a_0 \cdot n^2$$

$$= 5529 \times 10^{-8} \text{ cm} \times 2^2 = 2512 \times 10^{-8} \text{ cm}$$

$$F = \frac{e^2}{r^2}$$

مدهای اولیه و مدهای کوآنتومی اتم ۳۹



شکل ۲-۲ نمودار ترازهای انرژی، انرژیهای برانگیختگی و انرژی لازم برای جداشدن الکترون بر روی ترازهای انرژی اتم هیدروژن. خط a نشان‌دهنده انرژی یونیزاسیون (۱۳.۶ eV) و خط b نشان‌دهنده انرژی لازم برای ایجاد دومین حالت برانگیخته (۱۲.۱ eV) و خط c نشان‌دهنده انرژی جدا شدن الکترون از اولین حالت برانگیخته (۱۰.۲ eV) است.

$$= \frac{(4\pi\epsilon_0 \times 10^{-10} \text{ esu})^2}{(2r_{12} \times 10^{-8} \text{ cm})^2} = 5.13 \times 10^{-4} \text{ dyne}$$

$$V_{(2)} = -\frac{e^2}{r_{(2)}} \quad (b)$$

$$V_{(2)} = -\frac{(4\pi\epsilon_0 \times 10^{-10} \text{ esu})^2}{2r_{12} \times 10^{-8} \text{ cm}} = -1.09 \times 10^{-11} \text{ erg}$$

ج) با توجه به رابطه ۱۲-۲ داریم:

$$E_k = \frac{e^2}{2r}$$

$$E_k = \frac{(4\pi\epsilon_0 \times 10^{-10} \text{ esu})^2}{2 \times 2r_{12} \times 10^{-8} \text{ cm}} = 5.43 \times 10^{-12} \text{ erg}$$

(c)

$$\begin{aligned} E_T = V + E_k &= -1.09 \times 10^{-11} \text{ erg} + 5.43 \times 10^{-12} \text{ erg} \\ &= -1.09 \times 10^{-11} \text{ erg} + 5.43 \times 10^{-12} \text{ erg} \\ &= -5.47 \times 10^{-11} \text{ erg} \end{aligned}$$

تمرین ۳-۲

فاصله اولین و دومین تراز برانگیخته را در اتم هیدروژن بر حسب آنگستروم و نیز ازنظر انرژی بر حسب الکترون ولت حساب کنید.

حل:

چون مقدار n برای اولین و دومین تراز برانگیخته به ترتیب برابر ۲ و ۳ است، پس می‌توان نوشت:

$$r_{(n)} = a_0 (n)^2$$

$$r_{(2)} = a_0 (2)^2 = 0.529 \text{ Å} \times 4 = 2.12 \text{ Å}$$

$$r_{(3)} = a_0 (3)^2 = 0.529 \text{ Å} \times 9 = 4.76 \text{ Å}$$

$$\Delta r = r_{(3)} - r_{(2)} = (4.76 - 2.12) \text{ Å} = 2.64 \text{ Å}$$

$$E_{(2)} = -E_{(1)} \times \frac{1}{\sqrt[4]{2}} = -13.6 \text{ eV} \times \frac{1}{\sqrt[4]{2}} = -3.40 \text{ eV}$$

$$E_{(3)} = -E_{(1)} \times \frac{1}{\sqrt[5]{2}} = -13.6 \text{ eV} \times \frac{1}{\sqrt[5]{2}} = -1.51 \text{ eV}$$

$$\Delta E = E_{(r)} - E_{(1)} = -1.51 \text{ eV} - (-3.40 \text{ eV}) = 1.89 \text{ eV}$$

تمرین ۲

انرژی لازم برای اینکه الکترون در اتم هیدروژن از حالت پایه به سوی تراز بر انگیخته ارتقاء یابد و انرژی لازم برای جدا شدن الکترون در این حالت بر انگیخته را بر حسب eV و کیلوکالری بر مول حساب کنید.

حل :

چون برای سویی تراز بر انگیخته $n=4$ است، انرژی لازم برای ارتقاء الکترون از حالت پایه به سوی تراز بر انگیخته عبارت است از:

$$E_{exc} = E_{(4)} - E_{(1)} = -13.60 \text{ eV} \times \frac{1}{\sqrt[4]{2}} - (-13.60 \text{ eV} \times \frac{1}{\sqrt[1]{1}}) \\ = -0.85 \text{ eV} + 13.60 \text{ eV} = 12.75 \text{ eV}$$

چون هر الکترون ولت برای 23.06 eV کیلوکالری بر مول است، می‌توان نوشت:

$$E_{exc} = 12.75 \text{ eV} \times \frac{23.06 \text{ kcal/mol}}{1 \text{ eV}} = 294.0 \text{ kcal/mol}$$

در مورد انرژی یونیزاسیون اتم هیدروژن در این شرایط، می‌توان نوشت:

$$E_{ion} = E_{(\infty)} - E_{(1)} = -13.60 \text{ eV} \times \frac{1}{\infty^2} - (-13.60 \text{ eV} \times \frac{1}{\sqrt[1]{2}}) \\ = 0.85 \text{ eV}$$

$$= 0.85 \text{ eV} \times \frac{23.06 \text{ kcal/mol}}{1 \text{ eV}} = 19.6 \text{ kcal/mol}$$

تمرین ۵-۲

انرژی یونیزاسیون اتم هیدروژن را بر اساس نظریه اتمی بوهر حساب کنید (بر حسب الکترون ولت).

حل :

چون انرژی یونیزاسیون ، مقدار انرژی لازم برای ارتقاء الکترون از حالت پایه به فاصله بینهایت دور از هسته اتم است، از این‌رو ، در مورد اتم هیدروژن می‌توان نوشت:

$$E_{ion} = E_{(\infty)} - E_{(1)} = -13.6 \text{ eV} \times \frac{1}{\infty^2} - (-13.6 \text{ eV}) = 13.6 \text{ eV}$$

۳-۲ توجیه چگونگی پیدایش سریهای خطوط طیف‌نشری اتم هیدروژن
قابل توجه است که وقتی بوهر نظریه اتمی خودرا ارائه داده بود ، برخی از نکات در آن مبهم به نظر می‌رسید. این مسأله پذیرفته شدن نظریه بوهر را توسط دانشمندان با اشکالاتی مواجه کرده بود. برای روشن شدن موضوع ، به دو نمونه از این ابهامات و ارادات اشاره می‌شود:

۱) وقتی که بوهر نظریه کلاسیک در مورد تابهای الکترومغناطیسی (یعنی اینکه هر ذره باردار نوسان کننده ، انرژی خودرا به طور پیوسته و تدریجی تا بش می‌کند) را که تنها روش توجیه تابش یک ذره باردار نوسان کننده نظیر الکترون در اتم بود کنار گذاشت و تابش انرژی بوسیله‌ای اتم را به تغییر سطح انرژی الکترون از مدار ایستاده‌ای به مدار ایستاده دیگر نسبت داد ، درباره مکانیسم آن توضیحی نداده بود.

۲) بوهر به طور دلخواه ، هر جا که ضرورت ایجاد کرده بود ، علاوه بر مکانیک کوآنتمویی ، از مکانیک کلاسیک نیز در تدوین نظریه خود و به دست آوردن نتایج نهایی از آن ، استفاده کرد. با توجه به این ایرادها ، وی به معیار و ملاکی بسیار روشن و قانع کننده نیاز داشت تا پذیرش قطعی نظریه خویش را عملی سازد. هنگامی که موفق شد روابط طیفی که قبل از طریق تجربی توسط طیف‌شناسان کشف شده بود (روابط ۱۶-۱ و ۱۷-۱) را از طریق محاسبات متکی بر نظریه اتمی خود به دست آورد و دلیل تشکیل هر خط طیفی و چگونگی پیدایش سریهای مشخص از خطوط طیفی در طیف‌نشری اتم هیدروژن را توجیه کند ، توансست یکی از روشن‌ترین ملاک درستی نظریه خود را ارائه داده و همگان را به پذیرش آن وارد کرد. هنگامی که هیدروژن در دستگاه طیف‌نما ، تحت تأثیر تابهای الکترومغناطیسی

(گرمایی، نورانی و...) قرار می‌گیرد، بر اساس پذیره دوم بوهر، هر اتم، آن کوآنتموم انرژی معینی از این تابشها را که با تفاوت سطح انرژی دو تراز مشخصی از آن، برای است، جذب می‌کند و متناسب با آن کوآنتموم انرژی جذب شده، از حالت پایه به سطح انرژی بالاتری که اصطلاحاً سطح انرژی (یا حالت) برانگیخته نامیده می‌شود ارتقاء می‌یابد. از آنجایی که زمان ماندن آن در سطح انرژی بالاتر فوق العاده کوتاه است، به سطح انرژی پایین تر باز می‌گردد و تفاوت انرژی دو سطح را به صورت یک کوآنتموم انرژی (یک پرتو تکر نگش) تابش می‌کند که به صورت یک خط طیفی با طول موج معین، در طیف نمای مشخص می‌شود. از این رو، با استفاده از روابط ۲-۲ و ۱۵-۲ می‌توان نتیجه گرفت که:

$$hv = \frac{2\pi^2 me^4}{h^3} \left(\frac{1}{n_1^2} - \frac{1}{n_2^2} \right)$$

و یا :

$$v = \frac{2\pi^2 me^4}{h^3} \left(\frac{1}{n_1^2} - \frac{1}{n_2^2} \right) \quad (17-2)$$

اگر به جای پارامترهای رابطه ۱۷-۲، مقدار عددی هر یک از آنها قرار داده شود، رابطه ۱۷-۱ به دست می‌آید که قبل از توسط طیف شناسان کشف شده بود.
با توجه به مفهوم عدد موجی و رابطه آن با فرکانس سرعت تابش‌های الکترومغناطیسی، می‌توان نوشت:

$$\bar{v} = \frac{2\pi^2 me^4}{Ch^3} \left(\frac{1}{n_1^2} - \frac{1}{n_2^2} \right) \quad (18-2)$$

اگر در این رابطه، به جای پارامترها، مقدار عددی هر یک از آنها را قرار دهیم، رابطه ۱۶-۱ به دست می‌آید. یعنی همان رابطه‌ای که از طریق تجربی توسط طیف شناسان در مورد عدد موجی کشف شده بود.

تمرین ۶-۳

با مقایسه روابط ۱۶-۱ و ۱۸-۲ مقدار عددی ثابت ریدبرگ را برای اتم هیدروژن حساب کنید

حل:

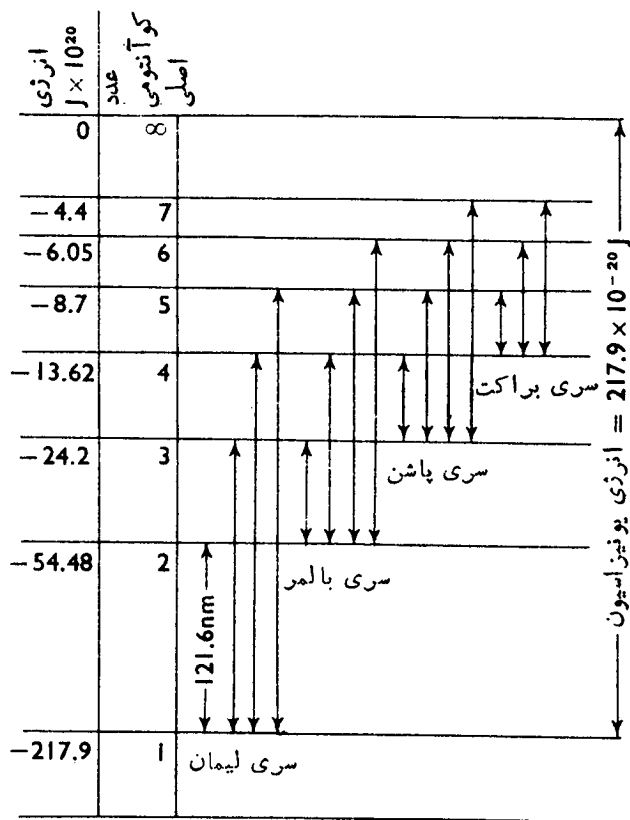
با مقایسه این دو رابطه می‌توان نوشت:

$$\begin{aligned}
 R_H &= \frac{2\pi^2 me^4}{ch^3} \\
 &= \frac{2(351416)^2 \times 10^{-19} C \times \frac{9.4805 \times 10^4 \text{ kg}^{1/2} \cdot \text{m}^{3/2} \cdot \text{s}^{-1}}{1C}}{2.9979 \times 10^8 \text{ m} \cdot \text{s}^{-1} \times 10^{-44} \text{ J} \cdot \text{s})^3} \\
 &= 10975 \times 10^3 \text{ kg}^3 \text{ m}^6 \text{ s}^{-9} / \text{m}^3 = 10975 \times 10^3 \text{ m}^{-1} \\
 &= 10975 \times 10^3 \text{ m}^{-1} \times \frac{1 \text{ m}}{100 \text{ cm}} = 109750 \text{ cm}^{-1}
 \end{aligned}$$

بوهر از این واقعیت که هر خط طیفی نشانه انتقال الکترون از یک سطح انرژی مجاز به سطح انرژی مجاز دیگر است، استفاده کرد. در توجیه پیدایش خطوط متعدد طیفی و سریهای مشخصی از این خطوط در طیف نشری اتم هیدروژن، چنین نظرداد که سطح برانگیختگی در همه اتمهای هیدروژن یکسان نیست. به علاوه، در هر اتم برانگیخته بسته به این که الکترون در بازگشت از سطح انرژی که در آن قرار دارد، به کدام سطح انرژی پایین تر سقوط کند، کوآنتم اثری مشخصی تابش می‌شود و خط طیفی مشخصی در طیف نما ظاهر می‌شود. چون تعداد اتمها در یک نمونه مورد بررسی فوق العاده زیادند، از این رو، تعداد خطوط طیفی نیز زیاد بوده و مطابق آنچه که در شکل ۳-۲ نشان داده شده است، می‌توان به منشاء هرسری از خطوط طیفی که توسط طیف‌شناسان در طیف نشری اتم هیدروژن کشف شده بود و با نظریه بوهر نیز مطابقت داشت، پی‌برد، شکل ۳-۲ نمایش جهش‌های الکترونی که پیدایش سری پنجگانه خطوط طیف نشری اتم هیدروژن را توجیه می‌کند، را نشان می‌دهد.

همان‌طور که در فصل اول اشاره شد، باید توجه داشت که فقط سریهای طیفی بالمر و پاشن قبل از ارائه نظریه بوهر شناخته شده بودند. سریهای دیگر، بعد از آن و تا سال ۱۹۲۴ (سال کشف سری فوند) به تدریج در طیف نشری اتم هیدروژن کشف شدند. در جدول ۱-۲ اندازه طول موج خطوط طیفی سریهای پنجگانه طیف نشری اتم هیدروژن، داده شده است.

همان‌طور که ملاحظه می‌شود، نتایجی که از طریق محاسبات متکی بر اصول نظریه اتمی بوهر به ویژه در مورد طیف نشری اتم هیدروژن به دست آمد با نتایجی که از طریق تجربی توسط طیف‌شناسان قبل از بیان این نظریه ارائه شده بود، هماهنگی کامل دارد. به بیان دیگر، بوهر برای بررسیها و نتایج تجربی محض طیف‌شناسان، پایه نظری محکمی



شکل ۳-۲ نمایش جهش‌های الکترونی سری پنجگانه خطوط طیف‌نشری اتم هیدروژن

ارائه داد و یا بهینانی دیگر، آنچه که طیف‌شناسان از طریق تجربی به دست آورده بودند، پشتونه تجربی محکمی برای درستی نظریه بوهر محسوب شده، پذیرش و اعتبار جهانی آن را موجب شد.

تمرین ۷-۲

فرکانس سه خط طیفی اول از سری لیمان را (بر حسب cm^{-1}) حساب کنید.

حل :

با توجه به اینکه برای خطوط طیفی این سری $n_1 = 1$ و برای سه خط طیفی اول n_2 به ترتیب برابر ۲، ۳ و ۴ است. با توجه به رابطه $18-۲$ ، می‌توان نوشت:

$$\nu = R_H \left(\frac{1}{n_1^2} - \frac{1}{n_2^2} \right)$$

جدول ۱-۳ - مقادیر n_1 ، n_2 و طول موج خطوط طیفی اتم هیدروژن

ناحیه تابشی	طول موج (Å)	n_2	n_1	سریهای طیفی
فرانفس	۹۳۸	۶	۱	
	۹۵۰	۵	۱	
	۹۷۳	۴	۱	لیسان
	۱۰۲۶	۳	۱	
	۱۲۱۶	۲	۱	
مرقی	۳۹۷۰	۷	۲	
	۴۱۰۲	۶	۲	
	۴۳۴۰	۵	۲	بالمر
	۴۸۶۱	۴	۲	
	۶۵۶۳	۳	۲	
زیر قرمز نزدیک	۹۵۴۶	۸	۳	
	۱۰۰۵۰	۷	۳	
	۱۰۹۳۸	۶	۳	پاشن
	۱۲۸۱۸	۵	۳	
	۱۸۷۵۱	۴	۳	
زیر قرمز میانی	۲۶۳۰۰	۶	۴	براکت
	۴۰۵۰۰	۵	۴	
زیر قرمز دور	۷۴۰۰۰	۶	۵	فوند

$$\nu = 109750 \text{ cm}^{-1} \left(\frac{1}{n_1^2} - \frac{1}{n_2^2} \right) = 109750 \left(1 - \frac{1}{4} \right) = 82313 \text{ cm}^{-1}$$

$$\nu = 109750 \text{ cm}^{-1} \left(\frac{1}{n_1^2} - \frac{1}{n_3^2} \right) = 109750 \left(1 - \frac{1}{9} \right) = 97556 \text{ cm}^{-1}$$

$$\nu = 109750 \text{ cm}^{-1} \left(\frac{1}{n_1^2} - \frac{1}{n_4^2} \right) = 109750 \left(1 - \frac{1}{16} \right) = 102891 \text{ cm}^{-1}$$

تمرین ۸-۲

فرکانس اولین و آخرین خط طیفی از سری براکت را (بر حسب هرتز) حساب کنید.

حل:

با توجه به اینکه برای خطوط این سری $n_2 = 4$ و n_1 برای اولین خط و آخرین خط به ترتیب ۵ و ∞ است، با استفاده از رابطه ۲-۱۷، می‌توان نوشت:

$$\nu = \frac{(1.6022 \times 10^{-19} \text{ C} \times \frac{9.4805 \times 10^3 \text{ kg}^{1/2} \cdot \text{m}^{3/2} \cdot \text{s}^{-1}}{1 \text{ C}})}{\left((6.626 \times 10^{-34} \text{ J} \cdot \text{s} \times \frac{1 \text{ Kg} \cdot \text{m}^{3/2} \cdot \text{s}^{-4}}{1 \text{ J}}) \right)^2}$$

$$= 3.291 \times 10^{15} \frac{\text{kg}^{1/2} \cdot \text{m}^{9/2} \cdot \text{s}^{-4}}{\text{kg}^{1/2} \cdot \text{m}^{9/2} \cdot \text{s}^{-2}} = 3.291 \times 10^{15} \text{ s}^{-1} = 3.291 \times 10^{15} \text{ Hz}$$

بنابراین داریم:

$$\nu = 3.291 \times 10^{15} \text{ Hz} \left(\frac{1}{n_1^2} - \frac{1}{n_2^2} \right)$$

$$\nu = 3.291 \times 10^{15} \text{ Hz} \left(\frac{1}{4^2} - \frac{1}{5^2} \right) = 7.5405 \times 10^{13} \text{ Hz}$$

$$\nu = 3.291 \times 10^{15} \text{ Hz} \left(\frac{1}{4^2} - \frac{1}{\infty^2} \right) = 2.057 \times 10^{14} \text{ Hz}$$

تمرین ۹-۲

عدد موجی، طول موج (بر حسب Å) و انرژی (بر حسب الکترون ولت) فوتونی

که بر اثر سقوط الکترون از چهارمین تراز بـ انگیخته اتم هیدروژن به اولین تراز بـ انگیخته آن، تابش می‌شود، را حساب کنید. خط طیفی مر بوط به چنین تابشی در کدام ناحیه تابش‌های الکترومنناطیسی قرار داشته، به کدام سری از خطوط طیفی مر بوط بوده و چندمین خط از آن سری است.

حل:

با استفاده از رابطه ۲-۱۸ و به کار بردن ثابت ریدبرگ، می‌توان نوشت:

$$\bar{v} = \frac{4\pi^2 me^4}{Ch^3} \left(\frac{1}{2^2} - \frac{1}{5^2} \right) = 109750 \left(\frac{1}{4} - \frac{1}{25} \right) \text{cm}^{-1}$$

$$= 23048 \text{cm}^{-1}$$

$$\lambda = \frac{1}{\bar{v}} = \frac{1}{23048 \text{cm}^{-1}} = 43387 \times 10^{-5} \text{cm} \times \frac{10^8 \text{\AA}}{1 \text{cm}} = 43387 \text{\AA}$$

$$E = hc\bar{v} = 66626 \times 10^{-47} \text{erg.s} \times 299929 \times 10^{10} \text{cm.s}^{-1} \times 23048 \text{cm}^{-1}$$

$$= 4578 \times 10^{-12} \text{erg} \times \frac{1 \text{eV}}{16022 \times 10^{-12} \text{erg}} = 2857 \text{eV}$$

با توجه به مقدار طول موج این تابش و شکل ۱-۱، خط طیفی آن در ناحیه مرئی تابش‌های الکترومنناطیسی قرار دارد. این خط طیفی به سری بالمر تعلق دارد و با توجه به مقدار $n_2 = 5$ می‌توان دریافت که سومین خط این سری است.

تمرین ۱۰-۳

عدد موجی و طول موج (بر حسب \AA) تابشی که انرژی فوتون آن برابر ۱۳۵۳۵ الکترون ولت است را حساب کنید و معلوم دارید که این تابش به کدام ناحیه از تابش‌های الکترومنناطیسی تعلق دارد و به جهش و سقوط الکترون بین کدام دو تراز انرژی در اتم هیدروژن مر بوط می‌شود.

حل:

$$E = hc\bar{v}$$

$$13535 \text{eV} \times \frac{16022 \times 10^{-12} \text{erg}}{1 \text{eV}} =$$

$$= ۶۴۲۶ \times 10^{-۲۷} \text{erg} \times ۲۰۹۹۷۹ \times 10^{۱۰} \text{cm} \cdot \text{s}^{-1} \times \bar{\nu}$$

$$\bar{\nu} = ۱۵۷۷ \times 10^5 \text{cm}^{-1}$$

$$\lambda = \frac{1}{\bar{\nu}} = \frac{1}{۱۵۷۷ \times 10^5 \text{cm}^{-1}} = ۶۴۲۸۵ \times 10^{-۷} \text{cm}$$

$$= ۶۴۲۸۵ \times 10^{-۷} \text{cm} \times \frac{10^8 \text{\AA}}{1 \text{cm}} = \\ = ۶۴۲۸۵ \times 10^4 \text{\AA}$$

با توجه به اندازه طول موج این تابش، می‌توان دریافت که در ناحیه فرابنفش تابش‌های الکترومغناطیسی قرار دارد و خط طیفی مربوط به آن به سری لیمان تعلق دارد. چون برای سری لیمان $n_1 = 1$ است، می‌توان مقدار n_2 را حساب کرد:

$$\bar{\nu} = R_H \left(\frac{1}{1^2} - \frac{1}{n_2^2} \right) \quad (\text{برای سری لیمان})$$

$$1577 \times 10^5 \text{cm}^{-1} = 1597 \times 10^5 \text{cm}^{-1} \left(\frac{1}{1^2} - \frac{1}{n_2^2} \right)$$

$$n_2 \approx 7$$

پس این تابش بهجهش و سقوط الکترون بین حالت پایه ($n = 1$) و تراز هفتم مربوط است.

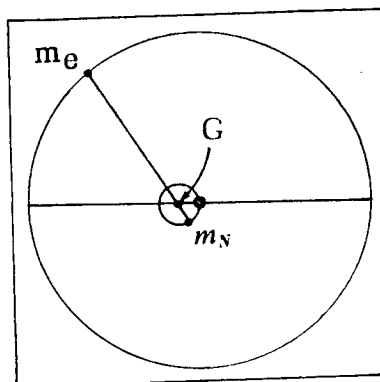
۴-۳ کاربرد جرم کاهش یافته

قابل توجه است که با وجود همانگی کامل نظریه اتمی بوهر با نتایج تجربی طیف‌شناسان، بین مقدار ثابت ریدبرگ برای اتم هیدروژن ($1096775811 \pm 50057 \text{cm}^{-1}$) و مقداری که برای آن براساس نظریه اتمی بوهر از روی رابطه (۱۷-۲) به دست می‌آید (109750cm^{-1}) تفاوت جزئی (حدود 73cm^{-1}) وجود دارد. دلیل این تفاوت عمدتاً مربوط به این است که بوهر مانند رادرفورد، الکترون را ذره‌ای متحرک و هسته را جزئی ساکن در اتم فرض می‌کرد. از این‌رو، در روابط و محاسبات مربوط به شعاع و انرژی الکترون فقط جرم الکترون را تأثیرداده بود. زیرا در آن زمان تصور براین بود که جرم هسته در مقایسه با جرم الکترون، فوق العاده زیادتر است. با چنین تصوری، فرض براین بود که هسته دقیقاً در مرکز اتم قرار داشته و الکترون به دور محوری که از مرکز هسته می‌گذرد، به دور آن می‌چرخد. از این‌رو، بوهر از حرکت هسته و تأثیر جرم آن بر شعاع و انرژی جبتشی

الکترون صرفنظر کرده، در حقیقت انرژی جنبشی سیستم را بر اساس رابطه زیر در نظر گرفته بود*

$$E_K = \frac{1}{2} I \omega^2 = \frac{1}{2} m r^2 \omega^2 \quad (19-2)$$

I گشتاور لختی ($= mr^2$)، ω سرعت زاویه‌ای و r شعاع مدار حرکت الکترون است. واقعیت این است که جرم هسته در مقابل جرم الکترون آن اندازه‌زیادتر نیست که بتوان فرض فوق را قبول کرد. بلکه، نه تنها الکترون، بلکه هسته اتم نیز دور محور مشترکی که مطابق شکل ۱۹-۲ از مرکز نقل آن دو می‌گذرد، می‌چرخد. در حقیقت، این مرکز نقل آن دو است که ساکن است. در این صورت، علاوه بر جرم الکترون، باید جرم هسته (m_N) را



شکل ۱۹-۲ نمایش حرکت الکترون و هسته به دور مرکز نقل (G) اتم هیدروژن

نیز در محاسبات مربوط منظور کرد و به جای جرم الکترون، نسبت حاصلضرب جرم الکترون در جرم هسته (m_N) به حاصل جمع این دو جرم را که به صورت رابطه زیر است، به کار برد:

$$E_K = \frac{1}{2} m_e v_e^2 + \frac{1}{2} m_N v_N^2 = \frac{1}{2} (m_e r_1^2 + m_N r_2^2) \omega^2 \quad (20-2)$$

و از آنجا می‌توان نتیجه گرفت که:

* در مورد انرژی جنبشی ذره، در حرکت دورانی داریم:

$$\frac{1}{2} m v^2 = \frac{1}{2} m(r\omega)^2 = \frac{1}{2} m r^2 \omega^2 = \frac{1}{2} I \omega^2$$

$$I = \left(\frac{m_e m_N}{m_e + m_N} \right) r^2 \quad (21-2)$$

مقدار $\frac{m_e m_N}{m_e + m_N}$ را اصطلاحاً «جرم کاهش یافته» می‌نامند و با μ یا m نشان می‌دهند که برای اتم هیدروژن مقدار آن $10^{-28} \times 10^{46} \times 99$ گرم است (به تمرین ۱۱-۲ رجوع شود).

با توجه به این مطالب و به منظور دقت بیشتر، تمام روابطی را که براساس نظریه اتمی بوهر برای اتم هیدروژن، به دست آورده‌ایم، باید مورد تجدید نظر قرارداده و در آنها به جای m ، جرم کاهش یافته الکترون هسته‌های (م)، را منظور کنیم. از این‌رو، مثلاً، رابطه ۲۱-۲ را باید به صورت زیر، اصلاح کنیم:

$$r = \frac{2\pi^2 \mu e^4}{ch^3} \left(\frac{1}{n_1^2} - \frac{1}{n_2^2} \right) \quad (22-2)$$

که براساس آن مقدار ثابت ریدبرگ برای cm^{-1} 1096898 به دست می‌آید (به تمرین ۱۱-۲ رجوع شود) که تفاوت آن با مقدار تجربی، از $1252 cm^{-1}$ به $7254 cm^{-1}$ کاهش می‌یابد. در نتیجه، دقت بیشتری در محاسبات حاصل می‌شود.

تمرین ۱۱-۳

جرم کاهش یافته را برای اتم‌های هیدروژن، دوتریم و He^+ و مقدار R_H را حساب کنید (جرم پروتون، نوترون و هسته دوتریم به ترتیب برای $10^{-24} \times 10^{46} \times 10^{46} \times 10^{46} \times 10^{46} \times 10^{46} \times 10^{46}$ گرم و جرم هسته هلیم برای $10^{-24} \times 10^{46} \times 10^{46} \times 10^{46} \times 10^{46} \times 10^{46}$ گرم است).

حل:

برای هیدروژن (${}_1^1H$) داریم:

$$\mu = \frac{9 \times 10^{46} \times 10^{-28} g \times 10^{46} \times 10^{-24} g}{9 \times 10^{46} \times 10^{-28} g + 10^{46} \times 10^{-24} g} = 9 \times 10^{46} \times 10^{-28} g$$

$$R_H = \frac{2\pi^2 \mu e^4}{ch^3} = \frac{2(3 \times 10^{46})(9 \times 10^{46}) \times 10^{-28} g \times (4 \times 10^{46} \times 10^{-10} esu)^4}{(2 \times 10^{46} \times 10^{-28} erg \cdot s)^3}$$

$$= 109684 cm^{-1}$$

در مورد دو تریم (^2H) نیز می‌توان نوشت:

$$\mu = \frac{۹۰۱۰۹۶ \times 10^{-۲۸}\text{g} \times ۳۵۳۴۲۳ \times 10^{-۲۴}\text{g}}{۹۰۱۰۹۶ \times 10^{-۲۸}\text{g} + ۳۵۳۴۲۳ \times 10^{-۲۴}\text{g}} = ۹۰۱۰۷۱ \times 10^{-۲۸}\text{g}$$

برای یون He^+ نیز داریم:

$$\mu = \frac{۹۰۱۰۹۶ \times 10^{-۲۸}\text{g} \times ۶۶۶۴۴۰ \times 10^{-۲۴}\text{g}}{۹۰۱۰۹۶ \times 10^{-۲۸}\text{g} + ۶۶۶۴۴۰ \times 10^{-۲۴}\text{g}} = ۹۰۱۰۸۴ \times 10^{-۲۸}\text{g}$$

۵-۳ تعمیم نظریه بوهر به یونهای هیدروژن - مانند

با توجه به اینکه یونهای هیدروژن - مانند (He^+ ، Li^{2+} ، Be^{3+} و ...) فقط یک الکترون دارند و تنها تفاوت آنها با هیدروژن در مقدار بارهسته (Z) است که بزرگتر از واحد است، تمام روابطی را که براساس نظریه بوهر برای اتم هیدروژن بدست می‌آید، به یونهای هیدروژن - مانند نیز می‌توان تعمیم داد. به شرط اینکه بارهسته آنها در این روابط منظور شود. مثلاً در مورد انرژی الکترون در تراز اصلی این نوع یونها، با درنظر گرفتن جرم کاهش یافته، رابطه ۱۵-۲ را می‌توان به صورت زیر نوشت:

$$E_{(n)} = -\frac{2\pi^2 \mu e^4 Z^2}{n^2 h^2} \quad (۲۳-۲)$$

تمرین ۱۲-۳

انرژی الکترون را در حالت پایه یون هیدروژن - مانند He_2^+ حساب کنید،

$$(\mu = ۹۰۱۰۸۴ \times 10^{-۲۸}\text{g})$$

حل :

با استفاده از رابطه ۲-۲۳ می‌توان نوشت،

$$E_{(1)} = -\frac{2 \times (۳۵۱۴۱۶) \times (۴۰۸۰۳۳ \times 10^{-۱۰}\text{esu})^4 \times ۲}{1^2 \times (۶۶۶۴۴۰ \times 10^{-۲۷}\text{erg.s})^2} \\ = -۸۰۷۱۹ \times 10^{-۱۱}\text{erg}$$

قابل توجه است که نظریه اتمی بوهر را می‌توان به طور تقریبی به اتمهای چند الکترونی

نسبتاً سبک‌تر تعمیم داد. بدشرط اینکه به جای بار حقیقی هسته (Z)، باد موثر هسته (Z^*) اتم آنها را در روابط بوهر درمورد یونهای هیدروژن - مانند منظور کرد.*. مثلاً، درمورد محاسبه شعاع و انرژی ترازها دراین اتمها، باید از روابط زیر استفاده شود:

$$r_{(n)} = \frac{n^2 h^2}{4\pi^2 \mu e^2 Z^*} \quad (24-2)$$

$$E_{(n)} = -\frac{2\pi^2 \mu e^4 Z^{*2}}{n^2 h^2} \quad (25-2)$$

تمرین ۱۳-۲

با توجه به اینکه بار موثر هسته لیتیم (${}^3_3\text{Li}$) برابر ۱۵۲۸ و جرم هسته آن برابر ۱۶۰۷ واحد اتمی جرم است، اندازه شعاع (بر حسب \AA) تراز اصلی (حالت پایه) و انرژی الکترون را (بر حسب الکترون ولت) دراین تراز اتم لیتیم حساب کنید.

حل:

به منظور دقت بیشتر در محاسبه، ابتدا باید جرم کاهش یافته سیستم را حساب کرد:

$$m_N = ۷۹۰۱۶\text{amu} \times \frac{۱۱۶۰۵ \times ۱۰^{-۲۴}\text{g}}{۱\text{amu}} = ۱۱۶۵ \times ۱۰^{-۲۴}\text{g}$$

$$\mu = \frac{۹۰۱۰۹۶ \times ۱۰^{-۲۸}\text{g} \times ۱۱۶۵ \times ۱۰^{-۲۴}\text{g}}{۹۰۱۰۹۶ \times ۱۰^{-۲۸}\text{g} + ۱۱۶۵ \times ۱۰^{-۲۴}\text{g}} = ۹۰۱۰۹ \times ۱۰^{-۲۸}\text{g}$$

حال، با استفاده از این مقدار می‌توان اندازه شعاع تراز اصلی و انرژی الکترون را دراین تراز حساب کرد:

$$r_{(2)} = \frac{n^2 h^2}{4\pi^2 \mu e^2 Z^*}$$

$$= \frac{۲^۲ \times (۶۶۶۲۶ \times ۱۰^{-۳۴}\text{J.s})^۲}{۴ \times (۳۰۱۴۱۶)^۲ \times ۱۰^{-۲۸}\text{kg} \times (۱۱۶۰۲۲ \times ۱۰^{-۱۹}\text{C}) \times \frac{۹۰۴۸۰۵ \times ۱۰^۴\text{kg}^{۱/۲} \cdot \text{m}^{۱/۲} \cdot \text{s}^{-۱}} \times (۱۵۲۸)$$

$$= ۱۶۰۵۳۶ \times ۱۰^{-۱۱}\text{m} \times \frac{۱\text{\AA}}{1\text{m}} = ۱۶۰۵۳۶ \times ۱۰^{-۱۱}\text{m} \times ۱\text{\AA} = ۱۶۰۵۳۶ \times ۱۰^{-۱۱}\text{m} \times ۰.۱\text{\AA} = ۱۶۰۵۳۶ \times ۱۰^{-۱۲}\text{\AA} \quad (\text{مقدار تجربی آن } ۱۶۰۵۳۶ \times ۱۰^{-۱۲}\text{\AA} \text{ است})$$

* در مورد مفهوم و روش‌های محاسبه بارهای هسته بخش ۳-۴ رجوع شود.

$$\begin{aligned}
 E_{(2)} &= -\frac{2\pi^2\mu e^4 Z^{*2}}{n^2 h^2} \\
 &= -\frac{2 \times (3 \times 10^{14} \text{eV}) \times 10^{-19} \text{C} \times \frac{9.4805 \times 10^3 \text{kg}^{1/2} \cdot \text{m}^{3/2} \cdot \text{s}^{-1}}{1 \text{C}}}{2^2 \times (6.626 \times 10^{-34} \text{J} \cdot \text{s})^2} \\
 &= -8.930 \times 10^{-19} \text{J} \\
 &= -8.930 \times 10^{-19} \text{J} \times \frac{1 \text{eV}}{1.6022 \times 10^{-19} \text{J}} = -5.574 \text{eV}
 \end{aligned}$$

۶-۳ بسط نظریه بوهر-نظریه اتمی سامر فلد

هر چند که نظریه اتمی بوهر در بسیاری از زمینه‌ها، از جمله تعیین اندازه شعاع، سرعت، انرژی الکترون در ترازهای مجاز، محاسبه طول موج، فرکانس و انرژی مربوط به خطوط طیفی، سریهای متفاوت خطوط طیف نشری اتم هیدروژن و یونهای هیدروژن-مانند، از موافقیت کامل برخوردار بود، ولی در برخی از موارد با اشکالاتی مواجه شد.

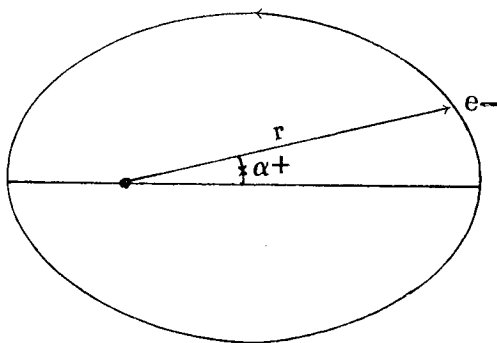
اولین اشکالی که نظریه بوهر با آن روبرو شد، این بود که بوهر فقط وجود خطوط طیفی منفردی را پیش‌بینی کرده بود که هر کدام به جهش و سقوط الکترون بین دو سطح انرژی معینی در اتم مربوط می‌شود. هر چند که در زمان ارائه نظریه وی رویداد دیگری در طیف نشری اتم هیدروژن و یا یونهای هیدروژن-مانند، مشاهده نشده بود، اما با توسعه تکامل دستگاه‌های طیف‌نما و افزایش قدرت تشخیص آنها، معلوم شد که این خطوط طیفی منفرد نبوده بلکه غالباً هر یک از آنها، اجتماعی از تعداد معین خطوط بسیار نزدیک به یکدیگرند. این رویداد که چند گانگی خطوط طیفی نامیده شده است، بر اساس نظریه بوهر قابل توجیه نبود. زیرا، مشاهده این خطوط نزدیک به یکدیگر، نشان می‌دهد که به جای یک سطح انرژی برای هر عدد کوآنتومی n ، باید چند سطح انرژی مجاز نزدیک به یکدیگر (سطوح فرعی) در اطراف هسته اتم وجود داشته باشد. به عبارت دیگر، برخلاف آنچه که بوهر پیش‌بینی کرده بود، انرژی الکترون دقیقاً بادر نظر گرفتن یک عدد کوآنتومی n دقیقاً مشخص نمی‌شود، بلکه برای این منظور باید عدد کوآنتومی دیگری نیز در نظر گرفت تا بتوان بر اساس آن، انرژی الکترون را در هر یک از سطوح فرعی انرژی مربوط به هر سطح اصلی انرژی، معین کرد.

مدل اتمی سامر فلد - عدد کوآنتومی فرعی

مسأله چند گانگی خطوط طیفی که بر اساس مدل اتمی بوهر قابل حل نبود، با پیشنهاد مسیر بیضی شکل برای حرکت الکترون توسط سامر فلد در سال ۱۹۱۵ به روشنی توجیه شد.

(البته بوهر قبل) امکان مسیر بیضی شکل برای حرکت الکترون در اتم را در نظر گرفته بود ولی آن را پیگیری نکرده بود). سامر فلد با بررسی دقیق ویژگیهای مسیرهای بیضی شکل، پیشنهاد کرد که مسیر حرکت الکترون به دورهسته به طور کلی باید به شکل بیضی که هسته در یکی از کانونهای آن قرار دارد، در نظر گرفته شود، تا بتوان مسایل مربوط به انرژی الکترون و چند گانگی خطوط طیفی اتم هیدروژن را توجیه کرد. البته این مسیرها در حالتها خاصی، مطابق نظریه بوهر می‌توانند به شکل دایره باشند.

با فرض حرکت الکترون بر روی مدارهای مجاز دایره‌ای، تنها پارامتری که تغییر می‌کند، زاویه دوران (α) است. ولی مطابق شکل ۵-۲ در مسیر بیضی شکل، علاوه بر مقدار این زاویه، فاصله الکترون تا هسته (r) نیز پیوسته در تغییر است. با توجه به این دو درجه آزادی برای حرکت الکترون در مسیر بیضی شکل، دو شرط (یا محدودیت) کوآنتومی و در نتیجه دو عدد کوآنتومی را برای تعیین دقیقت انرژی الکترون باید در نظر گرفت.* یکی از



شکل ۵-۲ نمایش مسیر بیضی شکل برای حرکت الکترون

* با در نظر گرفتن مسیر بیضی شکل، رابطه ۳-۲ را باید به صورت دو رابطه دیگر نوشت:

$$\int \vec{l}_{\alpha} d\alpha = n_{\alpha} b$$

$$\int \vec{l}_r dr = n_r b$$

چون اندازه حرکت هر سیستم منفردی مقدار ثابتی است. اندازه حرکت الکترون بر روی مسیر بیضی شکل باید با آنچه که بوهر در نظر گرفته بود، بنابرآش، یعنی داریم:

این اعداد کوآنتومی همان α است که از آن پس، عدد کوآنتومی اصلی نامیده شد و عدد کوآنتومی دیگر که عدد کوآنتومی فرعی (سمتی و یا اوربیتالی) نامیده می‌شود، با حرف β نشان داده می‌شود. ارتباط این دونوع عدد کوآنتومی با نصف قطرهای کوچکتر و بزرگتر بیضی، چنین است:

$$\frac{b}{a} = \frac{l+1}{n} \quad (26-2)$$

با توجه به حد $\frac{b}{a}$ ، می‌توان رابطه بین عدد کوآنتومی اصلی و عدد کوآنتومی فرعی را به دست آورد:

$$0 \leqslant \frac{l+1}{n} \leqslant 1 \rightarrow 0 \leqslant l \leqslant n-1 \quad (27-2)$$

بعنی به ازای هر مقدار n ، اعداد درستی از صفر تا $1 - n$ به l می‌توان نسبت داد. مثلاً برای سومین مدار اصلی بوهر ($n=3$) سه مقدار $0, 1$ و 2 را می‌توان به جای l در نظر گرفت. به عبارت دیگر، سومین مدار مجاز بوهر (که سومین تراز اصلی نامیده می‌شود) شامل سه مدار فرعی، مطابق شکل ۲-۶ می‌باشد که به ازای $2 = l$ دایره‌ای، به ازای $1 = l$ بیضی و به ازای $0 = l$ بیضی کشیده‌تر است. به طور کلی هر چه مقدار l کوچکتر شود، مدار به شکل بیضی کشیده‌تری میل می‌کند).

براین اساس اولین تراز ایستاده بوهر ($n=1$) شامل یک تراز ($l=0$)، دومین

n را عدد کوآنتومی سمتی و n را عدد کوآنتومی شعاعی می‌نامند. سایر فلک با بررسی حرکت الکترون بر روی مسیر بیضی، پیشنهاد کرد که نصف قطر کوچکتر بیضی (b) و نصف قطر بزرگتر آن (a) باید از شرط کوآنتومی پیروی کنند، به طوری که می‌توان نوشت:

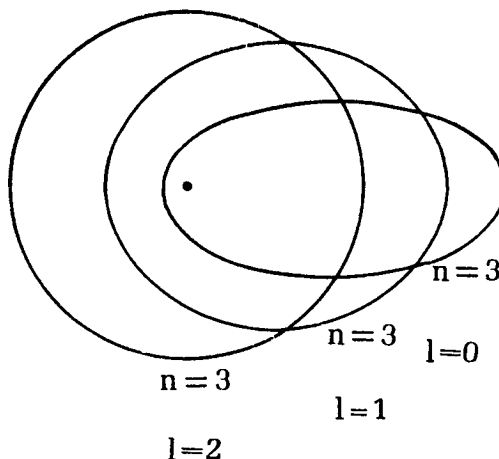
$$b = a_0 n + n \alpha$$

$$a = a_0 n^\gamma$$

و یاه

$$\frac{b}{a} = \frac{n \alpha}{n}$$

در نتیجه، می‌توان دریافت که α باید مخالف صفر باشد ولی می‌توان به جای آن عدد درست و مشبّتی مانند l را که یک واحد از n کوچکتر بوده و صفر را نیز شامل می‌شود، در نظر گرفت، بدون اینکه در نتایج محاسبات تئوری اساسی داده شود.



شکل ۳-۶ مدارهای فرعی مر بوط به سومین مدار اصلی ($n=3$)

تراز ایستاده بوهر شامل دو تراز فرعی انرژی (به ازای $l=0$ و $l=1$)، سومین تراز ایستاده بوهر شامل سه تراز فرعی (به ازای $l=0$ ، $l=1$ و $l=2$) و چهارمین تراز ایستاده بوهر شامل چهار تراز فرعی انرژی (به ازای $l=0$ ، $l=1$ ، $l=2$ و $l=3$) و.... است. در هر تراز ایستاده، ترازهای فرعی که انرژی آنها به ترتیب با اعداد کوآنتمی $l=0$ ، $l=1$ ، $l=2$ ، $l=3$ و.... مشخص می‌شود، با عالیم s ، d ، p ، f و.... نشان داده می‌شود. چهار عالمت اول همان طوری که در پخش یک گفته شد، حرف اول اصطلاحات طیف سنجی واز تراز فرعی پنجم به بعد به ترتیب از حروف الفبا انتخاب شده است.

تمرین ۱۴-۲

براساس رابطه ۲-۲۶، شکل مدارهای فرعی مر بوط به چهارمین تراز اصلی انرژی را مشخص کنید.

حل :

با توجه به رابطه ۲-۲۷، چهارمین تراز اصلی ($n=4$) شامل چهار تراز فرعی است که مدار l برای آنها عبارت است از:

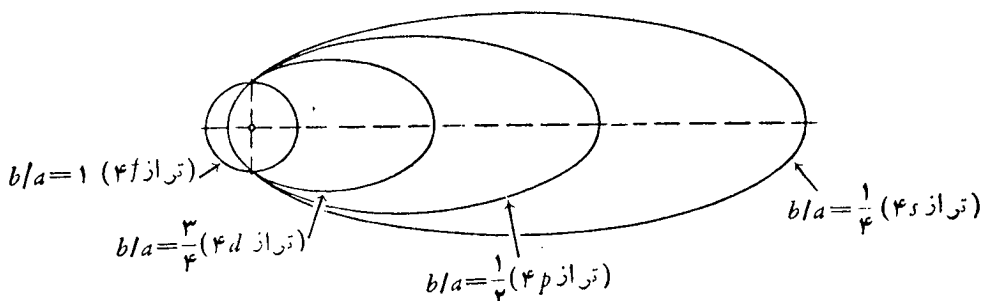
$$l_1 = 0 \quad l_2 = 1 \quad l_3 = 2 \quad l_4 = 3$$

براساس رابطه ۲۶-۲ می‌توان نوشت:

$$\frac{b}{a_{(1)}} = \frac{0+1}{4} = \frac{1}{4} \quad \text{و} \quad \frac{b}{a_{(2)}} = \frac{1+1}{4} = \frac{1}{2} \quad \text{و} \quad \frac{b}{a_{(3)}} = \frac{2+1}{4} = \frac{3}{4} \quad \text{و}$$

$$\frac{b}{a_{(4)}} = \frac{3+1}{4} = 1$$

با توجه به چهار نسبت متفاوت $\frac{b}{a}$ می‌توان شکل این چهار مدار فرعی را به صورت ذیر در نظر گرفت:



انرژی الکترون بر روی هر یک از این مدارهای فرعی مانند انرژی آن بر روی مدار اصلی، از شرط کوآنتومی پیروی می‌کند. یعنی رابطه ۱-۲ را برای هر مدار فرعی می‌توان به صورت زیر نوشت:

$$\vec{l} = l \frac{\hbar}{2\pi} \quad (28-2)$$

در نظر گرفتن یک عدد کوآنتومی فرعی به خودی خود، وجود سطوح انرژی متفاوتی را ایجاب نمی‌کند. زیرا ممکن است که سطوح انرژی فرعی، همتراز باشند. از این‌رو،

فقط بافرض ترازهای فرعی ارزی ، چندگانگی خطوط طیفی را نمی‌توان توجیه کرد. مگر اینکه، شرایط همترازی سطوح فرعی مربوط به هر ترازاصلی ارزی، فراهم نباشد. با توجه به اینکه سرعت الکترون درمسیر بیضوی به طور پیوسته تغییر می‌کند و براساس رابطه نسبیت، جرم آن نیز در تمام طول مسیر مقدار ثابتی نخواهد بود. از این‌رو، سامر فلد دریافت که بین مدارهای فرعی دایره‌ای و بیضی شکل ، از نظر ارزی، تفاوت‌هایی وجود دارد. بهیان دیگر بین ترازهای فرعی مربوط به یک ترازاصلی ، همترازی وجود ندارد. در نتیجه ، الکترون ضمن جهش و سقوط بین دو ترازاصلی ارزی، بسته به اینکه از کدام تراز فرعی از تراز بالاتر به کدام تراز فرعی از ترازاصلی پایین تر سقوط کند ، چند خط طیفی بسیار نزدیک به هم به جای یک خط طیفی منفرد تابش می‌شود. به این ترتیب، سامر فلد توانست چند گانگی خطوط طیف نشري اتم را توجیه کند.

قابل توجه است که تعداد خطوطی که از طریق تجربی در طیف نما مشاهده می‌شود کمتر از تعدادی است که براساس انتقال الکترون بین ترازهای فرعی، حساب می‌شود. این موضوع را براساس قاعده انتخاب می‌توان توضیح داد که برطبق آن، انتقال الکترون در صورتی بین دو تراز فرعی امکان دارد که تفاوت عدد کوآنتمی فرعی آنها برابر ± 1 باشد (قاعده منع لپورت*)، یعنی داشته باشیم:

$$\Delta l = \pm 1 \quad (۲۹-۲)$$

براساس این قاعده، مثلاً در سقوط الکترون از سومین ترازاصلی به دومنین ترازاصلی، می‌توان وجود سه خط طیفی را پیشگویی کرد که از طریق تجربی نیز به تأیید رسیده است. زیرا می‌توان نوشت:

$$n=3 : l_1=1 \text{ و } l_2=0 \text{ و } l_3=2$$

$$n=2 : l'_1=0 \text{ و } l'_2=1$$

$$\left\{ \begin{array}{l} l_1 - l'_1 = 1 - 0 = +1 \\ l_1 - l'_2 = 1 - 1 = 0 \end{array} \right. \quad (\text{مجاز نیست})$$

$$\left\{ \begin{array}{l} l_2 - l'_1 = 0 - 1 = -1 \\ l_2 - l'_2 = 0 - 0 = 0 \end{array} \right. \quad (\text{مجاز است})$$

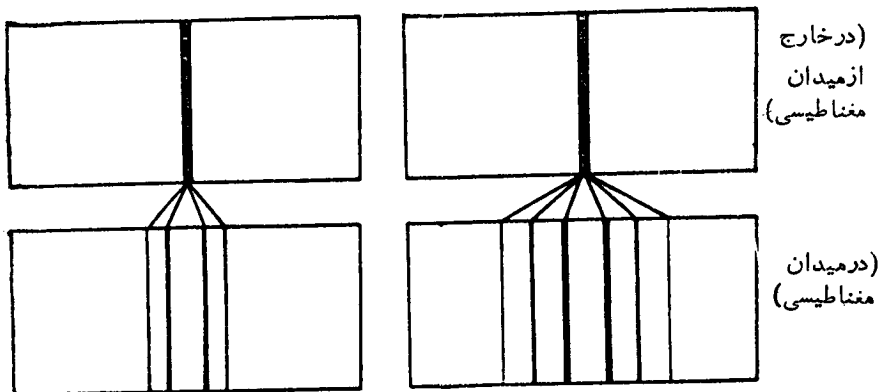
$$\left\{ \begin{array}{l} l_3 - l'_1 = 2 - 1 = +1 \\ l_3 - l'_2 = 2 - 0 = +2 \end{array} \right. \quad (\text{مجاز است})$$

$$\left\{ \begin{array}{l} l_3 - l'_1 = 2 - 1 = +1 \\ l_3 - l'_2 = 2 - 0 = +2 \end{array} \right. \quad (\text{مجاز نیست})$$

$$\begin{cases} I_3 - I_1' = 2 - 0 = +2 & \text{(مجاز نیست)} \\ I_3 - I_2' = 2 - 1 = +1 & \text{(مجاز است)} \end{cases}$$

۷-۲ اثر زیمان* عدد کوآنتومی مغناطیسی

قابل توجه است که وقتی طیف نشري اتم هیدروژن در میدان مغناطیسی مورد مطالعه قرار می‌گیرد، وضعیت پیچیده‌تری پیدا می‌کند. یعنی هر خط طیفی حاصل از چند گانگی خطوط طیفی که خارج از میدان مغناطیسی به دست می‌آید، در میدان مغناطیسی به چند خط طیفی فوق العاده نزدیک به یکدیگر تجزیه می‌شود. مثلاً درمورد اتم سدیم، همان‌طور که در شکل ۷-۲ نشان داده شده است، این رویداد موجب می‌شود که هر یک از دو خط

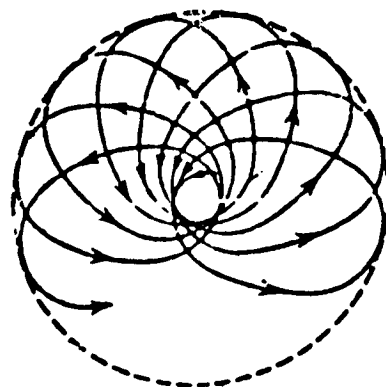


شکل ۷-۳، نمایش چندگانگی دو خط طیفی اصلی اتم سدیم درمیدان مغناطیسی ضعیف

طیف اصلی آن به چندین خط تفکیک می‌شود. چنین وضعیتی که به ساختار ظرفیت خطوط طیفی موسوم است، اولین بار توسط زیمان (در سال ۱۸۹۶) مشاهده شد و اثر زیمان نامیده

* Zeeman effect

می‌شود. این اثر، با قبول دو درجه آزادی برای حرکت الکترون یعنی درنظر گرفتن دو عدد کوآنتمی اصلی و فرعی برای مشخص کردن انرژی الکترون در چرخش به دورهسته، قابل بررسی نیست. بلکه برای توجیه آن باید سه درجه آزادی برای حرکت الکترون یا به بیانی دیگر، عدد کوآنتمی دیگری علاوه بر اعداد کوآنتمی اصلی و فرعی برای مشخص کردن دقیق وضعیت الکترون در فضای اطراف هسته باید در نظر گرفت. برای این منظور، باید قبول کرد که وقتی الکترون، بدون وجود یک میدان مغناطیسی خارجی، به دورهسته اتم می‌چرخد مرجعی وجود ندارد تا بتوان سطح مشخصی برای مدار چرخش آن در نظر گرفت. به بیان دیگر، سطح مدار چرخش آن کاملاً اختیاری است. اما وقتی الکترون در یک میدان مغناطیسی خارجی به دورهسته می‌چرخد، سطح مدار چرخش آن نسبت به راستای میدان مغناطیسی با حرکتی تقدیمی مطابق شکل ۸-۲ تغییر می‌کند. زیرا الکترون (ذره باردار)

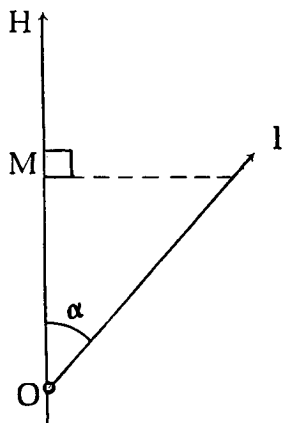


شکل ۸-۲ نمایش حرکت تقدیمی

ضمن چرخش به دورهسته، در نقش یک مغناطیس کوچک (با ممان مغناطیس M) عمل می‌کشد. درنتیجه، در یک میدان مغناطیسی (با شدت H ، تحت تأثیر قرار گرفته و سطح مدار چرخش آن دستخوش تغییراتی می‌شود. این تغییرات، دیگر اختیاری نبوده بلکه از محدودیت کوآنتمی پیروی می‌کند. به طوری که تصویر بردار ممان مغناطیسی حاصل از چرخش الکترون بر روی این سطوح، نسبت به راستای میدان، همواره باید مضرب درستی از

باشد. این مضرب درست را که به عدد کوآنتومی مغناطیسی موسوم شده است، با m_l نشان می‌دهند.

با توجه به اینکه ممان مغناطیسی حاصل از چرخش الکترون به دور هسته، با ممان اندازه حرکت زاویه‌ای آن (\vec{l}) متناسب است و با درنظر گرفتن شکل ۹-۲، چون تصویر بردار \vec{l} بر روی راستای میدان H برابر \vec{OM} است، شرط کوآنتومی بودن درمورد سطح مدار چرخش الکترون را مطابق آنچه که گفته شد، می‌توان به صورت زیرنوشت:



شکل ۹-۳ نمایش یکی از سطوح کوآنتومی چرخش الکترون به دور هسته در میدان مغناطیسی

$$OM = m_l \frac{h}{2\pi} \quad (۳۰-۲)$$

چون با توجه به رابطه بین زوایا و اضلاع در مثلث قائم الزاویه OMP داریم: $\vec{OM} = \vec{l} \cos \alpha$ ، پس می‌توان نوشت:

$$\vec{l} \cos \alpha = m_l \frac{h}{2\pi} \quad (۳۱-۲)$$

با توجه به رابطه ۲۸-۲، می‌توان نوشت:

$$l \frac{h}{2\pi} \cos \alpha = m_l \frac{h}{2\pi}$$

و یا:

$$m_l = l \cos \alpha \quad (۳۲-۲)$$

با توجه به حد $\cos \alpha$ که بین $-1 \leq \cos \alpha \leq 1$ است و صفر را نیز شامل می‌شود، می‌توان نتیجه گرفت که:

$$-l \leq m_l \leq +l \quad (۳۳-۲)$$

یعنی به ازای هر مقدار l ، می‌توان $-l \leq m_l \leq +l$ عدد درست (از $-l \leq m_l \leq +l$) که صفر را نیز در بردارد) به m_l نسبت داد. براین اساس، هر تراز فرعی انرژی که با عدد کوآنتمومی l مشخص می‌شود، در میدان مغناطیسی به $+l \leq m_l \leq -l$ تراز انرژی فرعی تر تقسیم می‌شود (که مفهوم امروزی آن همان اوربیتال اتمی است). از این‌رو، مثلاً دومین تراز ایستاده بوهر شامل دو تراز فرعی $2s$ و $2p$ است که تراز فرعی $2s$ ، چندگانگی ندارد ولی تراز فرعی $2p$ دارای سه گانگی است. یعنی از سه تراز فرعی تر که در خارج از میدان مغناطیسی هم ترازند ولی در میدان مغناطیسی بین آنها اختلاف سطح کمی به وجود می‌آید (هم ترازی آنها به هم می‌خورد) تشکیل شده است که با عدد کوآنتمومی مغناطیسی $m_l = 0$ ، $m_l = +1$ و $m_l = -1$ مشخص می‌شوند.

$$n = 2 \Rightarrow \begin{cases} 2s : l = 0 \Rightarrow m_l = 0 \\ 2p : l = 1 \Rightarrow \begin{cases} m_l = +1 \\ m_l = 0 \\ m_l = -1 \end{cases} \end{cases}$$

با توجه به اینکه، ظهور هر خط طیفی نشانه جهش الکترون بین دو تراز انرژی متمايز از یکدیگر است و با قبول اینکه هر تراز فرعی انرژی در میدان مغناطیسی به چند تراز فرعی تقسیم می‌شود که می‌تواند منشاء خطوط طیفی خیلی نزدیک به یکدیگر باشد، مسئله ساختار ظریف خطوط طیفی قابل توجیه است.

تمرین ۱۵-۳

با توجه به ارتباط اعداد کوآنتمومی، تعداد اوربیتالهای سومین تراز اصلی انرژی و

حداکثر تعداد الکترونی که می‌تواند در این تراز از ابرذی قرار گیرند، را حساب کنید.

حل:

$$n = 3$$

$$l = 0 \Rightarrow m_l = 0 \quad \text{یک اوربیتال (} 3s \text{)}$$

$$l = 1 \Rightarrow m_l = \begin{cases} +1 \\ 0 \\ -1 \end{cases} \quad \text{سه اوربیتال (} 3p \text{)}$$

$$l = 2 \Rightarrow m_l = \begin{cases} +2 \\ +1 \\ 0 \\ -1 \\ -2 \end{cases} \quad \text{پنج اوربیتال (} 3d \text{)}$$

پس، سومین ترازاصلی ابرذی که دارای سه تراز فرعی است، مجموعاً ۹ اوربیتال را شامل می‌شود. چون هر اوربیتال می‌تواند جداکثر به وسیله دو الکترون اشغال شود، بنابراین، این ترازاصلی حداکثر می‌تواند ۱۸ الکترون را در خود جای دهد.

۸-۲ فارسایی نظریه اتمی بوهر-سامرفلد

مدل کوآنتومی اتم که توسط بوهر پیشنهاد و توسط سامر فلد اصلاح و کامل شد، با درنظر گرفتن سه عدد کوآنتومی برای تعیین ابرذی الکترون در اتم، اگرچه بسیاری از مسائل علمی روز درمورد اتم به ویژه، چگونگی پیدایش طیف نشری اتم هیدروژن و بونهای هیدروژن-مانند، سری چندگانه خطوط طیفی، ساختار ظرف خطوط طیفی و ... را توانسته بود به روشنی توجیه کند، ولی در برخی از زمینه‌ها نارسایی داشت که به چند نمونه از آنها اشاره می‌شود:

- ۱) تأثیر میدان مغناطیسی ضعیف بر اتم هیدروژن، موجب ظهور پدیده‌ای بنام اثر ذیمان غیرنرمال^{*} می‌شود که بر اساس مدل اتمی بوهر-سامرفلد قابل توجیه نیست.

* بهخش ۳-۱ کتاب شیمی معدنی، جلد دوم، تألیف دکتر رئیسی شهری - دکتر ملاردی، انتشارات دانشگاه تربیت معلم رجوع شود.

۲) این نظریه فقط در مورد سیستم‌های تک الکترونی (اتم هیدروژن و یون‌های هیدروژن) مانند) کاملاً صادق است ولی قادر به توجیه وضعیت طیف اتم‌های چند الکترونی حتی اتم ساده‌ای مانند هلیوم که دو الکترون دارد، نمی‌باشد.

۳) منشاء تناوبی بودن خواص عناصر را براساس مدل اتمی بوهر نمی‌توان درک کرد

۴) بررسیهای دقیق‌تر که چندین سال پس از ارائه مدل اتمی بوهر - سامر فلد. به عمل آمد، نشان داد که حتی با در نظر گرفتن سه عدد کوآنتمویی، انرژی الکترون را به طور دقیق نمی‌توان مشخص کرد. زیرا مسئله ساختار ظریف طیف که به حرکت مداری الکترون به دور هسته اتم مربوط است و با در نظر گرفتن اعداد کوآنتموی l و m_l توسط سامر فلد توجیه شده بود، در حقیقت یک مسئله کاملاً حل شده‌ای نبود. زیرا مشاهدات تجربی نشان می‌داد که هر خط طیفی در ساختار ظریف خطوط طیفی را می‌توان در شرایط مناسب به دو خط طیفی فوق العاده نزدیک به یکدیگر تجزیه کرد. چنین وضعیتی براساس مدل اتمی بوهر - سامر فلد قابل پیش‌بینی نبوده است. زیرا با توجه به اینکه تبدیل یک خط طیفی به دو خط طیفی نزدیک به یکدیگر، بر نکیکیت یک تراز انرژی معین به دو تراز انرژی نزدیک به هم دلالت دارد، پس باید عدد کوآنتموی دیگری در نظر گرفته شود که در مدل اتمی بوهر - سامر فلد این مسئله مورد توجه قرار نگرفته باشد.

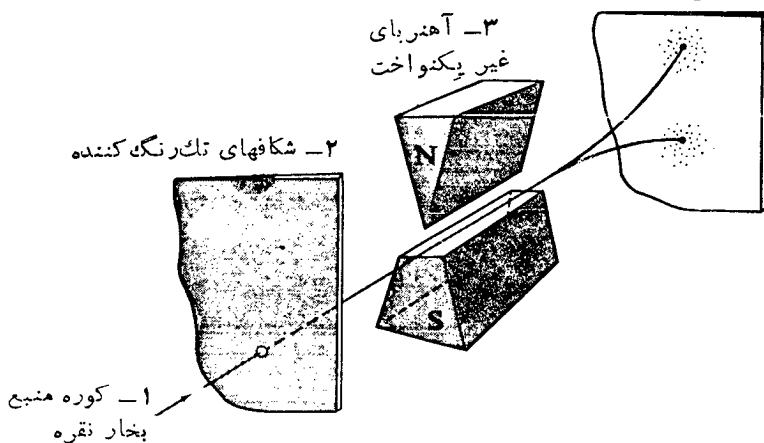
مسئله دوگانگی خطوط ظریف طیفی، بسا بررسیهای تجربی پژوهشگرانی چون اشترن^۱ و گرلاخ^۲ کشف و به شناخت حرکت اسپینی الکترون توسط اولنبلک^۳ و گوداسیت^۴ مقتبه شد. علت این دوگانگی با در نظر گرفتن عدد کوآنتموی دیگری بنام عدد کوآنتموی اسپینی کاملاً توضیح داده شد که به لحاظ اهمیت این موضوع، به بررسی آن می‌پردازیم.

آزمایش اشترن و گرلاخ

اشترن و گرلاخ در سال ۱۹۲۱ ضمن عبور پرتوی از بخار نقره (فلزی که اتم‌های آن یک الکترون منفرد در لایه ظرفیت خود دارند) را مطابق شکل ۲-۱۵ از یک میدان مقناطیسی یکنواخت عبور دادند.

باتوجه به اینکه اتم‌های نقره موجود در بخار، حرکات نامنظمی داشته، میدان مقناطیسی نیز غیر یکنواخت است و در نتیجه، نیروهایی که در این میدان بر آنها وارد می‌شود با هم برای نیستند، انتظار می‌رفت که اتم‌های نقره به اندازه‌های متفاوتی انحراف حاصل کرده و پس از خروج از میدان، بر روی مانع سرد، حول نقطه مرکزی O ، تجمع حاصل کنند. به

۴- مانع شیشه‌ای سرد



شکل ۱۵-۲ طرحی برای دستگاه آزمایش اشتئرن-گرلاخ.

بیانی دیگر، فقط یک لکه مرکزی پراکنده را به وجود آورند. در صورتی که، برخلاف انتظار مشاهده شده بود که لکه‌مرکزی تشکیل نمی‌شود. بلکه به جای آن به فاصله مساوی از طرفین نقطه O، دولکه، نشانه دو دسته شدن اتمهای نقره موجود در بخار، بر روی مانع به وجود می‌آید. همان‌طور که اشاره شد، چنین رویدادی برای مدل اتمی بوهر - سامرفلد قابل توجیه نیست.

توجیه نتایج آزمایش اشتئرن و گرلاخ - کشف حرکت اسپینی الکترون در سال ۱۹۲۵، اولنک و گوداس می‌بینند که از بررسیهای تجریبی اشتئرن و گرلاخ به دست آمدند که الکترون، علاوه بر حرکت مداری خود به دورهسته اتم و داشتن ممان اندازه حرکت زاویه‌ای مداری و ممان مغناطیسی مربوطه (هم)، به دور محور خود نیز می‌چرخد (حرکت اسپینی) و در نتیجه دارای ممان اندازه حرکت اسپینی و ممان مغناطیسی جدیدی بنام ممان مغناطیسی اسپینی (هم) نیز خواهد بود. با توجه به اینکه چرخش الکترون به دور محور خود می‌تواند در دو جهت عکس یکدیگر صورت گیرد، پس برای بردار ممان اندازه حرکت اسپینی و ممان مغناطیسی حاصل می‌توان، دو جهت مخالف یکدیگر در نظر گرفت. از این‌رو، با توجه به تعداد فوق العاده زیاد اتمهای نقره موجود در بخار آن، می‌بایست قبول کرد که به طور آماری، نیمی از آنها دارای ممان مغناطیسی اسپینی معین و نیم دیگر، ممان مغناطیسی اسپینی در خلاف آن، خواهند

داشت. از این‌دو، ضمن عبور از میدان مغناطیسی، این‌دو دسته‌اتم از یکدیگر جدا شده و هر دسته در یک طرف نقطه مرکزی بر روی مانع سرد رسب می‌کنند. به این ترتیب اولینک و گود اسمیت توانستند پایه‌ای نظری جهت توجیه نتایج تجربی به دست آمده توسعه اشترن و گرلاخ، ارائه دهند. زیرا جمع برداری دونوع ممان مغناطیسی الکترونی که ضمن چرخش به دوره است، درجه حرکت عقر به ساعت به دور محور خود می‌چرخد با جمع برداری دونوع ممان مغناطیسی الکترونی که ضمن چرخش به دوره است، درجه عکس حرکت عقر به ساعت به دور محور خود می‌چرخد، برابر نیست. در نتیجه انرژی چنین دو الکترونی با یکدیگر تفاوت دارد. همین تفاوت سطح انرژی می‌تواند منشاء دو گانگی هر خط در ساختار ظریف خطوط طیفی شود. البته با توجه به اینکه این تفاوت انرژی بسیار ناچیز است، دو گانگی خطوط، فقط در طیف نمایهای بسیار قوی که قدرت جدیکنندگی بالاب دارند، قابل تشخیص است.

عدد کوآنتومی اسپین

ممان اندازه حرکت الکترون در چرخش به دور محور خود (\vec{S})، نیز مانند ممان اندازه حرکت آن در چرخش به دوره است، کمیتی کوآنتومی و مضری از واحد کوآنتومی $\frac{h}{2\pi}$ است.

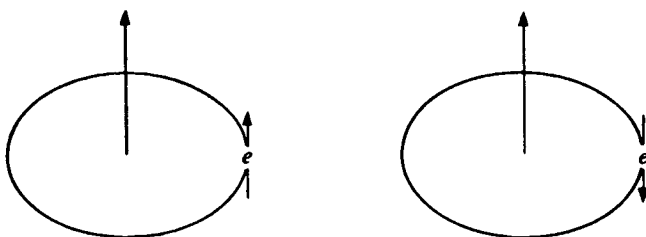
$$\vec{S} = m_s \frac{\hbar}{2\pi} \quad (34-2)$$

m_s را عدد کوآنتومی اسپینی می‌نامند. با توجه به اینکه حرکت اسپینی در دوچهت مخالف یکدیگر امکان دارد، عدد کوآنتومی اسپینی الکترون باید دو عدد قرینه (یعنی $+m_s$ و $-m_s$) باشد. از طرفی چون الکترون، ذره‌ای از دسته فرمیونها* است که اسپین کسری $\frac{1}{2}$ دارد، عدد کوآنتومی اسپینی الکترون را باید برابر $\frac{1}{2} + \frac{1}{2} -$ در نظر گرفت. در

* Fermions

قابل توجه است که ذرات را از نظر اسپین به دو دسته کلی تقسیم می‌کنند، دسته‌ای را که اسپین آنها برابر صفر و یا یک عدد درست است، ذرات بوزون *Bosons* می‌نامند. زیرا، از مکانیک بوز - اینشتین پیروی می‌کنند (مانند فوتونها)، دسته‌دیگر را که اسپین کسری دارند، فرمیونها می‌نامند. زیرا از مکانیک فرمی - دیراک پیروی می‌کنند (مانند الکترونها).

شکل ۱۱-۲ جهت حرکت مداری و حرکت اسپینی الکترون در اتم هیدروژن نشان داده شده است.



شکل ۱۱-۳ نمایش جهت‌های حرکت اسپینی الکترون

توضیح

هر چند که نتایج تجربی با فرض حرکت اسپینی الکترون هماهنگی خوبی دارد، ولی قبول آن به عنوان یک واقعیت فیزیکی خالی از اشکال نیست. از این‌رو، دیگر ادعا در سال ۱۹۲۸، با توجه به اینکه در معادله موج الکترون که توسط شرودینگر ارائه شد، نسبیت منظور نشده بود. این معادله را براساس نسبیت، تنظیم کرد که در آن، اندازه حرکت زاویه‌ای اسپینی الکترون، خود بخود گنجانیده شد. براساس معادله دیراک، برای الکترون همان اندازه حرکت اسپینی و ممان مغناطیسی اسپینی به دست می‌آید که براساس نظریه اولنک و گود اسپینیت می‌توان به دست آورد. به علاوه، چون براساس نظریه دیراک، خواص کوآنتومی الکترون مبتنی بر محاسبات ریاضی ممکنی بر مکانیک کوآنتومی است، آن اشکالاتی را که ممکن است در مفهوم فیزیکی حرکت الکترون به دور محور خود وجود داشته باشد، در بر ندارد.

فصل سوم

بررسی حرکت الکترون در اتم از دیدگاه مکانیک موجی او ریتالهای اتمی

۱-۳ گلیات

همان طور که در بخش ۲-۲ اشاره شد، نظریه کوآنتمی بوهر-سامرفلد، در مورد اتمهای چند الکترونی با عدم موقیت روبرو شده بود. از این رو، لزوم ارائه نظریه کاملتری که بتواند وضعیت انرژی و حرکت الکtron در فضای اطراف هسته اتم را بهتر و دقیق‌تر، آشکار کند، توجه داشمندان را به خود جلب کرده بود. برای دست یافتن به چنین هدفی، کوشش‌های بسیاری صورت گرفت، تا اینکه با توجه به خصلت دوگانگی موجی - ذره‌ای تابش‌های الکترون و مغناطیسی، امکان تدوین نظریه تازه‌ای بنام مکانیک موجی درباره چگونگی حرکت و انرژی الکترون در اتم، فراهم آمد و تحولی شگرف در حل بسیاری از مسائل مربوط به ساختار الکترونی اتم و مولکول را موجب شد. اولین قدم در راه دستیابی به چنین توفیقی، توسط فیزیکدان معروف فرانسوی، لویی دوبروی در سال ۱۹۲۴ برداشته شد.

۲-۳ نظریه لویی دوبروی - امواج مادی

همان طور که در بخش ۱-۶ گفته شد، براساس نظریه کوآنتمی بودن تابش‌های الکترون و مغناطیسی، انرژی هر فوتون از تابش‌های نورانی را می‌توان از رابطه $E = h\nu$ به دست آورد که نشان می‌دهد مقدار انرژی فوتون هر تابشی بقدر کانس آن تابش بستگی دارد. اما می‌دانیم که انرژی هر ذره، به جرم و سرعت حرکت آن نیز وابسته است. از این رو، با

در نظر گرفتن خصلت ذره‌ای تابش‌های الکترومغناطیسی و بر اساس نظریه نسبیت اینشتین، می‌توان انرژی هرفوتون را از رابطه $E = mc^2$ نیز حساب کرد که در آن E ، m و c به ترتیب انرژی، جرم معادل آن و سرعت انتشار تابش‌های الکترومغناطیسی است. پس در هر دو حالت هر فوتون می‌توان نوشت:

$$h\nu = mc^2 \quad (1-3)$$

و یا

$$\lambda = \frac{h}{mc}$$

که در آن mc اندازه حرکت فوتون است.

تمرین ۱-۳

بر اساس رابطه ۱-۳، جرم فوتون نور قرمز ($\lambda = 7500\text{\AA}$) را حساب کنید.

حل:

$$\begin{aligned} 7500\text{\AA} \times \frac{1\text{ cm}}{10^8\text{\AA}} &= \frac{6626 \times 10^{-47}\text{ erg.s}}{m \times 3 \times 10^{10}\text{ cm.s}^{-1}} \\ &= \frac{6626 \times 10^{-47}(\text{g.cm}^2\text{s}^{-2}).\text{s}}{m \times 3 \times 10^{10}\text{ cm.s}^{-1}} \\ m &= 2.945 \times 10^{-32}\text{ g} \end{aligned}$$

اوی دوبروی، بر اساس رابطه ۱-۳، در سال ۱۹۲۴ پیشنهاد کرد که خصلت دو گانگی «موجی - ذره‌ای» نباید به تابش‌های الکترومغناطیسی منحصر باشد، بلکه آن را می‌توان به ماده نیز نسبت داد. یعنی هر ذره متخرکی به جرم m که با سرعت v در حرکت است، حرکت آن با موجی همراه است که طول موج آن از رابطه ۲-۳ یعنی:

$$\lambda = \frac{h}{mv} \quad (2-3)$$

قابل محاسبه است. بر اساس همین پیشنهاد، طول موج ذره ماده‌ای را که برابر با این رابطه، به دست می‌آید، «طول موج دوبروی» نامیده‌اند.

قابل توجه است که اگرچه قبول خصلت دو گانگی «موجی - ذره‌ای» برای تابش‌های

الکترومغناطیسی در آغاز ، بسیار دشوار به نظر می آمد، ولی پذیرفتن چنین خصلتی برای ذره مادی به مراتب دشوارتر از آن بود. زیرا بررسی در مورد تابهای الکترومغناطیسی و ذره نور تا اندازه‌ای به طور غیرمستقیم انجام پذیر بود. ولی هر نوع بررسی را درمورد ذره مادی به طور مستقیم می‌توان انجام داد و مثلاً دریافت که چنین ذره‌ای عملای فاقد حرکت موجی است ویا به بیانی دیگر، موج آن محسوس نیست.

حال ممکن است این پرسش مطرح شود که اصولاً چرا موج دوبروی محسوس نیست؟ در پاسخ به این پرسش، باید توجه داشت که موج دوبروی در باره ذراتی است که جرم آنها نسبت به جرم ذره نور ، فوق العاده بیشتر است. پس مخرج کسر در طرف دوم رابطه $2-3$ ، عدد نسبتاً بزرگ است. حال آنکه صورت آن، یعنی ثابت پلانک عدد فوق العاده کوچکی است. از این‌رو ، حاصل این کسر، یعنی طول موج دوبروی عدد بینهایت کوچکی است که قابل تشخیص و محسوس نیست. برای روشن شدن موضوع بهتر است مثالی بیاوریم. فرض می‌کنیم که گلوله‌ای به جرم 50 g با سرعت 20 m/s در ثانیه حرکت می‌کند. اگر حرکت آن با موجی همراه باشد، با استفاده از رابطه $2-3$ ، می‌توان نوشت:

$$\lambda = \frac{6626 \times 10^{-22} \text{ erg}\cdot\text{s}}{50\text{g} \times 20 \times 100 \text{cm/s}} = 6626 \times 10^{-32} \text{ cm}$$

مالحظه می‌شود که طول موج حرکت موجی چنین ذره مادی بی‌نهایت کوچک و نامحسوس است .

تمرین ۲-۳

طول موج دوبروی را در موارد زیر حساب کنید:

- (الف) توپ بیس بالی که با سرعت 10 m/s در ثانیه حرکت می‌کند ($m=50\text{ g}$) ،
- (پ) نوترون گرمایی در رآکتور اتمی ($E_k=KT$ و $t=27^\circ\text{C}$) ،
- (ج) الکtron در میکروسکوپ الکترونی ($v=10\text{ km/s}$) .

حل :

با استفاده از رابطه $2-3$ ، می‌توان نوشت :

(الف)

$$\lambda = \frac{6626 \times 10^{-22} \text{ erg}\cdot\text{s}}{50\text{g}} \times \frac{1\text{m}}{10\text{m/s} \times 10^2 \text{cm}}$$

$$\begin{aligned}
 &= ۱۰۳۲۵ \times 10^{-۲۱} \frac{\text{erg}\cdot\text{s}}{\text{g}\cdot\text{s}^{-۱}\cdot\text{cm}} = ۱۰۳۲۵ \times 10^{-۲۱} \frac{\text{g}\cdot\text{cm}^۲\cdot\text{s}^{-۲}\cdot\text{s}}{\text{g}\cdot\text{s}^{-۱}\cdot\text{cm}} \\
 &= ۱۰۳۲۵ \times 10^{-۲۱} \text{cm} = ۱۰۳۲۵ \times 10^{-۲۱} \text{cm} \times \frac{10^۸ \text{\AA}}{1 \text{cm}} \\
 &= ۱۰۳۲۵ \times 10^{-۲۳} \text{\AA} \\
 \end{aligned} \tag{ب}$$

$$\begin{aligned}
 1/2mv^2 &= KT \Rightarrow mv^2 = 2KT \\
 mv^2 &= ۲ \times ۱۰۳۸۱ \times 10^{-۱۹} \text{erg} \cdot \text{K}^{-۱} (۲۷۳ + ۲۷) \text{K}
 \end{aligned}$$

با ضرب طرفین رابطه در جرم نوترون ، داریم:

$$\begin{aligned}
 m^2v^2 &= ۲ \times ۱۰۳۸۱ \times 10^{-۱۹} \text{erg} \times ۳۰۰ \times ۱۰۶۷۴۹ \times 10^{-۴} \text{g} \\
 mv &= ۳۷۰۲۵ \times 10^{-۲۰} \text{erg}^{1/2} \cdot \text{g}^{1/2} = ۳۷۰۲۵ \times 10^{-۲۰} \sqrt{\text{erg} \cdot \text{g}} \\
 &= ۳۷۰۲۵ \times 10^{-۲۰} \text{g}\cdot\text{cm}\cdot\text{s}^{-۱} \\
 \lambda &= \frac{۶۶۶۲۶ \times 10^{-۲۷} \text{erg}\cdot\text{s}}{۳۷۰۲۵ \times 10^{-۲۰} \text{g}\cdot\text{cm}\cdot\text{s}^{-۱}} = ۱۷۷۹ \times 10^{-۸} \frac{\text{g}\cdot\text{cm}^۲\cdot\text{s}^{-۲}\cdot\text{s}}{\text{g}\cdot\text{cm}\cdot\text{s}^{-۱}}
 \end{aligned}$$

$$\begin{aligned}
 &= ۱۷۷۹ \times 10^{-۸} \text{cm} \times \frac{10^۸ \text{\AA}}{1 \text{cm}} = ۱۷۷۹ \text{\AA} \\
 \lambda &= \frac{۶۶۶۲۶ \times 10^{-۲۷} \text{erg}\cdot\text{s}}{۹۰۱۰۹۶ \times 10^{-۲۸} \text{g}} \times \frac{1 \text{km}}{10 \text{km/s} \times 10^۵ \text{cm}} \\
 \lambda &= ۷۰۲۷۴ \times 10^{-۸} \text{cm} \times \frac{10^۸ \text{\AA}}{1 \text{cm}} = ۷۰۲۷۴ \text{\AA} \tag{ج}
 \end{aligned}$$

از آنچه گفته شد ، نتیجه می شود که هر چه جرم ذره ای کمتر باشد ، طول موج دوبرویی برای آن بزرگتر و حرکت موجی آن محسوس تر می شود. بر همین اساس بود که پژوهشگران با توجه به اینکه پس از ذره نور (فوتون) الکترون کوچک ترین ذره مادی شناخته شده بود، به بررسی ماهیت حرکت الکترون پرداختند، تا شاید بتوانند خصلت موجی بودن حرکت الکترون و محسوس بودن طول موج دوبرویی را در مورد این ذره مادی فوق العاده سبك به اثبات برسانند.

اگر الکtron را در میدان الکتریکی به شدت ۱۰۵ ولت در نظر بگیریم ، انسرهای

جنبشی آن (E_k) برابر 100 الکترون ولت خواهد بود . چون هر الکترون ولت برابر $10^{-12} \times 10602$ ارجک است، می‌توان نوشت :

$$E_k = 1e \times 100V = 100\text{ eV}$$

$$1/2mv^2 = 100\text{ eV} \times \frac{10602 \times 10^{-12}\text{ erg}}{1\text{ eV}} = 10602 \times 10^{-10}\text{ erg}$$

$$m^2v^2 = 2 \times 10602 \times 10^{-10}\text{ erg} \times 9.1096 \times 10^{-28}\text{ g}$$

$$mv = 5.403 \times 10^{-19} \text{ g.cm.s}^{-1}$$

با استفاده از رابطه ۲-۳ ، داریم:

$$\lambda = \frac{4.626 \times 10^{-27}\text{ erg.s}}{5.403 \times 10^{-19}\text{ g.cm.s}^{-1}}$$

$$\lambda = 1.226 \times 10^{-8}\text{ cm}$$

$$= 1.226 \times 10^{-8}\text{ cm} \times \frac{10^8\text{ \AA}}{1\text{ cm}} = 1.226\text{ \AA}$$

بعنی موج دوبروی برای الکترونی که انرژی جنبشی آن حدود 100 الکترون ولت باشد ، در حدود طول موج پرتوهای γ یا x (سخت*) و محسوس است . براساس این محاسبه می‌توان دریافت که حرکت الکtron خصلت موجی دارد . ولی برای قبول اینکه حرکت موجی الکترون یک واقعیت فیزیکی است ، باید خواص امواج الکترومغناطیسی را داشته باشد . یعنی باید بتوان با پرتوهای الکترونی ، آزمایشها بی نظیر شکست ، تداخل و به ویژه پراش بدوسیله بلورها را انجام داد .

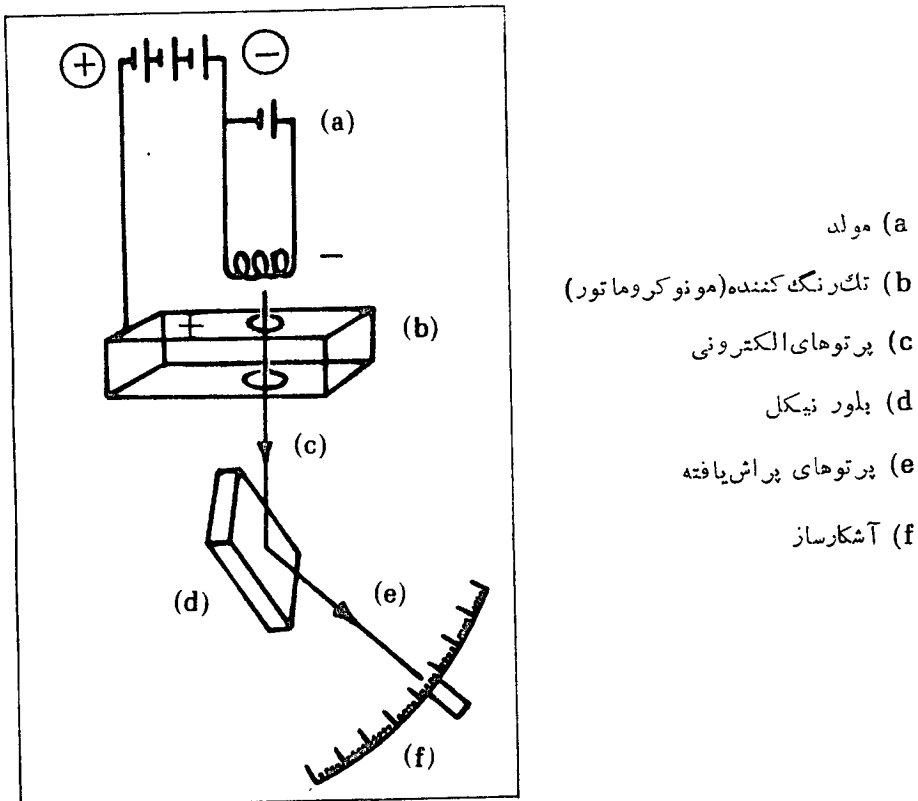
داویسون^۱ و ڈمر^۲ در سال ۱۹۲۷ برای اثبات خصلت موجی الکترون ، به بررسی پرتوهای الکترونی به وسیله بلور مناسبی ، بدروش برآگ^۳ پرداختند . با توجه به اینکه در آزمایش پرتوها به وسیله بلور ، باید طول موج تابش و فاصله بین صفحات شبکه بلور به یکدیگر نزدیک باشند ، در مورد پرتوهایی که طول موج آنها حدود 12 آنگستروم باشد ،

۱) Davisson ۲) Germer ۳) Bragg

* پرتوهایی از γ را که طول موج آنها کوتاهتر و به طول موج پرتوهای گاما نزدیک و در نتیجه انرژی و قدرت نفوذ آنها زیاد است ، اصطلاحاً پرتوهای γ سخت می‌نامند . پرتوهای γ با

طول موج بلند را که به پرتوهای فرابنفش نزدیکترند ، پرتوهای γ نمی‌نامند .

بلور نیکل برای پراش آنها مناسب است. از این‌رو، آنها، مطابق شکل ۱-۳، الکترون آزادشده از یک رشته تنگستن ملنثب را پس از عبور از یک میدان الکتریکی بهشدت ۱۰۰ ولت، با زاویه مناسی بر روی بلور نیکل تا بانیدن و ظهور پدیده پراش را بر روی صفحه حساس مشاهده کردند. به این طریق خصلت موجی الکترون را به اثبات رسانیدند.



شکل ۱-۳ طرح دستگاه آزمایش داویسون - ژرمن

باید توجه داشت که علاوه بر داویسون و ژرمن، گروه دیگری از پژوهشگران به سوابقی تامسون نیز با عبور پرتوهای الکترونی از ورقهای بسیار نازک طلا و مشاهده پدیده پراش، خصلت موجی الکترون را به اثبات رسانیدند.*

قابل توجه است که خصلت دوگانگی برای ذرات فوق العاده کوچک نظیر مولکول

* به بخش ۲-۳ کتاب شیمی معدنی جلد دوم تالیف دکتر شیری - دکتر ملاردی انتشارات دانشگاه تربیت معلم رجوع شود.

هیدروژن، هلیم، پروتون و نوترون نیز به اثبات رسیده است. در جدول ۱-۳، جرم و سرعت برخی از ذرات و طول موج دوبروی برای این ذرات گردآوری شده است.

جدول ۱-۳ طول موج دوبروی برای چند ذره مادی

ذره مادی	جرم (گرم)	سرعت (ساندیمتر بر ثانیه)	طول موج (آنگستروم)
مولکول هیدروژن در 23°C	3.534656×10^{-24}	2.54×10^5	۰.۸۲
هلیم در 27°C	6.64432×10^{-24}	1.54×10^5	۰.۷۱
ذره آلفا در میدان ۱۰۰ ولتی	6.464253×10^{-24}	6.9×10^6	۰.۱۵
پروتون در میدان ۱۰۰ ولتی	1.6726×10^{-24}	1.54×10^7	۰.۰۳

ممکن است این پرسش مطرح شود که آیا امواج این ذرات مادی، از نظر مکانیک مشابه امواج حقیقی نظیر موج آب یا موج یک سیستم در حال نوسان است؟ البته پاسخ دادن به چنین پرسشی مشکل است. ممکن است که این تشابه فقط از نقطه نظر ریاضی وجود داشته باشد. اصولاً باید توجه داشت که آن مدل اتمی بر مدل‌های دیگر برتری دارد که با تعداد بیشتری از مشاهدات تجربی سازگاری داشته و به پرسش‌های بیشتری در زمینه ساختار و خواص اتم پاسخ دهد. حال اگر چنین مدلی از نظر مفهوم فیزیکی نارسایی داشته باشد. باید یک مفهوم ریاضی منطقی و قابل قبول را جایگزین مفهوم فیزیکی آن کرد.

تمرین ۳-۳

با قبول موجی بودن حرکت الکترون در اطراف هسته اتم، چگونه می‌توان مفهوم مسیر دایره‌ای برای حرکت الکترون به دورهسته را براساس نظریه اتمی بوهر توجیه کرد؟

حل :

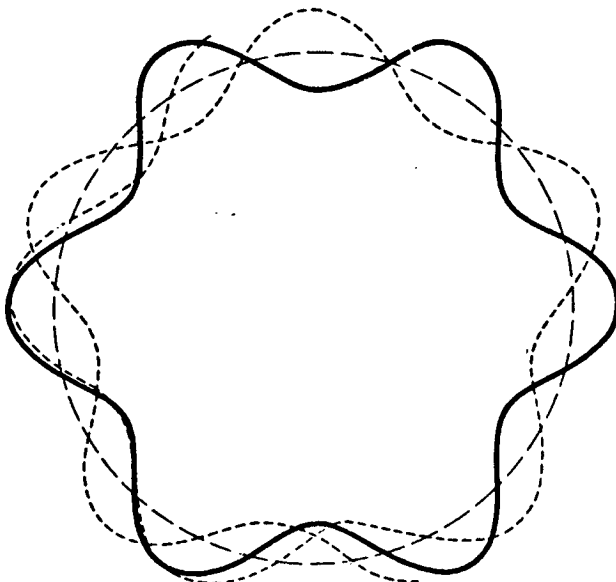
با توجه به رابطه ۳-۲، در مورد اندازه حرکت خطی الکترون داریم:

$$mv = \frac{h}{\lambda}$$

اگر به جای mv در این رابطه، مقدار آن را از رابطه ۱-۲ منظور کنیم، خواهیم داشت:

$$\frac{nh}{2\pi r} = \frac{h}{\lambda} \Rightarrow n\lambda = 2\pi r$$

یعنی نویای اینکه الکترون ضمن حرکت موجی خود به دور هسته اتم، از مسیر دایره‌ای مجاز خارج نشود، مطابق شکل زیر، طول محیط مدار مجاز باید مضرب درستی از طول موج حرکت الکترون باشد که این خود، تأییدی است بر نظریه اتمی بوهر که هر مسیر دایره‌ای دلخواهی در اطراف هسته، نمی‌تواند برای حرکت الکترون به دور هسته مجاز باشد.



تمرین ۳-۴

طول موج حرکت الکترون در چرخش آن بر روی اولین مدار مجاز به دور هسته اتم هیدروژن را بر حسب آنگستروم حساب کنید.

حل :

چون در رابطه $n\lambda = 2\pi r$ ، عدد درست n همان شماره ترتیب مدارهای مجاز بوهر

و برای اولین مدار مجاز برابر ۱ است و شعاع این مدار مجاز در اتم هیدروژن برابر $\text{Å} ۲۹۵۲$ است، پس می‌توان نوشت:

$$\lambda = \frac{2\pi r}{n} = \frac{2 \times ۳۱۴۱۶ \times ۰۰۵۲۹ \text{ Å}}{۱} = ۳۱۴ \text{ Å}$$

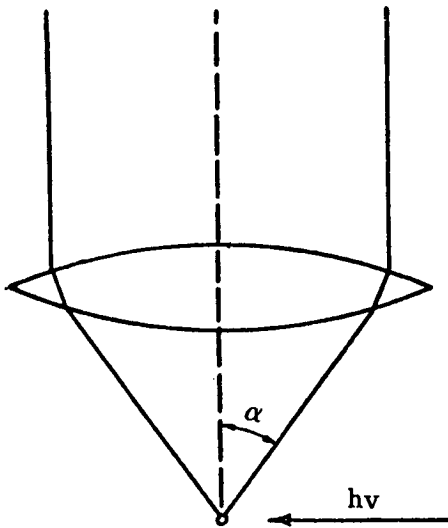
۳-۳ اصل عدم قطعیت

براساس قوانین مکانیک کلاسیک، هر گاه برای شیئی خصلت‌ذره‌ای قائل شویم، باید بتوانیم خواص ویژه ذره بودن مانند مکان و اندازه حرکت آن را اندازه بگیریم، زیرا با توجه به اینکه مسیر دقیق حرکت ذره، مشخص است، اگر مقدار سرعت حرکت آن را بیلینیم، می‌توانیم، در هر لحظه، مکان دقیق آن را پیش‌بینی کیم و یا چنانچه، مکان آن را در زمان معینی بدانیم، می‌توانیم سرعت و اندازه حرکت آن را به طور دقیق مشخص کنیم. بدیهی است که در مرور ذرات درشت ماکرو‌سکوپی این کار کاملاً عملی است. اما آیا چنین پیش‌بینی و اندازه گیری‌های دقیق در مورد ذرات میکروسکوپی فوق العاده دیگری مانند الکترون نیز واقعیت دارد و عملی است؟ با تکیه بر شواهد تجربی می‌توان دریافت که پاسخ این پرسش منفی است. زیرا برای اندازه گیری مکان الکترون باید از میکروسکوپی قوی استفاده کرد. بررسیهای تجربی نشان می‌دهد که میزان صحت اندازه گیری مکان الکترون به توان تفکیک میکروسکوپ و مقدار خطای در این اندازه گیری به طول موج تابش مورد استفاده وزاوی‌دیده مطابق شکل ۲-۳ بستگی دارد و به طور تقریب می‌توان نوشت:

$$\Delta x = \frac{\lambda}{\sin \alpha} \quad (3-3)$$

از این رابطه می‌توان دریافت که هر چه طول موج تابش مورد استفاده کوتاه‌تر باشد، میزان خطای اندازه گیری مکان الکترون کمتر است. برهمین اساس است که معمولاً در چنین میکروسکوپی از پرتوهای گاما (با طول موج حدود یکصدم آنگستروم) استفاده می‌شود. ولی کاربرد چنین پرتوهایی که فوتون آنها انرژی زیادی دارد، مسئله تازه‌ای به وجود می‌آورد. زیرا وقتی فوتون به الکترون برخورد می‌کند، براساس اثر کامپتون*، ضمن پراکنده شدن، مقداری از انرژی خود را به الکترون منتقل می‌کند و موجب می‌شود که اندازه حرکت الکترون به میزان معینی (Δmv) افزایش یابد. با توجه به اینکه میزان این تغییر به انرژی (و یا

* Compton effect، به پخش ۱-۱ کتاب شیمی معدنی جلد دوم تألیف دکتر شیری - دکتر ملاردی انتشارات دانشگاه تربیت معلم رجوع شود.



شکل ۲-۳ نمایش زاویه دید در اندازه‌گیری مکان الکtron

طول موج فوتون) و زاویه α بر طبق رابطه زیر بستگی دارد:

$$\Delta mv = h \frac{\sin \alpha}{\lambda} \quad (4-3)$$

می‌توان دریافت که اگرچه کار بر دپرتوها باید با طول موج کوتاه‌تر، خطای اندازه‌گیری در تعیین مکان الکترون را کاهش می‌دهد ولی در مقابل، باعث افزایش خطای اندازه‌گیری در تعیین اندازه حرکت الکترون، بر طبق رابطه ۴-۳، می‌شود. حال اگر حاصلضرب این خطاهای را در نظر بگیریم، رابطه تقریبی زیر به دست می‌آید که براساس آن می‌توان دریافت

$$\Delta x \cdot \Delta mv \approx h \quad (5-3)$$

که اندازه‌گیری دقیق و همزمان مکان و سرعت (یا اندازه حرکت) ذرات میکروسکوپی فوق العاده ریزی مانند الکترون، غیرممکن است. زیرا مثلاً هرچه در اندازه‌گیری مکان الکترون دقت به عمل آید، بهمان اندازه در اندازه‌گیری اندازه حرکت آن خطای بیشتری روی خواهد داد. این واقعیت که اولین بار توسط هایزنبرگ^۱ در سال ۱۹۲۷ کشف شد، بنام اصل عدم قطعیت‌هایزنبرگ شهرت یافته است.

برای روشن شدن موضوع به حل تمرینی می پردازیم:

تمرین ۵-۳

اگر بتوان سرعت الکترون در حالت پایه اتم هیدروژن را برابر 4.368×10^8 سانتیمتر بر ثانیه به دست آورد . مقدار خطای در اندازه گیری مکان الکترون را در شرایط آزمایش حساب کنید .

حل :

باتوجه به اینکه سرعت الکترون بر اساس نظریه اتمی بوهر در حالت پایه اتم هیدروژن
برابر 4.368×10^8 سانتیمتر بر ثانیه است می توان نوشت:

$$\Delta v = (4.368 \times 10^8 - 4.184 \times 10^8) \text{ cm/s} = 2.184 \times 10^8 \text{ cm/s}$$

$$\Delta mv = 9.1096 \times 10^{-28} \text{ g} \times 2.184 \times 10^8 \text{ cm/s}$$

$$= 1.990 \times 10^{-20} \text{ g.cm.s}^{-1}$$

با استفاده از رابطه ۵-۳ ، داریم :

$$\Delta x \times 1.990 \times 10^{-20} \text{ g.cm/s} = 6.626 \times 10^{-27} \text{ erg.s}$$

$$\Delta x = 3.330 \times 10^{-8} \frac{\text{erg} \cdot \text{s}}{\text{g.cm/s}} = 3.330 \times 10^{-8} \text{ cm}$$

$$= 3.330 \times 10^{-8} \text{ cm} \times \frac{10^8 \text{ Å}}{1 \text{ cm}} = 3.330 \text{ Å}$$

یعنی مقدار خطای در اندازه گیری مکان الکترون در اطراف هسته اتم هیدروژن حدود شش برابر شعاع اتم هیدروژن (5.29×10^{-8} آنگستروم) به دست می آید که بهبیج وجه قابل قبول نیست. این به آن معنی است که امکان اندازه گیری سرعت الکترون حتی با خطای حدود صد درصد ، نیز امکان پذیر نیست و چنانچه بخواهیم به فاصله واقعی الکترون تا هسته ، دست یا بیم ، خطای اندازه گیری سرعت ممکن است به چندین هزار (یا چندین هزار) درصد برسد.

۴-۳ اصل عدم قطعیت های زنگنه در مورد زمان و انرژی الکترون

باتوجه به رابطه انرژی جنبشی الکترون می توان نوشت:

$$E = 1/2mv^2$$

$$2E = mv^2$$

$$\Delta E = v \Delta mv$$

چون داریم :

$$v = \frac{\Delta x}{\Delta t}$$

پس می‌توان نوشت:

$$\Delta E = \frac{\Delta x \cdot \Delta mv}{\Delta t}$$

و یا :

$$\Delta E \cdot \Delta t = \Delta x \cdot \Delta mv$$

و با توجه به رابطه ۳-۵، نتیجه می‌شود که:

$$\Delta E \cdot \Delta t = h \quad (۶-۳)$$

براساس این رابطه می‌توان نتایج بسیار مهمی به شرح زیر، به دست آورد:

$$1) \text{ با توجه به اینکه مقدار } \Delta t \text{ برای } \frac{h}{\Delta E} \text{ است، می‌توان دریافت که الکtron}$$

می‌تواند مدت بسیار طولانی برروی ترازی که در حالت عادی اتم، برروی آن قرار دارد (حالت پایه) باقی بماند. زیرا در این حالت $\Delta E = 0$ و $\Delta t = h/\Delta E$ برابر بینهاست.

۲) هرگاه اتم براثر جذب انرژی به حالت برانگیخته درآید و الکtron از حالت پایه به تراز بالاتری ارتقاء یابد، در این صورت مقدار $\Delta E \neq 0$ خواهد بود. در نتیجه مقدار

$$\frac{h}{\Delta E} \text{، عدد فوق العاده کوچکی حدود } 10^{-27} \text{ ثانیه می‌شود که همان زمان ماندن الکtron}$$

برروی تراز برانگیخته است. بر همین اساس است که در اتم برانگیخته، الکtron به محض ارتقاء به تراز بالاتر، به تراز پایین تر و یا حالت پایه بر می‌گردد و انرژی فوتون جذب شده را، دوباره به صورت تابش الکترون-مغناطیسی منتشر می‌کند.

۳) هرچه الکtron در اتم برانگیخته، از حالت پایه به تراز بالاتری ارتقاء یابد، چون مقدار ΔE بیشتر خواهد شد، زمان بازگشت آن به تراز پایین تر، کوتاهتر خواهد بود.

۴) با توجه به رابطه $\Delta E = h \Delta v$ ، می‌توان پی برد که هرچه مقدار ΔE بیشتر

باشد، مقدار Δt نیز بزرگتر خواهد بود، درنتیجه امکان تابش طول موجهای نزدیک بهم بیشتری برای اتم به وجود می‌آید. از این‌رو، تعداد خطوط طیفی بیشتری به وجود می‌آید و یا پهنانی نوار طیفی بیشتر می‌شود.

براساس اصل عدم قطعیت، دیگر مدل‌های کلاسیک اتم، یعنی درنظر گرفتن مسیرهای خطی کاملاً مشخص دایره‌ای یا بیضی شکل برای حرکت الکترون مفهومی نخواهد داشت. زیرا با واقعیتهای تجربی سازگاری ندارد. از این‌رو، به جای اینکه الکترون را در مکان شخصی از فضای اطراف هسته در نظر بگیریم که با سرعت معینی حرکت می‌کند، باید فقط احتمال وجود الکترون در آن نقطه را مدنظر قراردهیم، یعنی اگر مکان الکترون در فضای اطراف هسته مشخص باشد، فقط می‌توان مقدار احتمالی اندازه حرکت آن را حدس‌زد. چنانچه در یک لحظه، اندازه حرکت الکترون مشخص باشد، باید انتظار داشته باشیم که به طور همزمان مکان دقیق آن را بتوان مشخص کرد. با توجه به اینکه مدل‌های کاملاً مشخص اتمی در مفهوم کلاسیک، باهمه مشاهدات تجربی ما درمورد اتم هماهنگی ندارند، باید خصلت موجی بودن حرکت الکترون و جنبه احتمالی بودن مشاهدات خود درمورد وضعیت الکترون را مورد توجه قراردهیم. بایانی دیگر، الکترون را از دیدگاه مکانیک جدیدی بنام مکانیک موجی مورد بررسی قرار دهیم. ولی قبل از واردشدن در این بحث، یادآوری مطالبی، جهت آشنازی بیشتر با حرکت موجی ضروری به نظر می‌رسد. زیرا اگرچه، تصور حرکت موجی الکترون به سادگی امواج صوتی و یا امواج تار مرتعش نیست، ولی برای درک بهتر مفاهیم مربوط به مکانیک موجی درباره الکترون و شناخت ساختار الکترونی اتم، می‌تواند مفید باشد.

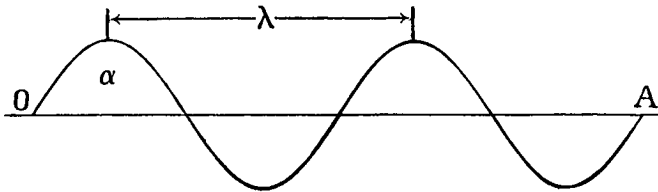
۵-۳ معادله انتشار موج پیش‌رونده

معادله حرکت یک نوسانگر هماهنگ را می‌توان به صورت زیر نشان داد:

$$\varphi = a \sin \omega t \quad (7-3)$$

فاصله نوسانگر از حالت تعادل در هر لحظه را بعد، مقدار ثابت a را بعد مانگیم و ω را سرعت زاویده‌ای یا تپش آن می‌نامند. برای به دست آوردن معادله انتشار موج پیش‌رونده در بعد معینی، مثلاً در راستای OA ، برطبق شکل ۳-۳، کافی است که معادله ۷-۳ را که در حقیقت معادله حرکت موجی در مبدأ مختصات است، برای زمانی که موج به نقطه‌ای دور از مبدأ، مانند نقطه A می‌رسد، بنویسیم:

اگر سرعت انتشار موج را برابر v و فاصله نقطه A از مبدأ را برابر OX در نظر



شکل ۳-۳ نمایش انتشارهوج پیشرونده در راستای OA

بگوییم، موج پس از زمان $t' = \frac{x}{v}$ به نقطه A می‌رسد. به بیانی دیگر، نقطه A نسبت به مبدأ بداندازه t' ثانیه تأخیر فاز دارد. از این‌رو، برای نقطه A می‌توان نوشت:

$$\varphi = a \sin \omega (t - t') = a \sin \frac{2\pi}{T} \left(t - \frac{x}{v} \right)$$

$$= a \sin 2\pi \left(\frac{t}{T} - \frac{x}{vT} \right)$$

زمان تناوب است. چون بین فرکانس (v) و زمان تناوب رابطه $\frac{1}{T} = v$ و یعن سرعت انتشارهوج، زمان تناوب و طول موج رابطه $\lambda = vT$ برقرار است، داریم

$$\varphi_x = a \sin 2\pi \left(vt - \frac{x}{\lambda} \right) \quad (8-3)$$

این رابطه که یک تابع ساده سینوسی است، «معادله انتشارهوج پیش‌رونده» در یک بعد فضای نامیده می‌شود

۳-۶ معادله انتشارهوج در سه بعد فضای

این نوع معادله، در واقع، یک معادله دیفرانسیلی درجه دوم است که جوابهای قابل قبول آن به صورت توابع سینوسی ساده (نظیر معادله ۸-۳) می‌باشند. از این‌رو، برای به دست آوردن آن، ابتدا باید از معادله ۸-۳، هم نسبت به زمان و هم نسبت به فاصله از مبدأ، در

یک بعد، مشتق دوم گرفت:

$$\frac{\partial \varphi}{\partial t} = 2\pi v a \cos 2\pi \left(vt - \frac{x}{\lambda} \right) \quad (9-3)$$

$$\frac{\partial^2 \varphi}{\partial t^2} = -4\pi^2 v^2 a \sin 2\pi \left(vt - \frac{x}{\lambda} \right) = -4\pi^2 v^2 \varphi \quad (10-3)$$

$$\frac{\partial \varphi}{\partial x} = -\frac{2\pi}{\lambda} a \cos 2\pi \left(vt - \frac{x}{\lambda} \right) \quad (11-3)$$

$$\frac{\partial^2 \varphi}{\partial x^2} = -\frac{4\pi^2}{\lambda^2} a \sin 2\pi \left(vt - \frac{x}{\lambda} \right) = -\frac{4\pi^2}{\lambda^2} \varphi \quad (12-3)$$

و یا:

$$\frac{\partial^2 \varphi}{\partial x^2} - \frac{1}{\lambda^2 v^2} \cdot \frac{\partial^2 \varphi}{\partial t^2} = 0 \quad (13-3)$$

معادله ۱۳-۳ ، در مورد انتشار موج در سه بعد فضای به صورت زیر نوشته می شود:

$$\frac{\partial^2 \varphi}{\partial x^2} + \frac{\partial^2 \varphi}{\partial y^2} + \frac{\partial^2 \varphi}{\partial z^2} - \frac{1}{\lambda^2 v^2} \cdot \frac{\partial^2 \varphi}{\partial t^2} = 0 \quad (14-3)$$

معمولًا به منظور سادگی، سه جمله اول این معادله را که فقط به مختصات مکانی ذرہ در فضای مربوط است، با علامت $\nabla^2 \varphi$ * نشان می دهند و به صورت زیر خلاصه می کنند:

$$\nabla^2 \varphi - \frac{1}{\lambda^2 v^2} \cdot \frac{\partial^2 \varphi}{\partial t^2} = 0 \quad (15-3)$$

این معادله را که به سه بعد مکانی و یک بعد زمانی بستگی دارد، معادله انتشار موج در فضای نامند. که بیشتر در مورد تابش‌های الکترون-مغناطیسی اهمیت و کاربرد دارد. ولی در مواردی که مسائل مربوط به انرژی سیستم الکترون-هسته مطرح است و موضوع انتشار موج مورد توجه نیست، بلکه در واقع، وضعیت موج ایستاده مورد نظر می باشد، بهتر است که بعد زمانی، از معادله ۱۵-۳ حذف شود. برای این منظور، اگر مقدار $\frac{\partial^2 \varphi}{\partial t^2}$ را (از رابطه ۱۰-۳)

در معادله انتشار موج قرار دهیم، معادله جدیدی که فقط به سه بعد مکانی بستگی دارد به

* علامت ∇^2 ، نابل (Nabla) خوانده می شود و ∇^2 اپراتور (یا عملکر) لابلسی

دست می آید که اصطلاحاً معادله دامنه موج یا معادله موج نامیده می شود:

$$\nabla^2 \varphi_{(x,y,z)} + \frac{4\pi^2}{\lambda^2} \varphi_{(x,y,z)} = 0 \quad (16-3)$$

۷-۳ معادله موج الکترون

با توجه به اینکه درک مفهوم فیزیکی حرکت موجی ذره مادی به آسانی درک مفهوم حرکتهای موجی معمولی آب، طناب، تارهای مرتعش ... نیست، تعبیر درستی از چگونگی حرکت موجی ذره ای مانند الکترون کار مشکلی است. قبل ازا اینکه هرگونه توجیهی درمورد تابع موج الکترون ارائه شود و مکانیک موجی درمورد الکترون توفیقی حاصل کند، او لین بار اروین شرودینگر در سال ۱۹۲۱ پیشنهاد کرد که تابع موج الکترون مفهومی منحصر آ ریاضی دارد و برای درک آن به توجیه و تعبیر مفهوم فیزیکی، نیازی نیست. براین اساس، به منظور قائل شدن تفاوتی بین توابع موج معمولی و تابع موج الکترون، برای تابع موج الکترون نشانه Ψ * را در نظر گرفت که معرف موقعیت و انرژی الکترون در فضای اطراف هسته اتم است. سپس با تنظیم معادله موج الکترون و حل آن در مورد اتم هیدروژن و به دست آوردن پاسخهایی که با بسیاری از مشاهدات و نتایج تجربی سازگاری داشت، موجات پذیرش نظریه مکانیک موجی و تعمیم و توسعه کاربرد آن در حل مسائل مربوط به ساختار الکترونی اتمها و مولکولها و پیوندهای شیمیایی را فراهم آورد.

برای به دست آوردن معادله موج الکترون که از این پس معادله شرودینگر نامیده می شود، کافی است که طول موج حرکت الکترون را با استفاده از رابطه انرژی کل الکترون در اتم حساب کرده و در رابطه $15-3$ قرار دهیم. برای این منظور، به ترتیب زیر عمل می شود:

$$(انرژی جنبشی) mv^2 + \frac{1}{2}mv^2 = E \quad (\text{انرژی کل الکترون})$$

و یا:

$$m^2v^2 = 2m(E - V)$$

با توجه به رابطه $2-3$ می توان نوشت:

* علامت Ψ ، سای (P) خوانده می شود.

$$\lambda^2 = \frac{h^2}{2m(E-V)}$$

با قرار دادن مقدار λ^2 در رابطه ۱۶-۳، خواهیم داشت:

$$\nabla^2 \Psi_{(x,y,z)} + \frac{8\pi^2 m}{h^2} (E-V) \Psi_{(x,y,z)} = 0 \quad (17-3)$$

قابل توجه است که اگر چه معادله شرودینگر در مورد حرکت موجی تمام ذرات مادی، اعتبار دارد، ولی حل آن فقط در مورد اتم هیدروژن و تا حدی یونهای هیدروژن-مانند نسبتاً ساده و عملی است. بدیهی است که در مورد یونهای هیدروژن-مانند باید بار هسته آنها در معادله ۱۷-۳ (در صورت کسر) منظور شود و نیز برای دقت بیشتر، به جای جرم الکترون در معادله ۱۷-۳، باید جرم کاهش یافته سیستم را وارد کرد.

۸-۳ صورت هامیلتونی معادله شرودینگر

اگر معادله ۱۷-۳، را بر اساس واحد اتمی طول یعنی ($1 = a_0$) تنظیم کنیم، به صورت زیر درمی آید:

$$\nabla^2 \Psi_{(x,y,z)} + 2(E-V) \Psi_{(x,y,z)} = 0 \quad (18-3)$$

که می توان آن را به صورت زیر نوشت:

$$(V - \frac{1}{2} \nabla^2) \Psi_{(x,y,z)} = E \Psi_{(x,y,z)} \quad (19-3)$$

عبارت $\frac{1}{2} \nabla^2 - V$ که معرف یک سری عملیات ریاضی (یعنی گرفتن مشتق دوم از تابع موج نسبت به سه بعد فضای ضرب آن در $\frac{1}{2}$ - و افزودن انرژی پتانسیل سیستم به آن) است، اصطلاحاً عملیگر هامیلتونی نامیده شده و با علامت H نشان داده می شود . با توجه به این توضیحات می توان نوشت:

$$H \Psi_{(x,y,z)} = E \Psi_{(x,y,z)} \quad (20-3)$$

* به پخش ۲-۲، محاسبه طول شعاع مدارهای مجاز در اتم هیدروژن، رجوع شود.

۹-۳ احتمال در مکانیک موجی

بودن^۱ مفهوم احتمال را که از اصل عدم قطعیت های زیرگذشتیجه می شود، برای توصیف تابع موج به کار برد. به عقیده وی، تابع موج یک ذره مادی نظری الکترون، یک تابع دامنه در مفهومی که برای امواج معمولی به کارمی رود، نیست. بلکه در واقع معیاری از میزان احتمال یک رویداد مکانیکی است که هر چه دامنه آن وسیعتر باشد، احتمال آن رویداد بیشتر است و هر چه دامنه آن محدودتر باشد به همان نسبت میزان احتمال آن رویداد کمتر است. چنین تصوری با در نظر گرفتن خصلات کوآنتمومی در مورد تابشی الکترورفتوفیزی صادق است. زیرا شدت تابش (I) هر منبع یعنی تعداد فوتونها بی که در واحد زمان از واحد سطح آن منتشر می شود با دانسیته فوتونهای منتشر شده، یعنی به تعداد فوتونها در واحد حجم بستگی دارد. به یانی دیگر مجدور دامنه موج در هر نقطه، میزان احتمال وجود فوتونها را در حجم معینی در آن نقطه مشخص می کند. شدت تابش الکترورفتوفیزی، خود با مجدور دامنه نوسان بردار الکتریکی آن متناسب است*. از این رو، می توان دریافت که بین مجدور دامنه حرکت موجی فوتون و دانسیته فوتون، ارتباط نزدیکی وجود دارد. در واقع، دانسیته فوتون را می توان دانسیته احتمال محسوب داشت. از نظر تجربی، وقتی از پراش پرتوهای نور به وسیله یک شیار بار یک عکسبرداری شود، بر روی فیلم عکاسی پس از ظاهر کردن، مناطق تاریک و روشنی مشاهده می شود که مناطق تاریک، احتمال تابش فوتونهای بیشتر و مناطق روشن احتمال تابش فوتونهای کمتری را بر سطح فیلم نشان می دهد. یعنی اطلاعات ما درباره موقعیت فوتون، فقط در حد احتمال است:

با توجه به اینکه بر اساس تجربه، بین پراش پرتوهای نور و پرتوهای الکترونی تشا بهی وجود دارد، انتظار می رود توجیهی که بر اساس نظریه کوآنتمومی در مورد فوتون قابل قبول به نظر می آید، در مورد الکترون نیز صادق باشد. از این رو، می توان نتیجه گرفت که مجدور دامنه موج الکترون در فاصله معینی از هسته، با احتمال وجود الکترون در حجم معینی در اطراف هسته که به آن فاصله بستگی دارد، متناسب است.

چون تابع موج الکترون (Ψ) مقداری موهمی (انگاری) است، بنابراین Ψ^* نیز مقداری موهمی خواهد بود. از این رو، معمولاً "مجدور دامنه موج الکترون را بر این $*\Psi\Psi$ در نظر می گیرند (* $\Psi\Psi$ مزدوج مختلط است)، زیرا این حاصل ضرب، همواره

۱) Born

$I = \frac{c}{4\pi} E^2$ * سرعت نور و E دامنه نوسان دار الکتریکی آن است).

مقداری حقیقی می‌باشد. از این نظر می‌توان نوشت:

$$\frac{dp}{dv} = \Psi\Psi^* \quad (21-3) \quad (\text{دانسیته احتمال})$$

و یا:

$$d_p = \Psi\Psi^* dv \quad (\text{احتمال در حجم معین})$$

و از آنجا داریم:

$$P = \int_{-\infty}^{+\infty} \Psi\Psi^* dv \quad (22-3) \quad (\text{احتمال در کل حجم})$$

چون احتمال وجود الکترون در کل حجم فضای اطراف هسته به یقین نزدیک است و برابر واحد در نظر گرفته می‌شود. می‌توان نوشت (برای ساده تر نشان دادن از نوشتند حد انتگرال- گیری صرفنظر می‌شود):

$$P = \int \Psi\Psi^* dv = 1 \quad (23-3)$$

تابع موج نرمال شده

اگر رابطه ۲۳-۳ در مورد یک تابع موج الکترون صادق باشد، آن تابع موج را نرمال شده می‌نامند. در بسیاری از موارد تابع موج الکترون، چنین وضعیتی را ندارد ولی می‌توان عدد ثابتی مثل A را چنان انتخاب کرد که حاصل ضرب آن در تابع موج الکترون یعنی ΨA که یکی دیگر از جوابهای معادله موج است، تابعی نرمال شده باشد. در این صورت می‌توان نوشت:

$$P = \int A\Psi A\Psi^* dv = 1$$

و یا:

$$P = A^2 \int \Psi\Psi^* dv = 1 \quad (24-3)$$

A ثابت نرمال شده نامیده می‌شود که مقدار آن از رابطه ۲۴-۳ قابل محاسبه است.

توابع متعامد

اگر در مورد دو تابع موج، مانند Ψ_1 و Ψ_2 که هر کدام تابعی نرمال شده‌اند،

داشته باشیم:

(۲۵-۳)

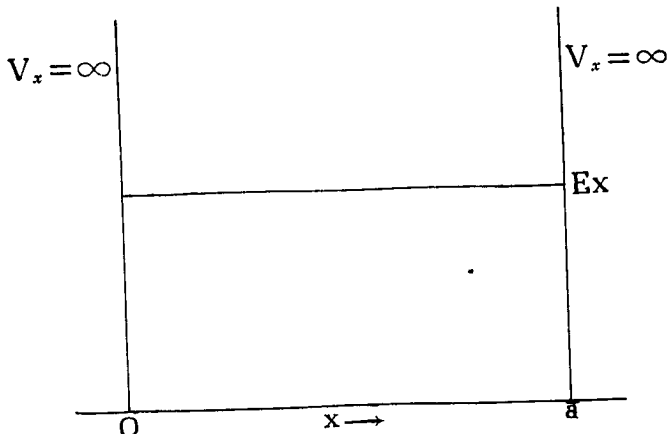
$$\int \Psi_1 \Psi_2 \, dv = 0 \quad \text{و یا} \quad \int \Psi_2 \Psi_1 \, dv = 0$$

این دوتابع را نسبت به یکدیگر متعادل می‌نمایند.

۱۰-۳ موج ذره در جعبه

با توجه به اینکه الکترون در قید جاذب هسته است و حرکت آن در فضای اطراف هسته، به حرکت ذره‌ای در داخل یک جعبه شباهت دارد. از این‌رو، طرح مسئله موج ذره در جعبه و پیوسته‌گیهای آن اهمیت زیادی به عنوان کار بر مکانیک موجی دارد. به علاوه حل معادله موج الکترون بسیار مشکل است و برای سهولت باید از حل معادله موج ذره مادی دیگری که وضعیت مشابهی با الکترون دارد کمک گرفت. یکی از ساده‌ترین و مهمترین این موارد، موج ذره محبوس در یک جعبه است.

با توجه به اینکه ذره در داخل جعبه می‌تواند آزادانه حرکت کند ولی در جدار داخلی جعبه حرکتی ندارد، می‌توان پتانسیل ذره را در داخل جعبه برابر صفر و در جدار داخلی جعبه برابر بینهاست در نظر گرفت. برای سادگی، ابتدا حرکت ذره را در یک بعد جعبه، یعنی در بعد x مطابق شکل ۴-۳ در نظر می‌گیریم:



شکل ۴-۳ ذره‌ای با انرژی E در یک جعبه

برای چنین ذره‌ای، معادله موج (معادله ۳-۱۷) به صورت زیر در می‌آید:

$$\frac{d^2\Psi_{(x)}}{dx^2} + \frac{8\pi^2m}{h^2} E\Psi_{(x)} = 0 \quad (26-3)$$

اگر مقدار کسر $\frac{8\pi^2mE}{h^2}$ را که برای هر ذره مقدار ثابتی است با α^2 نشان دهیم، می‌توان نوشت:

$$\frac{d^2\Psi_{(x)}}{dx^2} + \alpha^2\Psi_{(x)} = 0 \quad (27-3)$$

جوابهای کلی این معادله دیفرانسیلی درجه دوم، یک تابع مثلثاتی به صورت زیر است:

$$\Psi_{(x)} = A \sin \alpha x + B \cos \alpha x \quad (28-3)$$

زیرا، اگر از این تابع دوبار نسبت به x دیفرانسیل بگیریم. معادله فوق به دست می‌آید. با توجه به اینکه تابع ذره باید شرایط محدود کننده زیر را داشته باشد، یعنی؛
 ۱) مقدار آن معین باشد تا بتوان براساس آن احتمال یافتن ذره در هر نقطه را پیش‌بینی کرد.

۲) تابعی تک مقدار باشد تا در هر نقطه فقط یک مقدار برای احتمال یافتن ذره را نشان دهد.

۳) تابعی پیوسته باشد.

۴) تابعی نرمال شده باشد تا احتمال یافتن ذره در کل فضای درون جعبه برابر واحد باشد و نیز با توجه به اینکه چنین ذره‌ای در حرکت خود در داخل جعبه محدود بیها بدارد، مثلاً هیچ گاه نمی‌تواند از جعبه خارج شود، یعنی دامنه موج آن در راستای xx' ضمن برخورد به جدار دیواره جعبه برابر صفر ($=0$) است. در مورد نقطه $x=0$ می‌توان نوشت:

$$0 = A \sin \alpha \cdot 0 + B \cos \alpha \cdot 0$$

در نتیجه $B = 0$ خواهد بود.

یعنی با توجه به شرایط مرزی که برای این ذره وجود دارد، مقدار ثابت B برابر صفر است و معادله ۲۸-۳ به صورت زیر در می‌آید:

$$\Psi_{(x)} = A \sin \alpha x \quad (29-3)$$

همچنین در مورد دیواره مقابله جعبه، یعنی به ازای $x=0$ نیز داریم:

$$*0 = A \sin \alpha a$$

چون ضریب A نمی‌تواند برابر صفر باشد، پس $\sin \alpha a = 0$ است و چون می‌توان نوشت: $\sin n\pi = 0$ عدد درستی برای $n = 1, 2, 3, 4, 5, \dots$ است)، نتیجه می‌شود که:

$$\alpha = \frac{n\pi}{a} \Rightarrow E_{(x)} = n^2 \frac{h^2}{8ma^2} \quad (30-3)$$

براساس این رابطه، می‌توان به نتایج بسیار مهم ذیردست یافت:

۱) چون n عدد درستی است، برخلاف پیش‌بینی مکانیک کلاسیک نیوتونی که احتمال یافتن ذره را در تمام فضای داخل جعبه برای تغییرات انرژی جنبشی آن را پیوسته‌می‌انگارد، انرژی ذره نمی‌تواند به طور پیوسته تغییر کند، بلکه هر نوع تغییری در آن به طور انفصلی یا کوآنتومی صورت می‌گیرد. یعنی براساس مکانیک موجی، بهروشی ساده‌تر از آنچه که پلانک (در مورد کوآنتومی بودن انرژی تابشی الکترومغناطیسی در سال ۱۹۰۵) و باوهر (در مورد کوآنتومی بودن انرژی هیدروژن در سال ۱۹۱۳) ارائه داده بودند، می‌توان خصلت کوآنتومی بودن انرژی ذرات مادی را توجیه کرد. مطابق شکل ۳-۵، با ازای مقادیر مختلف n که ذره دارای کوآنتومهای معینی از انرژی است (مقادیر خاص انرژی)، با طول موجه‌ای معینی (مقادیر خاص طول موج) طول جعبه را طی می‌کند. به طوری که طول جعبه، همواره مضرب درستی از نصف طول موج حرکت ذره خواهد بود

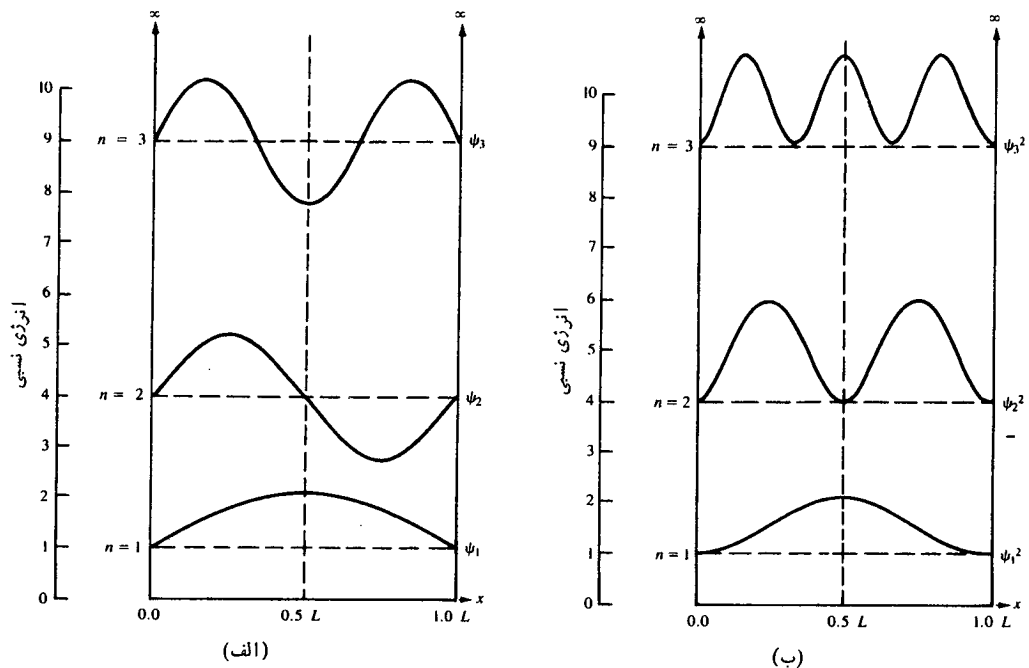
$$\left(a = n \frac{\lambda}{2} \right)$$

از کناره‌های جعبه (یعنی به x) بستگی دارد. بدینهی است که با افزایش حجم جعبه و کوچکتر شدن عدد کوآنتومی n ، تفاوت سطوح انرژی ذره را می‌توان تا حدی کاهش داد که بتوان تقریباً تغییرات انرژی ذره را پیوسته تصور کرد.

۲) هرچه حجم ذره بیشتر و درنتیجه a بزرگ‌تر باشد، مقدار E (انرژی جنبشی ذره) کمتر خواهد بود. این همان نتیجه‌ای است که باوهر براساس مدل اتمی خود در مورد اتم هیدروژن به آن دست یافت. یعنی الکترون هرچه از حالت پایه بهتر از دورتر از هسته ارتقا

* با توجه به اینکه A ثابت نرمال شدن تابع موج است و احتمال یافتن الکترون در کل حجم جعبه برای واحد است، با استفاده از رابطه ۳-۲۴ می‌توان مقدار A را حساب کرد که برای

$$\sqrt{\frac{2}{a}} \text{ به دست می‌آید.}$$



شکل ۵-۳ (الف) نمودارهای تابع موج ذره درجعیه، ب) نمودارهای تابع احتمال یافتن ذره در نقاط مختلف طول جعبه (مقدار انرژی به x بستگی ندارد و با خطچین برای هر مقدار n داده شده است)

یا بد، انرژی جنبشی آن کمتر خواهد شد.

(۳) هرچه حجم ذره کمتر باشد، پایداری سیستم کاهش می‌یابد. برهمین اساس است که درمورد گونه‌های شیمیایی^{*} که پیوند دو گانه دارند، باید رزونانس را مورد توجه قرار داد. یعنی جفت الکترونهای پیوند π را به طور غیرمستقر در نظر گرفت. زیرا در این صورت، این الکترونهای پیوندی، دیگر به حرکت در فضای بین دوهسته مقید نبوده بلکه فضای بیشتری در اختیار خواهد داشت و سیستم پایداری بیشتری کسب خواهد کرد.

درمورد موج ذره درسه بعد فضای داخل جعبه مکعبی، رابطه $3-5$ به صورت کلی زیر درمی‌آید:

$$E = (n_x^2 + n_y^2 + n_z^2) \frac{h^2}{8ma^2} \quad (31-3)$$

در این صورت، ذره در پایین ترین حالت کوآنتموی خود فقط یک سطح انرژی در اختیار دارد (هر سه عدد کوآنتموی برابر واحد است) ولی برای هر حالت کوآنتموی بالاتر چند سطح انرژی همتراز در اختیار خواهد داشت. مثلاً برای دومین سطح انرژی ($n=2$) سه سطح همتراز بازای: $1, 2, 1, 2, 1, 1, 1, 1, 1, n_x, n_y, n_z$ را می‌توان اختیار کند. رابطه $3-3$ را درمورد یک جعبه مکعب مستطیلی می‌توان به صورت زیر نوشت:

$$E = \left(\frac{n_x^2}{a^2} + \frac{n_y^2}{b^2} + \frac{n_z^2}{c^2} \right) \frac{h^2}{8m} \quad (32-3)$$

در این صورت به دلیل اینکه طول ابعاد جعبه متفاوت است، همترازی سطوح انرژی ازین‌می‌رود. به این طریق، مسئله همترازی واژین رفتن همترازی سطوح انرژی که اهمیت زیادی در بررسی خواص ذرات (اتم، مولکول) دارد را می‌توان توجیه کرد.

۱۱-۳ صورت معادله شرودینگر برای اتم هیدروژن

برای به دست آوردن معادله شرودینگر برای اتم هیدروژن، کافی است که به جای a انرژی پتانسیل الکترون در اتم هیدروژن را در رابطه $3-7$ قرار دهیم. با توجه به اینکه در اتم هیدروژن فقط یک الکترون وجود دارد و پتانسیل سیستم فقط همان پتانسیل جاذبه بین این الکترون و هسته اتم و برابر $\frac{e^2}{r}$ است، دفعه‌ای وجود ندارد. با منظور

* هر مولکول، یون، رادیکال و... را اصطلاحاً یک گونه شیمیایی می‌نامند.

کردن آن در رابطه ۳-۱۷، نتیجه می شود که:

$$\nabla^2 \Psi_{(x,y,z)} + \frac{8\pi^2 m}{h^2} \left(E + \frac{e^2}{r} \right) \Psi_{(x,y,z)} = 0 \quad (33-3)$$

همان طور که قبلاً اشاره شد، در مورد بیونهای هیدروژن-مانند، به جای e^2/r باید Ze^2 را در رابطه ۳-۳۳ منظور کرد.

۱۲-۳ حل معادله موج الکترون در مورد اتم هیدروژن

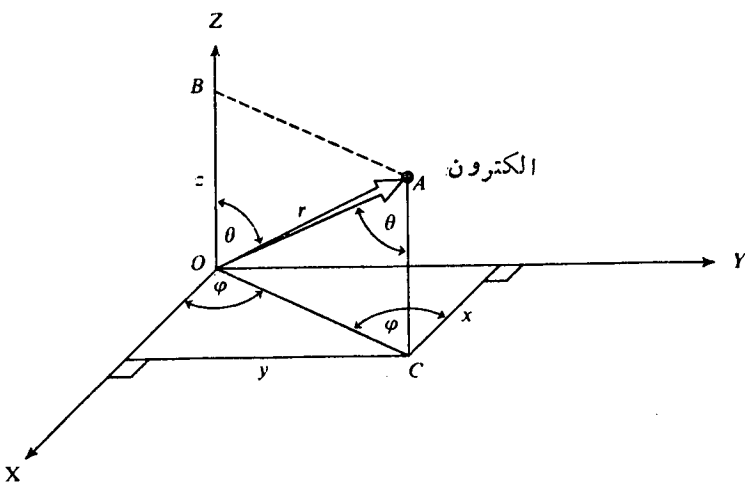
باید توجه داشت که معادله شرودینگر، فقط در مورد اتم هیدروژن به خوبی جواب می دهد و در مورد سایر اتمها باید با توجه به اتم هیدروژن و به طور تقریب عمل کرد. از این رو، حل معادله شرودینگر برای اتم هیدروژن اهمیت زیادی دارد. اما با توجه به اینکه انرژی کل سیستم در معادله شرودینگر مجموع انرژی جنبشی و انرژی پتانسیل الکترون است و برای حل مسائل مربوط به اتم، انرژی پتانسیل الکترون نقش اساسی دارد. از این رو، بهتر است که برای حل معادله شرودینگر به روش جدا کردن متغیرها عمل کرد و بخشی که به انرژی جنبشی الکترون مر بوط است را کنار گذارد.

برای این منظور، باید مجموعه جدیدی از مختصات x ، y و z که در واقع مختصات دکارتی مرکز جرم اتم هیدروژن است و متغیرهایی مانند r ، θ و ϕ را مطابق شکل ۳-۶ که مختصات قطبی کروی الکترون نسبت به هسته اند، در معادله ۳-۳۳ وارد کرد. قابل توجه است که در سیستم مختصات دکارتی، مجموع سه جمله: $x^2 + y^2 + z^2$ مقدار ثابتی در نظر گرفته می شود. در صورتی که در مختصات قطبی کروی مقدار r ثابت است. با توجه به شکل ۳-۶، می توان روابط زیر را بین مختصات دکارتی اتم و مختصات قطبی کروی الکترون بدست آورد:

$$\left. \begin{array}{l} x = r \sin \theta \cos \phi \\ y = r \sin \theta \sin \phi \\ z = r \cos \theta \end{array} \right\} \quad (34-3)$$

اگر این مقادیر x ، y ، z در معادله ۳-۳۳ تأثیر داده شود، معادله جدیدی به دست

* برای اثبات این روابط به کتاب «تئوری گروه و تقارن در شیمی» تألیف دکتر آقا بزرگ و دکتر عابدینی رجوع شود.



شکل ۳-۶ نمایش ارتباط مختصات دکارتی
اتم و مختصات کروی الکترون

می آید که در آن فقط مختصات قطبی کروی الکترون دخالت دارند و می توان آن را حاصل‌پری از سه جزء به صورت زیر در نظر گرفت:

$$(35-3) \quad \Psi(r, \theta, \phi) = R(r) \cdot \Theta(\theta) \cdot \Phi(\phi)$$

$R(r)$ ، تابع موج شعاعی الکترون است و چگونگی وابستگی Ψ را نسبت به فاصله الکترون از هسته مشخص می کند و خود به اعداد کوآنتمومی n و l بستگی دارد. $\Theta(\theta)$ و $\Phi(\phi)$ توابع موج زاویه‌ای است و چگونگی وابستگی Ψ را نسبت به زوایای θ و ϕ و چگونگی آرایش فضایی ابرالکترونی را در اطراف هسته نشان می دهد.

۱۳-۳ مفهوم ریاضی اور بیتال انمی

همان طور که گفته شد، تابع موج الکترون به اعداد کوآنتمومی n ، l و m_l بستگی دارد. هر یک از جوابهای معادله موج الکترون به ازای مجموعه مقادیر معین و مربوط به هم از این سه عدد کوآنتمومی، یعنی E_{n,l,m_l} Ψ که خود یک تابع خاص است، اصطلاحاً یک

اور بیتال اتمی نامیده می‌شود . مثلاً ، این تابع خاص به ازای مجموعه مقادیر $n=1$ ، $m_l=0$ و $l=0$ که با نشانه Ψ_{100} مشخص می‌شود ، اور بیتال $1s$ (یا Ψ_1) نامیده می‌شود . در مورد مجموعه‌های معین دیگر از اعداد کوآنتومی n ، l و m_l داریم :

$$n=2 \quad l=0 \quad m_l=0 \implies \Psi_{200}=\Psi_{2s}$$

$$n=2 \quad l=1 \quad m_l=+1 \implies \Psi_{211}=\Psi_{2p_x}$$

$$m_l=0 \implies \Psi_{210}=\Psi_{2p_y}$$

$$m_l=-1 \implies \Psi_{21(-1)}=\Psi_{2p_z}$$

در جدول ۲-۳ ، نشانه اور بیتال‌های اتمی s و p و d و ارتباط آنها با مجموعه اعداد کوآنتومی مربوط ، نشان داده شده است .

جدول ۲-۳ مقادیر اعداد کوآنتومی در ارتباط با اور بیتال‌های اتم هیدروژن

نشانه اور بیتال اتمی	مقادیر اعداد کوآنتومی			نشانه اور بیتال اتمی	مقادیر اعداد کوآنتومی			
	m_l	l	n		m_l	l	n	
$\Psi_{d_x^2-y^2}$	+2	۲	۳	Ψ_{1s}	0	0	1	
$\Psi_{d_{xy}}$	+1			Ψ_{2s}	0	0	۲	
$\Psi_{d_z^2}$	0			Ψ_{2p_x}	+1	۱		
$\Psi_{d_{yz}}$	-1			Ψ_{2p_y}	0			
$\Psi_{d_{zz}^2}$	-2	۴	۴	Ψ_{2p_z}	-1			
Ψ_{4s}	0			Ψ_{3s}	0	0	۳	
Ψ_{4p_x}	+1			Ψ_{3p_x}	+1			
Ψ_{4p_y}	0			Ψ_{3p_y}	0	1		
Ψ_{4p_z}	-1			Ψ_{3p_z}	-1			

۱۴-۳ نمودار تابع موج شعاعی

معادله تابع موج شعاعی اوربیتالهای $1s$ ، $2s$ و $2p$ دو اتم هیدروژن و یونهای هیدروژن-مانند را می‌توان به صورت زیر نشان داد:

$$(1s) R = 2 \left(\frac{Z}{a_0} \right)^{3/2} e^{-zr/a_0} \quad (36-3)$$

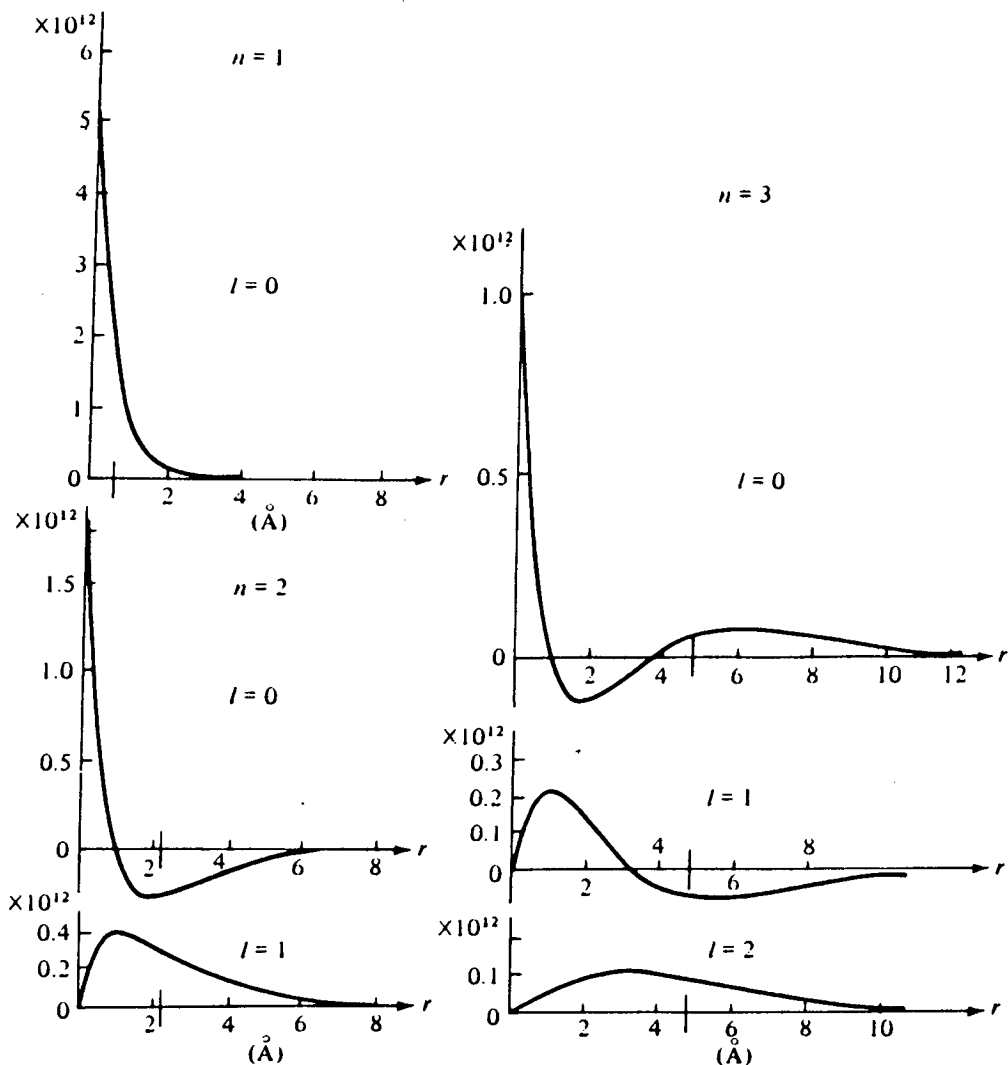
$$(2s) R = \left(\frac{1}{2\sqrt{2}} \right) \left(\frac{Z}{a_0} \right)^{3/2} \left(2 - \frac{Zr}{a_0} \right) e^{-zr/2a_0} \quad (37-3)$$

$$(2p) R = \frac{1}{2\sqrt{6}} \left(\frac{Z}{a_0} \right)^{3/2} \frac{Zr}{a_0} e^{-zr/2a_0} \quad (38-3)$$

در این روابط Z بازهسته است که در مورد اتم هیدروژن برابر واحد است و a_0 شعاع اتم بوده است. نمودار توابع موج شعاعی و اوربیتالهای $1s$ ، $2s$ و $2p$ ، $3s$ ، $3p$ و $3d$ نسبت به فاصله الکترون از هسته (r) در شکل ۷-۳ نشان داده شده است. با توجه به نمودارهای شکل ۷-۳، می‌توان دو ویژگی زیر را درباره نمودارهای جزء شعاعی تابع موج الکترون، در نظر گرفت:

(۱) دامنه موج به طور نمایی با افزایش فاصله الکترون از هسته کاهش می‌یابد و هرچه عدد کوآنتموی اصلی بزرگتر باشد، این کاهش با تتدی کمتری صورت می‌گیرد (یعنی با $e^{-\frac{2r}{na}}$ مناسب است). بر همین اساس است که با افزایش عدد کوآنتموی اصلی، شعاع و اوربیتالهای اتمی، بزرگتر می‌شود.

(۲) در مورد اوربیتال $2s$ به ازای $\frac{2a_0}{z}$ مقدار تابع $R = r^{2a_0/z}$ می‌شود که این نقطه را اصطلاحاً گره می‌نامند. علامت تابع موج که قبل از رسیدن به این نقطه، مشبت است، بعد از این نقطه تغییر می‌کند (منفی می‌شود). این روند در مورد اوربیتالهای $3s$ ، $3p$ و $3d$...، $4s$ ، $4p$ و $4d$... و $5s$ ، $5p$ و $5d$... نیز مشاهده می‌شود. به طوری که تعداد گره‌ها در مورد اوربیتالهای s برابر $1-n$ ، در مورد اوربیتالهای p برابر $2-n$ و در مورد اوربیتالهای d برابر $3-n$ است: مثلاً در نمودار مربوط به اوربیتال $3s$ ، دو گره ($3-1=2$)، اوربیتال $3p$ ، یک گره ($3-2=1$) وجود دارد در صورتی که در نمودار مربوط به اوربیتال $3d$ ، گره دیده نمی‌شود ($3-3=0$).



شکل ۷-۳ نمودارهای تغییرات جزء شعاعی تابع خاص اتم هیدروژن نسبت به فاصله الکtron از هسته (r)

۱۵-۳ نمودار تابع احتمال شعاعی

با توجه به اینکه احتمال یافتن الکترون در نقاط مختلف فضای اطراف هسته مورد توجه است، اذاین رو، بهجای روند تغییرات تابع موج بهتر است که مجدور دامنه تابع موج شعاعی (R_r^2) در نظر گرفته شود تا بتوان از روی آن تغییرات تابع احتمال شعاعی (P_r) را نسبت به فاصله از هسته (r) مورد بررسی قرارداد. برای این کار معمولاً تغییرات احتمال یافتن الکترون را در لایه‌ای کروی به شعاع r ، وقتی که این فاصله به اندازه dr تغییر

کنند، در نظر می‌گیرند. با توجه به اینکه حجم کره از رابطه $V = \frac{4}{3} \pi r^3$ به دست می‌آید، می‌توان نوشت:

$$dV = 4\pi r^2 dr$$

و با

$$P_{(r)} = \int R_r^2 dV = \int 4\pi r^2 R_r^2 dr$$

از آنجا:

$$P_{(r)} = 4\pi r^2 R_r^2, \quad (۳۹-۳)$$

مثلاً اگر تابع موج شعاعی $1s$ را مجدور کرده و حاصل را در $4\pi r^2$ ضرب کنیم، تابع احتمال شعاعی برای اوربیتال $1s$ به دست می‌آید.

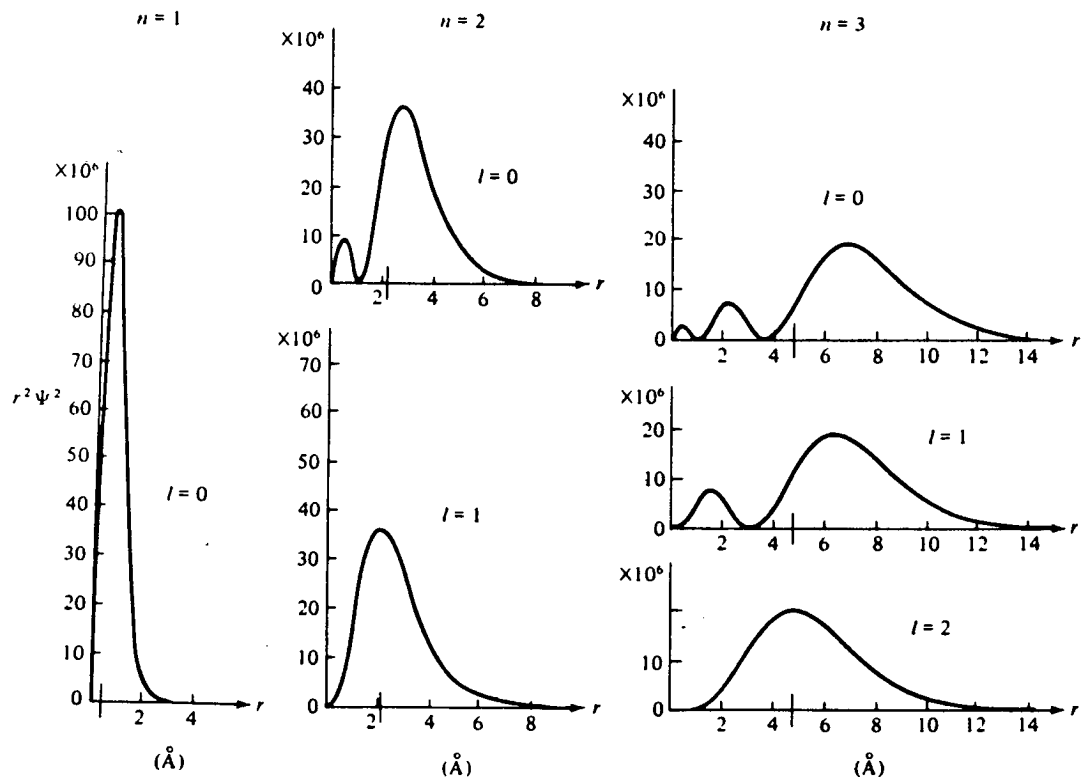
نمودار تغییرات تابع احتمال شعاعی برای اوربیتال‌های $1s, 2s, 2p, 3p$ و $3d$ اتم هیدروژن نسبت به فاصله الکترون از هسته، در شکل ۸-۳ نیز نشان داده شده‌اند. از مقایسه شکل‌های ۷-۳ و ۸-۳ می‌توان دریافت که وضعیت گره‌ها در هردو دسته از نمودارها مشابه و تعداد آنها برابر است.

همان طور که قبلاً اشاره شد، تابع موج الکترون پیوسته است، در مورد اوربیتال‌های $1s, 2p, 3d$ و مطابق شکل ۸-۲، به ازای $r = \infty$ مقدار تابع احتمال شعاعی برابر صفر است. از این‌رو، این تابع دارای ماسیممی خواهد. بود که مثلاً در مورد اوربیتال $1s$ به فاصله $r = 5529$ برابر با آنگستروم یعنی همان شعاع اتم هیدروژن در حالت ایستاده، مربوط است.

تعداد گره‌ها در مورد ترازهای d برابر $1-n$ ، در مورد ترازهای p برابر $2-n$ و در مورد ترازهای d برابر $3-n$ است (n عدد کوآنتمی اصلی، یعنی شماره ترتیب ترازهای اصلی است). مثلاً، همان‌طور که در شکل ۸-۳ نیز نشان داده شده است، تعداد گره‌ها در مورد تراز $3s$ برابر $2-1=1$ ، در مورد تراز $3p$ برابر $1-2=3$ و در مورد تراز $3d$ برابر $5-3=2$ است.

۱۶-۳ نمودار تغییرات توابع موج زاویه‌ای

این توابع آرایش فضایی ابرالکترونی را در اطراف هسته اتم نشان داده، روند تغییرات آن، شکل هندسی وجهت گیری اوربیتال‌های مختلف اتم را در فضای اطراف هسته



شکل ۳-۳ نمودار تغییرات تابع احتمال شعاعی اوربیتالهای اتم هیدروژن

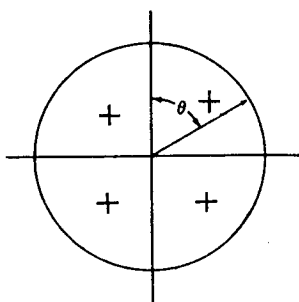
atom مشخص می‌کند و اصولاً به عدد کوآنتمی اصلی وابسته نیستند. برای آشنایی، توابع موج اوربیتالهای s ، p ، d و f در جدول ۳-۳ داده شده است.

جدول ۳-۳ توابع موج زاویه‌ای (ϕ و θ) $A(\theta, \phi)$ اور بیتاال

تابع زاویه‌ای $A(\theta, \phi)$	ضرایب نرمال کنندۀ	چندجمله‌ای چندجمله‌ای حرف ساده (^a کامل)
$\cos \theta$	$\frac{1/\sqrt{\pi}}{2}$	s
$\sin \theta \cos \phi$	$\frac{\sqrt{3/\pi}}{2}$	z
$\sin \theta \sin \phi$	$\frac{\sqrt{3/\pi}}{2}$	p_x
$(3\cos^2 \theta - 1)$	$\frac{\sqrt{5/\pi}}{4}$	y
$\sin \theta \cos \theta \cos \phi$	$\frac{\sqrt{15/\pi}}{2}$	$2z^2 - x^2 - y^2$
$\sin \theta \cos \theta \sin \phi$	$\frac{\sqrt{15/\pi}}{2}$	xz
$\sin^2 \theta \cos 2\phi$	$\frac{\sqrt{15/\pi}}{4}$	d_{yz}
$\sin^2 \theta \sin 2\phi$	$\frac{\sqrt{15/\pi}}{4}$	$x^2 - y^2$
$\sin^2 \theta \cos \theta \sin 2\phi$	$\frac{\sqrt{105/\pi}}{4}$	xy
$\sin \theta \cos \phi (\cos^2 \theta - \sin^2 \theta \sin^2 \phi)$	$\frac{\sqrt{105/\pi}}{4}$	xyz
$\sin \theta \sin \phi (\cos^2 \theta - \sin^2 \theta \cos^2 \phi)$	$\frac{\sqrt{105/\pi}}{4}$	$x(z^2 - y^2)$
$\sin^2 \theta \cos \theta \cos 2\phi$	$\frac{\sqrt{105/\pi}}{4}$	$y(z^2 - x^2)$
$\sin \theta \cos \phi (5\sin^2 \theta \cos^2 \phi - 3)$	$\frac{\sqrt{7/\pi}}{4}$	$f z(x^2 - y^2)$
$\sin \theta \sin \phi (5\sin^2 \theta \sin^2 \phi - 3)$	$\frac{\sqrt{7/\pi}}{4}$	$x(5x^2 - 3r^2)$
$5\cos^3 \theta - 3\cos \theta$	$\frac{\sqrt{7/\pi}}{4}$	$y(5y^2 - 3r^2)$
		$z(5z^2 - 3r^2)$

$$^a r^2 = x^2 + y^2 + z^2$$

نمودار توابع موج زاویه‌ای درمورد اوربیتا‌های d به مقدار زوایای θ بستگی ندارد و مقدار آن ثابت و همواره مشبّت است. از این‌رو، مطابق شکل ۹-۳ نمودار دو بعدی آن به صورت دایره و یا نمودار سه بعدی آن به صورت یک کره است. یعنی، فقط دارای یک لپ است.



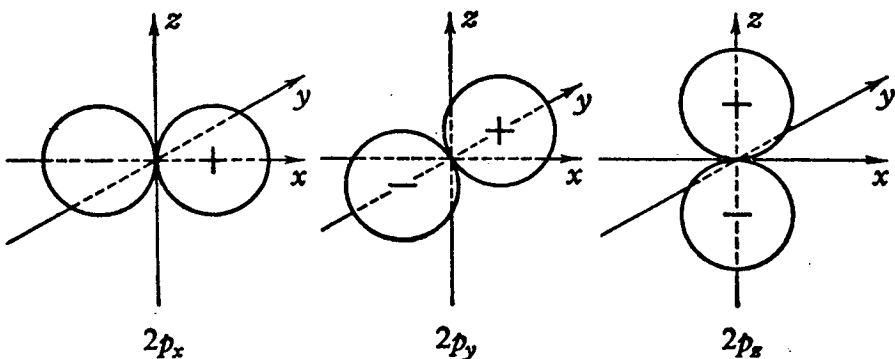
شکل ۹-۳ نمودار تابع موج زاویه‌ای اوربیتال d هیدروژن

نمودار تابع موج زاویه‌ای، درمورد اوربیتا‌های p ، به مقدار زوایای θ و ϕ بستگی دارد و نمودار دو بعدی آن به صورت دو دایره مماس بر هم (در مرکز مختصات) بوده، دارای دو لپ است که هم علامت نیستند. لپی که درجهت مشبّت هرمحور قرار دارد دارای علامت مشبّت است و لپی که درجهت منفی آن قرار می‌گیرد، علامت منفی دارد. هر اوربیتال p در راستای محوری که از دو لپ آن می‌گذرد گسترش دارد. یعنی مثلاً قسمت عمده ابرالکترونی اوربیتال p_x در راستای محور x گسترش دارد. البته همان طور که در جدول ۳-۳ آمده است، اوربیتال p_z فقط به زوایه θ بستگی دارد. نمودارهای توابع موج زاویه‌ای اوربیتا‌های p در شکل ۳-۵ نشان داده شده است.

۱۷-۳ نمودار تابع موج زاویه‌ای اوربیتا‌های d

نمودار تابع موج اوربیتا‌های d نیز به اندازه زوایای θ و ϕ بستگی دارد و مانند اوربیتا‌های p در راستای محورهای مختصات (و یا در راستای نیمساز بین محورها) گسترش دارند. بر اساس همین راستای گسترش است که مطابق شکل ۱۱-۳ می‌توان پنج اوربیتال d را به دو دسته تقسیم کرد:

یک دسته دوتایی شامل اوربیتا‌های d_{z^2} و $d_{x^2-y^2}$ که در راستای محورهای

شکل ۱۰-۳ نمودارهای توابع موج زاویه‌ای اوربیتالهای p

مختصات گسترش دارند.

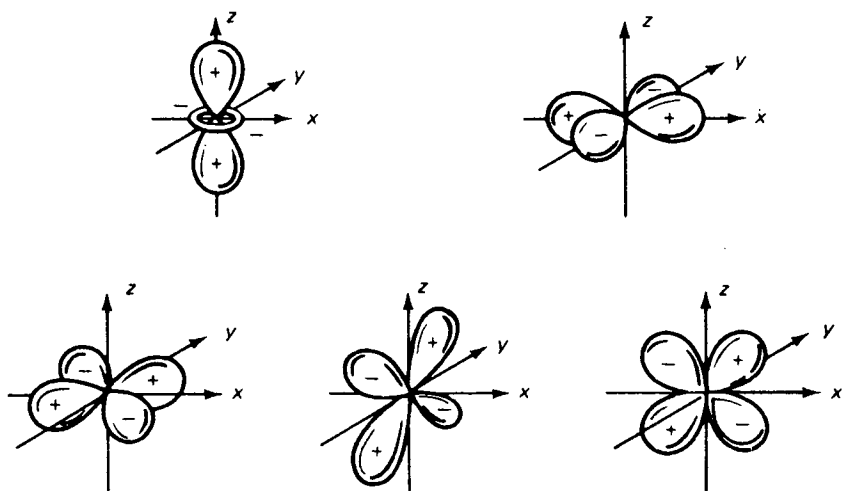
یک دسته سه‌تایی، شامل اوربیتالهای d_{xy} ، d_{xz} و d_{yz} که در راستای نیمسازهای محورها گسترش دارند.

اوربیتال $d_{x^2-y^2}$ در راستای محورهای x و y و اوربیتال d_z^2 عمدتاً در راستای محور z و تا حدی نیز در راستای محورهای x و y گسترش دارد. ولی اوربیتال d_{xy} در راستای دونیمساز زوایای بین محورهای x و y ، اوربیتال d_{xz} در راستای دونیمساز زوایای بین محورهای x و z و اوربیتال d_{yz} در راستای دونیمساز زوایای بین محورهای y و z مطابق شکل ۱۱-۳ گسترش دارد.

همان‌طور که در شکل ۱۱-۳ نشان داده شده است، اوربیتالهای d نسبت به اوربیتالهای p دوتفاوت عمدۀ دارند:

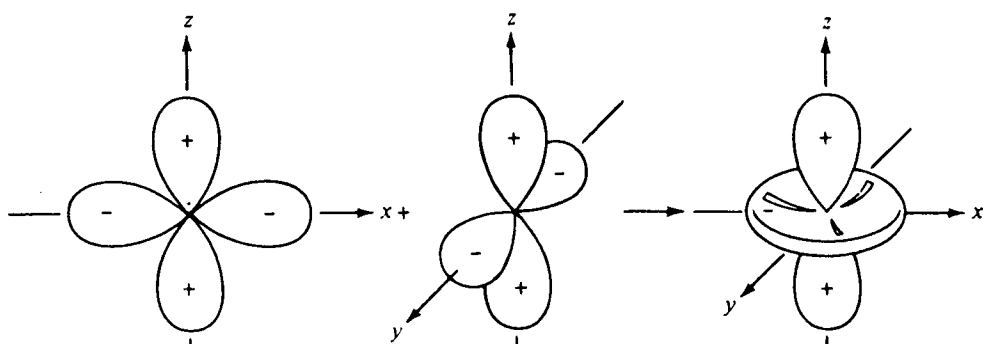
- ۱- بر عکس اوربیتالهای p هر یک دارای چهار لپ می‌باشد.
- ۲- لپهای رو برو در هر اوربیتال d ، بر عکس اوربیتالهای p ، هم علامتند. از این‌رو، همواره نسبت به مرکز وضعیت متقارنی دارند.

همان‌طور که در شکل ۱۲-۳ نشان داده شده است، اوربیتال d_z^2 را می‌توان ترکیبی خطی از دو اوربیتال $d_{x^2-y^2}$ و $d_{y^2-z^2}$ پنداشت. یعنی، باید شش اوربیتال برای تراز d در نظر گرفت که دو اوربیتال اخیر به طور مستقل وجود ندارد بلکه به جای آنها باید اوربیتال



شکل ۱۱-۳ نمودارهای جزء زاویه‌ای توابع موج اوربیتالهای d

واحدی که همان d_{z^2} است را منظور کرد. براین اساس، دانسیتی الکترونی در این اوربیتال عمدتاً در راستای محور z تمرکز دارد و در سطح yz بهمیزان کمتر و در سطحی طبق‌وار توزیع می‌شود.



شکل ۱۲-۳ توجیه اوربیتال d_{z^2} بهمنزله ترکیب خطی از اوربیتالهای $-x^2-y^2$ و d_{z^2}

تمرین ۶-۳

درستی تساوی $\sin^2\theta \cos 2\phi = \frac{1}{r^2}(x^2 - y^2)$ را ثابت کنید.

حل:

با توجه به روابط ۳-۳۴ می‌توان نوشت:

$$\frac{x}{r} = \sin\theta \cos\phi$$

$$\frac{y}{r} = \sin\theta \sin\phi$$

حال می‌توان نوشت:

$$\sin^2\theta \cos 2\phi = \sin^2\theta(\cos^2\phi - \sin^2\phi)$$

$$= \sin^2\theta \cos^2\phi - \sin^2\theta \sin^2\phi$$

$$= (x/r)^2 - (y/r)^2 = \frac{1}{r^2}(x^2 - y^2)$$

۱۸-۳ نمودار تابع موج زاویه‌ای اوربیتالهای f

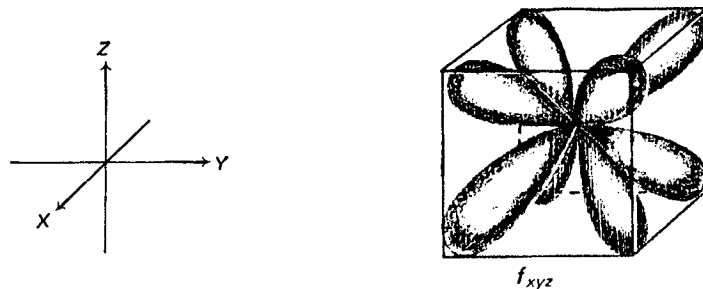
نمودار تغییرات تابع موج زاویه‌ای این اوربیتالها و ضعیمت پیچیده‌ای دارد و با توجه به روند نمودار تغییرات این توابع و شکل اوربیتالها، هفت اوربیتال f را می‌توان به سه دسته تقسیم کرد:

۱- اوربیتال z_{+y} که لپهای آن در راستای محورهای مرتبه سه مکعب، مطابق شکل ۱۳-۳ گسترش دارد.

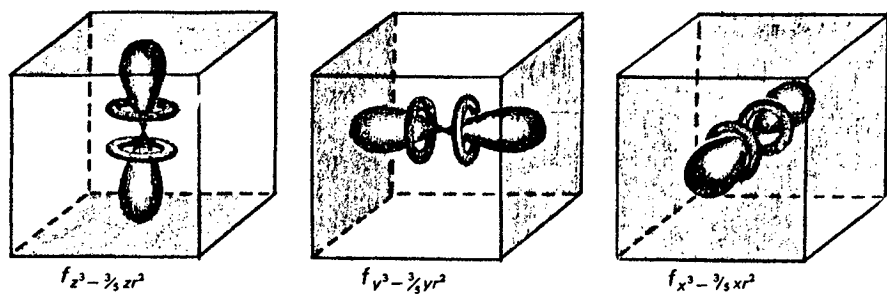
۲- اوربیتالهای $-z_{+x}$ ، $-z_{+y}$ ، $-z_{+z}$ که مطابق شکل

۱۴-۳ لپهای هریک نسبت به یکی از محورهای مرتبه چهار مکعب (محورهای مختصات دکارتی)، آرایش منقارنی دارد.

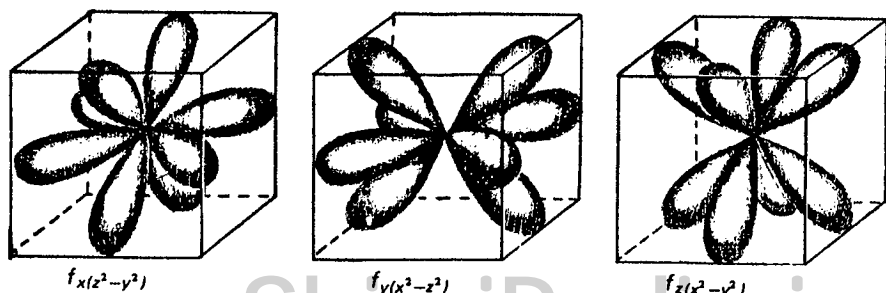
۳- اوربیتالهای $(x^2 - y^2)$ ، $(x^2 - z^2)$ ، $(y^2 - z^2)$ که لپهای هریک در راستای محورهای مرتبه چهارمکعب، مطابق شکل ۱۵-۳ گسترش دارند.



شکل ۱۳-۳ نمودار تابع موج زاویه‌ای اوربیتال $zxyz$



شکل ۱۴-۳ نمودار توابع موج زاویه‌ای سه اوربیتال f



شکل ۱۵-۳ نمودار توابع موج زاویه‌ای سه اوربیتال f

قابل توجه است که مانند اوربیتا لهای p و برخلاف اوربیتا لهای d ، در مورد اوربیتا لهای f ، علامت لپهای روبروی هر اوربیتال، یکسان نیست. به علاوه، همان طور که در شکلهای ۱۳-۳ تا ۱۵-۳ نشان داده شده است، چهار اوربیتال f ، هر یک دارای ۸ لپ و سه اوربیتال f دیگر، هر یک دارای ۴ لپ می باشند. باید توجه داشت که علامت لپهای هر اوربیتال مفهوم ریاضی دارد. یعنی علامت هر لپ ، در حقیقت علامت تابع موج در راستای آن لپ است، مثلاً با توجه به اینکه مقدار $\cos \theta$ به ازای $\hat{\theta} < 90^\circ$ مثبت و به ازای $\hat{\theta} > 90^\circ$ منفی است، بر اساس جدول ۳-۳ علامت تابع موج p و یا علامت لپ فوکانی آن مثبت و علامت لپ زیرین آن منفی است.

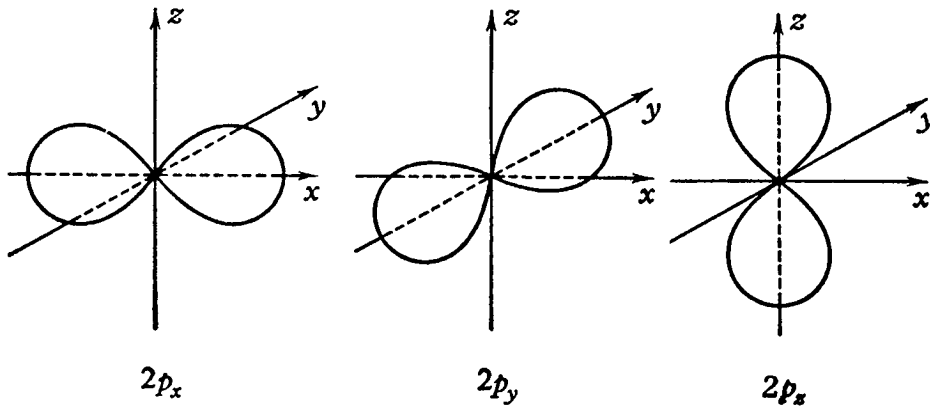
مشخص کردن علامت لپهای اوربیتال اهمیت زیادی بهویژه در مورد همپوشانی اوربیتا لهای اتم و تشکیل اوربیتا لهای مولکولی پیوندی، صدیقوندی و غیر پیوندی و نیز در مورد هیبریداسیون اوربیتا لهای لا یه ظرفیت اتمها، در بردارد. زیرا به طوری که در فصل نظریه اوربیتال مولکولی * گفته خواهد شد، فقط از همپوشانی لپهای همنام اوربیتا لهای دو اتم با یکدیگر ، اوربیتال مولکولی پیوندی و یا به بیانی دیگر ، پیوند شیمیایی بین دو اتم تشکیل خواهد شد.

۱۹-۳ نمودار توابع احتمال زاویه‌ای (ϕ^2 و θ^2)

با توجه به اینکه در شیمی ، به جای تابع موج الکترون غالباً موضوع احتمال یافتن الکترون در فضای معینی از حجم اطراف هسته، مورد توجه بیشتری قرارمی گیرد، از این رو، بیشتر با نمودار توابع احتمال زاویه‌ای سروکار داریم . از آنجایی که تابع موج زاویه‌ای ψ به مقدار زوایای θ و ϕ بستگی ندارد، نمودار تغییرات تابع احتمال زاویه‌ای اوربیتا لهای d مانند نمودار تابع موج زاویه‌ای آنها شکل کروی دارد. ولی در مورد اوربیتا لهای p ، d و f ، چون تابع موج زاویه‌ای به مقدار زوایا بستگی دارد، نمودار تابع احتمال زاویه‌ای این اوربیتا لهای دیگر شکل کروی نداشته بلکه به شکل دوک درمی آید. برای نمونه، نمودار توابع احتمال زاویه‌ای اوربیتا لهای p در شکل ۱۶-۳ نشان داده شده است. چون توابع احتمال زاویه‌ای همواره علامت مثبت دارند، از این رو ، "معمولًا" نمودارهای مر بوط به

* به فصل دوم کتاب شیمی معدنی (جلد دوم) تألیف دکتر آقا بزرگ - دکتر ملاردی رجوع شود.

احتمال زاویه‌ای بدون علامت در نظر گرفته می‌شوند.



شکل ۱۶-۳ نمودار تغییرات توابع احتمال زاویه‌ای اوربیتاهای $\ell = 1$

قابل توجه است که اگرچه توابع موج الکترون و توابع احتمال، مفهوم ریاضی دارند، ولی در نظر گرفتن علامتهاي $+$ و $-$ در نمودارهای توابع موج (اوربیتاها)، در توجیه تشکیل پیوندهای کووالانسی بین اتمها، نقش اساسی دارد و توجه به توابع احتمال، نیز از نظر تجسم فیزیکی اتم، بسیار مفید است.

۲۰-۳ نمودارهای دانسیتی الکترونی

به طور کلی هیچ یک از نمودارهای تغییرات توابع موج شعاعی یا زاویه‌ای و یا نمودارهای تغییرات احتمال که به آنها اشاره شد، مفهوم فیزیکی ندارند و وضعیت واقعی اوربیتاها اتمی را مشخص نمی‌کنند. بلکه نمایش واقعی اوربیتاها اتمی، همان نمایش تغییرات دانسیتی الکترون در فضای اطراف هسته است که معمولاً^۱ به دو صورت متفاوت ارائه می‌شود:

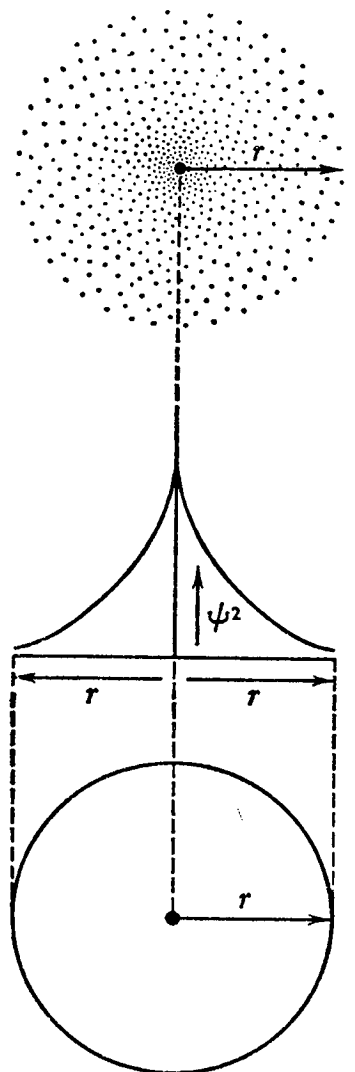
- ۱- نمودار نقطه‌ای دانسیتی الکترونی یا ابربار که احتمال کل شعاعی و زاویه‌ای را در بر گرفته و وضعیت اوربیتا از نظر کیفی توصیف می‌کند، نمودار توزیع احتمال نیز نامیده می‌شود.

۲- نمودار کانتور دانسیته الکترونی که نمودار تغییرات دانسیته الکترون را در فواصل معینی از فضای اطراف هسته نشان می‌دهد و تمام نقاطی که بر روی هر کانتور قرار دارند، دانسیته الکترون در آنها برابر یکدیگر است. این کانتورها وضعیت اوربیتال را از نظر کمی توصیف می‌کنند. در شکل ۱۷-۳، توزیع احتمال برای یک اوربیتال اتمی $1s$ بر مبنای مقادیر Ψ^2 نشان داده شده است، شکل ۱۸-۳، توزیع احتمال برای یک اوربیتال اتمی $2s$ را بر مبنای مقادیر Ψ^2 نشان می‌دهد. همان‌طور که در این شکل نشان داده شده است، ابربار در اطراف هسته دارای یک سطح گرهی کروی (یا کره گرهی) است.

اگر به روش مشابهی برای اوربیتالهای $2p$ بالاتر عمل شود، معلوم می‌شود که ابربار در اطراف هسته درمورد اوربیتال $3d$ دو سطح گرهی کروی، درمورد اوربیتال $4s$ سه سطح گرهی کروی . . . خواهد داشت. در شکل ۱۹-۳، توزیع احتمال برای یک اوربیتال اتمی $2p$ بر مبنای مقادیر Ψ^2 نشان داده شده است.

اگر به روش مشابهی برای اوربیتالهای p بالاتر عمل شود، می‌توان دریافت که ابربار در اطراف هسته درمورد اوربیتال $3p$ یک سطح گرهی کروی (به ازای هر لپ در طرفین هسته) . . . خواهد داشت.

در شکل ۲۰-۳، نمودار تغییرات دانسیته احتمال الکترون در اوربیتال $1s$ اتم هیدروژن، کانتورهای دانسیته الکترون و احتمال کل در این اوربیتال نشان داده شده است. همان‌طور که این شکل نشان می‌دهد، احتمال در واحد حجم در نزدیکی هسته بالاترین مقدار خود را دارد و با دورشدن از هسته کاهش می‌یابد (قسمت I)، در صورتی که احتمال در کل حجم (احتمال کل) در مجاورت هسته نزدیک به صفر است. زیرا، اگرچه در مجاورت هسته، میزان احتمال در واحد حجم زیاد است ولی چون مقدار حجم در مجاورت هسته فوق العاده ناچیز است، مقدار حاصلضرب دانسیته احتمال در حجم کل فضای اطراف هسته به صفر نزدیک است (قسمت II). ولی با دورشدن از هسته، به تدریج میزان احتمال در واحد حجم کم و در مقابل میزان حجم فضای اطراف هسته بیشتر می‌شود به طوری که مقدار حاصلضرب دانسیته احتمال در این حجم افزایش یافته و به بیشترین مقدار خود می‌رسد. ولی وقتی فاصله از حد معینی بیشتر می‌شود، احتمال در واحد حجم به میزانی کاهش می‌یابد که مقدار حاصلضرب دانسیته احتمال در حجم کل روبرو به کاهش می‌گذارد تا اینکه سرانجام به صفر نزدیک می‌شود در قسمت (III) شکل، هر دایره، مکان‌هندسی نقاطی را در اطراف هسته مشخص می‌کند که دانسیته احتمال در آنها یکسان است (از این‌رو، «خطوط هم‌دانسیته» نیز نامیده می‌شوند). هرچه این نقاط به هسته نزدیکتر باشند، میزان دانسیته احتمال در آنها بیشتر است. بر همین



(a)

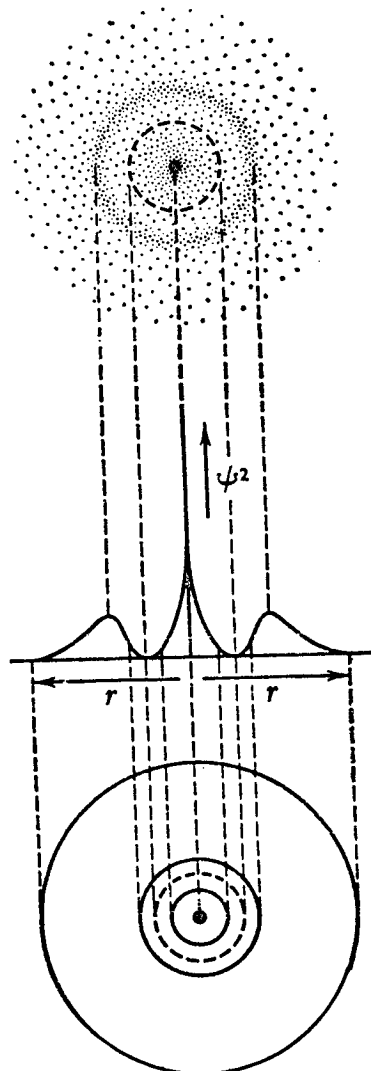
(b)

(c)

ا) اول بار اطرافی هسته که کاهش میز ان
دانسیته الکtron را نسبت به افزایش
شعاع نشان می دهد.

ب) کاهش مقدار Ψ^2 بر حسب افزایش
شعاع

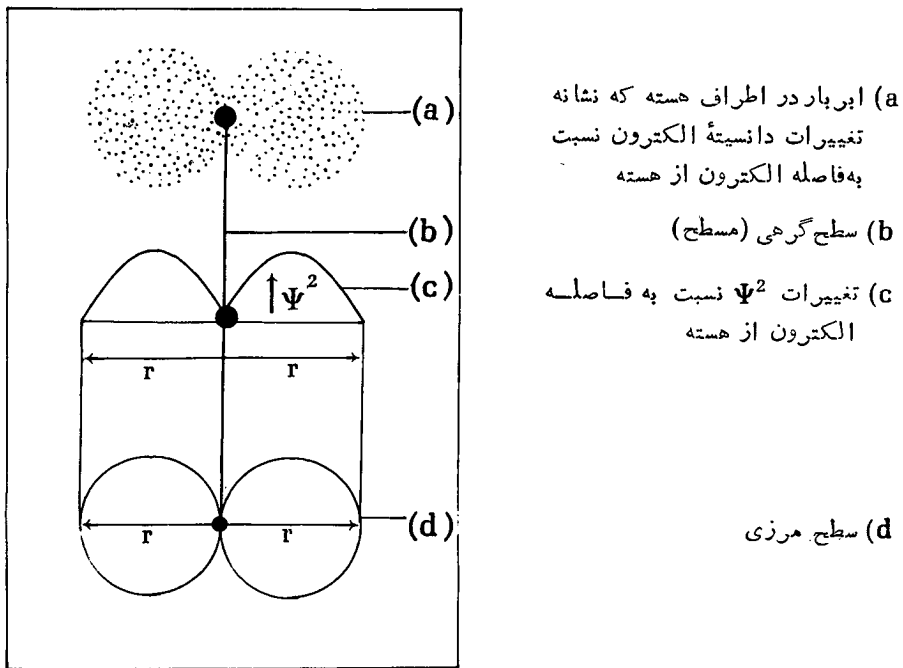
ج) سطح مرزی



(a) این بار اطراف هسته که نشان دهنده تغییرات دانسیته الکترون نسبت به فاصله الکترون از هسته است (کره گری با نقطه جین مشخص شده است).

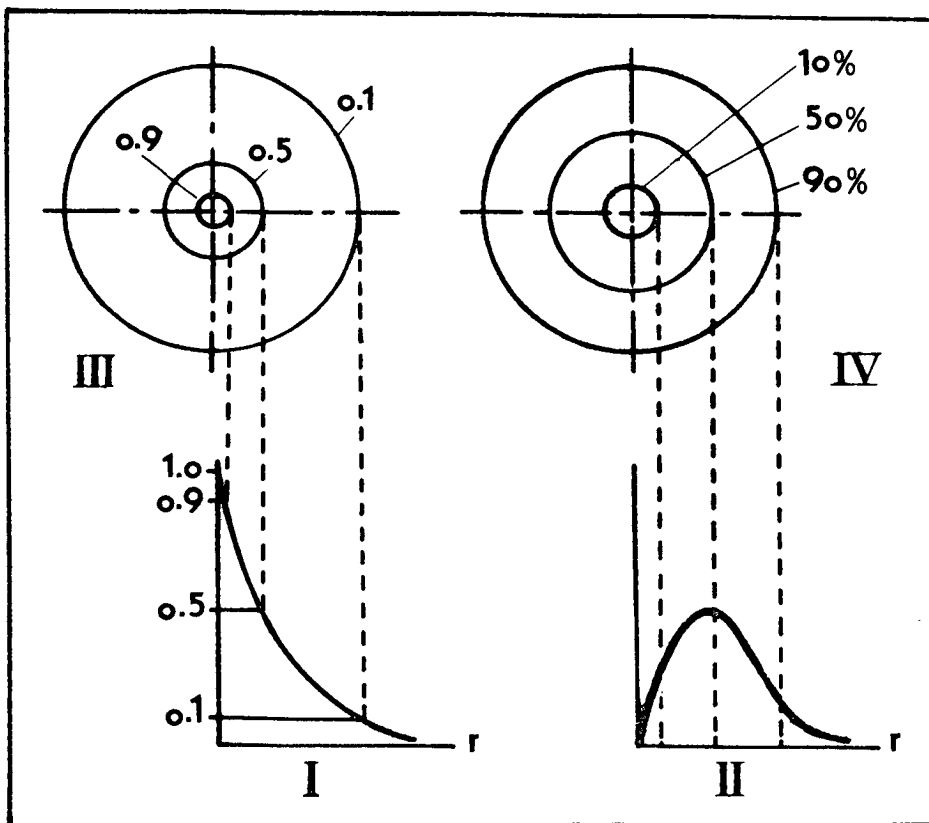
(b) تغییرات Ψ^2 نسبت به فاصله الکترون از هسته

(c) سطح مرزی که کره گری (نقطه جین) را نیز نشان می‌دهد.



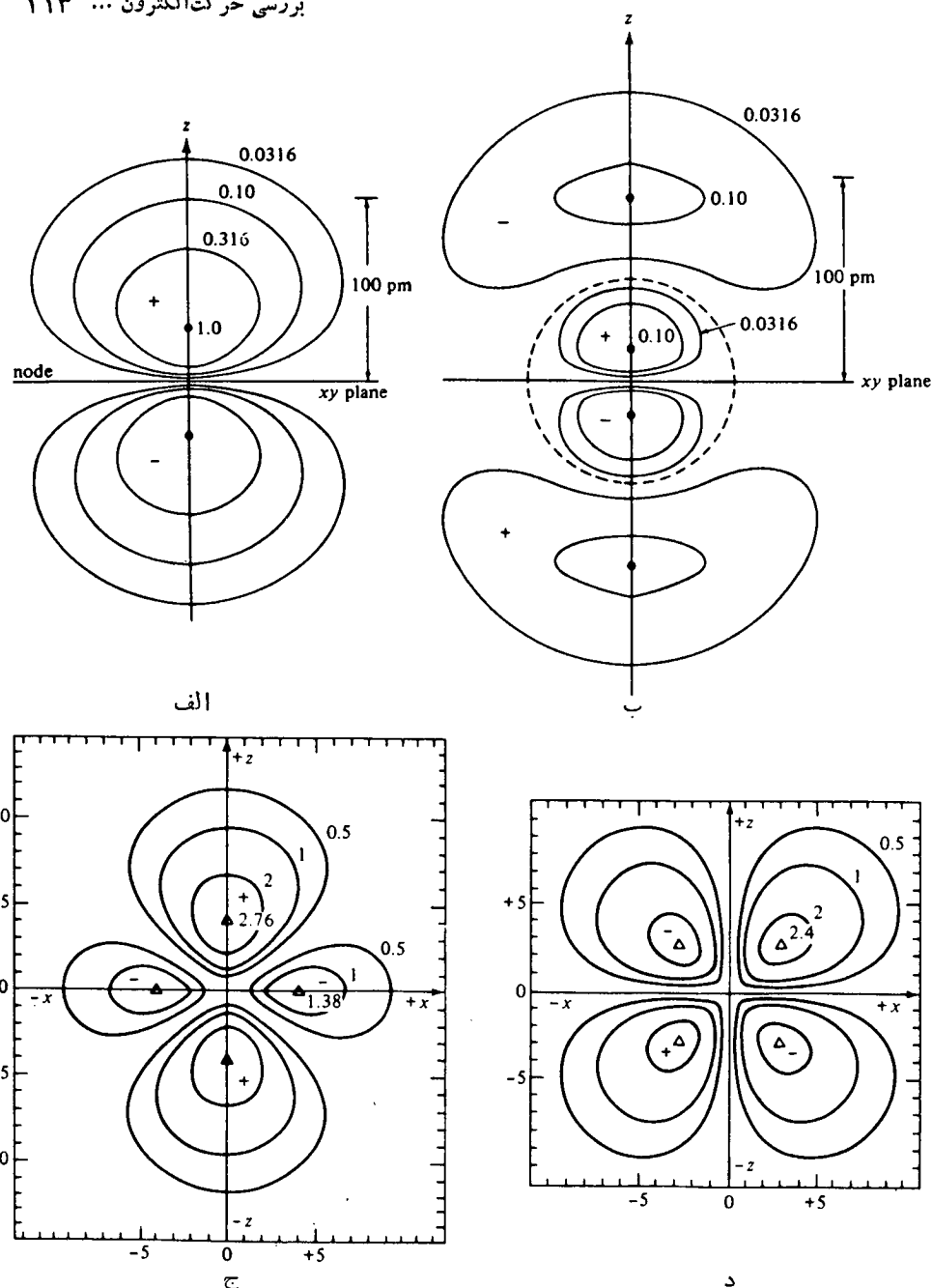
شکل ۱۹-۳ توزیع احتمال برای یک اوربیتال اتمی $\ell = 2$ بر مبنای مقادیر $|\Psi|^2$

اساس است که کمترین مقدار دانسیته احتمال به نقاطی مر بوط می شود که بر روی دایره بزرگتری قرارمی گیرند. در قسمت (IV) شکل، هر دایره، سطحی کروی شکل در اطراف هسته را مشخص می کند. میزان دانسیته احتمال در حجم داخل آن، به صورت درصدی از احتمال کل نشان داده شده است. بدینهی است که هر چه این حجم بزرگر باشد، احتمال یافتن الکترون در آن بیشتر خواهد بود. برهمین اساس است که دایره خارجی در شبکه، سطحی از فضای کروی شکل اطراف هسته را نشان می دهد که ۹۵ درصد کل احتمال یافتن الکترون را دربرمی گیرد.



شکل ۳۰-۳ نمودار تغییرات دانسیته احتمال (I) و احتمال کل (II) نسبت به فاصله از هسته، کانتورهای دانسیته احتمال (III) و کانتورهای احتمال کل (IV) در مورد اوربیتال $1s$ اتم هیدروژن.

در شکل ۳۰-۳، کانتور دانسیته الکترونی برای اوربیتالهای $1s$ ، $2p_z$ و $3d_{xy}$ نشان داده شده است. در پایان این بخش، ممکن است این پرسش مطرح شود که بر اساس وجود صفحه‌های



شکل ۳-۲۱ نمایش کانتور دانسیتی الکترونی؛ (الف) اور بیتانال $2p_z$ یون C^{5+} ، (ب) اور بیتانال $3p_z$ یون Cl^{16+} ، (ج) اور بیتانال d_{xz} و (د) اور بیتانال d_{yz} .

گرهی در نمودارهای توابع احتمال، وجود الکترون در نقاط واقع بر روی چنین سطحهای محتمل نیست، پس حرکت الکترون از یک طرف این سطحها به طرف دیگر آنها، چگونه انجام می‌پذیرد؟

برای یافتن پاسخ این پرسش، باید به واقعیت موجی بودن حرکت الکترون و اینکه لازمه حرکت موجی، تغییر علامت تابع موج وجود گرهای است، توجه کرد. علاوه بر آن، می‌توان از این پذیره که الکترون در فضای اطراف هسته می‌تواند حرکت جهشی داشته باشد، می‌توان کمال گرفت. در هر حال، با توجه به اینکه در همپوشانی اوربیتالهای اتمی و تشکیل پیوندهای کووالانسی، وجود صفحه‌های گرهی، اصولاً نقشی ندارد، اشکالی در موضوع مورد پرسش بوجود نمی‌آورد.

۲۹-۳ تقارن اوربیتالهای اتمی

اگر هر نقطه داخلواه از یک لب اوربیتال معینی را با نقطه متقابل آن (نسبت به مرکز) از اپربرو عوض کنیم (این عمل را اصطلاحاً وارونگی نسبت به مرکز می‌نامند)، علامت تابع موج تغییر نکند، در این صورت آن اوربیتال نسبت به مرکز متقارن (یا همسو*) است، و با علامت ج مشخص می‌شود مانند h اوربیتال d (که فقط یک لب با علامت مثبت دارد) یا اوربیتالهای d که لپهای روبرو در آنها هم علامتدند. در غیر این صورت، اوربیتال نسبت به مرکز تقارن تغییر علامت می‌دهد (یا ناهمسو* است) و با علامت l مشخص می‌شود. مانند هر یک از اوربیتالهای p و d که لپهای روبرو در هر یک از آنها، هم علامت نیستند. به علاوه، اگر یک اوربیتال را حول محوری به اندازه زاویه معینی بچرخانیم و علامت تابع موج تغییر نکند، در این صورت گفته می‌شود که این اوربیتال نسبت به آن محور، تقارن دارد و یا آن محور، محور تقارن آن اوربیتال است. در غیر این صورت این اوربیتال، نسبت به آن محور نامتقارن است و یا آن محور، محور تقارن این اوربیتال نیست. مثلاً اوربیتال d نسبت به هر یک از محورهای مختصات، متقارن است و یا هر یک از اوربیتالهای p نسبت به محوری که در راستای آن گسترش دارد (یعنی اوربیتال p_z نسبت به محور x ، اوربیتال p_y نسبت به محور z و اوربیتال p_x نسبت به محور z) متقارن نند. ولی مثلاً اوربیتال p_z نسبت به محورهای رزوج و یا اوربیتال p_z نسبت به محورهای x و y تقارن ندارد. ذیرا اگر به عنوان نمونه، اوربیتال p_z را حول محور رز به اندازه 180° بچرخانیم، علامت تابع موج و یا علامت لپهای آن عوض می‌شود. در این صورت گفته می‌شود که اوربیتال p_z نسبت به محور رز

* علامت ج از واژه آلمانی *ungerade* به معنی زوج (همسو) و علاوه بر از واژه آلمانی *ungerade* به معنی فرد (ناهمسو) گرفته شده است.

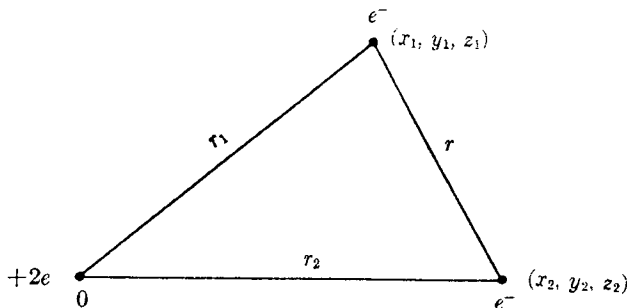
ضد متقارن است.

اور بیتال d_{x^2} از نظر دوران 180° به دور محو راه کاملاً متقارن و نسبت به دور محو دیگر از نظر دوران 180° ، متقارن دارد. اور بیتال d_z^2 نسبت به محور z کاملاً متقارن و نسبت به دور محو دیگر از نظر دوران 180° ، متقارن دارد. اور بیتال لهای d بین محوری، یعنی d_{xy} ، d_{yz} و d_{zx} به ترتیب نسبت به نیمسازهای زوایای بین محورهای x و y ، x و z ، y و z از نظر دوران 180° متقارنند.

اور بیتال d نسبت به هر صفحه‌ای که از مرکز آن (هسته اتم) بگذرد متقارن دارد. هر اور بیتال p نسبت به صفحه‌ای که محور آن و محور یکی از دو اور بیتال دیگر p را در بر گیرد، متقارن دارد. ولی نسبت به صفحه گردی خود متقارن ندارد. مثلاً، اور بیتال p نسبت به صفحه‌های xz و yz متقارن دارد ولی نسبت به صفحه yz (صفحه گردی خود) متقارن ندارد. اور بیتال d_z^2 نسبت به هر صفحه‌ای که از محور z بگذرد و یا در محل هسته برمود z عمود باشد، متقارن است. اور بیتال d_{xy} نسبت به صفحه‌های xy ، xz و yz متقارن دارد. اور بیتال لهای بین محوری d_{xy} ، d_{yz} و d_{zx} نسبت به صفحه‌ای که در آن قرار می‌گیرند و نسبت به صفحه نیمساز زوایای بین محورهای مربوط، متقارن دارند. مثلاً اور بیتال d_{xy} هم نسبت به صفحه yz و هم نسبت به دو صفحه‌ای که زوایای بین این دو محور را نصف می‌کند، متقارن دارد.

۲۲-۳ حل معادله شرودینگر برای اتمهای چند الکترونی

همان طور که قبلاً اشاره شد معادله شرودینگر، فقط برای اتم هیدروژن به طور دقیق قابل حل است و با منظور کردن بار موثر هسته یونهای هم الکترون با هیدروژن (یونهای هیدروژن-مانند)، می‌توان معادله شرودینگر را در مورد این یونها نیز به راحتی حل کرد. ولی در مورد اتمهای دیگر، حتی ساده‌ترین آنها یعنی اتم هلیم که فقط دو الکترون دارد، حل دقیق معادله شرودینگر امکان پذیر نیست، بلکه باید به روش تقریب عمل کرد، از این‌رو، فقط جوابهای تقریبی را می‌توان به دست آورد. علت این امر را عمدتاً بوجود نیزی وی دافعه بین دو الکترون در اتم هلیم نسبت داد. یعنی پتانسیل کل سیستم نه تنها شامل پتانسیلهای جاذبه‌ای بین هسته والکترونها، بلکه شامل پتانسیل دافعه بین الکترونها نیز می‌شود. به علاوه، مختصات مکانی دو الکترون با یکدیگر تفاوت دارد. به طوری که دو الکترون به طور مستقل از یکدیگر حرکت می‌کنند. با توجه به شکل ۲۲-۳ که در آن هسته در مرکز مختصات در نظر گرفته می‌شود، در مورد پتانسیل سیستم که شامل سه جزء است، می‌توان نوشت:



شکل ۴۰-۳ طرحی از موقعیت الکترونها و هسته در اتم هلیم

$$V = V_1 + V_2 + V_3 = -\frac{2e^2}{r_1} - \frac{2e^2}{r_2} + \frac{e^2}{r} \quad (40-3)$$

با قراردادن این مقدار به جای V در رابطه ۱۷-۳، معادله موج شرودینگر برای اتم هلیم به صورت زیر بدست می‌آید:

$$\nabla_1^2 \Psi_{xyz} + \nabla_2^2 \Psi_{xyz} + \frac{8\pi^2 me}{h^2} \left(E + \frac{2e^2}{r_1} + \frac{2e^2}{r_2} - \frac{e^2}{r} \right) \Psi_{xyz} = 0 \quad (41-3)$$

∇^2 عملگر هامیلتونی برای الکترون ۱ و ∇^2 عملگر هامیلتونی برای الکtron ۲ است. در اتمهای دیگر، صورت معادله شرودینگر پیچیده‌تر می‌شود. زیرا، تعداد مختصات مکانی الکترونها و نیز تعداد نیروهای جاذبه و نیروهای دافعه کوئنی افزایش پیدا می‌کند و حل معادله شرودینگر بسیار مشکل می‌شود و فقط به روش‌های تقریبی می‌توان عمل کرد. یکی از این روش‌ها، روش هادتری - فوك^۱ است که به روش میدان خود سازگار^۲ موسوم است و در سال ۱۹۲۸ ارائه شد. در این روش فرض می‌شود که یک الکترون مورد نظر در میدان الکتریکی مرکزی که از میانگین بار هسته والکترونها باقی‌مانده حاصل می‌شود، حرکت می‌کند. حل معادله موج این الکترون مورد نظر مقدار دقیقتراز برای میانگین میدان مرکزی بدست می‌دهد، از این‌رو، با استفاده از این میدان می‌توان معادله موج دقیقتراز برای الکترون دومی به دست آورد. این عمل را می‌توان تاحدی ادامه داد که معادله موج الکترونها تصحیح شده و تغییرقابل ملاحظه‌ای در جوابها مشاهده نشود.

۱) Hartree-Fock

۲) Self-Consistent Field

۴۳-۳ وضعیت اوربیتالها در آتمهای چند الکترونی

حل معادله موج یونهای هیدروژن-مانند و آتمهای چند الکترونی به روشهای تقریبی و بدست آوردن جوابهای معادله شرودینگر که در حقیقت همان اوربیتالهای این آتمهای هستند، نشان می‌دهد که این اوربیتالها، با اوربیتالهای اتم هیدروژن تفاوت اساسی نداشت، بلکه وضعیت مشابهی با آنها دارند. مهمترین تفاوت این اوربیتالهای با اوربیتالهای اتمی هیدروژن در این است که به علت زیادتر بودن مقدار بار مؤثرهسته در این آتمها، اوربیتالهای اتمی آنها نسبتاً متراکم ترند. از این‌رو، معمولاً "آنharmonic" اوربیتالهای هیدروژن-هایند می‌نامند. برای نمونه، اندازه شعاع اوربیتالهای اتمی برای عنصر دوره‌های اول، دوم، سوم و چهارم جدول تناوبی درج‌شده است. قابل توجه است که این اندازه‌ها که توسط اسلیتر و هارتری و فوک بدست آمده‌اند، براساس ماکسیم گسترش نمودار تابع موج زاویه‌ای معین شده و برخی از آنها با روش برون یا بهی به دست آمده‌اند و به طور کلی ممکن است، چندان دقیق نباشند ولی از نظر مقایسه، حائز اهمیت‌اند.

www.ShimiPedia.ir

فصل چهارم

آرایش الکترونی اتم - ترمهای طیفی- بار موثرهسته اتم

۱-۶ آرایش الکترونی اتم

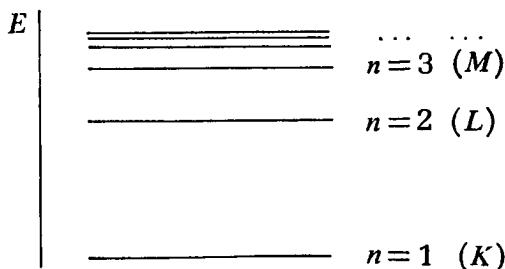
چگونگی توزیع الکترونها در ترازها و اوربیتالهای هر اتم چند الکترونی، اصطلاحاً ساختار الکترونی و یا آرایش الکترونی آن اتم نامیده می‌شود. تعیین آرایش الکترونی اتمها براساس اصول و قواعد معینی امکان پذیر است که به شرح آنها می‌پردازیم.

الف) اصل بنانگذاری اتم (اصل آفبا)*

مفهوم این اصل آن است که در اتمهای چند الکترونی، الکترونها، ترازهای انرژی را به ترتیب پایداری آنها اشغال می‌کنند. یعنی ابتدا ترازی که درسطح پایین تری قرار دارد و درنتیجه پایدارتر است از الکترون اشغال و یا پرمی شود و در صورت پرشدن آن تراز ، الکترونها در تراز پایدارتر بعدی وارد می‌شوند. این اصل را از این نظر، اصل بنانگذاری اتم نامیده اند که با افزودن تدریجی الکترون بدترازهای انرژی اتم هیدروژن (با رعایت پایداری نسبی این ترازها)، می‌توان آرایش الکترونی اتمهای دیگر را به دست آورد.

ب) تعیین پایداری نسبی ترازهای انرژی برای اینکه براساس اصل بنانگذاری اتم، بتوان آرایش الکترونی هر اتم را معین کرد، باید ترتیب پایداری ترازهای انرژی نسبت به یکدیگر در آن اتم، معلوم باشد. به طور کلی

ترتیب پایداری ترازهای انرژی اتمها را می‌توان از روی اعداد کوآنتموی n و l معین کرد. در مورد اتم هیدروژن و یونهای هیدروژن-مانند، مقدار انرژی الکترون براساس معادله موج، فقط به عدد کوآنتموی n (که همان عدد کوآنتموی اصلی در مدل کوآنتموی اتم است) بستگی دارد و اعداد کوآنتموی l و m_l در آن دخالتی ندارد. از این‌رو، ترتیب پایداری سطوح انرژی منحصرآ با اعداد کوآنتموی اصلی مشخص می‌شود. یعنی مطابق شکل ۱-۴ هر سطح انرژی که به عدد کوآنتموی n کوچکتری مربوط باشد، به هسته اتم نزدیکتر بوده و پایدارتر است. قابل توجه است که چون اتم هیدروژن و یونهای هیدروژن-مانند، فقط یک الکترون دارند، در معادله موج آنها (را بطه ۳-۱۷) پتانسیل دافعه‌ای دخالت ندارد، از این‌رو، براساس مکانیک موجی، تمام ترازهای فرعی انرژی مربوط به هر سطح



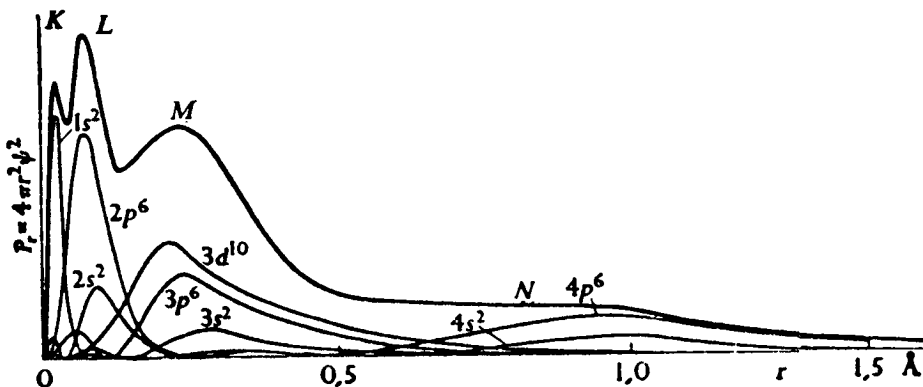
شکل ۱-۴ نمودار پایداری نسبی سطوح انرژی در اتم هیدروژن

انرژی در اتم آنها، همترازند. یعنی با توجه به شکل ۱-۴ ترتیب پایداری نسبی ترازهای انرژی در اتم هیدروژن و یونهای هیدروژن - مانند، چنین است:

$$1s > 2s = 2p > 3s = 3p = 3d > 4s = 4p = 4d = 4f$$

بايد توجه داشت که اين مطلب با واقعيتهای تجربی مطابقت ندارد، زیرا براساس آن، چندگانگی خطوط طيفي در اتم هیدروژن را که قبله هورد بررسی قرار گرفته است (بخش ۶-۲) نمي تسوان توجيه کرد. از اين‌رو، بايد قبول کرده نظرية اتمی بوهر - سامر فلد در مورد اتم هیدروژن نسبت به نظریه مکانیک موجی، در این زمینه برتری دارد. اما در مورد اتمهای چند الکترونی، پتانسیل دافعه الکتروستاتيکي بين الکترونها در معادله موج وارد مي‌شود و انرژي الکترون علاوه بر عدد کوآنتموی اصلی به عدد کوآنتموی فرعی l نيز وابستگي پيدا مي‌کند. درنتیجه، همترازی، سطوح فرعی انرژی مربوط به

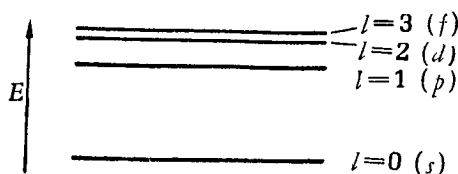
سطح انرژی ازین می‌رود. در این صورت، هرچه نفوذ تراز فرعی به‌سمت هسته بیشتر باشد، یعنی مطابق شکل ۲-۴ نمودارتابع احتمال شعاعی آن گسترش بیشتری به‌سمت هسته اتم داشته باشد، سطح انرژی آن پایین تر و درنتیجه پایداری آن بیشتر خواهد بود. با توجه به‌اینکه هرچه مقدار عدد کوآنتمومی فرعی ترازی کوچکتر باشد، نفوذ آن به‌سمت هسته



شکل ۲-۴ مقایسه نفوذ ترازهای فرعی به‌سمت هسته

بیشتر است، پس می‌توان دریافت که هر تراز فرعی که $l \neq 0$ بروط به آن کوچکتر است، پایداری بیشتری دارد. از این‌رو، همان‌طور که در شکل ۳-۴ نشان داده شده است، در مورد سومین سطح انرژی اتمهای چند الکترونی، ترتیب پایداری ترازهای فرعی چنین است:

$$4s > 4p > 4d > 4f$$



شکل ۳-۴ نمایش پایداری نسبی ترازهای فرعی یک تراز اصلی

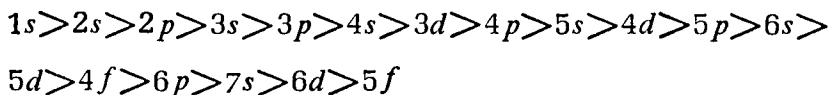
با توجه به‌اینکه هرچه اعداد کوآنتمومی n (که فاصله تراز انرژی تا هسته را مشخص می‌کند) و l (که نفوذ تراز فرعی را مشخص می‌کند) کوچکتر باشند، بر پایداری تراز

فرعی افزوده می‌شود. برای مقایسه میزان پایداری ترازهای فرعی انرژی، می‌توان مجموع اعداد کوآنتمومی n و l را درمورد هریک از آنها معین کرد. ترازی که مجموع مقدار این دو عدد کوآنتمومی درمورد آن کوچکتر باشد، پایدارتر است. چنانچه درمورد دو تراز، این مجموع برابر باشد، ترازی که مقدار n برای آن کوچکتر است، پایدارتر است. این موضوع به قاعده کلچکووسکی^۱ موسوم است، مثلاً در مقایسه پایداری ترازهای فرعی $4p$ ، $4s$ و $3d$ می‌توان نوشت:

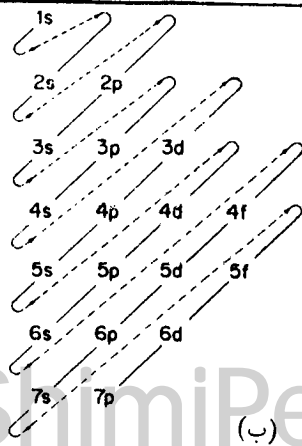
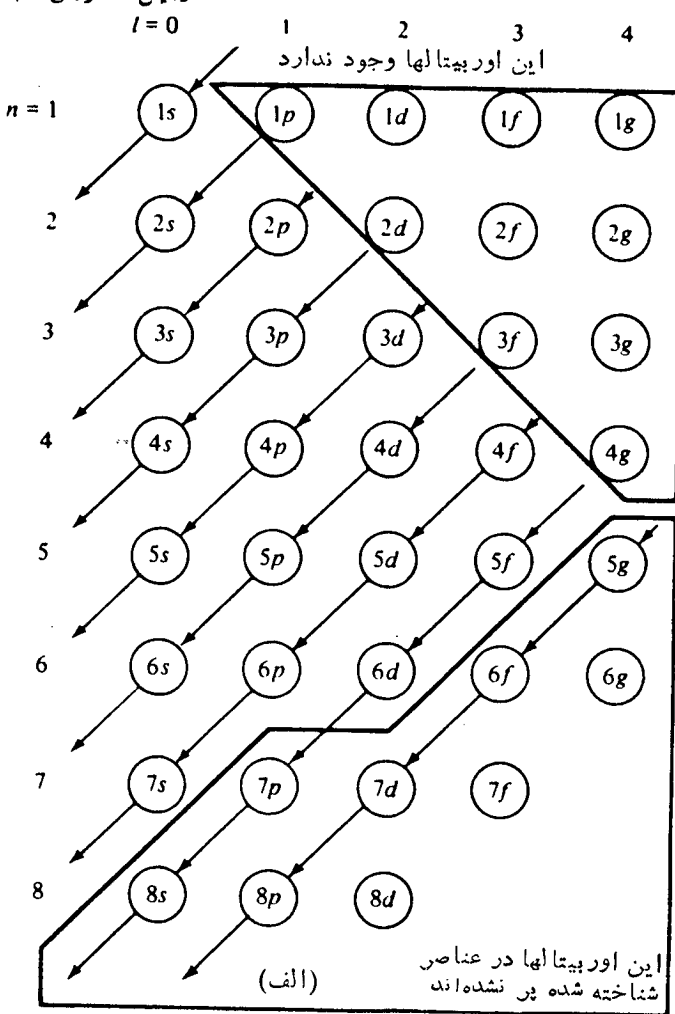
	$3d$	$4s$	$4p$
n :	۳	۴	۴
l :	۲	۰	۱
$«n+l»$:	۵	۴	۵

چون درمورد تراز $4s$ ، مجموع n و l کوچکتر است، پس پایدارتر است ولی این مجموع درمورد دو تراز دیگر برابر است. چون مقدار n برای تراز $3d$ کوچکتر است، پس تراز $3d$ از تراز $4p$ پایدارتر است. در شکل -4 پایداری نسبی و ترتیب پرشدن ترازهای براساس قاعده کلچکووسکی ویژ طرح انکل ویگلی^۲ در مورد ترتیب پرشدن ترازهای انرژی اتمها نشان داده شده است.

براساس این قاعده برای 20 عنصر سهی اول جدول تناوبی (یعنی تا کلسیم)، می‌توان ترتیب زیر را درمورد پایداری نسبی ترازهای انرژی درنظر گرفت:



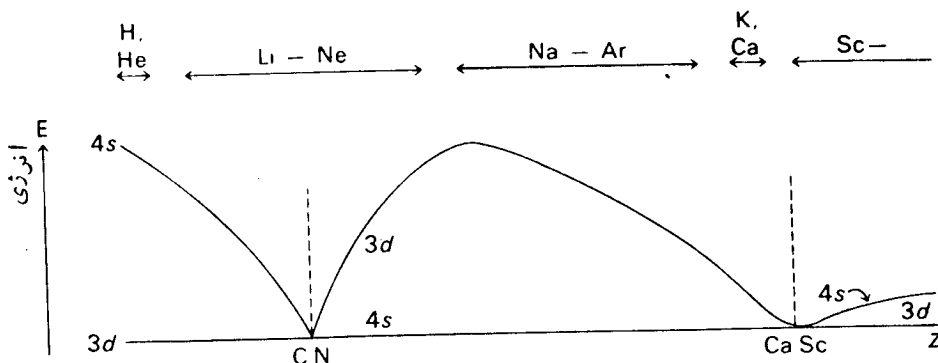
این ترتیب درمورد عناصر سنگین تر فقط از نظر محل قرارگرفتن آخرین الکترون (یعنی الکترون متمایز کننده) در لایه ظرفیت براساس اصل بنگذاری، اعتبار و کاربرد دارد. مثلاً در رویدیم، الکترون متمایز کننده، ترازهای $5s$ و $4d$ را در اختیار دارد. ولی از آنجایی که سطح تراز $5s$ در این اتم از سطح تراز $4d$ پایین تر است پس در تراز $5s$ وارد می‌شود. پرسش مهم و متأولی که در این زمینه مطرح می‌شود، این است که مثلاً اگر سطح تراز $3d$ از سطح تراز $4s$ بالاتر است و اوی تراز $4s$ پرمی شود، به هنگام



شکل ۲۶ (الف) پایداری نسبی ترازها (ب) ترتیب پرشدن ترازها بر اساس قاعده کلچکووسکی

یونیزاسیون، اتمی مانند اسکاندیم که دو الکترون در تراز $4s$ و یک الکترون در تراز $3d$ دارد، چرا ابتدا الکترون از تراز $4s$ جدا می شود و یون Sc^{+} دارای آرایش $3d^4s^1$ $3d^3s^1$ است و چرا آرایش آن به صورت $3d^2 4s^2$ نیست؟

در پاسخ به این پرسش، همان طور که اشاره شد، ترتیب فوق در مورد مقایسه پایداری ترازها در اتمهای سنگین، فقط در مورد محل قرار گرفتن الکترون مقایز کننده آنها می تواند درست باشد. زیرا همان طور که در شکل ۵-۴ نشان داده شده است، پایداری ترازهای ns نسبت به تراز $(n-1)d$ در تمام عنصر و ضعیت مشابه و یکسانی ندارد. از بررسیهای نظری و محاسباتی که براساس مکانیک موجی صورت گرفته است، چنین بر می آید که مثلاً در اتمهای هیدروژن تا کربن سطح انرژی تراز $3d$ پایین تراز سطح انرژی تراز $4s$ ولی در اتمهای نیتریل تا کلسیم، سطح انرژی آن بالاتر از تراز $4s$ قرار می گیرد، ولی از اتم اسکاندیم به بعد، دوباره سطح انرژی آن پایین تراز سطح انرژی تراز $4s$ قرار می گیرد.



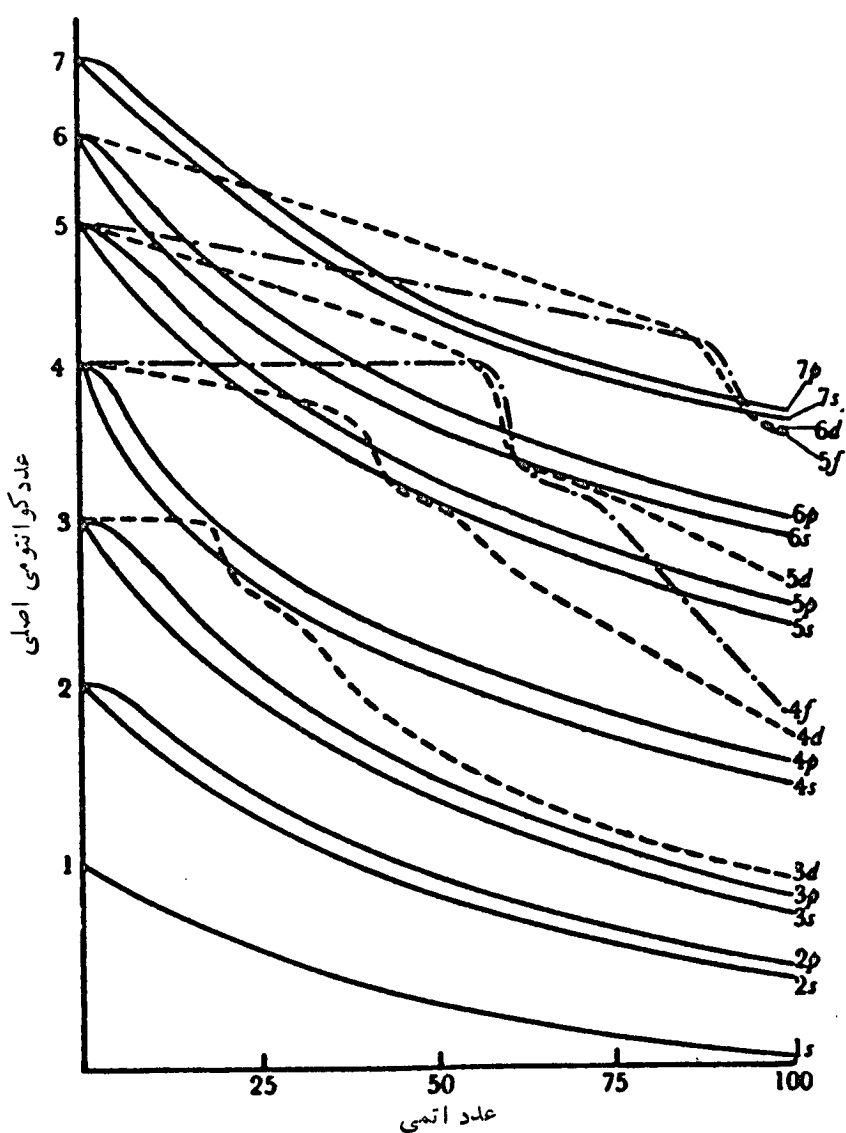
شکل ۵-۴ نمودار انرژی نسبی اوربیتالهای $3d$ و $4s$ بر حسب عدد اتمی (وادونگی در محل خطوط نقطه‌چین روی می‌دهد)

از این رو، به روشنی می توان دریافت که مثلاً نه تنها در اتم اسکاندیم تراز $4s$ از الکترون پر است، بلکه نسبت به تراز $3d$ در سطح بالاتری قرار می گیرد و الکترون مقایز کننده این اتم در تراز $3d$ که در سطح انرژی پایین تر قرار داشته و به هسته نزدیکتر است

وارد می‌شود. در نتیجه، هسته جاذبه بیشتری بر آن اعمال می‌کند. از این رو، دیرتر از الکترونهای تراز d از اتم جدا می‌شود. چنین وضعیتی که در مورد ترازهای ns و d ($1-n$) وجود دارد. درمورد تراز d ($1-n$) و f ($n-2$) نیز مشاهده می‌شود. زیرا با سنگینی‌تر شدن اتم وافزایش بار مؤثر هسته آن، سطح ترازهای انرژی به هسته نزدیک‌تر می‌شود. ولی این نزدیک شدن و کاهش فاصله، درمورد تمام ترازها، روند مشابهی ندارد، بلکه همان طور که در شکل ۴-۶ نشان داده شده است، فاصله ترازهایی که به عدد کوآنتمی فرعی بالاتری مر بوطنده، یعنی ترازهای d ($b_{\text{ازای}}=1$) و f ($b_{\text{ازای}}=3$) با شبیه بیشتری کاهش یافته و به هسته نزدیک می‌شوند. از این رو، در ترتیبی که برای پایداری نسبی آنها، پیش‌بینی شده است، تغییراتی روی می‌دهد. به طوری که گاهی ترتیب پایداری آنها عوض شده و یا به یکدیگر نزدیک می‌شود. با توجه به این توضیح بسیاری از موارد به‌ظاهر استثنایی و غیرمنتظره درمورد آرایش الکترونی عناصر از جمله وضعیتی که در مورد برخی از عناصر واسطه دسته d (مانند پلاتین، پالادین و) و یا عناصر واسطه سریهای لانتانید و آکتینید، به‌چشم می‌خورد را می‌توان به خوبی توجیه کرد.

با استفاده از نمودارهای شکل ۴-۶، می‌توان ، چگونگی ترتیب اشغال ترازهای d و f لایه ظرفیت اتم عناصر لانتانید و آکتینید را توجیه کرد. چون سطح تراز d در لانتان از سطح تراز f پایین‌تر است، الکترون متمایز کننده لانتان در تراز d وارد می‌شود. از این رو، لانتان جزء عناصر واسطه دسته d محسوب می‌شود. ولی در اولین عنصر سری لانتانیدها ، یعنی سریم، سطح تراز f پایین‌تر از تراز d قرار می‌گیرد و الکترون متمایز کننده سریم در تراز f وارد می‌شود. از این رو، این عنصر و سایر عناصر لانتانید ، برخلاف لانتان جزء عناصر دسته f می‌باشند. همان‌طور که در شکل ۴-۷ نشان داده شده است، به علت اینکه تراز f در تمام عناصر لانتانید از تراز d پایین‌تر باقی می‌ماند، الکترونهای متمایز کننده عناصر لانتانید (در مورد بسیاری از آنها یک الکترون d متمایز کننده لانتان) تراز f را اشغال می‌کنند.

در آکتینیم، مانند لانتان ، تراز f بالاتر از تراز d قرار دارد. از این رو ، الکترون متمایز کننده آن در تراز d قرار می‌گیرد و آکتینیم جزء عناصر واسطه دسته d محسوب می‌شود. درمورد اولین عنصر آکتینید (برخلاف اولین عنصر لانتانید) نیز تراز f ، بالاتر از d قرار دارد. از این رو، الکترون متمایز کننده آن، تراز d (به جای تراز f) اشغال می‌کند. ولی ، در عناصر بعدی سطح تراز f پایین‌تر از d قرار گرفته و مطابق شکل ۴-۸ ، الکترونهای متمایز کننده آنها در تراز f وارد می‌شوند.



شکل ۶-۶ نمودارهای روند تغییرات نسبی ترازهای اتم نسبت به عدد اتمی

	تراز f	تراز d
$_{57}\text{La}$	_____	_____ ↑
$_{58}\text{Ce}$	↑ _____	_____ ↑
$_{59}\text{Pr}$	↑↑↑ _____	_____
$_{60}\text{Nd}$	↑↑↑↑ _____	_____
$_{61}\text{Pm}$	↑↑↑↑↑ _____	_____
$_{62}\text{Sm}$	↑↑↑↑↑↑↑ _____	_____
$_{63}\text{Eu}$	↑↑↑↑↑↑↑↑ _____	_____
$_{64}\text{Gd}$	↑↑↑↑↑↑↑↑ _____	↑ _____

شکل ۷-۴ چگونگی اشغال ترازهای d و f لایه ظرفیت در هفت عنصر اول سری لانthanیدها

	تراز f	تراز d
$_{89}\text{Ac}$	_____	↑ _____
$_{90}\text{Th}$		↑↑ _____
$_{91}\text{Pa}$	↑↑ _____	↑ _____
$_{92}\text{U}$	↑↑↑ _____	↑ _____
$_{93}\text{Np}$	↑↑↑↑ _____	↑ _____
$_{94}\text{Pu}$	↑↑↑↑↑↑↑ _____	_____
$_{95}\text{Am}$	↑↑↑↑↑↑↑↑ _____	_____
$_{96}\text{Cm}$	↑↑↑↑↑↑↑↑ _____	↑ _____

شکل ۸-۴ چگونگی اشغال ترازهای d و f لایه ظرفیت در هفت عنصر اول سری آکتینیدها

تمرین ۱-۴۵

چگونه می‌توان به روش عملی ساده‌ای برای تعیین ترتیب پرشدن ترازها دست یافت؟

حل :

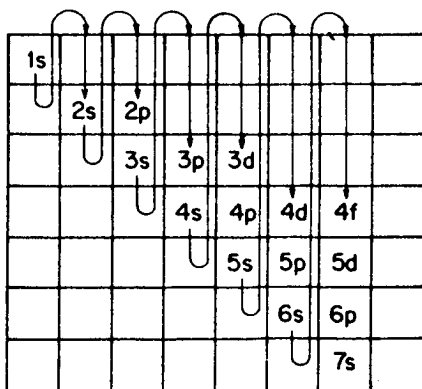
یکی از ساده‌ترین روش این کار آن است که ابتدا جدولی شامل ۷ ردیف و ۷ ستون تنظیم کرده و به ترتیب شکل (I) نشانه ترازهای ۱ را در راستای قطر آن قرارداد. سپس در هر ردیف بعداز تراز ۱، نشانه ترازهای مجاز بعداز آن را مطابق شکل (II) به ترتیب سطح انرژی آنها جای داد. سرانجام، همان طور که در شکل (III) با پیکانها نشان داده شده است، از چپ به راست و از بالای ستونها به پایین، ترتیب پرشدن ترازها را مشخص کرد.

1s							
	2s						
		3s					
			4s				
				5s			
					6s		
						7s	

(I)

1s							
	2s	2p					
		3s	3p	3d			
			4s	4p	4d	4f	
				5s	5p	5d	
					6s	6p	
						7s	

(II)



(III)

یادآوری می‌شود که این روش توسط کارپنتر^۱ در سال ۱۹۸۶ متدائل شد.

ج) اصول پایداری ترازها

اصل بناگذاری درمورد برخی از عناصر، ظاهرآ رعایت نمی‌شود، زیرا در آرایش الکترونی لایه ظرفیت این عناصر، موارد به ظاهر استثنایی به چشم می‌خورد. علت چنین رویدادی این است که درمورد آرایش الکترونی عناصر، اصولی وجود دارد که رعایت آن، بر پایداری ساختار الکترونی اتم می‌افزاید. تمایل بهمین پایداری بیشتر است که تغییراتی در آرایش الکترونی اتم روی می‌دهد که موجب نقض اصل بناگذاری می‌شود. براساس این اصول:

اساساً یک آرایش الکترونی که در آن یک تراز پر درمجاورت تراز پرشده دیگر، یا درمجاورت یک تراز نیم پر دیگر یا درمجاورت تراز خالی قرارداشته باشد و یا اینکه در آن یک تراز نیم پر درمجاورت یک تراز نیم پر دیگر قرار گیرد، آن آرایش الکترونی از تقارن و پایداری بالایی برخوردار است. با توجه به همین اصول است که مثلاً آرایش الکترونی لایه ظرفیت اتم کروم که بترتیب اصل بناگذاری می‌باشد به صورت $3d^4 4s^2$ باشد، به صورت $3d^5 4s^1$ است. آرایش الکترونی اتم مس نیز که می‌باشد به صورت $3d^9 4s^2$ باشد، به صورت $3d^{10} 4s^1$ است و یا آرایش الکترونی اتم پالادیم که می‌باشد به صورت $4d^8 5s^2$ باشد، به صورت $4d^{10} 5s^0$ است. در صورتی که درمورد اتم منگنز ($3d^5 4s^2$) اصل بناگذاری (که با اصول پایداری سازگاری دارد) رعایت می‌شود. همچنین درمورد وانادیم ($3d^3 4s^2$) چنانچه اصل بناگذاری نقض شود، برپایداری از اتم افزوده نخواهد شد، لذا این اصل رعایت می‌شود. باید توجه داشت که در بسیاری از موارد، آرایش الکترونی لایه ظرفیت اتم عناصر واسطه براساس این اصول قابل پیشگویی نیست. به عنوان مثال، نیکل، پالادیم و پلاتین سه عنصر واسطه از یک گروهند که همگی در تراز d و s لایه ظرفیت اتم خود ۱۵ الکترون دارند. همان طور که در زیر نشان داده شده است، فقط درمورد پالادیم اصل پایداری رعایت شده است.



علت را به تغییر نسبی سطح انرژی ترازهای ns و $d(n-1)$ مطابق نمودارهای شکل ۴-۶، بار مؤثرهسته و نیز به دانسیته الکترونی می‌توان نسبت داد. مثلاً در پلاتین به دلیل اینکه دانسیته الکترونی نسبت به پالادیم بیشتر است، دافعه الکتروستاتیکی موجب می‌شود

تا بیش از یک الکترون از تراز ده نتواند در تراز d_5 وارد شود. در مورد گروههای واسطه دیگر نیز کم یا بیش چنین وضعیتی وجود دارد که با اصول پایداری سازگاری ندارد.

(د) ترتیب پرشدن اوربیتالهای یک تراز برای تعیین آرایش الکترونی اتمها، نه تنها درباره ترازهای انرژی اصول و قواعدی باید مورد توجه قرار گیرد، بلکه در هر تراز انرژی، درمورد چگونگی اشغال شدن اوربیتالها توسط الکترونها نیز اصول و قواعدی وجود دارد که باید رعایت شوند. این اصول عبارتند از:

۱) اصل طرد پاولی*

این اصل را این طور می‌توان بیان کرد که «در هیچ اتمی نمی‌توان دو الکترون یافت که چهار عدد کوآنتمی یکسان داشته باشند». با توجه به اینکه هر تراز فرعی دارای اعداد کوآنتمی n و l مشخص و ثابتی است و در هر یک از اوربیتالهای آن تراز نمی‌توان بیش از دو الکترون قرار گیرد و چون هر اوربیتال نیز عدد کوآنتمی m_l مشخص دارد، در این صورت سه عدد کوآنتمی n ، l و m_l آن دو الکترون باهم برابرخواهند بود. از آنجایی که عدد کوآنتمی اسپین الکترون فقط دو مقدار $\frac{1}{2}$ و $-\frac{1}{2}$ را می‌تواند داشته باشد، پس برای رعایت اصل طرد پاولی، حداقل دو الکترون می‌تواند در هر اوربیتال وارد شود که تفاوت آنها در عدد کوآنتمی اسپین است. نزیرا، اگر الکترون سومی به یک اوربیتال اضافه شود، در آن صورت عدد کوآنتمی اسپین آن با یکی از دو الکترون دیگر برابر و اصل طرد پاولی نقض خواهد شد.

اصل طرد پاولی بر این اساس استوار است که وقتی دو الکترون در یک اوربیتال اتمی قرار می‌گیرند، چون فاصله بین آنها فوق العاده کم می‌شود، نیروی دافعه الکتروستاتیکی بین آنها بهشدت افزایش یافته و باعث ناپایداری اتم می‌شود. اما اگر این دو الکترون دارای اسپینهای مخالف باشند، ضمن چرخش به دور محور خسود مانند عقر به مغناطیسی که قطباهای غیرهمنام آنها در مجاورت هم قرار داشته باشند، عمل می‌کنند. در نتیجه، نیروی جاذبه مغناطیسی بین آنها به وجود می‌آید که با نیروی دافعه الکتروستاتیکی حاصل از بارهای

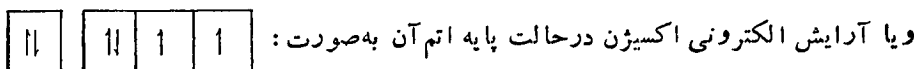
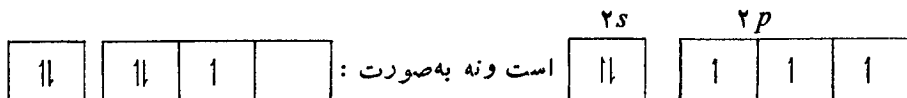
*Pauli exclusion principle

الکترس یکی هم نام آنها مقابله می کند. در نتیجه پایداری اتم تأمین می شود. از این رو، دو الکترون در یک اوربیتال اتمی با اسپینهای مخالف جفت می شوند، یعنی عدد کو آنتومی اسپین برای یکی از آنها $\frac{1}{2}$ و برای دیگری $-\frac{1}{2}$ است.

* قاعدة هوند*

بیان ساده این قاعده در مورد توزیع الکترونها بین اوربیتالهای یک تراز چنین است: هر گاه الکترونها، چند اوربیتال هم تراز در اختیار داشته باشند، ابتدا به طور منفرد آن اوربیتالها را اشغال می کنند و تا آن تراز نیم پرنشود، الکترونها در هیچ یک از آن اوربیتالها جفت نمی شوند.

برهمنی اساس است که مثلاً آرایش الکترونی لایه ظرفیت نیتروژن در حالت پایه اتم آن به صورت:

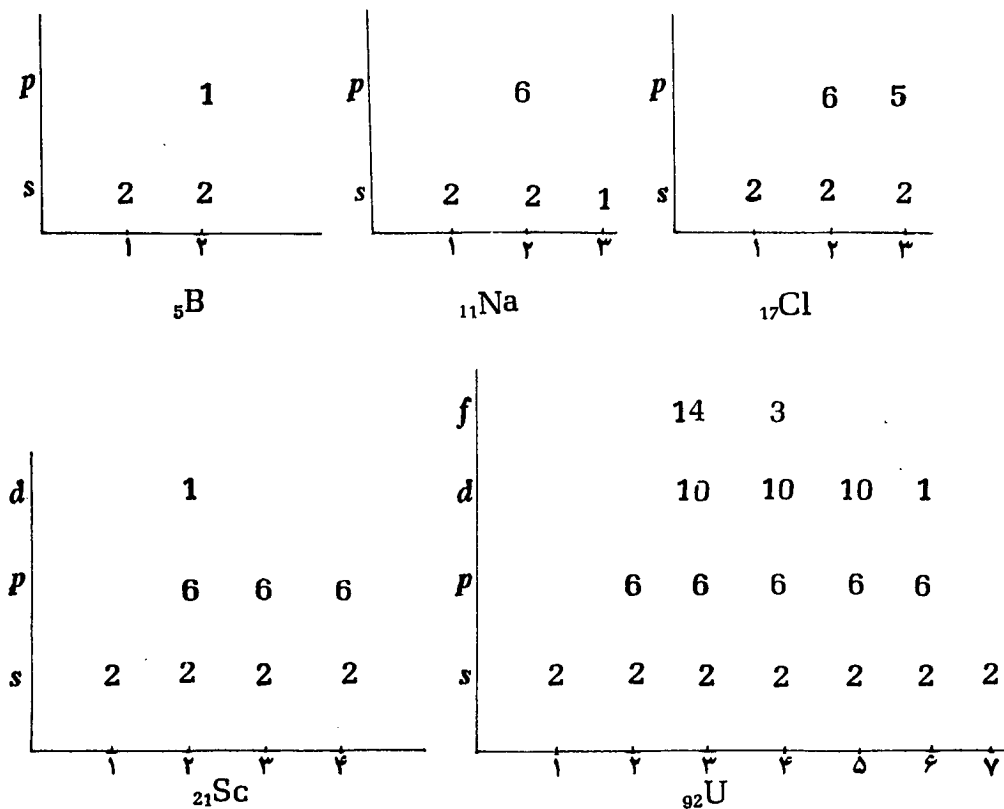


اساس قاعده هوند براین است که الکترونها دارای بار منفی‌اند و هرچه در اوربیتالهای یک تراز بیشتر پخش شوند، فاصله بیشتری با یکدیگر پیدا کرده و میزان نیروی دافعه الکتروستاتیکی بین آنها کاهش یافته و اتم وضعیت پایدارتری پیدا می کند. در صورتی که جفت شدن آنها در اوربیتالها، باعث کاهش فاصله بین آنها و افزایش میزان نیروی دافعه الکتروستاتیکی بین آنها و کاهش پایداری اتم می شود (از روی جفت شدن)

بر پایه این اصول و قواعد، آرایش الکترونی عناصر شناخته شده، به صورتی که در جدول ۱-۴ آمده، معین شده است. یادآوری می شود که قواعد هوند به تفصیل در مورد ترمهای طیفی در بخش ۲-۴ مورد بررسی قرار خواهند گرفت.

باید توجه داشت که در برخی از منابع، طرح کامل^{*} تازه‌ای برای نمایش آرایش الکترونی عناصر ارائه شده است که «نمودار مثلثی ساختار الکترونی» و یا «نماد هاتوپیس

مثلثی ساختار الکترونی» نامیده شده است، که به منظور آشنایی با آن چند نمونه در اینجا آورده می‌شود:



۲-۴۵ ترمهای طیفی الف) کلیات

به طور کلی، هر یک از صورتهای متمايز آرایش الکترونی یک اتم را در حالت پایه و یا برانگیخته آن، یک حالت اتمی یا حالت انرژی می‌نامند. معمولاً حالت‌های انرژی الکترونی اتمها یا یونهای مجزا را با نمادهای ترم طیفی مشخص می‌کنند که از لحاظ خواص تقارنی به اوربیتالهای اتمی کاملاً وابسته است. اصولاً باید بتوان نمادهای ترم طیفی هر آرایش الکترونی مجزا را به دست آورده و گونه‌های تقارنی حالت‌های انرژی مر بوط به هر مورد را معین کرد.

جدول ۱-۴ آرایش الکترونی عناصر

تعداد الکترونها در لایه‌های فرعی

عنصر	عدد اتمی	۱s	۲s	۲p	۳s	۳p	۳d	۴s	۴p	۴d	۴f	۵s
H	1	1										
He	2	2										
Li	3	2		1								
Be	4	2	2									
B	5	2	2	1								
C	6	2	2	2								
N	7	2	2	3								
O	8	2	2	4								
F	9	2	2	5								
Ne	10	2	2	6								
Na	11					1						
Mg	12					2						
Al	13					2	1					
Si	14					2	2					
P	15					2	3					
S	16					2	4					
Cl	17					2	5					
Ar	18	2	2	6	2	6						
K	19						1					
Ca	20						2					
Sc	21						2	2				
Ti	22						2	2				
V	23						3	2				
Cr	24						5	1				
Mn	25						5	2				
Fe	26						6	2				
Co	27						7	2				
Ni	28						8	2				
Cu	29						10	1				
Zn	30						10	2				
Ga	31						10	2	1			
Ge	32						10	2	2			
As	33						10	2	3			
Se	34						10	2	4			
Br	35						10	2	5			
Kr	36	2	2	6	2	6	10	2	6			
Rb	37									1		
Sr	38									2		
Y	39									2		
Zr	40									4	1	
Nb	41									5	1	
Mo	42									5	2	
Tc	43									5	2	
Ru	44									7	1	
Rh	45									8	1	
Pd	46									10	1	
Ag	47									10	1	
Cd	48									10	2	

مغزه کربنی

www.ShimiPedia.ir

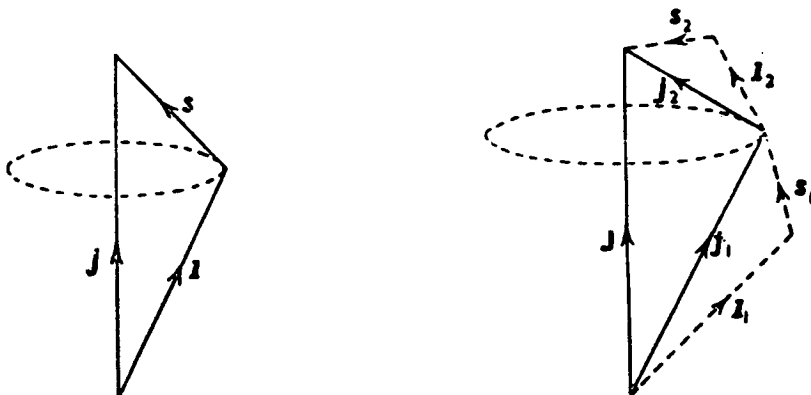
ادامه جدول ۱-۴ آرایش الکترونی عناصر

عنصر	عدد اتمی	تعداد الکترون‌های لايهای فرعی									
		4d	4f	5s	5p	5d	5f	6s	6p	6d	7s
In	49			10	2	1					
Sn	50			10	2	2					
Sb	51			10	2	3					
Te	52			10	2	4					
I	53			10	2	5					
Xe	54			10	2	6					
Cs	55			10	2	6					1
Ba	56			10	2	6					2
La	57			10	2	6		1			2
Ce	58			10	1	2	6		1		2
Pr	59			10	3	2	6				2
Nd	60			10	4	2	6				2
Pm	61			10	5	2	6				2
Sm	62			10	6	2	6				2
Eu	63			10	7	2	6				2
Gd	64			10	7	2	6				2
Tb	65			10	9	2	6				2
Dy	66			10	10	2	6				2
Ho	67			10	11	2	6				2
Er	68			10	12	2	6				2
Tm	69			10	13	2	6				2
Yb	70			10	14	2	6				2
Lu	71			10	14	2	6		1		2
Hf	72			10	14	2	6		2		2
Ta	73	مغزه کربپتون									
W	74			10	14	2	6		3		2
Re	75			10	14	2	6		4		2
Os	76			10	14	2	6		5		2
Ir	77			10	14	2	6		6		2
Pt	78			10	14	2	6		9		1
Au	79			10	14	2	6		10		1
Hg	80			10	14	2	6		10		2
Tl	81			10	14	2	6		10		1
Pb	82			10	14	2	6		10		2
Bi	83			10	14	2	6		10		2
Po	84			10	14	2	6		10		2
At	85			10	14	2	6		10		2
Rn	86			10	14	2	6		10		6
Fr	87			10	14	2	6		10		2
Ra	88			10	14	2	6		10		6
Ac	89			10	14	2	6		10		1
Th	90			10	14	2	6		10		2
Pa	91			10	14	2	6		10		2
U	92			10	14	2	6		10		1
Np	93			10	14	2	6		10		2
Pu	94			10	14	2	6		10		2
Am	95			10	14	2	6		10		6
Cm	96			10	14	2	6		10		1
Bk	97			10	14	2	6		10		2
Cf	98			10	14	2	6		10		2
Es	99			10	14	2	6		10		2
Fm	100			10	14	2	6		10		6
Md	101			10	14	2	6		10		2
No	102			10	14	2	6		10		6
Lr	103			10	14	2	6		10		2
Unq	104			10	14	2	6		10		1
Unp	105			10	14	2	6		10		2
Unh	106			10	14	2	6		10		3

وقتی سطح انرژی الکترون در اتم با علائم nf ، nd ، np ، ns مشخص می‌شود، در حقیقت فقط دو عدد از چهار عدد کوآنتمی مؤثر در انرژی الکترون مورد توجه قرار می‌گیرد. در صورتی که هر یک از این علائم، نشانه چند سطح انرژی همتراز می‌باشد. در این صورت، از تأثیر دافعه الکترونستاتیکی بین الکترونها یعنی تأثیرات متقابل اسپین-اسپین و تأثیرات متقابل اسپین - اوربیتال صرفنظر شده است. از این‌رو، نمایش ناقصی از وضعیت اتم و انرژی الکترون اراده داده می‌شود. در صورتی که این دو نوع تأثیرات متقابل بهشدت، همتراز سطوح انرژی الکترونی و آرایش الکترونی اتم را به هم می‌زنند. برای پی‌بردن به چگونگی این تأثیرات و تعیین حالت اتمی، باید دو وضعیت حد در مورد جفت شدن ممانهای اندازه حرکت زاویه‌ای اسپینی و اوربیتالی الکترونها در یک اتم را مورد توجه قراردهیم.

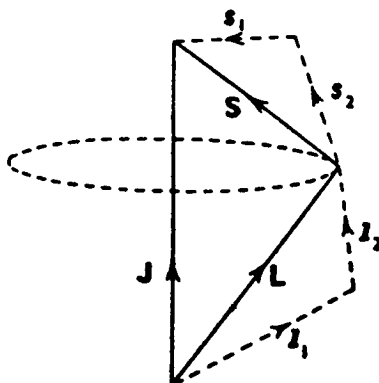
ب) جفت شدن ممانها در میدان قوی

در میدان قوی (در اتمهای سنگین یعنی از بر م به بعد)، ممان اندازه حرکت زاویه‌ای اسپینی (α) با ممان اندازه حرکت اوربیتالی (β) هر الکترون با یکدیگر جفت (جمع-برداری) شده، ممان برآیند (γ) که به این طریق برای الکترونها اتم حاصل می‌شوند، مطابق شکل ۹-۴ با یکدیگر جفت می‌شوند. از این‌رو، این نوع جفت شدن را، جفت شدن γ - γ می‌نامند.



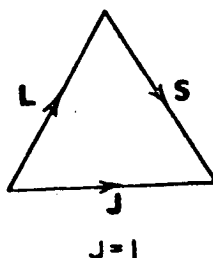
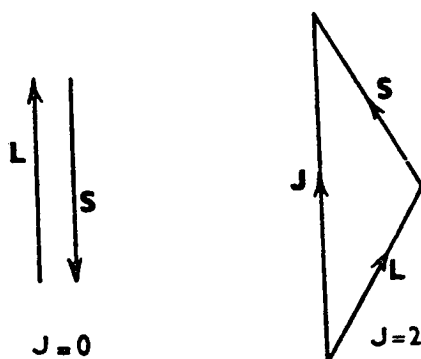
شکل ۹-۴ نمایش جفت شدن γ - γ

ج) جفت شدن ممانها در میدان ضعیف در میدان ضعیف (در اتمهای سبک)، ممانهای اندازه حرکت زاویه‌ای اسپینی (S) الکترونها با یکدیگر و ممانهای اندازه حرکت زاویه‌ای اوربیتالی آنها (L) نیز با یکدیگر جفت شده و ممانهای بزرگ‌تر (S (ممان اندازه حرکت اسپینی کل) و L (ممان اندازه حرکت اوربیتالی کل) را تشکیل می‌دهند. این ممانهای بزرگ‌تر نیز با یکدیگر جفت شده، ممان بزرگ‌تر (J) را مطابق شکل ۱۵-۴ به وجود می‌آورند.



شکل ۱۵-۴ نمایش جفت شدن $S-L$ در میدان ضعیف

این نوع جفت شدن را، جفت شدن $S-L$ و یا جفت شدن راسل - ساندرز* می‌نامند. S را عدد کوآنتمی اسپینی، L را عدد کوآنتمی اوربیتالی و J را عدد کوآنتمی کل اتم می‌نامند. با توجه به اینکه J نیز مانند S و L عدد کوآنتمی است که نمی‌تواند منفی باشد، تمام مقادیر مثبت متواالی از $S+L$ تا $S-L$ را می‌تواند اختیار کند. مثلاً همان طور که در شکل ۱۱-۴ نشان داده شده است. برای نمونه، اگر $L=2$ و $S=1$ باشد، J می‌تواند تمام مقادیر مثبت از $3+1=3$ تا $1-1=0$ (یعنی ۰، ۱، ۲، ۳) را اختیار کند.

شکل ۱۱-۴ نمایش امکانات متفاوت جفت شدن بردارهای L و S

از جفت شدن ممانهای اندازه حس کرت به روش راسل - ساندرز ($SLM_L M_S$) برای به دست آوردن نماد ترمهای طیفی استفاده می شود. می دانیم که اندازه حرکت زاویه ای اوربیتالی (l) و اندازه حرکت زاویه ای اسپینی (s) هر الکترون، خصلت کو آنتومی دارد. یعنی مضارب درستی از واحد کو آنتومی $h/2\pi$ است. اندازه حرکت زاویه ای کل (j) نیز ماهیت کو آنتومی دارد. به طوری که می توان نوشت:

$$j(h/2\pi) = (l + \frac{1}{2})(h/2\pi) \quad (1-4)$$

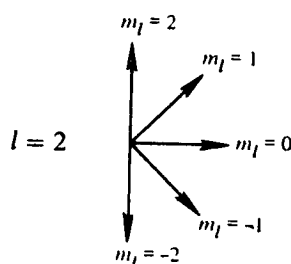
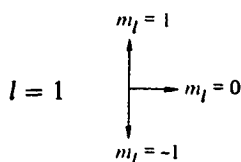
با

$$j(h/2\pi) = (l - \frac{1}{2})(h/2\pi) \quad (2-4)$$

هر یک از اوربیتالهای یک تراز انرژی (که با مقدار معینی از l مشخص می شود) از

روی تعداد m_l تشخیص داده می‌شوند و به مؤلفه‌های اندازه حرکت زاویه‌ای الکترون در راستای معینی (Z) مطابق شکل ۱۲-۴ مربوط می‌شوند.

$$l = 0 \quad m_l = 0$$



شکل ۱۲-۴ نمایش جفت شدن‌های m_l

د) تعیین تعداد آرایش‌های متمایز یک آرایش الکترونی (حالتهای ریز)* می‌دانیم که یک الکترون به دو صورت می‌تواند در یک اوربیتال قرار گیرد (یعنی با اسپینهای $\frac{1}{2} +$ و $\frac{1}{2} -$). ولی الکترون دوم، فقط به یک صورت می‌تواند به آن اضافه شود. زیرا، این الکترون باید با اسپین مخالف نسبت به الکترون اول قرار گیرد (یعنی با آن جفت شود). یک الکترون به دو صورت در اوربیتال d ، به شش صورت در اوربیتالهای p ، به ده صورت در اوربیتالهای d و به چهارده صورت در اوربیتالهای f می‌تواند قرار گیرد (دو امکان در هر اوربیتال به ازای اسپینهای $\frac{1}{2} +$ و $\frac{1}{2} -$). در مورد الکترون دوم

در اوربیتالهای p ، چون برای الکترون دوم ۵ امکان متفاوت وجود دارد و دو الکترون را نمی‌توان از یکدیگر تمیز داد، پس مجموعاً $15 = 2 \times 5 \times 6$ امکان متفاوت آرایش الکترونی (حالتهای دیز) برای آرایش الکترونی p^2 می‌توان در نظر گرفت. با استدلال مشابهی تعداد حالتهای دیز (آرایشهای الکترونی متمایز) برای آرایشهای الکترونی p^3 ، d^2 ، d^3 ، d^7 و ... را می‌توان به صورت زیر به دست آورد:

$$p^3 : 6 \times 5 / 2 \times 4 / 3 = 20$$

$$d^2 : 10 \times 9 / 2 = 45$$

$$d^3 : 10 \times 9 / 2 \times 8 / 3 = 120$$

$$d^7 : 10 \times 9 / 2 \times 8 / 3 \times 7 / 4 \times 6 / 5 \times 5 / 6 \times 4 / 7 = 120$$

ملحوظه می‌شود که آرایش الکترونی d^7 معادل آرایش حفره‌ها در آرایش الکترونی d^3 است. رابطه کلی برای محاسبه تعداد حالتهای دیز (n) برای q الکترون در اوربیتالی با همترازی Z (۱ برای اوربیتال s ، ۳ برای اوربیتالهای p ، ۵ برای اوربیتالهای d و ۷ برای اوربیتالهای f) چنین است:

$$n = \frac{2Z!}{q! (2Z - q)!} \quad (3-4)$$

برای مثال، تعداد حالتهای دیز برای آرایش الکترونی d^4 را می‌توان به صورت زیر حساب کرد:

$$n = \frac{(2 \times 5)!}{4!(10 - 4)!} = \frac{10!}{4! \times 6!} = 210$$

همان طور که گفته شد در طرح جفت شدن راسل - ساندرز برای یک اتم چند الکترونی، مقادیر I الکترونها مانند بردارها با هم جمع (جفت) می‌شوند و برآیند L را تشکیل می‌دهند. مقادیر d الکترونها نیز مانند بردارها با هم جمع شده، برآیند S را به وجود می‌آورند. در مورد دو الکtron، این مقادیر می‌توانند برابر تمام اعداد درست از $|I_2 + I_1|$ تا $|I_2 - I_1|$ باشد ولی S فقط می‌تواند سه مقدار $+1$ و 0 و -1 را داشته باشد. در مورد n الکترون، اگر n فرد باشد، برای S می‌توان تمام مقادیر درست از $\frac{1}{2} n$ تا $\frac{1}{2} n$ و چنانچه n زوج باشد. از صفر تا $\frac{1}{2} n$ را در نظر گرفت. مجموع مقادیر m_I الکترونها یک گونه شبیه‌ای را M_L و مجموع مقادیر m_S الکترونهای آن را با M_S نشان می‌دهند. یعنی می‌توان نوشت:

$$M_L = -L, -L+1, \dots, 0, L-1, L, \quad \text{مقدار } (2L+1) \quad (4-4)$$

$$M_L = \sum m_l. \quad (5-4)$$

مقدار L برابر بالاترین مقدار M_L در نظر گرفته می‌شود.

$$M_S = -S, -S+1, \dots, 0, S-1, S, \quad \text{مقدار } (2S+1) \quad (6-4)$$

$$M_S = \sum m_s \quad (7-4)$$

مقدار S نیز برابر بالاترین مقدار M_S در نظر گرفته می‌شود. چنان‌که قبل "گفته شد، اندازه حرکت زاویه‌ای کل (J) تمام مقادیر مثبت S تا $|L-S|$ را می‌تواند اختیار کند. همان‌طور که در بخش ۱-۸ اشاره شد، نشانه‌هایی که برای ترازهای انرژی الکترونی به کار می‌روند، از حروف اول برخی از اصطلاحات طیف‌نمایی اتمی گرفته شده‌اند (مانند نشانه‌های ترازهای s ، p و d و f) از همین نشانه‌یا به صورت حروف بزرگ (یعنی S ، P و D ، F) به عنوان نشانه نماد ترمehای طیفی نیز استفاده می‌شود. ارتباط این نشانه‌ها با مقادیر L ، همانند ارتباط مقادیر I و نشانه‌های اوربیتالها و الکترونهای منفرد است. در مورد مقادیر بزرگتر از ($L > 3$)، برای نماد ترمehای طیفی به ترتیب الفبایی، از حروف بعداز F (غیر از حرف J)، مطابق جدول ۲-۴ استفاده می‌شود.

جدول ۲-۴ ارتباط مقادیر L با نماد ترمehای طیفی

مقادیر L	۰	۱	۲	۳	۴	۵	۶	۷	۸	۹
نماد ترم	S	P	D	F	G	H	I	K	L	M

ترم طیفی، به‌طور کلی با علامت $T_J^{2s+1}T_I^{2s+1}$ مشخص می‌شود، $2S+1$ چندگانگی اسپین، T نماد ترم طیفی (وابسته به مقدار L) و J مقدار اندازه حرکت زاویه‌ای کل است و معرف حالت‌های فرعی انرژی است.

۵) تعیین ترمehای طیفی

۱) ترازهای ذک الکترونی

آرایش الکترونی ۱^۱ دارای ۲ حالت دریز و لی یک حالت انرژی می‌شود که نماد ترم

طیفی آن S^2 است و دوتایی S خوانده می‌شود. زیرا داریم:

$$\begin{cases} L=0 \\ S=\frac{1}{2} \end{cases} \Rightarrow \begin{cases} M_L=0 \\ M_S = \frac{1}{2}, -\frac{1}{2} \end{cases} \Rightarrow J=\frac{1}{2}$$

آرایش الکترونی p^1 دارای ۶ حالت ریز و نماد ترم طیفی آن P^2 است و چون دو مقدار برای J وجود دارد، پس دارای دو حالت فرعی انرژی $\frac{1}{2}P_1^2$ و $\frac{1}{2}P_{3/2}^2$ است.

زیرا می‌توان نوشت:

$$\begin{cases} L=1 \\ S=\frac{1}{2} \end{cases} \Rightarrow \begin{cases} M_L=1, 0, -1 \\ M_S = \frac{1}{2}, -\frac{1}{2} \end{cases} \Rightarrow J=\frac{1}{2}, \frac{3}{2}$$

آرایش الکترونی d^1 دارای ۱۰ حالت ریز و نماد ترم طیفی آن D^2 است و چون دو مقدار برای J وجود دارد، پس دارای دو حالت فرعی انرژی $\frac{1}{2}D_{3/2}^2$ و $\frac{1}{2}D_{5/2}^2$ می‌باشد. زیرا داریم:

$$\begin{cases} L=2 \\ S=\frac{1}{2} \end{cases} \Rightarrow \begin{cases} M_L=2, 1, 0, -1, -2 \\ M_S = \frac{1}{2}, -\frac{1}{2} \end{cases} \Rightarrow J=\frac{3}{2}, \frac{5}{2}$$

آرایش الکترونی f^1 دارای ۱۴ حالت ریز و نماد ترم طیفی آن F^2 است و چون دو مقدار برای J وجود دارد، بنابراین، دارای دو حالت فرعی انرژی $\frac{1}{2}F_{5/2}^2$ و $\frac{1}{2}F_{7/2}^2$ است. زیرا داریم:

$$\begin{cases} L=3 \\ S=\frac{1}{2} \end{cases} \Rightarrow \begin{cases} M_L=3, 2, 1, 0, -1, -2, -3 \\ M_S = \frac{1}{2}, -\frac{1}{2} \end{cases} \Rightarrow J=\frac{5}{2}, \frac{7}{2}$$

تعداد حالت‌های ریز برای هر حالت انرژی، برابر حاصلضرب چندگانگی اسپین $(2S+1)$ در همترازی اوربیتالها $(2L+1)$ است. مثلاً در مورد حالت انرژی D^2 داریم:

$$(2L+1)(2S+1) = (2 \times 2 + 1)(2 \times \frac{1}{2} + 1)$$

$$= 5 \times 2 = 10 \quad \text{حالت ریز}$$

و تعداد حالت‌های ریز برای هر حالت فرعی انرژی برابر $2J+1$ می‌باشد. مثلاً $^2D_{3/2}$ دارای $2 \times 5/2 + 1 = 6$ حالت ریز و $^2D_{5/2}$ دارای $2 \times 3/2 + 1 = 4$ حالت ریز می‌باشد.

۲) تعیین نماد ترمهای طیفی آرایش‌های چندالکترونی ناهم‌ارد
الکترونهای ناهم‌ارد به الکترونهای اطلاق می‌شود که در n و l متفاوت‌اند. در نتیجه به ترازهای با انرژی متفاوت تعلق دارند. برای تعیین ترمهای طیفی مر بوط به دوالکترون ناهم‌ارد، ابتدا باید مقادیر ممکن L را برای آن دو پیدا کرد. در موردی که دوالکترون ناهم‌ارد p (یعنی p^1) داشته باشیم، مقدار L چنین حساب می‌شود:

$$L = l_1 + l_2, \dots, |l_1 - l_2| = 1+1, \dots, 1-1 = 2, 1, 0$$

یعنی این دو الکترون، ترمهای طیفی D ، P و S را می‌دهند. اسپینهای این دو الکترون می‌توانند همسو (موازی) یا ناهمسو (غیرموازی) باشند که در این صورت $S = 1, 0$ است و این بدان معنی است که علاوه بر حالت‌های یکتاپلی، حالت‌های سه‌تاپلی هم وجود دارند. بنا بر این، در مجموع ۶ جمله طیفی 1S ، 3P ، 1D ، 3S ، 1P و 3D را خواهیم داشت. به همین نحو برای دوالکترون p^1d^1 ، ۱ و ۲ و $3 = L$ است و ترمهای طیفی P ، D و F را می‌توان در نظر گرفت. چون در این صورت $N = 0$ ، $S = 1$ است، علاوه بر حالت‌های یکتاپلی، حالت‌های سه‌تاپلی نیز وجود دارند و ترمهای طیفی چنین دوالکترونی عبارتند از:

$$^1P, ^1D, ^1F, ^3P, ^3D, ^3F$$

چنانچه الکترون ناهم‌ارد سومی اضافه کنیم، لازم است که l مر بوط به آن الکترون را به طور برداری به L محاسبه شده قبلى و S آن را نیز به S محاسبه شده قبلى اضافه کنیم. برای مثال، چنانچه یک الکترون d به آرایش p^1d^1 اضافه کرده باشیم، مقدار L تغییری نمی‌کند ولی مقادیر S تغییری کنند و خواهیم داشت: $S = \frac{3}{2}, \frac{1}{2}$ و $\frac{1}{2}$. در نتیجه نماد ترمهای طیفی برای این سه الکترون عبارتند از:

$$^2P, ^2D, ^2F, ^2P, ^2D, ^2F, ^4P, ^4D, ^4F$$

باید توجه داشت که برای هر مقدار L ، دو ترم طیفی دوتایی متفاوت تشکیل می‌شود. ذیرا، به یک الکترون p و یک الکترون d ، هم با اسپینهای همسو و هم با اسپینهای ناهمسو، یک

الکترون σ را می‌توان با اسپین مناسی اضافه کرد به طوری که مقدار S برابر $\frac{1}{2}$ شود. ولی از طرف دیگر، $S = \frac{3}{2}$ فقط به یک روش نتیجه می‌شود و آن‌وقتی است که هر سه اسپین باهم موازی باشند (حالت چهارتایی). آرایش اسپینها برای آرایش الکترونی p^1d^1 به صورتهای $\uparrow\downarrow\uparrow$ ، $\uparrow\uparrow\downarrow$ و $\uparrow\uparrow\uparrow$ می‌باشد، چنانچه الکترون سوم یک الکترون f^1 باشد، مقادیر ممکن $L=3$ عبارتنداز:

$$\frac{3}{2}\pm\frac{1}{2} \text{ و } \frac{3}{2}\pm\frac{3}{2}$$

(که در اینجا علامت \pm به منظور جمع برداری به کار رفته است). به این ترتیب مقادیر L عبارتنداز:

$$4, 3, 2, 5, 4, 3, 2, 1, 2, 3, 4, 5, 6, 1, 2, 3, 4, 5, 6, 1, 2, 3, 4, 5, 6, 1, 2, 3, 4$$

بنابراین، ترمهای طیفی حاصل عبارتنداز:

$$^2S(2), ^2P(4), ^2D(6), ^2F(6), ^2G(6), ^2H(4), ^2I(2), \\ ^4S(1), ^4P(2), ^4D(3), ^4F(3), ^4G(3), ^4H(2), ^4I(2)$$

که در اینجا اعداد داخل پرانتزها نشانه تعداد ترمهای طیفی متضاظر است. برای مثال، معنی $^4P(2)$ این است که دو ترم طیفی P^4 وجود دارد.

۳) تعیین نمادهای ترمهای طیفی آرایشی چند الکترونی هم‌ارز

وقتی با الکترونها هم‌ارز (یعنی الکترونهايی که n و l یکسان داشته و به یک تراز انرژی مربوطند) سروکار داریم، پاره‌ای از ترمهای طیفی که برای الکترونهاي ناهم‌ارز به دست آورده‌یم، حذف می‌شوند. برای مثال، وقتی دوالکترون p ، هم‌ارز باشند، تمامی ترمهای طیفی $(^1S, ^1P, ^3S, ^1D, ^3P, ^3D)$ را که قبل از دوالکترون p ناهم‌ارز به دست آورده‌یم، دیگر به دست نمی‌آید. وقتی الکترونهاي ناهم‌ارز را در نظر می‌گیریم، برای جمع برداری مقادیر تلک l ها و σ ها ضرورتی برای رعایت اصل طرد پاولی در کار نیست. زیرا فرض براین است که در واقع هر نوع جهت یا بی‌مجاز براساس نظریه کوآنتموی وجود دارد. البته این یک فرض موجه است، زیرا تا زمانی که مقادیر n یا l الکترونها متفاوت است، اصل طرد پاولی خود بخود رعایت شده است، ولی وقتی دوالکترون هم‌ارزند (یعنی n و l یکسان‌دارند) حداقل باید مقادیر m_l یا m_s آنها متفاوت باشد. برای مثال، وقتی برای دوالکترون p (آرایش الکترونی p^2) جهت یا بی فضایی هر دوالکترون یکسان

باشد که از آن ترم طیفی D نتیجه می‌شود، m_1 برای هر دو الکترون $+1$ ، 0 و -1 است و بنابراین، بر طبق اصل طرد پاولی برای هر دو الکترون، m_1 نمی‌تواند $\frac{1}{3}$ باشد. به عبارت دیگر، اسپینهای این دو الکترون برای ترم طیفی D فقط می‌توانند ناهمسو باشند که به ترم طیفی D^1 منتهی می‌شود. در صورتی که برای الکترونها ناهم ارز، ترم طیفی D^3 نیز وجود دارد. برای دو الکترون p هم ارز، ترمehای طیفی عبارتنداز 1S ، 3P و 1D و به همین ترتیب برای سه الکترون p هم ارز، ترمehای طیفی 4S ، 2P و 2D را خواهیم داشت.

(۴) تعیین نماد قسمهای طیفی آرایشها ای الکترونی لایه‌های پر (لایه‌های بسته)
برای یک لایه بسته، یعنی لایه‌ای که ذر آن بالاترین تعداد الکترونها هم ارز وجود دارد (مانند آرایش الکترونی s^2 ، p^6 ، d^{10} و f^{14})، بر طبق اصل طرد پاولی $S = \sum m_1 = 0$ است و چون $M_L = \sum m_l = 0$ است، پس تمام لایه‌های الکترونی پرشده، دارای یک حالت انرژی بوده و نماد ترم طیفی همه آنها S^1 است.

(۵) تعیین ترتیب نسبی حالتها ای انرژی
در بررسیهای طیفی، اطلاع از این موضوع که در بین حالتها متفاوت انرژی یک آرایش الکترونی معین، کدام حالت پایدارتر (حالت پایه) است و حالتها برآنگیخته کدامند؟ اهمیت دارد. در این زمینه، یعنی در مورد تعیین انرژی نسبی حالتها ای انرژی، براساس شواهد تجربی مختلف و استدلالهای نظری، قواعدی به شرح زیر وضیح شده‌اند که به قواعد هوند موسومند.

قاعده اول

از بین حالتها ای انرژی مربوط به الکترونها هم ارز، حالتی که بالاترین چندگانگی را دارد، پایدارتر است (در سطح انرژی پایین‌تری قرار دارد). مثلاً، در مورد آرایش الکترونی p^2 که سه حالت انرژی با ترمehای طیفی 1S ، 1D و 3P دارد، حالت P^3 به پایین‌ترین سطح انرژی مربوط بوده و معرف حالت پایه است و دو حالت دیگر، معرف حالتها برآنگیخته‌اند.

قاعده دو

از بین حالتها ای انرژی مربوط به الکترونها هم ارز، چنانچه دویا چندحالت دارای

چندگانگی اسپین برابر باشند، حالتی که نماد ترم آن به L بزرگتری مر بوط است، در سطح انرژی پایین تری قرار می‌گیرد. مثلاً در مورد آرایش الکترونی d^2 که پنج حالت انرژی با ترمهای طیفی $1S, 1D, 1G, 3P, 3F$ دارد، حالت F ، حالت پایه و چهار حالت دیگر، حالت‌های برانگیخته محسوب می‌شوند. قابل توجه است که حالت برانگیخته P را که چندگانگی اسپین آن با چندگانگی حالت پایه برابراست، «حالت برانگیخته مجاز» می‌نامند.

قاعده سوم

در مورد آرایش‌های الکترونی هم ارز که به ترازهای کمتر از نیم پر مر بوطند، از بین حالت‌هایی که چندگانگی اسپین برابر داشته و مقدار L آنها یکسان است، حالتی که در نماد ترم طیفی آن، مقدار J کمتر باشد، پایدارتر است. چنانچه، تراز بیش از حد نیم پرشدن الکترون داشته باشد، حالتی که در نماد ترم طیفی آن مقدار J بزرگتر باشد، پایدارتر است. برای نمونه، در مورد آرایش الکترونی p^2 ، چون تراز p دو الکترون دارد و کمتر از نیم پر است، بین سه حالت فرعی $3P_0, 3P_1, 3P_2$ ، حالت فرعی $3P_0$ پایدارتر است و در مقایسه سطح انرژی آنها می‌توان نوشت:

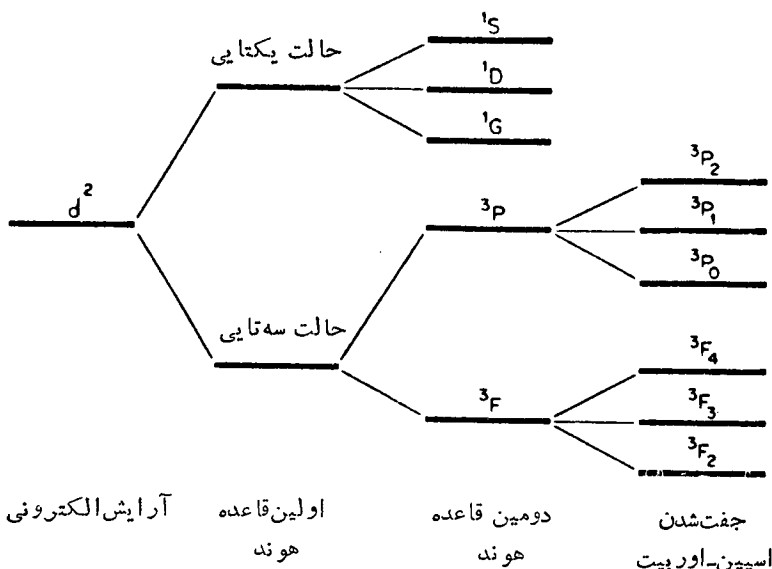
$$3P_0 < 3P_1 < 3P_2$$

ولی در مورد آرایش الکترونی p^4 ، ترتیب فوق معکوس می‌شود. زیرا تراز بیش از حد نیم پر الکترون دارد و حالت فرعی $3P_2$ پایداری بیشتری دارد، به طوری که می‌توان نوشت:

$$3P_2 < 3P_1 < 3P_0$$

در شکل ۱۳-۴ انرژی نسبی ترمهای راسل - ساندرز برای آرایش الکترونی d^2 نشان داده شده است. یادآوری می‌شود که قواعد هوند، منحصرآ در حد تعیین حالت پایه معتبرند و وضعیت نسبی حالت‌های برانگیخته برای یک اتم یا یون معین، ممکن است بسته به ضعیف بودن یا قوی بودن میدان تأثیری نسبت به طرحی که در شکل ۱۳-۴ نشان داده است، تغییر کند. موضوع دیگری که یادآوری آن در اینجا لازم به نظر می‌آید این است که در مورد عناصر واسطه سری اول (عناصر دوره چهارم جدول تناوبی) تفاوت بین انرژی حالت‌های فرعی (با ذرهای متفاوت) در مقایسه با تفاوت انرژی بین حالت‌های کلی (با M ‌های متفاوت)، غالباً کم است. ولی در مورد عناصر سنگین‌تر، مانند عناصر واسطه دوره ششم و یا عناصر سری لانثانیدها تفاوت انرژی بین حالت‌های فرعی بسیار چشمگیر است و ممکن است به چندین هزار

cm^{-1} بر سد. در چنین مواردی، دیگر طرح راسل-ساندرز معتبر نیست و باید راه حل‌های پیچیده‌تری را جستجو کرد.



شکل ۱۳-۶ نمودار انرژی نسبی ترمهای راسل-ساندرز
برای آرایش الکترونی d^2 (در این شکل مقیاس درست
رعایت نشده است)

یادآوری می‌شود که اولین حالت برانگیخته در آرایش الکترونی d^1 یعنی حالت P^3 که چندگانگی اسپین آن با چندگانگی اسپین حالت پایه (یعنی F^3) یکسان است، حالت برانگیخته مجاز نامیده می‌شود، زیرا به طور کلی در میدانهای ضعیف و یا متوسط، جهش‌های الکترونی، فقط بین این حالت مجاز است.

همان‌طور که در شکل تمرین ۳-۴ نشان داده شده است، در میدانهای مغناطیسی، هر حالت فرعی به $2J + 1$ حالت ریز تقسیم می‌شود (که در اینجا حالت‌های مغناطیسی نیز نامیده می‌شوند).

حال برای روشنتر شدن آنچه که گفته شد، به حل چند تمرین می‌پردازیم:

تمرین ۲-۴

تعداد حالت‌های ریزو نیز نماد ترم‌های طیفی آرایش الکترونی p^2 را به دست آورده، تعداد حالت‌های ریز مربوط به حالت پایه را با استفاده از چندگانگی اسپین و همترازی اوربیتال و نیز با استفاده از مقادیر J حساب کنید.

حل:

با استفاده از رابطه ۳-۴ داریم:

$$n = \frac{(2 \times 3)!}{2! \times (2 \times 3 - 2)!} = 15$$

پانزده آرایش الکترونی ممکن برای دو الکترون p همارز و همچنین مقادیر مربوط به $M_S = \sum m_s$ و $M_L = \sum m_l$ در جدول صفحه بعد داده شده است.

برای تعیین ترم‌های طیفی مربوط به این آرایش الکترونی، بهتر است که با بالاترین مقدار $M_L = \sum m_l$ شروع کنیم. در این مورد بالاترین مقدار M_L برابر ۲ است که به ترم طیفی D مربوط می‌شود و چون این مقدار M_L وقتی به دست می‌آید که $M_S = 0$ باشد، پس چندگانگی اسپین برابر یک، و ترم طیفی D^1 است. علاوه بر 2 ، مقادیر $-2, -1, 0, +1$ هم به این ترم طیفی تعلق دارند که برای هر یک از آنها $M_S = 0$ است. این مقادیر درستون آخر جدول فوق با علامت Δ مشخص شده‌اند. از مقادیر باقیمانده M_L و M_S ، برای M_L ، بالاترین مقدار برابر $+1$ و برای M_S ، بالاترین مقدار برابر $+1$ است. و این مقادیر باید به ترم طیفی P^3 تعلق داشته باشند، زیرا تنها برای چنین ترمی است که بالاترین مقدار M_L و M_S می‌تواند برابر $+1$ باشد. مقادیر $-1, 0, +1$ نیز به ترم طیفی P^3 تعلق دارند و هر یک از این مقادیر دارای $-1, 0, +1$ است. روی هم رفته، برای ترم طیفی P^3 ، ۹ حالت ریز وجود دارد که در جدول فوق با علامت $+$ مشخص شده‌اند. تنها حالت ریزی که باقی می‌ماند دارای $M_L = 0$ و $M_S = 0$ است که با علامت \times مشخص شده و ترم طیفی S^1 از آن منشاء می‌گیرد. بنابراین، ترم‌های طیفی حاصل از دو الکترون p همارز عبارتند از D^1, P^3, S^1 . صورت ساده نمایش پانزده حالت ریز مربوط به آرایش الکترونی p^2 در جدول زیر نشان داده شده است:

نمایش حالتهای دیز برای دو الکترون p هم ارز همراه با مقادیر M_s و M_L

m_l			$M_L = \sum m_l$	$M_s = \sum m_s$	
+1	0	-1			
↑↓			+2	0	△
↑	↑		+1	+1	+
↑	↓		+1	0	△
↓	↑		+1	0	+
↓	↓		+1	-1	+
↑		↑	0	+1	+
↑		↓	0	0	△
↓		↑	0	0	+
↓		↓	0	-1	+
↑↓			0	0	×
↑	↑		-1	+1	+
↑	↓		-1	0	△
↓	↑		-1	0	+
↓	↓		-1	-1	+
↑↓			-2	0	△

صورت ساده‌ای از نمایش پانزده حالت ریز مر بوط به آرایش الکترونی p^2

		1D			3P			1S		
M_L	\uparrow	2	1	1						
		1	1	2	1	1	1	1	1	
		0	1	3	1 = 1	1	1	1	1	
		-1	1	2	1	1	1	1		
		-2 -		1						
		-1	0	1	0	-1	0	1	0	
		M_s								

حالت پایه، 3P است که حالت‌های ریز آن به صورت زیر محاسبه می‌شود:

$$n = (2L+1)(2S+1) = (2 \times 1 + 1)(2 \times 1 + 1) = 3 \times 3 = 9$$

روشهای دیگری که برای نمایش آرایشهای الکترونی p^2 یا p^4 به کارمی روندد رجدول‌های زیر نشان داده شده‌اند:

حالت‌های ریز M_L و M_s برای آرایش الکترونی p^2

m_l	$M_L = \sum m_l$	$M_s = \sum m_s$
+1 0 -1		
$\uparrow\downarrow$	+2	0
$\uparrow\downarrow$	0	0
$\uparrow\downarrow$	-2	0
\uparrow \uparrow	+1	1, 0, 0, -1
\uparrow \uparrow	0	1, 0, 0, -1
\uparrow \uparrow	-1	1, 0, 0, -1

حالتهای ریز $= 3 \times 1 + 3 \times 4 = 3 + 12 = 15$ بهستون آخر رجوع شود

$$\begin{cases} L=2 \Rightarrow M_L=2,1,0,-1,-2 \\ S=0 \Rightarrow M_s=0 \end{cases}$$

1D_2 $2J+1=5$ حالت ریز

$$\begin{cases} L=1 \Rightarrow M_L=1,0,-1 \\ S=1 \Rightarrow M_s=1,0,-1 \end{cases}$$

$$^3P \begin{cases} ^3P_0 & 1 \text{ حالت ریز} \\ ^3P_1 & 3 \text{ حالت ریز} \\ ^3P_2 & 5 \text{ حالت ریز} \end{cases}$$

$$\begin{cases} L=0 \Rightarrow M_L=0 \\ S=0 \Rightarrow M_s=0 \end{cases}$$

1S ۱ حالت ریز

* p^2 برای آرایش الکترونی M_L و M_s حالتهای ریز

M_L	M_s		
	+1	0	-1
2	$(\overset{+}{1}, \overset{-}{1})$		
1	$(\overset{+}{1}, \overset{+}{0})$	$(\overset{+}{1}, \overset{-}{0})$ $(\overset{-}{1}, \overset{+}{0})$	$(\overset{-}{1}, \overset{-}{0})$
0	$(\overset{+}{1}, -\overset{+}{1})$	$(\overset{+}{1}, -\overset{-}{1})$ $(\overset{+}{0}, \overset{-}{0})$ $(\overset{-}{1}, -\overset{+}{1})$	$(\overset{-}{1}, -\overset{-}{1})$
-1	$(-\overset{+}{1}, \overset{+}{0})$	$(-\overset{+}{1}, \overset{-}{0})$ $(-\overset{-}{1}, \overset{+}{0})$	$(-\overset{-}{1}, \overset{-}{0})$
-2	$(-\overset{+}{1}, -\overset{-}{1})$		

www.ShimiPedia.ir

برای $M_s = +1/2$ و $M_s = -1/2$ به کار رفته است.

تمرین ۳-۴

تعداد حالتها ریز و نماد ترمهای طیفی را برای آرایش الکترونی d^2 حساب کنید.

حل:

تعداد کل حالتها ریز را برای آرایش الکترونی d^2 می‌توان از رابطه ۳-۴ محاسبه کرد:

$$n = \frac{(2 \times 5)!}{2! \times (10 - 2)!} = 45$$

بنابراین، تعداد حالتها ریزی که برای دو الکترون در اوربیتالهای d وجود دارد، برابر ۴۵ است. آرایشهای الکترونی برای این دو الکترون هم ارز و مقادیر M_L و M_S آنها در جدول زیر نشان داده است (با توجه به مقادیر M_S درستون آخر این جدول، می‌توان دریافت که هریک از ده آرایش الکترونی اول، از نظر اسپین الکترونها دارای چهار صورت متساوی‌معنی $\uparrow\uparrow, \uparrow\downarrow, \downarrow\uparrow$ و $\downarrow\downarrow$ است).

M_L	M_S		
	+1	0	-1
-2	$(-1^+, -1^+)$	$(-1^+, -1^-)$	$(-1^-, -1^+)$
-1	$(0^+, -1^+)$	$(0^+, -1^-)$ $(0^-, -1^+)$	$(0^-, -1^-)$
0	$(0^+, 0^-)$ $(1^+, -1^+)$	$(0^+, 0^-)$ $(1^+, -1^-)$ $(-1^+, 1^-)$	$(0^-, 0^-)$ $(1^-, -1^-)$
+1	$(0^+, 1^+)$	$(0^+, 1^-)$ $(0^-, 1^+)$	$(0^-, 1^-)$
+2	$(1^+, 1^+)$	$(1^+, 1^-)$	$(1^-, 1^+)$

حالتهای دیز M_L و M_s برای آرایش الکترونی d^2

$m_l =$	+2	+1	0	-1	-2	$M_L = \sum m_l$	$M_s = \sum m_s$
	↑	↑				3	+1,0,0,-1
	↑		↑			2	+1,0,0,-1
	↑			↑		1	+1,0,0,-1
	↑				↑	0	+1,0,0,-1
		↑	↑			1	+1,0,0,-1
		↑		↑		0	+1,0,0,-1
		↑			↑	-1	+1,0,0,-1
			↑	↑		-1	1+0,0,+1
			↑		↑	-2	1+0,0,-1
				↑	↑	-3	+1,0,0,-1
	↑↓					4	0
		↑↓				2	0
			↑↓			0	0
				↑↓		-2	0
					↑↓	-4	0

این حالت‌های ریز برای آرایش الکترونی d^2 رامی توان به طور خلاصه، به صورتی که در جدول‌های زیر آمده است، نشان داد:

صورت ساده‌ای از نمایش ۴۵ حالت ریز برای آرایش الکترونی d^2

		4	1	
		3	1 2 1	
		2	1 3 1	
		1	2 4 2	
M_L	0		2 5 2	
	-1		2 4 2	
	-2		1 3 1	
	-3		1 2 1	
	-4		1	
				-1 0 1
				M_S

براساس این جدول می‌توان دریافت که بالاترین مقدار M_L برابر ۴ و مقدار M_S مربوط به آن صفر است ($M_S = 0$). بنابراین، مقدار $L = 4$ و مقدار $S = 0$ است. نماد ترم طیفی چنین حالتی G^1 است که ۹ حالت ریز را شامل می‌شود. با حذف ترم طیفی G^1 از جدول فوق، جدول زیر نتیجه می‌شود:

		3	1 1 1	
		2	1 2 1	
		1	2 3 2	
M_L	0		2 4 2	
	-1		2 3 2	
	-2		1 2 1	
	-3		1 1 1	
				-1 0 1
				M_S

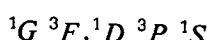
با توجه به این جدول ملاحظه می‌شود که بالاترین مقدار M_L برابر ۳ و برای این حالت $M_S = 0$ است. بنابراین، مقدار $L = 3$ و مقدار $S = 1$ می‌باشد. نماد ترم طیفی برای چنین حالتی، 3F است که ۲۱ حالت ریزدیگر را شامل می‌شود. با حذف آنها از جدول فوق، جدول زیر نتیجه می‌شود:

	2	1	
	1	2	1
M_L	0	1	3
	-1	1	2
	-2		1
			-1 0 1
			M_S

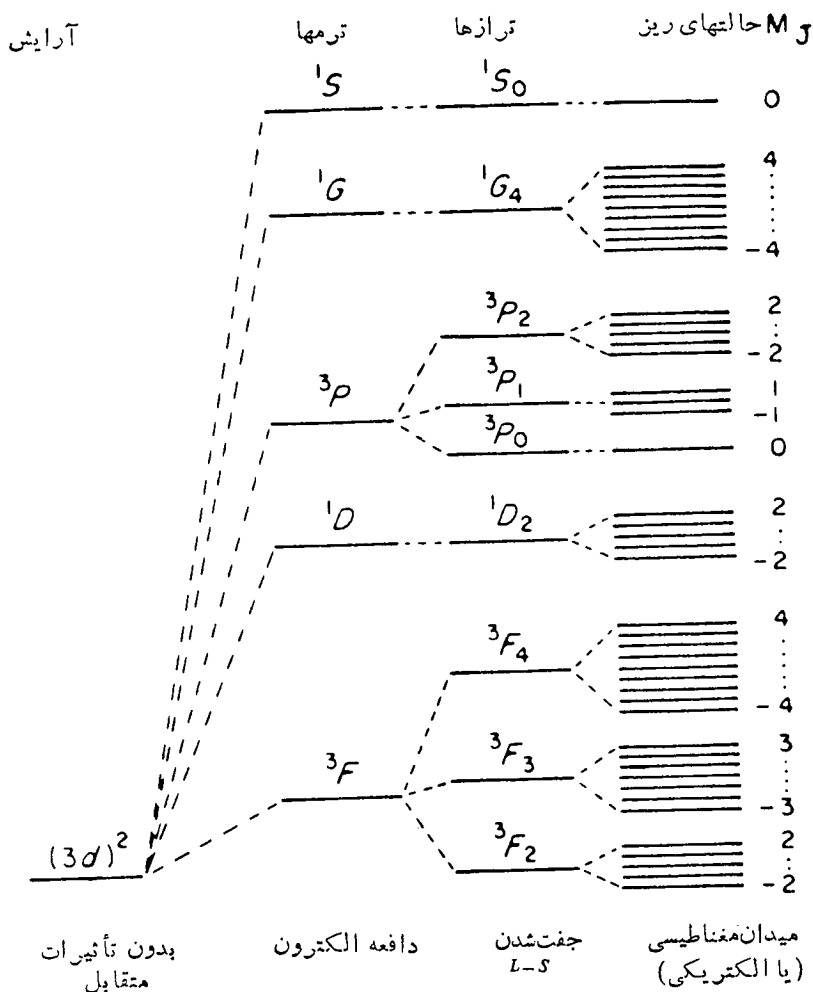
با توجه به جدول فوق، ملاحظه می‌شود که بالاترین مقدار M_L برابر ۲ و برای این حالت، $M_S = 0$ است. بنابراین، مقدار $L = 2$ و مقدار $S = 1$ می‌باشد. نماد ترم طیفی برای چنین حالتی، 1D است که ۵ حالت ریزدیگر را شامل می‌شود. با حذف این ۵ حالت از جدول فوق، جدول زیر حاصل می‌شود:

	1	1	1	
	1	2	1	
M_L	0			
	-1	1	1	1
				-1 0 1
				M_S

به همین ترتیب با حذف ترم طیفی P^3 (که ۹ حالت ریز را شامل می‌شود) از جدول اخیر، یک حالت ریز باقی می‌ماند که به $M_L = 0$ و $M_S = 0$ مربوط است، در نتیجه $L = 0$ و $S = 0$ خواهد بود. نماد ترم طیفی برای چنین حالتی 1S است. بنابراین، ترمهای طیفی برای آرایش الکترونی d^2 عبارتند از:



شکافت حالتهای انرژی برای آرایش $3d^2$ در شکل صفحه بعد نشان داده شده است (در این شکل مقیاس رعایت نشده است):



روش دیگری که برای نمایش ۴۵ حالت ریز آرایش الکترونی d^2 به کار می‌رود، در جدول زیر نشان داده شده است:

	M_s		
M_L	1	0	-1
4		$(\overset{+}{2}, \overset{-}{2})$	
3	$(\overset{+}{2}, \overset{+}{1})$	$(\overset{+}{2}, \overset{-}{1})(\overset{-}{2}, \overset{+}{1})$	$(\overset{-}{2}, \overset{-}{1})$
2	$(\overset{+}{2}, \overset{+}{0})$	$(\overset{+}{2}, \overset{-}{0})(\overset{-}{2}, \overset{+}{0})(\overset{+}{1}, \overset{-}{1})$	$(\overset{-}{2}, \overset{-}{0})$
1	$(\overset{+}{1}, \overset{+}{0})(\overset{+}{2}, \overset{+}{-1})$	$(\overset{+}{1}, \overset{-}{0})(\overset{-}{1}, \overset{+}{0})$ $(\overset{+}{2}, \overset{-}{-1})(\overset{-}{2}, \overset{+}{-1})$	$(\overset{-}{1}, \overset{-}{0})(\overset{-}{2}, \overset{-}{-1})$
0	$(\overset{+}{2}, \overset{-}{-2})(\overset{-}{1}, \overset{+}{-1})$	$(\overset{+}{2}, \overset{-}{-2})(\overset{-}{2}, \overset{+}{-2})$ $(\overset{+}{1}, \overset{-}{-1})$ $(\overset{-}{1}, \overset{+}{-1})(\overset{+}{0}, \overset{-}{0})$	$(\overset{-}{2}, \overset{-}{-2})(\overset{-}{1}, \overset{-}{-1})$
-1	$(-\overset{+}{1}, \overset{+}{0})(\overset{+}{1}, \overset{+}{-2})$	$(-\overset{+}{1}, \overset{-}{0})(-\overset{-}{1}, \overset{+}{0})$ $(-\overset{+}{2}, \overset{-}{1})(-\overset{-}{2}, \overset{+}{1})$	$(-\overset{-}{1}, \overset{-}{0})(\overset{-}{1}, \overset{-}{-2})$
-2	$(-\overset{+}{2}, \overset{+}{0})$	$(-\overset{+}{2}, \overset{-}{0})(-\overset{-}{2}, \overset{+}{0})(-\overset{+}{1}, \overset{-}{1})$	$(-\overset{-}{2}, \overset{-}{0})$
-3	$(-\overset{+}{2}, \overset{+}{-1})$	$(-\overset{+}{2}, \overset{-}{-1})(-\overset{-}{2}, \overset{+}{-1})$	$(-\overset{-}{2}, \overset{-}{-1})$
-4		$(-\overset{+}{2}, \overset{-}{-2})$	

تمرین ۴

تعداد حالتها ریز و نماد ترمهای طیفی آرایش الکترونی p^3 را بدست آوردید:

حل:

تعداد حالتها را با استفاده از رابطه ۳-۴ می‌توان حساب کرد:

$$n = \frac{(2 \times 3)!}{3! \times (2 \times 3 - 3)!} = 20$$

آرایش‌های الکترونی مربوط به این ۲۰ حالت ریز و نیز مقادیر M_L و M_s مربوط به آنها در جدول زیر گردآوری شده است:

حالتها ریز M_L و M_s برای آرایش الکترونی p^3

m_l			$\sum m_l = M_L$	$\sum m_s = M_s$
+1	0	-1		
↑	↑	↑	0	$3/2, 1/2, 1/2, 1/2$ $-3/2, -1/2, -1/2, -1/2$ *
↑↓	↑		2	$1/2, -1/2$
↑	↑↓		1	$1/2, -1/2$
	↑↓	↑	-1	$1/2, -1/2$
	↑	↑↓	-2	$1/2, -1/2$
↑↓		↑	1	$1/2, -1/2$
↑		↑↓	-1	$1/2, -1/2$

با توجه به داده‌های این جدول می‌توان ترمهای طیفی ذیر را به دست آورد:

$$\begin{cases} L=2 \\ S=1/2 \end{cases} \Rightarrow \begin{cases} M_L=2,1,0,-1,-2 \\ M_S=1/2,-1/2 \end{cases} \Rightarrow {}^2D \quad (10 \text{ حالت ریز})$$

$$\begin{cases} L=1 \\ S=1/2 \end{cases} \Rightarrow \begin{cases} M_L=1,0,-1 \\ M_S=1/2,-1/2 \end{cases} \Rightarrow {}^2P \quad (6 \text{ حالت ریز})$$

$$\begin{cases} L=0 \\ S=3/2 \end{cases} \Rightarrow \begin{cases} M_L=0 \\ M_S=3/2,1/2,-1/2,-3/2 \end{cases} \Rightarrow {}^4S \quad (4 \text{ حالت ریز})$$

لازم به یادآوری است که ترمهای طیفی مربوط به آرایش الکترونی d^5 با p^1 و p^4 با پکسان است.

تمرین ۵-۴

تعداد حالت‌های ریز و نماد ترمهای طیفی مربوط به آرایش الکترونی d^5 را به دست آورید:

حل:

تعداد کل حالت‌های ریز را برای آرایش الکترونی d^5 می‌توان با استفاده از رابطه ۳-۴ حساب کرد:

$$n = \frac{(2 \times 5)!}{5! (10 - 5)!} = 252$$

بنابراین، تعداد حالت‌هایی که برای پنج الکترون در اوربیتال‌های d وجود دارد، برابر ۲۵۲ است. حالت‌های ریز برای پنج الکترون d همارذ در جدول صفحه بعد نشان داده شده است:

\uparrow	\uparrow	\uparrow	$3/2$	\downarrow	\downarrow	\downarrow	$-3/2$	*
\uparrow	\uparrow	\downarrow	$1/2$	\downarrow	\downarrow	\uparrow	$-1/2$	→
\uparrow	\downarrow	\uparrow	$1/2$	\downarrow	\uparrow	\downarrow	$-1/2$	
\downarrow	\uparrow	\uparrow	$1/2$	\uparrow	\downarrow	\downarrow	$-1/2$	

m_l					$M_L = \sum m_l$	$M_S = \sum m_s$
2	1	0	-1	-2		
↑↓	↑↓	↑			6	$\frac{1}{2}, -\frac{1}{2}$
↑↓	↑↓		↑		5	$\frac{1}{2}, -\frac{1}{2}$
↑↓	↑↓			↑	4	$\frac{1}{2}, -\frac{1}{2}$
↑↓	↑	↑↓			5	$\frac{1}{2}, -\frac{1}{2}$
↑↓		↑↓	↑		3	$\frac{1}{2}, -\frac{1}{2}$
↑↓		↑↓		↑	2	$\frac{1}{2}, -\frac{1}{2}$
↑↓	↑		↑↓		3	$\frac{1}{2}, -\frac{1}{2}$
↑↓		↑	↑↓		2	$\frac{1}{2}, -\frac{1}{2}$
↑↓			↑↓	↑	0	$\frac{1}{2}, -\frac{1}{2}$
↑↓	↑			↑↓	1	$\frac{1}{2}, -\frac{1}{2}$
↑↓		↑		↑↓	0	$\frac{1}{2}, -\frac{1}{2}$
↑↓		↑		↑↓	-1	$\frac{1}{2}, -\frac{1}{2}$
↑	↑↓	↑↓	↑		4	$\frac{1}{2}, -\frac{1}{2}$
↑	↑↓	↑↓		↑	1	$\frac{1}{2}, -\frac{1}{2}$
↑	↑↓	↑↓			0	$\frac{1}{2}, -\frac{1}{2}$
↑	↑↓	↑	↑↓	↑	2	$\frac{1}{2}, -\frac{1}{2}$
↑	↑↓	↑	↑↓		0	$\frac{1}{2}, -\frac{1}{2}$
↑	↑↓	↑		↑↓	-2	$\frac{1}{2}, -\frac{1}{2}$
↑	↑↓		↑↓	↑↓	0	$\frac{1}{2}, -\frac{1}{2}$
↑	↑↓		↑	↑↓	-2	$\frac{1}{2}, -\frac{1}{2}$
↑	↑	↑↓	↑	↑↓	-3	$\frac{1}{2}, -\frac{1}{2}$
↑	↑	↑↓	↑↓	↑	0	$\frac{1}{2}, -\frac{1}{2}$
↑	↑	↑↓	↑↓		-1	$\frac{1}{2}, -\frac{1}{2}$
↑	↑	↑↓	↑↓		-4	$\frac{1}{2}, -\frac{1}{2}$
↑	↑	↑↓	↑	↑↓	-2	$\frac{1}{2}, -\frac{1}{2}$
↑	↑	↑↓	↑	↑↓	-3	$\frac{1}{2}, -\frac{1}{2}$
↑	↑	↑↓	↑	↑↓	-5	$\frac{1}{2}, -\frac{1}{2}$
↑	↑	↑↓	↑↓	↑↓	-4	$\frac{1}{2}, -\frac{1}{2}$
↑	↑	↑↓	↑↓	↑↓	-5	$\frac{1}{2}, -\frac{1}{2}$
↑	↑	↑↓	↑↓	↑↓	-6	$\frac{1}{2}, -\frac{1}{2}$

m_l					M_L	M_s
2	1	0	-1	-2		
↑↓		↑	↑	↑	1	$-\frac{3}{2}, \frac{1}{2}(3), -\frac{1}{2}(3), -\frac{3}{2}$
↑↓	↑		↑	↑	2	»
↑↓	↑	↑		↑	3	»
↑↓	↑	↑	↑		4	»
↑	↑↓	↑	↑		3	»
	↑↓	↑	↑	↑	-1	»
↑	↑↓	↑	↑	↑	1	»
↑	↑↓	↑	↑	↑	2	»
↑	↑↓	↑↓	↑	↑	2	»
↑	↑↓	↑↓	↑	↑	-2	»
↑	↑↓	↑↓	↑	↑	-1	»
↑	↑↓	↑↓	↑↓	↑	1	»
↑	↑↓	↑↓	↑↓	↑	1	»
↑	↑↓	↑↓	↑↓	↑	-3	»
↑	↑↓	↑↓	↑↓	↑	-2	»
↑	↑↓	↑↓	↑↓	↑	-1	»
↑	↑↓	↑↓	↑↓	↑↓	-1	»
↑	↑↓	↑↓	↑↓	↑↓	-4	»
↑	↑↓	↑↓	↑↓	↑↓	-3	»
↑	↑↓	↑↓	↑↓	↑↓	-2	»
↑	↑↓	↑	↑	↑	0	$\frac{5}{2}(1), \frac{3}{2}(5), \frac{1}{2}(10)$
						$-\frac{5}{2}(1), -\frac{3}{2}(5), \frac{1}{2}(10)$

به طوری که در جدول فوق مشخص شده، برای حالتی که فقط یکی از الکترونها جفت نشده است، همترازی اسپین ۲ و همترازی اوربیتال برابر 35 می باشد. بنابراین، کل حالتها ریز برای چنین حالتی $= 60 \times 2 = 120$ خواهد بود. برای حالتی که سه الکترون، جفت نشده است، همترازی اسپین ۸ و همترازی اوربیتال برابر 20 می باشد. پس، کل حالتها ریز برای چنین حالتی $= 160 \times 8 = 1280$ خواهد بود. بنابراین، کل حالت ریز باقی مانده $(160 - 60 - 1280) = 252$ مربوط به حالتی است که تمامی الکترونها جفت نشده اند. این حالتها ریز برای آرایش الکترونی d^5 را می توان به صورتی که در جدول زیر آمده است، خلاصه کرد:

	6		1	1		
	5		2	2		
	4		1	5	5	1
	3		2	8	8	2
	2		3	12	12	3
↑	1		4	14	14	4
M_L	0	1	5	16	16	5 1
	-1		4	14	14	4
	-2		3	12	12	3
	-3		2	8	8	2
	-4		1	5	5	1
	-5			2	2	
	-6			1	1	
			$-\frac{5}{2}$	$-\frac{3}{2}$	$-\frac{1}{2}$	$\frac{1}{2}$
						$\frac{3}{2}$
						$\frac{5}{2}$
					$M_s \rightarrow$	

$$\text{مجموع} : 1 + 25 + 100 + 100 = 25 + 1 = 252$$

$$\text{ترمها} : {}^2I \ ^2H \ ^4F \ ^2F(2) \ ^4G \ ^2G(2) \\ {}^4D \ ^2D(3) \ ^4P \ ^2P \ ^6S \ ^2S$$

براساس این جدول ملاحظه می‌شود که بالاترین مقدار M_L برابر ۶ و برای این حالت $S=1/2$ و $M_S=1/2$ است. بنا بر این، ۶ و $L=1/2$ می‌باشد. نماد ترم طیفی برای چنین حالتی، I^2 است و ۲۶ حالت ریز را شامل می‌شود، که با حذف آنها از جدول فوق، جدول زیر نتیجه می‌شود:

			1	1		
		4	1	4	4	1
		3	2	7	7	2
		2	3	11	11	3
↑	1		4	13	13	4
M_L	0	1	5	15	15	5
	-1		4	13	13	4
	-2		3	11	11	3
	-3		2	7	7	2
	-4		1	4	4	1
	-5			1	1	
$-\frac{5}{2} \quad -\frac{3}{2} \quad -\frac{1}{2} \quad \frac{1}{2} \quad \frac{3}{2} \quad \frac{5}{2}$						
$M_S \rightarrow$						

با توجه به جدول فوق، مشابه آنچه که در مورد تمرین ۳-۴ انجام داده شد، به ترتیب ترم‌های 2S و $^2D(3)$ ، 4P ، $^2G(2)$ ، 4F ، 2H به دست خواهد آمد.

تمرین ۶-۴

تعداد حالت‌های ریز و نماد ترم‌های طیفی را برای آرایش الکترونی ناهم ارز s^1s^1 به دست آورید.

حل:

تعداد کل حالت‌های ریز در مورد آرایش الکترونی ناهم ارز برابر حاصل ضرب تعداد حالت‌های ریز مربوط به هر تراز است. از این‌رو، چون تعداد حالت‌های ریز^۱ برابر ۲ است، پس داریم:

$$\text{حالت ریز } = 2 \times 2 = 4$$

آرایش الکترونی این ۴ حالت ریز و نماد ترمهای طیفی مربوط را می‌توان به صورت زیر معین کرد:



$$m_l = 0 \quad 0 \quad \sum m_l = M_L = 0 \Rightarrow L = 0$$

$$\text{حالت ریز } = l_1 + l_2, \dots, |l_1 - l_2| = 0$$

$$\begin{cases} L = 0 \\ S = 1 \end{cases} \Rightarrow {}^3S_1 \Rightarrow 2J + 1 = 3$$

$$\begin{cases} L = 0 \\ S = 0 \end{cases} \Rightarrow {}^1S_0 \Rightarrow 2J + 1 = 1$$

تمرین ۷-۴

تعداد حالت‌های ریز و نماد ترمهای طیفی را برای آرایش الکترونی ناهم ارز $s^1 p^1$ به دست آورید.

حل:

تعداد کل حالت‌های ریز این آرایش ناهم ارز برابر است با:

$$\text{حالت ریز } = 2 \times 6 = 12$$

آرایش الکترونی این ۱۲ حالت ریز و نماد ترمهای طیفی مربوط را می‌توان به صورت

ذیر معین کرد:

$m_l(s)$	$m_l(p)$			M_L	M_s
0	+1	0	-1		
↑	↑	↓	↑	1	1,0,0,-1
↑	↓	↑	↓	0	1,0,0,-1
↑	↓	↓	↑	-1	1,0,0,-1

$$L = l_1 + l_2 + \dots, |l_1 - l_2| = 1$$

$$\begin{cases} L = 1 \Rightarrow M_L = 1, 0, -1 \\ S = 1 \Rightarrow M_S = 1, 0, -1 \end{cases} \Rightarrow {}^3P$$

$$(2L+1)(2S+1) = (2 \times 1 + 1)(2 \times 1 + 1) = 3 \times 3 = 9$$

$${}^3P \begin{cases} {}^3P_0 \quad 2J+1 = 2 \times 0 + 1 = 1 \\ {}^3P_1 \quad 2J+1 = 2 \times 1 + 1 = 3 \\ {}^3P_2 \quad 2J+1 = 2 \times 2 + 1 = 5 \end{cases}$$

$$\begin{cases} L = 1 \Rightarrow M_L = 1, 0, -1 \\ S = 0 \Rightarrow M_S = 0 \end{cases} \Rightarrow {}^1P \text{ (سه حالت ریز)}$$

تمرین ۸-۴

تعداد حالت‌های ریز و نماد ترمهای طیفی آرایش الکترونی ناهم ارز $p^1 p^1$ را به دست آورید.

حل:

تعداد کل حالت‌های ریز برای این آرایش الکترونی برابر است با:

$$n = \frac{(2 \times 3)!}{1!(2 \times 3 - 1)!} \times \frac{(2 \times 3)!}{1!(2 \times 3 - 1)!} = 6 \times 6 = 36$$

آرایشهای الکترونی این ۳۶ حالت ریز و نماد ترمهای طیفی مربوط را می‌توان به صورت زیر به دست آورد:

m_l						M_L	M_s
+1	0	-1	+1	0	-1		
↑			↑			2	1, 0, 0, -1
↑				↑		1	»
↑					↑	0	»
	↑		↑			1	»
	↑			↑		0	»
	↑				↑	-1	»
		↑	↑			0	»
		↑		↑		-1	»
		↑			↑	-2	»

$$L = l_1 + l_2, \dots, |l_1 - l_2|$$

$$= 1+1, \dots, |1-1| = 2, 1, 0$$

$$\begin{cases} L=2 \Rightarrow M_L=2,1,0,-1,-2 \\ S=1 \Rightarrow M_S=1,0,-1 \end{cases} \Rightarrow {}^3D \text{ (۱۵ حالت ریز)}$$

$$\begin{cases} L=2 \Rightarrow M_L=2,1,0,-1,-2 \\ S=0 \Rightarrow M_S=0 \end{cases} \Rightarrow {}^1D \text{ (۵ حالت ریز)}$$

$$\begin{cases} L=1 \Rightarrow M_L=1,0,-1 \\ S=1 \Rightarrow M_S=1,0,-1 \end{cases} \Rightarrow {}^3P \text{ (۹ حالت ریز)}$$

$$\begin{cases} L=1 \Rightarrow M_L=1,0,-1 \\ S=0 \Rightarrow M_S=0 \end{cases} \Rightarrow {}^1P \text{ (۳ حالت ریز)}$$

$$\begin{cases} L=0 \Rightarrow M_L=0 \\ S=1 \Rightarrow M_S=1,0,-1 \end{cases} \Rightarrow {}^3S \text{ (۳ حالت ریز)}$$

$$\begin{cases} L=0 \Rightarrow M_L=0 \\ S=0 \Rightarrow M_S=0 \end{cases} \Rightarrow {}^1S \text{ (یک حالت ریز)}$$

تمرین ۹-۱۴

تعداد حالت‌های ریز و نماد ترمهای طیفی آرایش الکترونی ناهم‌ارز d^1d^1 را به دست آورید.

حل :

کل حالت‌های ریز برای آرایش الکترونی فوق را می‌توان از رابطه ۳-۴ محاسبه کرد:

$$n = \frac{(2 \times 5)!}{1!(2 \times 5 - 1)!} \times \frac{(2 \times 5)!}{1!(2 \times 5 - 1)!} = 10 \times 10 = 100 \text{ حالت ریز}$$

حالت‌های ریز M_L و M_S برای آرایش الکترونی d^1d^1 در جدول زیر نشان داده شده است:

www.ShimiPedia.ir

d	m_l					d	$\sum m_l = M_L$	$\sum m_s = M_S$
+2	+1	0	-1	-2	+2	+1	0	-1 -2
↑					↑			4
↑						↑		3
↑							↑	2
↑								1
↑								0
	↑				↑			3
	↑					↑		2
	↑						↑	1
	↑							0
		↑						-1
		↑			↑			2
		↑				↑		1
		↑					↑	0
		↑						-1
		↑						-2
		↑			↑			1
		↑				↑		0
		↑					↑	-1
		↑						-2
		↑						-3
			↑	↑				0
			↑		↑			-1
			↑			↑		-2
			↑				↑	-3
			↑					-4

$$L = l_1 + l_2, \dots, |l_2 - l_2| = 2+2, \dots, 2-2 = 4, 3, 2, 1, 0$$

$$\begin{cases} L=4 \Rightarrow M_L=4,3,2,1,0,-1,-2,-3,-4 \\ S=1 \Rightarrow M_s=1,0,-1 \end{cases}$$

3G (۲۷) حالت ریز

$$\begin{cases} L=4 \Rightarrow M_L=4,3,2,1,0,-1,-2,-3,-4 \\ S=0 \Rightarrow M_s=0 \end{cases}$$

1G (۹) حالت ریز

$$\begin{cases} L=3 \Rightarrow M_L=3,2,1,0,-1,-2,-3 \\ S=1 \Rightarrow M_s=1,0,-1 \end{cases}$$

3F (۲۱) حالت ریز

$$\begin{cases} L=3 \Rightarrow M_L=3,2,1,0,-1,-2,-3 \\ S=0 \Rightarrow M_s=0 \end{cases}$$

1F (۷) حالت ریز

$$\begin{cases} L=2 \Rightarrow M_L=2,1,0,-1,-2 \\ S=1 \Rightarrow M_s=1,0,-1 \end{cases}$$

3D (۱۵) حالت ریز

$$\begin{cases} L=2 \Rightarrow M_L=2,1,0,-1,-2 \\ S=0 \Rightarrow M_s=0 \end{cases}$$

1D (۵) حالت ریز

$$\begin{cases} L=1 \Rightarrow M_L=1,0,-1 \\ S=1 \Rightarrow M_s=1,0,-1 \end{cases}$$

(۹) حالت ریز

$$\begin{cases} L=1 \Rightarrow M_L=1,0,-1 \\ S=0 \Rightarrow M_s=0 \end{cases}$$

1P (۳ حالت ریز)

$$\begin{cases} L=0 \Rightarrow M_L=0 \\ S=1 \Rightarrow M_s=1,0,-1 \end{cases}$$

3S (۳ حالت ریز)

$$\begin{cases} L=0 \Rightarrow M_L=0 \\ S=0 \Rightarrow M_s=0 \end{cases}$$

1S (یک حالت ریز)

مجموع حالت‌های ریز $27+9+21+7+15+5+9+3+2+1 = 100$

روش دیگری که برای نمایش ۱۵۵ حالت ریز آرایش الکترونی d^1d^1 به کار می‌رود، در جدول صفحه بعد نشان داده شده است.

تمرین ۱۰-۴

تعداد حالت‌های ریز و نماد ترمهای طیفی مربوط به آرایش الکترونی ناهم ارز $p^1d^1f^1$ را بدست آوردید.

حل:

تعداد کل حالت‌های ریز این آرایش الکترونی را با استفاده از رابطه ۳-۴ می‌توان حساب کرد:

$$n = 6 \times 10 \times 14 = 840 \quad \text{حالت ریز}$$

می‌دانیم که ترمهای مربوط به آرایش‌های الکترونی p^1 , d^1 و f^1 , به ترتیب p^1 , D^2 و F^2

مقادیر M_s و M_t برای آرایش الکترونی $(3d)^1(4d)^1$

M_L	M_S		
	1	0	-1
4	$(\frac{+}{2}, \frac{+}{2_4})$	$(\frac{+}{2}, \frac{-}{2_4})(\frac{-}{2}, \frac{+}{2_4})$	$(\frac{-}{2}, \frac{-}{2_4})$
3	$(\frac{+}{2}, \frac{+}{1_4})(\frac{+}{2_4}, \frac{+}{1})$	$(\frac{+}{2}, \frac{-}{1_4})(\frac{-}{2}, \frac{+}{1_4})$ $(\frac{+}{2_4}, \frac{-}{1})(\frac{-}{2_4}, \frac{+}{1})$	$(\frac{-}{2}, \frac{-}{1_4})(\frac{-}{2_4}, \frac{-}{1})$
2	$(\frac{+}{2}, \frac{+}{0_4})(\frac{+}{2_4}, \frac{+}{0})$ $(\frac{+}{1}, \frac{+}{1_4})$	$(\frac{+}{2}, \frac{-}{0_4})(\frac{-}{2}, \frac{+}{0_4})(\frac{+}{2_4}, \frac{-}{0})$ $(\frac{-}{2_4}, \frac{+}{0})(\frac{+}{1_4}, \frac{-}{1})(\frac{-}{1_4}, \frac{+}{1})$	$(\frac{-}{2}, \frac{-}{0_4})(\frac{-}{2_4}, \frac{-}{0})$ $(\frac{-}{1}, \frac{-}{1_4})$
1	$(\frac{+}{1}, \frac{+}{0_4})(\frac{+}{1_4}, \frac{+}{0})$ $(\frac{+}{2}, \frac{-}{-1_4})(\frac{+}{2_4}, \frac{-}{-1})$	$(\frac{+}{1}, \frac{-}{0_4})(\frac{-}{1_4}, \frac{+}{0_4})(\frac{+}{1_4}, \frac{-}{0})$ $(\frac{-}{1_4}, \frac{+}{0})(\frac{+}{2}, \frac{-}{-1_4})(\frac{-}{2}, \frac{+}{-1_4})$ $(\frac{+}{2_4}, \frac{-}{-1})(\frac{-}{2_4}, \frac{+}{-1})$	$(\frac{-}{1}, \frac{-}{0_4})(\frac{-}{1_4}, \frac{-}{0})$ $(\frac{-}{2}, \frac{-}{-1_4})(\frac{-}{2_4}, \frac{-}{-1})$
0	$(\frac{+}{1}, \frac{-}{-1_4})(\frac{+}{1_4}, \frac{-}{-1})$ $(\frac{+}{2}, \frac{-}{-2_4})(\frac{+}{2_4}, \frac{-}{-2})$ $(\frac{+}{0}, \frac{+}{0_4})$	$(\frac{+}{1}, \frac{-}{-1_4})(\frac{-}{1_4}, \frac{+}{-1})(\frac{+}{1_4}, \frac{-}{-1})$ $(\frac{-}{1_4}, \frac{+}{-1})(\frac{+}{2}, \frac{-}{-2_4})(\frac{-}{2}, \frac{+}{-2_4})$ $(\frac{+}{2_4}, \frac{-}{-2})(\frac{-}{2_4}, \frac{+}{-2})(0, \frac{+}{0_4})(\frac{-}{0}, \frac{+}{0_4})$	$(\frac{-}{1}, \frac{-}{-1_4})(\frac{-}{1_4}, \frac{-}{-1})$ $(\frac{-}{2}, \frac{-}{-2_4})(\frac{-}{2_4}, \frac{-}{-2})$ $(\frac{-}{0}, \frac{-}{0_4})$
-1	$(\frac{+}{-1}, \frac{+}{0_4})(\frac{+}{-1_4}, \frac{+}{0})$ $(\frac{+}{-2}, \frac{+}{1_4})(\frac{+}{-2_4}, \frac{+}{1})$	$(\frac{+}{-1}, \frac{-}{0_4})(\frac{-}{-1_4}, \frac{+}{0_4})(\frac{+}{-1_4}, \frac{-}{0})$ $(\frac{-}{-1_4}, \frac{+}{0})(\frac{+}{-2}, \frac{-}{1_4})(\frac{-}{-2}, \frac{+}{1_4})$ $(\frac{+}{-2_4}, \frac{-}{1})(\frac{-}{-2_4}, \frac{+}{1})$	$(\frac{-}{-1}, \frac{-}{0_4})(\frac{-}{-1_4}, \frac{-}{0})$ $(\frac{-}{-2}, \frac{-}{1_4})(\frac{-}{-2_4}, \frac{-}{1})$
-2	$(\frac{+}{-2}, \frac{+}{0_4})(\frac{+}{-2_4}, \frac{+}{0})$ $(\frac{+}{-1}, \frac{+}{-1_4})$	$(\frac{+}{-2}, \frac{-}{0_4})(\frac{-}{-2_4}, \frac{+}{0_4})(\frac{+}{-2_4}, \frac{-}{0})$ $(\frac{-}{-2_4}, \frac{+}{0})(\frac{+}{-1}, \frac{-}{-1_4})$ $(\frac{-}{-1}, \frac{+}{-1_4})$	$(\frac{-}{-2}, \frac{-}{0_4})(\frac{-}{-2_4}, \frac{-}{0})$ $(\frac{-}{-1}, \frac{-}{-1_4})$
-3	$(\frac{+}{-2}, \frac{+}{-1_4})(\frac{+}{-2_4}, \frac{+}{-1})$	$(\frac{+}{-2}, \frac{-}{-1_4})(\frac{-}{-2}, \frac{+}{-1_4})$ $(\frac{+}{-2_4}, \frac{-}{-1})(\frac{-}{-2_4}, \frac{+}{-1})$	$(\frac{-}{-2}, \frac{-}{-1_4})(\frac{-}{-2_4}, \frac{-}{-1})$
-4	$(\frac{+}{-2}, \frac{+}{-2_4})$	$(\frac{+}{-2}, \frac{-}{-2_4})(\frac{-}{-2}, \frac{+}{-2_4})$	$(\frac{-}{-2}, \frac{-}{-2_4})$

است. برای به دست آوردن نماد ترمهای طیفی آرایش الکترونی فوق، ابتدا باید ترکیب‌های ممکن از مقادیر L و S مر بوط به دو مجموعه 2P و 2D را به دست آورده، حاصل را با مقادیر L و S ترم 2F ترکیب کرد. از این‌رو، به ترتیب زیر عمل می‌کنیم:

$${}^2P : {}^2P ; {}^2D : {}^2D$$

$${}^2P, {}^2D :$$

$${}^2P \left\{ \begin{array}{l} L=1 \\ S=1/2 \end{array} \right. ; {}^2D \left\{ \begin{array}{l} L=2 \\ S=1/2 \end{array} \right. \Rightarrow \left\{ \begin{array}{l} L=2+1, \dots, 2-1=3, 2, 1 \\ S=1/2+1/2, \dots, 1/2-1/2=1, 0 \end{array} \right.$$

بنابراین، خواهیم داشت:

$$\left\{ \begin{array}{l} L=3 \\ S=1 \end{array} \right. \Rightarrow {}^3F ; \left\{ \begin{array}{l} L=3 \\ S=0 \end{array} \right. \Rightarrow {}^1F$$

$$\left\{ \begin{array}{l} L=2 \\ S=1 \end{array} \right. \Rightarrow {}^3D ; \left\{ \begin{array}{l} L=2 \\ S=0 \end{array} \right. \Rightarrow {}^1D$$

$$\left\{ \begin{array}{l} L=1 \\ S=1 \end{array} \right. \Rightarrow {}^3P ; \left\{ \begin{array}{l} L=1 \\ S=0 \end{array} \right. \Rightarrow {}^1P$$

حال، کلیه ترکیب‌های ممکن از مقادیر L و S مر بوط به ترم 2F و تک تک شش ترم فوق را به دست می‌آوریم:

$${}^2F, {}^3F :$$

$${}^2F \left\{ \begin{array}{l} L=3 \\ S=1/2 \end{array} \right. ; {}^3F \left\{ \begin{array}{l} L=3 \\ S=1 \end{array} \right. \Rightarrow$$

$$\left\{ \begin{array}{l} L=3+3, \dots, 3-3=6, 5, 4, 3, 2, 1, 0 \\ S=1+1/2, \dots, 1-1/2=3/2, 1/2 \end{array} \right.$$

$$\left\{ \begin{array}{l} L=6 \\ S=3/2 \end{array} \right. \Rightarrow {}^4I ; \left\{ \begin{array}{l} L=6 \\ S=1/2 \end{array} \right. \Rightarrow {}^2I$$

$$\begin{cases} L=5 \\ S=3/2 \end{cases} \Rightarrow {}^4H ; \begin{cases} L=5 \\ S=1/2 \end{cases} \Rightarrow {}^2H$$

$$\begin{cases} L=4 \\ S=3/2 \end{cases} \Rightarrow {}^4G ; \begin{cases} L=4 \\ S=1/2 \end{cases} \Rightarrow {}^2G$$

$$\begin{cases} L=3 \\ S=3/2 \end{cases} \Rightarrow {}^4F ; \begin{cases} L=3 \\ S=1/2 \end{cases} \Rightarrow {}^2F$$

$$\begin{cases} L=2 \\ S=3/2 \end{cases} \Rightarrow {}^4D ; \begin{cases} L=2 \\ S=1/2 \end{cases} \Rightarrow {}^2D$$

$$\begin{cases} L=1 \\ S=3/2 \end{cases} \Rightarrow {}^4P ; \begin{cases} L=1 \\ S=1/2 \end{cases} \Rightarrow {}^2P$$

$$\begin{cases} L=0 \\ S=3/2 \end{cases} \Rightarrow {}^4S ; \begin{cases} L=0 \\ S=1/2 \end{cases} \Rightarrow {}^2S$$

2F , 1F :

$${}^2F \begin{cases} L=3 \\ S=1/2 \end{cases} ; {}^1F \begin{cases} L=3 \\ S=0 \end{cases} \Rightarrow$$

$$\begin{cases} L=3+3, \dots, 3-3=6,5,4,3,2,1,0 \\ S=1/2+0, \dots, 1/2-0=1/2 \end{cases}$$

بنابراین داریم:

$$\begin{cases} L=6 \\ S=1/2 \end{cases} \Rightarrow {}^2I ; \begin{cases} L=5 \\ S=1/2 \end{cases} \Rightarrow {}^2H ; \begin{cases} L=4 \\ S=1/2 \end{cases} \Rightarrow {}^2G$$

$$\begin{cases} L=3 \\ S=1/2 \end{cases} \Rightarrow {}^2F ; \begin{cases} L=2 \\ S=1/2 \end{cases} \Rightarrow {}^2D ; \begin{cases} L=1 \\ S=1/2 \end{cases} \Rightarrow {}^2P$$

$$\begin{cases} L=0 \\ S=1/2 \end{cases} \Rightarrow {}^2S$$

2F , 3D :

$${}^2F \begin{cases} L=3 \\ S=1/2 \end{cases}; {}^3D \begin{cases} L=2 \\ S=1 \end{cases} \Rightarrow$$

$$\begin{cases} L=3+2, \dots, 3-2=5,4,3,2,1 \\ S=1+1/2 \dots, 1-1/2=3/2,1/2 \end{cases}$$

بنابراین، دارد:

$$\begin{cases} L=5 \\ S=3/2 \end{cases} \Rightarrow {}^4H; \begin{cases} L=5 \\ S=1/2 \end{cases} \Rightarrow {}^2H$$

$$\begin{cases} L=4 \\ S=3/2 \end{cases} \Rightarrow {}^4G; \begin{cases} L=4 \\ S=1/2 \end{cases} \Rightarrow {}^2G$$

$$\begin{cases} L=3 \\ S=3/2 \end{cases} \Rightarrow {}^4F; \begin{cases} L=3 \\ S=1/2 \end{cases} \Rightarrow {}^2F$$

$$\begin{cases} L=2 \\ S=3/2 \end{cases} \Rightarrow {}^4D; \begin{cases} L=2 \\ S=1/2 \end{cases} \Rightarrow {}^2D$$

$$\begin{cases} L=1 \\ S=3/2 \end{cases} \Rightarrow {}^4P; \begin{cases} L=1 \\ S=1/2 \end{cases} \Rightarrow {}^2P$$

2F , 1D :

$${}^2F \begin{cases} L=3 \\ S=1/2 \end{cases}; {}^1D \begin{cases} L=2 \\ S=0 \end{cases} \Rightarrow \begin{cases} L=3+2, \dots, 3-2=5,4,3,2,1 \\ S=1/2+0, \dots, 1/2-0=1/2 \end{cases}$$

بنابراین، داریم:

$$\begin{cases} L=5 \\ S=1/2 \end{cases} \Rightarrow {}^2H ; \begin{cases} L=4 \\ S=1/2 \end{cases} \Rightarrow {}^2G$$

$$\begin{cases} L=3 \\ S=1/2 \end{cases} \Rightarrow {}^2F ; \begin{cases} L=2 \\ S=1/2 \end{cases} \Rightarrow {}^2D$$

$$\begin{cases} L=1 \\ S=1/2 \end{cases} \Rightarrow {}^2P$$

2F , 3P :

$${}^2F \begin{cases} L=3 \\ S=1/2 \end{cases} ; {}^3P \begin{cases} L=1 \\ S=1 \end{cases} \Rightarrow$$

$$\begin{cases} L=3+1 \dots, 3-1=4,3,2 \\ S=1+1/2, \dots, 1-1/2=3/2,1/2 \end{cases}$$

بنابراین، داریم:

$$\begin{cases} L=4 \\ S=3/2 \end{cases} \Rightarrow {}^4G ; \begin{cases} L=4 \\ S=1/2 \end{cases} \Rightarrow {}^2G$$

$$\begin{cases} L=3 \\ S=3/2 \end{cases} \Rightarrow {}^4F ; \begin{cases} L=3 \\ S=1/2 \end{cases} \Rightarrow {}^2F$$

$$\begin{cases} L=2 \\ S=3/2 \end{cases} \Rightarrow {}^4D ; \begin{cases} L=2 \\ S=1/2 \end{cases} \Rightarrow {}^2D$$

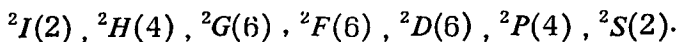
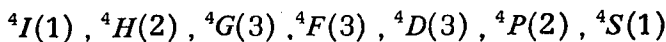
2F , 1P

$${}^2F \begin{cases} L=3 \\ S=1/2 \end{cases} ; {}^1P \begin{cases} L=1 \\ S=0 \end{cases} \Rightarrow \begin{cases} L=3+1, \dots, 3-1=4,3,2 \\ S=1/2+0, \dots, 1/2-0=1/2 \end{cases}$$

بنابراین داریم:

$$\begin{cases} L=4 \\ S=1/2 \end{cases} \Rightarrow {}^2G; \quad \begin{cases} L=3 \\ S=1/2 \end{cases} \Rightarrow {}^2F; \quad \begin{cases} L=2 \\ S=1/2 \end{cases} \Rightarrow {}^2D$$

بنابراین، ترمهای طیفی مربوط به آرایش الکترونی $p^1d^1f^1$ عبارتند از:



تمرین ۱۱-۴

تعداد حالت‌های ریز و نماد ترمهای طیفی آرایش الکترونی p^1s^2 را به دست آورید.

حل:

به‌این نوع آرایش الکترونی، آرایش الکترونی مخلط اطلاق می‌شود که دارای الکترون‌های همارز و ناهم‌ارزمی باشد. برای تعیین نماد ترمهای طیفی این نوع آرایش‌های الکترونی، ابتدا باید نماد ترمهای طیفی هر یک از دو دسته الکترون را پیدا کرد و سپس کلیه ترکیب‌های ممکن از مقادیر S و L مربوط به‌این دو مجموعه را معین کرده و براساس آنها، کلیه ترمهای طیفی ممکن را به دست آوردد.

تعداد کل حالت‌های ریز مربوط به‌این آرایش الکترونی، با استفاده از رابطه ۳-۴
برابر است با:

$$n = 2 \times 15 = 30$$

می‌دانیم که نماد ترم طیفی آرایش‌های الکترونی مجزای s^1 و p^2 به ترتیب 2S و 1S و 3P است. با درنظر گرفتن مقادیر S و L این ترمها، برای به دست آوردن کلیه ترمهای طیفی این آرایش الکترونی باید به ترتیب زیر عمل کرد:

I	II	III
$\overline{{}^1S}$	$\overline{{}^1D}$	$\overline{{}^3P}$

$$^2S \begin{cases} L=0 \\ S=1/2 \end{cases}; ^1S \begin{cases} L=0 \\ S=0 \end{cases}; ^1D \begin{cases} L=2 \\ S=0 \end{cases}; ^3P \begin{cases} L=1 \\ S=1 \end{cases}$$

$$I \begin{cases} L=0 \\ S=1/2 \end{cases} \Rightarrow ^2S \text{ (۲ حالت ریز)}$$

$$II \begin{cases} L=2 \\ S=1/2 \end{cases} \Rightarrow ^2D \text{ (۱۰ حالت ریز)}$$

$$III \begin{cases} L=1 \\ S=1+1/2, 1-1/2 = 3/2, 1/2 \end{cases}$$

$$\begin{cases} L=1 \\ S=3/2 \end{cases} \Rightarrow ^4P \text{ (۱۲ حالت ریز)}$$

$$\begin{cases} L=1 \\ S=1/2 \end{cases} \Rightarrow ^2P \text{ (۶ حالت ریز)}$$

تمرین ۱۲-۴

تعداد حالت‌های ریز و نماد ترمهای طیفی آرایش الکترونی p^3 را به دست آورید.

حل:

تعداد کل حالت‌های ریز این آرایش براساس رابطه ۳-۴ برابر است با:

$$n = 2 \times 20 = 40$$

می‌دانیم که ترم طیفی آرایش‌های الکترونی مجزای s^1 و p^3 به ترتیب 2S و 2D و 4S است. با در نظر گرفتن مقادیر L و S این ترمهای برای به دست آوردن کلیه ترمهای طیفی این آرایش الکترونی، باید به ترتیب زیر عمل کرد:

$$\begin{aligned}
 {}^2S & \left\{ \begin{array}{l} L=0 \\ S=1/2 \end{array} \right.; {}^2P \left\{ \begin{array}{l} L=1 \\ S=1/2 \end{array} \right.; {}^2D \left\{ \begin{array}{l} L=2 \\ S=1/2 \end{array} \right.; {}^4S \left\{ \begin{array}{l} L=0 \\ S=3/2 \end{array} \right. \\
 I & \left\{ \begin{array}{l} L=1 \\ S=1/2+1/2, 1/2-1/2=1,0 \end{array} \right. \quad \begin{array}{l} {}^3P \text{ (۹)} \\ {}^1P \text{ (۳)} \end{array} \\
 II & \left\{ \begin{array}{l} L=2 \\ S=1/2+1/2, 1/2-1/2=1,0 \end{array} \right. \quad \Rightarrow \begin{array}{l} {}^3D \text{ (۱۵)} \\ {}^1D \text{ (۵)} \end{array} \\
 III & \left\{ \begin{array}{l} L=0 \\ S=3/2+1/2, 3/2-1/2=2,1 \end{array} \right. \quad \Rightarrow \begin{array}{l} {}^5S \text{ (۵)} \\ {}^3S \text{ (۳)} \end{array}
 \end{aligned}$$

تمرین ۱۳-۴

تعداد حالت‌های ریز و نماد ترمهای طیفی آرایش الکترونی p^2d^1 را به دست آورید:

حل :

تعداد کل حالت‌های ریز این آرایش الکترونی بر اساس دابطه ۴-۳ برابر است با:

$$\text{حالت ریز } n = 150 = 15 \times 10$$

می‌دانیم که نماد ترمهای طیفی آرایش‌های الکترونی مجزای p^2 و d^1 عبارتند از
 $d^1: {}^2D$; $p^2: {}^1S, {}^1D, {}^3P$

حال، ترکیب‌های ممکن از مقادیر L و S مربوط به این دو مجموعه را اختیار می‌کنیم:

$${}^2D, {}^1S:$$

$${}^2D \left\{ \begin{array}{l} L=2 \\ S=1/2 \end{array} \right.; {}^1S \left\{ \begin{array}{l} L=0 \\ S=0 \end{array} \right. \Rightarrow \left\{ \begin{array}{l} L=2+0, \dots, 2-0=2 \\ S=1/2+0, \dots, 1/2-0=1/2 \end{array} \right.$$

هنا براین، خواهیم داشت:

$$\left\{ \begin{array}{l} L=2 \\ S=1/2 \end{array} \right. \Rightarrow {}^2D$$

www.ShimiPedia.ir

$^2D, ^1D$:

$$^2D \begin{cases} L=2 \\ S=1/2 \end{cases} ; ^1D \begin{cases} L=2 \\ S=0 \end{cases} \Rightarrow \begin{cases} L=2+2, \dots, 2-2=4, 3, 2, 1, 0 \\ S=1/2+0, \dots, 1/2-0=1/2 \end{cases}$$

بنابراین، خواهیم داشت:

$$\begin{cases} L=0 \\ S=1/2 \end{cases} \Rightarrow ^2S ; \begin{cases} L=1 \\ S=1/2 \end{cases} \Rightarrow ^2P ; \begin{cases} L=2 \\ S=1/2 \end{cases} \Rightarrow ^2D$$

$$\begin{cases} L=3 \\ S=1/2 \end{cases} \Rightarrow ^2F ; \begin{cases} L=4 \\ S=1/2 \end{cases} \Rightarrow ^2G$$

$^2D, ^3P$:

$$^2D \begin{cases} L=2 \\ S=1/2 \end{cases} ; ^3P \begin{cases} L=1 \\ S=1 \end{cases} \Rightarrow \begin{cases} L=2+1, \dots, 2-1=3, 2, 1 \\ S=1+1/2, \dots, 1-1/2=3/2, 1/2 \end{cases}$$

بنابراین، می‌توان نوشت:

$$\begin{cases} L=1 \\ S=3/2 \end{cases} \Rightarrow ^4P ; \begin{cases} L=1 \\ S=1/2 \end{cases} \Rightarrow ^2P$$

$$\begin{cases} L=2 \\ S=3/2 \end{cases} \Rightarrow ^4D ; \begin{cases} L=2 \\ S=1/2 \end{cases} \Rightarrow ^2D$$

$$\begin{cases} L=3 \\ S=3/2 \end{cases} \Rightarrow ^4F ; \begin{cases} L=3 \\ S=1/2 \end{cases} \Rightarrow ^2F$$

بنابراین، ترمهای طیفی مربوط به آرایش الکترونی p^2d^1 عبارتند از:

$^2S, ^2P(2), ^2D(3), ^2F(2), ^2G, ^4P, ^4D, ^4F$

ز) تعیین ترمهای طیفی به روش فاکتورگیری از اسپین
این روش نسبت به روش راسل-ساندرز تسبیباً ساده است. اساس این روش استفاده از

«ترمهاهای جزئی» برای هر مجموعه‌ای از اسپینها است*. با ضرب کردن ترمهاهای جزئی مر بوط به مجموعه اسپینها (که نشانه‌های α برای $m_s = +\frac{1}{2}$ و β برای $m_s = -\frac{1}{2}$ مشخص می‌شوند) در یکدیگر، ترمهاهای طیفی کلی را می‌توان بدست آورد. در تعیین ترمهاهای جزئی، باید نکات زیر را مورد توجه قرارداد:

۱) ترمازهای الکترونی خالی، نیم پر و یا کاملاً پر، سهمی در اندازه حرکت زاویه‌ای اور بیتا لی ندارند و به ترم جزئی S تعلق دارند. در نتیجه یک مجموعه اسپین خالی یا یک مجموعه اسپین کامل (تراز نیم پر) نیز به همین ترم جزئی S تعلق دارد.

۲) یک الکترون در هر تراز از نظر α ، ترم جزئی را بوجود می‌آورد که نماد آن همان نشانه طیفی آن تراز است. یعنی ترم جزئی یک الکترون در تراز d با S ، ترم جزئی یک الکترون در تراز p با P و ترم جزئی یک الکترون در تراز d با D و... مشخص می‌شود. بنابراین، هر مجموعه اسپین (α یا β) که شامل یک الکترون باشد، به همین ترمهاهای جزئی تعلق دارد.

۳) هر جای خالی از یک مجموعه اسپین (یک حفره الکترونی) به همان ترم جزئی که یک الکترون در آن مجموعه می‌دهد، تعلق دارد. در نتیجه، مثلاً برای آرایش الکترونی p^1_α یا p^2_α ترم جزئی P ، برای آرایش الکترونی d^1_α یا d^4_α ترم جزئی D و برای آرایش الکترونی f^1_α و f^8_α ترم جزئی F را خواهیم داشت. ترمهاهای جزئی مر بوط به یک مجموعه اسپینی آرایش‌های الکترونی مختلف در جدول ۳-۴ داده شده است.

۴) بهمنظور توضیح بیشتر در مورد جدول ۳-۴، اگر آرایش الکترونی d^1_α را در نظر بگیریم، ۱۵ حالت ریز برای آن می‌توان به دست آورد، که مقادیر M_L آنها عبارتند از: $3, 2, 1, 1, 5, -2, -3, 1, 5, 1, 0, 1, 0, 1, 0$ در نتیجه به ترمهاهای جزئی F و P تعلق دارند که در جدول ۳-۴ برای آرایش الکترونی d^1_α منظور شده است. چون آرایش الکترونی d^3_α معادل آرایش حفره d^2_α است، پس ترمهاهای جزئی d^3_α نیز همان F و P می‌باشند. برای آرایش‌های الکترونی دیگر نیز می‌توان به روش مشابهی استدلال کرد.

۵) موضوع مهمی که درباره ترمهاهای جزئی در جدول ۳-۴ باید مورد توجه قرار گیرد این است که اگرچه برای صرفه‌جویی در جا، به صورت حاصل ضرب آمده است ولی باید آنها را به صورت حاصل جمع در نظر گرفت. مثلاً در مورد آرایش الکترونی d^2_α یا d^3_α ترمهاهای جزئی $P+F$ است (نه به صورت $(P \times F)$).

۶) موضوع قابل توجه دیگر در مورد جدول ۳-۴ این است که فقط کافی است

* الکترونها باید همگنی دارای $+1/2 = m_s$ یا همگنی دارای $-1/2 = m_s$ باشند، یعنی مجموعه اسپینی را تشکیل می‌دهند.

جدول ۴-۳ ترمومانی جزئی مربوط به یک مجموعه اسپینی آرایش‌های الکترونی مختلف

		اشغال اوربیتالها (الکترونها یا حفره‌ها)							
		۰	۱	۲	۳	۴	۵	۶	۷
		ترازهای اندزی							
<i>s</i>	<i>S</i>	<i>S</i>	<i>P</i>	<i>P</i>	<i>S</i>	<i>D</i>	<i>D</i>	<i>S</i>	<i>S</i>
<i>p</i>	<i>S</i>	<i>S</i>	<i>D</i>	<i>PF</i>	<i>PF</i>	<i>PF</i>	<i>SDFGI</i>	<i>PFH</i>	<i>F</i>
<i>d</i>	<i>S</i>	<i>F</i>	<i>F</i>	<i>PFH</i>	<i>SDFGI</i>	<i>SDFGI</i>	<i>SD[2]FG[2]</i>	<i>S</i>	
<i>f</i>	<i>S</i>	<i>G</i>	<i>G</i>	<i>PFHK</i>	<i>PF[2]G*</i>	<i>PF[2]G*</i>	<i>SD[2]FG[2]</i>		
<i>g</i>	<i>S</i>			<i>HIKM</i>	<i>HIKM</i>	<i>HIKM</i>	<i>HI[2]KLN</i>		

* بدین معنی است که تنم طیفی دوبار تکرار می‌شود.

ترمهای جزئی سمت چپ خط پلکانی در جدول را به دست آورد. زیرا، ترمهای سمت راست آن، بر اساس فرمالیسم حفره، مشخص می‌شود.

حاصلضرب ترمهای جزئی

چون در به دست آوردن نماد ترمهای طیفی به روش فاکتور گیری از اسپین، باید از حاصلضرب ترمهای جزئی استفاده کرد، از این رو، باید با این حاصلضربها، آشنایی پیدا کرد. از ضرب ترم جزئی S در هر ترم جزئی دیگر، همان ترم جزئی به دست می‌آید. یعنی:

$$S \times S = S$$

$$S \times P = P$$

$$S \times D = D$$

$$S \times F = F$$

باید توجه داشت که حاصلضرب دو ترم جزئی با مقادیر L_1 و L_2 ، شامل ترمهایی خواهد بود که تمام مقادیر درست از $L_1 + L_2$ تا قدر مطلق $L_1 - L_2$ را در بردارد. مثلاً در مورد ترمهای P و D ، چون L مربوط به ترم P برابر ۱ و L مربوط به ترم D برابر ۲ است، بنابراین، L شامل مقادیر درست از $1+1=2$ تا $1-2=-1$ یعنی $1, 2$ و 3 خواهد بود. از این رو، می‌توان نوشت:

$$P \times D = P + D + F$$

بر همین اساس، در مورد حاصلضرب ترمهای دیگر خواهیم داشت:

$$P \times P = S + P + D$$

$$P \times F = D + F + G$$

$$D \times D = S + P + D + F + G$$

$$D \times F = P + D + F + G + H$$

برای روشنتر شدن مطلب به حل چند تمرین می‌پردازیم.

تمرین ۱۴-۳

نماد ترمهای طیفی آرایش p^2 را به روش فاکتور گیری از اسپین، به دست آورید.

حل:

آرایش الکترونی p^2 را بر اساس اسپین، می‌توان به دو صورت ذیر نوشت:

آرایش الکترونی اتم - ... ۱۸۳

$$\begin{array}{|c|c|c|} \hline \uparrow & \uparrow & \square \\ \hline \end{array} \text{ یا } \begin{array}{|c|c|c|} \hline \downarrow & \downarrow & \square \\ \hline \end{array} \Rightarrow p_{\alpha}^2 p_{\beta}^0 \text{ یا } p_{\alpha}^0 p_{\beta}^2$$

I

$$\begin{array}{|c|c|c|} \hline \uparrow & \downarrow & \square \\ \hline \end{array} \text{ یا } \begin{array}{|c|c|c|} \hline \downarrow & \uparrow & \square \\ \hline \end{array} \Rightarrow p_{\alpha}^1 p_{\beta}^1$$

II

با توجه به این که در هر مورد، دو آرایش معادل یکدیگرند و با استفاده از جدول ۳-۴ و ضرب ترمehای جزئی داریم:

$$p_{\alpha}^0 p_{\beta}^0 \xrightarrow{\substack{S \\ P \\ D}}$$

$$I) P \times S = P \quad (S=1; M_s=1,0,-1) \Rightarrow {}^3P$$

$$II) P \times P = S + P + D \quad (S=0: M_s=0) \Rightarrow {}^1S, {}^1D$$

در مورد II، ترم 1P حذف شده است. زیرا با $M_s=0$ ، جزء 3P می‌باشد.

تمرین ۱۵-۴

نماد ترمehای طیفی آرایش p^3 را به روش فاکتورگیری از اسپین، به دست آورید:

حل:

آرایش الکترونی p^3 را بر اساس اسپین، می‌توان به صورت‌های زیر نوشت:

$$\begin{array}{|c|c|c|} \hline \uparrow & \uparrow & \uparrow \\ \hline \end{array} \text{ یا } \begin{array}{|c|c|c|} \hline \downarrow & \downarrow & \downarrow \\ \hline \end{array} \quad p_{\alpha}^3 p_{\beta}^0 \text{ یا } p_{\alpha}^0 p_{\beta}^3$$

I

$$\begin{array}{|c|c|c|} \hline \uparrow & \uparrow & \downarrow \\ \hline \end{array} \text{ یا } \begin{array}{|c|c|c|} \hline \uparrow & \downarrow & \downarrow \\ \hline \end{array} \quad p_{\alpha}^2 p_{\beta}^1 \text{ یا } p_{\alpha}^1 p_{\beta}^2$$

در نتیجه داریم:

$$I) S \times S = S \quad (S=3/2; M_s=3/2, 1/2, -1/2, -3/2) \Rightarrow {}^4S$$

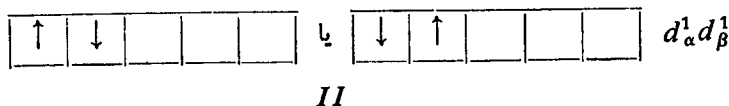
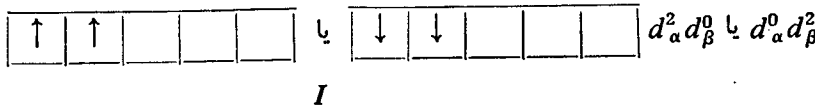
$$II) P \times P = S + P + D \quad (S=1/2; M_s=1/2, -1/2) \Rightarrow {}^2P, {}^2D$$

تمرین ۱۶-۴

نماد ترمehای طیفی آرایش d^2 را به روش فاکتورگیری از اسپین، به دست آورید.

حل:

آرایش d^2 را براساس اسپین، می‌توان به صورتهای زیر نوشت:



در نتیجه داریم:

$$I) (P+F) S = PS + FS \\ = P + F \implies {}^3P, {}^3F$$

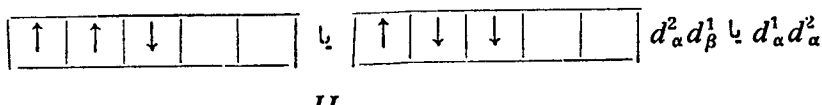
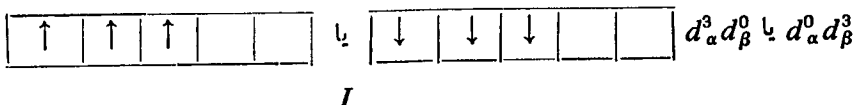
$$II) D \times D = S + P + D + P + G \implies {}^1S, {}^1D, {}^1G$$

تمرین ۱۷-۴

نماد ترمهای طیفی d^3 را به روش فاکتورگیری از اسپین به دست آورید.

حل:

آرایش d^3 را براساس اسپین، می‌توان به صورتهای زیر نوشت:



$$I) (P+F) S = P + F \implies {}^4P, {}^4F$$

$$II) (P+F) D = DP + DF$$

$$DP = P + D + F \Rightarrow {}^2D$$

$$DF = P + D + F + G + H$$

$${}^2P, {}^2D, {}^2F, {}^2G, {}^2H$$

بنابراین، ترمهای طیفی آرایش الکترونی d^3 عبارتند از:

$${}^4P, {}^4F, {}^2P, {}^2D(2), {}^2F, {}^2G, {}^2H$$

تمرین ۱۸-۴

نماد ترمهای طیفی آرایش الکترونی f^3 را به روش فاکتور گیری از اسپین بدست آورید.

حل:

کل حالت‌های دیز برای آرایش الکترونی فوق را می‌توان از رابطه ۳-۴ محاسبه کرد:

$$\frac{(2 \times 7)!}{3!(2 \times 7 - 3)!} = \frac{14!}{3! \times 11!} = \frac{14 \times 13 \times 12}{3 \times 2 \times 1} = 364 \quad (\text{کل حالت‌های دیز})$$

آرایشهای ممکن عبارتند از:

$$f_{\alpha}^3 \quad f_{\beta}^3 \quad f_{\alpha}^2 f_{\beta}^1 \quad f_{\alpha}^1 f_{\beta}^2$$

$$35 + 35 + 21 \times 7 + 7 \times 21 = 364 \quad \text{حالت دیز}$$

$$f_{\alpha}^3 f_{\beta}^0 \quad \text{یا} \quad f_{\alpha}^0 f_{\beta}^3:$$

$${}^4[S(S+D+F+G+I)] = {}^4S + {}^4D + {}^4F + {}^4G + {}^4I$$

$$4 + 20 + 28 + 36 + 52 = 140 \quad \text{حالت دیز}$$

همان‌طور که ملاحظه می‌شود تعداد حالت‌های دیز به جای ۷۰، برابر ۱۴۰ می‌باشد، زیرا علاوه بر $-3/2$ و $-1/2$ مقادیر $1/2$ و $1/2$ را شامل خواهد شد.

$$f_{\beta}^2 f_{\beta}^1 \quad \text{یا} \quad f_{\alpha}^1 f_{\beta}^2:$$

$${}^2[F(P+F+H)]$$

$$F \times P = \emptyset + \emptyset + \emptyset$$

$$F \times F = \$ + P + D + F + G + H + /$$

$$F \times H = D + F + G + H + I + K + L$$

بنابراین، ترمهای طیفی آرایش الکترونی f^3 عبارتند از:

$$^2P, ^2D(2), ^2F(2), ^2G(2), ^2H(2), ^2I, ^2K, ^2L, ^4S, ^4D, ^4F, ^4G, ^4I$$

و نماد ترم طیفی حالت پایه I^4 می باشد. چون برای چنین حالتی که $L=6$ و $J=3/2$ است، J مقادیر $15/2, 13/2, 11/2, 9/2$ را دارد. بنابراین، با توجه به مقدار J ، ترم طیفی حالت پایه $I_{9/2}^4$ می باشد.

تمرین ۱۹-۴

نماد ترمهای طیفی آرایش الکترونی $p^1 p^1$ را به روش فاکتور گیری از اسپین، به دست آورید.

حل:

آرایش الکترونی $p^1 p^1$ را به صورتهای زیر می توان نوشت:

$$I) p_\alpha^1 p_\alpha^1 \text{ یا } p_\beta^1 p_\beta^1$$

$$II) p_\alpha^1 p_\beta^1 \text{ یا } p_\beta^1 p_\alpha^1$$

با توجه به ترمهای جزئی و حاصلضرب آنها، داریم:

$$I) P \times P = S + P + D \Rightarrow ^3S, ^3P, ^3D$$

$$II) P \times P = S + P + D \Rightarrow ^1S, ^1P, ^1D$$

در پایان این بحث نماد ترمهای طیفی آرایش‌های الکترونی هم ارز مورد لزوم در جدول ۴-۴ و نماد ترمهای طیفی آرایش‌های ناهم ارز در جدول ۴-۵ گردآوری شده است. در این دو جدول، اعدادی که در داخل پرانتز نوشته شده، نشان‌دهنده تعداد ترمهای مشابه از آن نوع است.

۳-۴ بارمُقْثُر هسته اتم

در یک اتم چند الکترونی، بارمُقْثُر هر الکترون، مقداری از بار مثبت هسته آن اتم را

جدول ۴-۴ نماد ترمهای طیفی آرایش‌های الکترونی هم ارز

آرایش الکترونی	ترمهای
s^2	1S
p^2	$^1S, ^1D, ^3P$
p^3	$^2P, ^3D, ^4S$
p^4	$^1S, ^1D, ^3P$
p^5	2P
p^6	1S
d^2	$^1S, ^1D, ^1G, ^3P, ^3F$
d^3	$^2P, ^2D(2), ^2F, ^2G, ^2H, ^4P, ^4F$
d^4	$^1S(2), ^1D(2), ^1F, ^1G(2), ^1I, ^3P(2), ^3D, ^3F(2), ^3G, ^3H, ^5D$
d^5	$^2S, ^2P, ^2D(3), ^2F(2), ^2G(2), ^2H, ^2I, ^4P, ^4D, ^4F, ^4G, ^6S$

جدول ۴-۵ نماد ترمهای طیفی آرایش‌های الکترونی ناهم ارز

آرایش الکترونی	ترمهای
$s\ s$	$^1S, ^3S$
$s\ p$	$^1P, ^3P$
$s\ d$	$^1D, ^3D$
$p\ p$	$^1S, ^1P, ^1D, ^3S, ^3P, ^3D$
$p\ d$	$^1P, ^1D, ^1F, ^3P, ^3D, ^3F$
$d\ d$	$^1S, ^1P, ^1D, ^1F, ^1G, ^3S, ^3P, ^3D, ^3F, ^3G$
$s\ s\ s$	$^1S, ^3S, ^5S$
$s\ s\ p$	$^1P, ^3P, ^4P$
$s\ s\ d$	$^1D, ^3D, ^4D$
$s\ p\ p$	$^1S, ^1P, ^2D, ^2S, ^2P, ^2D, ^4S, ^4P, ^4D$
$s\ p\ d$	$^2P, ^2D, ^2F, ^2P, ^2D, ^2F, ^4P, ^4D, ^4F$
$p\ p\ p$	$^2S(2), ^2P(6), ^2D(4), ^2F(2), ^4S(1), ^4P(3), ^4D(2), ^4F(1)$
$p\ p\ d$	$^2S(2), ^2P(4), ^2D(6), ^2F(4), ^2G(2), ^4S(1), ^4P(2), ^4D(3), ^4F(2), ^4G(1)$
$p\ d\ f$	$^2S(2), ^2P(4), ^2D(6), ^2F(6), ^2G(6), ^2H(4), ^2I(2)$ $^4S(1), ^4P(2), ^4D(3), ^4F(3), ^4G(3), ^4H(2), ^4I(1)$

خشنی کرده و از تاثیر تمامی بارمیثت آن بر الکترونهای دیگر، به میزان معینی می‌کاهد. عمل جلوگیری کردن الکترونها از تاثیر تمامی بارمیثت هسته بر الکترون مورد نظر دریک اتم (یا یون)، اصطلاحاً اثرپوششی آن الکترونها نامیده می‌شود. کسری از واحد بارمیثت هسته که به وسیله هر الکترون در آن اتم پوشیده می‌شود، به ثابت (یا ضرب) پوششی آن الکترون موسوم است و با علامت σ (و یا گاہی با δ) نشان داده می‌شود.

مقداری از بارمیثت هسته که پس از تاثیر اثرپوششی الکترونهای پوشش دهنده، از بارحقيقی هسته اتم (Ze) برای الکترون موردنظر باقی می‌ماند، باد مؤثر هسته اتم برای آن الکترون نامیده شده و با علامت Z^* ، نشان داده می‌شود. بارموثر هسته بر حسب واحد نسبی بارالکترون ($1 = e$) از رابطه $8-4$ قابل محاسبه است:

$$(8-4) \quad Z^* = Z - \sigma$$

ثابت پوششی کل الکترونهای پوشش دهنده (یعنی تمام الکترونهای اتم غیر از الکترون موردنظر) است.*

الف) محاسبه بارمؤثر هسته اتم

چون بارموثر هسته در بسیاری از بررسیهای کمی به ویژه، تعیین شعاع اتمی و یونی، انرژی الکترون، انرژی یونیزاسیون، الکترونگاتیوی عناصر، دخالت داشته و در روند تغیرات این خواص نقش اساسی دارد. با وجود این، برای محاسبه آن روش کاملاً دقیق وجود ندارد. البته دو روش برای محاسبه آن ارائه شده است که نتایج حاصل از آنها کم با بیش تقریبی است و در زیر به بررسی هریک از آنها می‌پردازیم:

دوش اسلیتر^۱

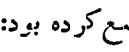
این روش که توسط اسلیتر در سال ۱۹۳۵ ارائه شد، روشی قدیمی، تجربی و تقریبی است. نتایج حاصل از این روش، فقط در مورد اتم هلیم دقیق است و برای عناصر دوره دوم نسبتاً دقیق ولی برای عناصر دوره سوم به بعد تقریبی است. از این رو، فقط در بررسیهای کیفی و مقایسه‌ای و توجیه روند تغیرات خواص عناصر، می‌توان از این روش استفاده کرد. در مورد تقریبی بودن نتایج این روش، می‌توان دو علت زیر را برشمرد:

- ۱- اسلیتر، نقش الکترونها بی راکه در تراز بالاتر از الکترون موردنظر، قرار دارند،

* در برخی از منابع به جای Z^* ، علامت Ze^* را به کار می‌بینند.

از نظر، اثر پوششی منا دیده گرفته بود.

۲- وی فقط عدد کو آتنومی اصلی (n) به بیانی دیگر فقط ترازهای اصلی از روی اتم را مورد توجه قرار داد. یعنی، بین الکترونهای ترازهای فرعی مربوط به یک تراز اصلی از روی تفاوتی قابل نشد. مثلاً، برای تمام الکترونهای ترازهای فرعی $3s$ ، $3p$ و $3d$ ، ثابت پوششی برابری در نظر گرفته بود.

   اسلیتر، برای محاسبه با رموز است، قواعدی به شرح زیر وضع کرده بود:

اگر الکترون مود نظر در ترازهای d یا p قرار داشته باشد، برای هر الکترون پوشش دهنده که :

۱) نسبت به الکترون مورد نظر، در تراز بالاتری قرار دارد، ثابت پوششی برابر صفر است.

۲) در همان تراز اصلی الکترون مورد نظر قرار دارد، ثابت پوششی برابر 35% است (مگر در مورد تراز d که برابر 35% در نظر گرفته می شود).

۳) در تراز اصلی ماقبل ترازاً اصلی الکترون مورد نظر قرار دارد، ثابت پوششی برابر 85% است.

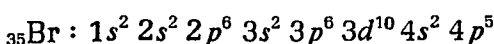
۴) در ترازهای اصلی پایین تر از تراز ماقبل تراز الکترون مورد نظر قرار داشته باشد، ثابت پوششی برابر واحد است.

تمرین ۴۰-۴۵

بارموزه استه اتم Br^- را برای الکترون لا یه ظرفیت آنها به روش اسلیتر حساب کنید.

حل:

با توجه به آرایش الکترونی اتم Br یعنی:



اگر، یکی از الکترونهای لا یه ظرفیت آن را به عنوان الکترون مورد نظر کنار بگذاریم، شش الکترون همتراز در لایه ظرفیت، ۱۸ الکترون در لایه ماقبل و ۱۰ الکترون در لایه های داخلی باقی می ماند. از این رو، می توان نوشت:

$$\sigma = 6 \times ۰۵ + ۱۸ \times ۰۸۵ + ۱۰ \times ۰۴۰ = ۲۷۵۴۰$$

$$\{ Z^* = Z - \sigma = ۳۵ - ۲۷۵۴۰ = ۷۶۰$$

در مورد Br^- که یک الکترون اضافی در لایه ظرفیت دارد، می‌توان نوشت.

$$\left\{ \begin{array}{l} \sigma = 7 \times 1 + 10 \times 0.85 + 18 \times 0.35 = 27.75 \\ Z^* = 35 - 27.75 = 7.25 \end{array} \right.$$

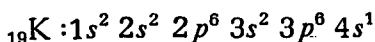
همان طور که ملاحظه می‌شود، بار موثرهسته اتم خنثی، همواره از بار موثرهسته آنیون مر بوطه، بیشتر است.

تمرین ۴-۳

بار موثرهسته را برای الکترون لایه ظرفیت در اتم K و یون K^+ به روش اسلیتر حساب کنید.

حل:

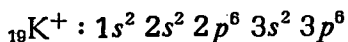
با توجه به توضیحی که در مورد تمرین ۴-۲، داده شد، در مورد اتم پتانسیم می‌توان نوشت:



$$\sigma = 0 \times 0.35 + 8 \times 0.85 + 10 \times 1 = 16.8$$

$$Z^* = Z - \sigma = 19 - 16.8 = 2.2$$

در مورد یون K^+ نیز داریم:



$$\sigma = 7 \times 0.35 + 8 \times 0.85 + 2 \times 1 = 11.25$$

$$Z^* = Z - \sigma = 19 - 11.25 = 7.75$$

ملاحظه می‌شود که بار موثرهسته برای الکترون‌های آخرین تراز در یون K^+ نسبت به اتم خنثی پتانسیم خیلی بیشتر است. اصولاً برهمنی اساس است که انرژی دومین یونیزاسیون پتانسیم که در واقع، انرژی لازم برای جدا شدن الکترون از یون K^+ است (۷۲۹ کیلو کالری برمول) از انرژی اولین یونیزاسیون پتانسیم (۹۹ کیلو کالری برمول) خیلی بیشتر است.



با دعايت قاعده ۱ از بند I:

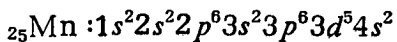
- ۱) برای هر الکترون پوشش دهنده که در همان تراز فرعی d (یا f) قرار دارد، ثابت پوششی در نظر گرفته می شود.
- ۲) برای هر یک از الکترونهای باقی مانده دیگر، مقدار ثابت پوششی برابر واحد منظور می شود. برای روشن شدن موضوع و درک بهتر تفاوت دو حالت، به حل تمرینی می پردازیم:

تمرین ۴۲-۴

بار موثر هسته را برای الکترونهای تراز d_4 و $3d$ در اتم منگنز حساب کنید.

حل:

ابتدا آرایش الکترونی اتم منگنز را می نویسیم:



در مورد محاسبه بار موثر هسته برای الکترونهای تراز d_4 ، مطابق قواعد بند I، می توان نوشت:

$$\sigma_{(4d)} = 1 \times 10 + 13 \times 0.85 + 10 \times 1 = 21.4$$

$$Z^*_{(4d)} = 25 - 21.4 = 3.6$$

برای محاسبه بار موثر هسته برای الکترونهای تراز $3d$ ، مطابق قواعد بند II، می توان نوشت:

$$\sigma_{(3d)} = 2 \times 0 + 4 \times 0.35 + 18 \times 1 = 19.4$$

$$Z^*_{(3d)} = 25 - 19.4 = 5.6$$

ملحوظه می شود که بار موثر هسته برای الکترونهایی تراز d نسبت به الکترونهای تراز d لایه ظرفیت در اتم منگنز و به طور کلی در اتم هر عنصر واسطه دیگر، بیشتر است. در نتیجه جاذبه هسته نیز در آنها بر الکترونهای تراز d لایه ظرفیت بیشتر است. بر همین اساس است که به هنگام یونیزاسیون عناصر واسطه، الکترونهای تراز d لایه ظرفیت زودتر از الکترونهای تراز d این لایه، از اتم جدا می شوند.

II) دوش کلمانتی و دیموندی

این دوش در سال ۱۹۶۳، توسط دو دانشمند بنامهای کلمانتی و دیموندی، ارائه شد که نتایج حاصل از آن در مورد عناصر سبک (از هلیم تا کربن)، نسبتاً دقیق است. در این روش علاوه بر تعداد کل الکترون‌های اتم (البسه غیر از الکترون مورد نظر) و عدد کوآنتموی اصلی، عدد کوآنتموی فرعی نیز در محاسبه ثابت پوششی، دخالت داده می‌شود. به بیانی دیگر، بر عکس روش اسلیتر، ثابت پوششی یکسانی برای تمام الکترون‌های یک تراز اصلی ارزی، در نظر گرفته نمی‌شود. بلکه تنها برای الکترون‌های هر تراز فرعی (که اعداد کوآنتموی اصلی و فرعی برابری دارند)، ثابت پوششی، برابر فرض می‌شود. برای نمونه، در این روش، ثابت پوششی الکترون‌های ترازهای فرعی ns و np ، یکسان در نظر گرفته نمی‌شوند. علاوه بر آن، برخلاف روش اسلیتر، الکترون‌هایی که نسبت به الکtron مورد نظر از هسته دورترند و در تراز بالاتری قرار دارند، در اثر پوششی دخالت داده می‌شوند. زیرا، به هر حال، مقداری از بار مثبت هسته برای نگهداشتن آنها در اتم، اختصاص دارد. هر چند که مقدار آن ناچیز باشد، در محاسبات باید منظور شود. مگر در مواردی که فاصله تراز بالاتر نسبت به الکترون مورد نظر نسبتاً زیاد باشد. که در آن صورت، اثر پوششی منفی برای الکترون‌های آن تراز در نظر گرفته می‌شود. مثلاً الکترون‌های تراز p بر الکترون‌های d اثر پوششی مثبت ولی بر الکترون‌های تراز $3d$ که بسیار درونی است، اثر پوششی منفی دارند.

در این روش، برای محاسبه ثابت پوششی کل الکترون‌های پوشش‌دهنده، بسته به اینکه الکترون مورد نظر در کدام تراز فرعی قرار داشته باشد، بر اساس محاسبات مبتنی بر معادلات موجی، معادله مجزایی پیشنهاد شده است. برای نمونه، صورت این معادلات در مورد ترازهای ارزی $1s$ تا $4s$ ، در زیر، نشان داده شده است، که در آنها، N تعداد الکترون‌های موجود تراز فرعی مورد نظر است. مثلاً منظور از N_{3s} ، N_{3p} و یا N_{3d} تعداد کل الکترون‌های ترازهای فرعی $3s$ ، $3p$ و یا $3d$ است.

برای توضیح بیشتر و به منظور فهم بهتر آنچه که گفته شد، به حل تمرینی می‌پردازیم:

تمرین ۴-۳

با رعایت هسته اتم منگنز را برای الکترون‌های لایه ظرفیت آن، به روش کلمانتی.

$$S_{1s} = 0.3(N_{1s} - 1) + 0.0072(N_{2s} + N_{2p}) + 0.0158(N_{3s,p,d} + N_{4s,p}) \quad (9-4)$$

$$S_{2s} = 1.7208 + 0.3601(N_{2s} - 1 + N_{2p}) + 0.2062(N_{3s,p,d} + N_{4s,p}) \quad (10-4)$$

$$S_{2p} = 2.5787 + 0.3326(N_{2p} - 1) - 0.0773N_{3s} - 0.0161(N_{3p} + N_{4s}) - 0.0048N_{3d} + 0.0085N_{4p} \quad (11-4)$$

$$S_{3s} = 8.4927 + 0.2501(N_{3s} - 1 + N_{3p}) + 0.0778N_{4s} + 0.3382N_{3d} + 0.1978N_{4p} \quad (12-4)$$

$$S_{3p} = 9.3345 + 0.3803(N_{3p} - 1) + 0.0526N_{4s} + 0.3289N_{3d} + 0.1558N_{4p} \quad (13-4)$$

$$S_{4s} = 15.505 + 0.0971(N_{4s} - 1) + 0.8433N_{3d} + 0.0687N_{4p} \quad (14-4)$$

$$S_{3d} = 13.5894 + 0.2693(N_{3d} - 1) - 0.1065N_{4p} \quad (15-4)$$

$$S_{4p} = 24.7782 + 0.2905(N_{4p} - 1) \quad (16-4)$$

ریموندی حساب کرده و نتایج به دست آمده را با روش اسلیتر مقایسه کنید.

حل:

با توجه به آرایش الکترونی اتم منگنز (که قبلاً نوشته شده است) و براساس معادله ۱۴-۴ درمورد تراز ۴ لایه ظرفیت این اتم می‌توان نوشت:

$$\sigma_{(4s)} = 15.505 + 0.0971 \times 0 + 0.8433 \times 5 + 0.0687 \times 15.505 + 0.1558 \times 24.7782 = 19.8186$$

$$Z^*_{(4s)} = 25 - 19.8186 = 5.1814$$

درمورد تراز ۳ لایه ظرفیت اتم منگنز نیز براساس معادله ۱۵-۴، می‌توان نوشت:

$$\sigma_{3d} = 13.5894 + 0.2693 \times 0 + 0.1065 \times 5 + 0.2905 \times 13.5894 = 14.6666$$

$$Z^*_{3d} = 25 - 14.6666 = 10.3334$$

در مقایسه نتایج این روش با روش اسلیتر، می‌توان دو مطلب زیر را بیان داشت:

- ۱) مقدار به دست آمده برای بارمودر هسته در مورد هر اتم (یا یون) در روش کلماتی دیموندی، همواره از مقداری که با روش اسلیتر به دست می‌آید، بیشتر است (به ویژه برای اتمهای سنجیکتر).
- ۲) نسبت بارمودر هسته برای دو تراز لایه ظرفیت هر اتم که در دو روش به دست می‌آید، به یکدیگر نزدیکند. مثلاً در مورد نسبت بارمودر هسته برای الکترونهای ترازهای ۴۵ و ۳۸ در اتم منگنز، داریم:

$$\frac{Z^*(45)}{Z^*(38)} = \frac{3/6}{5/4} = 0.67$$

$$\text{روش اسلیتر} \quad \frac{Z^*(45)}{Z^*(38)} = \frac{5/18}{10/33} = 0.50$$

مقادیر بارمودر هسته برای الکترونهای اتم عناصر سه دوره اول جدول تناوبی که به روش کلماتی-دیموندی به دست آمده، در جدول ۴-۶ گردآوری شده است.

ب) روند تغییرات بارمودر هسته اتمها

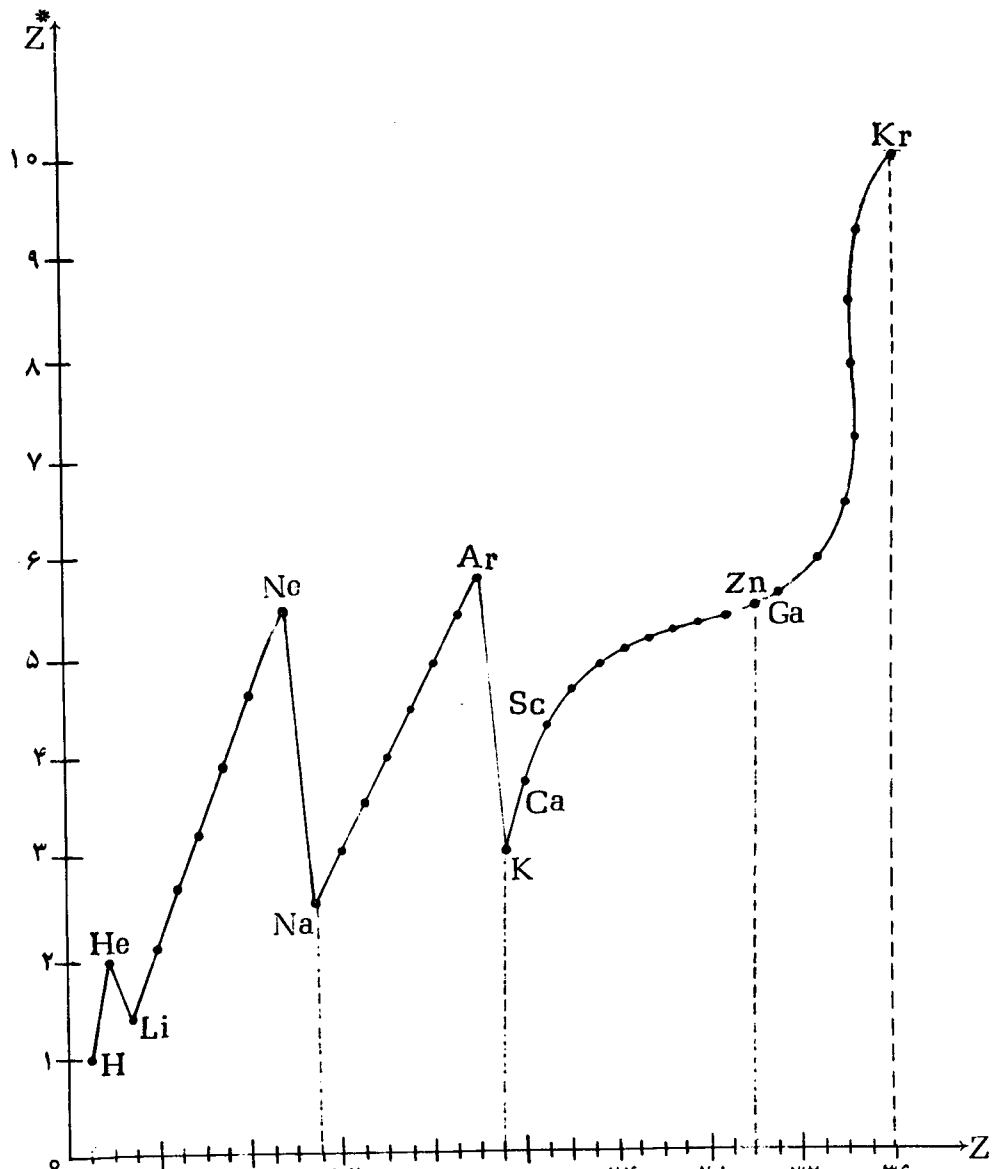
روند تغییرات بارمودر هسته بر سرست ترین الکترون لایه ظرفیت اتم عناصر دوره‌های اول، دوم، سوم و چهارم جدول تناوبی، نسبت به عدد اتمی، در شکل ۱۴-۴ نشان داده شده است. همان‌طور که این نمودار نشان می‌دهد، تغییرات بارمودر هسته اتم، مانند بسیاری از خواص دیگر آن، نسبت به عدد اتمی، روزی تناوبی دارد. به طوری که در هر دوره، فلزات قلیابی، کمترین مقدار و گازهای بی‌افزی بیشترین مقدار بارمودر هسته را نسبت به عناصر اصلی دیگر آن دوره، دارند. علاوه بر آن، از روند این نمودار می‌توان دریافت که در مورد عناصر واسطه هر دوره، برخلاف عناصر اصلی، تغییر بارمودر هسته (مانند بسیاری از خواص دیگر اتم نظیر اندازه شعاع، انرژی یونیزاسیون، الکترونگانیوی وغیره) نسبت به عدد اتمی، چندان محسوس نیست. علت را عمده‌ای می‌توان به عمقی بودن تراز Δ به ویژه در عناصر واسطه سری اول (عناصر واسطه دوره چهارم) نسبت داد.

ج) روند تغییرات بارمودر هسته اتم در دوره‌ها

با استفاده از داده‌های جدول ۴-۶ و نمودار شکل ۱۴-۴، می‌توان دریافت که در طول هر دوره از جدول تناوبی، با افزایش عدد اتمی عناصر، مقدار بارمودر هسته اتم نیز افزایش می‌یابد. برای نمونه، مقادیر بارمودر هسته برای الکترون متمایز کننده اتم عناصر

جدول ۴-۶ مقادیر بار مؤثر هسته برای الکترونهای اتم عناصره دوره اول جدول تناوی

عنصر	1s	2s	2p	3s	3p	4s	3d	4p
H	1.000							
He	1.688							
Li	2.691	(1.279)						
Be	3.685	1.912						
B	4.680	2.576	2.421					
C	5.673	3.217	3.136					
N	6.665	3.847	3.834					
O	7.658	4.492	4.453					
F	8.650	5.128	5.100					
Ne	9.642	5.758	5.758					
Na	10.626	6.571	6.802	(2.507)				
Mg	11.619	7.392	7.826	3.308				
Al	12.591	8.214	8.963	4.117	4.066			
Si	13.575	9.020	9.945	4.903	4.285			
P	14.558	9.825	10.961	5.642	4.886			
S	15.541	10.629	11.977	6.367	5.482			
Cl	16.524	11.430	12.993	7.068	6.116			
Ar	17.508	12.230	14.008	7.757	6.764			
K	18.490	13.006	15.027	8.680	7.726	(3.495)		
Ca	19.473	13.776	16.041	9.602	8.658	4.398		
Sc	20.457	14.574	17.055	10.340	9.406	4.632	7.120	
Ti	21.441	15.377	18.065	11.033	10.104	4.817	8.141	
V	22.426	16.181	19.073	11.709	10.785	4.981	8.983	
Cr	23.414	16.984	20.075	12.368	11.466	5.133	9.757	
Mn	24.396	17.794	21.084	13.018	12.109	5.283	10.528	
Fe	25.381	18.599	22.089	13.676	12.778	5.434	11.180	
Co	26.367	19.405	23.092	14.322	13.435	5.576	11.855	
Ni	27.353	20.213	24.095	14.961	14.085	5.711	12.530	
Cu	28.339	21.020	25.097	15.594	14.731	5.858	13.201	
Zn	29.325	21.828	26.098	16.219	15.369	5.965	13.878	
Ga	30.309	22.599	27.091	16.996	16.204	7.067	15.093	6.222
Ge	31.294	23.365	28.082	17.760	17.014	8.044	16.251	6.780
As	32.278	24.127	29.074	18.596	17.850	8.944	17.378	7.449
Se	33.262	24.888	30.065	19.403	18.705	9.758	18.477	8.287
Br	34.247	25.643	31.056	20.218	19.571	10.553	19.559	9.028
Kr	35.232	26.398	32.047	21.033	20.434	11.316	20.626	9.769



شکل ۱۴-۴ نمودار تغییرات پارامتر هسته اتم نسبت به عدد اتمی

دوره دوم، در جدول ۷-۴ داده شده است.

جدول ۷-۴ مقادیر بار موثر هسته برای الکترون متمایز کننده عناصر دوره دوم

عنصر	لیتیم	بریلیم	بور	کربن	نیتروژن	اکسیژن	فلوئور	نئون
بار موثر هسته	۱/۲۷۹	۱/۹۱۲	۲/۴۲۱	۳/۱۳۶	۳/۸۳۴	۴/۴۵۳	۵/۱۰۰	۵/۷۵۸

۵) روند تغییرات بار موثر هسته اتم در گروهها

از داده‌های جدول ۴-۶ و نمودار شکل ۴-۴، چنین بر می‌آید که در مورد عناصر هر گروه نیز با افزایش عدد اتمی، بار موثر هسته اتم افزایش می‌یابد. مثلاً در مورد عناصر اصلی گروه اول، مقدار بار موثر هسته برای الکترون متمایز کننده در مورد هیدروژن، لیتیم، سدیم و پتاسیم به ترتیب برای اتم ۱/۲۷۹، ۱/۵۰۷، ۲/۵۰۷ و ۳/۴۹۵ است.

۶) کاربردهای بار موثر هسته

بار موثر هسته اتم نقشی اساسی در خواص بنیادی هر اتم، ویژگیهای این خواص و نیز توجیه روند تغییرات آنها در دوره‌ها و گروههای جدول تناوبی دارد که چگونگی آن را در بحث مربوط به هر یک از این خواص (مانند الکترونخواهی، یونیزاسیون، الکترونگاتیوی، شعاع اتمی، شعاعهای یونی وغیره)، مورد بررسی دقیق قرار خواهیم داد.

و) بار موثر هسته اتم در مولکول: $(Z_{eff})_{mol}$

با توجه به اینکه تمام الکترونها اتم A در مولکول $A \times B$ ، بر الکترون پیوندی که به هسته اتم A بسیار نزدیک است، اثر پوششی اعمال می‌کند، می‌توان قبول کرد که الکترونها لایه ظرفیت اتم A بر الکترون پیوندی اتم B نیز اثر پوششی دارند و از تاثیر کامل بارهسته A بر این الکترون جلوگیری می‌کنند. از این‌رو، علاوه بر مفهوم بار موثر هسته در اتم مجزا (در حالت گازی) که مورد بررسی قرار گرفت، برای هر اتم در یک مولکول

(یا پیوند) نیز بارموده است که آن را بارموده است اتم در مولکول می‌نمند و با علامت $(Z_{eff})_{mol}$ نشان می‌دهند. بر اساس این مفهوم، می‌توان انرژی پیوندی و میزان پایداری مولکول را توجیه کرد. مقدار بارموده است در مولکول را می‌توان مطابق قواعد مرتب به محاسبه بارموده است اتم، حساب کرد (کافی است که الکترون پیوندی اتم دیگر را بر عده الکترونهای لایه ظرفیت اتم مورد نظر، افزود). مثلاً در مورد لیتیم، با در نظر گرفتن مولکول Li_2 ، می‌توان برای Li آرایش الکترونی $1s^2 2s^2$ را در نظر گرفت. از این‌رو، داریم:

$$\sigma_{mol} = 1 \times 0/35 + 2 \times 0/85 = 2/05$$

$$(Z_{eff})_{mol} = 3 - 2/05 = 0/95$$

(بر این اساس، بارموده است اتم هیدروژن در مولکول H_2 نیز برابر $0/95$ در نظر گرفته می‌شود). در جدول ۸-۴ مقدادیر σ_{mol} و $(Z_{eff})_{mol}$ عناصر سه دوره اول تناوبی داده شده است (در مورد عناصر سنتگین، مقدار دقیق Z_{eff} را نمی‌توان به دست آورد).

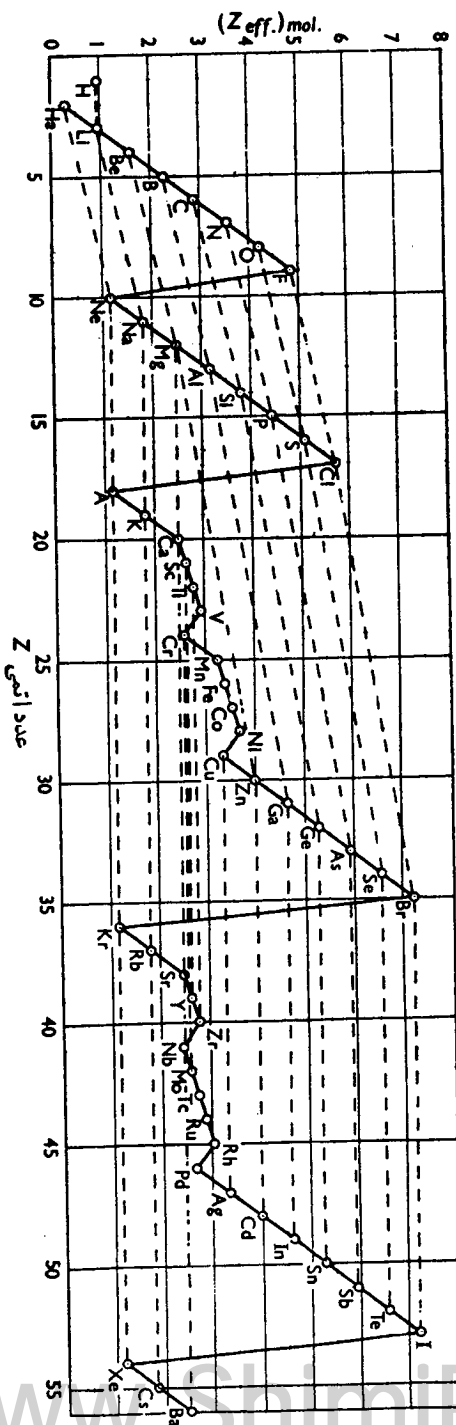
جدول ۸-۴ مقدار σ_{mol} و $(Z_{eff})_{mol}$ برای عناصر دوره‌های اول، دوم و سوم

عنصر	عدد اتمی	ثابت پوششی	$(Z_{eff})_{mol}$	عنصر	عدد اتمی	ثابت پوششی	$(Z_{eff})_{mol}$
H	1	0.05	0.95	Ne	10	8.80	1.20
He	2	1.70	0.30	Na	11	9.15	1.85
Li	3	2.05	0.95	Mg	12	9.50	2.50
Be	4	2.40	1.60	Al	13	9.85	3.15
B	5	2.75	2.25	Si	14	10.20	3.80
C	6	3.10	2.90	P	15	10.55	4.45
N	7	3.45	3.55	S	16	10.90	5.10
O	8	3.80	4.20	Cl	17	11.25	5.75
F	9	4.15	4.85	Ar	18	16.8	1.20

ز) روند تغییرات $(Z_{eff})_{mol}$

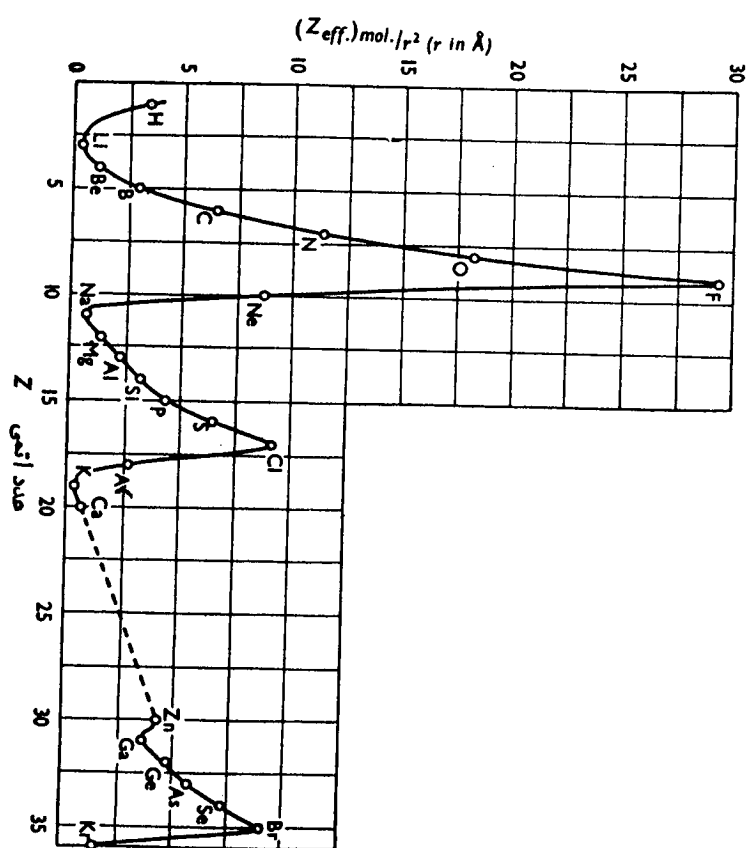
روند تغییرات $(Z_{eff})_{mol}$ با روند تغییرات بارموده هسته (نمودار شکل ۱۴-۴)، مشابه است. این روند، برای عناصر دوره های مختلف نسبت به عدد اتمی در شکل ۱۵-۴ نشان داده شده است که در آن، عناصر هر گروه با خطچین به یکدیگر مرتبط می باشند. در موادی که این خطچین افقی است، نشانه آن است که بارموده هسته اتمهای گروه، با یکدیگر برابرند. عناصر دوره های کوتاه بر روی خطهای راست، مورب و موازی قراردارند. عناصر دوره های بلند نیز بر روی دو خط مورب که با یکدیگر و نیز با خطهای مربوط به عناصر دوره های کوتاه موازی اند، قراردارند. ولی بین آنها خطوطی با شبیهای نسبتاً کم حاصل می شود. در هر صورت ها لوژنها بیشترین و گازهای بی اثر کمترین مقدار $(Z_{eff})_{mol}$ را دارند در صورتی که در هر دوره ، گاز بی اثر بیشترین مقدار Z^* را دارد (به جدول ۱۴-۶ و شکل ۱۴-۴ رجوع شود).

نمودار تغییرات $m^2/m^2 (Z_{eff})$ (که اصطلاحاً دانسیته بار در سطح اتم نامیده می شود) نسبت به عدد اتمی در مورد عناصر دوره های دوم و سوم در شکل ۱۶-۴ نشان داده شده است. همان طور که از این نمودارها بر می آید، دانسیته بار در سطح اتم عناصر ها لوژن از عناصر دیگر بیشتر و در مورد اتم عناصر قلیابی از عناصر دیگر کمتر است. بیشترین مقدار دانسیته بار در سطح اتم، به فلور مر بوط است که می تواند اساسی برای توجیه الکترونگا-تیوی زیاد آن (بالاترین مقدار نسبت به عناصر دیگر) باشد.



شکل ۱۵-۴ نمودار تغییرات نسبت به عدد اتمی (Z_{eff}/mol) نسبت به عدد اتمی

شکل ۳-۶-۱ نمودارهای تغییرات نسبت به عدد اتمی، برای عناصر در ردهای دوم و سوم



فصل پنجم

طبقه‌بندی عناصر - ارتباط آرایش الکترونی عناصر با جدول تناوبی

۱-۵ کلیات

طبقه‌بندی و تدوین جدول تناوبی عناصر، بدون تردید یکی از قدمهای موثر در راه پیشرفت دانش شیمی در مراحل آغازی رشد آن بود. بهویژه، در پیشرفت شیمی عمومی تحول به وجود آورده بود.

شاید درسایه اطلاعات وسیعی که امروزه به آنها دسترسی داریم، مشکلاتی که بر سر راه دستیابی به کشف قانون تناوبی و تنظیم جدول طبقه‌بندی جامع و سیستماتیکی برای عناصر که تحولی در آموختش شیمی ایجاد کند، ممکن است، برما پوشیده باشد و به اهمیت چنین امر مهمی بی نبرده باشیم.

بدیهی است اطلاعات نظری و تجربی که لازمه دستیابی به چنین نتیجه‌گیریهای شکری باشد، چه از نظر کمی و چه از نظر کیفی در آن زمان بسیار محدود و نارسا بود. زیرا، مثلاً در آن زمانها، نه تنها هنوز تعداد کافی از عناصر شناخته نشده بود که بتوان با آنها زیر-بنای جدول تناوبی را نهاد، بلکه هنوز تمیز بین جرم اتمی و جرم‌های همارز عناصر امکان پذیر نبود. علاوه بر آن، دسترسی به جرم اتمی درست عناصر امکان نداشت. از این‌رو، در چنین وضعیتی، هر نوع کوشش برای دستیابی به قانون تناوبی و تنظیم جدول، بی ثمر بود. هنگامی که درسالهای اول قرن نوزدهم، تبیین جرم اتمی نسبتاً دقیق بسیاری از عناصر توسط برزلیوس و اشترامن^۱ امکان پذیر شد، در واقع اولین سد از سر راه طبقه‌بندی

عناصر برداشته شد و با کشف ارتباط بین جرم اتمی و خواص عناصر و روند این ارتباط ، قانون تناوبی کشف و جدول تناوبی به کاملترین صورت ممکن خود ارائه شد.

۲-۵ ناریخچه

با توجه به اینکه طبقه بندي در هر زمينه‌اي، کار مطالعه و پرسسي و دسترسی به آنچه را که مورد نظر باشد، آسان می‌کند، دانشمندان نيز برای آسان شدن کار بررسی خواص عناصر و ترکیبات آنها که هر روز بر تعادل آنها افزوده و پرسی تک تک آنها امر مشکلی می‌نمود، به فکر طبقه بندي آنها افتاده بودند.

(۱) لاوازیه^۱، دانشمند مشهور فرانسوی، او لین کسی بود که به طبقه بندي عناصر پرداخت. وی عناصر شناخته شده زمان خود را بهدو دسته کلی تقسیم کرد. دسته‌ای از عناصر را که در ترکیب با اکسیژن، اسیدها را به وجود می‌آورند، عناصر غیر فلزی و دسته دیگر را که چنین خاصیتی ندارند، عناصر فلزی نامیده بود (البته داوی^۲ با بررسیهای خود نشان داد که عناصر فلزی در واکنش با اکسیژن بازها را به وجود می‌آورند).

قابل توجه است که در آن زمان اکسیدهای اسیدی را اسید و اکسیدهای بازی را بازمی‌پنداشتند. یعنی مثلاً SO_3 را اسید سولفوریک، CO_2 را اسید کربنیک، O_2Na را سودو O_2K را پتانس می‌نامیدند.

(۲) برزلیوس نیز براساس نظریه الکتروشیمیای خود، در سال ۱۸۱۱ عناصر را بهدو دسته کلی فلزات و غیر فلزات تقسیم کرد. وی عناصری را که ضمن الکترونیز الکترولیتها، در قطب ثابت به دست می‌آیند (یعنی به صورت یون منفی در الکترولیت وجود دارند) عناصر غیر فلزی و عناصری را که در قطب منفی به دست می‌آیند (یعنی به صورت یون مثبت در الکترولیت وجود دارند) عناصر فلزی نامیده بود. بهیانی دیگر، وی تشکیل کاتیون را از ویژگیهای فلزها و تشکیل آنیون را از ویژگیهای غیر فلزها می‌پندشت.

بدیهی است که این نوع طبقه بنديها، اهمیت چندانی پیدا نکرد و مورد توجه قرار نگرفته بود. زیرا از یک طرف بسیار کلی بود و از طرف دیگر، دارای موارد استثنایی زیادی بود. مثلاً می‌دانیم که بسیاری از فلزها علاوه بر تشکیل کاتیون می‌توانند در تشکیل آنیون نیز شرکت کنند و یا بسیاری از غیر فلزها، علاوه بر تشکیل آنیون می‌توانند کاتیون نیز تشکیل دهند. برای نمونه، منگنز، علاوه بر کاتیونهای Mn^{2+} و Mn^{3+} می‌تواند آنیونهای مانند MnO_4^{2-} ، MnO_4^{2-} و یا MnCl_4^{2-} را نیز در محلول و ینا در حالت

۱) Lavoisier ۲) Davy

جامد به وجود آورد. همین‌طور کروم علاوه بر کاتیونهای Cr^{2+} و Cr^{3+} می‌تواند در تشکیل آنیونهایی چون CrO_4^{2-} ، $\text{Cr}_2\text{O}_7^{2-}$ نیز شرکت داشته باشد. در مورد غیر فلزات نیز موارد مشابهی پیش‌می‌آید. مثلاً نیتروژن، علاوه بر آنیونهای N^{3-} ، NH_2^- و NO_3^- می‌تواند کاتیون NH_4^+ را نیز به وجود آورد و یا فسفر علاوه بر آنیونهای P^{3-} ، PO_4^{2-} ، بسیاری آنیونهای اکسیژن دازد و یا آنیون Cl_6^- (در حالت جامد)، می‌تواند کاتیون PCl_4^+ و PH_4^+ به وجود آورد.

علاوه بر آن، لاوازیه و برزلیوس، به هیچ وجه ارتباط بین جرم اتمی و خواص عناصر را درک نکرده بودند. از این‌رو، در طبقه‌بندی عناصر توجهی به آن معطوف نداشتند.

دوپراینر⁽³⁾، دانشمند آلمانی اولین کسی بود که تا حدی به ارتباط بین خواص عناصر و جرم اتمی آنها پی برد. ذیرا وی دریافته بود که می‌توان عناصر را به صورت دسته‌های سه‌تایی طوری کنار یکدیگر قرار داد که جرم اتمی عنصر میانی، به طور تقریبی میانگین جرم اتمی دو عنصر طرفین باشد (از این‌رو، این تقسیم‌بندی بنام طبقه‌بندی «سه‌تایی‌ها») موسوم شد. در این صورت، بسیاری از خواص دیگر عنصر میانی مانند جرم اتمی آن، میانگینی از خواص عناصر طرفین آن خواهد بود.

مثلاً⁽⁴⁾ وی، سه عنصر لیتیم، سدیم و پتاسیم را به ترتیب زیر، به دنبال یکدیگر قرارداد.

Li	Na	K
۹۹۴	۲۲۰۹۹	۳۹۵۱۰

و ملاحظه کرد که میانگین جرم‌های اتمی لیتیم و پتاسیم برابر

$$\frac{1}{2} (23502 + 39510) = 31226$$

است که تقریباً برابر جرم اتمی سدیم است.

از نمونه‌های دیگر دسته‌های سه‌تایی عناصر، کلر، برم، ید و گوگرد، سلنیم، تلور و مسیزیم، کلسیم، استرنسیم و ... را می‌توان نام برد.

قابل توجه است که نه تنها از نظر جرم اتمی، بلکه از نظر بسیاری از خواص دیگر نیز چنین ارتباطی در مورد دسته‌های سه‌تایی فوق شناخته شده بود که در جدول ۱-۵ به نمونه‌ای از آن اشاره شده است:

جدول ۱-۵ مقایسه جرم اتمی و نقاط ذوب و جوش لیتیم، سدیم و پتاسیم

عنصر	جرم اتمی	دماهی ذوب (°C)	دماهی جوش نرمال (°C)
لیتیم	۶۹۴	۱۸۰۵	۱۳۳۰
سدیم	۲۲۰۹۹	۹۷۰۸	۸۹۲
پتاسیم	۳۹۰۱۰	۷۶۰	۷۶۰

این نوع طبقه بندي نيز به دلايل زير، مورد توجه قرار نگرفت و اهميتی پيدا نکرد

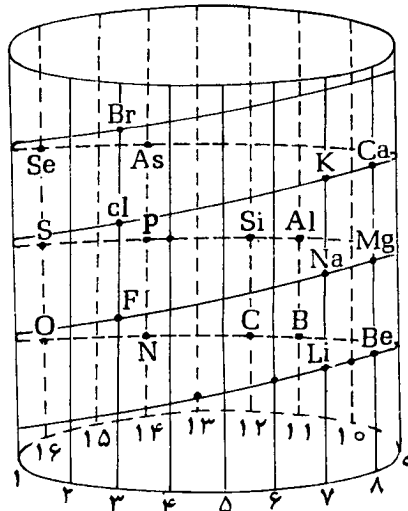
۱) هنوز در آن زمان ارتباط خواص با جرم عناصر، به صورت يك امر محسوس و کاملاً قابل پذيرش در نياerde بود.

۲) به علت اينكه در آن زمان همه عناصر شناخته نشده بودند و نيز جرم اتمی برخی از عناصر دقیق نبود، اين طبقه بندي فراگیر نبود و فقط تعدادی از عناصر را شامل می شد. قابل توجه است كه دوها^۱ دانشمند فرانسوی به پيروی از دو برابر باش به منظور کشف دسته های سه تایی بيشتر، کوششهايی به عمل آورد ولي به نتایج رضايت بخشی دست نيافته بود.

کوششهايی که از سالهای ۱۸۶۲ میلادی به بعد در مورد طبقه بندي عناصر صورت گرفته بود به مفهوم امر و زير آن تزدیك بود. دوشان کورتوآشیمیدان فرانسوی در سال ۱۸۶۲ برای عناصر شناخته شده زمان خود که تعداد آنها به ۱۶ نسيده بود، طبقه بندي ويزه ای ارائه داد که به پيچ تلوري موسوم شده است. او برای تنظيم جدول خود، استوانه ای را در نظر گرفت و مطابق شکل ۱-۵، محیط آن را به ۱۶ قسمت مساوی تقسیم کرده و از هر قسمت يك يال عبورداد و از محل تقاطع او لين يال با محیط قاعده، خطی با شیب معین (احتمالاً با زاویه ۴۵°) رسم کرد تا تعداد يالهای دیگر را يكی بس از دیگر مار پیچ و ادقطع کند. آنگاه عناصر شناخته شده آن زمان را به ترتیب جرم اتمی در محل تقاطع يالها با این خط مار پیچی قرارداد و مشاهده کرد عناصری که بر روی يك يال قرار می گيرند (يعني جرم

۱) Duma

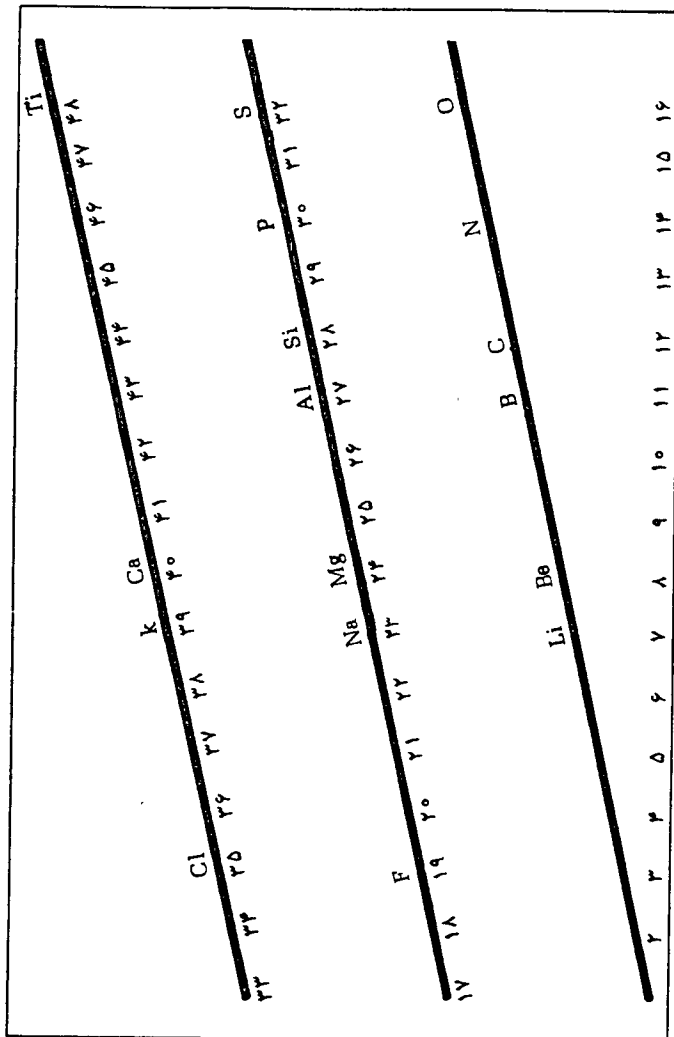
۲) de Chancourtois



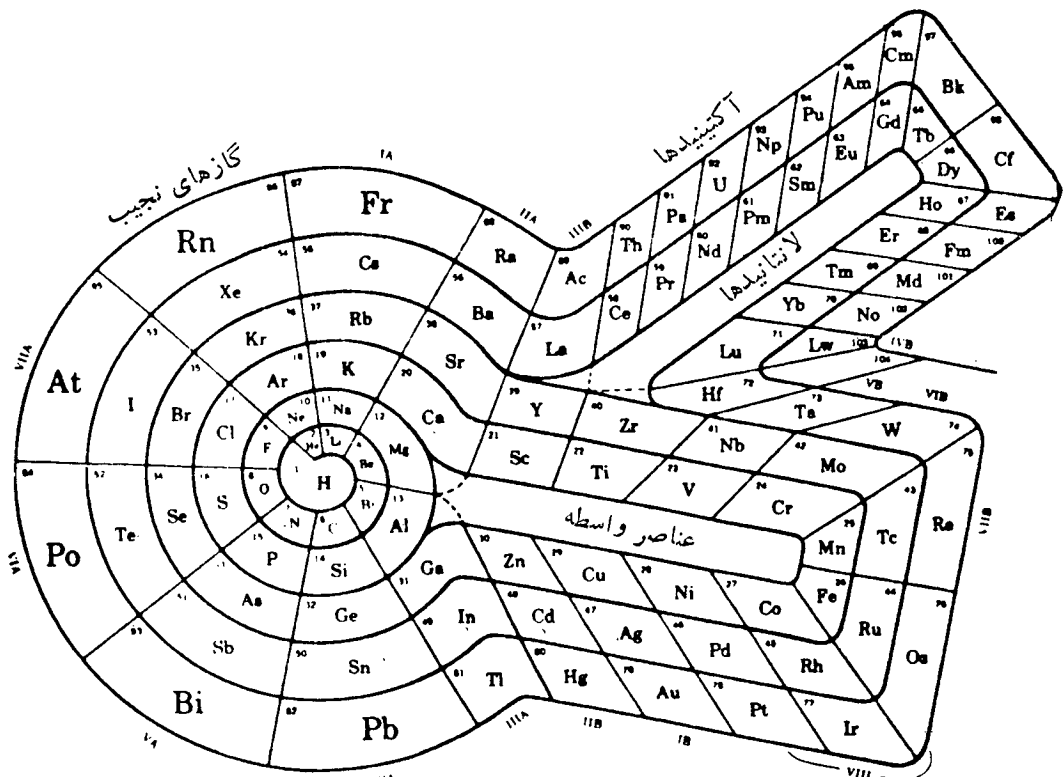
شکل ۱-۵ طرح استوانه‌ای جدول طبقه‌بندی دوشان کورتوآ

اتمی آنها به اندازه ۱۶ واحد و یا مضرب درستی از آن، با یکدیگر تفاوت دارد) خواص مشابهی با یکدیگر دارند. یعنی مثلاً بور و آلامینیم که بر روی یال ۱۱ و یا اکسیژن و گوگرد که بر روی یال ۱۶ قرار می‌گیرند، و تفاوت جرم اتمی آنها با یکدیگر برابر ۱۶ است، خواص مشابهی با یکدیگر دارند، از این‌رو، وی پیشنهاد کرده بود که «در واقع خواص عناصر، خواص اعدادند». اگر استوانه را در راستای یکی از یال‌های آن باز کرده و بر روی سطحی بگسترانیم، طرح دیگری از طبقه‌بندی دوشان کورتوآ به صورت شکل ۲-۵ درمی‌آید. همان‌طور که این طرح نشان می‌دهد، تشابه خواص عناصر واقع بر روی یک یال، فقط تا عنصر بیستم یعنی کلسیم که جرم اتمی آن حدود ۴۵ است، کاملاً رعایت می‌شود. مثلاً در ردیف سوم، تیتان بر روی یالی که به اکسیژن و گوگرد مرتب است قرار می‌گرفت. در صورتی که خواص آن شباهتی با خواص گوگرد و اکسیژن ندارد. با توجه به این نارسا بی وقابل پذیرش نبودن ارتباط بین جرم اتمی و خواص عناصر در آن زمان این طبقه‌بندی موردن توجه قرار نگرفت و منسوخ شد.

قابل توجه است که پس از کشف عناصر ناشناخته و کشف ساختار الکترونی اتم، جدول دوشان کورتوآ بار دیگر مطرح شد و مورد توجه و بررسی قرار گرفت و با طرح تازه‌ای بر حسب عدد اتمی کامل و به صورت شکل ۳-۵ تنظیم شد که امروزه در برخی از منابع به چشم می‌خورد.



شکل ۵-۴ طرح مسطح طبقه‌بندی دوشان کورتوآ



شکل ۳-۵ طرح تازه و کامل شده جدول دوشان کورتوآ

ادلینگ^۱ شیمیدان انگلیسی در سال ۱۸۶۴ جدولی از عناصر شناخته شده زمان خود تنظیم کرد و با تجدید نظر و اصلاحاتی که در آن به عمل آورده بود آن را در سال ۱۸۶۵ به صورتی که در جدول ۵-۲ نشان داده شده است، در ۵ ستون و ۱۵ سطر تنظیم کرد. این جدول شbahت زیادی به جدولی داشت که مندیلیف ۴ سال بعد از آن یعنی در سال ۱۸۶۹ انتشار داده بود.

جدول ۴-۵ جدول طبقه‌بندی ادلینگ

				Mo —	96	W Au Pt	184 196.5 197
L	7	Na	23	Ag	108	Hg	—
G	9	Mg	24	Zn	65	Tl	203
B	11	Al	27.5	—	—	Pb	207
C	12	Si	28	—	—	Bi	210
N	14	P	31	As	75	—	—
O	16	S	32	Se	79.5	Te	129
F	19	Cl	35.5	Br	80	I	127
		K	39	Rb	85	Cs	133
		Ca	40	Sr	87.5	Ba	137
		Ti	48	Zr	89.5	V	138
		Cr	52.5	—	—	Th	231
		Mn	55	—	—		

وی هیدروژن را کنار گذاشت و عناصر دیگر را به ترتیب صعودی جرم اتمی آنها به صورت جدول ۵-۵ به دنبال یکدیگر قرارداد و ملاحظه کرده عنصری که در یک سطح زیر یکدیگر قرار می‌گیرند، خواص مشابهی با یکدیگر دارند. ولی با توجه به اینکه چنین تشابهی فراگیر نبود و فقط در مردم عناصر سیترون دوم و سوم وجود داشت و اینکه وی نتوانسته بود عنصری مانند آهن، کبات و نیکل را در جدول جای دهد و... این طبقه‌بندی نیز مورد توجه قرار نگرفت و منسوخ شد. یادآوری می‌شود که در جدول طبقه‌بندی ادلینگ، L نشانه لیتیم و G نشانه گلوسیپینیم (نام قدیمی بریلیم) است.

نیولاندز^{۱)} شیمیدان انگلیسی نیز کوشیده بود تا ارتباطی بین خواص عناصر و جرم اتمی آنها پیدا کند. وی در سال ۱۸۶۵ دریافت بود که چنانچه عناصر به ترتیب صعودی جرم اتمی به دنبال یکدیگر قرارداده شوند، پس از هر ۷ عنصر، خواص به طور تناوبی تکرار می‌شود. یعنی مثلاً عنصر هشتم با عنصر اول و عنصر نهم با عنصر دوم، عنصر پانزدهم با عنصر اول و غیره، از نظر خواص شباهت دارد. وی تقریباً به طور همزمان با ادلینگ، جدول طبقه‌بندی خویش را به صورتی که در جدول ۳-۵ آمده است، انتشار داد که نسبت به جدول ادلینگ، شباهت بیشتری به جدولی داشت که مدلیف در سال ۱۸۶۹ ارائه داده بود (در این جدول، اعداد، شماره ترتیب و یا در واقع شماره‌خانه‌های عناصرند).

جدول ۳-۵ جدول طبقه‌بندی نیولاندز

No. H	No. F	No. Cl	No. Co & Ni	No. 22	Br	No. 29	No. Pd	No. 36	I	No. 42	Pt & Ir	No. 50
Li 2	Na 9	K 16	Cu	23	Rb	30	Ag	37	Cs	44	Tl	53
G 3	Mg 10	Ca 17	Zn	25	Sr	31	Cd	38	Ba & V	45	Pb	54
B 4	Al 11	Cr 19	Y	24	Ce & La	33	U	40	Ta	46	Th	56
C 5	Si 12	Ti 18	In	26	Zr	32	Sn	39	W	47	Hg	52
N 6	P 13	Mn 20	As	27	Di & Mo	34	Sb	41	Nb	48	Bi	55
O 7	S 14	Fe 21	Se	28	Ro & Ru	35	Te	43	Au	49	Os	51

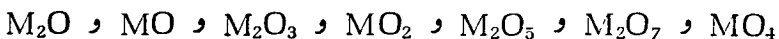
یادآوری می‌شود که در جدول طبقه‌بندی نیولاندز، C نشانه گلوسینیم، BO نشانه بور (که امروزه با B نشانداده می‌شود)، Di نشانه دیسپروزیم (که امروزه با Dy نشانداده می‌شود) و Ro نشانه‌فردیم (که امروزه با Rh نشانداده می‌شود) است. در مقایسه با هشتنت (اکتاو) موسیقی، نیولاندز معتقد شده بود که بین عناصر و نتهای موسیقی تشابه وجود دارد واز این‌رو، این کشف خود را قانون اکتاوها نامید. در هر حال، طبقه‌بندی وی، عملیاتی به سه دلیل ذیر، مورد توجه قرار نگرفت و اهمیتی کسب نکرد.

(۱) جاهای خالی در جدول وی وجود نداشت، یعنی بین عناصر دیگری که ممکن بود ناشناخته

باشند نیندیشیده بود، تا جایی خالی برای آنها در جدول پیش‌بینی کنند.
 ۲) در برخی از خانه‌ها دو عنصر را جای داده بود. مثلاً کپالت باتیکل، دیسپروزیم با مولیبدن،
 ردیم با روتینیم، باریم با وانادیم و پلاتین با ایریدیم، دریک خانه قرار داده شده بودند.
 ۳) مشابهت خواص، فقط در مورد عناصر سه‌ردیف اول از ستونهای اول، دوم و سوم و
 ردیفهای چهارم، پنجم و ششم و هفتم از ستونهای اول و دوم، کاملاً رعایت می‌شد.
 ۴) در مورد مشابهت عناصر با نتهای موسیقی، دلایل قانع کننده‌ای توانسته بود ارائه دهد.
 به طوری که یکی از اعضای مجمع شیمیدانان انگلستان بالحن تم‌سخر آمیزی به وی گفته بود،
 اگر عناصر را بدتریب الفبایی حرف اول نام آنها به دنبال یکدیگر می‌نوشتی به چنین نتیجه‌ای
 دست نمی‌یافتی؟

۳-۵ قانون تناوبی

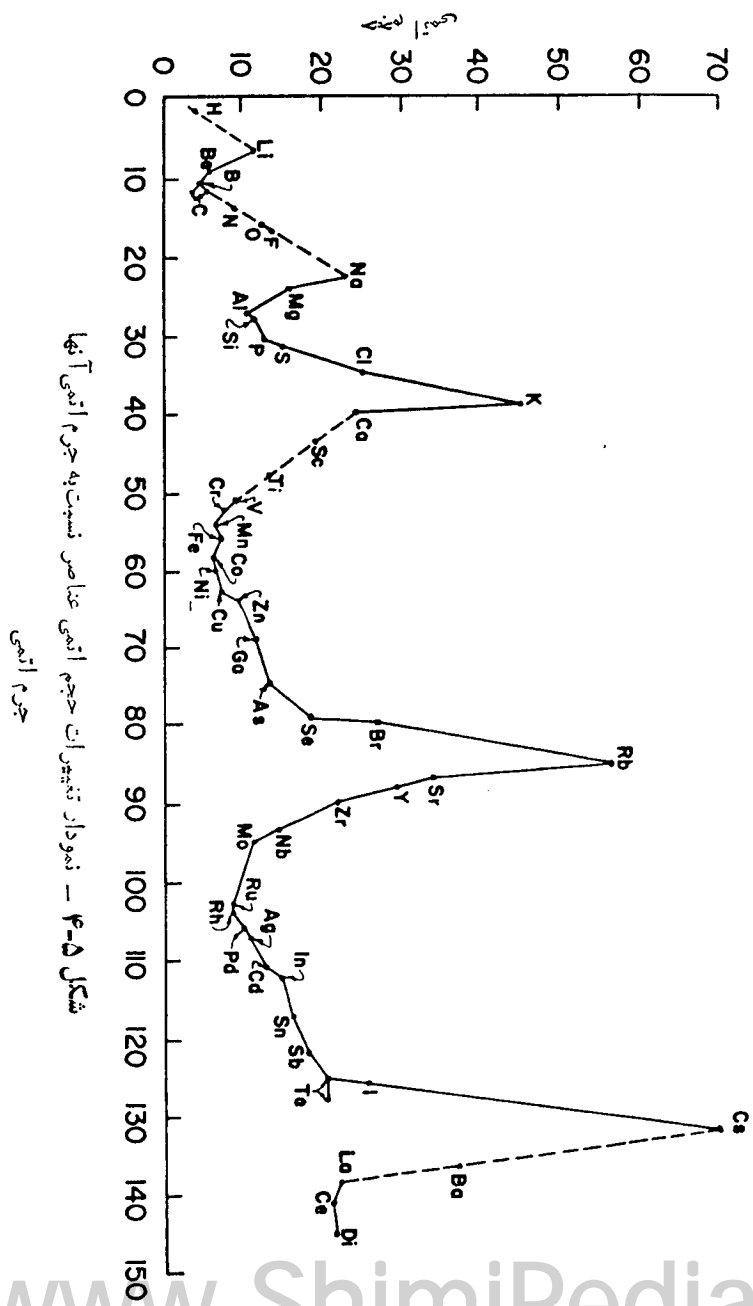
در فاصله بین سالهای ۱۸۶۹ تا ۱۸۷۱ میلادی، لوتارمیر^۱ شیمیدان آلمانی،
 بررسیهای دقیقی در مورد خواص فیزیکی عناصر (مانند حجم اتمی، جرم حجمی، نقطه ذوب،
 نقطه جوش و....) انجام داد و نمودار تغییرات آنها را نسبت به جرم اتمی رسم کرد و نشان
 داد که این خواص نسبت به جرم اتمی عناصر به طور تناوبی تکرار می‌شوند. برای نمونه،
 چگونگی تغییرات حجم اتمی عناصر، نسبت به جرم اتمی را به صورتی که در شکل ۴-۵
 نشان داده شده است، به دست آورده بود. در همین فاصله، هندلیف^۲ شیمیدان مشهور روسی
 فیزی با بررسیهای وسیعی که در مورد خواص عناصر و ترکیبات آنها، به ویژه ترکیبات
 دوتایی هیدروژن‌دار و اکسیژن‌دار آنها به عمل آورده بود، بدون اطلاع از کارهای لوتارمیر،
 دریافتی بود که تغییرات خواص فیزیکی و شیمیایی عناصر نسبت به جرم اتمی آنها روندی
 تناوبی دارد. بدعاوه، وی دریافت که فرمول اکسید عناصر با بالاترین ظرفیت آنها، نسبت
 به جرم اتمی بد صورت تناوب زیر، تکرار می‌شود:



بدین ترتیب لوتارمیر و مندلیف به کشف قانون مهمی در مورد تغییرات خواص عناصر دست
 یافته بودند که بنام «قانون تناوبی»* در سال ۱۸۷۱ انتشار یافت. مفهوم این قانون را
 می‌توان چنین بیان داشت:

۱) Lothar Meyer
 * Periodic law

۲) Mendeleev



شکل ۴-۵ - نمودار توزیع انتزاعی عناصر تسبیت به جریان آنمی آنها
جریان آنمی

«خواص عناصر، تابعی تنایی از جرم اتمی آنهاست»

قابل توجه است که لو تارمیر در سال ۱۸۶۹ جدولی مشابه جدول ادلینگک در زمینه طبقه‌بندی عناصر در ستون مطابق جدول ۴-۵ تنظیم کرد و آن را در سال ۱۸۷۰ انتشار داد که به علت ایرادها و نارساییها بی کشیده در برداشت، مانند جدولهای طبقه‌بندی ادلینگک و نیولاندز، مورد توجه و استقبال چندانی قرار نگرفت.

جدول ۴-۵ جدول طبقه‌بندی لو تارمیر

I	II	III	IV	V	VI	VII	VIII	IX
B	II	Al 27.3	—	—	—	?In 13.4	—	Tl 202.7
C	I2	Si 28	Ti 48	—	Zr 89.7	Sn 117.8	—	Pb 206.4
N	I4	P 30.9	V 51.2	As 74.9	Nb 93.7	Sb 122.1	—	Bi 207.5
O	I6	S 32	Cr 52.4	Se 78	Mo 95.6	Te 128?	Ta 182.2	W 183.5
F	I9.1	Cl 35.4	Mn 54.8	Br 79.75	Ru 103.5	I 126.5	Os 198.6?	Ir 196.7
			Fe 55.9		Rh 104.1		Pt 196.7	Au 192.2
Li	7.0	Na 22.9	Co =	Ni 58.6	Rb 106.2	Cs 132.7		Hg 199.3
?Be 9.3	Mg 23.9	Ca 39.9	Cu 63.3	Rb 85.2	Ag 107.7	Ba 136.8		
			Zn 64.9	Sr 87	Cd 111.6			

مندلیف نیز ابتدا، یک نمونه جدول طبقه‌بندی در ستون ۱۹ سطر مطابق جدول ۵-۵ انتشار داد که تا اندازه‌ای، با جدولهای طبقه‌بندی عناصر که توسط ادلینگک، نیولاندز و لو تارمیر تنظیم شده بود، شباهت داشت. یعنی برخلاف جدول طبقه‌بندی امر و زی، در آن عناصری که خواص مشابه دارند، به جای قرارگرفتن در یک ستون، در یک سطر قرار داده شده بودند. به علاوه همان‌طور که از جدول ۵-۵ نیز می‌توان دریافت، عناصری هم که در

یک سطر قرار داده شده بودند، هیچ گاه همگی خواص مشابهی با یکدیگر نداشتند.

جدول ۵-۵ صورت اولین جدول طبقه‌بندی مندلیف که در سال ۱۸۶۹ منتشر شد.

			Ti = 50 V = 51 Cr = 52 Mn = 55 Fe = 56 Co = 59 Cu = 63.4	Zr = 90 Nb = 94 Mo = 96 Rh = 104.4 Ru = 104.4 Pd = 106.6 Ag = 108	? = 180 Ta = 182 W = 186 Pt = 197.4 Ir = 198 Os = 199 Hg = 200
H = 1		Ni =			
	Be = 9.4 B = 11 C = 12 N = 14 O = 16 F = 19	Mg = 24 Al = 27.4 Si = 28 P = 31 S = 32 Cl = 35.5	Zn = 65.2 ? = 68 ? = 70 As = 75 Se = 79.4 Br = 80	Cd = 112 Ur = 116 Sn = 118 Sb = 122 Te = 128? I = 127	Au = 197? Bi = 210
Li = 7	Na = 23	K = 39 Ca = 40 ? = 45 ?Er = 56 ?Yt = 60 ?In = 75.6	Rb = 85.4 Sr = 87.6 Ce = 92 La = 94 Di = 95 Th = 118?	Cs = 133 Ba = 137	Tl = 204 Pb = 207

۵-۶ جدول تناوبی عناصر

مندلیف با توجه به اشکالات و نارسا بیهای جدول طبقه‌بندی نیولاندز و لو تار میر و حتی ایرادهایی که بر جدولی که خود وی در سال ۱۸۶۹ انتشار داده بود و برای رفع این اشکالات بر اساس قانون تناوبی، تغییراتی در جدول اولیه خود داد و از جمله با توجه به فرمول کلی اکسید عناصر با بالاترین ظرفیت، آن را به صورت تازه‌ای که با مفهوم قانون تناوبی مطابقت بیشتری پیدا کند، مطابق جدول ۵-۶، در هشت ستون و ۲۱ سطر تنظیم کرده بود. که برخلاف جدول سال ۱۸۶۹، عناصر مشابه به جای اینکه در یک سطر قرار گیرند، در یک ستون زیر یکدیگر قرار داده شدند. قابل توجه است که در جدول ۵-۶، Yt و Di به ترتیب نشانه‌های ایتریم و دیسپروزیم است که امروزه با Y و Dy نشان داده می‌شوند. موضوع دیگری که باید به آن توجه کرد این است که اعداد زیر نشانه‌های شیمیایی عناصر

جدول ۵-۶ صورت اولیه جدول تناوبی عناصر

ردیف سیزده	R_2O	RO	R_2O_3	RO_2	RH_4 RO_2	RH_3 R_2O_5	RH_2 RO_3	RH R_2O_7	R RO_4	V R_2O_9	VI R_2O_{10}	VII R_2O_{11}	$VIII$ R_2O_{12}
1	H = 1												
2	Li = 7	Be = 9.4	B = 11	C = 12	Si = 28	P = 31	O = 16	F = 19					
3	Na = 23	Mg = 24	Al = 27.3	Ti = 48	V = 51	Cr = 52	S = 32	Cl = 35.5					
4	K = 39	Ca = 40	— = 44	— = 68	As = 75	Se = 78	Br = 80						
5	(Cu = 63)	Zn = 65	Yt = 88	Zr = 90	Nb = 94	Mo = 96	Mn = 55						
6	Rb = 85	Sr = 87	In = 113	Sn = 118	Sb = 122	Te = 125	Br = 80						
7	(Ag = 108)	Cd = 112	Di = 138	?Ce = 140	—	—	—						
8	Cs = 133	Ba = 137	—	—	—	—	—						
9	(—)	—	—	—	—	—	—						
10	—	—	?Er = 178	?La = 180	Ta = 182	W = 184	—						
11	(Au = 199)	Hg = 200	Tl = 204	Pb = 207	Bi = 208	U = 240	—						
12	—	—	—	Th = 231	—	—	—						

در جدول ۵-۶، شماره ترتیب خاندهای جدول است. زیرا هنوز در آن زمان عدد اتمی عناصر به مفهوم امروزی خود کشف نشده بود.

همان‌طور که ملاحظه می‌شود، این جدول نیز خالی از ایجاد نبود. مثلاً درستون سوم، عناصر دیسپروزیم (Dy) واریم (Er) در گروه بور (B) و در متن جدول قرار دارند. درصورتی که امروزه می‌دانیم این دو عنصر جزء عناصر لانتانیدند و خارج از متن جدول قرار دارند و یا درستون چهارم، زیرکنیم (Zr)، سریم (Ce)، لانتان (La) و توریم (Th) در گروه کربن قرار دارند. این کار با آنچه که در جدیول تناوبی امروزی متداول است، از چند نظر مغایرت دارد.

از این‌رو، مندلیف برای اصلاح جدول طبقه‌بندی به ابتکاراتی عالمانه، دست زد و نوآوریها یی به صورتهای زیر معمول داشت تا اینکه آن را به صورتی که در جدول ۷-۵ نشان داده شده و تقریباً همان صورت متداول امروزی جدول تناوبی است، درآورد. این نوآوریها عبارت بودند از:

- شک‌کردن در درست بودن جرم اتمی برخی از عناصر و بررسی و اندازه‌گیری مجدد آنها.

- در نظر گرفتن تشابه عناصر، به صورت يك اصل در طبقه‌بندی آنها و مقدم شمردن آن بر ترتیب جرم اتمی عناصر. با توجه به همین اصل بود که مثلاً با وجود اینکه جرم اتمی کیالت از جرم اتمی نیکل بیشتر است، آن را قبل از نیکل در جدول قرارداد و نیز به منظور رعایت همین اصل بود که پس از اطمینان از درست بودن جرم اتمی عناصر شناختشده تا آن‌زمان، برخی از خاندهای جدول را خالی گذاشت (خاندهای شماره ۲۱، ۳۱، ۳۲، ۴۳، ۷۲، ۷۵، ۸۴، ۸۵،) تا عناصر مشابه در يك ستون زیر یکدیگر قرار گیرند.

- پذیرفتن این واقعیت که عناصر شناخته شده تا آن‌زمان (در حدود ۶۳ عنصر)، تمام عناصر موجود در طبیعت را شامل نمی‌شوند، بلکه عناصر دیگری باید وجود داشته باشند که هنوز شناخته نشده‌اند. از این‌رو، وجود عناصر ناشناخته را پیش‌بینی کرد، و حتی خواص آنها را بر اساس طبقه‌بندی سه‌تایی‌ای دو براینر، با توجه بدحو اوص عناصر شناخته شده‌جاور در جدول، پیشگوئی کرده بود.

- تقسیم کردن عناصر هرستون، بد و گروه اصلی (a) و فرعی (b) برای این که اصل تشابه هرچه بیشتر رعایت شود (البته امروزه، به جای نشاندهای *a* و *b* از نشاندهای *B* و *A* استفاده می‌شود). مثلاً ابتدا لیتیم، سدیم، پتاسیم، مس، رو بیلیم، نقره، سریم و طلا را در یک ستون (ستون اول) قرار داده بود. اما با توجه به اینکه خواص مس، نقره و طلا به یکدیگر نزدیک‌تر و با عناصر دیگر این‌ستون تا اندازه‌ای تفاوت دارد، این‌سه عنصر را در سمت راست ستون اول

جدول ۷-۵ جدول تناوبی مندلیف پس از طرح گروههای اصلی و فرعی

دورةها	نمایش	گروهها								
		I. a b	II. a b	III. a b	IV. a b	V. a b	VI. a b	VII. a b	VIII. a	
1	1	H I								
2	2	Li 3	Be 4	B 5	C 6	N 7	O 8	F 9		
3	3	Na 11	Mg 12	Al 13	Si 14	P 15	S 16	Cl 17		
4	4	K 19	Ca 20	21	Ti 22	V 23	As 33	Cr 24	Mn 25	Fe Co Ni
	5	Cu 29	Zn 30	31	32			Sc 34	Br 35	26 27 28
5	6	Rb 37	Sr 38	Y 39	Zr 40	Nb 41	Sb 51	Mo 42	43	Ru Rh Pd
	7	Ag 47	Cd 48	In 49	Sn 50			Te 52	I 53	44 45 46
6	8	Cs 55	Ba 56	خاکهای کمیاب 57-71	Ta 72			W 74	75	Os Ir Pt
	9	Au 79	Hg 80	Tl 81	Pb 82	Bi 83		84	85	76 77 78
7	10	87	88	89	Th 90	91	U 92			

(گروه b) و لیتیم، سدیم، پتاسیم، رویدیم و سزیم را درست چپ این ستون (گروه a) قرار داد.

- تنظیم ۱۲ سطر جدول، به صورت ۷ دوره (یا تناوب) به ترتیبی که هر یک از دوره‌های اول، دوم و سوم فقط یک سطر را از دوره‌های دیگر در سطر از جدول را شامل شوند. باید توجه داشت که در آن زمان دوره اول و دوره هفتم به صورت امروزی وجود نداشت و در حقیقت جدولی شامل پنج دوره بود و هر دوره با یک فلز قلیایی شروع و به یک عنصر هالوژن ختم می‌شد (به جدول ۵-۷ رجوع شود).

- با توجه به اینکه ۹ عنصر خانواده آهن یعنی آهن، کبات، نیکل، روتنیم، ردم، پالادیم، اسمیم، ایریدیم و پلاتین، خواص نسبتاً نزدیکی بدیگر دارند. حتی سه عنصر آخری، هم در خواص فیزیکی وهم در خواص شیمیایی شباهت بسیار زیادی با یکدیگر دارند و با عنصر اصلی یا فرعی ستونهای هفتگانه دیگر جدول تشابهی ندارند و نمی‌توان آنها را در هیچ یک از این گروهها جای داد. از این‌رو، برای رعایت هرچه بیشتر اصل تشابه، ستون دیگری (ستون هشتم) به جدول طبقه‌بندی اضافه کرد و این عناصر را در سه دسته سه‌تایی به سطح دوم دوره‌های چهارم، پنجم و ششم جدول درستون جدید جای داد.

چون جدولی که بدین ترتیب توسط مندلیف تنظیم شد، بر مبنای تغییرات تناوبی خواص عناصر طرح ریزی شده بود، به «جدول تناوبی عناصر» شهرت یافت.

۵-۵ کشف گازهای نجیب و تکمیل جدول تناوبی

می‌دانیم که در زمان انتشار جدول تناوبی هنوز گازهای نجیب کشف نشده بودند. از این‌رو، مندلیف برای آنها در متن جدول تناوبی جایی پیش‌بینی نکرده بود ولی با توجه به نبوغی که وی در طرح و تنظیم جدول تناوبی به کار برده بود، این امر، در درستی نظم جدول تناوبی اشکالی به وجود نیاورده بود. زیرا وقتی که (امسی^۱ و دایله^۲ اوین گاز بی‌اثر یعنی آرگون را در سال ۱۸۹۴ کشف کردند و به تدریج گازهای هلیم در ۱۸۹۵ (توسط رامسی) نئون و کربیتون و ذئون در سال ۱۸۹۸ (توسط رامسی و تراووس^۳) و رادن در ۱۹۰۵ (توسط دورن^۴) کشف شدند. با اطلاعات عملی آن زمان معلوم شده بود که این عناصر دارای میل ترکیبی نیستند و ظرفیت شیمیایی برابر صفر برای آنها در نظر گرفته شد. اذاین‌رو، اصولاً می‌باشد قبل از عناصر قلیایی در جدول قرار می‌گرفتند. براین اساس، رامسی این عناصر را بنام عناصر گروه صفر درستون جدا گانه‌ای قبل از ستون فلزات قلیایی در ابتدای جدول

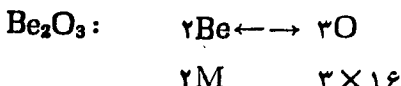
جای داد. البته بعدها، پس از کشف ساختار اتم، با توجه به ساختار الکترونی عناصر، این گروه از عناصر را به آخر جدول منتقل کردند و در برخی از منابع آنها را به عنوان عناصر اصلی گروه هشتم (VIII A) و ۹ عنصر ستون هشتم را عناصر فرعی این گروه (VIII B)، در نظر می‌گیرند (به جدول ۷-۵ رجوع شود).

۶-۵ اهمیت جدول تناوبی و نقش آن در پیشبرد دانش شیمی

تنظيم و انتشار جدول تناوبی عناصر توسط مندلیف، تحولی شکرگفت در احوال آغازی رشد شیمی تو (شیمی عمومی) به وجود آورد و موجبات رشد سریع آن را در بسیاری از زمینه‌ها، فراهم کرد. زیرا استفاده از این جدول تنها امر مطالعه و بررسی خواص عناصر و ترکیبات مختلف آنها را بر اساس تشابخواص در گروهها، آسان کرد، بلکه به امر تصحیح جرم اتمی و یا تعیین دقیق آنها که در آن زمان یکی از مسائل علمی مهم روز بود، کمک زیادی کرد و نیز انگیزه‌ای برای پژوهش به ویژه در زمینه کشف عناصر ناشناخته و تعیین خواص آنها و گسترش دامنه تحقیقات در این زمینه را فراهم آورد. به خاطر اهمیت دومورد اخیر، آنها را مورد بررسی قرار می‌دهیم.

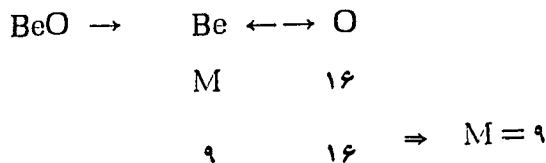
۷-۵ تصحیح جرم اتمی برخی از عناصر

در زمان انتشار جدول تناوبی، بریلیم را عنصری مشابه آلومینیم می‌پنداشتند. زیرا هیدروکسید آن مانند هیدروکسید آلومینیم ڈلاتینی شکل و نامحلول در آب بود و با اسیدها و نیز با بازها واکنش می‌دهد. کربنات آن مانند کربنات آلومینیم در آب هیدرولیزمی شود. فلز بریلیم نیز مانند آلومینیم با سود و پتاس، هیدروژن می‌دهد. از این‌رو، مثلاً برای اکسید آن مانند اکسید آلومینیم، فرمول Be_2O_3 در نظر می‌گرفتند. قابل توجه است که در آن زمان ترکیب فرآری از بریلیم که بتوان بدروش اندازه گیری چگالی بخار، جرم مولکولی آن و درنتیجه جرم اتمی بریلیم را معین کنند، هنوز شناخته نشده بود. چون بررسیهای تجربی نشان می‌داد که در اکسید بریلیم؛ در مقابل هر ۹ گرم بریلیم ۱۶ گرم اکسیژن وجود دارد، بر اساس فرمول پیشنهادی فوق و مطابق محاسبه زیر، جرم اتمی بریلیم را برابر ۱۳۵ در نظر گرفته بودند:



$$9 \qquad 16 \qquad \Rightarrow M = 135$$

اما با انتشار جدول تناوبی معلوم شد که این عنصر را باید مشابه فلزات قلیایی خاکی و برای اکسید آن فرمول BeO با درنظر گرفت که براساس آن، جرم اتمی بریلیم باید برابر ۹ باشد:



چنانی بعد که ترکیبی نسبتاً فراد از بریلیم (BeCl_2) شناخته شد و با اندازه گیری چگالی بخار آن، محاسبه جرم مولکولی این ماده و درنتیجه جرم اتمی بریلیم امکان پذیر شد، معلوم شد که برای بریلیم باید جرم اتمی ۹۵۱ را درنظر گرفت (جرم اتمی دقیق بریلیم ۹۵۱۲۲ است). نمونه دیگر، سزیم است که قبل از تنظیم جدول تناوبی، برای آن جرم اتمی ۱۲۳۵۴ درنظر گرفتند. با انتشار جدول تناوبی، معلوم شد که این فلز جزء عناصر قلیایی است واز این‌رو، فرمول دقیق تر کیمیات آن معین و تعیین جرم اتمی آن ممکن شد و به طور تقریبی برابر ۱۳۵ به دست آمد (با اندازه گیری‌های دقیقی که بعدها صورت گرفت، معلوم شد که جرم اتمی دقیق آن را باید برابر ۹۵۵ دانظر گرفت).

ایندیم (In) نمونه‌دیگری است که قبل از تنظیم جدول تناوبی، برای آن جرم اتمی ۷۶ پیشنهاد شده بود، زیرا این عنصر در برخی ارسنگ معدن‌های روی یافت می‌شود و براین اساس، آن را فلزی دوظرفیتی (مانند روی) درنظر گرفتند. ولی مندلیف دریافته بود که در گروه دوم، در پایین فلز روی جایی برای یک فلز دوظرفیتی با جرم اتمی ۷۶ نمی‌توان درنظر گرفت و با بررسی خواص ایندیم و ترکیبات آن به سه‌ظرفیتی بودن آن بی‌برد و آن را در گروه سوم، در ردیف آلومینیم قرارداد و مثلاً با درنظر گرفتن اکسید In_2O_3 برای آن، جرم اتمی ۱۱۴ را پیشنهاد کرد. با توجه به قانون دولن وپتی^۱، جرم اتمی ایندیم، برابر ۱۱۴ به دست آمد که نظر مندلیف را تأیید کرد (جرم اتمی دقیق ایندیم برابر ۱۱۴۰۸۲ است). درینجا، لازم به نظر می‌رسد که بر روشهای تعیین جرم اتمی که قبل از انتشار جدول مندلیف متداول بود، اشاره شود.

۸-۵ تعیین جرم اتمی عناصر با استفاده از اصل کانیز ارو^۲ (یا کانیتسارو)
بر طبق اصل کانیز ارو که در سال ۱۸۵۸ بیان شد، جرم اتمی یک عنصر، کمترین

۱) Dulong and Petit

۲) Cannizzaro

مقدار آن است که در یک مولکول گرم از ترکیبات آن وجود دارد. بدینهی است که برای استفاده از این اصل برای تعیین جرم اتمی عناصر، ترکیبات مورد نظر باید گازی و یا فرار باشند. جرم عنصر مورد نظر، در حجم معینی از هر ترکیب (به حالت گاز یا بخار) معین شده و سپس، جرم آن به ازای حجم مولکولی آن ترکیب حساب می‌شود. برای روشن شدن مطلب به حل تمرینی می‌پردازیم:

تمرین ۱-۵

جرم اتمی هیدروژن را به روش کانیزارو معین کنید.

حل :

جرم هیدروژن را در یک مول از چند ترکیب گازی آن مانند NH_3 ، CH_4 ، HCl ، C_2H_2 ، CHCl_3 و ... حساب می‌کنیم. بدتر تیپ مقادیر 3503 ، 1501 ، 4504 ، 2502 و ... به دست می‌آید. چون کمترین مقدار هیدروژن در هر مول از این ترکیبات برابر 1501 است. پس، این عدد بر ابر جرم اتمی هیدروژن است، قابل توجه است که مقادیر دیگر مضری از 1501 اند که تعداد اتمهای هیدروژن را در مولکول ترکیبات مربوط نشان می‌دهند.

۹-۵ تعیین جرم اتمی عناصر با استفاده از قانون دولن و پتی

این قانون در سال 1819 توسط دولن و پتی کشف شد که آن را می‌توان به صورت

ذیر بیان کرد:

«مقدار گرمای لازم برای اینکه یک اتم گرم از یک عنصر جامد به اندازه 1° افزایش یابد، برای تمام عناصر یکسان و تقریباً برابر 3 کالری است» (باید توجه داشت که این مقدار برای عناصر مختلف بین 6 تا 12 تغییر می‌کند) که به گرمای اتمی موسوم است و برای حاصل ضرب جرم اتمی (M) عنصر در گرمای ویژه آن (C) در حالت جامد است. یعنی داریم:

$$M \cdot C \approx 6.3 \text{ cal} \quad (1-5)$$

تمرین ۲-۵

با استفاده از قانون دولن و پتی جرم اتمی ایندیم را حساب کنید (گرمای ویژه آن

برابر ۵۵۰ ره کاری برگرم در درجه است)

حل:

بر طبق رابطه ۱-۵ می‌توان نوشت:

$$M \times ۰۰۵۵ = ۶۳$$

$$M = \frac{۶۳}{۰۰۵۵} = ۱۱۴$$

۱۰-۵ تعیین جرم اتمی عناصر با استفاده از قانون هم‌یختی * [ایزومورفیسم]

این قانون توسط میچرلیخ در سال ۱۸۱۹ کشف شد که به صورت زیر بیان می‌شود: «اجسامی که شکل بلوری یکسان داشته و به هر نسبتی که به صورت محلول باهم مخلوط شوند، در ساختار بلور شرکت کنند، فرمول شیمیایی مشابهی خواهند داشت». مانند انواع زاجها که فرمول کالی $O \cdot 12H_2O \cdot M^{IV}M^{III}(SO_4)_2$ را می‌توان به همه آنها نسبت داده و یا سوپراتهای منیزیم، روی، آهن (II) و نیکل (II) که هم‌یختند و فرمول شیمیایی مشابهی دارند (یعنی $FeSO_4 \cdot 7H_2O$ ، $MgSO_4 \cdot 7H_2O$ ، $ZnSO_4 \cdot 7H_2O$ و $FeSO_4 \cdot 7H_2O$ و ...)

با استفاده از این قانون تو انتند، جرم اتمی بسیاری از عناصر را تصحیح و یا تعیین کنند. برای نمونه، تاسال ۱۸۳۶ برای مس جرم اتمی ۶۳، برای نقره جرم اتمی ۲۱۶ و برای سولفید آن فرمول AgS را در نظر می‌گرفتند، تا اینکه دوما در سال ۱۸۳۶ با بررسی خواص سولفیدهای مس و نقره دریافت که سولفید نقره با سولفید مس (I) Cu_2S یا شالکوسیت (Zincite) هم‌یخت است و براساس قانون هم‌یختی، باید فرمول Ag_2S را به آن نسبت داد (زیرا به جرم اتمی مس و فرمول سولفید آن اطمینان بیشتری بود). از این‌رو، معلوم شد که جرم اتمی نقره را باید حدود ۱۵۸ در نظر گرفت.

۱۱-۵ ایجاد انگیزه تحقیق

همان‌طور که قبلاً اشاره شد، مندلیف به منظور رعایت اصل تشابه، برخی از خاندهای جدول تناوبی، از جمله، خاندهای شماره ۲۱، ۳۱، ۴۳، ۳۲، ۷۵، ۸۵ و ۸۷ را خالی گذاشته بود و وجود عناصر ناشناخته‌ای را برای هر یک از آنها پیش‌بینی و خواص هر یک از

* Isomorphism law

آنها را پیشگویی کرده بود. مثلاً نظرداده بود که خاندهای ۲۱، ۳۱ و ۳۲ به عنصری که خواص آنها به ترتیب با خواص بور، آلومینیم و سیلیسیم و خاندهای ۴۳ و ۷۵ نیز به عنصری که خواص آنها با خواص منگنز مشابه است، تعلق دارند. از این‌رو، برای این عناصر ناشناخته به ترتیب نامهای اکابود*، اکاآلومینیم، اکاسیلیسیم، اکامنگنز و دوی منگنز را انتخاب و بسیاری از خواص آنها و برخی از ترکیبات آنها را پیشگویی کرد. این ابتکار مندلیف، انگیزه‌ای در پژوهشگران ایجاد کرد تا به تلاشهای پیگیر در راه کشف این عناصر و تعیین خواص آنها بپردازند. به طوری که هنوز بیش از چهار سال از انتشار جدول تناوبی نگذشته بود که بیان آن (در سال ۱۸۷۵) در فرانسه اکاآلومینیم (که گالیم نام گرفت**) و چهار سال پس از آن، نیلسون^۱ در سوئد اکابور را (که اسکاندیم نامیده شد***) و در سال ۱۸۸۶، وینکلر^۲، در آلمان، اکاسیلیسیم را (که ژرمانیم**** نامیده شد) کشف کردند و خواص آنها را مورد بررسی قرار دادند و معلوم شد که تقریباً با همان خواصی که مندلیف برای آنها پیش‌بینی کرده بود، مطابقت دارد. برای نمونه، خواص پیش‌بینی شده برای عنصر اکاسیلیسیم و خواص آن پس از کشف، برای مقایسه در جدول ۵-۸ گردآوری شده است، قابل توجه است که برخلاف سه عنصر گالیم، اسکاندیم و ژرمانیم که در حیات مندلیف***** کشف شده بودند، عناصر متعلق به خاندهای خالی دیگر، بعد از مرگ وی و به فاصله زمانی نسبتاً طولانی کشف و یا به روش واکنشهای هستدای سنتز شده‌اند. مثلاً عنصر مر بوط بد خانه ۷۵ (دوی منگنز) در سال ۱۹۲۵ توسعه نوداک^۳ و همکارانش کشف ورنیم نام گرفت، عنصر مر بوط بد خانه ۴۳ (اکامنگنز) که در طبیعت نایاب است (زیرا زمان نیم عمر پایدارترین ایزوتوپ آن حدود ۱۰۵ سال است) اولین بار مقدار بسیار کمی از آن توسط پیر^۴ و سکرگه^۵ در سال ۱۹۳۷ از طریق واکنش هستدای زیر منتشر شد و اصولاً بر همین اساس نام تکنسیم (به معنی سنتزی) را برای آن انتخاب کردند (زیرا اولین عنصری است که از طریق سنتز هستدای به دست آمده است) :

*. ۱) *Eka* (پهنه‌عنی اول یا اولین و دوی (*Dii*) به معنی دوم و یا دومین؛ واژه‌هایی از زبان سانسکریت‌اند (اکا را مجازاً، می‌توان شبیه، معنی کرد)

۱) *Boibaudran*

۲) *Nilson*

۳) *Winkler*

** از نام لاتینی سرزمین فرانسه یعنی *Gaul* یا *Gallia*

*** از نام شبه‌جزیره اسکاندیناوی که کشور سوئد در آن قرار دارد.

**** از نام سرزمین آلمان یعنی *Germany*

***** مندلیف در سال ۱۹۰۷ درگذشت.

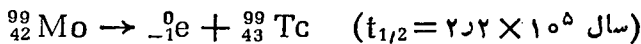
۴) *Noddack*

۵) *Pierre*

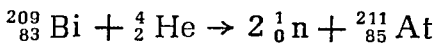
۶) *Segre*

جدول ۸-۵ مقایسه خواص اکاسیلیسیم (E – Si) با خواص آن پس از کشف (Ge)

پذیرفته شده	تعیین شده برای GC توسط وینکلر در سال ۱۸۸۶	پیش‌بینی شده برای E-Si توسط‌مندلیف در سال ۱۸۷۱	خواص
سفید مایل به آبی	سفید مایل بدآبی	خاکستری تیره	رنگ
۷۲۰۵۹	۷۲۰۳۲	۷۲	جرم اتمی
۵۰۳۵	۵۰۴۷	۵۰۵	جرم حجمی (g/cm³)
۱۳۰۵	۱۳۰۲۲	۱۳	حجم مولی (cm³/mol)
۰۰۵۷۴	۰۰۵۷۶	۰۰۵۷۳	گرمای ویژه (cal/g.deg)
۴	۴	۴	ظرفیت شیمیایی
در NaOH و HCl رقیق حل نمی‌شود ولی غلیظ بر آن اثر دارد	در NaOH و HCl رقیق حل نمی‌شود ولی غلیظ بر آن اثر می‌کند	بدستختی در HCl حل اسیده‌ها بازها می‌شود ولی بر آن اثری ندارد	واکنش با اسیده‌ها بازها
۴۰۲۲۸	۴۰۷۰۳	۴۰۷	جرم ویژه دی اکسید (g/cm³)
۱۰۸۴۴۳	۱۰۸۸۷	۱۰۹	جرم ویژه تتراکلرید (g/cm³)
۸۴	۸۶	۱۰۰	دمای جوش تتراکلرید (°C)



و یا عنصرخانه ۸۵ یعنی استاتین در سال ۱۹۴۵ توسط کودسون^۱ و همکارانش از طریق واکنش هسته‌ای زیر سنتز شد:



۱۲-۵ فارساییهای جدول مندلیف

باید توجه داشت که جدول تناوبی با وجود تحولی که در علم شیمی به ویژه در شیمی عمومی و مطالعه خواص عناصر و ترکیبات آنها به وجود آورده بود، در چند مورد دارای ابهام و نارسانی بود. از جمله:

— مکان هیدروژن در آن به طور دقیق روشن نبود، به طوری که گاهی در بالای ستون اول، گاهی در بالای ستون هفتم و گاهی در وسط سطر اول جدول به عنوان خاتم‌داده تک‌عنصری، جای داده می‌شد.

— نیکل و کبالت که جرم اتمی بسیار نزدیک بهم (با تفاوت ۲۱ ره واحد اتمی جرم) دارند، دارای خواص شیمیایی نسبتاً متفاوتی اند (مثلاً نیکل تمايل بیشتری به تشکیل کمپلکس‌های مربعی دارد و یا پایدارترین عدد اکسایش آن $+4$ است. در صورتی که کبالت در حالت اکسایش $+3$ ترکیبات پایدارتری می‌دهد). چون مندلیف جرم اتمی عناصر را مبنای طبقه‌بندی و تغییر خواص آنها قرار داده بود، بر این اساس انتظار می‌رفت این دو عنصر که جرم اتمی تقریباً برابر دارند، خواص کاملاً مشابهی داشته باشند.

— به علاوه، مندلیف در دو مورد عنصر را برخلاف ترتیب صعودی جرم اتمی آنها (که آن را اساس طبقه‌بندی در نظر گرفته بود) به نیال یکدیگر قرار داد. یعنی کبالت (با جرم اتمی ۵۸۹۹۳) را قبل از نیکل (با جرم اتمی ۵۸۷۲۱) و تلور (با جرم اتمی ۶۲۷۰) را قبل از ید (با جرم اتمی ۱۲۶۶۹) قرارداد (این وضعیت در مورد آرگون با جرم اتمی ۳۹۹۵۵ و پتانسیم با جرم اتمی ۳۹۱۱ به چشم می‌خورد ولی چون آرگون در موقع تنظیم جدول و حتی حدود ۲۵ سال بعد از انتشار آن شناخته نشده بود، جزو ایرادهای جدول مندلیف محسوب نمی‌شود).

— در مورد چند عنصر سنگین آخر جدول که امروزه در سری لانتانیدها و یا آکتینینیدها جای دارند، مندلیف چار لغزشایی شد. زیرا تعداد این عناصر در آن زمان بسیار کم بود و سریهای لانتانید و آکتینینید به هنگام انتشار جدول ناشناخته بودند. مثلاً از عناصر سری لانتانید

فقط اولین، هشتمین و یازدهمین عنصر تا سال ۱۸۷۱ شناخته شده بود که عبارتنداز سریم، تربیم و اربیم.^{*}

آکتینیم و عناصر سری آکتینیدها (غیر از دو عنصر از این سری یعنی اولین و سومین عنصر) هنوز شناخته نشده بودند. این دو عنصر سری آکتینیدها عبارت بودند از توریم که در سال ۱۸۲۸ توسط برزلیوس و اورانیم که در سال ۱۷۸۳ توسط کلارپروت^۱ کشف شد.

مندلیف این عناصر را بر اساس تشابه برخی از خواص آنها با عناصر فرعی، در پایین ستونهای جدول، در گروههای فرعی پیش کرد. مثلاً اربیم را در گروه سوم، سریم و توریم را در گروه چهارم و اورانیم را در گروه ششم جای داده بود. حتی دیسپروزیم (نهمین عنصر سری لانتانید که در سال ۱۸۸۶ کشف شد) را مانند اربیم در گروه سوم قرارداد (به جدول ۶-۵ و ۷-۵ رجوع شود).

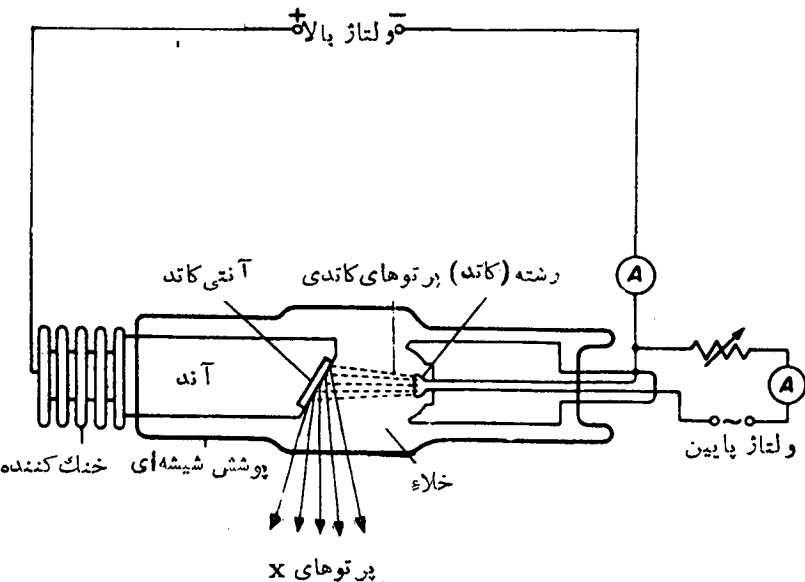
با پیشرفت زمان و کشف و یا استز عناصر جدید و بررسی دقیق خواص آنها و در نظر گرفتن سریهای لانتانید و آکتینید و نیز با کشف مفهوم واقعی عدد اتمی توسط موذلی^۲ و انتخاب آن به عنوان مبنای طبقه‌بندی عناصر به جای چرم اتمی آنها، ایرادهایی که بر جدول مندلیف وارد بود بر طرف شد. با توجه به اینکه بررسیها و پژوهش‌های موزلی در این زمینه بر اساس طیف پرتوهای X عناصر، صورت گرفته بود. از این‌رو، قبل از بررسی کارهای موزلی، مروری بر چگونگی تشکیل پرتوهای X ، طیف این پرتوها و ویژگیهای آن ضرورت دارد.

۱۳-۵ پرتوهای X عناصر - کشف عدد اتمی عناصر توسط موزلی

پرتوهای مجهول یا پرتوهای X ، حدود ۲۴ سال پس از انتشار جدول تناوبی مندلیف (یعنی در سال ۱۸۹۵) توسط (ونتلگن^۳، فیزیکدان آلمانی، ضمن بررسی تخلیه الکتریکی درون گازها در فشار کم، کشف شد. این پرتوها که بخشی از تابشهای الکترو-مغناطیسی (بین تابشهای فرآیند و تابشهای گاما) را تشکیل می‌دهد، طول موجهای بسیار کوتاهی در حدود ۱۰۰ تا ۱۰۵ آنگستروم دارند و برای تولید آنها، از دستگاههایی که متدولترین آنها دستگاه کولیچ^۴ است، استفاده می‌شود. ذرات شتاب یافته، به ویژه الکترونها (به صورت پرتوهای کاتدی) بر عنصر جامد مورد نظر (ویا یکی از ترکیبات جامد آن) که بر روی آنتی کاتد دستگاه مطابق شکل ۵-۵ قرار داده می‌شود، تابانیده شده و موجب تابش پرتوهای X توسط آن عنصر می‌شود.

* سریم در سال ۱۸۵۳، تربیم و اربیم در سال ۱۸۶۳ کشف شدند

^۱) Klaproth ^{۲)} Moseley ^{۳)} Röntgen ^{۴)} Coolidge



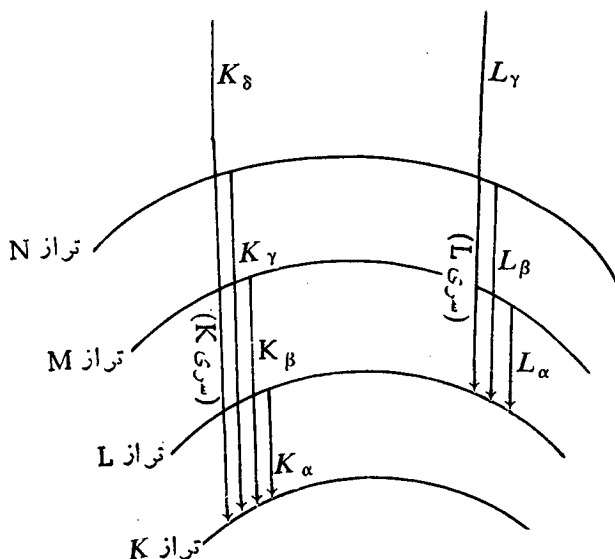
شکل ۵-۵ طرح دستگاه ایجاد پرتوهای X

اصلًاً منشاء تولید این پرتوها، کنده شدن الکترون از ترازهای انرژی داخلی در اتمهای عناصر سنگین است. بدین ترتیب که وقتی انرژی تابشایی باطول موج بسیار کوتاه نظیر پرتوهای کاتدی نوسط اتم عناصر سنگین جذب می‌شود، موجب کنده شدن الکترون از تراز انرژی نزدیک به هسته (لایه K و یا لایه L) در آن می‌شود. سقوط الکترون از ترازهای انرژی بالاتر به جای الکترونی که از اتم خارج شده است. موجب انتشار تابشایی باطول موج بسیار کوتاه که همان پرتوهای X عنصر مورد بررسی است، توسط آن اتم می‌شود. بررسیها یی که بر روی طیف پرتوهای X عناصر، صورت گرفت نشان داده است که این طیفها دو نوعند:

الف) طیف پیوسته که زمینه اصلی طیف پرتوهای X عناصر را تشکیل می‌دهد و وضعیت آن به ماهیت عنصر مورد مطالعه بستگی ندارد. از این‌رو، از نظر بررسی خواص عناصر

دارای اهمیت و کاربردی نیست. زیرا عمدتاً بهمیز انرژی تابشی که بر عنصر مورد بررسی در آنکه کاتد تا بانیله می‌شود، زاویه تابشی و ویژگیهای دستگاه وابسته است.

(ب) طیف ناپیوسته یا طیف خطی پرتوهای X عناصر که به صورت مجموعه‌ای از خطوط معین بر روی زمینه طیف پیوسته ظاهر می‌شود و کاملاً^۱ به جنس عنصر مورد مطالعه بستگی دارد و جزو ویژگیهای ساختار الکترونی و ترازهای انرژی اتم آن است. از این‌رو، گاهی آن را طیف اختصاصی پرتوهای X عناصر نیز می‌نامند. بررسیهای دقیقی که بر روی خواص جذبی طیف اختصاصی پرتوهای X عناصر توسط بارکلا^۲ و سدلر^۳ در سال ۱۹۰۸ صورت گرفته بود، نشان داد که این بهش از طیف پرتوهای X عناصر را می‌توان به دوسری مشخص از خطوط طیفی تقسیم کرد. همان‌طور که در شکل ۵-۶ نشان داده شده است، یک



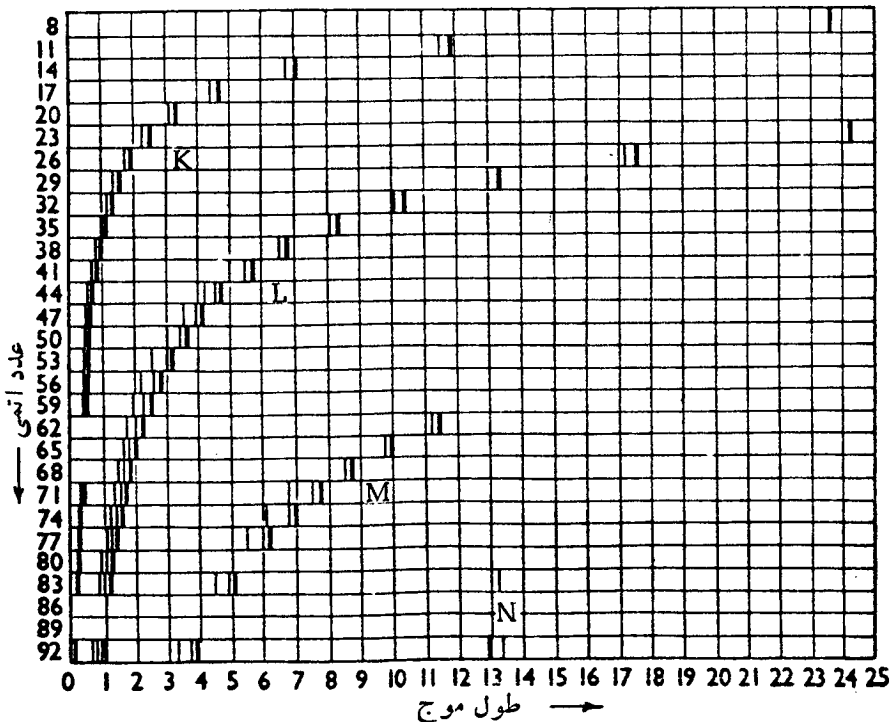
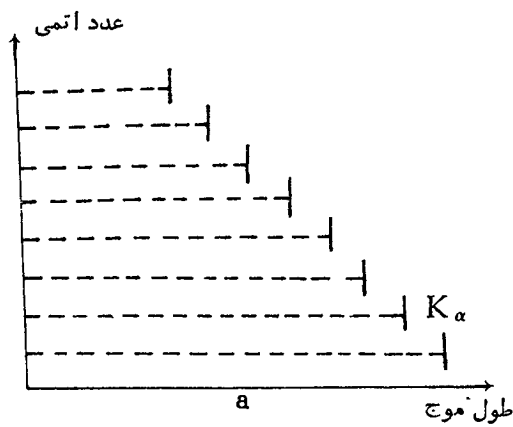
شکل ۵-۶ طرح پیدایش خطوط طیفی پرتوهای X عناصر

۱) Barkla

۲) Sadler

سری از این خطوط که به طول موجهای کوتاهتر و تابهایی با انرژی و قدرت نفوذ بیشتر مربوطند (به همین لحاظ پرتوهای X سخت نامیده می‌شوند) به جاداشدن الکترون از لایه K و خارج شدن آن از اتم و سقوط الکترون از لایه‌های بالاتر به این لایه مربوطند. از این رو، به خطوط سری K موسومند و با زیروندهای، آلفا، بتا، گاما، و دلتا و.... مشخص می‌شوند. سری دیگر از این خطوط که به طول موجهای بلندتر و تابهایی با انرژی و قدرت نفوذ کمتر مربوطند (به همین لحاظ پرتوهای X نرم نامیده می‌شوند) به جاداشدن الکترون از لایه L و خارج شدن آن از اتم و سقوط الکترون از لایه‌های بالاتر به این لایه مربوطند. از این رو، خطوط سری L نامیده می‌شوند که مانند خطوط سری K به ترتیب با زیروندهای آلفا، بتا، گاما و... مشخص می‌شوند. با توجه به ترازهای فرعی انرژی، هرسری از خطوط طیفی را با زیروندهای عددی (اعداد رومی) نیز مشخص می‌کنند. مانند سریهای L_I ، L_{II} ، L_{III} و غیره.

موزلی در سال ۱۹۱۳ (یعنی همان‌سالی که بوهر نظریه اتمی خود را انتشارداده بود) با استفاده از طیف سنجی که برآگ^۱ ابداع کرده بود، طیف اختصاصی پرتوهای X بسیاری از عناصر (از آلومینیم تانقره) را بادقت زیادی مورد مطالعه قرارداده و دریافت که اصولاً طیف خطی پرتوهای X عناصر از انواع دیگر طیفها مثلاً طیفهای نشري اتم و یا طیفهای جذبی مولکولی بسیار ساده‌ترند و همان‌طور که بار کلا و سدلر نظر داده بودند، شامل دوسری متمایز از خطوط طیفی است. وی با عکسبرداری از طیف پرتوهای X عناصر و ظاهر کردن آنها و بررسی دقیق طیف اختصاصی و هر یک از دوسری خطوط طیفی آن در عناصر مورد مطالعه به ویژه موقعیت آنها در طیف، دریافته بود که وضعیت کلی هرسری در تمام عناصر یکسان است و فقط از عنصری به عنصر دیگر، هر خط طیفی مشخص از هر سری، به اندازه معینی در طیف جا بجا می‌شود. به طوری که اگر این عناصر را به ترتیب شماره‌خانه آنها در جدول تناوبی (که در آن زمان عدد عنصر در جدول یا عدد اتمی آن نامیده می‌شد) در نظر بگیریم و خط طیفی مشخصی مثلاً خط a (K) بیشترین شدت را در این سری دارد) مورد توجه قراردهیم، مطابق شکل ۷-۵ (a و b) مشاهده خواهیم کرد که از عنصری به عنصر بعدی، محل این خط در مقیاس طول موج دستگاه طیف نما، به اندازه معینی، به سمت طول موجهای کوتاهتر، جا بجا می‌شود. قابل توجه است که این پدیده «قانون جا بجای هولزی» نام‌گرفته است. موزلی تلاش کرده بود تارابه بین شماره‌خانه عنصر در جدول تناوبی و محل هر خط طیفی پرتوهای X آن را دریابد، از این رو، بررسیهای دقیقی انجام داد و سرانجام دریافت که جذر



شکل ۷-۵ (a) نماینده جای خطا طیفی K_{α} عناصر نسبت به عدد اتمی، (b) نمودار تغییرات طول موج خطوط طیفی K، L و M پرتوهای X تعدادی از عناصر.

فرکانس هر خط طیفی از هر عنصر تابعی خطی از عدد اتمی آن، بر طبق معادله ۵-۲ است که به معادله موزلی موسوم است:

$$\sqrt{v} = a(Z-\sigma) \quad (2-5)$$

اگر فرکانس خط طیفی مشخص از پرتوهای X یک عنصر، Z شماره خانه عنصر در جدول تناوبی، a و σ اعداد ثابتی اند که به جنس عنصر موردنظر مطابق ندارد بلکه در مورد تمام عناصر، برای هر خط طیفی مشخص مقدار مشخصی دارد. مثلاً "برای خط طیفی K " تمام عناصر مقدار a برابر $s^{-1/2} \times 10^7$ و مقدار σ تقریباً برابر واحد است. موزلی با توجه به اینکه از هر عنصری به عنصر بعدی، طول موج هر خط طیفی معین از پرتوهای X کوتاهتر می‌شود، به بیانی دیگر فوتونهای X که تابش می‌شود، دارای انرژی بیشتری است و این رویداد نشانه آن است که برای جدا کردن الکترون از لایه‌های درونی اتم به انرژی بیشتری نیاز دارد. با این نتیجه رسیده بود که از عنصری به عنصر بعدی در جدول تناوبی، بر مقدار بارمثبت هسته اتم و در نتیجه، بر مقدار نیروی جاذبه الکتروستاتیکی بین هسته و الکترون افزوده می‌شود. چون همان طور که اشاره شد، در آن زمان نظریه‌ایم بوهر انتشار یافته بود، موزلی با بررسی رابطه بین فرکانس خطوط طیف نشی اتمهای چند الکترونی و بارمثبت هسته اتم که بر اساس نظریه بوهر به دست آمده بود (یعنی رابطه ۲-۱۷) این رابطه را به صورت زیر تنظیم کرد:

$$v = \frac{2\pi^2 \bar{m} e^4}{h^3} \left(\frac{1}{n_1^2} - \frac{1}{n_2^2} \right) (Z-\sigma)^2 \quad (3-5)$$

یادآوری می‌شود که در این رابطه \bar{m} جرم کاوش یافه الکترون هسته، Z تعداد واحدهای بار مثبت یعنی تعداد پروتونهای هسته اتم و σ ثابت پوششی الکترونها است (به بخش ۴-۳ درج شود). با توجه به اینکه غیر از مقادیر Z ، σ و v بقیه پارامترهای رابطه فوق مقادیر ثابتی اند، موزلی آنها را با a^2 نشان داده و این رابطه را به صورت ساده زیر نوشت:

$$v = a^2 (Z-\sigma)^2$$

$$\sqrt{v} = a (Z-\sigma)$$

این همان رابطه ۵-۲ است که خود موزلی از طریق تجزیه به دست آورده بود. بدین ترتیب ثابت کرد آنچه که بوهر به عنوان بارمثبت هسته و یا تعداد پروتونهای اتم هر عنصر در نظر گرفته بود، دقیقاً با شماره خانه آن عنصر در جدول تناوبی که به عدد اتمی آن عنصر موسوم شده بود، مطابقت دارد. از این‌رو، مفهوم عدد اتمی عنصر را نه به معنی شماره خانه آن در

جدول تناوبی، بلکه به معنی تعداد پرتوهای موجود در اتم آن، یعنی به همان مفهومی که امروزه متداول است، تغییر داد. بدین ترتیب موزلی از طریق بررسی طیف اختصاصی پرتوهای X عناصر، توانست عدد اتمی دقیق آنها را حساب کند. برای روشن شدن مطلب به حل تمرینی می‌پردازم.

تمرین ۳-۵

ضمن بررسی طیف پرتوهای X ، عنصری مشاهده شده است که خط طیفی K آن در دستگاه طیف‌نما، در مقابل عدد ۴۶۵۰ آنگستروم بردی مقیاس طول موج آن، قرار می‌گیرد. عدد اتمی این عنصر را حساب کنید.

حل :

$$\lambda = ۰.۵۶۴ \times 10^{-8} \text{ cm}$$

$$\nu = \frac{c}{\lambda} = \frac{۲۹۹۷۹ \times 10^{10} \text{ cm/s}}{۰.۵۶۴ \text{ Å}} \times \frac{1 \text{ Å}}{10^{-8} \text{ cm}} = ۵.۳۲ \times 10^{18} \text{ s}^{-1}$$

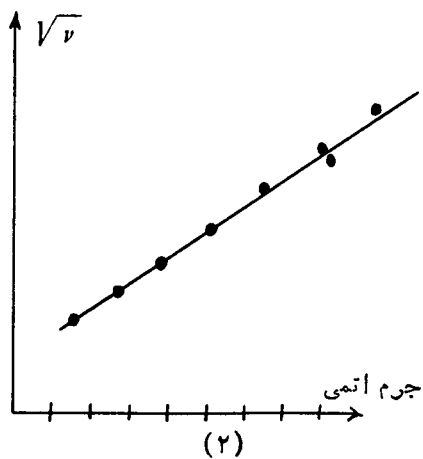
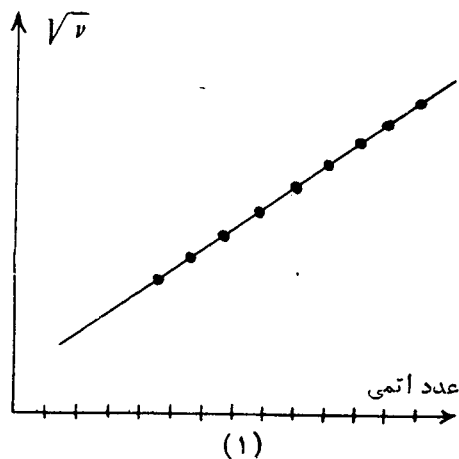
$$\sqrt{\nu} = a(Z-\sigma)$$

$$2.31 \times 10^9 \text{ s}^{-1/2} = 5 \times 10^7 \text{ s}^{-1/2} (Z-1) \Rightarrow Z = 45$$

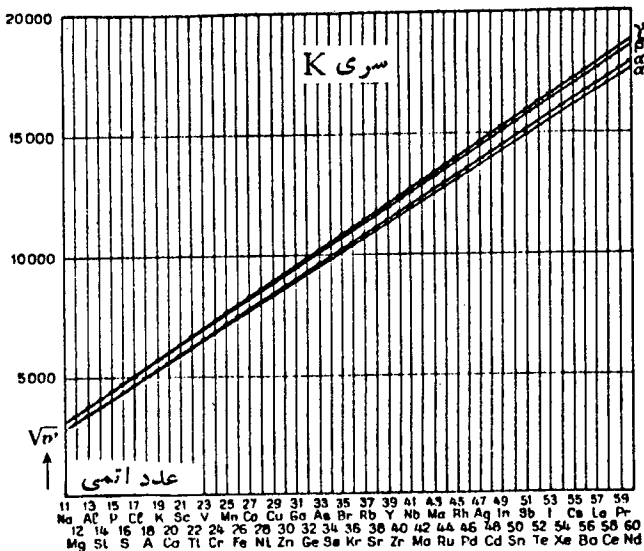
۳-۶ تغییر مبنای طبقه‌بندی عناصر

موزلی با تعیین عدد اتمی عناصر و فرکانس خطوط طیفی پرتوهای X آنها و تیز در دست داشتن جرم اتمی عناصر، به بررسی روند تغییرات چذر فرکانس خطوط طیفی پرتوهای X عناصر نسبت به جرم اتمی و نسبت به عدد اتمی آنها پرداخت و سرانجام دریافت همان طور که در شکل ۳-۵ نشان داده شده است، تغییرات $\sqrt{\nu/RH}$ برای خطوط طیفی پرتوهای X عناصر که یک خاصیت بنیادی اتم است، نسبت به عدد اتمی باروندی کاملاً منظم ولی نسبت به جرم اتمی با روندی که با بی‌نظمیهای همراه است، تغییر می‌کند. در شکل ۳-۶ نمودار تغییرات $\sqrt{\nu/RH} = \sqrt{\nu} / K$ خطوط طیفی K_{α} ، K_{β} ، K_{γ} و K_{δ} نسبت به عدد اتمی در مورد چندین عنصر نشان داده شده است.

بر اساس این نتیجه‌گیری بسیار مهم، موزلی پی‌برده بود که عدد اتمی هر عنصر نسبت به جرم اتمی آن، خاصیتی بنیادی تر است و ملاک دقيقتری برای توجیه روند تغییرات تدریجی



شکل ۸-۵ نمودار تغییرات $\sqrt{v/RH}$ پرای خطوط طیفی پروتوهای X عناصر نسبت به عدد اتمی (۱) و نسبت به جرم اتمی (۲) آنها



شکل ۹-۵ نمودار تغییرات $\sqrt{v/RH} = \sqrt{v/V_n}$ خطوط طیفی K_δ ، K_γ ، K_β و K_α نسبت به عدد اتمی عناصر

خواص عناصر در دوره‌های جدول تناوبی و... است، از این‌دو، پیشنهاد کرد که باید به جای جرم‌اتمی عناصر، عدد اتمی آنها مبنای طبقه‌بندی قرار گیرد.

بدین ترتیب ایرادی که در مرور دترتیب قرار گرفتن آرگون و پتاسیم، کبات و نیکل، تلور وید بر جدول تناوبی وارد بود کاملاً بر طرف شد. زیرا عدد اتمی کبات (۲۷) یک واحد کوچکتر از عدد اتمی نیکل (۲۸)، عدد اتمی آرگن (۱۸) یک واحد کوچکتر از عدد اتمی پتاسیم (۱۹) و عدد اتمی تلور (۵۲) یک واحد کوچکتر از عدد اتمی ید (۵۳) است. یعنی این عناصر دقیقاً به ترتیب صعودی عدد اتمی خود، در جدول قرار دارند. دیگر، پرششهایی از جمله چراکبات با وجود اینکه جرم‌اتمی آن به نیکل نزدیک است، خواصی متمایز از نیکل دارد و یا با وجود اینکه آرگن سنگینتر از پتاسیم است، قبل از آن در جدول قرار دارد، مفهومی ندارد.

قابل توجه است که اگرچه همگان عدد اتمی را به عنوان مبنای طبقه‌بندی عناصر قبول دارند، اما جدول تناوبی امروزه بر همین اساس ولی به دوشکل کاملاً متمایز متدائل است. زیرا در کشورهای بلوک شرق (شاید به لحاظ تعبیی که نسبت به مندلیف دارند) هنوز همان صورت قبلی آن را مطابق جدول ۹-۵ یعنی بدون جدا کردن گروههای اصلی و فرعی عناصر

جدول ۹-۵ جدول تناوبی (کامل شده) مندلیف

		گروه															
نمره	نام	I. a b		II. a b		III. a b		IV. a b		V. a b		VI. a b		VII. a b		VIII. a (c) b	
		نام	نمره	نام	نمره	نام	نمره	نام	نمره	نام	نمره	نام	نمره	نام	نمره		
I	H 1														He 2		
2	Li 3	Be 4		B 5		C 6		N 7		O 8		F 9			Ne 10		
3	Na 11	Mg 12		Al 13		Si 14		P 15		S 16		Cl 17			A 18		
4	K 19	Ca 20	Sc 21	Ti 22	V 23	Cr 24	Mn 25	Fe 26	Co 27	Ni 28					Kr 36		
5	Cu 29	Zn 30	Ga 31	Ge 32	As 33	Se 34	Br 35	Ru 44	Rh 45	Pd 46					Xe 54		
6	Rb 37	Sr 38	Y 39	Zr 40	Nb 41	Mo 42	Tc 43	I 53									
7	Ag 47	Cd 48	In 49	Sn 50	Sb 51	Te 52											
8	Cs 55	Ba 56	Rare Earths 57-71	Hf 72	Ta 73	W 74	Re 75	Os 76	Ir 77	Pt 78					Rn 86		
9	Au 79	Hg 80	Tl 81	Pb 82	Bi 83	Po 84	At 85										
10	Fr 87	Ra 88	Ac 89	Th 90	Pa 91	U 92											

جدول ۱۰-۵ شکل طویل جدول تناوبی

۲۳۶ طبقه‌بندی عناصر - ...

The diagram illustrates the long-form periodic table with several key features:

- Groups:** Groups are labeled with Roman numerals (1A, 2A, 3A, 4A, 5A, 6A, 7A, 8A) and letters (P, C, I, O, S, d, s).
- Periods:** Periods are labeled with numbers 1 through 18.
- Special Regions:**
 - Nonmetals:** Labeled "فلزهای قابلی" (Nonmetals) and "وکیلای خاکی" (Metalloids).
 - Metals:** Labeled "فلزهای گروههای اصلی" (Main group metals) and "فلزهای واسطه" (Transition metals).
 - Postmetals:** Labeled "شبه فلزها" (Postmetals).
 - Actinides:** Labeled "دھنرهای گروههای اضافی" (Actinides).
 - Postactinides:** Labeled "غیر فلزها" (Postactinides).
- Elements:** Elements are represented by their symbols and atomic numbers. Notable elements include H, He, Li, Be, Na, Mg, Al, Si, Ge, As, Se, Br, Kr, Ca, Sc, Ti, V, Cr, Mn, Fe, Co, Ni, Cu, Zn, Ga, In, Sn, Sb, Te, I, Xe, Rb, Sr, Y, Zr, Nb, Mo, Tc, Ru, Rh, Pd, Ag, Cd, Po, At, Cs, Ba, La, Hf, Ta, W, Re, Os, Ir, Pt, Au, Hg, Tl, Pb, Bi, Rn, Fr, Ra, Ac, Rf, Ha, and Th.

حفظ کرده‌اند ولی در کشورهای بلوک غرب نحوه تنظیم گروهها را تغییر داده و با جدا کردن عناصر فرعی (عناصر واسطه) از عناصر اصلی، در ۱۸ ستون جدا گانه (به جدول ۵-۱۰) رجوع شود) به صورت جدیدی (شکل طوبیل) به کار می‌برند که در کتابهای درسی، نیز منتداول است.

۱۵-۵ عناصر بعداز اورانیم (یا عناصر ترانس اورانیم)

می‌دانیم که آخرین عنصر جدول تناوبی که در طبیعت (به صورت ترکیب) یافت می‌شود، عنصر ۹۲ یعنی اورانیم است که عنصر دوره هفتم و از سری آکتینیدها است. اصولاً عناصر سنگین از بیسموت (^{83}Bi) تا اورانیم دارای ایزوتوپهای رادیوآکتیو طبیعی پایدارند. عناصر بعد از اورانیم یعنی از پتوفنیم به بعد را اصطلاحاً عناصر ترانس اورانیم می‌نامند که همگی سیار ناپایدار و رادیوآکتیوند و حتی زمان نیم عمر پایدارترین ایزوتوپ آنها به حدی کوتاه است که نمی‌تواند در طبیعت وجود داشته و قابل تشخیص باشد. البته دو عنصر نسبتاً سبک یعنی تکنسیم (^{43}Tc) و پرومیم (^{81}Pm) برخلاف معمول، فقط دارای رادیو ایزوتوپهایی با زمان نیم عمر بسیار کوثر است، به طوری که تقریباً در طبیعت نمایند. از این‌رو، آنها را باید از طریق واکنشهای هسته‌ای سنتز کرد. درین این عناصر که امروزه تعداد آنها به ۱۷ رسیده است، عناصر ۹۳ تا ۱۰۵ رسماً نامگذاری شده و برای آنها نشانه‌های شیمیابی معین شده است. اما برای عناصر بعدی هنوز نام و یا نشانه شیمیابی اعلام نشده است.

البته با توجه به اینکه برخی از این عناصر هم در آزمایشگاههای تحقیقات هسته‌ای دو بنای ۱) شوروی و ۲) آلمان می‌باشند و هم در آزمایشگاههای تحقیقات هسته‌ای برکلی، آمریکا سنتز شده‌اند، دارای دونام و دونشانه شیمیابی متفاوتند، مثلاً عنصر ۱۰۴ را در منابع بلوک شرق کودچاتویم^۱ نامیده و با K_{11} نشان می‌دهند ولی در منابع بلوک غرب آن را دادرفوردیم^۲ نامیده و با Rd نشان می‌دهند. همچنین عنصر ۱۰۵ را نیلزبوهربیم^۳ (Ns) و یا هانیم^۴ (Ha) می‌نامند. تا عنصر ۱۰۳ (یعنی لودنسیم) جزء عناصر سری آکتینیدها نیست ولی عناصر بعدی جزء عناصر واسطه ۶d از دوره هفتم می‌باشند. عنصر ۱۰۶ مشابه هافیم (از دوره ششم) و عنصر ۱۰۵ مشابه تانتال (از دوره ششم) است. از این‌رو، به ترتیب در ذیر عناصر گروههای IVB و VB در جدول قرار دارند. با توجه به اینکه خواص عناصر ۱۰۶ و ۱۰۷ به ترتیب مشابه

۱) Dubna

۲) Bereckly

۳) Kurchatovium

۴) Rutherfordium

۵) Nilsbohrium

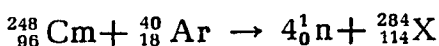
۶) Hanium

خواص تنگستن و دنیم (از دوره ششم) است. از این‌رو، به تقلید از مندلیف در منابع روسی آنها را به ترتیب اکاتنگستن ($E-W$) و اکارنیم ($E-Re$) نامیده‌اند (به جدول ۹-۵ رجوع شود)

قابل توجه است که از عنصر ۹۳ تا ۱۵۶ از طریق واکنشهای تبدیل هسته‌ای ولی از عنصر ۱۵۶ به بعد، از طریق واکنشهای همجوشی هسته‌ای سنتز شده‌اند. در جدول ۱۱-۵ خلاصه‌ای از اطلاعات مربوط به سنتز عناصر ترانس اورانیم گردآوری شده است.

۱۶-۵ بسط جدول تناوبی

باتوجه به ناپایداری فوق العاده زیاد عناصر ترانس اورانیم انتظار می‌رود که تعداد عناصر پاید در حدی که امروزه شناخته و سنتز شده‌اند، محدود شود و سنتز عناصر جدید عملی و مقدور نباشد. ولی قابل توجه است که بررسیها و محاسبات دقیقی که توسط دانشمندان و پژوهشگران فیزیک‌هسته‌ای صورت گرفت، براساس مدل لایه‌ای هسته، پیش‌بینی می‌شود که وقتی تعداد پروتونهای هسته اتم به ۱۱۴ و تعداد نوترونهای آن به ۱۸۴ که اعداد (جادویی) مازیک از نظر پایداری هسته محسوب می‌شوند، بررسد (یعنی در عنصر فرضی X_{114}^{298})، لایه‌جدیدی با آرایش پایدار از پروتونها و نوترونها، در هسته به وجود می‌آید و چنین عنصری کاملاً پایدار خواهد بود. البته در حال حاضر، سنتز چنین هسته فوق‌سنگینی امکان ندارد و وجود آن فرضی بیش نیست. زیرا اگرچه براساس واکنش‌های همجوشی هسته‌ای ذیر، سنتز عنصر ۱۱۴ ممکن به نظر می‌آید:



اما، باید توجه داشت که هسته آن ۱۴ نوترون کمتر از حد پایداری دارد. بدیهی است که می‌توان انتظار داشت عناصر طرفین عنصر ۱۱۴ یعنی عناصر ۱۱۳ و ۱۱۵ و ۱۱۶ نیز پایداری قابل توجهی داشته باشند و اصولاً خاصیت رادیواکتیوی قداشته و شکافت هسته‌ای حاصل نکنند.

سیبورگ^۱ براساس فرض فوق، دوره جدیدی (دوره هشتم) به جدول تناوبی اضافه کرده و تعداد عناصر ترانس اورانیم را تا عدد اتمی ۱۶۸ برای این دوره بیش‌بینی کرده است، همان‌طور که در جدول ۱۲-۵ نشان داده شده است. درین این عناصر تا عنصر ۱۱۲ جزء عناصر واسطه دسته $6d$ ، عناصر ۱۱۳ تا ۱۱۸ جزء عناصر اصلی دسته $7p$ دوره هفتم جدول تناوبی می‌باشند. عناصر ۱۱۹ و ۱۲۰ عناصر اصلی دسته $8s$ ، عنصر ۱۲۱ (سوپر‌آکتینیم)

جدول ۱۱-۵ برخی از اطلاعات مربوط به سنتز عناصر ترانس اورانیم

تاریخ سنتز	معادله واکنش هسته‌ای مربوط به سنتز عناصر	نام	نامه شیمیابی	عدد اتمی
۱۹۴۰	$^{238}\text{U} + \text{n} \rightarrow \gamma + ^{239}\text{U} \rightarrow \text{e}^- + ^{239}\text{Np}$	نپتونیم	Np	۹۳
«	$^{238}\text{U} + 2\text{n} \rightarrow 2\text{n} + ^{238}\text{Np} \rightarrow \text{e}^- + ^{239}\text{Pu}$	پلوتونیم	Pu	۹۴
۱۹۴۴	$^{239}\text{Pu} + 2\text{n} \rightarrow ^{241}\text{Pu} \rightarrow \text{e}^- + ^{241}\text{Am}$	امریسیم	Am	۹۵
«	$^{239}\text{Pu} + ^4\text{He} \rightarrow \text{n} + ^{242}\text{Cm}$	کوریم	Cm	۹۶
۱۹۴۹	$^{241}\text{Am} + ^4\text{He} \rightarrow 2\text{n} + ^{243}\text{Bk}$	برکلیم	Bk	۹۷
۱۹۵۰	$^{242}\text{Cm} + ^4\text{He} \rightarrow \text{n} + ^{245}\text{Cf}$	کالیفرنیم	Cf	۹۸
۱۹۵۲	$^{238}\text{U} + ^{14}\text{N} \rightarrow 6\text{n} + ^{246}\text{Es}$	اینشتینیم	Es	۹۹
۱۹۵۳	$^{238}\text{U} + ^{16}\text{O} \rightarrow 4\text{n} + ^{250}\text{Fm}$	فرمیم	Fm	۱۰۰
۱۹۵۵	$^{253}\text{Es} + ^4\text{He} \rightarrow \text{n} + ^{256}\text{Md}$	مندلویم	Md	۱۰۱
۱۹۶۱	$^{246}\text{Cm} + ^{12}\text{C} \rightarrow 4\text{n} + ^{254}\text{No}$	نوبلیم	No	۱۰۲
«	$^{249}\text{Cf} + ^{12}\text{C} \rightarrow 4\text{n} + ^{257}\text{Lr}$	لورنسیم	Lr	۱۰۳
۱۹۶۴	$^{242}\text{Pu} + ^{22}\text{Ne} \rightarrow 4\text{n} + ^{260}\text{Ku}$	کورچاتوفیم	Ku	۱۰۴
۱۹۷۰	$^{249}\text{Cf} + ^{15}\text{N} \rightarrow 4\text{n} + ^{260}\text{Ha}$	هانیم	Ha	۱۰۵
۱۹۸۲	$^{249}\text{Cf} + ^{18}\text{O} \rightarrow 4\text{n} + ^{263}(\text{E-W})$	اکاتنگکستان	E-W	۱۰۶
	$^{209}\text{Bi} + ^{54}_{24}\text{Cr} \rightarrow 2\text{n} + ^{311}(\text{E-Re})$	اکارنیم	E-Re	۱۰۷
	$^{208}\text{Pb} + ^{56}\text{Fe} \rightarrow ^{294}_{108}\text{X}$	—	—	۱۰۸

جدول ۱۲-۵ نمونه‌ای از جدول تناویی بسط داده شده سیبورگ

				s														
				p														
				d														
				f														
				g												f		
				سری لازنیا												سری سوپر آکتینییدها		
				57 La	58 Ce	59 Pr	60 Nd	61 Pm	62 Sm	63 Eu	64 Gd	65 Tb	66 Dy	67 Ho	68 Er	69 Tm	70 Yb	71 Lu
				89 Ac	90 Th	91 Pa	92 U	93 Np	94 Pu	95 Am	96 Cm	97 Bk	98 Cf	99 Es	100 Fm	101 Md	102 No	103 Lr
				121	122	123				139	140						153	

اولین عنصر دسته d ، عناصر ۱۲۲ تا ۱۵۳ (عناصر دسته g و f) سری سوپر آکتینیدها، عناصر ۱۵۴ تا ۱۶۲ عناصر واسطه دسته d و عناصر ۱۶۳ تا ۱۶۸ عناصر اصلی دسته p دوره هشتم جدول تناوبی را به پایان می‌رسانند.

۹۷-۵ بررسی ارتباط بین جدول تناوبی و ترازهای الکترونی عناصر - مفهوم دوره در جدول تناوبی

اصولاً مجموعه عناصری که تعداد لایه‌های الکترونی مجاز آنها، با یکدیگر برابر و عدد کوآنتموی اصلی لایه ظرفیت اتم آنها یکسان است، یک دوره را در جدول تناوبی تشکیل می‌دهند. مثلاً هیدروژن و هلیم در حالت پایه فقط یک لایه انرژی مجاز دارند (لایه K ، $n=1$). از این‌رو، دوره اول جدول تناوبی را تشکیل می‌دهند. همچنین مطابق شکل ۹۵-۵ هشت عنصر دیگر (لیتیم تا نون) چون هر یک دولایه الکترونی، مجاز دارند (لایه‌های K و L)، دوره‌دوم و هشت عنصر بعدی (سدیم تا آرگن) که هر یک سه‌لایه الکترونی مجاز دارند (لایه‌های K ، L ، M) دوره‌سوم جدول تناوبی را به وجود می‌آورند...

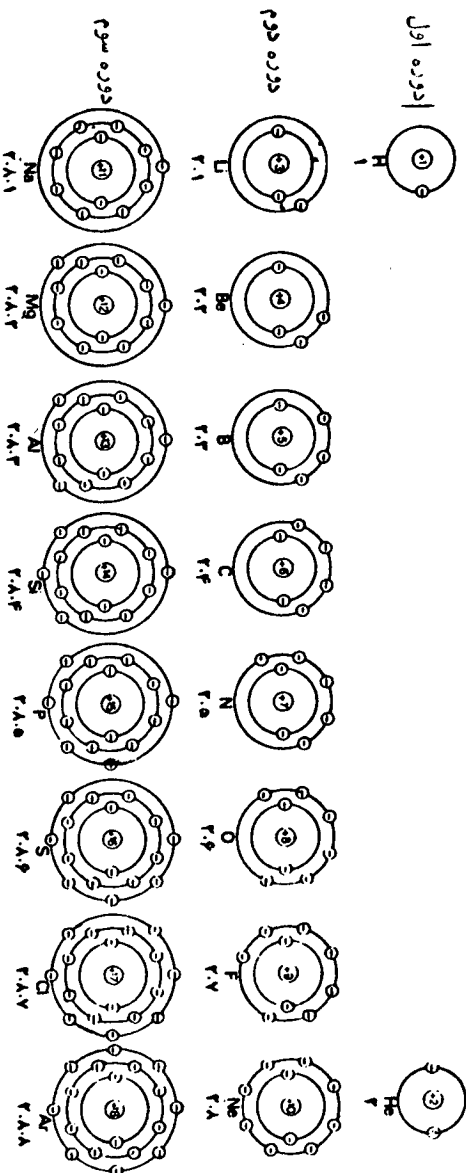
بخشی‌ای متمایز جدول

برای اینکه ارتباط جدول تناوبی با ترازهای انرژی اتم عناصر، بهتر درکشود، با توجه به شکل طویل جدول تناوبی، مطابق جدول ۱۳-۵ در ارتباط با ترازهای انرژی اتم، می‌توان جدول تناوبی عناصر را به چهار بخش کاملاً متمایز تقسیم کرد.

- بخش d شامل عناصر اصلی گروههای I و II (هیدروژن، فلزات قلیایی و قلیایی خاکی) است که الکترون متمایز کننده اتم آنها در تراز d لایه ظرفیت وارد می‌شود. همان‌طور که می‌دانیم این بخش غیراز هیدروژن شامل ۱۲ عنصر فلزی است که غیر از لیتیم و بریلیم، همگی جزء فلزات بسیار فعال محسوب می‌شوند.

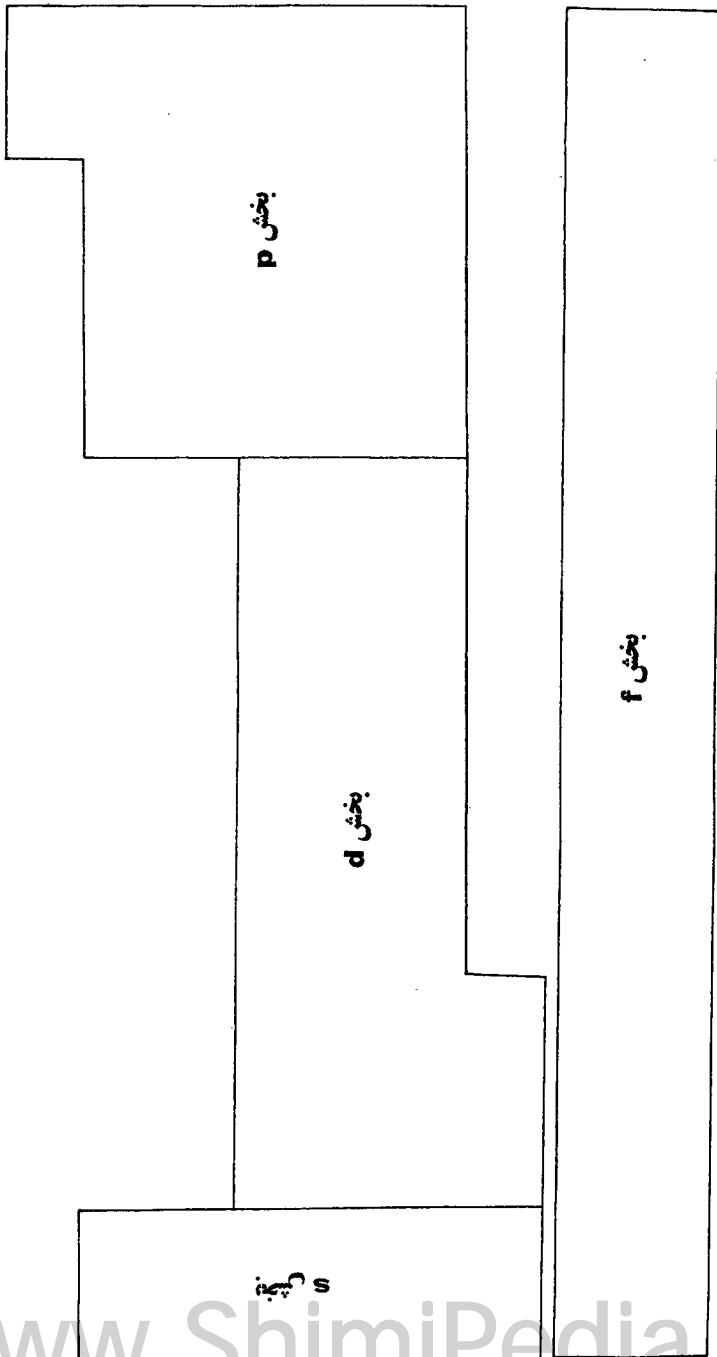
- بخش p شامل عناصر اصلی گروههای III تا VIII است که الکترون متمایز کننده اتم آنها در تراز p لایه ظرفیت وارد می‌شود. تعداد آنها در هر دوره عنصر است و چون عناصر دوره هفتم در این بخش هنوز کشف نشده‌اند، تعداد آنها ۳۵ عنصر است که شامل عناصر فلزی، و غیرفلزی ازجمله گازهای نجیب می‌باشد.

- بخش d شامل عناصر واسطه دسته d است که تراز d لایه ماقبل آخر آنها جزء لایه ظرفیت آنها بوده، در سطح انرژی پایین‌تری نسبت به ترازهای لایه ظرفیت قرار دارد. از این‌رو، الکترونها متمایز کننده اتم آنها به‌طور کلی، در این تراز از لایه ظرفیت وارد می‌شود. این عناصر، از دوره چهارم به بعد، بین دو بخش از عناصر اصلی (بخشی‌ای d و p) به تعداد ۱۰ عنصر در هر دوره از جدول تناوبی قرار دارند. چون هنوز سه عنصر واسطه آخر دوره هفتم



شکل ۱۵-۶ نمایش ارتاطل ویندوهای اولی از گروههای فلزات و نیمه‌فلزات: کلرینی عناصر

جدول ۵-۱۴ بخش‌های چهارگانه جدول تناوبی



سترن نشده است، این بخش ۳۷ عنصر واسطه را شامل می‌شود که همگی فلزند. بخش ۵ شامل دسته‌دیگری از عناصر واسطه است که اصطلاحاً «عناصر واسطه داخلی» نامیده می‌شوند، در آنها تراز f (2-n) جزء لایه ظرفیت (n) و ترازهای نسبتاً درونی است و در سطح انرژی باین ترتیب نسبت به ترازهای دیگر این لایه قرار دارد. از این رو، الکترونهای متمايز کننده اتم آنها در این تراز وارد می‌شوند. این بخش ۱۴ عنصر سری لantanیدها (یا عناصر خاکهای کمیاب که تراز f را پر می‌کنند) و ۱۴ عنصری سری آکتینیدها (که تراز f را پر می‌کنند)، یعنی در مجموع ۲۸ عنصر واسطه را شامل می‌شود که همگی فلزند و دارای ایزوتوپهای رادیواکتیونند و ۷ عنصر آخری این بخش، در طبیعت یافت نمی‌شوند.

طرح لانگت - هیگینس^{۱)}

با توجه به اینکه اصولاً تکرار تناوبی خواص عناصر، بر اساس آرایش الکترونی اتم آنها استوار است، بسیاری از اندیشمندان در این زمینه، تلاش کردند تا این ارتباط را به صورت گویا تری نشان دهند. تا اینکه لانگت و هیگینس جدول تناوبی را به صورت جدیدی مطابق جدول ۱۴-۵ تنظیم کرده و آن را در سال ۱۹۵۷ انتشار دادند. اهمیت این جدول در این است که نه تنها در آن روند تناوبی طبقه‌بندی عناصر حفظ می‌شود، بلکه بر روند پرشدن ترازهای الکترونی اتمها در ارتباط با ترتیب افزایش سطح انرژی این ترازها نیز تأکید شده است و به بهترین صورتی ارتباط خصلت تناوبی خواص عناصر را با آرایش الکترونی اتمها نشان می‌دهد.

۱۸-۵ مفهوم گروه در ارتباط با آرایش الکترونی - تشابه گروهی (عمودی)
 اصولاً عناصری که آرایش الکترونی لایه ظرفیت آنها یکسان است، یک گروه از عناصر را در جدول تناوبی تشکیل می‌دهند. چون خواص شیمیایی عناصر عمده‌تاً به آرایش الکترونی لایه ظرفیت آنها بستگی دارد، از این‌رو، عناصر هر گروه، خواص مشابهی با یکدیگر دارند (تشابه گروهی یا عمودی). براین اساس، عناصر اصلی و عناصر واسطه به هشت گروه تقسیم می‌شوند (البته گروه هشتم واسطه، خود به زیر گروههای آهن، کبات و نیکل تقسیم می‌شود). مثلاً در گروههای اصلی، به ترتیب لایه‌ظرفیت شامل ترازهای ns^1 (گروه I)، ns^2 (گروه II)، ns^2np^1 (III A)، ns^2np^2 (III B)، ns^2np^3 (IV A)، ns^2 (گروه IV B)،

جدول ۱۴۵ طرح لانگ - هیگینس در مورد ارتباط جدول تناوی با آرایش الکترونی

Fr Ra	7p	113	118
Tl Pb Bi Po At Rn	7s	104	112
Cs Ba	6p	Ac	6d
In Sn Sb Te I Xe	6s	Hf Ta W Re Os Ir Pt Au Hg	5f
Rb Sr	5p	La	5d
Ga Ge As Se Br Kr	5s	Y Zr Nb Mo Tc Ru Rh Pd Ag Cd	4f
K Ca	4p	Sc Ti V Cr Mn Fe Co Ni Cu Zn	4d
Al Si P S Cl Ar	4s	Ca Pr Nd Pm Sm Eu Gd Tb Dy Ho Er Tm Yb Lu	3d
Na Mg	3p		
B C N O F Ne	3s		
Li Be	2p		
H He	1s		

(گروه VA)، (گروه VIA) ns^2np^5 ، (گروه VIIA) ns^2np^6 و (گروه VIII) است.

البته در هر گروه اصلی معمولاً^۱ اولین عنصر به دلیل اینکه اندازه اتم آن بسیار کوچک است و به ویژه در مرور گروههای چهارم، پنجم و ششم (یعنی عناصر کربن، نیتروژن و اکسیژن)، تمايل شدیدی به تشکیل پیوندهای دوگانه و یا سه‌گانه $p\pi-p\pi$ دارد که در عناصر دیگر این گروهها متداول نیست.

در مرور عناصر واسطه، همان‌طور که مرور بررسی قرار گرفته است، در برخی از گروهها، آرایش الکترونی لا یه ظرفیت ممکن است که یکسان نباشد. مثلاً در مرور عناصر واسطه گروه ششم، آرایش الکترونی لا یه ظرفیت در اتم کروم به صورت $3d^54s^1$ ، در اتم مولیبدن به صورت $4d^55s^1$ و لی در عنصر آخر گروه یعنی تنگستن به صورت $5d^44s^2$ است و یا در مرور عناصر واسطه گروه هشتم، آرایش الکترونی لا یه ظرفیت در نیکل به صورت $5d^96s^2$ ، در اتم پالادیم به صورت $4d^{10}5s^0$ و در مرور اتم پلاتین به صورت $5d^86s^2$ است. ولی با وجود این تفاوت‌ها، تشابه بین عناصر در گروهها قابل توجه است، به ویژه در بین عناصر پایین تر گروهها. مثلاً در گروه IVB دو عنصر زیرکنیم و هافنیم به حدی با یکدیگر در خواص شیمیایی مشابه دارند که حتی در طبیعت نیز باهم در ترکیبات وجود دارند. به همین علت، استخراج و جدا کردن آنها از یکدیگر بسیار مشکل است. در مرور عناصر واسطه نیز تشابه بین عنصر سری اول و دوم، بدمراتب از تشابه بین عنصر سری دوم و سری سوم کمتر است. یعنی مثلاً در گروه هشتم تشابه بین نیکل و پالادیم از تشابه بین پالادیم و پلاتین خیلی کمتر است.

اگرچه وقتی از تشابه عناصر با یکدیگر صحبت می‌شود، تشابه خواص عناصر در گروهها مرد نظر است، ولی باید توجه داشت که بین عناصر در دوره‌ها نیز در بسیاری از موارد تشابه خواص وجود دارد (تشابه افقی) مثلاً در دوره چهارم، سه عنصر متواالی آهن، کبابات و نیکل هم از نظر شیمیایی وهم از نظر فیزیکی تشابه بیشتری با یکدیگر دارند تا با عناصر زیرین خود و یا در همین گروه، سه عنصر اسمیم، ایریدیم و پلاتین هم از نظر شیمیایی وهم از نظر فیزیکی فوق العاده با یکدیگر مشابه دارند. البته تشابه افقی بین عناصر واسطه دوره چهارم بیشتر است. زیرا الکترون متمايز کننده آنها در ترازهای $3d^3$ و $4d^5$ وارد می‌شوند که ترازی درونی است و نقش نسبتاً کمتری نسبت به ترازهای $4d^4$ و $5d^5$ (که نسبتاً سطحی‌اند) در خواص شیمیایی دارد. بر همین اساس، عناصر سری لantanید تشابه زیادی با یکدیگر دارند. در صورتی که این تشابه در مرور عناصر سری آکتینیید کمتر است. زیرا در عناصر سری لantanید، الکترون متمايز کننده اتمها در تراز $4f$ وارد می‌شود که بسیار درونی است. حال آنکه،

الكترون متمايز كننده اتم عناصر سري آكتينيد، در تراز f^5 وارد مي شود که نسبتاً بيرونی است و دخالت بيشتری در خواص شيميايی عناصر دارد.

دربورد عناصر دوره ها تشابه قابل توجهی وجود ندارد ولی در بین عناصر اصلی سمت چپ جدول نوعی تشابه به نام تشابه قطری بین عنصری از يك دوره و عنصر دیگری از دوره بعدی و گروه بعدی، وجود دارد. چنان تشابهی بین ليتيم و منيزيم، بريليم و آلومينيم، بوروسيليسيم چشمگير است و تاحدی نيز در دربورد سلسیم، کلسیم، پتانسیم و استرنسیم مشاهده شده است. علت وجود اين نوع تشابه بین دو عنصر را بازدیک بودن اندازه شعاعهای یونی آها می توان نسبت داد. مثلاً شعاع یون $+1$ برابر عرض و شعاع یون $+2$ برابر 65 درجه آنگستروم و به يكديگر بسيار نزديک است: همچنين نزديک بودن پتانسیل یونی (نسبت بار به شعاع یونی) دو عنصر را نيز می توان در تشابه قطری عناصر موثر دانست. مثلاً در مورد بريليم و آلومينيم، اندازه شعاع یونهای $+1$ و $+2$ برابر ترتيب برابر 31 و 55 درجه آنگستروم است که با يكديگر تفاوت نسبتاً زيادي دارند. اما پتانسیل یونی آنها که به ترتيب برابر 5 و 6 است، به يكديگر بسيار نزديک است و می توان از آن در توجيه تشابه خواص اين دو عنصر (تشابه قطری) استفاده کرد.

۱۹-۵ تعیین موقعیت عناصر در جدول تناوبی براساس آرایش الکترونی

براساس آرایش الکترونی هر عنصر، بر طبق قواعد زیر می توان معین کرد که آیا آن عنصر اصلی است یا واسطه و به کدام دوره یا گروه جدول تناوبی تعلق دارد؟

قاعده اول - تشخیص عنصر اصلی از واسطه

اگر در آرایش الکترونی عنصری، تراز d پر نباشد و یا اینکه تراز d ما قبل آخر پر باشد ولی تراز d لایه آخر، خالی و یا نیم پر باشد، آن عنصر واسطه و در غیر این صورت عنصری اصلی است.

قاعده دوم - تعیین دوره

دربورد عناصر اصلی و یا عناصر واسطه، عدد کوآنتمی اصلی بالاترین تراز انرژی که در حالت پایه، از الکترون اشغال شده است، همان شماره دوره‌ای از جدول تناوبی است که عنصر به آن تعلق دارد.

قاعده سوم - تعیین گروه عناصر اصلی

تعداد کل الکترونهای لایه ظرفیت (آخرین تراز اصلی) همان شماره گروه عنصر اصلی در جدول تناوبی است.

قاعده چهارم - تعیین گروه عناصر واسطه

اگر تعداد الکترونهای تراز ns و $(n-1)d$ (آخرین تراز اصلی) لایه ظرفیت عناصر واسطه را با هم جمع کرده و ۲ واحد از آن کم کنیم، عددی که بدست می‌آید (X)، شماره خانه عنصر واسطه را درسری مربوط نشان می‌دهد. برطبق جدول ۱۵-۵، با استفاده از اعدادی که برای X بدست می‌آید (از ۱ تا ۱۵) می‌توان گروه عناصر واسطه را معین کرد.

جدول ۱۵-۵ ارتباط X با شماره گروه عنصر واسطه

X	۱	۲	۳	۴	۵	۶ و ۷ و ۸	۹	۱۰
شماره گروه	IIIB	IVB	VB	VIB	VIIB	VIII B	IB	IIB

حال برای درک بهتر مطلب به حل دوتمرین می‌پردازیم:

تمرین ۴-۵

آرایش الکترونی عنصری به صورت $1s^2 2s^2 2p^6 3s^2 3p^6 3d^{10} 4s^1$ است. معلوم کنید که آیا این عنصر اصلی است یا واسطه، به کدام دوره و کدام گروه جدول تناوبی تعلق دارد؟

حل :

چون تراز $3d$ آن پر و تراز $4s$ آن نیم پر است، پس برطبق قاعده اول، این عنصر واسطه است. از طرفی، آخرین تراز از ۹ آن که توسط الکترون اشغال شده، تراز $4s$ است، پس برطبق قاعده دوم به دوره چهارم تعلق دارد. برای تعیین گروه آن باید برطبق قاعده چهارم عمل کرد :

با توجه به جدول ۱۵-۵ می‌توان دریافت که این عنصر واسطه در گروه IB جای دارد.

تمرین ۵-۵

آرایش الکترونی غنصری به صورت $5p^5 4s^2 3d^{10} 3p^6 2s^2 2p^6 3s^2$ است .
معلوم کنید که آیا این عنصر اصلی است یا واسطه ، به کدام دوره و به کدام گروه جدول تناوبی تعلق دارد ؟

حل :

چون هم تراز d و هم تراز s لایه ظرفیت آن پر است، پس بر طبق قاعده اول، عنصر اصلی است. از طرفی، آخرین ترازانرژی آن که توسط الکترون اشغال شده تراز m است، پس بر طبق قاعده دوم به دوره چهارم جدول تعلق دارد. با توجه به اینکه تعداد کل الکترونهای لایه ظرفیت آن برابر $7 + 5 = 2 + 5$ است. پس، بر طبق قاعده سوم، در گروه هفتم جدول تناوبی (گروه VII A) جای دارد.

فصل ششم

خواص بنیادی اتم

۱-۶ الکترونخواهی اتم

(الف) تعریف

الکترونخواهی اتم یکی از خواص بنیادی آن در حالت آزاد (حالت گازی) است که می‌توان آن را چنین تعریف کرد: الکترونخواهی اتم، یک نیم واکنش کاهش است که ضمن آن اتم گازی و خنثی در حالت پایه، الکترون جذب کرده و به یون منفی گازی در حالت پایه، مطابق واکنش زیر تبدیل می‌شود:



بدیهی است که این نیم واکنش بداولین الکترونخواهی اتم مر بوط است. می‌دانیم که اتمها، غالباً در لایه ظرفیت خود اور بیتان خالی و یا نیم پردارند. از این رو، دست کم، می‌توانند یک الکترون اضافی را در این لایه جای دهنند. البته، در مورد برخی از عناصر، اضافه شدن دو یا چند الکترون اضافی به لایه ظرفیت امکان پذیر است و در مورد آنها، باید الکترونخواهی هیهای متوالی را نیز در نظر گرفت.

قابل توجه است که برخلاف یونیزاسیون اتمها که همواره با جذب مقدار معینی انرژی صورت می‌گیرد، نیم واکنش اولین الکترونخواهی در مورد برخی از عناصر با آزادشدن و در مورد برخی دیگر با جذب شدن مقدار معینی از انرژی همراه است. ولی نیم واکنش دومین و یا سومین الکترونخواهی اتمها (حتی اتمهایی که نیم واکنش اولین الکترونخواهی آنها

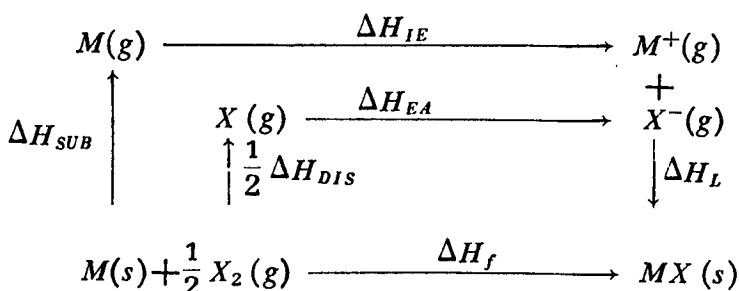
گرمایز است) با جذب مقادیر معینی از انرژی همراه است.

ب) انرژی الکترونخواهی

انرژی الکترونخواهی، مقدار انرژی است که ضمیم تبدیل اتم گازی خشی در حالت پایه به یون منفی گازی در همان حالت، بر اثر جذب الکترون، تبادل می‌شود. به بیانی دیگر، از لحاظ قدر مطلق برابر ΔH نیم واکنش کاهش اتم گازی و تبدیل آن به یون منفی گازی در حالت پایه است. انرژی الکترونخواهی بر حسب واحد الکترون ولت، کیلوژول بر مول و یا کیلوکالری بر مول بیان می‌شود (هر الکترون ولت معادل $10^{-12} \times 6021$ ارگ)، ۹۶۴۸ کیلوژول بر مول و یا 23 ر. ک. ب. کیلوکالری بر مول است) و با نشانه‌های A ، EA و یا ΔH_{EA} نشان داده می‌شود. در مورد علامت انرژی الکترونخواهی اتمها، باید توجه داشت که معمول آن را از نظر قدر مطلق برابر ΔH نیم واکنش کاهش اتمها گرمایز است -16 در نظر می‌گیرند. یعنی در مورد عنصری که نیم واکنش کاهش آنها گرمایز است (<0) ΔH_{EA} است، انرژی الکترونخواهی را مثبت و در غیر این صورت، مقدار آن را منفی در نظر می‌گیرند. بر این اساس، هر چه انرژی الکترونخواهی عنصری بیشتر باشد، اتم آن تمايل بیشتری به جذب الکترون در حالت گازی و تبدیل شدن به یون منفی را دارد. بدیهی است که در بحثهای کمی ترمودینامیکی، به جای انرژی الکترونخواهی باید ΔH الکترونخواهی را به کار برد. ΔH_{EA}

ج) محاسبه ΔH الکترونخواهی

اندازه گیری ΔH الکترونخواهی عناصر به طور مستقیم جز در موارد نادر، غیر عملی است. از این رو، باید آن را در یک روش ترمودینامیکی، به طور غیر مستقیم به دست آورد. در این روش، از چرخه بودن-ها بر^۱ که بر «قانون هس»^۲ مبتنی است. استفاده می‌شود. برای مثال، چرخه بورن - ها بر برای تشکیل یک مول (s) $MX(s)$ به قرار ذیر است.



۱) Born-Haber cycle

۲) law of Hess

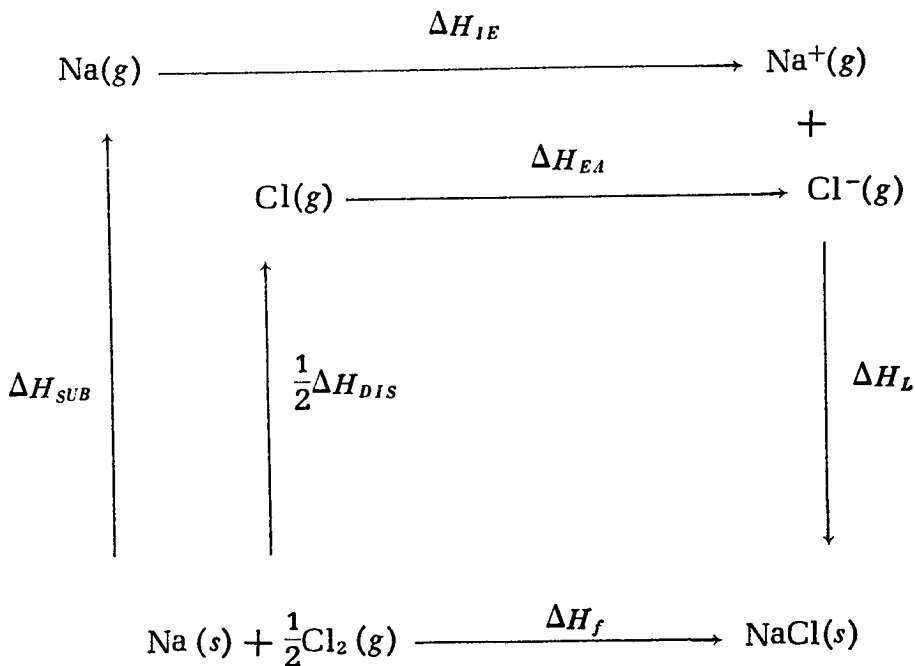
برای روشن شدن چگونگی محاسبه ΔH الکترونخواهی عناصر با این روش، به حل یک تمرین می پردازیم.

تمرین ۱-۶

الکترونخواهی کلر را به روش چرخه بورن - ها بر حساب کنید.

حل:

ابتدا باید چرخه بورن - ها بر دارمورد تشکیل کلرید یک فلز، مثلاً کلرید سدیم به صورت زیر نوشت:



براساس قانون هس، بین ΔH های مراحل تفصیلی فرایند تشکیل بلور کلرید سدیم، رابطه زیر برقرار است:

$$\Delta H_f = \Delta H_{SUB} + \Delta H_{IE} + \frac{1}{2}\Delta H_{DIS} + \Delta H_{EA} + \Delta H_L \quad (۲-۶)$$

چون می توان از طریق ترمودینامیکی مقادیر ΔH های دیگر را اندازه گیری کرد، براساس

رابطه ۶-۲، می‌توان مقدار ΔH الکترونخواهی کلر را حساب کرد. مقادیر ΔH ‌ها در فرایند تشکیل کلرید سدیم (بر حسب کیلو کالری بر مول) عبارتند از:

$$\Delta H_f = -98.52 \text{ kJ mol}^{-1}$$

$$\Delta H_{SUB} = +25.9 \text{ kJ mol}^{-1}$$

$$\Delta H_{IE} = +118.3 \text{ kJ mol}^{-1}$$

$$\Delta H_{DIS} = +57.8 \text{ kJ mol}^{-1}$$

$$\Delta H_{EA} = ? \text{ kJ mol}^{-1}$$

$$\Delta H_L = -18.4 \text{ kJ mol}^{-1}$$

اگر مقادیر این ΔH ‌ها در رابطه ۶-۲ منظور شود، مقدار ΔH الکترونخواهی کلر بر حسب کیلو کالری بر مول برابر: $\Delta H_{E,I} = -87.3 \text{ kJ mol}^{-1}$ به دست می‌آید. قابل توجه است که در مورد غیر فلزاتی که به صورت آنیون- X^{2-} در ساختار بلور شرکت می‌کنند، مجموع ΔH ‌های اولین و دومین الکترونخواهی آنها با این روش قابل محاسبه است. در این صورت، چنانچه، مقدار ΔH اولین الکترونخواهی معلوم باشد، می‌توان مقدار ΔH دومین الکترونخواهی را حساب کرد. همچنین، اگر فلز به صورت کاتیون $+ M^{2+}$ یا M^{3+} ، در ساختار بلور شرکت داشته باشد، باید مجموع مقادیر ΔH ‌های اولین، دومین و سومین یونیزاسیون آن را بدجای ΔH_{IE} در رابطه ۶-۲، دخالت داد. برای توضیح بیشتر، به حل تمرین دیگری می‌پردازیم:

تمرین ۶-۶

با در دست داشتن داده‌های زیر در فرایند تشکیل بلور اکسید کلسیم، مقدار ΔH دومین الکترونخواهی اکسیژن را بر حسب کیلو کالری بر مول حساب کنید.

$$\Delta H_f = -151.9 \text{ kJ mol}^{-1}$$

$$\Delta H_{SUB} = +40 \quad \text{»} \quad \Delta H$$

$$\Delta H_{IE(1)} = +140.9 \quad \text{»} \quad \Delta H$$

$$\Delta H_{IE(2)} = +223.7 \quad \text{»} \quad \Delta H$$

$$\Delta H_{DIS} = +141.8 \quad \text{»} \quad \Delta H$$

$$\Delta H_{E4(1)} = -339 \text{ kcal/mol} \quad \Delta H$$

$$\Delta H_L = -441 \text{ kJ} \quad \Delta H$$

حل :

رابطه ۶-۲ را درمورد اکسید کلسیم (و ترکیبات مشابه آن) با توجه به توضیحاتی که درمورد تأثیر الکترونخواهی های متوالی و یونیزاسیونهای متوالی داده شد، می توان به صورت زیر نوشت:

$$\Delta H_f = \Delta H_{SUB} + \Delta H_{IE(1)} + \Delta H_{IE(2)} + \frac{1}{2} \Delta H_{DIS} + \Delta H_{EA(1)} + \Delta H_{EA(2)} \\ + \Delta H_L$$

حال اگر داده های بالا درمورد مقادیر ΔH ها در این رابطه منظور شود، مقدار $\Delta H_{EA(2)}$ اکسیژن که مجهول است، برابر 202 kJ/g.atom کیلو کالری بر مول، بدست می آید. در جدول ۶-۱، مقادیر الکترونخواهی بعضی عناصر (بر حسب kJ/g.atom و eV/atom) گردآوری شده است.

۵) توجیه روند های تغییرات انرژی الکترونخواهی اتمها

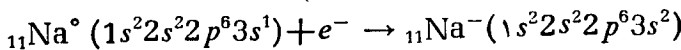
همان طور که بر اساس داده های جدول ۶-۱، می توان دریافت، در گسروه فلزات قلیایی و گازهای بی اثر، الکترونخواهی عنصر دوره دوم از الکترونخواهی عنصر دوره سوم بیشتر است. دلیل را می توان در مورد فلزات قلیایی، این طور توجیه کرد که اولین عنصر گروه قلیایی نسبت به اولین عنصر گروه های دیگر شما بزرگتری دارد و تفاوت بار مؤثر هسته اولین عنصر گروه قلیایی (ایتیم) نسبت به بار مؤثر هسته دومین عنصر این گروه، در مقابله با این تفاوت درمورد گروه های دیگر، کمتر است. درمورد گازهای بی اثر، با توجه به اینکه نتایج حاصل جنبه تجری ندارد، اظهار نظری نمی شود.

درمورد عناصر اصلی گروه های دیگر، الکترونخواهی عنصر دوره دوم از الکترونخواهی عنصر دوره سوم کمتر ($\Delta H_{E4(1)}$ بزرگتر) است. دلیل چنین رویدادی را این طور می توان توجیه کرد که در هر گروه، اتم عنصر دوره دوم از اتم دوره سوم کوچکتر و بار مؤثر هسته آن نیز، کمتر است. از این رو، به هنگام اضافه شدن یک الکترون به لا یه ظرفیت، دافعه الکترونستاییکی بارهای منفی در درون اتم عناصر دوره دوم، افزایش بیشتری حاصل می کند در نتیجه، سطح انرژی آن بالاتر رفته و مقدار ΔH و اکنش الکترونخواهی آن عدد بزرگتر می شود.

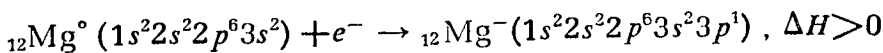
جدول ۱-۶ ΔH الکترونی از عناصر پسی اکترودنفوراهی (بر حسب eV/atom و kJ/g-atom)

	I A	II A	III B	IV B	V B	VI B	VII B
1 H	72.77		5 R	6 C	7 N	8 O	9 F
	0.7542	kJ/g-atom	26.8	122.3	≤ 0	141.1	328.0
3 Li	59.8	<0	0.278	1.268	≤ 0	1.462	3.399
	0.620						
11 Na	12 Mg	14 Al	13 Al	14 Si	15 P	16 S	17 Cl
52.7	-14	42.6	133.6	71.7	200.43	348.8	
0.546	-0.15	0.442	1.385	0.743	2.0772	3.615	
	III	IV	V	VI	VII	VIII	IB
19 K	20 Ca	21 Sc	22 Ti	23 V	24 Cr	25 Mn	30 Zn
48.36	<0	<0	7.7	50.8	64.4	<0	11
0.5012	<0	0.080	0.526	0.667	<0	0.25	1.15
							1.226
							-0.49
							0.3
							1.2
							0.80
							2.0206
							3.364
37 Rb	38 Sr	39 Y	40 Zr	41 Nb	42 Mo	43 Tc	44 Ru
46.89	<0	~0	41.2	86.3	72.1	67	106
0.4860	<0	~0	0.427	0.894	0.747	0.7	1.1
						1.138	0.558
						1.303	1.25
						-0.33	0.3
						1.25	1.05
						1.05	1.9708
							3.061
55 Cs	56 Ba	57 La	72 Hf	73 Ta	74 W	75 Re	76 Os
45.50	<0	48	31.2	78.7	14	106	151.1
0.4715	<0	0.5	0.323	0.816	0.15	1.1	1.566
						2.128	2.3086
						-0.63	0.3
						0.365	0.947
						1.9	2.8

منفی بودن ΔH الکترونخواهی فلزات قلیایی را می‌توان به وجود تراز الکترونی نیم پر (ns^1) در لایه ظرفیت اتم آنها نسبت داد. زیرا، الکترون اضافه شده، در این تراز نیم پر قرار گرفته و تأثیر زیادی بر بالارفتن سطح انرژی یون منفی حاصل، نمی‌گذارد. مثلاً در مورد سدیم، چنین عمل می‌شود:



مشتبه بودن ΔH الکترونخواهی فلزات قلیایی خاکی را می‌توان به وجود تراز پرشده (ns^2) لا یه ظرفیت و آرایش الکترونی نسبتاً پایدارتر اتم آنها نسبت داد، زیرا، الکترون اضافه شده، در تراز np لا یه ظرفیت که سطح انرژی بالایی دارد، وارد می‌شود که این خود علاوه بر بالارفتن سطح انرژی در یون حاصل، موجب از بین رفتن تقارن آرایش الکترونی و کاهش پایداری می‌شود، به طوری که ΔH واکنش الکترونخواهی اتم، مقداری مشتبه خواهد شد. مثلاً در مورد منیزیم، خواهیم داشت:



دلیل مشتبه بودن مقدار ΔH الکترونخواهی برای اتم نیتروژن و منفی بودن مقدار آن برای اتم فسفر را (که در یک گروه قرار دارند) این طور می‌توان توجیه کرد که از یک طرف، کوچک بودن اتم نیتروژن موجبی شود تا بر اثر اضافه شدن یک الکترون به آرایش الکترونی آن، مقدار نیروی دافعه الکتروستاتیکی در درون اتم، بهشدت افزایش یابد. از طرف دیگر، وجود آرایش الکترونی کاملاً متقارن و وضعیت پایدار آن (یعنی ترازهای پر - نیم پر) در لایه ظرفیت اتم نیتروژن که با اضافه شدن یک الکترون از بین خواهد رفت، عاملی مهم دیگری است که شرایط نامناسبی را برای اضافه شدن الکترون به اتم نیتروژن، به وجود می‌آورد. از این رو، الکترونخواهی اتم نیتروژن، نیم واکنشی گرمگیر و ΔH آن مقداری مشتبه خواهد بود. اما در مورد اتم فسفر، اگرچه مانند اتم نیتروژن، لایه ظرفیت دارای آرایشی کاملاً متقارن است و اضافه شدن یک الکترون به اتم خنثی که چنین آرایش پایداری را از بین خواهد برداشت، اصولاً نباید واکنشی گرمگیر باشد. ولی برخلاف نیتروژن، اتم فسفر نسبتاً هجیم است (شعاع اتمی نیتروژن برابر ۷۰ درصد از شعاع اتمی فسفر برابر ۱۱ آنگستروم است) و اضافه شدن یک الکترون به آرایش الکترونی آن، دافعه الکتروستاتیکی قابل توجهی در آن ایجاد نمی‌کند. به طوری که مجموع تأثیرات این دو عامل (آرایش الکترونی متقارن و حجم اتم) در مورد اتم فسفر، شرایط مناسبی را برای جذب الکترون توسط اتم فراهم می‌آورد. از این رو الکترونخواهی اتم فسفر، نیم واکنشی گرمگیر و ΔH آن مقداری منفی خواهد بود.

مشتب بودن مقدار ΔH الکترونخواهی دوم، در مورد اتمهای اکسیژن و گوگرد را می‌توان به دو عامل مربوط دانست:

- ۱) وجود نیروی دافعه الکتروستاتیکی بین الکترون (که بار منفی دارد) و یون منفی $-O^-$ یا $-S^-$ که در مرحله اول الکترونخواهی تشکیل می‌شود و از نزدیک شدن الکترون بعدی به این یونهای منفی، جلوگیری می‌کند.
- ۲) افزایش میزان نیروی دافعه الکتروستاتیکی در یونهای $-O^{2-}$ و $-S^{2-}$ که در مرحله دوم الکترونخواهی تشکیل می‌شوند و موجب بالا رفتن سطح انرژی این یونها و درنتیجه ناپایداری آنها (البته در حالت گازی) می‌شود.

بدیهی است که مشتب بودن مقدار ΔH الکترونخواهی هلیم (و به طور کلی گازهای بی اثر)، به وجود ترازهای پر لایه ظرفیت و آرایش الکترونی بسیار پایدار آنها مربوط است که برای ورود الکترون اضافی، شرایط نامساعدی، محسوب می‌شود.

قابل توجه است که برخلاف شماع اتمی، انرژی یونیزاسیون و الکترونگاتیوی اتم که در مورد عناصر اصلی هر دوره، با افزایش عدد اتمی، به طور کلی افزایش می‌یابد، الکترونخواهی اتم از چنین روندی پیروی نمی‌کند.

دلیل اینکه الکترونخواهی عناصر از دوره سوم به بعد، با افزایش عدد اتمی، به طور کلی در هر گروه کاهش می‌یابد، این است که اگرچه با افزایش عدد اتمی، مقدار بار مؤثر هسته نیز افزایش می‌یابد، ولی افزایش شماع اتم، جاذبه هسته را بر لایه ظرفیت اتم، به حدی کاهش می‌دهد که تمایل آن به جذب الکترون از عنصری به عنصر بعدی در هر گروه، کمتر می‌شود.

۶) الکترونخواهی مولکولها و رادیکالها

همانند برخی از اتمها، بسیاری از مولکولها و رادیکالها نیز، تمایل به جذب الکترون و تبدیل شدن به یون منفی را دارند. قابل توجه است که الکترونخواهی مولکولها و رادیکالها، عموماً نیم واکنشی گرمزا ($\Delta H_{E,A} = 0$) است. دلیل را می‌توان بزرگتر بودن حجم این مولکولها و یونها نسبت به اتمها و وجود هسته‌های بیشتر و درنتیجه باز مشتب بیشتری در آنها داشت که موجب کاهش میزان نیروهای دافعه الکتروستاتیکی و ایجاد جاذبه بیشتری برای قبول الکترون اضافی خواهد شد. به علاوه، بر اساس نظریه اوربیتان مولکولی^{*}، این مولکولها و رادیکالها، دارای اوربیتان خالی یا نیم پری اندازه سطح انرژی

* Molecular Orbital Theory (MOT)

آن چندان بالا نیست و وارد شدن یک الکترون در آن اوربیتال، موجب ناپایداری آنیون حاصل، نخواهد شد.

در جدول ۲-۶ ΔH الکترونخواهی چند مولکول و رادیکال، به عنوان نمونه، گردآوری شده است:

جدول ۲-۶ ΔH الکترونخواهی برخی از مولکولها و رادیکالها (کیلوکالری بر مول)

ΔH_{EA}	رادیکال	ΔH_{EA}	مولکول
-۴۲۰۳	OH	-۱۱۹۵	O ₂
-۳۳۰۲	NH ₂	-۴۵۰۴	O ₃
-۸۸	CN	-۲۳۰۹	SO ₂
-۴۹۰۲	SCN	-۳۳	NO
-۹۰۰۸	NO ₃	-۵۵	NO ₂
-۱۰۹	CH ₃	-۷۱	F ₂
		-۵۵۰۴	Cl ₂
		-۵۹۰۸	Br ₂
		-۵۷۰۴	I ₂

و) ارتباط الکترونخواهی اتم با الکترونگاتیوی آن به طور کلی، هر چه ارزی الکترونخواهی اتم بیشتر باشد، مقدار الکترونگاتیوی آن نیز باید بیشتر باشد. برهمین اساس بود که مولیکن^۱ توانست روشی برای محاسبه الکترونگاتیوی عناصر ارائه دهد (به بخش ۳-۳ رجوع شود).*

۱) Mulliken

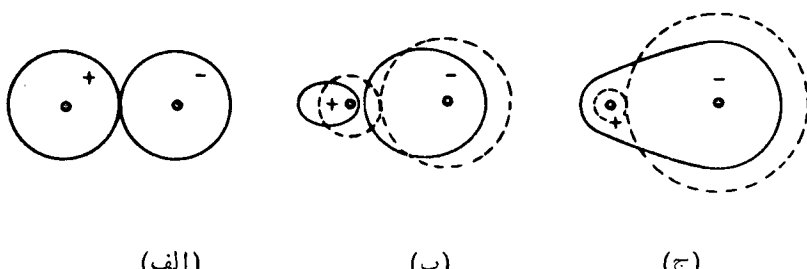
* در مورد ارتباط الکترونخواهی اتم با ارزی یونیز اسیون آن، به بخش (۳-۳) رجوع شود.

ز) نقش الکترونخواهی عناصر در قدرت اسیدی ترکیبات دوتایی هیدروژن دار بهطور کلی، درمورد عناصر غیرفلزی هر دوره از جدول تناوبی، هر چه الکترونخواهی عنصری بیشتر باشد، خصلت اسیدی ترکیب آن عنصر با هیدروژن بیشتر خواهد بود. به عنوان نمونه، در عناصر دوره دوم، الکترونخواهی نیتروژن، اکسیژن و فلوئور به ترتیب: $N < O < F$ افزایش می‌یابد. یعنی مطابق آنچه که گفته شد، تمایل اتم فلوئور به تشکیل آنیون، از اکسیژن و نیتروژن بیشتر و تمایل اتم اکسیژن به تشکیل آنیون از فلوئور کمتر وابی از نیتروژن بیشتر است. بر همین اساس است که HF کاملاً خصلت اسیدی داشته، H_2O ترکیبی خنثی است و NH_3 کاملاً خصلت بازی دارد.

ح) نقش الکترونخواهی اتم در تشکیل پیوند یونی بهطور کلی هر چه اتم غیرفلزی تمایل بیشتری به جذب الکترون داشته باشد، آنیون پایدار تری تشکیل داده و می‌تواند در به وجود آوردن ترکیبات یونی شرکت کند. چون معیار توانایی و تمایل اتم غیرفلز به جذب الکترون و تشکیل آنیون پایدار، همان مقدار ΔH الکترونخواهی آن است، پس می‌توان نتیجه گرفت که هر چه مقدار ΔH الکترونخواهی اتم کوچکتر و به بیان دیگر، الکترونخواهی آن بیشتر باشد، ضمن شرکت در واکنشهای شیمیایی تمایل بیشتری برای تبدیل شدن به آنیون و تشکیل ترکیبات یونی پایداری را دارد. بر همین اساس است که ترکیبات یونی، عمدهاً ضمن واکنش هالوژنهای، اکسیژن و گوگرد (که الکترونخواهی نسبتاً زیادتری نسبت به غیرفلزات دیگر دارند) با فلزات فعال، بهویژه فلزات قلایایی و قلایایی خاکی (غیراز بریلیم) که تمایل زیادی به تشکیل کاتیونهای پایدار دارند، به وجود می‌آید.

البته در بسیاری از موارد، ممکن است، پیوند یونی حاصل، به صورت پیوند حد واسط (پیوند قطبی) درآید. بهویژه، درمواردی که آنیون حجیم و یا بار آن زیاد باشد و یا اینکه، آنیون حاصل در مجاورت کاتیونی کوچک که دانسیته بار آن زیاد است، قرار گیرد. زیرا در چنین شرایطی، آنیون بدشت توسط کاتیون قطبی شده، پیوند بین آنها، همان طور که در شکل ۱-۱ نشان داده شده است، از حالت یونی خالص خارج می‌شود.

ط) نقش الکترونخواهی عناصر در قدرت پیوند بین اتمها اصولاً، وقتی دو اتم یکسان، از طریق تشکیل پیوند کووالانسی، با یکدیگر ترکیب می‌شوند، یکی از عوامل تعیین کننده قدرت پیوند بین آنها، توانایی هر یک از آن دو اتم در قبول



شکل ۶-۱ نمایش اثر قطبی کنندگی کاتیون در تبدیل پیوند یونی به پیوند کووالانسی

(الف) جفت یونی ایده‌آل بدون قطبش،
 (ب) جفت یونی با قطبش متقابل،
 (ج) جفت یونی با قطبش کافی برای تشکیل پیوند کووالانسی.
 خط چینهای غیرپیوندی فرضی را نشان می‌دهد.

الکترون از اتم دیگر است. چنین توانایی و تمایلی در اتم برای قبول بارمنفی و افزایش دانسیته این بار، براساس الکترونخواهی اتم معین می‌شود. از این‌رو، الکترونخواهی اتم (X) ملاک قدرت پیوند آن در مولکول دو اتمی (X_2) است. برهمین اساس است که می‌توان ضعیف‌تر بودن پیوند $F-F$ (با انرژی پیوندی ۳۷ کیلوکالری بر مول) را نسبت به پیوند $Cl-Cl$ (با انرژی پیوندی ۵۸ کیلوکالری بر مول) کاملاً توجیه کرد. زیرا، مطابق داده‌های جدول ۶-۱ الکترونخواهی فلور از کلر کمتر است.

۶-۲ یونیزاسیون اتم

الف) تعریف

جدا شدن الکترون از اتم (یعنی خارج شدن آن از میدان جاذبه الکتروستاتیکی هسته اتم) را اصطلاحاً یونیزاسیون آن اتم (یعنی تبدیل اتم به یون مثبت) می‌نامند (اخیراً واژه «یونش» را برای معادل فارسی آن پیشنهاد کردند).

در این رویداد، اتم خنثی X در یک نیم واکنش اکسایش (اکسیداسیون) شرکت

می‌کند و به یون گازی X^+ تبدیل می‌شود:



ب) انرژی یونیزاسیون اتم

حداقل مقداری انرژی که باید به اتم خنثای گازی (در حالت پایه) داده شود تا یکی از سsst ترین الکترونهای آن جدا شده، به یون مثبت گازی (در همان حالت پایه) تبدیل شود، انرژی یونیزاسیون آن اتم نامیده می‌شود. در حقیقت، این مقدار انرژی، برای ارتقای آن الکترون از ترازی که در حالت پایه اتم در آن قرارداده، به تراز بینهایت ($n = \infty$) مصرف می‌شود. این مقدار انرژی، بر حسب الکترون ولت (eV) بر اتم بیان شده و با علامت IE یا ΔH_{IE} نشان داده می‌شود. ولی عموماً، انرژی یونیزاسیون را بر حسب کیلوژول بر مول (و یا کیلوکالری بر مول) بیان می‌کنند. البته در این صورت، برابر مقدار انرژی لازم برای تبدیل یک مول اتم گازی در حالت پایه به یک مول یون مثبت گازی در همان حالت است.

در مورد اتمهای چند الکترونی، امکان جذابیدن متواتی همه یا تعدادی از الکترونها از اتم، امکان پذیراست. از این رو، یونیزاسیونهای متواتی اتمها را نیز باید در نظر گرفت. بدینهی است که با خارج شدن هر الکtron از اتم، بار مؤثرهسته و درنتیجه، نیروی جاذبه بین هسته والکترونهای باقی‌مانده افزایش می‌باشد. از این رو، مقدار انرژی لازم، برای یونیزاسیونهای بعدی به ترتیب بیشتر می‌شود.

توضیح:

گاهی بدجای انرژی یونیزاسیون، اصطلاح پتانسیل یونیزاسیون را به کار می‌برند که بر حسب ولت بیان می‌شود و آن حداقل پتانسیل لازم برای جدا کردن یکی از سست ترین الکترونهای اتم خنثای گازی در حالت پایه و تبدیل آن به یون مثبت گازی در همان حالت است. مثلاً، پتانسیل یونیزاسیون اتم هیدروژن را می‌توان برابر 13.6 ولت در نظر گرفت.

ج) اندازه‌گیری انرژی یونیزاسیون

آشنایی با چگونگی اندازه‌گیری انرژی یونیزاسیون، بدون شک مورد توجه همگان

است. از این‌رو، در اینجا دو روش متداول برای اندازه‌گیری انرژی یونیزاسیون را مورد بررسی قرار می‌دهیم:

I دوش ترمودینامیکی

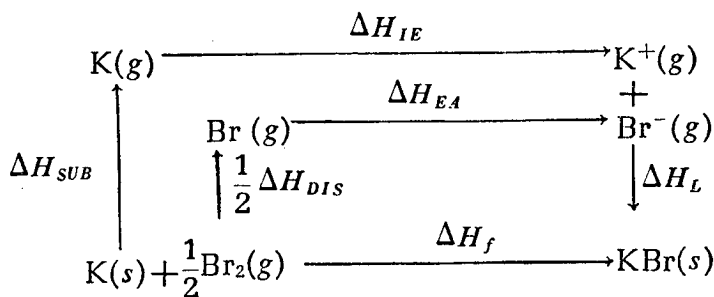
این روش بر قانون هس مبتنی بوده و در آن از چرخه بورن-ها بر استفاده می‌شود. برای روشن شدن مطلب به حل تمرینی می‌پردازیم:

تمرین ۳-۶

انرژی یونیزاسیون پتانسیم را به روش چرخه بورن-ها بر حساب کنید.

حل:

ابتدا باید «چرخه بورن-ها بر» را در مورد مراحل مختلف فرایند تشکیل بلور یک هالید پتانسیم، مثلاً بر مید پتانسیم، مطابق طرح ذیر نوشته و با در دست داشتن سایر مقادیر انرژی (که از طریق اندازه‌گیری بهای ترمودینامیکی معین می‌شوند) و با استفاده از رابطه موجود بین مقادیر این انرژیها (معادله ۳-۶) مقدار انرژی یونیزاسیون اتم پتانسیم را به دست آورده:



بر اساس قانون هس داریم:

$$\Delta H_f = \Delta H_{SUB} + \frac{1}{2} \Delta H_{DIS} + \Delta H_L + \Delta H_{EA} + \Delta H_{IE}$$

(انرژی لازم برای تبدیل پتانسیم جامد به بخار پتانسیم) برابر $+894\text{ kJ}$

ΔH_{DIS} (انرژی لازم برای تفکیک اتمی مولکول برم) برابر $+1119\text{ kJ/mol}$ است، ΔH_e (انرژی آزاد شده ضمن تشکیل بلور بر مید پتانسیم از پتانسیم جامد و برم مایع) برابر -3922 kJ/mol است، ΔH_L (انرژی آزاد شده ضمن تشکیل بلور بر مید پتانسیم از یونهای گازی K^+ و Br^-) برابر -6872 kJ/mol است، ΔH_{IE} (انرژی الکترونخواهی اتم برم) برابر -324 eV است. با قرار دادن مقدار هر یک از این انرژیها در معادله بالا، مقدار انرژی یونیزاسیون اتم پتانسیم برابر 4758 kJ/mol (معادل 113 eV) برمول به دست می‌آید.

II- دش طیف نمایی

بررسی طیف اتم هیدروژن (وطیف اتمهای دیگر در حالت گازی) نشان می‌دهد که در سمت طول موجه‌ای کوتاهتر، خطوط طیفی تاحدی به یکدیگر نزدیک می‌شوند که از یکدیگر قابل تشخیص نیستند. به بیان دیگر، طیف اتم به صورت پیوسته در می‌آید. این روابط، نشان می‌دهد که انرژی الکترون تاحد معینی افزایش یافته، از قید جاذبه هسته اتم خارج می‌شود و تغییرات انرژی آن دیگر از محدودیت کوآنتمی پیروی نمی‌کند. این مقدار انرژی در حقیقت همان انرژی یونیزاسیون اتم است. از این‌رو، اگر طول موج آخرین خط طیفی قابل تشخیص (مرز بین قسمت خطی و قسمت پیوسته طیف) در طیف اتم، به کمک طیف‌نما، مشخص شود، از روی آن می‌توان انرژی لازم برای تشکیل چنین خط طیفی که در حقیقت همان انرژی یونیزاسیون اتم است را به دست آورد.

تمرين ۶

انرژی یونیزاسیون اتم هیدروژن را به روش طیف‌نمایی حساب کنید.

حل :

در مورد اتم هیدروژن، آخرین خط طیفی به طور تقریب بر طول موج 1291 Å آنگستروم منطبق است. بر اساس روابط موجود بین مقادیر انرژی فoton تابش‌های الکترومغناطیسی و فرکانس و یا طول موج این تابشها (معادله ۱۱-۱)، یعنی:

$$\epsilon = h\nu = \frac{hc}{\lambda}$$



خواهیم داشت:

$$IE = \frac{hc}{\lambda} = \frac{6.63 \times 10^{-34} \text{ Js} \times 2.9979 \times 10^10 \text{ cm/s}}{9.12 \times 10^{-8} \text{ cm}}$$

$$= 2.18 \times 10^{-18} \text{ J}$$

$$= 2.18 \times 10^{-18} \text{ J} \times \frac{1 \text{ eV}}{1.602 \times 10^{-19} \text{ J}} = 13.6 \text{ eV}$$

توجه ۴:

همین نتیجه را با استفاده از مدل اتمی بوهر، براساس معادله ۱۷-۱ نیز می‌توان به دست آورد:

$$\boxed{v = 3 \cdot 29 \times 10^{15} \text{ Hz} \left(\frac{1}{n_1^2} - \frac{1}{n_2^2} \right)}$$

زیرا اگر، در این رابطه، $n_1 = 1$ (حالت پایه اتم هیدروژن) و $n_2 = \infty$ (آخرین ترازی که در واقع مرزهای الکترون از قید جاذبه هسته است) در نظر گرفته شود، می‌توان نوشت:

$$v = 3.29 \times 10^{15} \text{ Hz} \left(\frac{1}{1^2} - \frac{1}{\infty^2} \right) = 3.29 \times 10^{15} \text{ Hz}$$

$$\boxed{IE = hv = 6.63 \times 10^{-34} \text{ Js} \times 3.29 \times 10^{15} \text{ s}^{-1}} = 2.18 \times 10^{-18} \text{ J}$$

$$= 2.18 \times 10^{-18} \text{ J} \times \frac{1 \text{ eV}}{1.602 \times 10^{-19} \text{ J}} = 13.6 \text{ eV}$$

(د) اندازه‌گیری پتانسیل یونیزاسیون

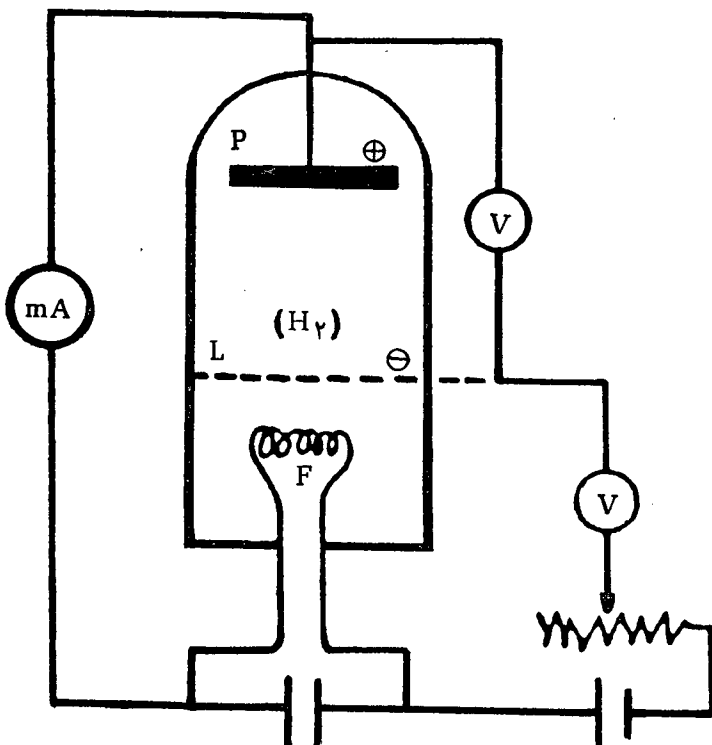
یکی از روش‌های بسیار دقیق اندازه‌گیری انرژی یونیزاسیون اتم، اندازه‌گیری پتانسیل یونیزاسیون اتم (و تبدیل آن به انرژی یونیزاسیون) است که مناسب ترین روش برای اندازه‌گیری انرژی یونیزاسیون‌های متواالی اتمها نیز می‌باشد.

این روش که در واقع مبنای الکترونیکی دارد، اولین بار در سال ۱۹۲۵ توسط دو دانشمند به نامهای فرانک^{۱)} و هرتز^{۲)} ارائه شد. به لحاظ اهمیتی که این روش دارد، در اینجا

۱) Franck ۲) Hertz

چگونگی آن را در مورد اندازه‌گیری پتانسیل یونیزاسیون اتم هیدروژن، مورد بررسی قرار می‌دهیم:

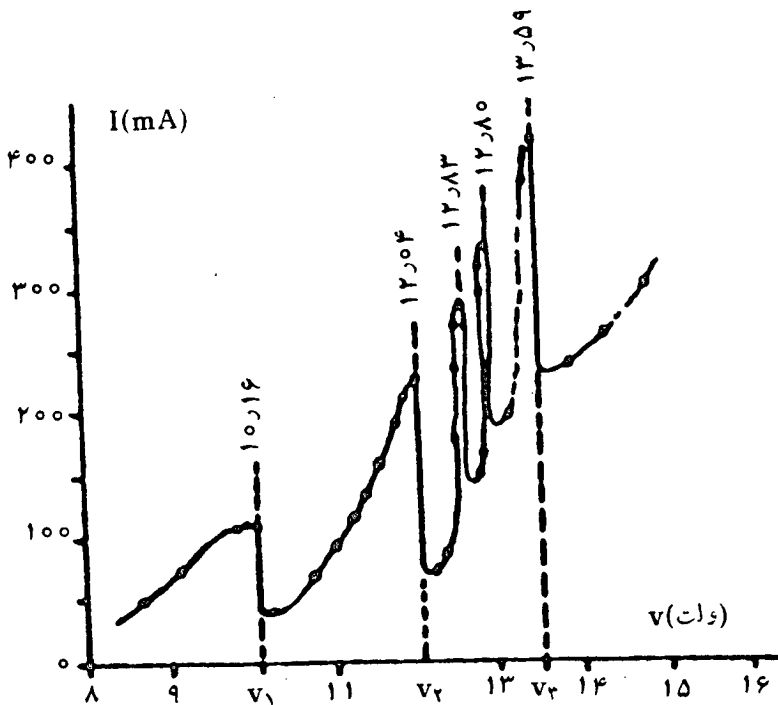
مطابق شکل ۲-۶ در داخل حبابی که منحصرآ حاوی گاز هیدروژن است، فیلامان (F) به وسیله جریان برق به حالت التهاب درآمده، ضمن گرم کردن فضای داخل حباب و تفکیک رادیکالی مولکولهای هیدروژن، برتوی از الکترون منتشر می‌کند. بدعلت وجود اختلاف، پتانسیل (V) بین فیلامان و شبکه (L)، این الکترونها به سمت شبکه کشیده می‌شوند. به طوری که برخی از آنها جذب شبکه شده و برخی دیگر از آن خارج می‌شوند و به طرف صفحه مشبک (P) می‌روند.



شکل ۲-۶ طرح دستگاه آزمایش فرانک - هرتز

اگر اختلاف پتانسیل متغیر V بین فیلامان و شبکه از اختلاف پتانسیل بین شبکه و صفحه P که مقدار ثابتی دارد (ولت ۵۰-۷۰ V) بیشتر باشد، تعدادی ازا الکترونها به صفحه

می‌رسند و جریانی در مدار برقرار می‌شود که میلی آمپر متر (mA) شدت آن را نشان می‌دهد. در چنین وضعیتی ممکن است برخورد الکترونها به اتمهای گازی هیدروژن درون حباب، برخوردی الاستیک باشد (یعنی بدون کاهش انرژی الکترونها، صورت گیرد). با افزودن برمقدار پتانسیل V می‌توان تعداد الکترونهای که به صفحه P می‌رسند، سرعت و انرژی آنها را افزایش داد. تا حدی که انرژی این الکترونها به میزان لازم برای اولین برانگیختگی اتم هیدروژن برسد. در چنین وضعیتی، دیگر، برخورد الکترونها به اتمهای هیدروژن الاستیک نخواهد بود. زیرا، انرژی آنها توسط اتمهای هیدروژن جذب و صرف برانگیختی این اتمها می‌شود. در نتیجه، به علت کاهش ناگهانی انرژی الکترونها، تعداد آنها که به صفحه P می‌رسند، بهشت کاهش یافته و همان طور که در شکل ۳-۶ نشان داده شده است، شدت جریان نیز در مدار، سقوط می‌کند (اولین قسمت سمت چپ شکل ۳-۶).



شکل ۳-۶ نمودار پتانسیلهای برانگیختی و پتانسیل یونیزاسیون اتم هیدروژن

اگر باز هم به افزودن برمقدار پتانسیل V ادامه دهیم، انرژی الکترونها نیز دوباره روبروی افزایش گذاشت، تعداد بیشتری از آنها به صفحه P می‌رسند. در نتیجه، شدت جریان

در مدار دوباره افزایش می‌یابد. تا اینکه انرژی الکترونها به میزانی که برای مرحله دوم برانگیختگی اتم هیدروژن لازم است، برسد، که در آن صورت، در اثر جذب انرژی آنها توسط اتمهای هیدروژن (برای برانگیخته شدن)، بار دیگر انرژی الکترونها و تعداد آنها که به صفحه P می‌رسند، بهشت کاهش یافته و شدت جریان نیز در مدار، یکبار دیگر سقوط می‌کند (قسمت دوم از سمت چپ شکل ۳-۶).

این عمل را می‌توان آنقدر تکرار کرد تا اینکه انرژی الکترونها به حد لازم برای جدا شدن آنها از اتم هیدروژن (یعنی آخرین سقوط شدت جریان در مدار) برسد. مقدار پتانسیلی (V) که برای انجام این کار لازم است، همان پتانسیل یونیزاسیون اتم هیدروژن است که مطابق شکل ۳-۶ برابر 13.59 eV است (قسمت آخر سمت راست شکل ۳-۶).

توضیح:

در مورد اتمهای چندالکترونی، مشابه آنچه که در مورد اتم هیدروژن گفته شد، می‌توان عمل کرد. یعنی با افزودن تدریجی بر مقدار پتانسیل V ، اتم را در وضعیتهای برانگیخته بالاتر، تا حد جداشدن الکترونها دیگر قرارداد. بدین ترتیب، انرژیهای برانگیختگی و انرژیهای یونیزاسیونهای متواالی، اتمها را می‌توان با دقت اندازه‌گیری کرد.

۵) ارتباط انرژی یونیزاسیون اتم با بار مؤثّرهسته آن

باتوجه به اینکه برای جدا کردن الکترون از اتم، باید جاذبه الکتروستاتیکی بین آن الکترون و هسته اتم را خنثی کرد. از این رو، می‌توان نتیجه گرفت که انرژی یونیزاسیون اتم از لحاظ قدر مطلق باید با انرژی اتصال الکترون - هسته (E) برابر باشد. یعنی باید داشته باشیم:

$$IE \approx -E$$

از این رو، بر اساس نظریه اتمی بوداریم:

$$IE = \frac{2K\pi^2 me^4 Z^{*2}}{h^2 n^2} \quad (4-6)$$

اگر $\frac{2K\pi^2 me^4}{h^2}$ را که مقدار ثابتی است، با A نشان دهیم، در مورد اتمهای چندالکترونی

می‌توان نوشت:

$$IE \approx A \left(\frac{Z^*}{n} \right)^2 = 13.59 eV \times \left(\frac{Z^*}{n-\sigma} \right)^2 \quad (5-6)$$

که در آن σ افت کوآنتموم و $n - \sigma$ عدد کوآنتمومی مؤثر نامیده می‌شود. هرگاه عدد کوآنتمومی n برابر ۱، ۲ و ۳ باشد، $\sigma = ۰$ است ولی اگر n برابر ۴، ۵ و ۶ باشد، σ به ترتیب برابر ۳_۵_۰، ۱_۹_۸ است.

تمرین ۵-۶

در صورتی که با مؤثرهسته اتم لیتیم برای الکترون لایه ظرفیت آن برابر ۱۷۲ باشد، انرژی اولین یونیزاسیون اتم لیتیم را بر حسب الکترون ولت و کیلوکالری برمول حساب کنید.

حل :

با توجه به آرایش الکترونی اتم لیتیم ($Z^* = ۱$) چون الکترون ظرفیت لیتیم در تراز دوم قرار دارد، $n = ۲$ است و با استفاده از معادله ۵-۵ می‌توان نوشت:

$$\begin{aligned} IE &= 13.59 eV \left(\frac{Z^*}{n} \right)^2 = 13.59 eV \times \left(\frac{1}{2} \right)^2 = ۵.۴۸ eV \\ &= ۵.۴۸ eV \times \frac{۲۳۵۰۶ \text{ kcal}}{1 \text{ eV}} = ۱۲۶ \text{ kcal} \end{aligned}$$

(یادآوری می‌شود که مقدار تجربی انرژی اولین یونیزاسیون اتم لیتیم برابر ۵۳۹ الکترون ولت است) این رابطه نشان می‌دهد که انرژی یونیزاسیون اتمها، اصولاً به دو عامل بستگی دارد که عبارتند از:

۱) بار مؤثر هسته اتم (Z^*) که هرچه مقدار آن بیشتر باشد، انرژی یونیزاسیون اتم نیز بیشتر خواهد بود.

۲) فاصله الکترون مورد نظر از هسته که به عدد کوآنتمومی اصلی (n) یا شماره تراز اصلی انرژی که الکترون مورد نظر در آن قرار دارد، مربوط است. به طوری که هرچه این فاصله بیشتر (n بزرگتر) باشد انرژی یونیزاسیون اتم، مقدار کمتری خواهد داشت.

توجه:

اگرچه این رابطه به ویژه در مورد اتمهای سنگین تقریبی است، ولی از نظر چگونگی

جدول ۳-۶ انرژی بونیزاسیون عناصر [بر حسب الکترون ولت (eV)]
[leV/atom = 96.4869 kJ/mol]

Z	عنصر	I	II	III	IV	V	VI	VII	VIII
1	H	13.598							
2	He	24.587	54.416						
3	Li	5.392	75.638	122.451					
4	Be	9.322	18.211	153.893	217.713				
5	B	8.298	25.154	37.930	259.368	340.217			
6	C	11.260	24.383	47.887	64.492	392.077	489.981		
7	N	14.534	29.601	47.448	77.472	97.888	552.057	667.029	
8	O	13.618	35.116	54.934	77.412	113.896	138.116	739.315	871.387
9	F	17.422	34.970	62.707	87.138	114.240	157.161	185.182	953.886
10	Ne	21.564	40.962	63.45	97.11	126.21	157.93	207.27	239.09
11	Na	5.139	47.286	71.64	98.91	138.39	172.15	208.47	264.18
12	Mg	7.646	15.035	80.143	109.24	141.26	186.50	224.94	265.90
13	Al	5.986	18.828	28.447	119.99	153.71	190.47	241.43	284.59
14	Si	8.151	16.345	33.492	45.141	166.77	205.05	246.52	303.17
15	P	10.486	19.725	30.18	51.37	65.023	220.43	263.22	309.41
16	S	10.360	23.33	34.83	47.30	72.68	88.049	280.93	328.23
17	Cl	12.967	23.81	39.61	53.46	67.8	97.03	114.193	348.28
18	Ar	15.759	27.629	40.74	59.81	75.02	91.007	124.319	143.456
19	K	4.341	31.625	45.72	60.91	82.66	100.0	117.56	154.86
20	Ca	6.113	11.871	50.908	67.10	84.41	108.78	127.7	147.24
21	Sc	6.54	12.80	24.76	73.47	91.66	111.1	138.0	158.7
22	Ti	6.82	13.58	27.491	43.266	99.22	119.36	140.8	168.5
23	V	6.74	14.65	29.310	46.707	65.23	128.12	150.17	173.7
24	Cr	6.766	16.50	30.96	49.1	69.3	90.56	161.1	184.7
25	Mn	7.435	15.640	33.667	51.2	72.4	95	119.27	196.46
26	Fe	7.870	16.18	30.651	54.8	75.0	99	125	151.06
27	Co	7.86	17.06	33.50	51.3	79.5	102	129	157
28	Ni	7.635	18.168	35.17	54.9	75.5	108	133	162
29	Cu	7.726	20.292	36.83	55.2	79.9	103	139	166
30	Zn	9.394	17.964	39.722	59.4	82.6	108	134	174
31	Ga	5.999	20.51	30.71	64				
32	Ge	7.899	15.934	34.22	45.71	93.5			
33	As	9.81	18.633	28.351	50.13	62.63	127.6		
34	Se	9.752	21.19	30.820	42.944	68.3	81.70	155.4	
35	Br	11.814	21.8	36	47.3	59.7	88.6	103.0	192.8
36	Kr	13.999	24.359	36.95	52.5	64.7	78.5	111.0	126
37	Rb	4.177	27.28	40	52.6	71.0	84.4	99.2	136
38	Sr	5.695	11.030	43.6	57	71.6	90.8	106	122.3
39	Y	6.38	12.24	20.52	61.8	77.0	93.0	116	129

ادامه دارد

ادامه جدول ۶-

Z	عنصر	I	II	III	IV	V	VI	VII	VIII
40	Zr	6.84	13.13	22.99	34.34	81.5			
41	Nb	6.88	14.32	25.04	38.3	50.55	102.6	125	
42	Mo	7.099	16.15	27.16	46.4	61.2	68	126.8	153
43	Tc	7.28	15.26	29.54					
44	Ru	7.37	16.76	28.47					
45	Rh	7.46	18.08	31.06					
46	Pd	8.34	19.43	32.93					
47	Ag	7.576	21.49	34.83					
48	Cd	8.993	16.908	37.48					
49	In	5.786	18.869	28.03	54				
50	Sn	7.344	14.632	30.502	40.734	72.28			
51	Sb	8.641	16.53	25.3	44.2	56	108		
52	Te	9.009	18.6	27.96	37.41	58.75	70.7	137	
53	I	10.451	19.131	33					
54	Xe	12.130	21.21	32.1					
55	Cs	3.894	25.1						
56	Ba	5.212	10.004						
57	La	5.577	11.06	19.175					
58	Ce	5.47	10.85	20.20	36.72				
59	Pr	5.42	10.55	21.62	38.95	57.45			
60	Nd	5.49	10.72						
61	Pm	5.55	10.90						
62	Sm	5.63	11.07						
63	Eu	5.67	11.25						
64	Gd	6.14	12.1						
65	Tb	5.85	11.52						
66	Dy	5.93	11.67						
67	Ho	6.02	11.80						
68	Er	6.10	11.93						
69	Tm	6.18	12.05	23.71					
70	Yb	6.254	12.17	25.2					
71	Lu	5.426	13.9						
72	Hf	7.0	14.9	23.3	33.3				
73	Ta	7.89							
74	W	7.98							
75	Re	7.88							
76	Os	8.7							
77	Ir	9.1							

ادامه دارد

ادامه جدول ۶-۳

Z	عنصر	I	II	III	IV	V	VI	VII	VIII
78	Pt	9.0	18.563						
79	Au	9.225	20.5						
80	Hg	10.437	18.756	34.2					
81	Tl	6.108	20.428	29.83					
82	Pb	7.416	15.032	31.937	42.32	68.8			
83	Bi	7.289	16.69	25.56	45.3	56.0	88.3		
84	Po	8.42							
85	At								
86	Rn	10.748							
87	Fr								
88	Ra	5.279	10.147						
89	Ac	6.9	12.1						
90	Th		11.5	20.0	28.8				
91	Pa								
92	U								
93	Np								
94	Pu	5.8							
95	Am	6.0							

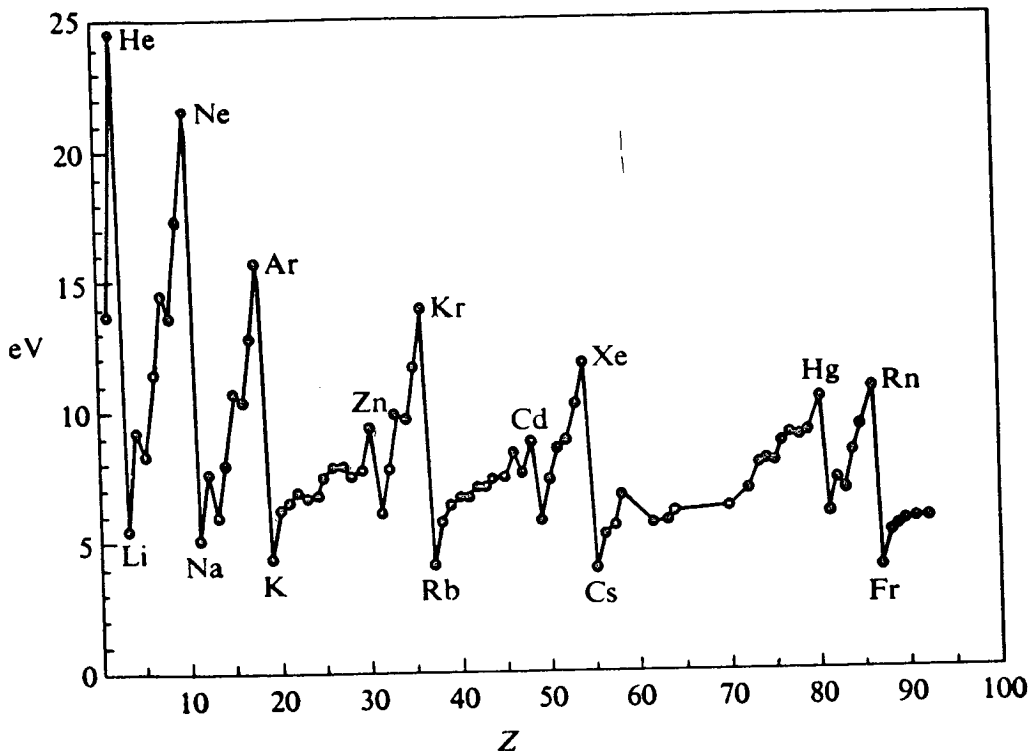
وابستگی انرژی یونیزاسیون به بار مؤثرهسته در بررسیهای کیفی و توجیه روند تغییرات انرژی یونیزاسیون عناصر در دوره‌ها و گروههای جدول تناوبی، اهمیت دارد. انرژی یونیزاسیون عناصر بر حسب الکترون ولت در جدول ۶-۳ داده شده است.

و) توجیه روند تغییرات انرژی یونیزاسیون عناصر در دوره‌های جدول تناوبی بر اساس معادله ۶-۵ می‌توان دریافت که انرژی یونیزاسیون عناصر، بدطور کلی در طول هر دوره از جدول تناوبی، به تدریج باید افزایش یابد. زیرا، با توجه به مفهوم دوره در جدول تناوبی، n برای تمام عناصر هر دوره، عدد ثابت و مشخصی است. پس معادله ۶-۵ را درمورد عناصر هر دوره می‌توان به صورت زیرنوشت:

$$IE \approx \left(\frac{A}{n^2} \right) Z^{*2} = BZ^{*2} \quad (6-6)$$

که در آن $B = \frac{A}{n^2}$ است.

معنی، تغییرات انرژی یونیزاسیون عناصر هر دوره تابعی از مجدد بر مؤثر هسته اتم این عناصر است. چون همان طور که در بحث بار مؤثر هسته گفته شد (بخش ۳-۴)، در طول هر دوره، بار مؤثر هسته اتمها به تدریج افزایش می‌باشد، پس بر اساس معادله ۶-۶ در طول هر دوره، انرژی یونیزاسیون عناصر نیز به تدریج افزایش خواهد یافت. نمودار تغییرات انرژی اولین یونیزاسیون عناصر نسبت به عدد اتمی آنها در شکل ۶-۶ نشان داده شده است.



شکل ۶-۶ نمودارتغییرات انرژی اولین یونیزاسیون عناصر نسبت به عدد اتمی

همان طور که اذاین نمودار برمی‌آید، در هر دوره، فلز قلیایی کمترین و گاز بی‌اثر بیشترین مقدار انرژی یونیزاسیون را دارد. چنین روندی دور از انتظار نیست. زیرا، مطابق آنچه که در بحث بار مؤثر هسته اتم گفته شد، در هر دوره، اتم فلز قلیایی کمترین و گاز بی‌اثر بیشترین مقدار نیروی جاذبه را بر الکترون لایه ظرفیت خود وارد می‌کند. بعلاوه، فلز قلیایی بزرگترین و گاز بی‌اثر کوچکترین شماع را درین عناصر هر دوره دارد.

توجه:

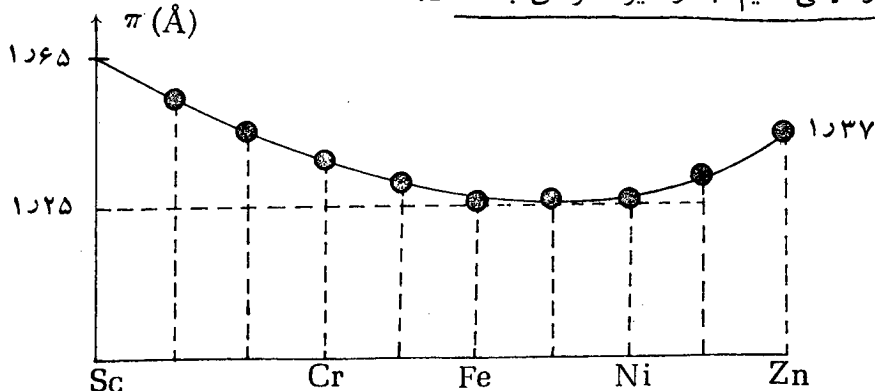
در روند کلی تغییرات انرژی یونیزاسیون عناصر، موارد استثنایی و ظاهرآ غیرمنتظره‌ای به چشم می‌خورد. مثلاً در مورد اتمهای بریلیم و بور، نیتروژن و اکسیژن در دوره دوم، منیزیم و آلومینیم، فسفر و گوگرد در دوره سوم، روی، گالیم و..... در دوره چهارم وغیره.

در مورد بریلیم و منیزیم (که انرژی یونیزاسیون بالاتری نسبت به عنصر بعد از خود (یعنی بور و آلومینیم) دارد، علت را می‌توان به تفاوت سطوح ترازهایی که الکترون مورد نظر در آنها قرار دارد و به آرایش الکترونی نسبتاً پایدار^۲ لایه ظرفیت اتمهای بریلیم و منیزیم نسبت داد. یعنی، در اتمهای بریلیم و منیزیم الکترون از ترازی که پرشده و دارای سطح انرژی پایین تری است کنده می‌شود، در صورتی که در اتمهای بور و آلومینیم این الکترون از تراز تک الکترونی p لایه ظرفیت که در سطح بالاتری نسبت به تراز d لایه ظرفیت قرار دارد وغیره‌ی جاذبه هسته بر آن کمتر است، کنده می‌شود.

در مورد اتمهای نیتروژن و فسفر (که انرژی یونیزاسیون بالاتری نسبت به عنصر بعد از خود، (یعنی اکسیژن و گوگرد) دارد، باوجه به اینکه در این عناصر، الکترون از تراز p لایه ظرفیت جدا می‌شود، علت را می‌توان به وجود آرایش الکترونی متفاصل (پر-نیمپر) و نسبتاً پایدار در اتمهای نیتروژن و فسفر و فراهم نبودن چنین شرایطی در اتمهای اکسیژن و گوگرد، نسبت داد. بدیهی است که وجود اوربیتال جفت الکترونی در تراز p لایه ظرفیت اتمهای اکسیژن و گوگرد که دافعه الکتروستاتیکی بیشتری ایجاد کرده و باعث بالا رفتن سطح انرژی این تراز می‌شود، یکی دیگر از عوامل مؤثر در کاهش مقدار انرژی اولین یونیزاسیون این اتمها است. علاوه بر آن ممکن است به از دست دادن یک الکترون و رسیدن به آرایش الکترونی متفاصل (نظیر آرایش الکترونی اتمهای نیتروژن و یا فسفر) را می‌توان عامل مؤثر دیگری در پایین تر آمدن انرژی اولین یونیزاسیون اتمهای اکسیژن و گوگرد، نسبت به انرژی اولین یونیزاسیون اتمهای نیتروژن و فسفر به حساب آورد.

در مورد عناصر واسطه، روند تغییرات انرژی یونیزاسیون، از نظم کمتری بر خوردار است. زیرا، اگرچه همان طور که در بحث بار مؤثر هسته اتم گفته شد، بار مؤثر هسته اتم آنها در طول هر دوره، به تدریج و به طور منظم افزایش می‌یابد، ولی شعاع فلزی آنها، با نظم مشخصی افزایش یا کاهش نمی‌یابد، بلکه، مثلاً در مورد عناصر واسطه دوره چهارم (عناصر واسطه سری اول)، مطابق شکل ۶-۵ شعاع فلزی ابتدا کاهش یافته، در عناصر میانی سری به کمترین مقدار خود می‌رسد و سپس، در عناصر آخر سری، رو به افزایش می‌گذارد.

همان طور که نمودار شکل ۵-۶ نشان می‌دهد، انرژی یونیزاسیون اتم روی از يك طرف نسبت به اتم عناصر واسطه دیگر سری و از طرف دیگر، نسبت به اتم عنصر اصلی بعداز خود یعنی گالیم، به طور غیرمنتظره‌ای بالا است.



شکل ۵-۶ نمودار روند تغییرات شعاع فلزی عناصر واسطه دوره چهارم

در مورد اول، با توجه به اینکه شعاع اتم روی نسبتاً بزرگ است (شکل ۵-۵) و باز مؤثره‌سته آن تفاوت چشمگیری نسبت به عناصر واسطه این سری ندارد، دلیل اساسی بالاتر بودن انرژی یونیزاسیون آن را نسبت به عناصر واسطه دیگر دوره چهارم، به آرایش الکترونی مقارن ($3d^{10}4s^2$) که پایداری قابل توجهی دارد و تا حد زیادی عمل جدا شدن الکترون از اتم را با دشواری رو برو می‌سازد، می‌توان نسبت داد.

در مورد دوم، یعنی بالاتر بودن انرژی یونیزاسیون اتم روی نسبت به اتم گالیم، با توجه به اینکه پار مؤثره‌سته اتم گالیم ($Z^* = 22$) از باز مؤثره‌سته اتم روی ($Z^* = 57$) بیشتر است، سه عامل ذیر را می‌توان مؤثر دانست:

(۱) آرایش الکترونی مقارن و پایدار $3d^{10}4s^2$ در اتم روی.

(۲) بزرگتر بودن اندازه شعاع اتم گالیم (1.41 \AA) نسبت به شعاع اتم روی (1.57 \AA).

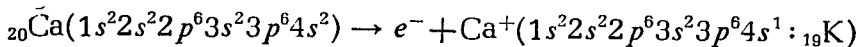
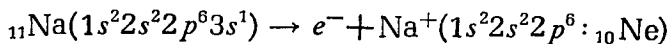
(۳) وجود تراز تک الکترونی ($4p^1$) در اتم گالیم که الکترون از آن کنده می‌شود زیرا، این تراز انرژی در سطح بالاتری نسبت به تراز $4s$ اتم روی قرار دارد.

توضیح:

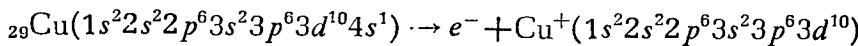
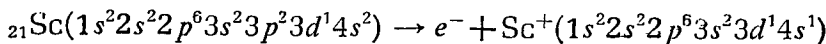
باید توجه داشت که بین عناصر واسطه و عناصر اصلی از نظر یونیزاسیون غالباً تفاوتی

به شرح زیر وجود دارد:

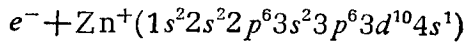
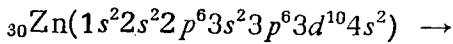
هنگامی که اتم یک عنصر اصلی، یک الکترون از دست می‌دهد و به یون مثبت (X^+) تبدیل می‌شود، به آرایش الکترونی اتم عنصر خانه قبل از خود در جدول تناوبی می‌رسد. به عنوان مثال، اتم سدیم، در اولین یونیزاسیون به یون Na^+ تبدیل می‌شود که آرایش الکترونی گاز بی اثر قبل از خود، یعنی آرگون را دارد و یا اتم کلسیم به یون Ca^+ تبدیل می‌شود که آرایش الکترونی عنصر قبل از خود، یعنی پتاسیم را خواهد داشت:



ولی هنگامی که عنصر واسطه‌ای یک الکترون از دست می‌دهد و به یون مثبت (X^+) تبدیل می‌شود، معمولاً این یون به آرایش الکترونی اتم خنثای دیگری در نمی‌آید. مثلاً، اسکاندیم با ازدست دادن یک الکترون به Sc^+ و یا مس به Cu^+ تبدیل می‌شود، هیچ اتم خنثایی نمی‌توان یافت که آرایش الکترونی این یونها را داشته باشد:



البته، همان طور که اشاره شد، این یک امر کلی است و موارد استثنایی نیز دیده می‌شود. مثلاً وقتی اتم روی یک الکترون ازدست می‌دهد به یون Zn^+ تبدیل می‌شود، که آرایش الکترونی اتم خنثای مس را خواهد داشت:



$$\left(\frac{2\pi}{n-6} \right)^2$$

(ز) بررسی روند تغییرات انرژی یونیزاسیون عناصر در گروههای جدول تناوبی در هر گروه از عناصر جدول تناوبی، با افزایش عدد اتمی، به طور کلی انرژی یونیزاسیون کاهش می‌یابد. چنین روند کلی را می‌توان بر اساس معادله $E = -\frac{1}{r} Z^2$ به آسانی محاسبه

تو جیه کرد. زیرا، اگرچه، در هر گروه از عناصر، با افزایش عدد اتمی، بار مؤثر هسته نیز

به تدریج افزایش می‌یابد و بر اساس معادله $E = -\frac{1}{r} Z^2$ می‌باشد موجب افزایش انرژی

یونیزاسیون شود، ولی از عنصری به عنصر بعدی در هر گروه، شما اع اتم و یا عدد کوآنتومی

(n) نیز افزایش می‌یابد که بر اساس معادله $E = -\frac{1}{r} Z^2$ موجب کاهش مقدار انرژی یونیزاسیون

خواهد شد. در این میدان رقابت، چون تأثیری که عدد کوآنتومی (n) بر یونیزاسیون اتم می‌گذارد، بر تأثیر بار مؤثر هسته بر یونیزاسیون در عناصر هر گروه غلبه دارد، در نتیجه، انرژی یونیزاسیون عناصر در هر گروه، با افزایش عدد اتمی، به طور کلی کاهش می‌یابد. برای روشنتر شدن مطلب، به حل یک تمرین می‌پردازیم:

تمرین ۶-۶

بار مؤثرهسته اتمهای نیتروژن و فسفر، برای الکترون لایه ظرفیت آنها، به ترتیب برابر ۳۸۳ و ۴۸۹ است. نسبت انرژی اولین یونیزاسیون آنها را معین کنید.

حل:

بر اساس معادله ۵-۶، می‌توان نوشت:

$$\frac{IE_{(P)}}{IE_{(N)}} = \frac{A \left(\frac{489}{3} \right)^2}{A \left(\frac{383}{2} \right)^2} = \frac{266}{367} = 0.725$$

قابل توجه است که مقادیر تجربی اولین انرژی یونیزاسیون اتمهای فسفر و نیتروژن به ترتیب برابر ۱۵۵۴ و ۱۵۵۵ الکترون ولت است که نسبت آنها برابر:

$$\frac{1555}{1554} = 1.0055$$

است. ملاحظه می‌شود که نتیجه حاصل از محاسبه فوق با آنچه که در تجربه به دست می‌آید، مطابقت دارد.

توجه:

آنچه که گفته شد، در مورد عناصر سبک و عناصر سنگین تا هافنیم Hf_{71} (یعنی اوایل دوره ششم) صادق است. در مورد عناصر سنگین دوره ششم، وضعیتی معکوس پیش می‌آید. یعنی همان طور که در جدول ۶-۴ نشان داده شده است، انرژی یونیزاسیون عنصر دوره ششم، از انرژی یونیزاسیون عنصر هم گروه خود از دوره پنجم، بیشتر است. همان طور که این جدول نشان می‌دهد. مثلاً طلا که پایین تراز نقره در جدول قرار

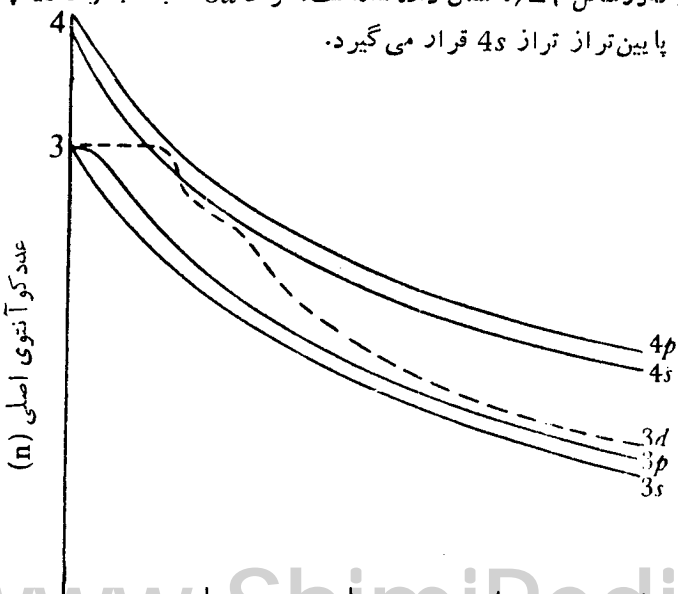
جدول ۶-۴ متابه اثری اولین پوینت اسپون (eV) برخی از عناصر دوره پنجم و ششم جدول تابعی

گروهها	IA	IIA	IIIB	IVB	VB	VIB	VIB	VIII	IB	IIB	IIIA	IVA		
دوره پنجم	Rb	Sr	Y	Zr	Nb	Mo	Tc	Ru	Rh	Pd	Ag	Cd	In	Sn
دوره ششم	4.18	5.69	6.38	4.86	6.88	8.10	7.28	7.36	7.46	8.33	7.56	8.99	5.78	7.34
دوره ششم	Cs	Ba	La	Hf	Ta	W	Re	Os	Ir	Pt	Au	Hg	Tl	Pb
	3.89	5.21	5.58	5.5	7.88	7.98	7.87	8.80	9.0	9.0	9.22	10.43	6.11	7.42

دارد و انتظار می‌رود که بر اساس روند کلی، انرژی یونیزاسیون کمتری نسبت به نقره داشته باشد، انرژی یونیزاسیون بالاتری (۶۶ را الکترون ولت بیشتر) نسبت به نقره دارد و یا جیوه با اینکه پایین تراز کادمیم قرار دارد، انرژی یونیزاسیون بالاتری (۴۶ را الکترون ولت بیشتر) نسبت به کادمیم دارد.

علت چنین رویدادی را به بدیده انقباض لانتانیدی نسبت می‌دهند. انقباض لانتانیدی که در عناصر سری لانتانید روی می‌دهد، در عناصر واسطه بعداز لانتانیدها اثر می‌گذارد و موجب کاهش ساعت اتم این عناصر می‌شود. از آنجایی که کاهش ساعت اتم باعث افزایش میزان نیروی جاذبه هسته بر الکترونهای لایه ظرفیت آن می‌شود، در نتیجه، انرژی یونیزاسیون این عناصر نیز برخلاف انتظار با افزایش عدد اتمی، زیاد می‌شود. به طوری که از حد انرژی یونیزاسیون عناصر هم گروه خود از دوره ماقبل (دوره پنجم) بالاتر می‌رود.

ح) تغییر ترتیب پایداری ترازهای ${}^{\text{r}}\text{d}$ و ${}^{\text{l}}\text{d}$ لایه ظرفیت اتم و تأثیر آن بر یونیزاسیون قابل توجه است که در عناصر دوره سوم و نیز از دوره چهارم به بعد، در اتم فلزات قلیایی و قلیایی خاکی، سطح انرژی تراز $3d$ از سطح انرژی تراز $4s$ بالاتر است. با افزایش عدد اتمی، به تدریج بر پایداری تراز $3d$ نسبت به تراز $4s$ افزوده می‌شود تا اینکه در اولین عنصر واسطه دوره چهارم، ترتیب پایداری این دو تراز معکوس می‌شود. یعنی، همان طور که در شکل ۱-۶، نشان داده شده است، تراز $3d$ نسبت به تراز $4s$ پایدارتر شده و در سطحی پایین تراز $4s$ قرار می‌گیرد.



شکل ۱-۶ ترتیب پایداری ترازهای انرژی $3d$ و $4s$ در عناصر دوره سوم و چهارم به بعد به تدریج، در طول دوره، بر میزان این پایداری افزوده شده و فاصله تراز $3d$ از تراز



۴s بیشتر می‌شود. بر همین اساس است که اصولاً در عنصر دوره سوم، در حالت پایه الکترونها نمی‌توانند در تراز $3d$ وارد شوند (زیرا سطح آن نسبت به ترازهای $3p$ و $4s$ خیلی بالاتر است) و یا اینکه در دوره چهارم، الکترونها متمایز کننده اتهای پتانسیم و کلسیم در تراز $4s$ وارد می‌شوند و به هنگام یونیزاسیون نیز، ابتدا الکترونها همین تراز از اتم جدا می‌شود. ولی در عناصر واسطه این دوره، الکترون متمایز کننده اتم، در تراز $3d$ وارد می‌شود و چون این تراز پایین تر از تراز $4s$ قرار دارد، به هنگام یونیزاسیون، ابتدا الکترونها تراز $4s$ از اتم جدا می‌شود.

همان طور که در شکل ۶-۷، نشان داده شده است، نه تنها، چنین روندی در مورد ترازهای $3d$ و $4s$ ، بلکه به طور کلی برای ترازهای انرژی $(n-1)d$ و ns و همچنین برای ترازهای f $(n-2)d$ ، $(n-1)d$ و ns لایه ظرفیت در عناصر دوره‌های بالاتر وجود دارد. مثلاً، در مورد عناصر دوره پنجم، در دو عنصر اول دوره (Sr و Rb)، ترتیب پایداری ترازهای لایه ظرفیت، مطابق شکل ۶-۷، به صورت: $4d > 5p > 5s > 4s$ است. ولی در اولین عنصر واسطه این دوره یعنی ایتریم (Y)، این ترتیب به صورت:

$$4p > 4d \sim 5s$$

و در دومین عنصر واسطه همین دوره یعنی زیرکنیم (Zr) به صورت: $5p > 5s > 4d > 4p$ درمی‌آید.

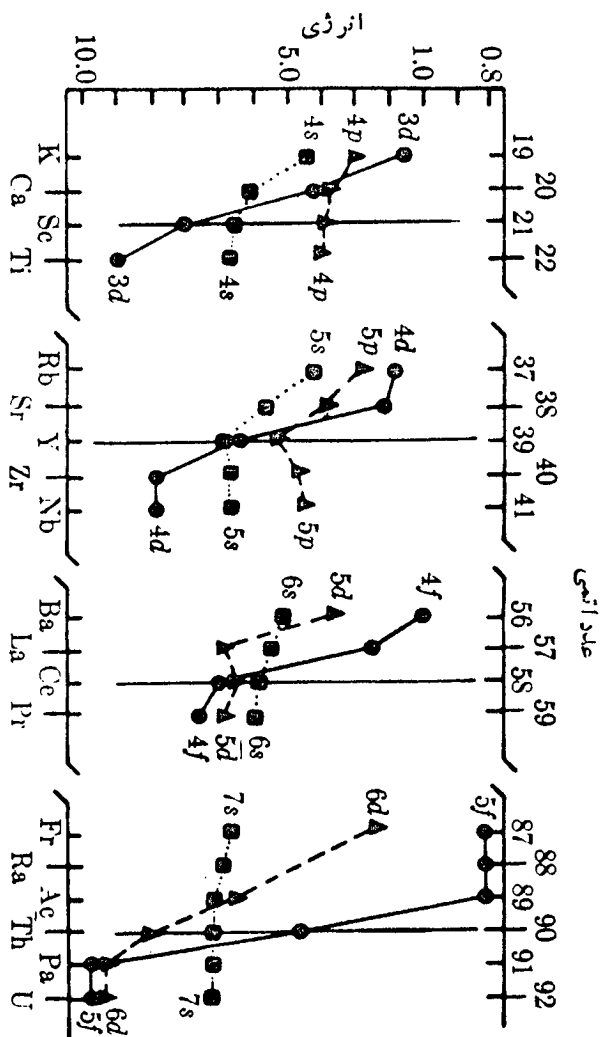
اما در دوره هفتم، به علت اینکه تراز $5f$ ترازی نسبتاً سطحی (دارای سطح انرژی نسبتاً بالا) است، تغییر ترتیب پایداری ترازهای لایه ظرفیت، نسبت به دوره ششم کمی تفاوت دارد. یعنی مطابق نمودارهای سمت راست در شکل ۶-۷، نه تنها در دو عنصر اصلی اول دوره (Fr و Ra) بلکه حتی در اولین و دومین عنصر واسطه این دوره (Th و Ac) نیز سطح انرژی تراز $5f$ از ترازهای $5d$ و $7s$ بالاتر قرار دارد، یعنی، داریم:

$$5f > 6d > 7s$$

$$5f > 7s > 6d$$

$$7s > 6d > 4f$$

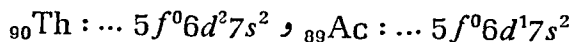
بر اساس این روندها، بسیاری از پرسشها در مورد آرایش الکترونی و انرژی یونیزاسیون عناصر واسطه سنگین، لantanیدها و آکتینیدها، را می‌توان به آسانی پاسخ داد. مثلاً با توجه به اینکه سطح انرژی تراز $5d$ در لantan خیلی پایین تراز $4f$ است، الکترون متمایز کننده آن به جای تراز $4f$ در تراز $5d$ قرار می‌گیرد ($4f^0 5d^1 6s^2 \dots : {}^{57}La$). ولی در عنصر بعد از آن (Ce)، به علت اینکه سطح انرژی تراز $4f$ پایین تر از تراز $5d$ قرار



شکل ۶-۷ مقایسه پایداری تر ازهای لایه نظر فیت در عناصر واسطه، عناصر قلایی، قلایی خاکی در دوره ششم. در عصر اول دوره (Cs و Ba)، تر تیپ فرآگرفتن سطح افزایی تر ازهای لایه نظر فیت، بتصورت، عصر اولی که در اولین عصر واسطه ایسن دوره، یعنی لاتان (La)، این تر تیپ بتصورت $4f > 5d > 6s$ در می آید (در عناصر بعدی سری لایتا نیدها به تدریج سطح افزایی تراز ۴f با این تر می رود).

دارد، نه تنها، الکترون متمایز کننده آن در تراز $5d$ وارد نمی‌شود، بلکه الکترونی که در اتم لانتان در تراز $5d$ قرار داشت، به تراز $4f$ منتقل می‌شود. درنتیجه آرایش الکترونی سریم به صورت: ${}_{58}\text{Ce} \dots 4f^2 5d^0 6s^2 \dots$

همچنین با توجه به اینکه در آکتینیم و توریم، سطح تراز $5f$ خیلی از سطح انرژی تراز $6d$ بالاتر است، الکترونهای متمایز کننده اتم آنها، در تراز $6d$ وارد می‌شود. یعنی، دارایم:



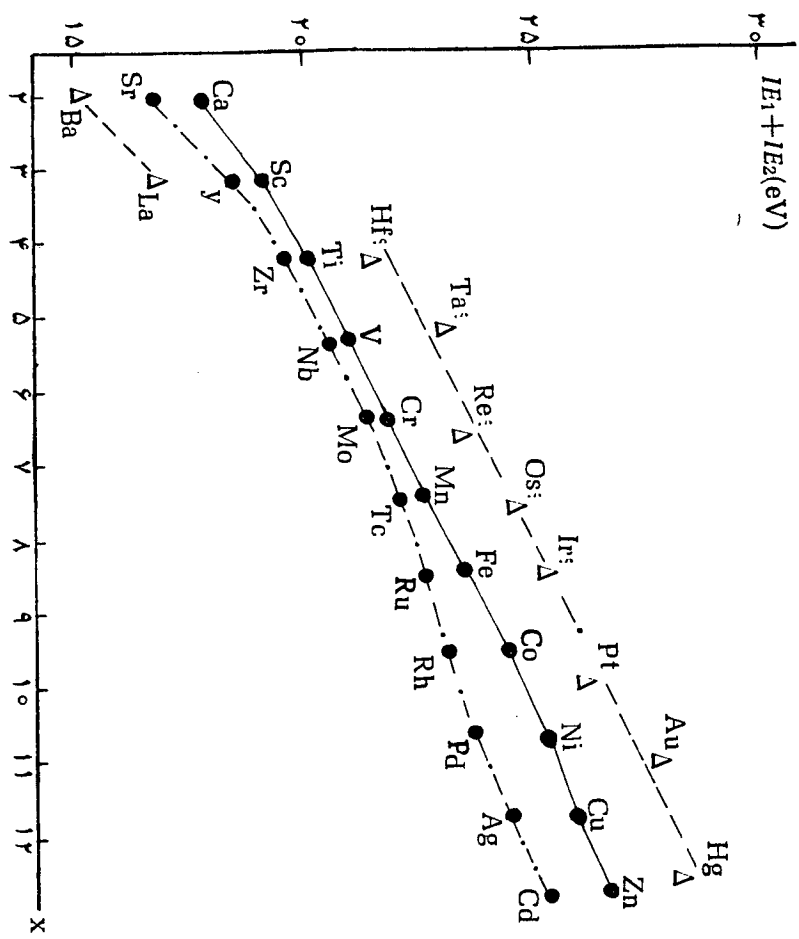
ولی در عنصر بعدی، یعنی پرووتاکتینیم (Pa)، که سطح انرژی تراز $5f$ از تراز $6d$ با این ترتیب می‌آید، نه تنها الکترون متمایز کننده آن، در تراز $6d$ وارد نمی‌شود بلکه یکی از دو الکترونی که در اتم قبل از آن (یعنی توریم) در تراز $6d$ قرار گرفته بود، به تراز $5f$ منتقل می‌شود در نتیجه آرایش الکترونی لایه طرفیت آن به صورت: ${}_{6d}^1 5f^2 6d^1 7s^2 \dots$ در می‌آید. با توجه به این توضیحات، روش می‌شود که مثلاً چرا آرایش الکترونی اتم پرووتاکتینیم پس از سومین یونیزاسیون (یعنی در یون Th^{3+}) به ${}_{6d}^1$ و لی آرایش الکترونی اتم پرووتاکتینیم پس از سومین یونیزاسیون (یعنی در یون Pa^{3+}) به ${}_{5f}^2$ ختم می‌شود. در صورتی که هردو از عناصر سری آکتینیدها دو عنصر متولی این سری می‌باشند.

توجه:

مقایسه مجموع انرژیهای اولین و دومین یونیزاسیون ($IE_1 + IE_2$) عناصر به ویژه در مورد عناصر واسطه، در توجیه برخی از خواص یونهای M^{2+} این عناصر و پایداری ترکیبات آنها اهمیت زیادی دارد. به لحاظ همین اهمیت است که در شکل ۶-۸ نمودار تغییرات مجموع مقادیر انرژی اولین و دومین انرژی یونیزاسیون عناصر واسطه نسبت به الکترونها لایه طرفیت (x) آنها نشان داده شده است. قابل توجه است که نمودارهای این شکل با فرض اینکه هر دو الکترون از تراز لایه طرفیت اتم جدا شده باشد، رسم شده است.

همان طور که از این نمودارها بر می‌آید، مجموع $IE_1 + IE_2$ در طول هر سری، به موازات افزایش بارموده هسته، به طور نسبتاً منظم، افزایش می‌یابد. آنچه که ممکن است غیرمنتظره به نظر آید، این است که در هر گروه، به جای اینکه مجموع $IE_1 + IE_2$ به ترتیب: «دوره ششم > دوره پنجم > دوره چهارم» تغییر کند، به ترتیب:

دوره پنجم > دوره چهارم > دوره ششم، تغییر می‌کند. علت را همان طور که در مورد انرژی اولین یونیزاسیون این عناصر (جدول ۶-۴) توضیح داده شد، می‌توان به پذیده



شکل ۴-۸ نمودارهای تغییرات عناصر و اسلده نسبت به مجموع تعداد اکترونهای لایؤنفریت (Δ) به شکل $IE_1 + IE_2$ نشان داده اند.

انقباض لانتانیلی نسبت داد که موجب کاهش شعاع عناصر دوره ششم و درنتیجه افزایش میزان انرژی جاذبه هسته بر الکترونهای لایه ظرفیت می‌شود و افزایش به ظاهر غیرمنتظره مجموع انرژیهای اولین و دومین یونیزاسیون این عناصر هم گروه خود از دوره‌های چهارم و پنجم را به همراه دارد.

توضیح:

همان طور که اشاره شد، نمودارهای شکل ۶-۸، بافرض اینکه، هردو الکترون از تراز ۵ لایه ظرفیت اتم عناصر واسطه جدا شده باشند، رسم شده است. این فرض خود بر این اساس است که در تمام عناصر واسطه هر دوره، تراز ۵ لایه ظرفیت اتم، دارای ۱۲ الکترون، یعنی آرایش الکترونی لایه ظرفیت آنها به صورت: $d^1 n_5^2 (n-1)^{10} d^1$ باشد. در صورتی می‌دانیم که چنین نیست. ذیرا درمورد عناصر واسطه هر دوره، موارد استثنایی وجود دارد. از این‌رو، مقادیر « $IE_1 + IE_2$ » که از طریق تجربی برای عناصر واسطه بدست می‌آید، درمورد برخی از آنها با مقادیر داده در شکل ۶-۸ مطابقت ندارد. برای توضیح بیشتر یادآور می‌شویم که مثلاً چون آرایش الکترونی عناصر گروه IIB (یعنی روی، کادمیم و جیوه) مشابه یکدیگر است و در همه آنها به تراز ۵ ختم می‌شود. از این‌رو، روند تغییرات « $IE_1 + IE_2$ » براساس شکل ۶-۸، برای آنها با مقادیر تجربی کاملاً مطابقت دارد که به ترتیب برابر $2725, 2729, 2525, 2918, 2525, 2929$ الکترون ولت است (یعنی $Hg > Zn > Cd$). همچنین درمورد عناصر گروه IVB (یعنی تیتان، زیرکنیم و هافنیم) و یا عناصر گروه VB (یعنی وانادیم، نیوبیم و تانتال) که آرایش الکترونی آنها به تراز ۶ ختم می‌شود. یعنی هردو الکترون از تراز ۵ لایه ظرفیت اتم جدا می‌شود، روندی که برای تغییرات مقادیر « $IE_1 + IE_2$ » در شکل ۶-۸ نشان داده شده است، با مقادیر تجربی « $IE_1 + IE_2$ » برای آنها، مطابقت دارد.

وای درمورد عناصر واسطه برخی از گروهها، از جمله عناصر گروه نیکل که آرایش الکترونی لایه ظرفیت آنها شباهتی با یکدیگر ندارد، مثلاً در نیکل به صورت $3d^8 4s^2$ ، در پالادیم به صورت $4d^{10} 5s^0$ و در پلاتین به صورت $5d^9 6s^1$ است. درنتیجه، دو الکترونی که در مرحله اول و دوم یونیزاسیون از اتم آنها جدا می‌شوند، وضعیتهای متفاوتی دارند. از این‌رو، مقادیر « $IE_1 + IE_2$ » و روندی که برای آنها در شکل ۶-۸ پیش‌بینی شده است، با مقادیر تجربی مطابقت ندارد. یعنی برای این سه عنصر، مجموع « $IE_1 + IE_2$ » به ترتیب برابر $2528, 2725$ و 2726 الکترون ولت است که با ترتیب: $Pd \approx Pt > Ni$ مطابقت داشته و با روندی که در شکل ۶-۸ برای آنها پیش‌بینی شده است (یعنی $Pt > Ni > Pd$)،

تفاوت دارد. با توجه به اینکه، در پالادیم، هردو الکترون از تراز d ، در پلاتین، یک الکترون از تراز d والکترون دیگر از تراز d ولی در نیکل، هردو الکترون از تراز d لایه ظرفیت جدا می‌شود، علت چنین روندی که با توجه به مطابقت دارد، کاملاً روشن است.

قبل توجه است که بر اساس مقادیر تجزیی $IE_1 + IE_2$ «عناصر واسطه، می‌توان به خواص ویژه یون M^{2+} آنها و یا ترکیبات مر بوط، پی برد. مثلاً در گروه نیکل، خواص Pd^{2+} به خواص Pt^{2+} نزدیک تر است تا به خواص Ni^{2+} . دلیل آن است که مقادیر $IE_1 + IE_2$ برای پالادیم و پلاتین (همان طور که قبل اشاره شد). به یکدیگر نزدیکند و با مقدار $IE_1 + IE_2$ برای نیکل، تفاوت قابل توجهی دارند. از این رو، بین خواص شیمیایی نیکل و پلاتین، تفاوت‌های چشمگیری وجود دارد، مثلاً $NiCl_2$ کاملاً پایدار ولی $PtCl_2$ ناپایدار و کاهنده است و یا $NiCl_4^{2-}$ (که دارای شکل هندسی چهار وجهی است) ترکیبی نسبتاً ناپایدار است. در صورتی که $PtCl_4^{2-}$ (که شکل هندسی مربعی دارد) ترکیبی کاملاً پایدار است. همچنین تبدیل Ni^{2+} به Ni^{4+} بسیار مشکل است و به صرف ۱۱ الکترون ولت انرژی نیاز دارد، از این رو، Ni^{4+} بسیار ناپایدار است. ولی تبدیل Pt^{2+} به Pt^{4+} نسبتاً آسانتر است و با صرف ۱۱ ولت انرژی انجام می‌گیرد. از این رو، ترکیبات بسیار پایداری از Pt^{4+} مانند ترکیب کمپلکس K_2PtCl_6 به نام پتاسیم هگزاکلر و پلاتینات (IV) وجود دارد. در صورتی که برای نیکل ترکیب مشابهی شناخته نشده است.

ط) یونیزاسیون رادیکالها و مولکولها

همانند اتمها، مولکولها نیز بر اثر جذب مقدار کافی انرژی، به ویژه در برخورد به ذراتی که انرژی زیاد دارند (نظیر پرتوهای کاتدی و....)، الکترون از دست داده به یون مثبت تبدیل می‌شوند. مقدار انرژی لازم برای یونیزاسیون مولکولها را با همان روشها بی که برای اندازه‌گیری انرژی یونیزاسیون اتمها، به کار می‌رود می‌توان معین کرد. در جدول ۶-۵، انرژی اولین یونیزاسیون برخی از رادیکالها و مولکولها، گردآوری شده است.

از داده‌های جدول ۶-۵ چنین برمی‌آید که انرژی یونیزاسیون مولکولها در مقایسه با انرژی یونیزاسیون بسیاری از اتمها، بدطور قابل توجهی بیشتر است که می‌توان آن را به پایداری بیشتر آرایش الکترونی این مولکولها نسبت به اتمهای تشکیل دهنده آنها دانست.

چدول ۶-۵ اثری یونیزاسیون برخی از رادیکالها و مولکولها

رادیکال یا مولکول	انرژی یونیزاسیون (eV)
C_2H_5	8.4
NO	9.27
NO_2	9.78
CH_3	9.84
NH_2	11.4
O_2	12.06
OH	13.17
CO	14.01
CN	14.5
N_2	15.58
F_2	15.7

۴) ارتباط الکترونخواهی و یونیزاسیون اتم

به طور کلی، هر چه انرژی یونیزاسیون اتم بیشتر باشد، تمایل آن به از دست دادن الکترون کمتر بوده و انتظار می‌رود که توانایی آن در جذب الکترون و به عبارت دیگر، الکترونخواهی آن بیشتر باشد (هر چند که این پیشگویی در برخی از موارد، درست نیست). مثلاً انرژی یونیزاسیون فلوئور از اکسیژن و یا انرژی یونیزاسیون کلر از برم بیشتر است. الکترونخواهی فلوئور نیز از اکسیژن والکترونخواهی کلر نیز از برم بیشتر است. ولی غالباً تغییرات الکترونخواهی، روندی هماهنگ با روند تغییرات یونیزاسیون ندارد. زیرا یک عامل معین، مثلاً کوچکی اتم، بر الکترونخواهی و یونیزاسیون اتم، تأثیر یکسانی ندارد. ذیرا، الکترونخواهی همواره با تشکیل یون منفی و در نتیجه افزایش میزان نیروی دافعه الکتروستاتیکی بین الکترونها درین حاصل، همراه است. از این‌رو، با کوچکتر شدن حجم اتم میزان این دافعه افزایش می‌یابد و در نقش عاملی مؤثر در کاهش الکترونخواهی عمل

می‌کند. در صورتی که یونیزاسیون با تشکیل یون مثبت و در نتیجه کاهش تعداد الکترونها و کاهش میزان نیروی دافعه الکتروستاتیکی بین آنها دریون حاصل همراه است. از این رو، کوچک بودن اتم، عاملی مؤثر برای کاهش میزان انرژی یونیزاسیون آن نبوده، بلکه به دلیل افزایش دادن مقدار نیروی جاذبه هسته بر الکترونهای لایه خارجی اتم، موجب زیادتر شدن مقدار انرژی یونیزاسیون اتم می‌شود. برهمین اساس است که به عنوان مثال، در هر گروه از عناصر جدول تساوی، به طور کلی، الکترونخواهی عنصر دوره دوم از الکترونخواهی عنصر دوره سوم کمتر است. در صورتی که انرژی یونیزاسیون آنها از انرژی یونیزاسیون عناصر دوره سوم، بیشتر است. به عنوان نمونه و برای مقایسه تأثیر حجم و آرایش الکترونی اتم بر یونیزاسیون والکترونخواهی آن، نمودار تغییرات انرژیهای اولین یونیزاسیون و اولین الکترونخواهی عناصر دوره سوم، نسبت به عدد اتمی آنها، در شکل ۶-۹ نشان داده شده است.

یادآوری

علامت انرژی الکترونخواهی در نمودار شکل ۶-۹، عکس علامت ΔH الکترونخواهی در نظر گرفته شده است.

توضیح:

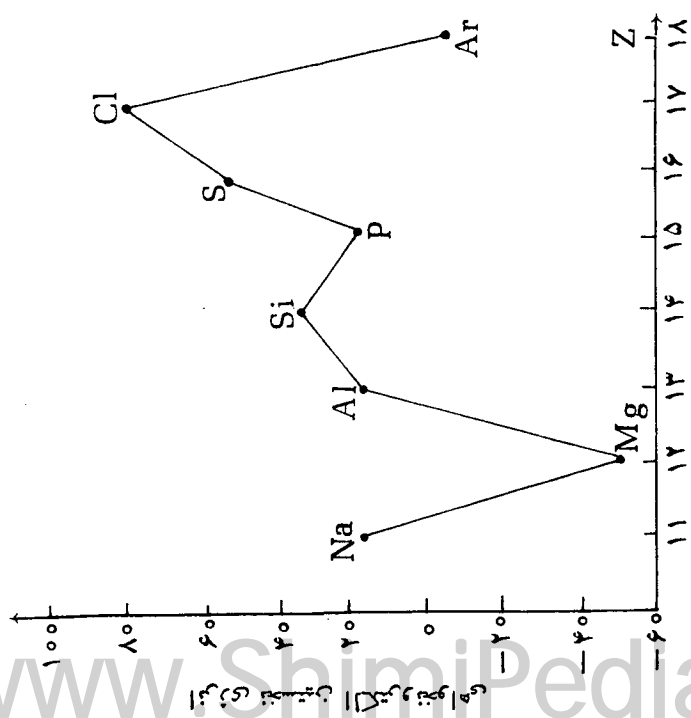
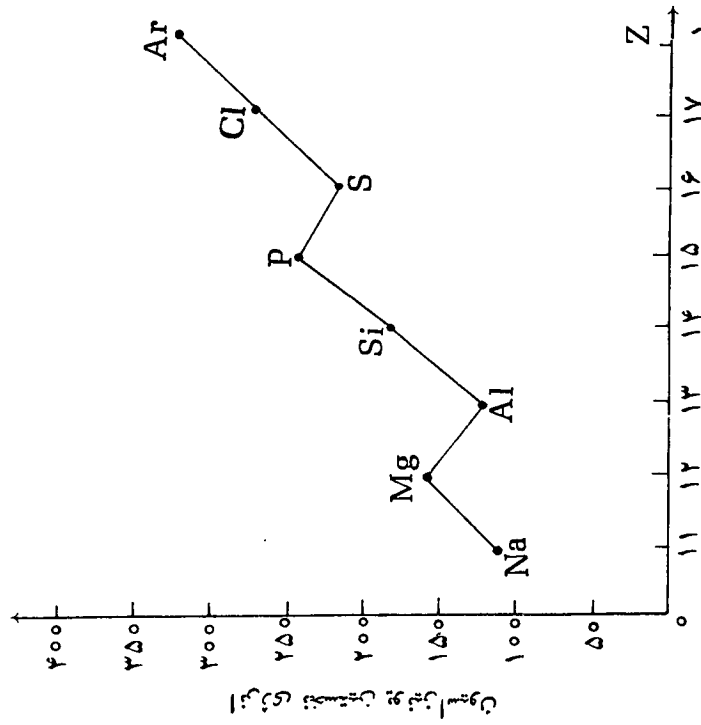
اصولاً در مرور هر عنصر، ΔH الکترونخواهی اتم خنثی (X) با ΔH یونیزاسیون آنیون حاصل از آن ($-X$)، از لحاظ قدر مطلق برابر است. مثلاً در مرور فلور، داریم:



به طوری که جمع جبری مقادیر ΔH های این دونیم واکنش (E) برابر صفر است:

$$E = \Delta H_{EA} + \Delta H_{IE} \quad (7-6)$$

ولی، هرگاه اتم دارای بار الکتریکی مثبت شود، الکترونخواهی آن افزایش یافته ΔH_{EA} عدد کوچکتری می‌شود و بر مقدار انرژی یونیزاسیون آن افزوده می‌شود. به طوری که همواره مقدار E به سمت اعداد مثبت و بزرگتری میل می‌کند. بر عکس، وقتی که اتم دارای بار منفی می‌شود، الکترونخواهی آن کاهش یافته (ΔH_{EA} عدد بزرگتری می‌شود) و از مقدار انرژی لازم برای یونیزاسیون آن نیز کاسته می‌شود. ولی در این حالت، تغییرات



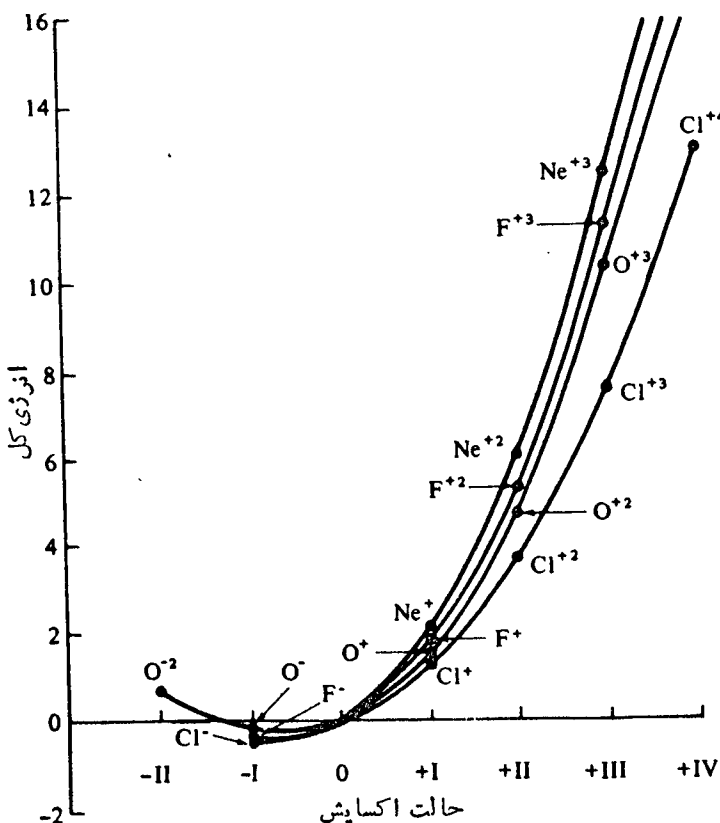
شکل ۶-۹ نمودار ترتیبات انزیمهای نخستین یونیزاسیون والکتر و نخواهی عناصر دوره سوم (بر حسب کیلو کالری برمول) نسبت به عدد اتمی

ΔH های یونیزاسیون و الکترونخواهی به صورتی خواهد بود که مطابق شکل ۹-۶، مقدار E ابتدا به سمت اعداد منفی و کوچکتر میل کرده، پس از رسیدن به یک مقدار حداقل، درجهت رسیدن به عددی بزرگتر و مشتمل، افزایش می‌یابد.

بررسیها نشان داده است که رابطه مقدار E با عدد اکسایش یا بار الکتریکی اتم (q) معادله‌ای درجه دوم، به صورت:

$$E = \beta q^2 + \alpha q \quad (8-6)$$

نمودار تغییرات آن نسبت به q ، به شکل یک سهمی است، روند این نمودار، برای نمونه، در مورد فلوئور، کلر، اکسیژن و نیون در شکل ۹-۶ نشان داده شده است. بر اساس این نمودارها، می‌توان دریافت که هر چه انرژی یونیزاسیون اتم بیشتر باشد. شبیه منحنی مر بوط به تغییرات E ، در مورد آن بیشتر است.



شکل ۹-۶ نمودار تغییرات E نسبت به عدد اکسایش کلر، اکسیژن، فلوئور و نیون

مثلاً چون انرژی یونیزاسیون نمودن بیشتر و انرژی یونیزاسیون کلر کمتر است، شیب منحنی، درمورد نهون بیشتر و درمورد کلر کمتر است. این بدان معنی است که با افزایش مقدار بار الکتریکی (یا عدد اکسایش) اتم، انرژی یونیزاسیون آن باشد بیشتری نسبت به انرژی الکترونخواهی آن تغییر کرده، درنتیجه مقدار E نیز باشد بیشتری افزایش می‌یابد. درصورتی که با کاهش مقدار بار الکتریکی اتم، تغییرات مقدار E ، نسبتاً کمتر است (شاخه سمت چپ درنمودارهای شکل ۱۵-۶)

ک) ارتباط انرژی یونیزاسیون با نوع پیوند بین اتمی

هرچه انرژی یونیزاسیون اتم فلز کمتر باشد، امکان تبدیل آن به کاتیون (ضمون شرکت در واکنشهای شیمیایی) و تشکیل ترکیبات یونی بیشتر است. البته، هرچه شعاع کاتیون حاصل بزرگتر و بار الکتریکی آن کمتر و شعاع آبیونی که با آن ترکیب می‌شود کوچکتر و بار الکتریکی آن کمتر باشد، این پیشگویی، از درستی بیشتری برخوردار خواهد بود. برهمین اساس است که فلزات قلیایی، بهتر و بیشتر از فلزات دیگر (در واکنش با هالوژنهای اکسیژن) ترکیبات یونی (ویا با خصلت کووالانسی کم) به وجود می‌آورند.

ل) ارتباط انرژی یونیزاسیون با الکترونگاتیوی اتم

به طور کلی، هرچه انرژی یونیزاسیون اتمی بیشتر باشد، الکترونگاتیوی آن نیز بیشتر خواهد بود و برهمین اساس بود که مولیکن^۱، روشی برای محاسبه الکترونگاتیوی ارائه داد (به بخش ۳-۱ رجوع شود)

۴-۳ الکترونگاتیوی عناصر

الف) تعریف

اوین بار پاولینگ^۲ در سال ۱۹۳۲، مفهوم الکترونگاتیوی عناصر را در شیمی وارد و آن را چنین توصیف کرد: «الکترونگاتیوی هر عنصر عبارت از میزان تمایل اتم آن به جذب الکترونهای بیوندی به سمت خود، دریک مولکول است». قابل توجه است که الکترونگاتیوی را معمولاً با علامت X نشان می‌دهند (X یکی

۱) Mulliken

۲) Pauling

از حروف القابی یونانی است که کای «*Khi*» تلفظ می‌شود).

ب) محاسبه الکترونگاتیوی عناصر به روش پاولینگ

با اندازه‌گیری انرژی پیوند کووالانسی بین اتمها، به روش ترمودینامیکی و بررسی نتایج تجربی حاصل، معلوم شده بود که مقدار تجربی انرژی پیوند کووالانسی بین دو اتم A و B « $E_{(A-B)}$ » همواره از مقدار میانگین (حسابی یا هندسی) انرژیهای پیوند بین دو اتم A، A، « $E_{(A-A)}$ » و دو اتم B، « $E_{(B-B)}$ » بیشتر است. یعنی می‌توان نوشت:

$$E_{(A-B)} > \frac{1}{2}[E_{(A-A)} + E_{(B-B)}] \quad (9-6)$$

و یا:

$$E_{(A-B)} > [E_{(A-A)} \cdot E_{(B-B)}]^{1/2} \quad (10-6)$$

پاولینگ این تفاوت انرژی یعنی $\Delta E_{(A-B)}$ را به تفاوت بین الکترونگاتیوی دو اتم A و B، یعنی ΔX_{AB} نسبت داده بود. زیرا، وی در یافته بود که هر چه تفاوت بین الکترونگاتیوی دو عنصر بیشتر باشد، میزان جابجایی الکترونهای پیوندی به سمت اتم الکترونگاتیوی تر بیشتر بوده، مقدار بارهای الکتریکی جزئی (δ^{\pm}) که بر روی دو اتم ظاهر می‌شود، افزایش می‌یابد. در نتیجه بین دو اتم علاوه بر پیوند کووالانسی، نیروی جاذبه الکتروستاتیکی (خصایت یونی) نیز به وجود می‌آید که موجب محکمتر شدن پیوند دو اتم و زیادتر شدن انرژی پیوند بین آنها خواهد شد.

وی با بررسیهای دقیقی که انجام داد، معلوم داشت که ریشه دوم $\Delta E_{(A-B)}$ با تفاوت بین الکترونگاتیوی دو اتم A و B تناسب مستقیم دارد. یعنی:

$$\Delta X_{(AB)} \propto \Delta E_{(A-B)}^{1/2}$$

و یا:

$$\Delta X_{(AB)} = K \cdot \Delta E_{(A-B)}^{1/2} \quad (11-6)$$

چنانچه مقادیر انرژیهای پیوندی بر حسب کیلوکالری بر مول بیان شده و میانگین حسابی انرژی پیوندهای A - A و B - B باشد، مقدار ثابت K برابر ۰۵۰۸۵ را دارد. و اگر $\Delta E_{(A-B)}$ میانگین هندسی این انرژیها باشد، مقدار ثابت K برابر ۱۸۲ دارد. هرگاه، مقادیر انرژیهای پیوندی بر حسب الکترون و لیت بیان شود (هر الکترون و لیت برابر ۲۳ کیلوکالری بر مول است) مقدار ثابت K برابر واحد است.

قابل توجه است که در این روش می‌توان تفاوت بین الکترونگاتیوی دواتم را حساب کرد و محسوبه الکترونگاتیوی هیچ یک از دواتم، امکان پذیر نیست. از این‌رو، پاولینگ برای تعیین الکترونگاتیوی اتمها، دریافتہ بود که باید یکی از عناصر را به عنوان مبنای الکترونگاتیوی آن را به طور قراردادی بر این مقدار معینی در نظر بگیرد.

بدین منظور وی هیدروژن را به عنوان مبنای الکترونگاتیوی آن را به طور دلخواه برابر ۲ در نظر گرفت و با استفاده از مقادیر انرژی‌های پیوندی و رابطه ۱۳-۶ مقدار الکترونگاتیوی اتمها را که با هیدروژن پیوند کووالانسی تشکیل می‌دهند، حساب کرده و با استفاده از مقادیر بدست آمده توانست الکترونگاتیوی بسیاری از اتمها را دیگر را نیز بدست آورد. این مقادیر با بسیاری از نتایج تجربی سازگاری داشت و براساس آن بسیاری از پدیده‌ها قابل توجیه بود. از این‌رو، مورد پذیرش همگان قرار گرفت. حتی با اینکه بعدها چندین روش برای تعیین الکترونگاتیوی عناصر ارائه شده بود، مقیاس پاولینگ برای الکترونگاتیوی، به عنوان یک مقیاس پایه برای الکترونگاتیوی تلقی و مقادیر بدست آمده از روش‌های دیگر با این مقیاس پایه، مقایسه و معمولاً به آن تبدیل می‌شوند. برای آشنایی بیشتر با چگونگی محاسبه الکترونگاتیوی عناصر به روش پاولینگ به حل یک تمرین می‌پردازیم:

تمرین ۷-۶

اگر انرژی پیوندهای I-I، H-H و H-I به ترتیب برابر ۳۶، ۱۰۴ و ۷۲ کیلو-کالری بر مول در نظر گرفته شود، الکترونگاتیوی یک را به روش پاولینگ حساب کنید.

حل:

$$\begin{aligned}\Delta E_{(HI)} &= E_{(H-I)} - \frac{E_{(H-H)} + E_{(I-I)}}{2} = 72 - \frac{104 + 36}{2} \\ &= 72 - 70 = 2 \text{ kcal/mol}\end{aligned}$$

با استفاده از رابطه ۶-۱۱ می‌توان نوشت:

$$\Delta X_{(HI)} = ۰۵۲۰۸ \sqrt{\Delta E_{(H-I)}} = ۰۵۲۰۸ \sqrt{2} = ۰۵۲۹۴$$

چون داریم:

$$\Delta X_{(HI)} = X_I - X_H$$

پس می‌توان نوشت:

$$X_I - X_H = ۳۰ - ۲۲ = ۸$$

و یا:

$$X_I = ۲۵$$

از آنجایی که مفهوم الکترونگاتیوی اتم، مفهومی نسبی است و آن را به طور دقیق نمی‌توان توصیف و مشخص کرد، از این‌رو، درمنابع مختلف، در زمینه الکترونگاتیوی، با برداشتهای متفاوتی از این مفهوم و نیز روش‌های گوناگون برای تعیین مقدار و مقیاس‌های مختلفی برای آن، برخورد می‌کنیم. البته نتایج حاصل از این روش‌های متفاوت، با یکدیگر سازگاری داشته و همه باید با به کار بردن ضرایب معینی بسادگی قابل تبدیل به مقیاس پاوینگ باشند و با آن همانگی داشته باشند.

یادآوری می‌شود که از سال ۱۹۳۲ که پاوینگ مفهوم الکترونگاتیوی عناصر را متدائل کرد، مدل‌ها بحث و بررسی درمورد آن ادامه داشت. مهمترین بحث‌ها در زمینه اهمیت، مفهوم واقعی، مقدار و واحد، اندازه‌گیری یا محاسبه و موارد کاربرد الکترونگاتیوی صورت گرفته است. امروزه نیز پرسشهای مهمی درمورد الکترونگاتیوی عناصر مطرح است که به نمونه‌های مهم آنها در زیر اشاره شده و سعی می‌شود که به آنها پاسخ داده شود.

— آیا می‌توان به یک زیربنای نظری برای مقیاس الکترونگاتیوی دست یافت؟

— آیا بهتر نیست به جای اینکه الکترونگاتیوی را خاصیتی برای اتم بدانیم، آن را خاصیتی مر بوط به اوربیتا لهای اتم و یا حتی مر بوط به پیوند بین اتم‌ها در نظر بگیریم؟

— آیا می‌توان الکترونگاتیوی انسوهی از اتم‌ها (مثلًاً گروهها و یا رادیکالها) را معین کرد؟

— آیا الکترونگاتیوی خاصیتی ثابت و تغییر ناپذیر برای اتم است و یا اینکه لزوماً باید تابعی از اعداد اکسایش (یا بارگزئی اتم‌ها)، هیبریداسیون اوربیتا لهای اتم و یا عدد کوئور دیناسیون آن (در نقش اتم مرکزی) در ترکیب مورد نظر باشد؟

— الکترونگاتیوی میزانی از کدام خاصیت فیزیکی اتم است و آن را بر حسب کدام واحد باید بیان کرد؟

— آیا الکترونگاتیوی دواتم پس از تشکیل پیوند بین آنها با هم برای می‌شود؟

— روند تغییرات الکترونگاتیوی عناصر در دوره‌ها و گروه‌های جدول تناوبی چگونه

است؟

مقادیر الکترونگاتیوی عناصر چه کار بردهای دارد؟

ج) روش‌های دیگر محاسبه الکترونگاتیوی:

دosh مولیکن

اولین و شاید بهترین توصیف نظری الکترونگاتیوی عناصر، دو سال پس از تعریفی که پاولینگ برای الکترونگاتیوی بیان داشته بود (یعنی در سال ۱۹۳۴) توسط مولیکن ارائه شد. بر اساس نظر مولیکن، الکترونگاتیوی هر عنصر، بر این میانگین حسابی انرژی اولین یونیزاسیون (E_I) و انرژی اولین الکترونخواهی (E_{EA}) آن بر حسب الکترون‌ولت است. یعنی داریم:

$$X_M = \frac{1}{2}(E_{EA} + E_I) \quad (12-6)$$

X_M الکترونگاتیوی مولیکن نامیده می‌شود. مقدار E_{EA} برای عناصری که نیم واکنش الکترونخواهی آنها گرمایزا است، در این رابطه، ثابت در نظر گرفته می‌شود. برای تبدیل الکترونگاتیوی مولیکن به مقیاس پاولینگ می‌توان از رابطه زیر استفاده کرد:

$$X_p = 0.34 X_M - 0.20 \quad (13-6)$$

قابل توجه است که در برخی از منابع، این رابطه به صورت‌های زیر نیز آمده است:

$$X_p = 0.336 (X_M - 0.615)$$

$$X_p = 0.168 (E_{EA} + E_I - 1.23)$$

برای آشنایی با چگونگی محاسبه الکترونگاتیوی عناصر به روش مولیکن و تبدیل آن به مقیاس پاولینگ و مقایسه نتایج به دست آمده از دو روش، به حل یک تمرین می‌برداریم:

تمرین ۸-۶

اگر انرژیهای اولین یونیزاسیون والکترونخواهی اتم هیدروژن به ترتیب برای ۱۷۳۳ و ۱۷۳ کیلوکالری برمول در نظر گرفته شود، الکترونگاتیوی اتم هیدروژن را به روش مولیکن حساب کرده و آن را به مقیاس پاولینگ تبدیل کنید.

$$127 = 23.05 \text{ K}_{\text{eV}}$$

حل:

با توجه به اینکه هر الکترون ولت برابر 23.056 کیلوکالری بر مول است، می‌توان

نوشت:

$$E_I = 313.56 - 23.056 = 130.59 \quad (\text{الکترون ولت})$$

$$E_{EA} = 175.3 - 23.056 = 152.4 \quad (\text{الکترون ولت})$$

با استفاده از رابطه $12-6$ می‌توان نوشت:

$$\begin{aligned} X_M &= \frac{1}{\gamma} (130.59 + 152.4) \\ &= 71 \quad (\text{الکترون ولت}) \end{aligned}$$

برای تبدیل آن به مقیاس پاولینگ، مطابق رابطه $13-6$ ، می‌توان نوشت:

$$X_p = 21 - 0.75 \times 134 = 20.25$$

دوش آلد - دوکو

آلد و دوکو در سال ۱۹۵۸ بر اساس بررسیهای تجربی، الکترونگاتیوی را خاصیتی در ارتباط با نیروی جاذبه هسته اتم بر الکترونهای لایه ظرفیت آن توصیف کرده و رابطه ذیر را برای محاسبه الکترونگاتیوی پیشنهاد کردند:

$$X_{(A.R.)} = \frac{Z^* e^2}{r^2} \quad (14-6)$$

Z^* بار مؤثره است، e برابر $10^{-10} \times 10^{-18}$ واحد الکتروستاتیکی و r شاعع کووالانسی اتم بر حسب سانتیمتر است. قابل توجه است که مقادیر الکترونگاتیوی به دست آمده با این روش، دقیقتراز روش‌های پیشین بوده و با خواص دیگر اتم سازگاری بیشتری دارد. به علاوه، بر اساس رابطه $14-6$ ، ارتباط بین شاعع اتم با الکترونگاتیوی و بار مؤثره است آن و چگونگی این ارتباط روش شده و با استفاده از آن بهتر و ساده‌تر از روش‌های پاولینگ و مولیکن، می‌توان روندهای تغییرات الکترونگاتیوی عناصر را در دوره‌ها و گروههای جدول تناوبی توجیه کرد.

برای تبدیل و تطبیق الکترونگاتیوی آلد - دوکو، به مقیاس پاولینگ، می‌توان از

رابطه زیر، استفاده کرد:

$$X_p = 0.359 \frac{Z^*}{r^2} + 0.744 \quad (15-6)$$

در این رابطه، ۳ شاعع کسووالانسی اتم بر حسب آنگستروم است.

تمرین ۹-۶

بار مؤثر هسته را برای الکترون لایه ظرفیت اتم اکسیژن، به روش اسلیتر حساب کرده، با استفاده از آن مقدار الکترونگاتیوی اکسیژن را به روش آلدروکو به دست آورید و آن را به مقیاس پاولینگ تبدیل کنید (شعاع کسووالانسی اتم اکسیژن برای ۰.۷۷۴ آنگستروم است).

حل:

با توجه به محاسبه بار مؤثر هسته (به بخش ۳-۴ رجوع شود)، می‌توان نوشت:

$$O : 1s^2 2s^2 2p^4$$

$$\sigma = 5 \times 0.35 + 2 \times 0.85 = 3.45$$

$$Z^* = 8 - 3.45 = 4.55$$

حال اگر مقادیر پارامترها را در رابطه ۱۴-۶، قرار دهیم، مقدار الکترونگاتیوی اکسیژن بر مقیاس آلدروکو به دست می‌آید:

$$X_{(A \cdot R \cdot)} = \frac{4.55 (4.8 \times 10^{-10} esu)^2}{(0.774 \times 10^{-8} cm)^2} = 0.019 (esu)^2 / cm^2$$

با استفاده از رابطه ۱۵-۶، می‌توان مقدار الکترونگاتیوی اکسیژن را به روش آلدروکو، بر مقیاس پاولینگ تبدیل کرد:

$$X_p = 0.359 \times \frac{4.55}{(0.774)^2} + 0.744 = 3.47$$

در مورد اینکه مقدار به دست آمده با مقدار متدائل آن (۳.۵) کمی تفاوت دارد، باید توجه داشت که بار مؤثر هسته به روش اسلیتر که روشی تقریبی است، حساب شده است. و اندازه شعاع کسووالانسی داده شده نیز ممکن است، دقیق نباشد.

تمرین ۱۰-۶

اگر الکترونگاتیوی اتم برم برابر ۲۵۸ و با رموده استه آن برای الکترون آخر بنتر از لایه ظرفیت، برابر ۵۹ در نظر گرفته شود، شعاع کووالانسی برم را حساب کنید:

حل:

با استفاده از رابطه ۱۵-۶، داریم:

$$\chi = 0.359 \frac{Z^*}{r^2} + 0.744$$

$$258 = 0.359 \frac{9}{r^2} + 0.744$$

$$r^2 = \frac{9 \times 0.359}{258 - 0.744} = 153 \text{ Å} \Rightarrow r = 114 \text{ Å}$$

(مقدار تجربی شعاع کووالانسی برم برابر ۱۱۴ آنگستروم است). در جدول ۶-۶ الکترونگاتیوی عناصر، که به روش‌های باولینگ، مولیکن و آلدروکو، به دست آمده گردآوری شده است.

یادآوری می‌شود که گوددی^۱ در سال ۱۹۴۶، الکترونگاتیوی را به منزله نسبت بار موثره است به شعاع کووالانسی آن براساس رابطه زیر، توصیف کرده بود.

$$\chi_c = \frac{eZ^*}{r} \quad (16-6)$$

ایستکوسکی^۲ و هادرگراو^۳ الکترونگاتیوی اتم را برابر با تغییرات انرژی نسبت به بار جزئی اتم، وقتی مقدار این بار به سمت صفر میل کند، توصیف کردند و در سال ۱۹۶۱ رابطه زیر را برای آن پیشنهاد کردند:

$$\chi = - \frac{dE}{d\delta \rightarrow 0} \quad (17-6)$$

که در آن χ الکترونگاتیوی اتم، dE تغییرات انرژی و $d\delta$ تغییرات بار الکتریکی اتم است. ساندرسن^۴ نیز در سال ۱۹۶۷، الکترونگاتیوی اتم را به عنوان نسبت بار به شعاع

۱) Gordy

۲) Iczkowski

۳) Margrave

۴) Sanderson

جدول ۶-۶ الکترونگاتیوی عناصر (اعداد ردیفهای اول، دوم و سوم در زیر علامت اختصاری هر عنصر، الکترونگاتیوی آن را که به قریب با روش‌های آلدردوکو، پاولینسک و مولیسک به دست آمده‌اند، نشان می‌دهند).

H	He																				
2.20																					
Li Be																	B C N O F Ne				
0.97 1.47																	2.01 2.50 3.07 3.50 4.10				
0.98 1.57																	2.04 2.55 3.04 3.44 3.98				
0.94 1.46																	2.01 2.63 2.33 3.17 3.91				
Na Mg																	Al Si P S Cl Ar				
1.01 1.23																	1.47 1.74 2.06 2.44 2.83				
0.93 1.31																	1.61 1.90 2.19 2.58 3.16				
0.93 1.32																	1.81 2.44 1.81 2.41 3.00				
K Ca Sc Ti V Cr Mn Fe Co Ni Cu Zn Ga Ge As Se Br Kr																					
0.91 1.04 1.20 1.32 1.45 1.56 1.60 1.64 1.70 1.75 1.75 1.66 1.22 2.02 2.26 2.48 2.74																					
0.82 1.00 1.36 1.54 1.63 1.66 1.55 1.83 1.88 1.91 1.90 1.65 1.81 2.01 2.18 2.55 2.96																					
0.80																	1.36 1.49 1.95		1.75 2.23 2.76		
Rb Sr Y Zr Nb Mo To Ru Rh Pd Ag Cd In Sn Sb Te I Xe																					
0.89 0.99 1.11 1.22 1.23 1.30 1.36 1.42 1.45 1.35 1.42 1.46 1.49 1.72 1.82 2.01 2.21																					
0.82 0.95 1.22 1.33 2.16																	2.28 2.20 1.93 1.69 1.78 1.96 2.05		2.66		
Cs Ba *																	1.36 1.4	1.80	1.65 2.10 2.56		
0.26 0.97																	1.23 1.33 1.40 1.46 1.52 1.55 1.44 1.42 1.44 1.44 1.44 1.55 1.67 1.76 1.96				
0.79 0.89																	2.36	2.20 2.28 2.54 2.00 2.04 2.33 2.02			
Fr Ra																					
0.86 0.97																					
*La Ce Pr Nd Pm Sm Eu Gd Tb Dy Ho Er Tm Yb Ln																					
1.08 1.06 1.07 1.07 1.07 1.07 1.07 1.01 1.11 1.10 1.10 1.10 1.10 1.11 1.11 1.11 1.06 1.14																					
1.10 1.12 1.13 1.14																	1.17 1.20	1.22 1.23 1.24 1.25	1.27		
*Ac Th Pa U Np Pu Am Cm Bk Cf Es Fm Md																					
1.00 1.11 1.14 1.22 1.22 1.22																	→→~1.2 (حدسی)→				
1.38 1.36 1.28																					

(ویا در حقیقت دانسیته الکترونی نسبی) توصیف کرد و روش دیگری برای محاسبه الکترونگاتیوی اتم ارائه داد که چندان مورد استفاده قرار نگرفت. ولی وی این روش را با موفقیت در چند مورد به ویژه در مورد عناصر ترانس اورانیم به کار برد و برای اولین بار توانست ویژگیهای مر بوط به الکترونگاتیوی این عناصر را توجیه کند.

۵) تغییرات الکترونگاتیوی

با توجه به اینکه مقدار انرژی هربیوند، مقدار انرژی بونیز اسیون، مقدار انرژی الکترونخواهی، بار موثر هسته و شعاع کووالانسی اتم مقدار ثابتی است، چنین به نظر می آید که الکترونگاتیوی هر اتم، خاصیتی تغییر ناپذیر و مقدار آن همواره ثابت است. ولی این تصوری بیش نیست. زیرا بررسیها نشان داده است که الکترونگاتیوی اتم خصلتی تغییر پذیر است و چگونگی و میزان این تغییر به وضعیت اوربیتالهای اتم، یعنی به نوع هیبریداسیون اوربیتالهای آن و نیز به تعداد و نوع اتمها یا گروههای اتمی که در ترکیبات با آن پیونددارند (یعنی در حقیقت به مقدار بار الکتریکی جزوی آن در ترکیب مورد نظر) بستگی دارد. با توجه به اهمیت این موضوع، به بررسی آن می پردازیم.

I) تأثیر هیبریداسیون اوربیتالها در مقدار الکترونگاتیوی اتم
 اصولاً هیبرید شدن اوربیتالهای یک اتم ضمن ترکیب شدن آن با اتمهای دیگر، موجب افزایش مقدار الکترونگاتیوی آن می شود. زیرا، اوربیتال د لایه ظرفیت آن اتم در تشکیل اوربیتالهای هیبریدی همراه با اوربیتالهای p و d شرکت می کند. چون سطح انرژی تراز د لایه ظرفیت از سطح انرژی ترازهای p و d (در عناصر اصلی) پایین تر است، اوربیتالهای هیبریدی حاصل، نسبت به اوربیتالهای اتمی خالص p و یا d ، تحت تأثیر نیروی جاذبه بیشتری از طرف هسته اتم قرار می گیرد. در نتیجه، اتم به جذب الکترونهای پیوندی تمایل بیشتری پیدا می کند. به بیانی دیگر، الکترونگاتیوی آن بیشتر می شود. بر این اساس، می توان بیش بینی کرد که هر چه سهتم اوربیتال د در تشکیل اوربیتالهای هیبریدی بیشتر باشد (به بیانی دیگر، هر چه اوربیتالهای هیبریدی دارای خصلت د بیشتری باشند)، الکترونگاتیوی اتم در پیوندی که با چنین اوربیتال هیبریدی تشکیل می شود، بیشتر خواهد بود.

دانشمندانی چون بنت^۱، مولیکن، یافه^۲ و هینس^۳ چگونگی و میزان تأثیر هیبرید شدن

۱) Bent

۲) Jaffe

۳) Hinze

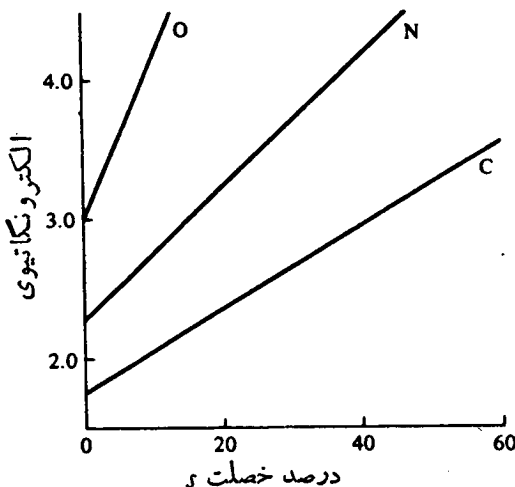
اور بینالها را بر الکترونگاتیوی اتم، مورد بررسی قرار دادند. در جدول ۶-۷، به عنوان نمونه، مقادیر الکترونگاتیوی اتمهای کربن، نیتروژن و اکسیژن در ترکیبات مختلف آنها در ارتباط با هیبریداسیون اور بینالها که توسط هینس و یافه در سال ۱۹۶۲ به دست آمد، نشان داده شده است.

جدول ۶-۶ مقادیر الکترونگاتیوی اتمهای کربن، نیتروژن و اکسیژن در ارتباط با نوع هیبریداسیون اور بینالهای آنها در ترکیبات مختلف.

عنصر	هیبریداسیون	ترکیب نمونه	درصد S	مقدار الکترونگاتیوی
کربن	p	رادیکال CH	۰	۱۵۷۵
	sp^3	اتان	۲۵	۲۵۴۸
	sp^2	اتیلن	۳۳۰۳۳	۲۵۷۵
	sp	استیلن	۵۰	۳۵۲۹
نیتروژن	p	رادیکال NH	۰	۲۵۲۸
	sp^3	الکیل آمین	۲۵	۳۵۶۸
	sp^2	پیریدین	۳۳۰۳۳	۴۵۱۳
اکسیژن	sp	الکیل نیتریل	۵۰	۵۵۰۷
	p	رادیکال OH	۰	۳۵۰۴
	sp^3	آب	۲۵	۴۵۹۳

با توجه به داده‌های جدول ۷-۶، الکترونگاتیوی 3 درمورد اتم نیتروژن را باید به حالت حد وسطی بین اوربیتال خالص p و اوربیتال هیبریدی $p^3 d$ والکترونگاتیوی 3.5 برای اتم اکسیژن را نیز باید به حالت حد وسطی بین اوربیتال p خالص و اوربیتال هیبریدی $p^3 d$ نسبت داد.

قابل توجه است همان طور که داده‌های جدول ۷-۶ نشان می‌دهد، میزان تأثیر هیبریداسیون اوربیتالها در تغییر الکترونگاتیوی عناصر مختلف یکسان نیست. بلکه، هرچه اتم کوچکتر والکترونگاتیوی آن بیشتر باشد، مطابق شکل ۱۱-۱ شدت این تأثیر بیشتر است.



شکل ۱۱-۶ نمودارهای تغییرات الکترونگاتیوی

امهای کربن، نیتروژن نسبت به درصد

سهم اوربیتال d در هیبریداسیون

توجه:

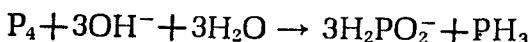
در روش پاوولینگ مقدار الکترونگاتیوی فسفر برابر الکترونگاتیوی هیدروژن قید شده است. از مقادیری که برای الکترونگاتیوی فسفر به روشهای مختلف در منابع معتبر

گزارش شده است، چنین بر می‌آید که میانگین این مقادیر درمورد فسفر نسبت به هیدروژن کمتر است (به جدول ۸-۶ رجوع شود). یعنی هیدروژن از فسفر الکترونگاتیو تر است.

جدول ۸-۶ مقایسه مقادیر الکترونگاتیو اتمهای هیدروژن و فسفر

میانگین	الکترونگاتیو			عنصر
	روشن آرد روکو	روشن مولیکن	روشن پاولینگ	
2.14	2.20	2.21	2.2	هیدروژن
2.03	2.06	1.84	2.10	فسفر

پس باید انتظار داشت که مثلاً در ترکیب مانند PH_3 (فسفین)، اعداد اکسایش فسفر و هیدروژن به ترتیب برابر $+3$ و $+1$ باشد. در صورتی که چنین نیست. زیرا اگر چنین باشد، مثلاً واکنش زیرنمی تواند از نوع اکسایش-کاهش باشد:



زیرا، در آن صورت، در هر دو ترکیب فسفر دار حاصل از این واکنش، عدد اکسایش فسفر برابر $+3$ خواهد بود که در آن صورت، فقط یک عنصر تمامًا اکسید شده (یعنی فسفر از عدد اکسایش صفر به $+3$ رسیده است) و احیا شونده‌ای، در واکنش شرکت نداشته است. بدیهی است که چنین فرضی قابل قبول نیست. زیرا، حضور حداقل یک عنصر احیا-شوونده (که عدد اکسایش آن باید کاهش یابد)، در مقابل عنصر اکسید شونده، امری اجتناب ناپذیر است. پس باید قبول کرد که در مولکول فسفین عدد اکسایش فسفر برابر -3 است. با توجه به اینکه با بررسیهای مولیکن و یافه و براساس تأثیر هیبریداسیون اور بیتا لهای اتم بر الکترونگاتیوی آن، الکترونگاتیوی فسفر در حالت هیبریدی sp^3 برابر 2.79 و با اور بیتا لهای اتمی خالص p برابر 1.84 گزارش شده است. با قبول اینکه در مولکول فسفین، اتم فسفر با اور بیتا لهای هیبریدی sp^3 و یا حد وسط بین اور بیتا لهای اتمی خالص p و هیبریدی sp^3 با اتمهای هیدروژن پیوند برقرار کرده است، می‌توان، عدد اکسایش

۳— را برای فسفر در PH_3 توجیه کرد.

(II) تأثیر باد الکتریکی جزئی اتم ($\delta \pm$) بر الکترونگاتیوی آن

هینس ویافه در سال ۱۹۶۲ و هیوبی^۱ در سال ۱۹۶۵ با بررسیهای دقیقی کسه انجام داده بودند، دریافتند که الکترونگاتیوی عناصر نه تنها بر حسب نوع هیبریداسیون اوربیتالهای لایه ظرفیت آنها در یک ترکیب تغییر می‌کند، بلکه از تغییرات بار الکتریکی جزئی اتم در آن ترکیب نیز پیروی می‌کند. به طوری که مجموع مقادیر انحرافیهای یونیزاسیون (E_I) و الکترونخواهی (E_{EA}) اتم، نسبت به بار الکتریکی آن در آن ترکیب، مطابق آنچه که برای اتمهای فلوئور و کلر در شکل ۱۲-۱ نشان داده شده است، همواره به صورت یک سهمی تغییرمی‌کند. یعنی می‌توان نوشت:

$$E = E_I + E_{EA} = \beta\delta^2 + \alpha\delta \quad (18-6)$$

قابل توجه است که هینس ویافه با توجه به هیبریداسیون اوربیتالها و بار جزئی اتم، برای محاسبه الکترونگاتیوی اوربیتالهای هیبریدی p^3 ، معادلات زیر را به دست آورده‌اند:

$$X_{(0)} = \frac{1}{2} (3E_I - E_{EA}) \quad (19-6)$$

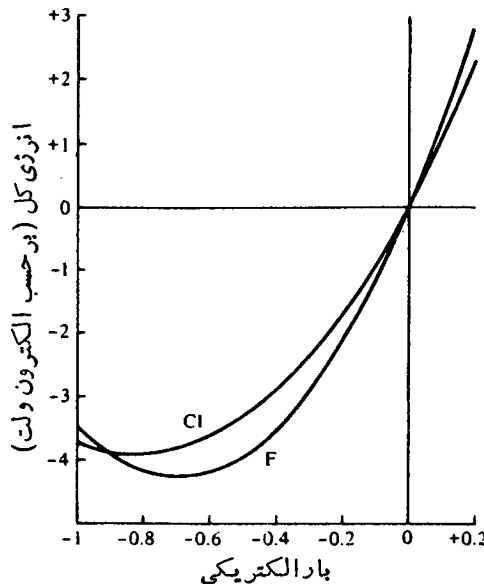
$$X_{(1)} = \frac{1}{2} (E_I + E_{EA}) \quad (20-6)$$

$$X_{(2)} = \frac{1}{2} (3E_{EA} - E_I) \quad (21-6)$$

$X_{(0)}$ الکترونگاتیوی اوربیتال هیبریدی خالی یا یون A^+ ، $X_{(1)}$ الکترونگاتیوی اوربیتال هیبریدی تک الکترونی یا اتم خنثی A و $X_{(2)}$ الکترونگاتیوی اوربیتال هیبریدی دو الکترونی یا یون A^- است.

تمرین ۱۱-۶

الکترونگاتیوی C^+ ، C و C^- را به روش هینس ویافه حساب کنید.



شکل ۶-۶ انمودارهای تغییرات E در مورد

فلوئور و کلسیم نسبت به پارالکتریکی

جزئی آنها در ترکیبات.

حل:

با استفاده از روابط ۱۹-۲۱ تا ۲۱-۶ و مقادیر انرژیهای الکترونخواهی و یونیزاسیون اتم کربن، می‌توان نوشت:

$$X(C^+) = \frac{1}{2} (3 \times 14.64 - 1.34) = 21.29$$

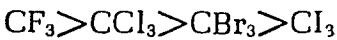
$$X(C) = \frac{1}{2} (14.64 + 1.34) = 7.99$$

$$X(C^-) = \frac{1}{2} (3 \times 1.34 - 14.64) = -5.31$$

III) تأثیر اتمهای دیگر ذرا الکترونگاتیوی اتم مرکزی، الکترونگاتیوی گروهها و دادیکالها با توجه به آنچه که گذته شد، بدینهی است که مقدار مشخصی از الکترونگاتیوی اتم را نمی‌توان به آن اتم در ترکیبات مختلف آن نسبت داد. مثلاً حتی با وجود اینکه هیبریداسیون اور بیتانهای اتم کربن در ترکیباتی نظیر CH_4 , CHCl_3 , CHF_3 , CHBr_3 و CHI_3

غیره از نوع sp^3 است، اما الکترونگاتیوی کربن در پیوند $\text{H}-\text{C}-\text{درآنها}$ برابر نیست

ذیرا در گروههای CH_3 , CCl_3 , CBr_3 و CI_3 , پیوندهای $\text{X}-\text{C}$ قطبی بوده و میزان قطبیت آنها، در این گروهها یکسان نیست. در نتیجه مقدار بار الکتریکی که بر روی هر اتم کربن القایی کنند، متفاوت است و با توجه به رابطه $6-24$ الکترونگاتیوی کربن در آنها با یکدیگر تفاوت دارد. براین اساس انتظار می‌رود که الکترونگاتیوی کربن در گروههای تامبرده به ترتیب زیر تغییر کند:



هیوی در سال ۱۹۶۵ روشی برای تعیین الکترونگاتیوی گروهها انتشار داد که بر اساس متغیر بودن الکترونگاتیوی اتم مرکزی در هر گروه و اصل برابری الکترونگاتیوی استوار است. به علاوه وی در سال ۱۹۶۶ نیز به روش تجربی (طیف نمایی زیر قرمز)، توانسته بود الکترونگاتیوی برخی از گروهها را حساب کند. ولی نیز در سال ۱۹۶۸ به روش تجربی، الکترونگاتیوی برخی از گروهها را به دست آورد که به عنوان بهترین نتایج تجربی مورد پذیرش قرار گرفت. در جدول $6-9$ ، مقدار الکترونگاتیوی اتم مرکزی در چند گروه، نشان داده شده است.

۶) الکترونگاتیوی مولیکلن-یافه

بر اساس پیشنهاد ایستکوسکی و مارگراف در سال ۱۹۶۱ که الکترونگاتیوی اتم در هر ترکیب را باید برابر نسبت $\frac{dE}{d\delta}$ در نظر گرفت، مولیکلن-یافه، برای محاسبه مقدار الکترونگاتیوی عناصر در ترکیبات، معادله زیر را با توجه به رابطه $6-18$ ارائه دادند:

$$x_{M.J.} = 2\beta\delta + \alpha = b\delta + a \quad (6-6)$$

جدول ۹-۶ مقدار الکترونگانیوی برشی از گروههای متداول

NH ₂	Cl ₃	CBr ₃	CCl ₃	CF ₃	CH ₃	گروه
2.78	2.96	3.10	3.19	3.32	2.3	الکترونگانیوی
C ₆ H ₅	CN	N(CH ₃) ₂	NO ₂	NF ₂		گروه
2.58	3.76	2.61	4.22	3.78		الکترونگانیوی

۱۲-۶ الکترونگاتیوی مولیکن و یافه نامیده می‌شود.

براساس این رابطه، هر گاه مقدار δ برابر صفر باشد، مقدار الکترونگاتیوی اتم خنثی یعنی a به دست می‌آید که پس از تبدیل به مقیاس پاولینگ (با استفاده از رابطه $13 - 6$) به الکترونگاتیوی پاولینگ، آلد - روکو والکترونگاتیوی مولیکن (پس از تبدیل به مقیاس پاولینگ) برابر ویا نزدیک است. b که در حقیقت شبیه نمودار تغییرات الکترونگاتیوی اتم نسبت به بار الکتریکی آن در حالت ترکیب است، ضریب باد* نامیده می‌شود. هرچه اتم کوچکتر، متراکمتر والکترونگاتیوی تر باشد، مقدار این ضریب بزرگتر است. مقادیر a و b الکترونگاتیوی مولیکن - یافه برای تعدادی از عناصر در جدول $13 - 5$ داده شده است. برای آشنایی بیشتر با چگونگی کاربرد این روش و محاسبه الکترونگاتیوی عناصر با این روش، به حل یک تمرین می‌پردازیم:

تمرین ۱۲-۶

درصورتی که مقدار ثابت a و ضریب b در معادله $13 - 6$ ، برای فلوئور به ترتیب برای 12518 (ولت) و 17536 (ولت بر الکترون) باشد، الکترونگاتیوی فلوئور را به روش مولیکن - یافه، در مواردی که بار الکتریکی آن برابر صفر، -50 - $+50$ باشد، حساب کرده و آنها را به مقیاس پاولینگ تبدیل کنید. ضمناً نمودار تغییرات الکترونگاتیوی فلوئور را نسبت به تغییر بار الکتریکی آن رسم کنید.

حل:

با استفاده از رابطه $13 - 6$ می‌توان نوشت:

$$X_{(F^0)} = 17536 \times 0 + 12518 = 12518$$

برای تبدیل آن به مقیاس پاولینگ، با استفاده از رابطه $13 - 6$ ، داریم:

$$X_p = 50534 \times 12518 - 5020 = 3594$$

$$X_{(F^{-0/17})} = 17536 + 12518 \approx 0$$

$$X_{(F^{+0/15})} = 17536 + 12518 = 20586$$

$$X_p = 20586 \times 50534 - 5020 = 6589$$

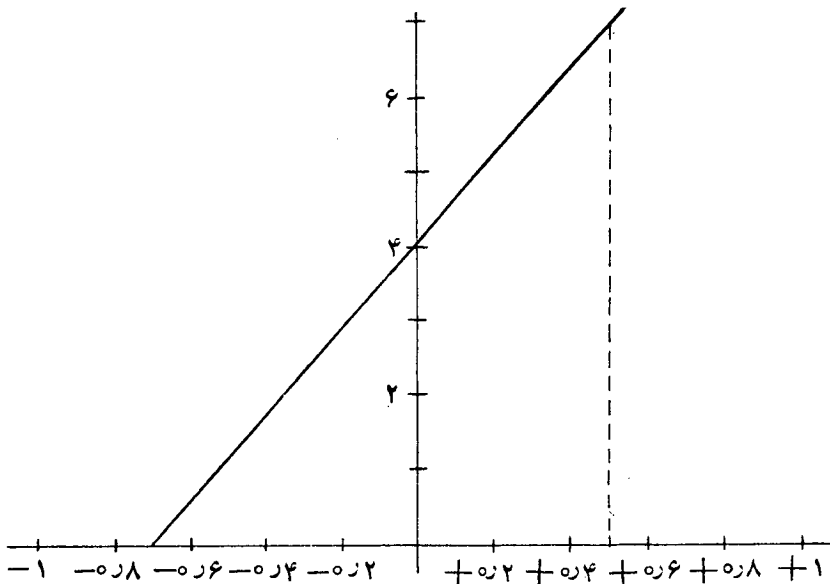
جدول ۱۵-۶ مقادیر a و b و الکترونگاتیوی مولیکن - یافه برای برخی از عناصر

		الکترونگاتیوی	a	b
	عنصر ردیف	اوریتال خالص ماقیاس باولینگ	ولت	ولت بر الکترون
1.	H	s	2.21	7.17 12.85
2.	He	s	4.86	15.08 —
3.	Li	s	0.84	3.10 4.57
4.	Be	sp	1.40	4.78 7.59
5.	B	sp^3	1.81	5.99 8.90
		sp^2	1.93	6.33 9.91
6.	C	p	1.75	5.80 10.93
		sp^3	2.48	7.98 13.27
		sp^2	2.75	8.79 13.67
		sp	3.29	10.39 14.08
7.	N	p	2.28	7.39 13.10
		23% s	3.56	11.21 14.64
		sp^3	3.68	11.54 14.78
		sp^2	4.13	12.87 15.46
		sp	5.07	15.68 16.46
8.	O	p	3.04	9.65 15.27
		20% s	4.63	14.39 17.65
		sp^3	4.93	15.25 18.28
		sp^2	5.54	17.07 19.16
9.	F	p	3.90	12.18 17.36
10.	Ne	p	4.26	13.29 —
11.	Na	s	0.74	2.80 4.67
12.	Mg	sp	1.17	4.09 6.02
13.	Al	sp^2	1.64	5.47 6.72
14.	Si	sp^3	2.25	7.30 9.04
15.	P	p	1.84	6.08 9.31
		sp^3	2.79	8.90 11.33
16.	S	p	2.28	7.39 10.01

ادامه جدول ١٥-٦

		الكتروناتيوي اوسيتال خالص يا هيريدى عنصر رديف	مقاييس باولينگ	<i>a</i>	<i>b</i>
		sp^3	3.21	10.14	10.73
17.	Cl	p	2.95	9.38	11.30
18.	Ar	p	3.11	9.87	—
19.	K	s	0.77	2.90	2.88
20.	Ca	sp	0.99	3.30	4.74
21.	Cu(I)	s	1.36	4.31	6.82
	Cu(II)				
22.	Zn(II)	sp	1.49	4.71	6.43
23.	Ga(III)	sp^2	1.82	6.02	7.48
24.	Ge(IV)	sp^3	2.50	8.07	6.82
25.	As(III)	sp	1.59	5.34	8.03
		sp^3	2.58	8.30	8.99
26.	Se	p	2.18	7.10	9.16
		sp^3	3.07	9.76	11.05
27.	Br	p	2.62	8.40	9.40
28.	Kr	p	2.77	8.86	—
29.	Rb	s	0.50	2.09	4.18
30.	Sr	sp	0.85	3.14	4.41
31.	In	sp^2	1.57	5.28	6.79
32.	Sn(II)	30% s	2.67	8.55	5.06
	Sn (IV)	sp^3	2.44	7.90	5.01
33.	Sb	p	1.46	4.96	7.57
		sp^3	2.64	8.48	9.37
34.	Te	p	2.08	6.81	8.46
		sp^3	3.04	9.66	10.91
35.	I	p	2.52	8.10	9.15
36.	Xe	p	2.40	7.76	—
37.	Rn	p	2.12	6.92	—

نمودار تغییرات، چنین است:



ز) اصل برابری الکترونگاتیوی*

این اصل توسط ساندرسن در سال ۱۹۵۴ بیان شد. براساس این اصل، وقتی که دو اتم باهم پیوند کروالانسی تشکیل می‌دهند، الکترونهای پیوندی تا آنجا به سمت اتم الکترونگاتیو تر جا بجا می‌شوند که مقدار الکترونگاتیوی دو اتم باهم برابر شود. زیرا، در آغاز، اتم الکترونگاتیو تر تمايل به جذب الکترونهای پیوندی به سمت خود دارد. ولی به تدریج که این الکترونهای به سمت آن کشیده می‌شوند، مقداری بار الکتریکی منفی بر روی آن به وجود می‌آید که موجب کاهش میزان الکترونگاتیوی آن می‌شود و به همان میزان بر روی اتم دیگر، مقداری بار الکتریکی مثبت به وجود می‌آید که باعث افزایش الکترونگاتیوی آن می‌شود. به طوری که تفاوتی که در آغاز تشکیل پیوند بین الکترونگاتیوی دو اتم وجود داشت، از بین می‌رود. در نتیجه، موقعیت الکترونهای پیوندی در فاصله تعادلی مشخصی بین دو اتم تثییت می‌شود:

در واقع، مفهوم تشکیل پیوند کرووالانسی بین دو اتم به جفت شدن الکترونهای منفرد این اتمها محدود نمی‌شود، بلکه، جا بجا یابی الکترونهای پیوندی پس از تشکیل پیوند را نیز شامل می‌شود. اصولاً "در یک پیوند کرووالانسی پایدار، الکترونهای پیوندی باید به طور مساوی از جانب دو هسته کشیده شوند. چنانچه پس از تشکیل پیوند، چنین وضعی وجود نداشته باشد، الکترونهای پیوندی به سمت اتم الکترونگاتیو تر جا بجا می‌شوند تا این شرط

* Electronegativity equalization principle

برابری حاصل آید.

قابل توجه است که براساس این اصل و با استفاده از رابطه ۶-۲۲، بارجزوی هر یک از دو اتم را در ترکیب معین، می‌توان حساب کرد. ذیرا می‌توان نوشت:

$$\chi_A = \chi_B$$

$$\delta_B = -\delta_A$$

$$b_A \delta_A + a_A = b_B \delta_B + a_B = -b_B \delta_A + a_B$$

$$\delta_A = \frac{a_B - a_A}{b_B + b_A} \quad (23-6)$$

البته مقدار δ که با این روش برای اتم حساب می‌شود، با مقدار آن که از روی اختلاف الکترونگاتیوی دو اتم (رابطه ۶-۲۳) و یا به روش محاسبه ممان دوقطبی الکتریکی پیوند، (رابطه ۶-۲۴) به دست می‌آید تفاوت داشته و کوچکتر است. علت را می‌توان در این دانست که در این روش منحصرًا انرژیهای یونیراسیون والکترونخواهی اتم در جا بجا بی و توزیع بار الکترون، دخلالت داده می‌شود. حال آنکه، انرژیهای دیگری از جمله انرژی تبادلی و انرژی رزونانس یونی - کوالانسی و ... نیز می‌باشد منظور شده باشد. البته باید توجه داشت که اصولاً هنوز توافق کلی در مورد مقدار واقعی بارجزوی اتمها در مولکولها به وجود نیامده است.

تمرین ۶-۱۳

در صورتی که مقدار ثابتی a و b در معادله ۶-۲۳ برای فلوئور به ترتیب برابر ۱۲۵۱۸ (ولت) و ۱۷۵۳۶ (ولت بر الکترون) و برای اتم هیدروژن به ترتیب برابر ۷۷۱۷ (ولت) و ۱۲۵۸۵ (ولت بر الکترون) باشد، بار جزوی این اتمها را در مولکول HF به دست آورده و با استفاده از آنها ثابت کنید که الکترونگاتیوی فلوئور و هیدروژن در این ترکیب با یکدیگر برابر است.

حل:

با استفاده از رابطه ۶-۲۳ می‌توان نوشت:

$$\delta_F = \frac{7717 - 12518}{12585 + 17536} = -0.166$$

$$\delta_H = -\delta_F = +0.166$$

براساس رابطه ۶-۲ داریم:

$$X_F = 17.36 + 12.18 = 9.23$$

$$X_H = 12.85 + 7.17 = 9.30$$

که با مقیاس پاولینگ، برابر ۹.۳ است.

ح) روند تغییرات الکترونگاتیوی عناصر در دوره‌های جدول تناوبی و توجیه آن به طور کلی برای تعیین روند تغییرات الکترونگاتیوی عناصر و توجیه آن، می‌توان از روش آلد- روکو (رابطه ۱۵-۶) استفاده کرد. زیرا با توجه به اینکه، در هر دوره از جدول تناوبی با افزایش عدد اتمی از یک طرف، اندازه شعاع کروالانسی اتم به تدریج کاهش یافته و از طرف دیگر، بر مقدار بار مؤثر هسته آن به تدریج افزوده می‌شود و براساس رابطه ۱۵-۶ این دو تغییر، هر دو درجهت افزایش دادن مقدار الکترونگاتیوی اتم صورت می‌گیرد، از این‌رو، به روشی می‌توان دریافت که چرا و چگونه الکترونگاتیوی عناصر در طول هر دوره به تدریج افزایش می‌یابد. برای نمونه، براساس داده‌های جدول ۶-۱۱، می‌توان به روند تغییرات الکترونگاتیوی عناصر در دوره دوم یی بردا.

جدول ۶-۱۱ مقادیر الکترونگاتیوی عناصر دوره دوم

عنصر	لیتیم	بریلیم	بور	کربن
الکترونگاتیوی	0.97	1.47	2.01	2.5
عنصر	نیتروژن	اکسیژن	فلوئور	
الکترونگاتیوی	3.07	3.50	4.1	

نسبتاً کم است، تفاوت الکترونگاتیوی بین آنها چشمگیر نیست، برای نمونه، الکترونگاتیوی عناصر واسطه دوره چهارم در جدول ۱۲-۶، داده شده است.

جدول ۱۲-۶ مقادیر الکترونگاتیوی عناصر واسطه دوره چهارم

عنصر	اسکاندیم	تیتان	وانادیم	کروم	منگنز
الکترونگاتیوی	۱.۲۰	۱.۳۲	۱.۴۵	۱.۵۶	۱.۶۰
عنصر	آهن	کبالت	نیکل	مس	روی
الکترونگاتیوی	۱.۶۴	۱.۷۰	۱.۷۵	۱.۷۵	۱.۶۶

دلیل اینکه الکترونگاتیوی مس و روی برخلاف روند کلی، نسبتاً کم است را می‌توان به بزرگتر شدن شعاع کووالانسی بر اثر افزایش دافعه الکترونها در اوربیتالهای پرشده تراز $3d$ در مس و اوربیتالهای $4s$ و $3d$ لایه ظرفیت در روی نسبت داد.

روند تغییرات الکترونگاتیوی عناصر در گروههای جدول تناوبی و توجیه آن با توجه به اینکه با افزایش عدد اتمی در هر گروه، هم اندازه شعاع کووالانسی اتم و هم مقدار بار مؤثر هسته آن افزایش می‌یابد، براساس رابطه $15 - \frac{1}{R}$ ممکن است تصور شود که الکترونگاتیوی عناصر در گروه تغییر نمی‌کند. ولی از آنجایی که، میزان افزایش شعاع کووالانسی عناصر در گروهها بر افزایش مقدار بار مؤثر هسته آنها غلیبه دارد و بهویژه که در رابطه $15 - \frac{1}{R}$ مقدار شعاع به توان ۲ می‌رسد، الکترونگاتیوی عناصر با افزایش عدد اتمی در گروهها به طور کلی کاهش می‌یابد. بدینهی است که به علت رقابت دو عامل یعنی افزایش بار مؤثر هسته (که عامل افزایش دهنده الکترونگاتیوی است) و افزایش اندازه شعاع کووالانسی اتم (که عامل کاهش دهنده الکترونگاتیوی است)، تفاوت الکترونگاتیوی عناصر در گروهها نسبت به تفاوت الکترونگاتیوی آنها در دوره‌ها، کمتر است و یا ممکن

است گاهی تفاوتی وجود نداشته و یا حتی برخلاف روند کلی با افزایش عدد اتمی، الکترونگاتیوی عناصر در گروه کاهش یا بد. مثلاً در مورد عناصر اصلی دوره چهارم، الکترونگاتیوی به ترتیبی که در جدول ۱۳-۶ آمده است: تغییر می‌کند.

جدول ۱۳-۶ مقادیر الکترونگاتیوی عناصر اصلی گروه چهارم

عنصر	کربن	سیلیسیم	ذرمانیم	قلع	سربر
الکترونگاتیوی	2.48	1.74	2.02	1.72	1.55

در مورد ذرمانیم که با روند کلی سازگاری ندارد، علت را می‌توان به تأثیر اثر پوششی نسبتاً کم تراز $3d$ نسبت داد که موجب افزایش بار مؤثر هسته و کاهش اندازه شاعع و درنتیجه افزایش مقدار الکترونگاتیوی آن می‌شود.

در مورد گروههای عناصر واسطه نیز به طور کلی مقدار الکترونگاتیوی با افزایش عدد اتمی کاهش می‌یابد. مثلاً در مورد عناصر واسطه گروه IB الکترونگاتیوی مس، نقره و طلا به ترتیب برابر ۱۷۵، ۱۷۴ و ۱۷۲ است.

دلیل زیاد بودن الکترونگاتیوی طلا را می‌توان به اثر انتقامی لاتانییدی در کاهش اندازه شاعع عناصر واسطه دوره ششم و درنتیجه افزایش بار مؤثر هسته آنها نسبت داد.

۵) نقش و کاربردهای الکترونگاتیوی

با دانستن مقدار الکترونگاتیوی عناصر، می‌توان بسیاری از خواص مر بوط به انرژی پیوند، از جمله: قطبیت پیوند، خصلت یونی پیوند، انرژی تفکیک پیوند، ممان دوقطبی پیوندها و مولکول، خصلات اسیدی و بازی، مکانیسم برخی از واکنشهای شیمیایی وغیره را درک و توجیه کرد. برای نمونه، چند مورد از کاربردهای الکترونگاتیوی را مورد بررسی قرار می‌دهیم:

(۱) پیشگویی قطبی و یا غیرقطبی بودن پیوند
هر گاه الکترونگاتیوی دو اتم که با یکدیگر پیوندی کووالانسی را به وجود می‌آورند،

برابر نباشد، با توجه به اصل برابری الکترونگاتیوی، الکترونها پیوندی جابجا شده حاصل می‌کند. به طوری که مراکز بارهای مثبت و منفی در پیوند حاصل از یکدیگر فاصله گرفته و پیوند به صورت یک دوقطبی الکتریکی درمی‌آید. چنین پیوندی اصطلاحاً «پیوند قطبی» نامیده می‌شود. مانند پیوندهای $H-F$, $C-O$, $N-Cl$ و ...

بدینه است که در صورت برای بردن الکترونگاتیوی دواتم، مراکز بارهای مثبت و منفی پیوند برهم منطبق بوده و پیوندی که بین آنها برقرار می‌شود، پیوندی غیرقطبی خواهد بود. مانند پیوند $O=O$, $H-H$, $N \equiv N$ وغیره.

در مورد مولکولهایی که چند پیوند قطبی دارند، هر چند که وجود پیوندهای قطبی شرطی لازم برای قطبی بودن آنها است، اما کافی نیست. زیرا چنین مولکولهایی فقط در صورتی قطبی خواهند بود که آن پیوندها طوری در اطراف اتم مرکزی آرایش یافته باشند تا برآیند بردارهای ممان دوقطبی آنها، اثر یکدیگر را از بین نبرند. به علاوه، وجود الکترونها غیر پیوندی اتم مرکزی، خود در نقش مؤلفهای از ممان دوقطبی مولکول، در قطبیت آن دخالت دارد. بر همین اساس است که مثلاً مولکولهای CH_4 , BF_3 , $BeCl_2$ با وجود اینکه همه پیوندهای آنها قطبی است، مولکولهایی غیرقطبی اند. زیرا، با توجه به شکل هندسی آنها، برآیند ممانهای دوقطبی این پیوندها در آنها برای صفر است. مثلاً در کلرید بریلیم، ممانهای دوقطبی پیوند با هم برای ولی در یک راستا و در جهت مخالف یکدیگر قرار دارند. در نتیجه اثر یکدیگر را ازین می‌برند:



با توجه به اینکه ممان دوقطبی پیوندها کمیتی برداری است، در مورد محاسبه برآیند دو بردار $\vec{\mu}_1$ و $\vec{\mu}_2$ می‌توان از رابطه زیر استفاده کرد:

$$\vec{\mu} = \sqrt{\vec{\mu}_1^2 + \vec{\mu}_2^2 + 2\vec{\mu}_1 \cdot \vec{\mu}_2 \cos \alpha} \quad (4-6)$$

که در آن $\vec{\mu}$ برآیند بردارهای $\vec{\mu}_1$ و $\vec{\mu}_2$ و α زاویه بین آنها است. از این رابطه می‌توان برای محاسبه ممان دوقطبی مولکولهایی که دو پیوند قطبی دارند استفاده کرد.

تمرین ۱۶-۶

با استفاده از رابطه $\vec{\mu} = \vec{\mu}_1 + \vec{\mu}_2$ ثابت کنید که مولکول $BeCl_2$ غیرقطبی است.

است).

حل:

چون این مولکول خطی است و دو پیوند قطبی آن کاملاً مشابه‌اند، پس داریم:

$$\alpha = 180^\circ \quad \vec{\mu}_1 = \vec{\mu}_2$$

$$\mu = \sqrt{\vec{\mu}_1^2 + \vec{\mu}_2^2 + 2 \vec{\mu}_1 \cdot \vec{\mu}_2 \cos 180^\circ} = \sqrt{2 \vec{\mu}_1^2 + 2 \vec{\mu}_2^2 (-1)} = 0$$

تمرین ۱۵-۶

با استفاده از رابطه ۶-۲۴ ممان دوقطبی مولکول آب را حساب کنید. در صورتی که داشته باشیم:

$$\vec{\mu}_{O-H} = 104.5^\circ \quad \alpha = 104.5^\circ \quad (\text{دبای})$$

حل:

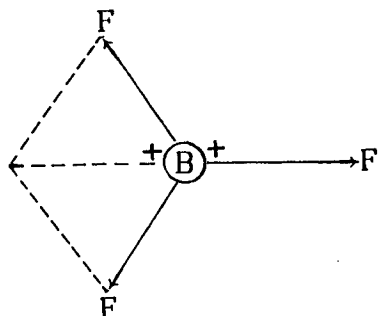
$$\mu = \sqrt{104.5^\circ \times 105.2 \times 105.2 \times \cos 104.5^\circ + 2 \times 105.2 \times 105.2}$$

دبای = ۱۰۸۵

در مورد مولکولهایی که چند پیوند دوقطبی دارند، می‌توان با استفاده از رابطه ۶-۶ ابتدا برآیند ممان دوقطبی دوپیوند را حساب کرد و بعد برآیند حاصل را با پیوند سوم، در نظر گرفت و ...

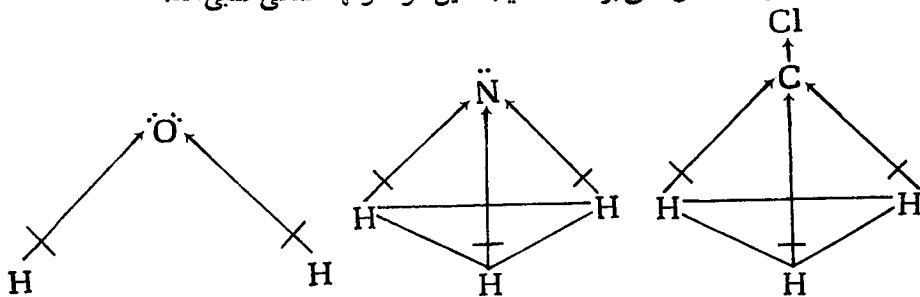
البته از طریق ترسیم نیز می‌توان به ترتیب مشابهی دست یافت، مثلاً در مولکول BF_3 ، پیوندها در یک سطح و با زاویه 120° از یکدیگر قراردارند. به طوری که برآیند ممانهای دوقطبی دوپیوند در مولکول با ممان دوقطبی پیوند سوم برابر و هم راستا بوده ولی در خلاف جهت آن قرار می‌گیرد.

در نتیجه ممانهای دوقطبی سه پیوند اثر یکدیگر را از بین می‌برند و مولکول غیرقطبی خواهد بود.



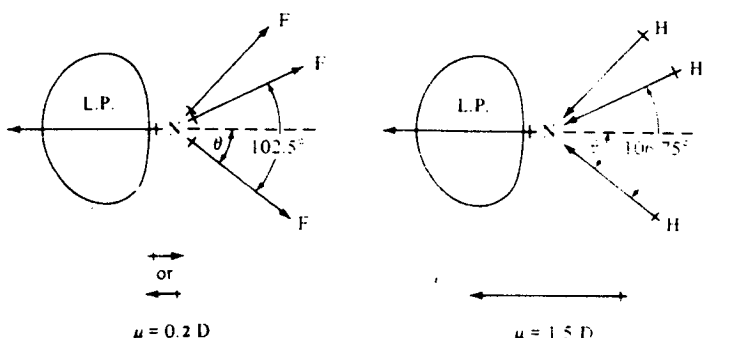
همین طور در مولکولهای متان، تتراکلرید کربن و... با وجود اینکه، هر چهار پیوند قطبی است، ولی با توجه به آرایش چهاروجهی، این پیوندها در اطراف اتم مرکزی، برآیند ممانهای دوقطبی هردو پیوند با برآیند ممانهای دوقطبی دو پیوند دیگر برابر و هم راستا بوده ولی درجهت مخالف یکدیگر قرار دارند و اثر یکدیگر را از بین میبرند. در نتیجه مولکول، با وجود اینکه چهار پیوند قطبی دارد، غیرقطبی است.

اما مولکولهای H_2O ، PCl_3 ، NH_3 و ... که پیوندهای قطبی دارند، این پیوندها طوری در اطراف اتم مرکزی در آنها قرار دارند که برآیند ممانهای آنها، یکدیگر را از بین نمیبرند. در نتیجه این مولکولها همگی قطبی‌اند:



البته همان طور که قبله اشاره شد، در مورد مولکولهایی که اتم مرکزی آنها الکترونهای غیرپیوندی دارد، باید ممان دوقطبی مربوط به الکترونهای غیرپیوندی (به صورت $\text{M} \rightarrow \text{M}'$) را نیز در نظر گرفت. برای درک بهتر تأثیر الکترونهای غیرپیوندی در میزان قطبیت و اندازه ممان دوقطبی، مولکولهای NF_3 و NH_3 را در نظر میگیریم. می‌دانیم که در هر دو مولکول، اتم مرکزی یک جفت الکترون غیرپیوندی دارد و شکل آنها هرمی باقاعدۀ مثلثی است و هر دو قطبی‌اند. ممان دوقطبی NH_3 برابر 137 دبی و ممان دوقطبی NF_3 برابر 242 دبی است. با توجه به اینکه هیبریداسیون اوریتنالهای اتم مرکزی و شکل هندسی

هر دو مولکول یکسان است، این نتایج غیرمنتظره به نظر می‌آید. برای توجیه چنین رویدادی، یادآوری می‌شود که ممان دوقطبی یک مولکول فقط به مانهای دوقطبی پیوندهای آن وابسته نیست، بلکه ممان دوقطبی مر بوط به الکترونهای غیرپیوندی نیز در آن سهم دارد. ممان دوقطبی مر بوط به پیوندها را می‌توان در این مولکولها تقریباً برابر ۹ دبای و ممان دوقطبی مسربوط به الکtron غیرپیوندی را تقریباً برابر ۶ دبای در نظر گرفت. با توجه به اینکه ممان دوقطبی پیوندها در مولکول NH_3 با ممان دوقطبی الکترون غیرپیوندی هم‌راستا، و همسو اما در مورد مولکول NF_3 هم‌راستا ولی ناهمسو است:



در مولکول آمونیاک، این دو ممان با هم جمع ولی در مولکول تری فلورورید نیتروژن از هم کم می‌شوند، یعنی داریم:



همان‌طور که ملاحظه می‌شود، این نتایج با مقادیر تجربی هماهنگی دارد.

II) تعیین درصد خصلت یونی پیوندهای قطبی

درصد خصلت یونی و یا بارگذاری اتمها در یک پیوند کووالانسی را به چند روش می‌توان حساب کرد که در زیر به نمونه‌هایی از آن اشاره می‌شود.

۱) با استفاده از اصل برابری الکترونگاتیوی:

که قبلاً مورد بررسی قرار گرفت (رابطه ۶-۲۳).

۴) با استفاده از تفاوت بین الکترونگاتیوی دواتم:

یکی از اولین ارتباطها بی که بین خواص مولکول و الکترونگاتیوی اتمهای تشکیل دهنده آن مورد توجه قرار گرفته بود، ارتباط بین بار جزئی اتمها (با خصلت یونی پیوند) با تفاوت الکترونگاتیوی دواتم تشکیل دهنده پیوند بود که توسط مالون^۱ در سال ۱۹۳۳ مورد توجه و بررسی قرار گرفت. بعدها، هانی^۲ و اسمیت^۳ در سال ۱۹۴۶ با بررسیهای دقیقی که در این زمینه، در مورد ممان دوقطبی مولکول های لیدهای هیدروژن به عمل آورده بودند، به طور تجربی، رابطه زیر را کشف کردند:

$$P = 16\Delta X + 3.5\Delta X^2 \quad (25-6)$$

P درصد خصلت یونی پیوند کووالانسی بین دواتم است که در مورد پیوند کووالانسی غیر قطبی (مثلاً پیوندهای $H-H$, $O=O$ و یا $N \equiv N$ وغیره) برابر صفر، اما در مورد پیوند یونی برابر ۱۰۰ منظور می شود. برای پیوندهای حد واسط (پیوندهای قطبی) مقدار آن بین صفر و صد، محدود است.

تمرین ۱۶-۶

با توجه به مقادیر الکترونگاتیوی هیدروژن (۱۲) و فلوئور (۴۵) درصد خصلت یونی پیوند $F-H$ را حساب کنید.

حل:

بر اساس رابطه ۲۵-۶ می توان نوشت:

$$\Delta X = 4 - 21 = 19$$

$$P = 16 \times 19 + 3.5(19)^2 = 43\%$$

یاد آوری می شود که $\frac{P}{100} = |\delta|$ است. از این رو، قدر مطلق بار الکتریکی اتمها در مولکول فلوئورید هیدروژن برابر ۴۳ است.

۳) با استفاده از مقدار تجربی ممان دوقطبی پیوند:

بار جزئی اتمها در پیوند، درواقع نسبت ممان دوقطبی تجربی (μ) به ممان دوقطبی نظری پیوند است. زیرا داریم:

$$\mu = e \cdot l \quad (26-6) \quad (\text{ممان نظری})$$

e بار الکترون و l طول پیوند است و:

$$\mu_{exp} = \delta \cdot e \cdot l \quad (27-6) \quad (\text{ممان تجربی})$$

واز آنجا، نتیجه می شود که:

$$\delta = \frac{\mu_{exp}}{e \cdot l} = \frac{\mu_{exp}}{\mu} \quad (28-6)$$

از این رو، با دردست داشتن مقادیر ممان دوقطبی تجربی و طول پیوند، می توان بار جزئی اتم و درصد خصلت یونی پیوند را حساب کرد.

تمرین ۱۷-۶

در صورتی که طول پیوند $F - H$ برابر ۹۰ آنگستروم و ممان دوقطبی تجربی آن برابر ۸۳×۱۰^{-۱۸} دبای باشد، درصد خصلت یونی این پیوند را حساب کنید (هر دبای برابر ۱×۱۰^{-۱۸} واحد الکتروستاتیک در سانتیمتر است).

حل:

براساس رابطه ۲۸-۶ می توان نوشت:

$$\delta = \frac{۹۰ \times ۱۰^{-۱۸}}{۸۳ \times ۱۰^{-۱۰} \times ۹۱ \times ۱۰^{-۸}} = ۴۲$$

در نتیجه درصد خصلت یونی پیوند برابر $۴۲ = P$ بددست می آید.

III) نقش الکترونگاتیوی در خصلت اسیدی و بازی

باتوجه به اینکه هر چه تفاوت بین الکترونگاتیوی هیدروژن و اتمی که با آن پیوند کووالانسی تشکیل می دهد، بیشتر باشد، قطیبیت آن پیوند بیشتر خواهد بود و نیز با درنظر گرفتن این واقعیت که هر چه قطیبیت پیوند برقرار شده بین هیدروژن و یک اتم بیشتر باشد،

امکان تفکیک یونی آن پیوند و تبدیل هیدروژن به بروتون، افزایش خواهد یافت، بدوضوح می‌توان به نقش الکترونگاتیوی در میزان حوصلت اسیدی ترکیبات هیدروژن‌دار، عناصر پی برد.

برهمنی اساس است که مثلاً چون الکترونگاتیوی کربن در متان برابر ۴۸ است، هیدروژنهای آن از نظر اسیدی غیرفعال است و قابل جانشینی با فلزات نیست. در این که الکترونگاتیوی کربن در آن برابر ۷۵ است، هیدروژنهای نسبت به هیدروژنهای متان از نظر اسیدی کمی فعالترند. ولی در استیلن چون الکترونگاتیوی کربن در آن برابر ۲۹ است، اتمهای هیدروژن از نظر اسیدی کاملاً فعال اند و به آسانی با فلزات فعال به ویژه فلزات قلیایی جایجا می‌شوند.

همین طور، هرچه الکترونگاتیوی اتمی که با هیدروژن پیوند دارد کمتر باشد، قدرت بازی آن بیشتر خواهد بود، مثلاً در آمینهای که الکترونگاتیوی اتم نیتروژن در آنها حدود ۶۸ است، خاصیت بازی نسبت به پیریدین که الکترونگاتیوی نیتروژن در آن ۹۴ است، بیشتر است و یا چون الکترونگاتیوی نیتروژن در NH_3 از الکترونگاتیوی نیتروژن در NF_3 کمتر است، خاصیت بازی NH_3 از NF_3 بیشتر است.

IV) نقش الکترونگاتیوی در طول و اندازی پیوند

بررسیهای دقیق نشان داده است که هرچه تفاوت الکترونگاتیوی بین دو اتم تشکیل دهنده یک پیوند بیشتر باشد، طول پیوند حاصل کو تا هتر و اندری آن بیشتر خواهد بود. دلیل چنین رویدادی را، افزایش قطبیت پیوند و بارگزایی اتمها و در نتیجه افزایش مقدار آندری رزونانس یونی-کووالانسی پیوند حاصل، می‌توان دانست.

به عنوان مثال، طول شعاع کووالانسی اتمهای کربن و فلور تور برابر ۷۷ و ۶۶ دره آنگستروم است و انتظار می‌رود که طول پیوند $\text{F}-\text{C}$ در مولکول تسرافلورید کربن برابر ۴۴ آنگستروم باشد، در صورتی که از طریق تجربی طول این پیوند بسیار کو تا هتر و حدود ۳۲ آنگستروم به دست می‌آید.

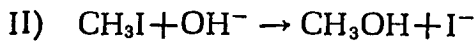
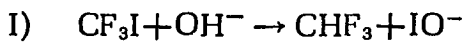
B و تفاوت الکترونگاتیوی آنها
(ΔX) رابطه: $X - ۰۹\Delta X = r_A + r_B$ برقرار است.

V) کاربرد الکترونگاتیوی در توجیه مکانیسم واکنشهای جانشینی

با استفاده از الکترونگاتیوی گروهها، می‌توان مکانیسم برخی از واکنشهای جانشینی را به آسانی توجیه کرد. برای روشن شدن این مطلب، به حل چند تمرین می‌پردازیم:

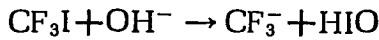
تمرین ۱۸-۶

مکانیسم واکنشهای زیر را با توجه به الکترونگاتیوی عناصر توجیه کنید.

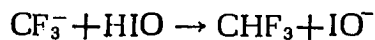


حل:

در واکنش اول، الکترونگاتیوی گروه CF_3 از I بیشتر است و از این‌رو، OH^- به جزئی که بار الکتریکی مثبت دارد (یعنی ید) متصل می‌شود و ابتدا واکنش به صورت زیر:



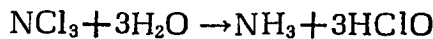
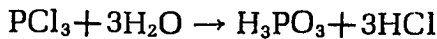
انجام می‌گیرد. ولی در مرحله بعدی اسید هیپویدوی حاصل، بر اثر تفکیک، یون H^+ در محلول آزاد می‌کند که با CF_3^- به صورت CHF_3 در می‌آید و IO^- در محلول باقی می‌ماند. یعنی، داریم:



اما در واکنش دوم، چون الکترونگاتیوی گروه CH_3 از یدکمتر است، پس این گروه دارای بار مثبت بوده و OH^- منفی به آن متصل می‌شود و متأذل را به وجود می‌آورد و به صورت I^- در محلول وارد می‌شود.

تمرین ۱۹-۶

مکانیسم واکنشهای زیر را با توجه به الکترونگاتیوی اتمها توجیه کنید.



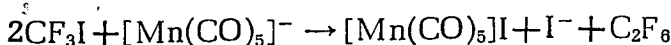
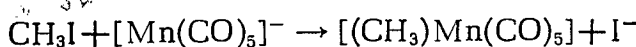
حل:

چون الکترونگاتیوی کلر از فسفر بیشتر است، پس در PCl_3 فسفر دارای بار مثبت و Cl دارای بار منفی است. از این‌رو، H^+ آب با Cl^- و OH^- آب با فسفر بیرون ندارد و قرار می‌کند. ولی در NCl_3 ، نیتروژن اتم مرکزی است و با هیبریداسیون sp^3 در این مولکول

شرکت دارد، در نتیجه الکترونگاتیوی آن از کلر بیشتر است. پس در این مولکول نیتروژن دارای بار منفی و کلر دارای بار مثبت می‌باشد. از این‌رو، H^+ به نیتروروژن و OH^- به کلر متصل می‌شود. بدین ترتیب، محصول واکنش هیدرولیز این دوتراکیب، با یکدیگر مشابه ندارند.

تمرین ۶-۲۰

مکانیسم واکنش آنیون کربونیلات با یدیدمتیل و با یدوتری فلورورومتان را بر طبق واکنشهای زیر، و با توجه به الکترونگاتیوی عناصر توجیه کنید.



حل:

در واکنش اول، گروه CH_3 مقداری بار منفی به I القای کند و خود دارای بار مشبت شده، با آنیون کربونیلات واکنش می‌دهد. اما در واکنش دوم گروه CF_3 باعث القای بار مشبت بر روی ید شده و تفکیک مولکول CF_3I را به CF_3^- و I^+ آسان می‌کند و I^+ جذب آنیون کربونیلات می‌شود. آنیون CF_3^- نیز با القای بار منفی بر روی مولکول دیگر CF_3I ، تفکیک آن به I^- و CF_3^+ را آسان می‌کند. در نتیجه I^- آزاد می‌شود و CF_3^+ با C_2F_6 تو لید CF_3^- می‌کند.

ک) ارتباط الکترونگاتیوی با درجه سختی و نرمی گونه‌های شیمیایی

او لین بار پیرسون^۱ در سال ۱۹۶۳ اصطلاح «اسید و باز نرم و سخت» را در شیمی، متداول کرد. در ارتباط با الکترونگاتیوی، می‌توان گفت که گونه‌های سخت الکترونگاتیوی زیاد و گونه‌های نرم الکترونگاتیوی کم دارند. براین اساس کاتیونهای فلزات قلیایی، قلیایی خاکی، بسیاری از کاتیونهای فلزات اصلی دیگر و فلزات واسطه در حالت اکساش بالاکه الکترونگاتیوی زیاد دارند، اسیدهای سخت ولی کاتیونهای فلزات واسطه در حالت اکساش پایین، مانند Cu^+ ، Cd^{2+} ، Pt^{2+} ، پهلوورکای فلزات و یا مولکولها و اتمهای گازی مانند Br_2 و I_2 اسیدهای نرم محسوب می‌شوند.

لیه سخت؛ همینک غیر ممکن است - مدلیل افاس - نیزون ظهر اعماق - مهارت علمی و فنی -
نمودار: فاکتورهای عبارت از ماموریتی دشمنی - مسؤولیت - انتشار - تکمیل -
برخورد: در صریح و شرعاً که امسک به پنهان شود راه - وحده - کلاس - بند - سمت -
سرم. - سه مرتبه - و خواص بینایی اتم ۳۲۳

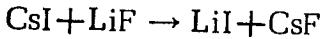
 مولکولها و آنیونها بی که الکترونگاتیوی آنها زیاد است مانند OH^- ، NH_3 ، H_2O ، و بونهای ساده ای مانند F^- و O^{2-} بازهای سخت، اما مولکولها و بونهایی که الکترونگاتیوی انم مرکزی آنها کم است مانند CN^- ، SCN^- ، CO ، CO_2 و بونهای ساده ای مانند I^- و ... بازهای نرم محسوب می شوند.

با توجه به این مفاهیم می توان مکانیسم بسیاری از واکنشها و نیز علت قوی یا ضعیف بودن پیوند بین اتمها را به خوبی توجیه کرد، پیرسن در سال ۱۹۶۸ بر اساس بررسیهای تجربی، اصلی را بیان داشت که مفهوم آن چنین است:

«گونه های شیمیایی سخت با یکدیگر و گونه های شیمیایی نرم با یکدیگر بهتر واکنش می دهند». زیرا گونه های سخت که قطبیت پذیری کمتری دارند، پیوندهای یونی قوی تری با یکدیگر می دهند و گونه های نرم که قطبیت پذیری بیشتری دارند، با تشکیل پیوند کووالانسی قویتر و یا از طریق انرژی پراکندگی لاندن که بین آنها قابل توجه است، با یکدیگر بهتر واکنش می دهند.

تمرین ۶-۲۱

پاولینگ بر این اساس که هر چه اختلاف الکترونگاتیوی بین دو اتم بیشتر باشد انرژی رزونانس یونی - کووالانسی بیوندیین آنها نیز بیشتر و این پیوند قویتر است، پیش بینی کرده بود که مثلاً واکنش زیر، باید خود به خودی باشد. زیرا انرژی پیوند Li^+ به دلیل رزونانس یونی - کووالانسی زیاد، و پایداری آن بسیار زیاد است:



ولی بررسی تجربی نشان داده است که چنین واکنشی خود به خودی نیست، بلکه درجه هست معکوس انجام می پذیرد. یعنی، داریم:

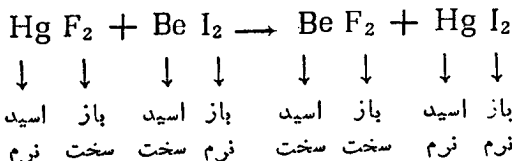


دلیل این رویداد را بیان کنید.

حل :

بر اساس اصل پیرسن می توان چنین رویدادی را به خوبی توجیه کرد. زیرا Li^+ اسیدی سخت، $-[\text{I}]$ بازی نرم است که با توجه به اصل فوق، تمایل کمتری به ترکیب شدن با

یکدیگر را دارند. همچنین Cs^+ اسیدی نرم است و با F^- که بازی سخت است، میل ترکیبی کمتری دارد. ولی Li^+ و F^- که هر دو گونه‌های سخت‌اند با یکدیگر بهتر واکنش می‌دهند. Cs^+ و I^- نیز از نظر نرمی به یکدیگر نزدیک‌ترند و تمایل بیشتری به ترکیب شدن با یکدیگر دارند. همین‌طور، واکنش زیر کاملاً خود به خودی است ($\Delta H = -95 \text{ kcal/mol}$) که می‌توان دلیل آن را بر اساس اصل پیرسن توجیه کرد.



فکتهٔ مهم

ممکن است تصویر شود که فعالیت غیرفلزات به الکترونگاتیوی آنها وابسته است. بر همین اساس است که مثلاً وقتی مشاهده می‌شود که انرژی پیوندی $\text{F}-\text{F}$ از $\text{Cl}-\text{Cl}$ کمتر است، چنین رویدادی، غیرمنتظره به نظر می‌آید. زیرا، بامعيار قراردادن الکترونگاتیوی مقایسه الکترونگاتیوی کلر با الکترونگاتیوی فلوئور، توجیه نمی‌شود.

واقعیت این است که الکترونگاتیوی نمی‌تواند اساسی مقایسه فعالیت شیمیایی عناصر باشد. زیرا، مثلاً الکترونگاتیوی نیتروژن و کلر بر ابراست، ولی، نیتروژن عنصری کم اثر است و در دمای معمولی از آن به جای گازی اثر در بسیاری از آزمایش‌های تحقیقاتی استفاده می‌شود. در صورتی که کلر در همان شرایط فعال است. البته این تفاوت را می‌توان تا حدی به انرژی پیوندی نسبت داد، زیرا، می‌دانیم که عناصر غالباً به صورت اتم آزاد در واکنشها شرکت می‌کنند. با توجه به اینکه برای تفکیک مولکول نیتروژن، مقدار ۲۲۵ کیلو کالری بر مول و برای تفکیک مولکول کلر ۵۸ کیلو کالری بر مول انرژی لازم است، پس برای تشکیل نیتروژن اتمی، نسبت به کلر اتمی، انرژی بیشتری لازم است. از این‌رو، فعالیت نیتروژن، فقط در دماهای بالا، قابل توجه است. این استدلال اگرچه ممکن است در مورد تشکیل ترکیبات کووالانسی تاحدی درست باشد، ولی در مورد ترکیبات یونی که برای تشکیل آنها، اتم غیرفلز باید به صورت آنیون درآید و در نتیجه الکترونخواهی آن نقش اساسی پیدا خواهد کرد، قابل قبول نیست. برای روشن شدن مطلب، بدشرح مثالی می‌پردازیم:

بر دسیبها نشان‌داده است که در شرایط یکسان، اگر کلر و یا اکسیژن اتمی با فلزاتی نظیر طلا و پلاتین، مجاور شوند، کلر به آسانی با این فلزات واکنش می‌دهد، در صورتی که اکسیژن عملایاً بر آنها اثر نخواهد داشت. در اینجا، اگر الکترونگاتیوی اساس میزان فعالیت شیمیایی غیرفلزات قرارداده شود، رویداد فوق دور از انتظار به نظر می‌آید. زیرا،

الکترونگانیوی اکسیژن (۵) از الکترونگاناتیوی کلر (۳)، بیشتر است. پس چگونه می‌توان این پدیده را توجیه کرد؟
برای یافتن پاسخی برای این پرسش، باید الکترونخواهی اتمها را مورد توجه قرار داد. واقعیت‌های تجربی نشان می‌دهد که کلر اتمی به صورت یون $-Cl^-$ در ترکیب با طلا و پلاتین وارد می‌شود (مثلاً ضمن حل شدن طلا و یا پلاتین در تیزاب سلطانی). می‌دانیم که تبدیل کلر به یون $-Cl^-$ که همان نیم‌واکنش الکترونخواهی کلر است، گرمایزا بوده و با آزادشدن ۸۳ کیلوکالری انرژی به‌ازای هر مول، همراه است.

$$(\Delta H_{EA} = -83.3 \text{ kcal/mol})$$

در صورتی که اگر قرار بود، اکسیژن باطلا یا پلاتین واکنش دهد، می‌باشد به صورت یون O^{2-} در ترکیبات حاصل وارد شود، که در آن صورت با توجه به مقادیر انرژی‌های اولین و دومین، الکترونخواهی اکسیژن، چون تبدیل آن به یون O^{2-} ، واکنشی گرمایگیر است و مستلزم صرف ۱۶۸ کیلوکالری انرژی به‌ازای هر مول می‌باشد، چنین واکنشی انجام پذیر نیست. با توجه به این توضیحات، می‌توان دریافت که در مورد فعالیت غیرفلزات، به ویژه در موادی که به صورت آنیون در ترکیبات وارد می‌شوند، الکترونخواهی اتم، نقشی تعیین‌کننده دارد.

۶-۴ ظرفیت و اعداد اکسایش

الف) تاریخچه

النون دانشمندانگلیسی، در نظریه اتمی خود (که آن را در سال ۱۸۰۵ تنظیم و در سال ۱۸۰۷ انتشار داد)، موضوع ترکیب شدن عنصر با یکدیگر و تشکیل مواد مرکب را مطرح کرده بود. برزلیوس دانشمند سوئدی در سال ۱۸۱۳ بر اساس قانون ترکیب حجمی گازها که توسط گیلوساک^۱ دانشمند فرانسوی، کشف شده بود. توансست برای اولین بار فرمول شیمیایی موادی چون آب، آمونیاک، متان و... را به صورتی که امروزه متداوی است (یعنی H_2O , CH_4 , NH_3 و...) به دست آورد. به دنبال این کشفیات، مسائل تازه‌ای، از جمله این مسئله که، چرا مثلاً هر اتم اکسیژن (با وجود اینکه سنگیتر از اتمهای نیتروژن و کربن است) فقط با دو اتم هیدروژن، در صورتی که هر اتم نیتروژن با سه اتم هیدروژن و هر اتم کربن (که از اتمهای اکسیژن و نیتروژن سبکتر است) با چهار اتم هیدروژن می‌تواند

ترکیب شود، مطرح شده بود.

قابل توجه است که نظریه دالتون راه گشای حل این مسئله نبود. تا اینکه اولین بار در سال ۱۸۵۲، «فرانکلند» دانشمند انگلیسی موضوع گنجایش ترکیب شدن شیمیایی *، Capacity یا توان ترکیب شدن** عناصر را بدین معنی مطرح ساخت که اتم هر عنصر در ترکیب شدن با اتم عناصر دیگر، گنجایش و توان معنی دارد. این مفهوم بعداً به نام ظرفیت*** عناصر متداول شد.

ب) معیار اولیه ظرفیت عناصر

فرانکلند برای اینکه به ظرفیت عناصر جنبه کمی بدهند، عنصر هیدروژن را مبنای ظرفیت اتم آن را برابر واحد و ظرفیت عناصر دیگر را برابر تعداد آهان هیدروژنی در نظر گرفت که با هر اتم آن عناصر می تواند ترکیب شود و یا در ترکیبات جای آنها را می تواند بگیرد. در مورد عناصری که با هیدروژن میل ترکیبی ندارند، اتمهای عناصر یک ظرفیتی دیگر مانند فلوئور، کلر، و یا اتم عناصر دو ظرفیتی مانند اکسیژن به جای اتم هیدروژن، معیار تعیین ظرفیت عناصر قرارداده شد. مثلاً، با توجه به فرمول CuO ، AgCl و PtF_4 ، ظرفیت نقره، مس و پلاتین به ترتیب برابر ۱، ۲ و ۴ در نظر گرفته می شد.

ج) تغییر پذیری ظرفیت عناصر

قابل توجه است که در ترکیبات دوتایی هیدروژن دارکه در آنها تعداد اتمهای هیدروژن معیار محاسبه ظرفیت قرار می گرفت، ظرفیت هر عنصر مقدار مشخص و ثابتی بود و هر گز از چهار تجاوز نمی کرد. یعنی عنصری شناخته شده بود که هر اتم آن بتواند با بیش از چهار اتم هیدروژن ترکیب شود. مثلاً هر اتم کلر حداکثر بایک اتم هیدروژن (در HCl)، هر اتم نیتروژن حداکثر با سه اتم هیدروژن (در NH_3) و یا هر اتم کربن حداکثر با چهار اتم هیدروژن (در CH_4) می تواند ترکیب شود. ولی هنگامی که ترکیبات عناصر با کلر و اکسیژن مورد توجه و بررسی و دسته بندی قرار گرفت، فرانکلند، متوجه شده بود که ظرفیت عناصر را نمی توان همواره ثابت در نظر گرفت، بلکه کمیتی قابل تغییر است. به بیانی دیگر، بسیاری از عناصر در ترکیبات مختلف خود، می توانند دارای چند ظرفیت متفاوت باشند. بدیهی است که در آن زمان، چون هنوز ساختار الکترونی اتمهای عناصر شناخته شده —

۱) Frankland

* Chemical Combining capacity ** Combining power *** Valency

بود، دلیل اینکه چگونه یک اتم معین می‌تواند ظرفیت متغیر داشته باشد، روشن نشده بود. بلکه بعداز کشف ساختار الکترونی اتم توسط بوهر (دانشمند دانمارکی) در سال ۱۹۱۳ بود که دست یافتن به پاسخ این پرسش، امکان پذیر شد.

قابل توجه است که مندلیف در کشف قانون تناوبی (هم‌مان با لوتوایمیر آلمانی) و تنظیم جدول تناوبی عناصر، علاوه بر جرم اتمی، با تکیه بر اصل تشا به خواص عناصر، تغییرات ظرفیت عناصر را مورد توجه واستفاده قرارداده بود. یعنی وی در یافته بود که هر گاه عناصر به ترتیب صعودی جرم اتمی در نظر گرفته شوند، بالاترین ظرفیت آتها در ترتیب به طور تناوبی می‌توانند از ۱ تا ۸ تکرار شود. مثلاً، در مورد اکسیدهای عناصر، به نتایجی که نمونه‌ای از آن در جدول ۶-۴ نشان داده شده است، دست یافته بود.

برهمنی اساس بود که عناصر را در جدول تناوبی به ۸ گروه تقسیم کرده بود.

جدول ۶-۶ روند تناوبی تغییرات فرمول کلی اکسید عناصر با بالاترین ظرفیت آنها

M_2O	MO	M_2O_3	MO_2	M_2O_5	MO_3	M_2O_7	MO_4	فرمول کلی اکسید عناصر
Na_2O	MgO	Al_2O_3	SiO_2	P_2O_5	SO_3	Cl_2O_7	OsO_4	متال
1	2	3	4	5	6	7	8	بالاترین ظرفیت عناصر

۵) مفهوم الکترونی ظرفیت عناصر

هنگامی که بوهر نظریه اتمی خود را (براساس نظریه کوآنتمی تابش‌های الکترونیک) معرفی کرد و اینشتین بین سالهای ۱۹۰۵ تا ۱۹۰۵ ارائه شده بود، واستفاده از نتایجی که در مورد طیف نشی اتم هیدروژن به دست آمده بود (انتشار داد و در آن، مدل لایه‌ای* را برای قشر الکترونی اطراف هسته پیشنهاد کرد، معلوم شد که برخلاف نظر رادرفورد، الکترونها به تعداد معین، در لایه‌هایی که معرف فاصله و انرژی معین و ثابتی اند،

* *Sbell model*

(لایه‌ها یا مدارهای مجاز) در اطراف هسته اتم در حال چرخش‌اند. کمی بعد (در سال ۱۹۱۴)، سامر فلد به تکمیل نظریه بوهر پرداخت. یعنی، با در نظر گرفتن مسیرهای بیضی شکل برای حرکت الکترون، ثابت کرد که هر لایه الکترونی (که از آن پس سطح انرژی یا تراز اصلی انرژی نیز نامیده شد)، می‌تواند چندتر از فرعی انرژی را شامل باشد. بعدها نیز براساس شواهد تجربی (اثر زیمان یا ساختار ظرف خطوط طیفی)، معلوم شد که هر تراز فرعی تعداد معینی اوربیتان را در بردارد و هر اوربیتان می‌تواند دو الکترون را در خود جای دهد. از این‌رو، روشن شده بود که هر لایه الکترونی با تعداد معینی از الکترونها پر می‌شود.

می‌دانیم که با پژوهش‌های بی‌گیری که بین سالهای ۱۸۹۲ تا ۱۸۹۸ توسط رامسی، رایله و تراورس صورت گرفته بود، گازهای بی‌اثر کشف شده بودند (البتدیغ از رادون که در سال ۱۹۰۵ توسط دومن کشف شد). بررسی خواص این گازها، این واقعیت را روشن ساخته بود که از نظر شیمیایی هیچ نوع فعالیتی ندارند. به بیانی دیگر، ظرفیت شیمیایی آنها بر ابرصفراست (می‌دانیم که سالهای زیادی از آن زمان گذشته بود تا اینکه در سال ۱۹۶۲ بادقتلت^۱ (کانادایی) برای اولین بار به فعالیت شیمیایی این گازها بتویژه زنون، Xe، بی‌برد).

از طرفی دیگر، بررسیها نشان داده بود که تمام لایه‌های الکترونی اتم این عناصر کامل (پر) است. از جمله‌ای خارجی آنها (ترازهای ۵ و ۶) دارای هشت الکترون است (غیر از هلیم که فقط تراز ۱ دارد و دو الکترونی است). لویس با توجه به بی‌اثر بودن این گازها از یک طرف وجود لایه خارجی هشت الکترونی در اتم آنها از طرف دیگر، در سال ۱۹۱۶، بی‌اثر بودن آنها را به وجود لایه خارجی هشت الکترونی اتم آنها نسبت داد و معتقد شد که اتم عناصر دیگر، ضمن شرکت در فعالیت شیمیایی و تشکیل ترکیبات مختلف، به داراشدن لایه خارجی هشت الکترونی، یعنی رسیدن به آرایش الکترونی گازهای بی‌اثر تمايل دارند. به بیانی دیگر، فعالیت شیمیایی عناصر را می‌توان، کوششی برای دستیابی به آرایش الکترونی گازهای بی‌اثر تلقی کرد. به نظر وی، ضمن ترکیب شدن دو عنصر، اتمهای آنها، آن تعداد از الکترونهای لایه خارجی خود را تبادل می‌کنند (یعنی هر اتم از یک عنصر با آن تعداد از اتمهای عنصر دیگر ترکیب می‌شود). که تعداد الکترونهای لایه خارجی هر دو نوع اتم به هشت بر سد. این نظر لویس به نام «قاعدۀ هشت‌تاپی»* موسوم شده است. از این‌رو، مفهومی جدید، یعنی «مفهوم الکترونی» برای ظرفیت، جای مفهوم قدیمی آن (که توسط فرانکلن ارائه شده بود) را گرفت که

1) Barthlet

* Octet rule

براساس آن:

«ظرفیت هر عنصر د دیل ترکیب ، برابر تعداد الکترونها بی است که هر اتم آن بوای تشکیل آن ترکیب تبدیل می کند تا لایئخا (جی اتم آن که از آن پس لایه ظرفیت * نامیده شده است ، به هشت بروسد (یا دارای آرایش الکترونی گاز بی اثر شود).

۵) مفهوم ظرفیت الکتریکی یا الکترو والانس

می دانیم که کاسل^۱ در سال ۱۹۱۶ بر اساس قاعده هشت تابی لویس ، نظریه پیوند یونی را به منظور توجیه چگونگی ترکیب شدن عناصر بایکدیگر ارائه داد. بر اساس این نظریه ، دلیل چگونگی ترکیب شدن اتمهای دو یا چند عنصر بایکدیگر را این طور می توان توجیه کرد که اتمی (با کمتر از چهار الکtron و در لایه ظرفیت) یک یا چند الکtron از لایه ظرفیت خود را از دست می دهد و به یون مثبتی با آرایش الکترونی گاز بی اثر قبل از خود در جدول تناوبی ، تبدیل می شود. اتم دیگر (که تعداد الکترونها لایه ظرفیت آن به عدد هشت نزدیکer است) ، آن الکترونها را جذب می کند و به یون مثبتی با آرایش الکترونی گاز بی اثر بعد از خود در جدول تناوبی ، تبدیل می شود. در نتیجه ، بر اثر جاذبه الکتروستاتیکی حاصل بین بارهای الکتریکی ناهمنام ، این دونوع یون یکدیگر را جذب می کنند. به بیان دیگر ، بین آنها پیوند یونی به وجود می آید و ترکیبی یونی تشکیل می شود. با چنین نگرشی ، برای عناصر ، ظرفیتی که به «ظرفیت الکتریکی» یا «الکترو والانس»** موسوم است ، در نظر گرفته شد و آن برابر تعداد الکترونها بی است که هر اتم از یک عنصر در یک واکنش شیمیایی از دست می دهد و یا الکترون جذب می کند تا به یونی با آرایش گاز بی اثر تبدیل شود. به عنوان مثال ، در تشکیل کلرید سدیم ، هر اتم سدیم یک الکtron از دست داده ، به Na^+ تبدیل می شود و هر اتم یک الکترون جذب می کند و به Cl^- تبدیل می شود ، سدیم با الکترو والانس 1^- و کلر با الکترو والانس 1^- ، در واکنش شرکت می کند. یا در مورد تشکیل کلرید کلسیم ، چون هر اتم کلسیم دو الکtron از دست داده و به Ca^{2+} تبدیل می شود و هر اتم کلر یک الکtron جذب کرده و به Cl^- تبدیل می شود ، کلسیم دارای الکترو والانس 2^+ و کلر دارای الکترو والانس 1^- است.

۶) مفهوم ظرفیت کووالانسی یا کووالانس

به روشنی می توان دریافت که نظریه کاسل در مورد چگونگی ترکیب شدن عناصر با

* Valence Shell

** Electro Valence

۱) Kossel

یکدیگر، نظری جامع و فرآگیر نبود. زیرا، ترکیب شدن اتمهای یک عنصر با یکدیگر، مثلاً تشکیل H_2 ، Cl_2 و O_2 وغیره وبا به طور کلی ترکیب شدن اتمهای عناصر غیرفلزی با یکدیگر، مثلاً تشکیل CO_2 ، NF_3 وغیره براساس این نظریه، قابل توجیه نبود.

برای رفع این نارسایی، لویس در سال ۱۹۱۶ روش دیگری برای رسیدن اتم عناصر فعال به آرایش الکترونی گازهای بی اثر در واکنشهای شیمیایی، ارائه داد که همان نظریه پیوند کووالانسی است و این نظریه در سال ۱۹۱۹ توسط لانگمیر^۱ به اتمهای سنگین نیز تعمیم داده شد. همان طور که می دانیم، براساس این نظریه، دواتم با به اشتراک گذاشتن تعداد معینی از الکترونهای لا یه ظرفیت خود، به آرایش الکترونی گاز بی اثر می رستند. با چنین نگرشی، برای هر عنصر در یک ترکیب، ظرفیتی که به «ظرفیت کووالانسی» یا کووالانس^{*} موسوم شده است، در نظر گرفته می شود و آن برابر تعداد الکترونهایی است که هر اتم آن عنصر در آن ترکیب با اتمهای دیگر به اشتراک می گذارد تا به آرایش الکترونی گازی بی اثر برسد.

قابل توجه است که مفهوم ظرفیت از نظر فرانکلند با مفهوم ظرفیت از نظر لویس همانگی دارد. مثلاً براساس نظر فرانکلند هر اتم کربن گنجایش ترکیب شدن با چهار اتم هیدروژن را دارد، پس ظرفیت آن برای چهار است. از نظر لویس چون اتم کربن در لایه ظرفیت خود، چهار الکترون دارد و این چهار الکترون را ضمن ترکیب شدن با اتمهای هیدروژن به اشتراک می گذارد تا به آرایش الکترونی گازی بی اثر برسد، پس ظرفیت کووالانسی آن چهار است. یادآوری می شود که او لین بار لانگمیر در سال ۱۹۱۹ متوجه شده بود که امکان دیگری برای تشکیل پیوند کووالانسی بین اتمها وجود دارد. یعنی، این امکان که یکی از اتمها در نقش «دهنده»، دو الکترون از لایه ظرفیت خود را با اتم دیگر که در نقش «پندیرنده» عمل می کند، به اشتراک بگذارد. این مسئله در سال ۱۹۲۱ مورد توجه و بررسی بیشتری توسط پرکینس^۲ قرار گرفت. لودی^۳ در سال ۱۹۲۳ پیوندی را که بدین طرق تشکیل می شود، پیوند دوگانه مختلط^{**} یا پیوند داتیو نامید. ولی سید گوویک^۴ در همان سال، با توجه به اینکه پیوند کووالانسی در ترکیبات کوئور دیناسیون بین لیگاندها و اتم مرکزی به این طرق تشکیل می شود، به بیانی دیگر، این روش تشکیل پیوند کووالانسی، در ترکیبات کوئور دیناسیون (کمپلکسها) متداول است، آن را اتصال کونو دینانسی^{***} نامیده بود.

باید به این نکته توجه داشت که امروزه، به جای ظرفیت عناصر، عدد اکسایش (یا

۱) Langmuir ۲) Perkins ۳) Lowry ۴) Sidgwick

* Covalency ** Mixed double bond *** Coordinate link

حالت اکسایش*) را که مفهومی جامع است به کار می بردند، زیرا به عنوان نمونه، در نظر گرفتن حالت اکسایش مثبت، صفر و یا منفی برای عناصر معقول است. حال آنکه، تصور ظرفیت کمتر از صفر (ظرفیت منفی) برای آنها، منطقی به نظر نمی آید. از این رو، با توجه به اهمیتی که اعداد اکسایش عناصر در خواص ترکیبات آنها دارد و اطلاع از آن به درک بسیاری از ویژگیهای ترکیبات و آسان شدن کار بررسی آنها کمک می کند، لازم است به شرح آن پردازیم.

ز) مفهوم عدد اکسایش عناصر

عدد اکسایش عناصر برابر واحدهای بار الکتریکی است که بر طبق قواعدی قراردادی (که توسط پولینگ وضع شده است) برای آنها در نظر گرفته می شود. این قواعد را می توان به صورت زیر بیان کرد:

- ۱- عدد اکسایش هر ذره خنثی و آزاد، مثلاً اتم Xe بار ادیکال Cl برابر صفر است.
- ۲- عدد اکسایش هر ذره باردار، برابر بار الکتریکی آن است. مثلاً عدد اکسایش سدیم در $NaCl$ برابر $+1$ ، کلسیم در $CaCl_2$ برابر $+2$ ، کلر در $NaCl$ برابر -1 ، اکسیژن در CaO برابر -2 و است.

۳- در ترکیبات کووالانسی که پیوندهای قطبی دارند، به ازای هرجفت الکترون پیوندی، عدد اکسایش $1-$ به اتم الکترونگاتیو تر و عدد اکسایش $1+$ به اتم دیگر شرکت کننده در تشکیل آن پیوند، نسبت داده می شود. یعنی، مثلاً در HF ، برای F عدد اکسایش $1-$ و برای H عدد اکسایش $1+$ و یا در NCl_3 ، برای Cl عدد اکسایش $1-$ و برای N عدد اکسایش $+3$ در نظر گرفته می شود.

۴- بار الکتریکی هر ذره مرکب، برابر مجموع جبری اعداد اکسایش اتمهای تشکیل دهنده آن است.

براساس این قاعده، اگر در یک ترکیب، غیر از یک عنصر، اعداد اکسایش عناصر دیگر شرکت کننده در آن ترکیب را بدانیم، می توانیم، عدد اکسایش آن عنصر را حساب کنیم. برای روشن شدن مطلب، به حل دو تمرین می پردازیم:

تمرین ۴۲-۶

عدد اکسایش آهن را در K_3FeF_6 معین کنید.

حل :

اگر عدد اکسایش عناصر را با X نشان دهیم ، بر طبق قواعد ۲ و ۴ ، در مورد این ترکیب می توان نوشت:

$$\begin{aligned} 3X_{(K)} + X_{(Fe)} + 6X_{(F)} &= 0 \\ 3(+1) + X_{(Fe)} + 6(-1) &= 0 \\ X_{(Fe)} &= +3 \end{aligned}$$

تمرین ۲۳-۶

عدد اکسایش فسفر را در بیون $H_2P_2O_7^{2-}$ معین کنید.

حل :

با توجه به قواعد ۲ و ۴ می توان نوشت :

$$\begin{aligned} 2X_{(H)} + 2X_{(P)} + 7X_{(O)} &= -2 \\ 2(+1) + 2X_{(P)} + 7(-2) &= -2 \\ X_{(P)} &= \frac{+10}{2} = +5 \end{aligned}$$

توضیح ۱:

عموماً در مورد عدد اکسایش (برخلاف بار الکتریکی) ، علامت + یا - را در سمت چپ قرار می دهیم ، مثلاً بار الکتریکی بیون CrO_4^{2-} را با -۲ ولی عدد اکسایش کروم را در آن با +۶ نشان می دهیم.

یادآوری می شود که غالباً اعداد اکسایش عناصر را در ترکیبات ، به جای اعداد معمولی با اعداد استانک* یعنی به صورت اعداد رومی در بالای نشانه شیمیایی آنها مشخص می کنند. البته ، در صورتی که عدد اکسایش مثبت باشد ، از نوشتمن علامت + قبل از این اعداد صرف نظر می شود ولی در صورت منفی بودن عدد اکسایش ، علامت - را در سمت چپ این اعداد قرار می دهند. مثلاً عدد اکسایش آهن را در FeO با (II) ، عدد اکسایش

* Stock numbers

مس را در CuCl با (I) و عدد اکسایش کار را در آن با (I-) می توان نشان داد.

توضیح :

در برخی از موارد ، یک عنصر می تواند با اعداد اکسایش متفاوت در یک ترکیب شرکت کند. از این رو، براساس فرمول شیمیایی (نسبت استوکیومتری) آن ترکیب، ممکن است عدد اکسایش آن عنصر به صورت کسری نشان داده شود. مثلاً عدد اکسایش سرب در Pb_3O_4 برابر $\frac{+8}{3}$ به دست می آید. بدیهی است که این عدد میانگین اعداد اکسایش اتمهای سرب در این ترکیب است. زیرا این ترکیب یک اکسید مختلط* یا یک اکسید نمکی** است و فرمول آن را باید به صورت $\text{Pb}^{IV}\text{O}_2 - 2\text{Pb}^{II}\text{O}$ نوشت. یعنی دو اتم سرب در آن عدد اکسایش $+2$ و یک اتم سرب دارای عدد اکسایش $+4$ است. در نتیجه، میانگین عدد اکسایش این عنصر در این ترکیب عبارت است از:

$$\frac{1 \times (+4) + 2 \times (+2)}{3} = \frac{+8}{3}$$

همین وضعیت برای آهن در Fe_3O_4 و یا منگنز در Mn_3O_4 وجود دارد.

ح) تعیین عدد اکسایش یک عنصر در یک ترکیب براساس ساختار الکترونی آن ترکیب عدد اکسایش هر عنصر را در یک ترکیب می توان از رابطه زیر به دست آورد:

$$x = n_V - (n_B + n_N) \quad (29-6)$$

که در آن n_V ، n_B و n_N به ترتیب تعداد الکترونهای لایه ظرفیت اتم در حالت آزاد، تعداد الکترونهای غیرپیوندی و تعداد الکترونهای پیوندی است که به اتم الکترونگاتیو تر نسبت داده می شود.

تمرین ۲۶

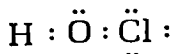
عدد اکسایش کلر، اکسیژن و هیدروژن را در اسید هیپوکلر و معین کنید.

حل :

ابتدا باید ساختار الکترونی این مولکول را که به صورت ذیر است، مشخص کنیم:

* Mixed oxide

** Salt-like oxide



با توجه به این ساختار و براساس رابطه ۲۹-۶، می‌توان نوشت:

$$x_{(\text{H})} = 1 - (0 + 0) = +1$$

$$x_{(\text{O})} = 6 - (4 + 4) = -2$$

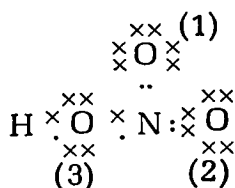
$$x_{(\text{Cl})} = 7 - (0 + 6) = +1$$

تمرین ۲۵-۶

اعداد اکسایش هیدروژن، نیتروژن و اکسیژن را در مولکول اسید نیتریک معین کنید:

حل:

با توجه به ساختار الکترونی بیوند ظرفیت مولکول اسید نیتریک، یعنی:



و با استفاده از رابطه ۲۹-۶ داریم:

$$x_{(\text{H})} = 1 - (0 + 0) = +1$$

$$x_{(\text{N})} = 5 - (0 + 0) = +5$$

$$x_{\text{O}_{(1)}} = 6 - (2 + 6) = -2$$

$$x_{\text{O}_{(2)}} = 6 - (4 + 4) = -2$$

$$x_{\text{O}_{(3)}} = 6 - (4 + 4) = -2$$

حال ممکن است این پرسش مطرح باشد که آیا عدد اکسایش یک عنصر تغییرپذیر است؟ به بیانی دیگر، آیا یک عنصر فقط با یک عدد اکسایش مشخص و ثابت در تمام ترکیبات خود شرکت می‌کند و یا اینکه، بسته به شرایط عمل می‌تواند با اعداد اکسایش متفاوت، در تشکیل ترکیبات مختلف (حتی در برخی از موارد در یک ترکیب معین) شرکت کند؟

شواهد تجربی، پاسخ‌مشتی برای این پرسش را تایید می‌کند. ولی باید توجه داشت که این مطلب درمورد همه عناصر درست نیست. بلکه تعدادی از عناصر، فقط با یک عدد اکسایش مشخص و ثابت می‌توانند ترکیبات پایدار به وجود آورند.

نظر به اهمیت این موضوع، در اینجا، به توجیه خصلت تغییر ناپذیری عدد اکسایش برخی از عناصر و خصلت تغییر ناپذیری آن در عناصر دیگر، به بیانی دیگر علت تنوع اعداد اکسایش در بسیاری از عناصر اصلی و واسطه در ترکیبات آنها می‌پردازیم.

ط) آرایشهای الکترونی پایدار

می‌دانیم که برخی از آرایشهای الکترونی عناصر وضعیت متقاضی داشته و حالت پایداری به وجود می‌آورند. بر همین اساس است که عناصر، ضمن شرکت در واکنشهای شیمیایی و تشکیل ترکیبات، برای رسیدن به یکی از این آرایشهای الکترونی پایدار، به حالت اکسایش مشخصی درمی‌آیند.

قابل توجه است که برخی از عوامل، از جمله افزایش تعداد پیوند (عدد کوئور دیناسیون) و انرژی پایداری میدان‌بلور (درمورد ترکیبات عناصر واسطه)، موجب می‌شوند که بدون وجود چنین آرایشهای الکترونی متقاضی، نیز عناصر بتوانند ترکیبات پایداری به وجود آورند. مهمترین آرایشهای الکترونی که جز و عوامل مؤثر در پایداری حالت‌های اکسایش عناصر در ترکیبات محسوب می‌شوند، عبارت‌اند از:

آرایش الکترونی $1s^2$

آرایش الکترونی هلیم، یکی از آرایشهای پایدار است. از این‌رو، هیدروژن در حالت اکسایش ۱ – (در هیدریدهای نیکی مانند NaH) و بالیتیم در حالت اکسایش ۱ + (مثلثاً در LiF) به چنین آرایش پایداری می‌رسد.

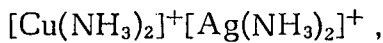
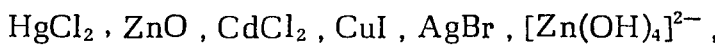
آرایش الکترونی $2s^2$

آرایش الکترونی لایه ظرفیت گازهای بسی اثر (غیر از هلیم) یکی از پایدارترین آرایشهای الکترونی است، که عناصر اصلی و برخی از عناصر واسطه برای رسیدن به آن در واکنشهای شیمیایی شرکت می‌کنند و غالباً دارای حالت اکسایش پایداری می‌شوند. مثلثاً، فلزات قلیایی (غیر از لیتیم) در تمام ترکیبات خود با عدد اکسایش ۱ +، فلزات قلیایی خاکی (غیر از بریلیم) در تمام ترکیبات خود با عدد اکسایش ۲ + و اکسیژن در غالب ترکیبات با عدد اکسایش ۲ –، به چنین آرایش الکترونی پایداری می‌رسند. به طور کلی اکثر عناصر

اصلی در ترکیبات پایدار خود (یونی یا کووالانسی) دارای چنین آرایشی در لایه ظرفیت اتم خود می‌شوند. درمورد عناصر واسطه گروههای IIB و IIIB و VB نیز چنین آرایش الکترونی که به ترتیب با اعداد اکسایش $+3$ ، $+4$ و $+5$ مطابقت دارد، موجب تشکیل ترکیبات پایدار می‌شود. مثلاً در V_2O_5 ، Sc_2O_3 ، TiO_2 و غیره.

آرایش الکترونی $s^2 p^6 d^{10}$

چنین آرایش الکترونی درمورد عناصر گروههای IB و IIB، پایداری قابل توجهی را به وجود می‌آورد. مثلاً عناصر گروه IB مانند مس، نقره با چنین آرایشی در لایه ظرفیت، ترکیبات پایداری در حالت اکسایش $+1$ و یا عناصر گروه IIB مانند روی، کادمیم و جیوه با همین آرایش، ترکیبات پایداری را در حالت اکسایش $+2$ به وجود می‌آورند. مانند:



آرایش الکترونی $d^{10}s^2$

این آرایش الکترونی در لایه ظرفیت نیز درمورد برخی از عناصر، به ویژه عناصر سنگین گروههای IIIA و IVA، پایداری نسبتاً قابل توجهی را به وجود می‌آورد. مثلاً با چنین آرایشی، ایندیم و تالیم (از گروه IIIA) در حالت اکسایش $+1$ (به جای $+3$ که انتظار داریم)، قلع و سرب (از گروه IVA) در حالت اکسایش $+2$ (به جای $+4$ که انتظار داریم) ترکیبات پایدارتری نسبت به حالت‌های اکسایش بالاتر (که مورد انتظار است) تشکیل می‌دهند. حتی جیوه با همین آرایش در حالت اکسایش $+1$ (به صورت Hg_2^{2+}) ترکیبات پایداری تشکیل می‌دهد، مثلاً SnCl_4 از SnCl_2 ، TiCl_3 از TiCl_2 ، PbCl_4 از PbCl_2 پایدار تر است و یا Hg_2Cl_2 ترکیبی بسیار پایدار است. با توجه به آنچه گفته شد، اکنون می‌توان به روشنی به این پرسش پاسخ داد که:

کدام عناصر فقط با یک عدد اکسایش در ترکیبات شیمیایی شرکت می‌کنند؟

براساس آرایشهای الکترونی پایدار لایه ظرفیت که به آنها اشاره شد (یعنی $s^2 p^6 d^{10}$ و $s^2 p^6 d^{10}$ عناصری که فقط با یک نوع عدد اکسایش، در تشکیل ترکیبات پایدار شرکت می‌کنند، عبارت اند از:

۱- فلزات قلیایی:

با عدد اکسایش $+1$ ، که به آرایش الکترونی گاز بی اثر دوره ماقبل خود می رستند (s^2 درمورد Li^+ و p^6 درمورد سایر فلزات قلیایی).

۲- فلزات قلیایی خاکی:

با عدد اکسایش $+2$ ، که به آرایش الکترونی گاز بی اثر دوره ماقبل خود می رستند (s^2 درمورد Be^+ و p^6 درمورد سایر فلزات قلیایی خاکی).

۳- بد (آلومینیم و گالیم):

با به اشتراک گذاشتن سه الکترون لایه ظرفیت (درمورد بور ، تنها امکان) و یا از دست دادن این سه الکtron (درمورد آلومینیم و به ویژه گالیم) به عدد اکسایش $+3$ می رستند. بدیهی است که در صورت از دست دادن الکترون لایه ظرفیت تبدیل به کاتیون سه ارزشی، این دو عنصر، به آرایش گاز بی اثر ماقبل خود می رستند. در غیر این صورت ترکیباتی کرووالانسی با فرمول کلی MX_3 تشکیل می دهند که کمبود الکترونی دارند و در نقش اسید لویس تمایل به جذب یک جفت الکترون و تشکیل یک پیوند دیگر دارند. مثلاً AlCl_3 ترکیبی است که کمبود الکترون* یا نفعی 8 تایی دارد. از این رو، تمایل دارد از طریق تشکیل یک پیوند دیگر با یون Cl^- یک جفت الکترون از طریق داتیو جذب کند و یون کمپلکس $[\text{AlCl}_4^-]$ (یون تراکلر و آلومینات) را به وجود آورد. اصولاً نقش کلرید آلومینیم به عنوان کاتالیزور کلراسيون در «واکنشهای فریدل - کرافتس»، بر همین اساس منکری است .

درمورد ترکیبات بور مثلاً BH_3 ، این کمبود الکترون یا نقص 8 تایی ، از طریق دیمر شدن (تبدیل شدن به B_2H_6 ، دیبوران) بر طرف می شود. ولی درمورد BF_3 ، این نقص از طریق تشکیل یک پیوند π (از نوع $p\pi-p\pi$) بین اوریتال غیرپیوندی خالی اتم بور (اوریتال p_2) و اوریتالهای p_2 غیرپیوندی اتمهای فلوئور که پر است، از طریق داتیو برقرار می شود. این مطلب قابل توجه است که در این ترکیب ، اتم فلوئور با وجود اینکه الکترونگاتیو ترین عنصر است، یک جفت الکترون به اتم بور واگذار می کند (البته بر اساس اصل برای الکترونگاتیوی که توسط ساندرسن، بیان شده است، این رویداد، دور از انتظار نیست).

۴- فلوئور:

ا تم فلوئور با جذب یک الکترون و رسیدن به آرایش الکترونی نئون، دارای عدد اکسایش ۱ - می شود. مثلاً در HF ، OF_2 یا CIF . قابل توجه است که حتی در HFO که شناخته شده است، برخلاف HClO (که در آن کلر عدد اکسایش ۱ + دارد)، فلوئور دارای عدد اکسایش ۱ - است.

۵- فلزات واسطه گروه IIB :

مانند روی و کادمیم که با از دست دادن دوالکترون تراز d لایه ظرفیت اتم خود، به آرایش الکترونی نسبتاً پایدار $p^6d^{10}d^2s$ و حالت اکسایش ۲ + می رسند مثلاً در CdI_2 ، و غیره.

یادآوری می شود که در این گروه، جیوه (به علت اثر انقباض لانتانیدی) علاوه بر عدد اکسایش ۲ + ، با عدد اکسایش ۱ + نیز (به ویژه در حالت جامد) ترکیبات پایداری تشکیل می دهد. مثلاً در Hg_2Cl_2 .

۶- عناظر گروه IIIIB :

این عناظر واسطه (اسکاندیم، ایتریم، لانتان و آکتینیم) در ترازهای d و d لایه ظرفیت اتم خود، مجموعه الکترون (یک الکترون در تراز d و دوالکترون در تراز d) دارند. با از دست دادن این سه الکترون به آرایش الکترونی گاز بی اثر دوره ماقبل خود رسیده و به حالت اکسایش بسیار پایدار ۳ + در می آیند.

۷- برخی از عناظر واسطه سریهای لانتانید و آکتینید:

در بین عناظر واسطه داخلی سری لانتانیدها، عناظر پرمتیم (Pm) ، گادولینیم (Gd) ، هولمیم (Ho) ، اریسم (Er) و لوتسیم (Lu) و در بین عناظر واسطه سری آکتینیدها، پنج عنصر آخر سری یعنی اینشتینیم (Es) ، فرمیم (Fm) ، میندلوم (Md) ، نوبلیم (No) و لورنسیم (Lr) همگی فقط با عدد اکسایش ۳ + ترکیبات پایداری تشکیل می دهند.

سایر عناظر اصلی و واسطه با اعداد اکسایش کم و بیش متنوع در تشکیل بسیاری از ترکیبات که پایداری قابل توجهی دارند، شرکت می کنند.

در جدول ۱۵-۶ ، اعداد اکسایش متداول عناظر اصلی جدول تناوبی ، همراه با

توضیحات لازم و چند ترکیب نمونه، در هر مورد ارجائه شده است.

در جدول ۶-۱۶، اعداد اکسایش عناصر واسطه دسته ۷، همراه با آرایش الکترونی لایه ظرفیت مریوط به هر حالت اکسایش و اعداد کوتوردیناپیون در هر حالت اکسایش (در داخل پرانتز) و نیز اعداد اکسایش عناصر واسطه داخلی (سریهای لاتانید و آکتینید)، گردآوری شده است. در هر مورد، پایدارترین حالت اکسایش و یا عدد کوتوردیناپیون پایدارترین کمپلکس، با قراردادن خطی در زیر آن اعداد، مشخص شده‌اند.

در شکل ۶-۱۳ روند تغییرات اعداد اکسایش عناصر اصلی و واسطه دوره‌ها نسبت به عدد اتمی نشان داده شده است. در این شکل، کوچکترین و بزرگترین اعداد اکسایش عنصر هر دوره به صورت نمودارهای خطی نشان داده شده‌اند.

در جدولهای ۶-۱۷ و ۶-۱۸ طرح دیگری از روند تغییرات اعداد اکسایش به طور جداگانه، برای عناصر اصلی و واسطه نشان داده شده است.

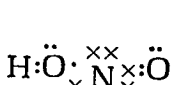
۵) توجیه علل تغییر و تنوع اعداد اکسایش عناصر

به منظور بررسی دقیق تر این مطلب، آن را در مورد عناصر اصلی و عناصر واسطه به طور جداگانه در نظر می‌گیریم.

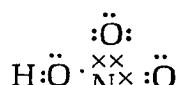
I) در مورد عناصر اصلی

الکترونگاتاتیوی، یکی از عوامل مؤثر در تغییر و تنوع اعداد اکسایش عناصر اصلی است. به عنوان مثال، نیتروژن در NH_3 عدد اکسایش ۳ - ولی در NF_3 عدد اکسایش +۳ دارد و یا اکسیژن در H_2O عدد اکسایش ۲ - ولی در OF_2 عدد اکسایش ۲ + و ... دارد.

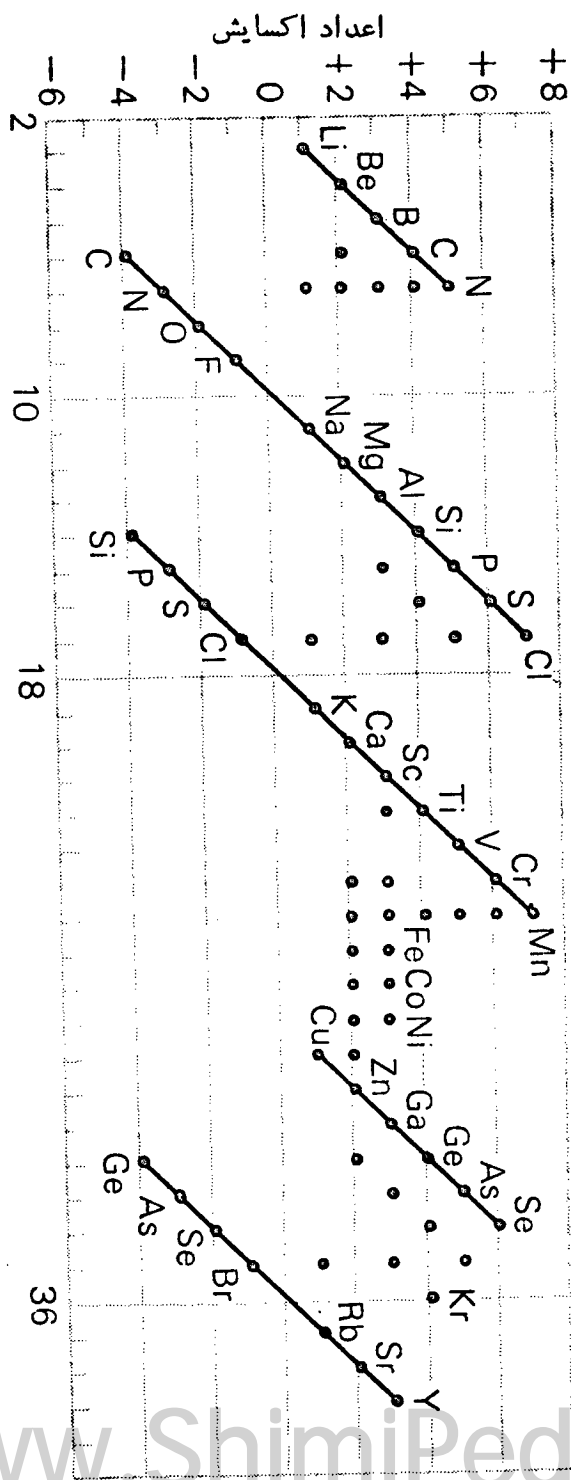
امکان تشکیل پیوند داتیو را نیز می‌توان عامل مؤثر دیگری در تنوع اعداد اکسایش عناصر به حساب آورد. به عنوان مثال، نیتروژن در اسید نیترو، HNO_2 ، دارای عدد اکسایش +۳ است ولی در اسید نیتریک، HNO_3 ، به دلیل تشکیل یک پیوند کووالانسی دیگر، از طریق داتیو، دارای عدد اکسایش ۵ + می‌شود:



(+۴)



(+۵)



شکل ۱۳-۶ نمودارهای روند تغییرات اعداد اکسایژن عناصر اصلی و اولاندری دوره‌ها، نسبت به عدد اتمی

جدول ۶-۵۱ اعداد اکسایش عناصر اصلی

	چند ترکیب نمونه	توضیحات	اعداد اکسایش	شماره گروه
+1-1 NaCl	+1-1 HCl	هیدروژن فقط در تسرکیب با فلزات، عدد اکسایش ۱ - دارد.	+1	I
+2(-1) ₂ MgCl ₂	+2-2 CaO		+2	II
+3(-1) ₃ BCl ₃	+3(-1) ₃ AlF ₃		+3	III
+4(-1) ₄ SnF ₄	+2(-1) ₂ PbCl ₂	قلع و سرب اعداد اکسایش ۲ + و ۴ + دارند، کربن علاوه بر اعداد اکسایش ۴ + و ۲ - اعداد اکسایش دیگری نیز دارد.	+4,+2	IV
+4(-2) ₂ CO ₂	-4(+1) ₄ CH ₄	+2-2 CO		
+5(-1) ₅ SbF ₅	+3(-1) ₃ BiCl ₃	-3(+1) ₃ NH ₃	نیتروژن و فسفر اعداد اکسایش دیگری نیز دارند، مثلاً نیتروژن می تواند -۲ + و ۳ + باشد.	
+4(-2) ₂ NO ₂	(+3) ₂ (-2) ₃ N ₂ O ₃	+2-2 NO		
(+1) ₂ -2 N ₂ O	-1(+1) ₂ -2+1 NH ₂ OH	(-2) ₂ (+1) ₄ N ₂ H ₄	+5,+3,-3	V

۱۵-۶ جدول ادامه

شماره گروه	اعداد اکسایش	توضیحات	چند ترکیب نمونه
VII	+6، +4، -2	اکسیرن معمولاً عدد اکسایش ۶ دارد و لی عدد اکسایش آن در پسر اکسیدها ۱— فقط با ظور +۲ است. سایر عناصر گروه، دارای اعداد اکسایش ۲، ۴، +۶ یا +۶ نیز می‌باشند.	(+1) ₂ -2 H ₂ O (+1) ₂ -2 H ₂ S
VII	+7، +5، +3، +1، -1	همگی در مقابل هیدروژن یا فلزات عدد اکسایش ۱—، در مقابل اکسیرن (عنصر الکترونگاتیور از خود، اعداد اکسایش مثبت دارند. عدد اکسایش فلور همراهه ۱— است.	+1-1 NaF +1+3(-2) ₂ HClO ₂
			+1+7(-2) ₄ HClO ₄ +1+1-2 HClO

جدول ۶۰۶ اعداد اکسپشن عناصر و مولتی دسته

عنصر	d^0	d^1	d^2	d^3	d^4	d^5	d^6	d^7	d^8	d^9	d^{10}
Ti (4,5,6,7,8)	+4 (6)	+3 (6)	+2 (6)	- (6)	0 (6)	-1 (6)					
Zr,Hf (4,6,7,8)	+4 (?)	+3 (?)	+2 (?)	- (?)	0 (6)						
V (4,5,6)	+5 (4,5,6,8)	+4 (4,5,6,8)	+3 (4,5,6)	+2 (6)	+1 (6)	0 (6)	-1 (6)				
Nb,Ta (π,5?,6,7,8)	+5 (6,8)	+4 (?)	+3 (?)	+2 (?)	+1 (π)	- (π)	-1 (6)				
Cr (4)	+6 (4,6,8)	+5 (4,6)	+4 (4?,6)	+3 (4?,6)	+2 (6,7)	+1 (6)	0 (6)	-1 (6)	-2 (?)		
Mo,W (4,5,6,8?)	+6 (5,6,8)	+6 (π,6,8)	+4 (6?,7,8)	+4 (6?,7,8)	+2 (π,5,6,7,9)	+1 (π)	0 (6)	- (6)	-2 (5)		
Mn (3,4)	+7 (4)	+6 (4)	+5 (6)	+4 (6)	+3 (5?,6)	+2 (4,5?,6,7)	+1 (6)	0 (6)	-1 (4,5,6)	-2 (4,6)	-3 (4)
Tc,Re (4,6,7,8,9)	+7 (6,7,8)	+6 (5,6,7,8)	+5 (4?,6,7)	+4 (π,5,6)	+3 (5,6)	2+ (π,6)	+1 (6)	0 (6)	-1 (5)		

Fe		+6 (4)	+5 (4)	+4 (6)	+3 (4,6,7)	+2 (4,5?,6)	+1 (6)	0 (5,6)	-	-2 (4)		
Ru,Os	+8 (4,5,6)	+7 (4,6)	+6 (4,5,6)	+5 (5,6)	+4 (6,8)	+3 (6)	+2 (5,6)	+1 (?)	0 (5)	-	-2 (7)	
Co						+4 (6)	+3 (4,6)	+2 (4,5,6)	+1 (4,5,6)	0 (4)	-1 (4)	
Rb?,Ir?						+6 (6)	+5 (6)	+4 (6)	+3 (5,6)	+2 (4,5,6)	+1 (4,5)	
Ni						+4 (6)	+3 (4?,5,6)	+2 (4,5,6)	+1 (4?)	0 (4)	+1 (4)	
Pd,Pt						+6 (6)	+5 (6)	+4 (6)	-	+2 (4,5,6)	-	0 (4)
Cu								+3 (4?,6)	+2 (4,5,6)	+1 (2,3,4)		
Ag,Au								+3 (4,5,6)	+2 (4)	+1 (1,3,4)		

اول جدول ۴-۲

Sc, Y, La, Ce	Pr	Nd	Pm	Sm	Eu	Gd	Tb	Dy	Ho	Er	Tm	Yb	Lu
-	-	+2	-	+2	+2	-	-	-	-	-	+2	+2	-
+3	+3	+3	+3	+3	+3	+3	+3	+3	+3	+3	+3	+3	+3
-	+4	+4	+4?	-	-	-	-	+4?	-	-	-	-	-
Ac	Th	Pa	U	Np	Pu	An _a	Cm	Bk	Cf	Es	Fm	Md	No
+3	+3	+3	+3	+3	+3	+4	+3	+3	+3	+3	+3	+3	+3
-	+4	+4	+4	+4	+4	+4	+4	+4	+4	+4	+4	+3	+3
				+5	+5	+5	+5	+5	+5	+5	+5		
				+6	+6	+6	+6	+6	+6	+6	+6		

(a) ترتیب پایداری حالت ۲+ عبارت است از:

Eu>Yb>Sm>Tm~Nd

(b) ترتیب پایداری حالت ۴+ عبارت است از:
Ce>Tb~Pr>Nd~Dy

(c) ترتیب پایداری حالتها، با قدردادن خط (—)

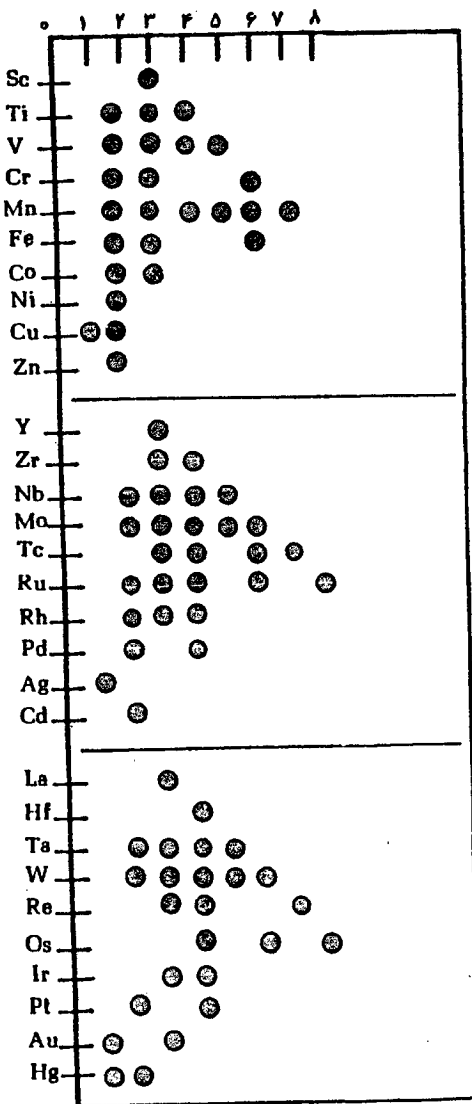
دوزیر آنها، مشخص شده‌اند.

(d) حالت ۲+ نیز ممکن است وجود داشته باشد که براساس آرایش گزینشگری می‌شود.

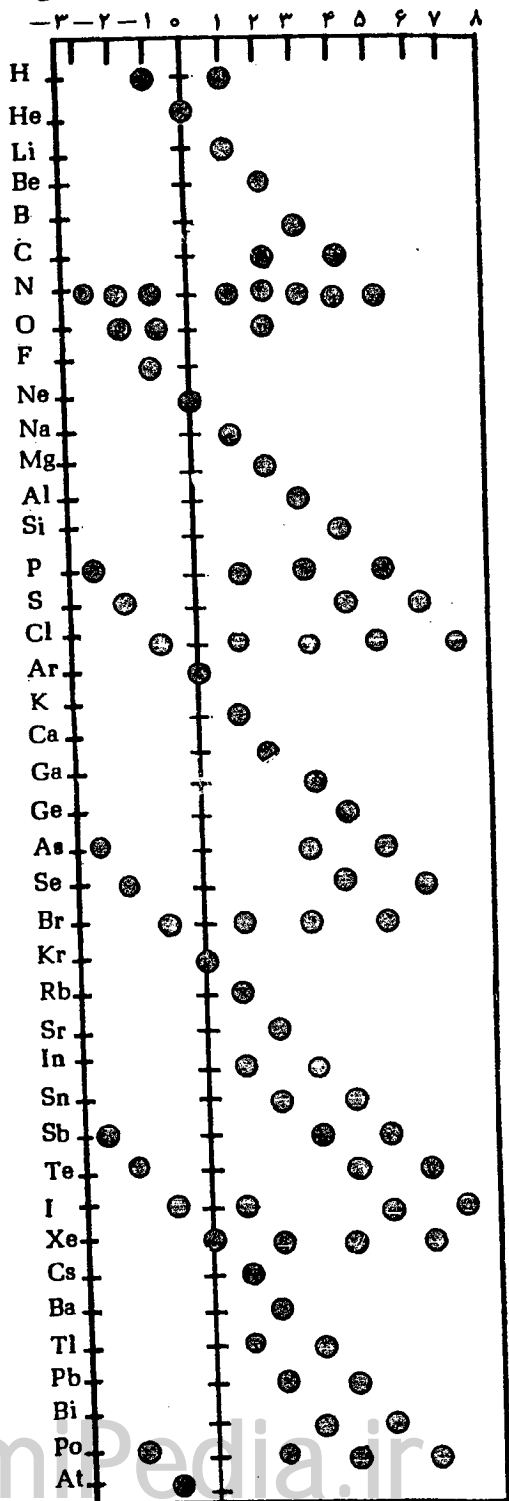
این در مورد Nd و Dy رذید وجود دارد.

فرزی داشته و بون M²⁺ در آن وجود ندارد.

جدول ۱۸-۶ اعداد اکسایش عناصر و اسطه



جدول ۱۷-۶ اعداد اکسایش عناصر اصلی

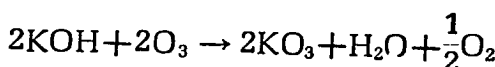


همچنین فسفر در PCl_3 دارای عدد اکسایش $+3$ است ولی در POCl_3 به دلیل تشکیل یک پیوند کووالانسی دیگر، از طریق داتیو با اتم اکسیژن، دارای عدد اکسایش $+5$ می‌شود.

یکی دیگر از عوامل تغییر و تنواع اعداد اکسایش برخی از عناصر اصلی، امکان برقراری پیوند کووالانسی بین اتمهای یک نوع عنصر، یعنی کاتناسیون^۱ است.

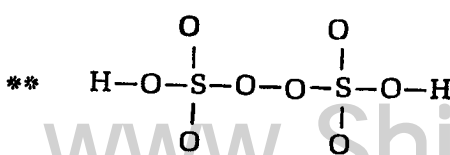
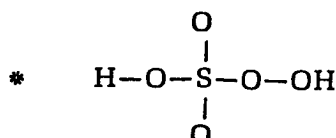
برهمنی اساس است که مثلاً اکسیژن، علاوه بر عدد اکسایش -2 – (در اکسیدهای نرمال، هیدروکسیدها، کسو اسیدها و نمکهای آنها) می‌تواند اعداد اکسایش -1 – (مثلاً در پراکسیدهای پراکسومونوسوفوریک*) و اسید پراکسودی سولفوریک**... و نمکهای آنها) و یا عدد اکسایش $\frac{1}{2}$ – (مثلاً در سوپراکسیدها مانند KO_2

که از سوختن پتاسیم در اکسیژن خالص تشکیل می‌شود) و یا عدد اکسایش $\frac{1}{3}$ – (مثلاً در ازونیدهای مانند ازونید پتاسیم، KO_3) داشته باشد. یادآوری می‌شود که ازونید پتاسیم از واکنش بین ازون و هیدروکسید پتاسیم به وجود می‌آید و به صورت بلورهای نارنجی و ننگ قابل جدا کردن است:



قابل توجه است که کسری بودن عدد اکسایش عناصر در برخی از ترکیبات مثلاً عدد اکسایش سرب در Pb_3O_4 با کسری بودن عدد اکسایش اکسیژن در پراکسیدها یا سوپراکسیدها مبنای متفاوتی دارد (همان طور که قبل اشاره شد، مثلاً در مورد سرب در

1) Catenation



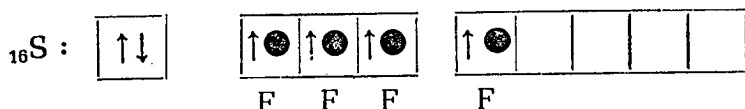
Pb_3O_4 ، عدد اکسایش $\frac{8}{3}$ میانگین اعداد اکسایش اتمهای سرب، یعنی $2+$ برای دواتم $+4$ برای یک اتم دیگر است، در صورتی که مثلاً در مورد اکسیژن این طور نیست و سهم اتمها یکسان است).

عامل دیگری که در تغییر و تنوع اعداد اکسایش عناصر اصلی می‌تواند دخالت داشته باشد، امکان برانگیخته شدن اتم این عناصر از دوره سوم به بعد و مجاز بودن اوریتا لهای تراز d لایه ظرفیت آنها است. برای مثال، گوگرد در H_2S و SCl_2 به ترتیب اعداد اکسایش -2 و $+2$ دارد، ولی در SF_4 و SF_6 به علت امکان برانگیخته شدن واستفاده از اوریتا لهای تراز d لایه ظرفیت خود، به ترتیب دارای اعداد اکسایش $+4$ و $+6$ می‌شود.

آرایش الکترونی لایه ظرفیت اتم گوگرد در حالت پایه به صورت:



در مرحله اول برانگیخته شدن و تشکیل SF_4 به صورت:



اما در مرحله دوم برانگیخته شدن و تشکیل SF_6 به صورت:



است. الکtron لایه ظرفیت اتمهای فلوئور که در تشکیل پیوند با الکترونهای منفرد اتم گوگرد شرکت کرده‌اند، باعلامت \odot ، نشان داده شده‌اند.

همین‌طور، فسفر در PCl_3 دارای عدد اکسایش $+3$ است ولی در PCl_5 (از طریق برانگیخته شدن واستفاده از یک اوریتا لیالی تراز $3d$ لایه ظرفیت خود) به عدد اکسایش $+5$ می‌رسد. قابل توجه است که چون اتم نیتروژن در لایه ظرفیت خود تراز d مجاز ندارد، امکان برانگیخته شدن و تشکیل ترکیباتی به فرمول کلی NX_5 و رسیدن به عدد اکسایش $+5$ را ازین طریق ندارد. بلکه همان‌طور که اشاره شد، فقط از طریق واگذار کردن یک جفت الکترون خود از طریق داتیو، می‌تواند دارای عدد اکسایش $+5$ بشود. در صورتی که

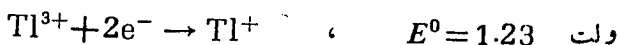
فسفر و عناظر سنگین‌تر هم گروه آن، با هر دو روش می‌توانند به‌این بالاترین عدد اکسایش برستند.

توجه:

در مورد عناصر اصلی گروه‌های I و II، پایداری حالت اکسایش (تنها عدد اکسایش که با شماره گروه برابر است) با افزایش عدد اتمی تغییر نمی‌کند. ولی در مورد عناصر اصلی گروه‌های III و IV (برخلاف گروه‌های اصلی V، VI و VII) با افزایش عدد اتمی، پایداری حالت اکسایش (که با شماره گروه مطابقت دارد)، به تدریج کاهش می‌یابد.

مثالاً در گروه A III، بور، آلومینیم و گالیم، فقط با حالت اکسایش $+3$ ترکیبات پایدار تشکیل می‌دهند. در صورتی که از ایندیم ترکیبات پایداری با عدد اکسایش $+1$ در حالت جامد شناخته شده است (مانند InCl و InBr) و تالیم در حالت اکسایش $+1$ ترکیبات پایدار نسبتاً زیادی (حتی در محلول) تشکیل می‌دهد (مانند Ti_2O ، TiOH ، TiCl).

در گروه IV A، کربن، سیلیسیم و ژرمانیم در حالت اکسایش $+4$ ترکیبات پایدار تشکیل می‌دهند. در صورتی که قلع و سرب علاوه بر حالت اکسایش $+4$ ، در حالت اکسایش $+2$ نیز بسیاری از ترکیبات پایدار را بوجود می‌آورند و حتی اهمیت حالت اکسایش $+2$ از حالت اکسایش $+4$ در آنها بیشتر است:



در مورد دلیل چنین رویدادی، اولين بار در سال ۱۹۳۳، سید گویاک، پدیده «جفت المکترون بی‌اثر»* لایه ظرفیت اتمهای سنگین این گروه‌ها را عاملی مؤثر، معرفی کرد. یعنی با افزایش عدد اتمی و درنتیجه افزایش بار مؤثر هسته در گروه (به ویژه اثر انقباض لانتانیدی در مورد تالیم و سرب) انرژی یونیزاسیونهای دوم و سوم تا حدی زیاد می‌شود که دسترسی به حالت اکسایش بالاتر ($+3$ برای ایندیم و تالیم یا $+4$ برای قلع و سرب) مشکل است. چنین استدلال و نتیجه‌گیری در صورتی می‌تواند درست باشد که مجموع مقادیر انرژی یونیزاسیونهای متوالی، مثلاً انرژی یونیزاسیونهای دوم و سوم در گروه A III با افزایش

* Inert electron pair

عدد اتمی، به تدریج زیادتر شود. در صورتی که داده‌های تجربی (که در جدول ۱۹-۶ گردآوری شده است)، این موضوع را تأیید نمی‌کند. زیرا براساس داده‌های این جدول، حالت اکسایش $+3$ باشد در گالیم ناپایدار تراز ایندیم و تالیم و اکسایش $+3$ باشد در گالیم ناپایدار تراز ایندیم و تالیم و یا Tl^+ ناپایدار تراز Ga^+ باشد. در صورتی که

جدول ۱۹-۶ مجموعه مقادیر انرژیهای دومین و سومین انرژی یونیزاسیون گالیم - ایندیم و تالیم

عنصر	گالیم	ایندیم	تالیم
$I_3 + I_2$ (کیلوکالری برمول)	1177	1078	1155

Ga^+ عملاً وجود ندارد ولی Tl^+ در حالت جامد و حتی در محلول، پایداری قابل توجهی دارد.

د) آگ^۱ برای توجیه درست این پدیده، معتقد است که نباید آن را به بی‌اثر بودن ذاتی جفت الکترون تراز δ لایه ظرفیت یا به بیان دیگر، به افزایش انرژی یونیزاسیون مر بوط به این الکترونها، نسبت داد. بلکه عامل اساسی، کاهش تدریجی انرژی پیوندی به موازات افزایش عدد اتمی این عناصر در گروه است. زیرا بر اثر افزایش گسترش طولی اور بیتالهای اتمی و کاهش دانسیتی الکترونی و درنتیجه کاهش شدت همپوشانی از یک طرف و افزایش دافعه الکترونهای غیرپیووندی اتمهای لیکاند از طرف دیگر، قدرت پیوندهای حاصل کاهش می‌یابد و ترکیب در حالت اکسایش بالاتر، ناپایدار می‌شود. بررسیهای تجربی این نظر را کاملاً تأیید می‌کند. مثلاً همان طور که در جدول ۲۵-۶ نشان داده شده است، میانگین انرژی پیوندی درمورد تری کلرید تالیم از تری کلرید ایندیم و یا گالیم کمتر است.

جدول ۲۰-۶ انرژی پیوندی درتری‌کلریدهای تالیم، ایندیم و گالیم

GaCl_3	InCl_3	TlCl_3	ترکیب
57.8	49.2	36.5	انرژی پیوند (کیلو کالری بر مول)

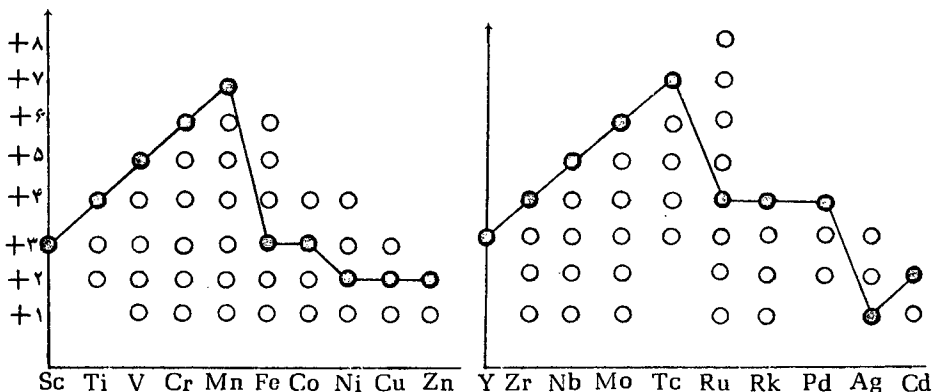
(II) دمودد فلزات واسطه

در عناصر واسطه دسته d ، به دلیل اینکه ترازهای s و d لایه ظرفیت اتم آنها نسبتاً به یکدیگر نزدیک‌اند، علاوه بر الکترونهای تراز s ، تعدادی از الکترونهای تراز d ظرفیت خود را نیز ضمن شرکت در واکنشها می‌توانند از دست بدهند. علاوه بر آن، انرژی پیوند های اضافی که بر اثر یونیزاسیونهای متوالی تشکیل می‌شوند، به میزانی است که می‌تواند انرژی لازم برای آن یونیزاسیونها را تأمین کند. براین اساس، می‌توان تغییر پذیری و تنوع اعداد اکسایش این دسته از عناصر را به روشنی توجیه کرد.

همان‌طور که از داده‌های جدولهای ۱۷-۶ و ۱۸-۶ نیز می‌توان دریافت، بالاترین عدد اکسایشی عناصر واسطه دسته d در دوره چهارم تا گروه VII B (یعنی منگنز) و در دوره‌های پنجم و ششم تا گروه VIII B (یعنی روتینیم و اسمیم) با مجموع الکترونهای s و d لایه ظرفیت مطابقت دارد. مثلاً بالاترین عدد اکسایش وانادیم (گروه V B) برابر ۵، منگنز (گروه B) برابر ۷ و اسمیم (گروه VIII B) برابر ۸ است. از آن پس تا آخر سری واسطه درهای دوره، روبه کاهش گذاشته و در آخرین عنصر سری به ۲ رسید. برای نمونه، طرحی از روند تغییرات بالاترین عدد اکسایش عناصر واسطه دوره‌های چهارم و پنجم در شکل ۱۴-۶ نشان داده شده است (حالتی اکسایش پایدار با دایره‌های توپر مشخص شده است).

علت کوچک بودن بالاترین عدد اکسایش عناصر اول سری را به کم بودن تعداد الکترونهای لایه ظرفیت اتم آنها می‌توان نسبت داد، در عناصر آخر سری، اگرچه تعداد الکترونهای لایه ظرفیت زیاد است، ولی به دلیل جفت شدن غالب الکترونهای دراور بین‌النها و یا افزایش بار مؤثرهسته و نفوذ زیادتر ترازهای لایه ظرفیت به سمت هسته، جدا شدن تعداد بیشتری از الکترونهای دشوار می‌شود. از این‌رو، مثلاً با اینکه فلز روی ۱۵ الکترون

در تراز $3d$ و 2 الکترون در تراز $4s$ دارد، فقط امکان از دست دادن دو الکترون از تراز $4s$ برای آن وجود دارد. از این رو، بالاترین (و تنها) عدد اکسایش آن در ترکیبات $+2$ است.

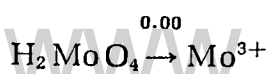
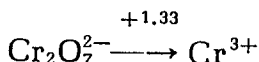


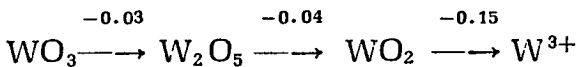
شکل ۱۴-۶ طرحی از اعداد اکسایش عناصر واسطه دوره‌های چهارم و پنجم (بالاترین حالت اکسایش پایدار با دایره‌های توپر مشخص شده‌اند).

در مورد عناصر واسطه داخلی، در سری لانتانیدها، چون تراز $4f$ لایه ظرفیت اتم آنها نسبت به ترازهای d (در عناصر واسطه دسته d) عمقی‌تر و به هسته نزدیکتر است. از این رو، جاذبه هسته اتم بر الکترونها این تراز در عناصر لانتانید نسبتاً زیاد است. از این رو، این عناصر ضمن شرکت در واکنشهای شیمیایی، عملتی الکترونها ای تراز s و d و ندرتاً تعدادی از الکترونها تراز f را می‌توانند از دست بدهند. در نتیجه همان طور که در جدول ۱۶-۶ نشان داده شده است. اعداد اکسایش این عناصر چندان تنوع ندارد. به طوری که فقط نئودیمیم (Nd، سومین عنصری سری) سه نوع اعداد اکسایش ($+3$ ، $+2$ و $+4$) و عناصر سریم، پرازئودیمیم، ساماریم، اروپیم، تریم، دیسپروزیم، توییم و آیتریم، دارای دونوع عدد اکسایش، پرومیم، گادولینیم، هولمیم، اریم و لوتسیم فقط یک نوع عدد اکسایش ($+3$) دارند.

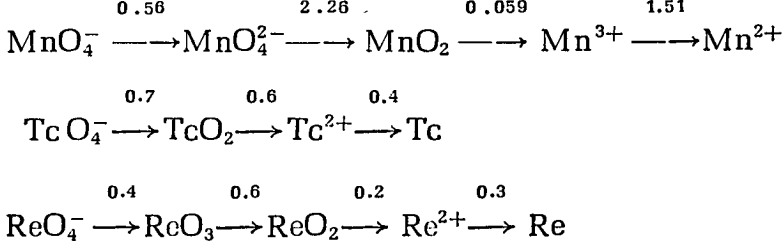
درمورد عناصر واسطه داخلی سری آکتینیدها، چون تراز f ۵ (برخلاف تراز f ۴) نسبتاً سطحی و تحت تأثیر جاذبه کمتری از طرف هسته اتم قرار دارد، اتم آنها، علاوه بر الکترونهای $5f$ لایه ظرفیت، می‌تواند باسهولت قابل توجهی تعدادی از الکترونهای تراز f ۵ خود را نیز ضمن واکنش شیمیایی ازدست بدهد. از این‌رو، همان‌طور که در جدول ۱۶ نشان داده شد، برخی از عناصر این سری، مانند عناصر واسطه دسته d ، اعداد اکسایش نسبتاً متنوعی دارند. مثلاً اورانیم، نپتونیم، پلوتونیم، و آمریسیم، هر یک دارای چهار حالت اکسایش ($+3$ ، $+4$ ، $+5$ و $+6$) می‌باشند. البته عناصر آخر این سری (به علت اینکه تراز f ۵ در آنها با شبیه نسبتاً تنید به سمت هسته کشیده می‌شود)، امکان از دست دادن الکترون از تراز f ۵ را ندارند. برهمین اساس است که پنج عنصر آخر این سری (یعنی اینشتینیم، فرمیم، مندلویم، نوبلیم و لورنیسم) فقط یک حالت اکسایش ($+3$) دارند.

ک) توجیه افزایش پایداری حالت‌های اکسایش بالاتر در عناصر سنگین‌گروهها در گروه فلزات واسطه و نیز برخی از عناصر گروههای اصلی (بهویژه گروههای VIA و VIIA) با افزایش عدد انتی، یعنی با پایین آمدن در گروه، اعداد اکسایش بالاتر پایداری بیشتری به دست می‌آورند. مثلاً در عناصر واسطه سری اول، اعداد اکسایش $+2$ و $+3$ بسیار متداول و مهمن است. در صورتی که در عناصر واسطه زیرین آنها این اعداد اکسایش اهمیت خود را از دست می‌دهد و جز درمورد چند عنصر مانند کادمیم، پالادیم و پلاتین، پایداری قابل توجهی در محلول ندارند. در مقابله، اعداد اکسایش بالاتر در فلزات زیرین این گروهها نسبت به عناصر بالای آنها، پایدارتر می‌شود. مثلاً اگر فلزات واسطه گروه VIIIB (یعنی کروم، مولیبدن و تنگستن) را در نظر بگیریم، ملاحظه می‌شود که در حالت اکسایش $+6$ کروم در CrO_4^{2-} و در $\text{Cr}_2\text{O}_7^{2-}$ در محلول (در مجاورت احیاکننده‌ها) نسبتاً نایدار بوده، عوامل اکسیدکننده قوی محسوب می‌شوند. در صورتی که مولیبدن در H_2MoO_4 پایدار است و به عنوان عامل اکسیدکننده به کار نمی‌رود. تنگستن نیز در این حالت، مثلاً در WO_3 بسیار پایدار بوده و عامل اکسیدکننده محسوب نمی‌شود. این واقعیتها را بر اساس بتانسیل نیم و اکنشهای زیر (بر حسب ولت) نیز می‌توان دریافت:





در مورد عناصر گروه VIIIB، یعنی منگنز، تکنسیم و رنیم نیز وضعیت مشابهی، مشاهده می‌شود یعنی منگنز در حالت اکسایش $+7$ در MnO_4^- نسبتاً ناپایدار است و این یون یکی از قویترین عوامل اکسیدکننده است در صورتی که حالت اکسایش $+7$ در تکنسیم (به صورت TcO_4^-) و یا در رنیم (به صورت ReO_4^-) به تدریج پایداری بیشتری حاصل می‌کند. به طوری که پررنات (ReO_4^-) کاملاً پایدار بوده و قدرت اکسیدکنندگی بسیار کمی دارد. این مطالب را بر اساس پتانسیل نیم‌واکنشهای زیر می‌توان به آسانی دریافت:



دلیل پایدارتر شدن حالت‌های اکسایش بالاتر در عناصر سنگینتر این گروهها نسبت به عناصر سبکتر آنها را می‌توان، به افزایش بار مؤثر هسته در عناصر سنگینتر و افزایش حجم آنها و در نتیجه، بالارفتن میزان قدرت اثری پیوندی بین اتم مرکزی و اتمهای لیگاند در ترکیبات حاصل نسبت داد که موجب افزایش اثری پایداری میدان لیگاند در مورد ترکیبات عناصر واسطه و یا به طور کلی، موجب پایداری بیشتر در ترکیبات حاصل، می‌شود.

توجه:

همان‌طور که در جدول ۲۱-۶ نشان داده شده است، اعداد اکسایش بالاتر عناصر توسط لیگاندهایی که اتم الکترونگایتو و کوچک (مانند F و O) دارند، پایداری حاصل می‌کند. مثلاً کروم با کلر با عدد اکسایش $+3$ (در CrCl_3) ولی با اکسیژن با حالت اکسایش $+6$ (مثلاً در CrO_3) ترکیبات پایدار تشکیل می‌دهد. دلیل را نباید تنها کوچک بودن اتم غیرفلز دانست. بلکه، افزایش قدرت اکسیدکنندگی کاتیون در حالت‌های اکسایش بالاتر و افزایش سهولت اکسید شدن آنیون بر اثر افزایش حجم آن،

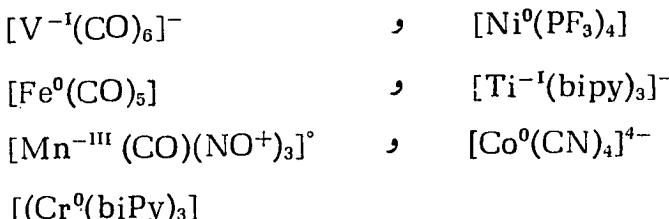
۴-۶-۲۱- چالنگ‌های اکسی‌پیش تعدادی از عناصر در ترکیبات دوستی آنها

	IVB	V A	VIB	VIIIB	VIII	IB	IIB	IIIA	IVA
	Ti	V	Cr	Mn	Fe	Co	Ni	Zn	Ca
F	3,4	3,4,5	2,3,4,5	2,3	2,3	2,3	2	2	3
Cl	2,3,4	2,3,4	2,3	2	2,3	2	1,2	2	1,3
Br	2,3,4	2,3,4	2,3	2	2,3	2	1,2	2	2
I	2,3,4	2,3	2,3	2	2	2	1	2	3
O	2,3,4	2,3,4,5	2,3,6	2,3,4	2,3	2,3,4	1,2	2	1,3
Zr	Nb	Mo	Tc	Ru	Rh	Pd	Ag	Cd	In
F	4	5	3,4,5,6	6,3	5,6	3,6	2,3	1,2	2
Cl	2,3,4	3,4,5	2,3,4,5	4,6	3,4	3	2	1	1,2
Br	4	2,5	2,3,4	—	—	—	2	1	2
I	4	3,4,5	2,3,4	—	3	3	2	1	2
O	4	2,4,5	3,4,5,6	4,6,7	4,8	3,4	2,3,4	1,3	2
Hf	Ta	W	Re	Os	Ir	Pt	Au	Hg	Tl
F	4	5	4,6	3,5,6,7	4,6	4,6	4,6	3	1,2
Cl	3,4	2,3,4,5	4,5,6	4,5,6	2,3,4	1,2,3,4	1,2,3,4	1,3	1,2
Br	4	3,5	4,5,6	3,4,5,6	3	1,2,3	2,3,4	1,3	1,2
I	4	4,5	4	3,4	4	1,2,3	2,3,4	1,3	1,2
O	4	4,5	4,5,6	3,4,6,7	4,8	2,3,4,6	3,4,6	1,3	1,2

دو عامل مؤثر مخصوص بمی شوند. بر همین اساس است که اکسیدهای این عناصر بیش از هر ترکیب دیگر آنها مورد بررسی قرار گرفتند.

ل) حالتهاي اکسايش پايان و غيرعادی فلزات

حالتهاي اکسايش که در جدولهای اعداد اکسايش برای فلزات واسطه، به چشم می خورد، اعداد اکسايش متداول آنها است. از اين رو، ترکييات آنها را در اين حالتهاي اکسايش، (ترکييات کلاسيك) (كمپلکسيهای کلاسيك) می نامند. مثلاً حالتهاي اکسايش $+2$ و $+3$ برای آهن، منگنز و کروم در ترکييات نظير FeO ، $\text{K}_3\text{Fe}(\text{CN})_6$ و $\text{MnSO}_4 \cdot 7\text{H}_2\text{O}$ مشاهده می شوند. ولی بايد توجه داشت که بسياري از فلزات در حالتهاي اکسايش پايان تر، مثلاً حالتهاي -1 ، -2 و -3 - نيز ترکييانی کم و بيش پايدار تشکيل می دهند که به نام ترکييات کمپلکس غيرکلاسيك موسومند. فرمول چند نمونه از اين نوع ترکييات و اعداد اکسايش فلزات واسطه در آنها، در زير نشان داده شده است:



همان طور که ملاحظه می شود، حالتهاي اکسايش پايان فلزات واسطه در اين ترکييات با ليگاندهای ویژه ای نظیر CO ، PF_3 ، bipy ، PF_3 (دی پیریدیل)، NO و غیره پايداري حاصل می کنند. زيرا، مولکول اين ليگاندها در ترازيهای انرژي مولکولي خود اوپيغنتا لهای خالي غير پيوندي يا ضد پيوندي دارد که می توانند الکترونهای اوپيغنتا لهای ترازي d لایه ظرفیت اتم مرکزی را از طریق برقراری پیوند داتیو و باز گشته (یا باز پس دهی) در خود جای دهد.

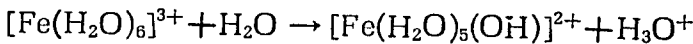
م) تأثير عدد اکسايش فلزات در خواص ترکييات آنها

شاید تاکنون، اين موضوع مورد توجه قرار نگرفته باشد و طرح آن در اينجا، خالي از تازگي نباشد. از اين رو، چند نمونه از اين تأثيرات را در زير مورد بررسی قرار می دهيم:

۱) هرچه عدد اکسایش اتم مركزی (یعنی اتمی که پیوندهای بیشتری دارد) در تر دیبی بیشتر باشد، به بیانی دیگر نسبت بار به شاعع کاتیون که پتانسیل یونی^{*} کاتیون نامیده می‌شود، بزرگتر باشد، میدان جاذبه الکتروستاتیکی قویتری در اطراف خود به وجود می‌آورد. درنتیجه تعداد بیشتری از لیگاندها را می‌تواند جذب کند (یا تعداد بیشتری پیوند برقرار کند). به بیان دیگر، عدد کوئوردیناسیون خود را افزایش دهد. براین اساس است که مثلاً مس در حالت اکسایش ۱ + کمپلکسها بی اعداد کوئوردیناسیون ۲ مثلاً در $[Cu(NH_3)_2]^+$ ولی در حالت اکسایش ۲ + کمپلکسها بی اعداد کوئوردیناسیون ۴ و ۵، مانند $[Cu(NH_3)_4]^{2+}$ و $[CuCl_5]^{3-}$ و در حالت اکسایش ۳ + کمپلکسها بی اعداد کوئوردیناسیون ۶ مانند $[CuF_6]^{3-}$ تشکیل می‌دهد.

۲) هرچه عدد اکسایش اتم مرکزی افزایش یابد، به دلیل افزایش پتانسیل یونی، میزان انرژی پایداری میدان لیگاند و نیز پایداری ترکیب حاصل، افزایش می‌یابد. براین اساس است که مثلاً $[Cu^{II}(NH_3)_4]^{2+}$ پایدارتر از $[Cu^I(NH_3)_2]^+$ و یا $FeCl_3$ پایدارتر از $FeCl_2$... است.

۳) هرچه عدد اکسایش اتم مرکزی دریک ترکیب بالاتر باشد، تمایل آن به هیدرولیز و خصلت اسیدی محلول آن ترکیب بیشتر می‌شود. برهمین اساس است که مثلاً $FeCl_3$ با شدت بیشتری نسبت به $FeCl_2$ در آب هیدرولیز می‌شود و محیط را اسیدی می‌کند. معادله واکنش اولین مرحله هیدرولیز $FeCl_3$ که درواقع به $Fe^{3+}(aq) + H_2O \rightarrow [Fe(H_2O)_6]^{3+} + H_3O^+$ چنین است:



۴) هرچه عدد اکسایش اتم مرکزی افزایش می‌یابد، به دلیل افزایش مقدار پتانسیل یونی آن، قدرت قطبی کنندگی (پلاریزاسیون) آن بیشتر شده، موجب می‌شود که پیوند یونی حاصل، از حالت خالص خارج شده و خصلت کووالانسی قابل توجهی پیدا کند و به صورت یک پهلو ندحدا وسط (قطبی) و یا عمدتاً به صورت پیوند کووالانسی درآید. برهمین اساس است که مثلاً پیوند در $AlCl_3$ عمدتاً کووالانسی است و یا خصلت کووالانسی پیوند از $SnCl_4$ در $Sn - Cl$ و نیز خصلت کووالانسی پیوند $Fe - Br$ در $FeBr_3$ از $FeBr_2$ بیشتر است.

«مسائل، تمرینها و پرسشها»

مسائل، تمرینها و پرسش‌های فصل اول

- ۱) در صورتی که گرمای ویژه عنصر در حالت جامد آن برابر 235 cal/g.deg و گرمای اتمی آن برابر $115 \text{ cal/g.atom.deg}$ باشد، جرم اتمی تقریبی آن را حساب کنید.
- ۲) یک واحد کربنی (1 amu) را بر حسب میلی گرم حساب کنید.
- ۳) دمای جسم داغی را که شدت تابش آن برابر 50 kJ/s.m^2 است، بر حسب $^{\circ}\text{C}$ حساب کنید.
- ۴) شدت تابش جسم ملتهبی را که تا دمای 3000°C گرم شده باشد، حساب کنید (در صورتی که ضریب قدرت انتشار آن برابر $1/6$ باشد).
- ۵) ماکریم شدت تابش جسم داغی که تا دمای 3500°C گرم شده باشد را بر اساس قانون وین حساب کنید.
- ۶) مقدار λ_{\max} را برای تابش جسم داغی که تا دماهای $4000, 5000, 5500$ و 6000 درجه کلوین گرم شده باشد، بر اساس قوانین وین و پلانک حساب کنید (بر حسب $\text{pm}, \text{nm}, \text{\AA}$ و میکرون) و معلوم دارید که ماکریم شدت تابش در هر دما، در کدام ناحیه از تابش‌های الکترومغناطیسی قرار دارد؟
- ۷) نکات بر جسته نظریه کلاسیک تابش‌های الکترومغناطیسی را بیان کنید.
- ۸) تفاوت‌های اساسی بین نظریه کلاسیک تابش‌های الکترومغناطیسی و نظریه کوآنتموی پلانک را به اختصار بیان کنید.
- ۹) کدام شواهد تجربی در زمینه اثر فتوالکتریسته، با نظریه کلاسیک تابش‌های الکترومغناطیسی سازگاری ندارد؟
- ۱۰) بر اساس نظریه پلانک درجه دمایی ماکریم شدت تابش جسم در طول موج

- (۱۱) انرژی هر کوآنتوم از تابشی که در طول موج 10^{-3} میکرون منتشر می‌شود را برحسب cm^{-1} و فرکانس آن را برحسب Hz حساب کنید.
- (۱۲) مقدار هر 1 cm^{-1} را برحسب ارگ و الکترون ولت حساب کنید.
- (۱۳) 3.49×10^5 کیلو کایزر (kK) را برحسب کیلو کالری بر مول حساب کنید.
- (۱۴) در صورتی که در هر ثانیه، از هر سانتیمترمربع از سطح جسم ملتهبی 15°C فوتون با طول موج 10^5 pm منتشر شود، شدت تابش این جسم را برحسب ارگ در ثانیه بر سانتیمترمربع حساب کنید.
- (۱۵) انرژی یک کوآنتوم از تابشی که به ناحیه IR نزدیک، ناحیه مرئی (نوار سبز)، ناحیه فرابنفش و ناحیه پرتوهای گامای تابشی الکترومغناطیسی مربوط است را برحسب کیلو کایزر و کیلو کالری بر مول حساب کنید.
- (۱۶) در صورتی که تابشی با طول موج 400 nm بر سطح فلز سدیم بتا بد و فتو الکترونها با سرعت 500 m/s سرعت نور از سطح آن خارج شوند، فرکانس تابش و فرکانس حد را برحسب هرتز حساب کنید.
- (۱۷) با توجه به رابطه $1 = 16 \times 10^{-1}$ ، اگر $m = 4$ باشد، چندمین خط طیفی از سریهای بالمر و پاشن مشخص می‌شود؟ طول موج هر خط را برحسب nm حساب کنید.
- (۱۸) با استفاده از رابطه $1 = 10^{-1} \times 16$ ، مقدار m را چه عددی باید انتخاب کنیم، تا خط طیفی H_7 به دست آید؟
- (۱۹) عدد موجی و فرکانس خط طیفی H_8 را به ترتیب برحسب cm^{-1} و Hz حساب کنید.
- (۲۰) با توجه به شکل ۱-۷، تعداد خطوط طیفی سری اصلی را که به جهشی‌های الکترونی بین ترازهای $2s$ تا $7p$ مربوط است، معین کنید.
- (۲۱) کدام نوع طیف را می‌توان در آزمایشگاه به کمک چراغ‌گاز و یک طیف‌نما به دست آورد؟ این طیف چه نام دارد؟ از نظر شکل چگونه است؟ در آزمایشگاه شیمی تجزیه، چه کار بر دی می‌تواند داشته باشد؟
- (۲۲) طیف مواد رنگی، از کدام نوع و عموماً به کدام شکل است و از نظر شیمی تجزیه چه اهمیتی دارد؟

جذب و نشر انرژی توسط اتم را چگونه می‌شد توجیه کرد؟

۲) بوهر در ارائه نظریه اتمی خود از کدام زمینه‌های تجربی و نظریه‌های موجود در زمان خود استفاده کرد؟

۳) دو پذیره‌ای که بوهر نظریه اتمی خود را براساس آنها تدوین کرد، به اختصار بیان کنید.

۴) کدام رابطه است که با استفاده از آن می‌توان فرکانس عدد موجی تمام خطوط سری‌های طیف نشری اتم هیدروژن را بدست آورد؟

۵) مفهوم شاعع بوهر و کاربرد آن را بیان کنید.

۶) مقدار انرژی الکترون در سومین تراز برانگیخته اتم هیدروژن، مقدار انرژی برانگیختگی آن در این تراز و نیز مقدار انرژی لازم برای جدا کردن آن از اتم هیدروژن را در این حالت، بر حسب ارگ و الکترون ولت حساب کنید.

۷) فاصله بین اولین و سومین تراز برانگیخته را در اتم هیدروژن بر حسب a و pm و تفاوت سرعت الکترون را در این دو تراز بر حسب cm/s حساب کنید.

۸) توضیح دهید که چرا، نظریه بوهر در تسویه چندگانگی خطوط طیفی اتم هیدروژن نارسایی داشت.

۹) طول موج تابشی را که هر کوآنتوم آن برابر $15 \times 10^{-19} \text{ eV}$ ژول است، بر حسب سانتیمتر حساب کنید. این تابش به کدام ناحیه از تابش‌های الکترومغناطیسی و کدام سری از خطوط طیفی اتم هیدروژن تعلق دارد؟ چنین تابشی از جهش و سقوط الکترون بین کدام دو تراز انرژی در این اتم ناشی می‌شود؟

۱۰) نسبت طول موج اولین خط از سری پاشن به طول موج آخرین خط از سری بالمر را در اتم هیدروژن حساب کنید.

۱۱) چگونه رابطه ریدبرگ برای محاسبه فرکانس خطوط طیفی اتم هیدروژن را می‌توان از رابطه بوهر در محاسبه انرژی الکترون بدست آورد؟

۱۲) با استفاده از جدول ۱-۲، عدد موجی اولین خط طیفی زیر قرمز نزدیک، میانی و دور را با یکدیگر مقایسه کنید.

۱۳) فاصله بین تراز حالت پایه و دومین تراز برانگیخته را در اتم هیدروژن بر حسب a حساب کنید.

۱۴) مقدار جرم کاهش یافته و ثابت ریدبرگ را برای اتم لیتیم حساب کنید (جرم هسته لیتیم برابر 7.516 eV واحد جرم اتمی است).

۱۵) مقادیر سرعت، انرژی و فاصله الکترون تا هسته را در یون هیدروژن-مازنند

Li^{2+} حساب کنید.

۱۶) روابط بوده درمورد محاسبه سرعت، شعاع و انرژی الکترون را در مورد اتم هیدروژن، یونهای هیدروژن-مانند و اتمهای چندالکترونی بنویسید و تفاوت و تشابه بین آنها در هرمورد بیان کنید.

۱۷) دومورد ابهاماتی که درمراحل آغازی نظریه بوده، وجود داشت، توضیح دهید.

۱۸) رابطه بین اعداد کوآنتمی n و l و قطرهای بیضی را بنویسید و براساس آن شکل مسیر حرکت الکترون در هر تراز فرعی از چهارمین تراز اصلی انرژی را درسم کنید.

۱۹) توضیح دهید که چگونه معلوم شد دره تراز اصلی انرژی n ، n تراز انرژی فرعی و در هر تراز فرعی l ، به تعداد $1 + 2l$ تراز انرژی فرعی تر (اوربیتال) وجود دارد؟

۲۰) توضیح دهید که چگونه دریافتند که الکترون نیز مانند بسیاری از ذرات متحرك، علاوه بر حرکت انتقالی، دارای حرکت وضعی (اسپینی) نیز می باشد؟

۲۱) با توجه به روابط بین اعداد کوآنتمی، معلوم کنید که چهارمین تراز اصلی انرژی، حداقل به وسیله چند الکترون می تواند اشغال شود؟

۲۲) براساس اصل طرد پاولی چگونه می توان نشان داد که دره اوربیتال بیش از دو الکترون قرار نمی گیرد؟

۲۳) براساس قاعده انتخاب (قاعده منع لاپورت)، تعداد خطوط طیفی را که ضمن سقوط الکترون از سومین تراز برانگیخته اتم هیدروژن به اولین تراز برانگیخته آن، در طیف نما ظاهر می شوند را معین کنید.

۲۴) نسبت اندازه حرکت الکترون در ترازهای فرعی مربوط به سومین تراز اصلی انرژی را در اتم هیدروژن حساب کنید.

۲۵) براساس نظریه سامر فلد، مسیر حرکت الکترون در کدام تراز فرعی از هر تراز اصلی گسترش طولی بیشتری دارد؟

مسائل، تمرینها و پرسشها فصل سوم

۱) نسبت جرم یک فوتون گاما با طول موج pm را به جرم الکترون (در حالت سکون) حساب کنید.

۲) طول موج دوبروی را برای نوترونی که با انرژی ۱۰۵ الکترون ولت حرکت

می‌کند، بر حسب A° حساب کنید.

- (۳) انرژی، اندازه حرکت و طول موج حرکت نوترونی را که در دما 227°C حرکت می‌کند، حساب کنید (بر حسب واحدهای سیستم C.G.S).
- (۴) انرژی ذره آلفایی را که در میدانی با اختلاف پتانسیل 1000 V ولت حرکت می‌کند، بر حسب ارگ و طول موج حرکت آن را در این شرایط بر حسب pm حساب کنید.
- (۵) چگونه بر اساس نظریه دوبروی پیشگویی شد که الکترون در اتم دارای حرکت موجی است؟
- (۶) اگر به طور فرضی، ثابت پلانک را برابر واحد در نظر بگیریم، حرکت یک اتم مبیل چه وضعیتی پیدا خواهد کرد؟
- (۷) بر اساس نظریه دوبروی، طول موج حرکت الکترون را در حالت پایه اتم هیدروژن، بر حسب pm حساب کنید.
- (۸) اگر طول موج الکترون در اتم هیدروژن برابر 6642 pm باشد، الکترون در کدام تراز انرژی اتم هیدروژن و در چند میلی تراز برانگیخته آن قرار دارد؟
- (۹) معادله موج پیش‌روزنه، معادله دامنه موج و معادله شرودینگر را در مختصات دکارتی بنویسید.
- (۱۰) هر یک از اجزای سه‌گانه معادله موج الکترون در دستگاه مختصات کروی قطبی به کدام اعداد کوآنتومی وابسته است؟
- (۱۱) صورت هامیلتونی معادله موج الکترون را از معادله شرودینگر به دست آورید.
- (۱۲) روابط مربوط به دانسیته احتمال، احتمال در بخشی از فضای اطراف هسته و احتمال در کل فضای اطراف هسته را بنویسید.
- (۱۳) انرژی ذره‌ای به جرم یک میلی‌گرم را که در دو میلی‌سانتی‌متر، حرکت رفت و برگشتی دارد، بر حسب ارگ حساب کنید.
- (۱۴) نمودار تغییرات تابع موج و تابع احتمال را در پنج تراز انرژی مجاز اول برای ذره‌ای که در داخل جعبه‌ای به طول a سانتی‌متر حرکت رفت و برگشتی دارد، رسم کنید.
- (۱۵) چگونه بر اساس رابطه انرژی ذره در جعبه، می‌توان اثر رزونانس در پایداری گونه‌های شیمیایی که پیوند دوگانه دارند، را توجیه کرد؟
- (۱۶) سطوح مجاز انرژی ذره‌ای به جرم $5/500\text{ g}$ میلی‌گرم را که در محدوده‌ای به طول ۱ میکرومتر حرکت رفت و برگشتی دارد و سرعت آن را در اولین تراز مجاز حساب کنید.

۱۷) اعداد کوآنتمی مشخص کننده انرژی الکترون در اوربیتالهای $3z$ ، $3p$ و $3d_{xy}$ کدامند؟

۱۸) نمودارهای تغییرات تابع شعاعی Ψ_{4p} ، Ψ_{4d} ، Ψ_{4f} را نسبت به فاصله از هسته رسم کرده و براساس آنها توضیح دهید که الکترون در کدام تراز نفوذ بیشتری به سمت هسته دارد و از این پدیده چگونه می‌توان به پایداری نسبی ترازهای انرژی پی برد؟

۱۹) نمودارهای تغییرات تابع زاویه‌ای Ψ_{31} ، Ψ_{322} ، Ψ_{321} را رسم کنید. از این نمودارها در ارتباط با اوربیتالهای اتمی، چه برداشتی می‌توان کرد؟

۲۰) نمودارهای نقطه‌ای دانسیته الکترونی Ψ_{311} و $\Psi_{32(-1)}$ را رسم کنید.

۲۱) نمودارهای کانتور دانسیته الکترونی Ψ_{210} و Ψ_{311} را رسم کنید.

۲۲) مفاهیم گره، صفحه گرهی (کره گرهی)، سطح مرزی را بیان کنید.

۲۳) معلوم کنید که احتمال حضور الکترون در راستای محور x در اوربیتال p بیشتر است یا در اوربیتال d ? همچنین احتمال حضور الکترون در راستای محور z در اوربیتال $10g$ بیشتر است یا در $11g$? و در صفحه xz احتمال حضور الکترون در اوربیتال $(-2)3d$ بیشتر است یا در اوربیتال $3d_{21}$ ؟

۲۴) کدام اوربیتالهای اتمی نسبت به محور z تقارن کامل دارند، کدام اوربیتال‌ها نسبت به محور ضدمتقارن‌اند؟ کدام اوربیتالهای اتمی نسبت به صفحه yz و کدام اوربیتال‌ها نسبت به صفحه xz متقارن‌اند؟

مسائل، تمرینها و پرسش‌های فصل چهارم

۱) توضیح دهید که چرا در اتم هیدروژن تمام ترازهای فرعی مربوط به یک تراز اصلی، در یک سطح قرار دارند؟

۲) توضیح دهید که چرا از عناصر دوره چهارم به بعد، با اینکه ابتدا تراز ns لاشه ظرفیت و پس از آن تراز d ($n=1$) لاشه ظرفیت از الکترون اشغال می‌شود، ضمن یونیزاسیون اتم آنها، ابتدا الکترونهای تراز d جدا می‌شوند؟

۳) چرا به طور کلی، هرچه اتم سنگیتر می‌شود، ترازهای مختلف انرژی آن به هسته نزدیکتر می‌شوند؟ چرا در این فرآیند، ترازهای مختلف، یکنواخت عمل نمی‌کنند؟

۴) با مراجعه به جدول آرایش الکترونی اتمها، عناصری را که آرایش الکترونی اتم آنها اصل آثاراً نقض می‌کند، مشخص کنید.

۵) آرایش الکترونی نیکل، پالادیم و پلاتین را باهم مقایسه کنید، علت تفاوت

آرایش الکترونی لایه ظرفیت آنها را توجیه کنید.

۶) نمودار مثلثی آرایش الکترونی اتم برم و یون Rh^{3+} را رسم کنید.

۷) آرایش الکترونی سه عنصر اول از سری لantanیدها و سه عنصر اول از سری آکتینیدها را با هم مقایسه کنید و علت را توضیح دهید.

۸) در مورد تفاوت کوپلاز مانها در میدان قوی و در میدان ضعیف، توضیح دهید.

۹) می‌دانیم که علاوه بر رابطه (۳-۴) تعداد کل حالت‌های ریز مربوط به یک آرایش

$$\text{الکترونی را می‌توان از رابطه } n = \prod_{n=1}^{n=q} \frac{2(2l+1) - N + 1}{N} \text{ به دست آورد که در}$$

آن q تعداد الکترونها، N تعداد جمله‌ها (یک جمله به ازای هر الکترون) و \prod حاصلضرب جمله‌های است. با استفاده از این رابطه، تعداد حالت‌های ریز مربوط به آرایشهای الکترونی p^3 و d^3 را حساب کنید.

۱۰) نماد ترم حالت پایه دومین عنصر از سری لantanیدها و دومین عنصر از سری آکتینیدها را به دست آورید.

۱۱) آرایش الکترونی یونهای Lu^{2+} , Gd^{3+} , Ir^{3+} و Cr^{2+} را رسم کرده و نماد ترم‌های طیفی آنها را به روش فاکتورگیری از اسپین معین کنید. نماد ترم پایدارترین حالت اتمی آنها را مشخص کرده و حالت‌های ریز آنرا از روی مقادیر L و S و نیز از روی مقدار J حساب کنید.

۱۲) در اتم کربن بر اینگیخته با آرایش الکترونی $1s^2 2s^2 2p^1 3p^1$ براساس اصل طرد پاولی کدام، ترکیب m_1 و m_2 مجاز نیست؟

۱۳) بار مؤثر هسته را برای الکترونها لایه ظرفیت اتمهای S و Ba و یونهای S^{2-} و Ba^{2+} به روش اسلیتر حساب کنید. علت تفاوت مقدار آن را برای هرجفت «اتم و یون» توضیح دهید.

۱۴) بار مؤثر هسته را برای الکترونها $4s$ و $3d$ در اتمهای وانادیم و نیکل، یک بار به روش اسلیتر و بار دیگر به روش کلمانتی – ریموندی حساب کنید. علت تفاوت بین مقادیر بار مؤثر هسته برای الکترونها دو تراز انرژی را در مورد هر اتم و نیز علت تفاوت بین مقادیر به دست آمده از دوروش را توضیح دهید. آیا بین نسبت دو مقدار به دست آمده برای دو تراز انرژی در هر اتم، در هر یک از این دوروش، تفاوت زیادی وجود دارد؟ آیا می‌توانید دلایلی در مورد دقیقت بودن روش دوم ارائه دهید؟

۱۵) روند تغییرات اندازه اتمها را در دوره‌ها و گروههای جدول تناوبی، براساس بار مؤثر هسته، چگونه می‌توان توجیه کرد؟

- ۱۶) با استفاده از روابط $12 = 4 \times 15 - 3$ در اتم برم به روش کلماتی حساب کنید.
- ۱۷) توضیح دهید که به کدام دلایل، روش کلماتی-دیموندی برای محاسبه بار موثر هسته اتمها، از روش اسلیتر دقیقتر است؟
- ۱۸) با استفاده از داده‌های جدول ۴-۶ نشان دهید که در دوره‌ها (مثلاً دوره سوم) و در گروه‌ها (مثلاً گروه IIIA با افزایش عدد اتمی عناصر، بار موثر هسته آنها نیز افزایش می‌یابد.
- ۱۹) بار موثر هسته اتم فلور اور را در مولکول F_2 و بار موثر هسته اتم بور رادر مولکول B_2 حساب کنید. نتایج بدست آمده را با آنچه که در جدول ۴-۸ برای این عناصر داده شده است، مقایسه کنید.
- ۲۰) می‌دانیم که فلور اور الکترونگاتیو ترین عنصر است، زیادبودن الکترونگاتیو آن را چگونه براساس «دانسیته بار در سطح اتم» می‌توان توجیه کرد؟

مسائل، تمرینها و پرسش‌های فصل پنجم

- ۱) دیدگاه‌های لاووازیه و بروزیوس از نظر دسته‌بندی عناصر، چه تشابه و تفاوت‌هایی با یکدیگر داشت؟
- ۲) جرم اتمی دقیق منیزیم با جرمی که دوبراینر براساس طبقه‌بندی سه‌تاییها برای آن بدست آورده بود، چند واحد تفاوت دارد؟
- ۳) علت اساسی نارساییها و فراگیر نشدن طبقه‌بندی‌های عناصر که قبل از مندلیف، وضع شده بودند، را بیان کنید.
- ۴) می‌دانیم که نام هر یک از گازهای نجیب (غیر از رادن) از واژه‌های لاتینی معینی در ارتباط با برخی از ویژگیهای آنها گرفته شده است. هر یک از این واژه‌ها و مفهوم آنها را مشخص کنید.
- ۵) فرمول کلی هیدرید واکسید (در بالاترین حالت اکسایش) عناصر گروههای IIA، IIIA و VIIA را بنویسید.
- ۶) در صورتی که گرمای اتمی سرب برابر $3\text{cal/g}\cdot\text{atom}\cdot\text{deg}$ و گرمای ویژه آن برابر $31\text{cal/g}\cdot\text{deg}$ باشد. جرم اتمی آن را به روش دولن ویتی حساب کنید.
- ۷) چگونگی تعیین جرم اتمی کلر را به روش کانیز ار و توضیح دهید.
- ۸) جرم اتمی نیکل را با استفاده از قانون هم‌یاختی حساب کنید، در صورتی که بدانیم سولفات بلوری آن با زاج سبز هم‌یاخت است.

- ۹) دلیل به وجود آمدن بخش پیوسته طیف پرتوهای X عناصر را توضیح دهد.
- ۱۰) از نظر منشا پیدایش، هر یک از خطوط طیفی پرتوهای X که در زیر مشخص شده‌اند، نظیر کدام خطوطی از سریهای خطوط طیفی اتم هیدروژن است:

$$K_\alpha, K_\beta, K_\gamma, L_\alpha, L_\beta, L_\gamma$$

- ۱۱) طول موج خط طیفی K_α را در طیف پرتوهای X اتم آهن حساب کنید (بر حسب pm).

- ۱۲) عدد موجی خط طیفی K_α در طیف پرتوهای X عنصری $\text{cm}^{-1} \times 10^8 = 1481$ است. عدد اتمی این عنصر را حساب کنید.

- ۱۳) موقعیت هر یک از مجموعه عناصر فلزات قلیایی، هالوژنها، لانتانیدها، عناصر واسطه و کالکوژنها را در جدول تناوبی مشخص کنید.

- ۱۴) سی و یکمین عنصر جدول تناوبی، به کدام دوره و کدام گروه تعلق دارد و چگونه عنصری است؟

- ۱۵) آرایش الکترونی عناصر مربوط به گروههای IIIA و IVB از دوره پنجم جدول تناوبی را بنویسید.

- ۱۶) آرایش الکترونی لایه ظرفیت اتمی به $5s^1 4d^{10}$ و آرایش الکترونی لایه ظرفیت اتم دیگر به $5s^2 6p^4$ ختم می‌شود. این دو عنصر به کدام گروه و کدام دوره جدول تناوبی تعلق دارند؟

- ۱۷) براساس آرایش الکترونی، معلوم کنید که کدام عناصر زیر به یک گروه و یا یک دوره جدول تناوبی تعلق دارند؟

$$A - 3d^0 4s^2$$

$$B - 3d^5 4s^1$$

$$C - 4d^{10} 5s^1$$

$$D - 4s^2 4p^5$$

- ۱۸) آرایش الکترونی سومین عنصر از هر گروه زیر را مشخص کنید.

$$\text{IA}, \text{IVA}, \text{VIIA}, \text{IIIB}, \text{VB}, \text{IB}$$

- ۱۹) آرایش الکترونی دومین عنصر از سری لانتانیدها را با آرایش الکترونی دومین عنصر از سری آکتینیدها مقایسه کرده و در مورد تفاوت بین آنها توضیح دهید.

- ۲۰) تفاوت اعداد اتمی هر دو عنصر متواتی از گروه IIA و از گروه IB را معین

کنید.

- ۲۱) آرایش الکترونی یونهای ساده (تک اتمی) A^{3-} ، B^{2-} ، C^{-1} ، D^+ ، E^+ و F^{3+} به $3d^2 3p^6$ ختم می‌شود، موقعیت عناصر A، B، C، D، E و F را در جدول تناوبی مشخص کنید.

مسائل، تمرینها و پرسش‌های فصل ششم

- ۱) براساس رابطه $-6 = 2 - \text{نیزاسیون}(\text{کدام عنصر}) + \text{نیزاسیون}(\text{بلور})$ و با استفاده از جدولهای داده‌های ترمودینامیکی مربوط به فرایند تشکیل بلور بر می‌دسیم، مقدار انرژی الکترونخواهی برم را (بر حسب kJ/mol) حساب کنید.

- ۲) با توجه به تمرین ۶-۲ و با استفاده از جدولهای داده‌های ترمودینامیکی مربوط به فرایند تشکیل بلور اکسید منیزیم، مقدار انرژی دومین الکترونخواهی اکسیژن را (بر حسب eV) حساب کنید.

- ۳) انرژی الکترونخواهی و یا انرژی اولین یونیزاسیون کدام عنصر بیشتر است؟

الف) لیتیم یا سدیم. ب) فلوئور یا ید. ج) تلور یا ید. د) اکسیژن یا گوگرد

- ۴) توضیح دهید که چرا

الف) الکترونخواهی SF_5 از الکترونخواهی گوگرد یا فلوئور کمتر است؟

ب) الکترونگاتیوی SF_5 بسیار زیاد ولی الکترونخواهی SF_6 نسبتاً کمتر است؟

ج) الکترونخواهی فلوئور از کلر کمتر ولی انرژی یونیزاسیون آن از کلر بیشتر است؟

د) الکترونخواهی نیتروژن از فسفر کمتر ولی انرژی یونیزاسیون آن از فسفر بیشتر است؟

ه) الکترونخواهی عناصر دوره دوم از عناصر هم گروه خود از دوره سوم کمتر ولی انرژی یونیزاسیون آنها از آن عناصر بیشتر است.

و) الکترونخواهی فلزات قلیایی از فلزات قلیایی خاکی هم دوره خود بیشتر ولی انرژی یونیزاسیون آنها از فلزات قلیایی خاکی کمتر است.

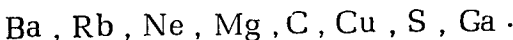
۵) در صورتی که الکترونگاتیوی اتم کلر برابر ۳ و انرژی اولین یونیزاسیون آن برابر ۲۹۷ کیلوکالری برمول در نظر گرفته شود، براساس روش مولیکن، الکترونخواهی کلر را حساب کنید.

۶) اگر پتانسیل یونیزاسیون اتمی برابر ۱۵ ولت باشد، انرژی یونیزاسیون آن را

بر حسب کیلو کالری بر مول حساب کنید.

- ۷) با استفاده از رابطه $6-2$ و جدول داده های ترمودینامیکی مر بوت به تشکیل پدیده لیتیم، انرژی اولین یونیزاسیون لیتیم را ($\text{بر حسب } \text{kJ/mol}$) حساب کنید.
- ۸) انرژی اولین یونیزاسیون اتمهای برم و یسد را براساس رابطه $6-6$ (بر حسب eV) حساب کنید.

- ۹) با توجه به نمودار شکل $5-4$ ، عناصر زیر را به ترتیب افزایش انرژی اولین یونیزاسیون آنها مرتب کنید:



- ۱۰) با استفاده از رابطه $6-5$ ، نسبت انرژیهای اولین یونیزاسیون اتمهای اکسیژن، گوگرد، نیز سدیم و کلر را بدست آورید.
- ۱۱) انرژی سومین یونیزاسیون لیتیم را براساس نظریه اتمی بوهر (بر حسب eV) حساب کنید.
- ۱۲) با استفاده از جدولهای مر بوت به مقادیر انرژیهای یونیزاسیون متواالی عناصر، نمودار تغییرات سومین انرژی یونیزاسیون عناصر لantanید را نسبت بدد عدد اتمی رسم کنید و روندان را با توجه به آرایش الکترونی این عناصر توجیه کنید.
- ۱۳) انتظار دارید که کدام هالوژن احتمالاً کاتیون X^+ تشکیل دهد. توضیح دهید که چرا چنین یونی در ترکیبات شیمیایی شناخته نشده است؟ اما یونهای X_5^+, X_3^+, X_2^+ پایدار تر بوده و احتمالاً در ترکیبات شرکت دارند.
- ۱۴) با استفاده از جدول انرژی پیوندها، الکترونگاتیوی اتم کلر را در HCl و برم را در HBr بهروش پاولینگ حساب کنید (با استفاده از رابطه $6-11$).
- ۱۵) با استفاده از جدولهای انرژی یونیزاسیون والکترونخواهی عناصر، الکترونگاتیوی $\text{Cl}, \text{O}, \text{I}, \text{Br}$ و N را بهروش مولیکن (رابطه $21-6$) حساب کنید و آنها را به مقیاس پاولینگ تبدیل کنید (با استفاده از رابطه $6-13$).
- ۱۶) با مؤثرهسته اتم برم را بهروش اسلیتر حساب کرده و با استفاده از آن، الکترونگاتیوی اتم برم را به روش آلرد - روکو ($\text{رابطه } 14-6$) حساب کنید.
 $r_{\text{Br}} = 125 \text{\AA}$
- ۱۷) با مؤثرهسته اتم کلر را بهروش کلمانتی-دیموندی حساب کنید. در صورتی که الکترونگاتیوی کلر برابر 3 باشد، با استفاده از رابطه $6-4$ ، شعاع کووالانسی اتم کلر را بر حسب pm و nm حساب کنید.
- ۱۸) در صورتی که الکترونگاتیوی اتم اکسیژن برابر 5 و شعاع کووالانسی آن

برابر ۷۴ آنگستروم باشد، با استفاده از رابطه $6-15$ ، بار مؤثر هسته اتم اکسیژن را حساب کنید.

(۱۹) با استفاده از داده‌های تمرین ۱۸، الکترونگاتیوی اتم اکسیژن را به روش گوردی (رابطه $6-16$) حساب کنید.

(۲۰) با استفاده از مقادیر الکترونگاتیوی فلور وید، انرژی پیوند $F-I$ را حساب کنید.

(۲۱) الکترونگاتیوی N^+ ، N^0 و N^- را به روش هیلتز-یافه (رابطه $6-19$ تا $6-21$) حساب کنید.

(۲۲) با استفاده از جدول مقادیر a و b ، الکترونگاتیوی $Cl^{+0.4}$ ، $Cl^{+0.6}$ ، $Cl^{-0.13}$ و $Cl^{-0.15}$ را حساب کنید (با استفاده از رابطه $6-22$).

(۲۳) با توجه به اصل برای الکترونگاتیوی و با استفاده از رابطه $6-23$ ، بار جزئی اتمها را در مولکول HI حساب کنید.

(۲۴) با استفاده از رابطه $6-24$ ، ثابت کنید که مولکول BF_3 غیرقطبی است.

(۲۵) در صد خصلت یونی پیوند IF و بار جزئی اتمهای F و I را به روش هانی-اسمیت (رابطه $6-25$) حساب کنید.

(۲۶) در صورتی که ممان دوقطبی الکتریکی مولکول HF در تجربه برابر 150.3 دبای بدست آمده و طول پیوند $H-F$ برابر 112.7 آنگستروم باشد، بار جزئی اتمهای H و Cl را در این مولکول حساب کنید (با استفاده از رابطه $6-28$).

(۲۷) اعداد اکسایش عناصر را در H_3PO_4 ، $HClO_4$ و $POCl_3$ با استفاده از رابطه $6-5$ حساب کنید.

(۲۸) عوامل مؤثر در تنوع اعداد اکسایش گوگرد را با آوردن مثال مناسبی در هر مورد بیان کنید.

(۲۹) عوامل مؤثر در تنوع اعداد اکسیداسیون نیتروژن را با آوردن مثال مناسبی در هر مورد، بررسی کنید.

(۳۰) با توجه به اینکه ممان دوقطبی پیوندهای $C=O$ و $C=S$ به ترتیب 2 و 1.5 دبای است، ممان دوقطبی مولکول OCS را حساب کنید و نتیجه محاسبه را با مقدار تجربی که 7.0 دبای است، مقایسه و دلیل را بیان کنید.

(۳۱) توضیح دهید که چه عواملی در پایدار کردن اعداد اکسایش پایین و اعداد اکسایش بالای عناصر واسطه و عناصر اصلی تأثیر می‌گذارند؟

(۳۲) عناصر لاتانید غالباً در حالت اکسایش $+3$ ، ترکیبات پایدار تشکیل می‌دهند.

توضیح دهید در ارتباط با آرایش الکترونی، چرا کاتیونهای Ce^{4+} و Gd^{2+} پایدارند؟
 ۳۳) پایدارترین حالت اکسایش عناصر واسطه سری اول و آرایش الکترونی آنها را معین و یونهای هم الکترون را دسته‌بندی کنید.

۳۴) توضیح دهید که چرا در عناصر گروه VII A با افزایش عدد اتمی، اعداد اکسایش بالاتر، پایدار‌تر و لی در مواد عناصر اصلی گروههای IIIA و IVA با افزایش عدد اتمی، بالاترین عدد اکسایش، ناپایدارتر می‌شود؟

۳۵) توضیح دهید که چرا در عناصر واسطه هر دوره، اعداد اکسایش عناصر اول و آخر، اعداد اکسایش کوچکتر، ثابت و یا با تنوع کمتر و لی عناصر میانی اعداد اکسایش بالاتر و متوجه تر دارند؟

۳۶) توضیح دهید که چرا در گروههای عناصر واسطه با افزایش عدد اتمی، اعداد اکسایش بالاتر، پایداری بیشتری کسب می‌کنند؟

www.ShimiPedia.ir

جدولهای پیوست

جدول پیوست I :

جرم اتمی، عدد اتمی و نشانه عناصر به ترتیب نام انگلیسی آنها

جدول پیوست II :

واحدها در SI و CGS

جدول پیوست III :

طول موج خطوط طیفی مهم ...

جدول پیوست IV :

طیف تابهای الکترومغناطیسی

جدول پیوست V :

جدول هم‌ارزهای انرژی

جدول پیوست VI :

جدول ثابت‌های فیزیکی عمومی

جدول پیوست I

جرم اتمی، عدد اتمی و نشانه عنصر به ترتیب نام انگلیسی آنها

نام عنصر به فارسی	نام عنصر به انگلیسی	نشانه عنصر	عدد اتمی	جرم اتمی
آکتینیم	Actinium	Ac	89	227.0278 ^a
آلومینیم	Aluminium	Al	13	26.98154
آمریسیم	Americium	Am	95	(243) ^b
آنتموان	Antimony	Sb	51	121.75
آرگن	Argon	Ar	18	39.948
آرسنیک	Arsenic	As	33	74.9216
آستانین	Astatine	At	85	(210) ^b
باریم	Barium	Ba	56	137.33
برکلیم	Berkelium	Bk	97	(247) ^b
بریلیم	Berylium	Be	4	9.01218
بیسموت	Bismuth	Bi	83	208.9804
بور	Boron	B	5	10.81
برم	Bromine	Br	35	79.904
کادمیم	Cadmium	Cd	48	112.41
کلسیم	Calcium	Ca	20	40.08
کالیفرنیم	Californium	Gf	98	(251) ^b
کربن	Carbon	C	6	12.011
سریم	Cerium	Ce	58	140.12
سزیم	Cesium	Cs	55	132.9054
کلر	Chlorine	Cl	17	35.453
کروم	Chromium	Cr	24	51.996
کبالت	Cobalt	Co	27	58.9332
من	Copper	Cu	29	63.546
کوریم	Curium	Cm	96	(247) ^b

ادامه جدول پیوست I

نام عنصر به فارسی	نام عنصر به انگلیسی	نشانه عنصر	عدد اتمی	جرم اتمی
دیپروزیم	Dysprosium	Dy	66	162.50
اینشتینیم	Einsteinium	Es	99	(252) ^b
اربیم	Erbium	Er	68	167.26
اروبیم	Europium	Eu	63	151.96
فرمیم	Fermium	Fm	100	(257) ^b
فلوئور	Fluorine	F	9	18.998403
فرانسیم	Francium	Fr	87	(223) ^b
گادولینیم	Gadolinium	Gd	64	157.25
گالیم	Gallium	Ga	31	69.72
ژرمانیم	Germanium	Ge	32	72.59
طلا	Gold	Au	79	199.9665
هافتیم	Hafnium	Hf	72	178.49
هانیم ^d	Hanium	Ha	105	—
هلیم	Helium	He	2	4.00260
هلمیم	Holmium	Ho	67	164.9304
هیدروژن	Hydrogen	H	1	1.0079
اندیم	Indium	In	49	114.82
ید	Iodine	I	53	126.9045
ایریدیم	Iridium	Ir	77	192.22
آهن	Iron	Fe	26	55.847
کرپیتون	Krypton	Kr	36	83.80
کورچاتویم	Kurchatovium	Ku	104	(264) ^b
لانتان	Lanthanum	La	57	138.9055
لورنسیم	Lawrencium	Lr	103	(260) ^b
سرب	Lead	Pb	82	207.2

ادامه جدول پیوست I

نام عنصر به انگلیسی	نام عنصر به فارسی	نشانه عنصر	عدد اتمی	جرم اتمی
Lithium	لیتیم	Li	3	6.941
Lutetium	لوتسیم	Lu	71	174.967
Magnesium	منیزیم	Mg	12	24.305
Manganese	منگنز	Mn	25	54.9380
Mendelevium	مندلوبیم	Md	101	(258) ^b
Mercury	جیوه	Hg	80	200.59
Molybdenum	مولیبدن	Mo	42	95.94
Neodymium	نئودیمیم	Nd	60	144.24
Neon	نئون	Ne	10	20.179
Neptunium	نپتونیم	Np	93	237.0482 ^a
Nickel	نیکل	Ni	28	58.69
Niobium	نیوبیم	Nb	41	92.9064
Nitrogen	نیتروژن	N	7	14.0067
Nobelium	نوبلیم	No	102	(259) ^b
Osmium	اسمیم	Os	76	190.2
Oxygen	اکسیژن	O	8	15.9994
Palladium	پالادیم	Pd	46	106.42
Phosphorus	فسفر	P	15	30.97376
Platinum	پلاتین	Pt	78	195.08
Plutonium	پلوتونیم	Pu	94	(244) ^b
Polonium	پولونیم	Po	84	(209) ^b
Potassium	پتاسیم	K	19	39.0983
Praseodymium	پرازدیمیم	Pr	59	140.9077
Promethium	پرومیم	Pm	61	(145) ^b
Protactinium	پروتاکتینیم	Pa	91	231.0359 ^a

ادامه جدول پیوست I

حرم اتمی	عدد اتمی	نشانه عنصر	نام عنصر به انگلیسی	نام عنصر به فارسی
226.0254 ^a	88	Ra	Radium	راديوم
(222) ^b	86	Rn	Radon	رادون
186.207	75	Re	Rhenium	رنیم
102.9055	45	Rh	Rhodium	رودیم
85.4678	37	Rb	Rubidium	روبیدیم
101.07	44	Ru	Ruthenium	روتنیم
150.36	62	Sm	Samarium	ساماریم
44.9559	21	Sc	Scandium	اسکاندیم
78.96	34	Se	Selenium	سلنیم
28.0855	14	Si	Silicon	سیلیسیم
107.868	47	Ag	Silver	نقره
22.98977	11	Na	Sodium	سالیم
87.62	38	Sr	Strontium	استرنیم
32.06	16	S	Sulfur	گوگرد
180.9479	73	Ta	Tantalum	تانتال
(98) ^b	43	Tc	Technetium	تکنیم
127.60	52	Te	Tellurium	تلور
158.9254	65	Tb	Terbium	تریم
204.383	81	Tl	Thallium	تالیم
232.0381 ^a	90	Th	Thorium	توریم
168.9342	69	Tm	Thulium	تو لمیم
118.69	50	Sn	Tin	قلع
47.88	22	Ti	Titanium	تیتان
183.85	74	W	Tungsten	تیتان
238.0289	92	U	Uranium	اورانیم

ادامه جدول پیوست I

نام عنصر به فارسی	نام عنصر به انگلیسی	نشانه عنصر	عدد اتمی	جرم اتمی
وانادیم	Vanadium	V	23	50.9415
ذنون	Xenon	Xe	54	131.29
ایتریم	Ytterbium	Yb	70	173.04
ایتریم	Yttrium	Y	39	88.9059
روی	Zinc	Zn	30	65.38
زیرکنیم	Zirconium	Zr	40	91.22

a) جرم اتمی متدالترین ایزوتوپ با زمان نیمه عمر طولانی

b) جرم اتمی پایدارترین ایزوتوپ

c) نام دیگر آن رادرفوردیم (Rf) است.

d) نام دیگر آن نیلز بوهیم (Ns) است.

جدول پیوست II

واحدها در SI و CGS

نسبت واحدهای cgs/SI	cgs	SI	واحد	ابعاد	کمیت و نشانه تو صیه شده
10^{-3}	gram (g)	kilogram (kg)	M	m	جرم
10^{-2}	centimetre(cm)	metre (m)	L	l	طول
1	second (s)	second (s)	T	t	زمان
10^{-4}	cm^2	m^2	L^2	(S,A)	مساحت
10^{-6}	cm^3	m^3	L^3	(V)	حجم
10^3	$\text{g} \cdot \text{cm}^{-3}$	$\text{kg} \cdot \text{m}^{-3}$	ML^{-3}	(ρ)	چگالی
10^{-2}	$\text{cm} \cdot \text{s}^{-1}$	$\text{m} \cdot \text{s}^{-1}$	LT^{-1}	(v,u)	سرعت
10^{-2}	$\text{cm} \cdot \text{s}^{-2}$ (gal)	$\text{m} \cdot \text{s}^{-2}$	LT^{-2}	(a)	شتاب
10^{-5}	$\text{g} \cdot \text{cm} \cdot \text{s}^{-1}$	$\text{kg} \cdot \text{m} \cdot \text{s}^{-1}$	MLT^{-1}	(p)	اندازه حرکت
10^{-7}	$\text{g} \cdot \text{cm}^2$	$\text{kg} \cdot \text{m}^2$	ML^2	(J,I)	ممان اینرسی
10^{-7}	$\text{g} \cdot \text{cm}^2 \cdot \text{s}^{-1}$	$\text{kg} \cdot \text{m}^2 \cdot \text{s}^{-1}$	ML^2T^{-1}	(L)	اندازه حرکت زاویه‌ای
10^{-5}	dyne (dyn)	newton (N)	MLT^{-2}	(F)	نیرو
10^{-7}	erg	joule (J)	ML^2T^{-2}	(W,E)	انرژی یا کار
10^{-7}	$\text{erg} \cdot \text{s}^{-1}$	watt (w)	ML^2T^{-3}	(P)	توان
10^{-1}	$\text{dyn} \cdot \text{cm}^{-2}$	pascal (Pa)	$ML^{-1}T^{-2}$	(p)	فشار
10^{-3}	$\text{dyn} \cdot \text{cm}^{-1}$	Nm^{-1}	MT^{-2}	(γ)	کشش سطحی
10^{-1}	poise	$\text{kg} \cdot \text{m}^{-1} \cdot \text{s}^{-1}$	$ML^{-1}T^{-1}$	(η)	تارواني (چسبندگی)
1	s^{-1}	hertz (Hz)	T^{-1}	(v,f)	فرکانس (بسامد)

جدول پیوست III

طول موج خطوط طیفی در هوای در 15°C و فشار یک آتمسفر بر حسب واحد (10^{-9}m)

طول موج λ/nm	خط طیفی	طول موج λ/nm	خط طیفی
527.0	سبز آهن و کلسیم (E)	766.5	قرمز پتاسیم
518.3	سبز منیزیم (b ₁)	759.4	قرمز اکسیژن (A)
517.3	سبز منیزیم (b ₂)	687.0	قرمز اکسیژن (B)
516.7	سبز منیزیم (b ₄)	670.8	قرمز لیتیم
508.582	سبز کادمیم *	656.3	قرمز کادمیم (c) H_{α}
486.1	سبز متمايل به آبی H_{β} (F)	643.84696	قرمز کادمیم *
479.991	آبی کادمیم *	610.4	نارنجی لیتیم
460.7	آبی استرنسیم .	589.59	نارنجی سدیم (D ₁)
460.3	آبی لیتیم	589.00	نارنجی سدیم (D ₂)
435.8	آبی جیوه	587.56	زرد هلیم (D ₃)
430.8	آبی H_{γ} (G ₁)	579.0	زرد جیوه
430.8	آبی آهن و کلسیم (G)	577.0	زرد جیوه
422.7	آبی کلسیم (g)	546.1	سبز جیوه
404.7	بنفش جیوه و پتاسیم	535.0	سبز تالیم

* خطوط استاندارد پذیرفته شده،

جداول هم ارزی از ری
جداول پیوست

از ری همراه	حداده اساسی	J	eV	cal	kg	m_e	u	Hz	m^{-1}	K
1 joule (J)	1	6.242×10^{18}	0.2389	1.113×10^{-17}	1.221×10^{13}	6.702×10^9	1.509×10^{33}	5.034×10^{24}	7.244×10^{22}	
1 eV	$E = eV$	1.602×10^{-19}	1	3.828×10^{-20}	1.783×10^{-36}	1.956×10^{-6}	1.074×20^{-9}	2.418×10^{14}	8.066×10^5	1.160×10^4
1 calorie				2.613×10^{17}	1	4.658×10^{-17}	5.110×10^{13}	2.805×10^{10}	6.316×10^{33}	2.107×10^{25}
1 kilogram(kg)	$E = mc^2$	8.988×10^{16}		5.610×10^{35}	2.147×10^{18}	1	1.097×10^{30}	6.024×10^{36}	1.356×10^{80}	4.525×10^{41}
1 electron mass (me)	$E = mc^2$	8.187×10^{-14}		5.110×10^5	1.956×10^{-14}	9.112×10^{-31}	1	5.487×10^{-4}	1.235×10^{20}	4.121×10^{11}
1 unified mass unit (u)	$E = mc^2$	1.492×10^{-10}	9.313×10^8	3.564×10^{-11}	1.661×10^{-27}	1.822×10^3	1	2.251×10^{23}	7.511×10^{14}	1.081×10^{13}
1 Hertz (Hz)	$E = h\nu$	6.626×10^{-34}	4.136×10^{-15}	1.583×10^{-14}	7.375×10^{-51}	8.090×10^{21}	4.441×10^{-24}	1	3.336×10^{-9}	4.800×10^{-11}
1 reciprocal metre	$E = hc/\lambda$	1.986×10^{-25}		1.240×10^{-6}	4.745×10^{-26}	2.210×10^{-42}	2.425×10^{-12}	1.331×10^{-15}	2.997×10^{16}	1.439×10^{-2}
1 Kelvin (K)	$E = kT$	1.381×10^{-23}		3.299×10^{-24}	1.537×10^{-40}	1.686×10^{-10}	9.255×10^{-14}	2.084×10^{10}	6.952×10^1	1

جدول پیوست VI

اینجهای فیزیکی عمومی

CGS	SI	مقدار و واحدها	نشانه	مقدار	کمیت
$\times 10^{10} \text{ cm} \cdot \text{s}^{-1}$	$\times 10^8 \text{ m} \cdot \text{s}^{-1}$		c	سرعت نور در خلاء	
$10^{-20} \text{ cm}^{1/2} \cdot \text{g}^{1/2}$	10^{-19} C		e	بار بینایدی	
10^{23} mol^{-1}	10^{23} mol^{-1}		N_A	ثابت آتوگا دارو	
10^{-24} g	10^{-27} kg		amu	واحد جرم اتمی	
10^{-28} g	10^{-31} kg		m_e	جزء الکترون در حالت سکون	
10^{-24} g	10^{-27} kg		m_p	جزء پوتون در حالت سکون	
10^{-24} g	10^{-27} kg		m_n	جزء نوترون در حالت سکون	
10^{-27} erg.s	10^{-34} J.s		h	ثابت بلانک	
10^5 cm^{-1}	10^7 m^{-1}		R_H	ثابت دیدبرگ	
$10^7 \text{ erg.k}^{-1} \cdot \text{mol}^{-1}$	$10^0 \text{ J.k}^{-1} \cdot \text{mol}^{-1}$		R	ثابت گازها	
10^1 L. mol^{-1}	$10^{-2} \text{ m}^3 \cdot \text{mol}^{-1}$		V_0	حجم مولی گاز، (در شرایط متعارف)	

الفبای یونانی

A	α	الفا	(Alpha)	N	ν	نيو	(Nu)
B	β	بتا	(Beta)	Ξ	ξ	کسي	(Xi)
Г	γ	گاما	(Gamma)	O	o	اويميكرون	(Omicron)
Δ	δ	دلتا	(Delta)	Π	π	بي	(Pi)
E	ϵ	اپسیلون	(Epsilon)	P	ρ	رو	(Rho)
Z	ζ	زتا	(Zeta)	Σ	σ	سيگما	(Sigma)
H	η	اتا	(Eta)	Υ	τ	تو	(Tau)
Θ	θ	ثتا	(Theta)	Y	υ	يوپسیلون	(Upsilon)
I	ι	آيوتا	(Iota)	Φ	φ ,	في	(Phi)
K	κ	کابا	(Kappa)	X	χ	کاي	(Chi)
Λ	λ	لاندا	(Lambda)	Ψ	ψ	پسي	(Psi)
M	μ	ميوا	(Mu)	Ω	ω	اوومگا	(Omega)

واژه‌نامه

A

absorption spectrum	طیف جذبی
absorptivity	ضریب جذب
acid	اسید
action	اثر، کنش، عمل
activity	فعالیت
affinity	میل ترکیبی، تمایل
alkali metal	فلز قلیایی
alkaline	قلیایی
alkaline-earth metal	فلار قلیایی خاکی
alkaline-earth oxide	اکسید (فلزات) قلیایی خاکی
aluminium	آلومینیم
ammonium	آمونیم
amonia	آمونیاک
amplitude	دامنه
angstrom unit	واحد آنگستروم
angular momentum	اندازه حرکت زاویه‌ای
angular probability distribution	توزیع احتمال زاویه‌ای
angular wave function	تابع موج زاویه‌ای
anion	آنیون
anode	آند

www.ShimiPedia.ir

anode rays	پرتوهای آندی
antisymmetric	ضدمنتقارن
apparatus	دستگاه
application	کاربرد
arbitrary	اختیاری، دلخواه
arc	کمان، قوس
arc spectrum	طیف کمان
area	سطح
argon	آرگون
arrow	پیکان
arsenic	آرسنیک
atom	اتم
atomic mass	جرم اتمی
atomic mass unit	واحد جرم اتمی
atomic number	عدد اتمی
atomic orbital	اوربیتال اتمی
atomic radius	شعاع اتمی
atomic size	اندازه اتمی
atomic structure	ساختار اتمی
atomic weight	وزن اتمی
attraction force	تیروی جاذبه
aufbau principle	اصل بنائگذاری
average value	ارزش میانگین
azimuthal	سمتی
azimuthal quantum number	عدد کوآنتمومی سمتی، عدد کوآنتمومی فرعی

B

Balmer series	سری بالمر
band	نوار
band spectrum	طیف نواری

barium	باریم
base	باز
basic	بازی
basicity	قدرت بازی
beam of light	دسته پرتوهای نوری
berkelium	برکلیم
binding energy	انرژی اتصال
bismuth	بیسموت
black body	جسم سیاه
blackbody radiation	تابش جسم سیاه
Bohr model	مدل بوهر
Bohr radius	شعاع بوهر
boiling point	نقطه جوش
Boltzmann's constant	ثابت بولتسمن
boron	بور
böson	(ذره) بوزون
boundary conditions	شرایط مرزی
boundary surface	سطح مرزی
Brackett series	سری برآکت
bright-line spectrum	طیف خطی روشن
bromine	برم

C

cadmium	کادمیم
calcium oxide	اکسید کلسیم
californium	کالیفرنیم
Cannizzaro principle	اصل کانیزارو
carbon	کربن
carbonic acid	اسید کربنیک
cathode rays	پرتوهای کاتدی

cation	کاتیون
centrifugal force	نیروی گردان از مرکز
centripetal force	نیروی جاذب به مرکز، نیروی مرکز گرای
cerium	سریم
cesium	سزیم
chapter	فصل
character	خصوصیت، خصلت، ویژگی
characteristic	ویژه، شاخص
charge coefficient	ضریب بار
chemical compound	ترکیب شیمیایی
chemical properties	خواص شیمیایی
chemical species	گونه‌های (ها) شیمیایی
chlorine	کلر
chromium	کروم
classic theory	نظریه کلاسیک
classic complexes	کمپلکس‌های کلاسیک
classic compounds	ترکیبات کلاسیک
closed shell	لایه بسته
cloud charge	بار ابر
cobalt	کوبالت
coefficient	ضریب
combination	ترکیب
combustion	احتراق—سوختن
component	مؤلفه، جزء تشکیل دهنده
components of angular momentum	مؤلفه‌های اندازه حرکت زاویه‌ای
composition	نسبت اجزای سازنده—ترکیب
compound	ترکیب شیمیایی
Compton effect	اثر کامپتن—پدیده کامپتن
concentration	غلظت
conservation law	قانون بقایا

conservation of energy	بقاءی انرژی
conservation of mass	بقاءی جرم
conservation of matter	بقاءی ماده
continuous	پیوسته-متصل
continuous phase	فاز پیوسته
continuous spectrum	طیف پیوسته
contour	کانتور
contour map	طرح کانتوری
coordinate axes	محورهای مختصات
coordinate axis	محور مختصات
copper	منس
correlation energy	انرژی ارتباط
Coulomb's law	قانون (جادبد) کولون
coulombic force	نیروی کولونی
coupling	جفت شدن
covalent character	خصالت کووالانسی
crystal lattice	شبکه بلور
crystal lattice energy	انرژی شبکه بلور
crystalline	بلوری
crystallography	بلورنگاری، بلورشناسی
crystal water	آب تبلور
cube root	کعب، ریشه سوم
curve	منحنی
cycle	چرخه، دور

D

data	داده‌ها
de Broglie waves	امواج دوبروی
decay	تجزیه، تلاشی، تباہی
decomposition	تجزیه

defect	نقص
deformation	تغییر شکل
degree of dissociation	درجهٔ تفکیک
degree of freedom	درجهٔ آزادی
degree of precision	درجهٔ دقت
density	چگالی، دانسیته
descriptive	توصیفی
deviation	انحراف
device	وسیله
diagonal	قطري
diagonal relationship	تشابه (ارتباط) قطري
diagram	نمودار
diamagnetic	(ماه) دیامناگتیسی
differential equation	معادلهٔ دیفرانسیلی
differentiate	دیفرانسیل گرفتن، مشتق گرفتن
differentiating electron	الکترون متمازنده
diffraction	پرایش
diffused spectrum	طیف پخش شده
dimension	بعد
dimer	دیمر
discharge spectrum	طیف جریان
discontinuous	ناپیوسته، منفصل
discontinuous spectrum	طیف ناپیوسته
disorder	بی‌نظمی
distribution	توزیع
dotted line	خط نقطه‌چین
doublet	دوتاپی
doublet level	تراز دوتاپی

E

effective charge

www.ShimiPedia.ir

بارمودن

effective nuclear charge	بار موثر هسته
effective quantum number	عدد کوآنتمی موثر
eigenfunction	تابع ویژه
eigenvalue	مقدار ویژه
elastic collision	برخورد الاستیک، برخورد بدون اتلاف انرژی
electric discharge	تخلیه الکتریکی
electric field intensity	شدت میدان الکتریکی
electric potential	پتانسیل الکتریکی
electromagnetic field	میدان الکترومغناطیسی
electromagnetic radiations	تابشی الکترومغناطیسی
electromagnetic waves	امواج الکترومغناطیسی
electron affinity	الکترونخواهی
electron cloud	ابر الکترونی
electron configuration	آرایش الکترونی
electron diffraction	پراش الکترونی
electron density	دانسیتی الکترونی
electron density contour	کانتور دانسیتی الکترونی
electron density map	طرح دانسیتی الکترونی
electron donor	الکtronونده، دهنده الکترون
electronegative	الکترونگاتیو
electronegativity	الکترونگاتیوی
electronegativity equalization principle	اصل برابری الکترونگاتیوی
electronic exciation	تحریک الکترونی
electronic formula	فرمول الکترونی
electronic transition	جهش الکترونی
electrostatic attraction	جادبہ الکتروستاتیکی
electrostatic force	نیروی الکتروستاتیکی
electrostatic repulsion	دافعه الکتروستاتیکی
electrostatic unit	واحد الکتروستاتیکی
electrostatics	(بحث) الکتریسیتی ساکن

electrovalence	الکترووالانس
electrovalence number	عدد الکترووالانس
electrovalency	الکترووالانسی
element	عنصر
elementary particles	ذرات بنیادی
emission	نشر
emission spectrum	طیف نشری
empirical equation	معادله تجربی
energy	انرژی
energy band	توار انرژی
energy barrier	سد انرژی
energy level	تراز انرژی
energy shell	لایه انرژی
energy state	حالت انرژی
energy term	ترم انرژی
enthalpy	انتالپی
enthalpy of dissociation	انتالپی تفکیک
enthalpy of formation	انتالپی تشکیل
enthalpy of ionization	انتالپی بونش، انتالپی یونیزاسیون
enthalpy of sublimation	انتالپی تصعید
enthalpy of vaporization	انتالپی تبخیر
equivalent	هم ارز
equivalent electrons	الکترونهای هم ارز
equivalent weight	وزن هم ارز
erbium	اربیم
error	خطا
europtium	اروپیم
evaporation	تبخیر
excitation	برانگیختنگی
excitation potential	پتانسیل برانگیختنگی

excited atom	atom برانگیخته
excited state	حالت برانگیخته
exclusion principle	اصل طرد
exercise	تمرین
expansion	بسط ، انبساط
experiment	تجربه ، عمل ، آزمایش
experimental	تجربی ، آزمایشگاهی
experimental value	مقدار تجربی
experimental method	روش تجربی
exponent	نما
exponential	نمایی
exponential curve	منحنی نمایی
exponential function	تابع نمایی
extrapolation	برونباری
extrapolation method	روش برونباری

F

fact	واقعیت ، حقیقت
factor	عامل ، ضریب
fermion	(ذره) فرمیون
fermium	فرمیم
ferroelectrocity	فروالکتروسیته
field	میدان
fine structure	ساختمانی
first ionization potential	پتانسیل اولین یونش
fluid	سیال
fluorescence	فلوئورسانس
fluorescent matter	ماده فلوئورسان
fluorine	فلوئور
footnote	پانوشت

forbidden	غیرمجاز، ممنوع
forbidden bands	نوارهای غیرمجاز
forbidden vibrations	ارتعاشهای غیرمجاز
foreword	پیشگفتار
fraction	کسر، جزء
fractional	جزء به جزء
fractional distillation	نقطییر جزء به جزء
francium	فرانسیم
free electron	الکترون آزاد
free radical	رادیکال آزاد
frequency	فرکانس
fundamental	بنیادی (اصلی)
fundamental frequency	فرکانس بنیادی (اصلی)
fundamental particles	اجزای بنیادی
fundamental spectrum	طیف بنیادی
fusion	گذاز

G

gadolinium	گادولینیم
gallium	گالیم
galvanometer	گالو انومتر
gamma rays	پرتوهای گاما
gas	گاز
Gay-Lussac's law	قانون گیلوساک
geometrical mean	میانگین هندسی
germanium	ذرمانیم
gold	طلاء
gram-atom	اتم-گرم
gram-atomic weight	وزن اتمی به گرم
gram-equivalent	هم ارز گرمی

gram-equivalent weight	وزن همارز- گرم
gram-formula weight	وزن فرمول- گرم
gram-molecular weight	وزن مولکول- گرم
ground state	حالت پایه
ground state term	ترم حالت پایه

H

hafnium	هافنیم
half cell	نیم بیل
half cell reaction	واکنش نیم بیل
half-full level	تراز نیم پر
half-life	نیم عمر
half-full orbital	اوربیتال نیم پر
half-reaction	نیم واکنش
hamiltonian operator	عملگر هامیلتونی، اپراتور هامیلتونی
hard X-rays	پرتوهای ایکس سخت
heat	گرمای
Heisenberg uncertainty principle	اصل عدم قطعیت هایزنبیر گک
helium	هليم
Hess' law	قانون هس
holmium	هولمیم
homogeneous	همگن
Hund's rule	قاعده هوند
hydrogen	هیدروژن
hydrogen bond	پیوند هیدروژنی
hydrogen-like atom	اتم هیدروژن- مانند
hydrogen-like orbital	اوربیتال هیدروژن- مانند
hydrolysis	هیدرو لیز- آبکافت
hyperfine	فوق، ظرفی
hypothesis	فرض، فرضیه

I

impurity	ناخالصی
indicator	شناس‌گر، معرف
indium	ایندیم
induction effect	اثر القاچی
inert gas	گازی اثر
infrared	زیر قرمز، مادون قرمز
infrared spectrum	طیف زیر قرمز
inner transition elements	عنصر واسطه داخلی
inorganic acid	اسید معدنی، اسید غیرآلی
inorganic base	باز معدنی، باز غیرآلی
inorganic compound	ترکیب معدنی
instrument	دستگاه
integer number	عدد صحیح، عدد درست
integration	انتگرال گیری
intensity	شدت
interaction	تأثیر متقابل، برهمنکش
iodine	یود
ion	یون
ionic	یونی
ionic character	خصامت یونی
ionization	یونیزاسیون، یونش
ionization energy	انرژی یونیزاسیون، انرژی یونش
ionization potential	پتانسیل یونیزاسیون
iridium	ایریدیم
iron	آهن
irradiation	تابش دهنی
isobar	ایزوبار، همفشار
isoelectronic	هم الکترون
isoëlectronic ions	یونهای همالکترون

isomorphous	هم‌ریخت
isotope	ایزوتوپ
isotropic material	(جسم) ایزوتروب

K

kalium = potassium	پتاسیم
kelvin scale	مقیاس کلوین
kalvin temperature	دمای کلوین
kinetic energy	انرژی جنبشی
kinetic theory	نظریه جنبشی
Klechkawsky's rule	قاعده کلچکووسکی
krypton	کربپتون
kurchatovium	کورچاتوویم

L

lanthanides	لانتانیدها
lanthanide series	خانواده لantanide‌ها، سری لantanide‌ها
lanthanum	لانтан
Laporte forbidden rule	قاعده منع لاپورت
lattice energy	انرژی شبکه (بلور)
lawrencium	لورنسیم
lead	سرب
level	تراز، سطح
light scattering	پراکندگی نور، پخش نور
linear momentum	اندازه حرکت خطی
line spectrum	طیف خطی
liquid	مایع
liquid air	هوای مایع
liquid state	حالت مایع

lithium	لیتیم
lobe	لب (بافتح اول)
logarithm	لگاریتم
lutecium	لوتسیم
lyman series	سری لیمان

M

magnesium	منیزیم
magnet	مغناطیس، آهنربا
magnetic balance	ترازوی مغناطیسی
magnetic field	میدان مغناطیسی
magnetic moment	مجان مغناطیسی
magnetic quantum number	عدد کوآنتمی مغناطیسی
magnitude	بزرگی
main quantum number	عدد کوآنتمی اصلی
manganese	منگنز
mass	جرم
mass number	عدد جرمی
mass spectrograph	طیف نگار جرمی
mass spectrometer	طیف‌سنج جرمی
matter waves	امواج ماده
maximum	ماکسیمم، حد اکثر
mean	میانگین، متوسط
mean deviation	انحراف میانگین
mechanism	مکانیسم
medium	محیط مادی
membrane	غشا
mendelevium	مندلوبیم
mercury	جیوه
metal	فلز

metalloid	شبہ فلز
micron	میکرون
microscope	میکروسکوپ
microstate	حالت ریز
microwave	ریز موج، کهموج
minimum	مینیمم، حداقل
mixture	مخلوط
molarity	مولاریتہ
molar mass	جرم مولی
molar volume	حجم مولی
mole	مول
molecular mass	جرم مولکولی
molecular orbital	اوریتال مولکولی
molecular orbital theory	نظریہ اوریتال مولکولی
molecular spectrum	طیف مولکولی
molecuar volume	حجم مولکولی
molecular weight	وزن مولکولی
molybdenum	مولبیدن
moment	ممان، گشتاور
moment of force	ممان نیرو
moment of inertia	ممان اینرسی، گشتاور لختی
moment of momentum	ممان اندازه حرکت
momentum	اندازه حرکت
monoatomic	تک اتمی
monochromatic	تکنام
monochromator	تکفامساز
multiple	چند گانہ
multiplicity	چند گانگی
multiplicity of spin	چند گانگی اسپین

N

nanometer	نانومتر (برابر 10 \AA)
native metals	فلازات خالص طبیعی
natrium = sodium	سدیم
natural abundance	فرآوانی طبیعی
natural logarithm	لگاریتم طبیعی
neodymium	نئودیمیم
neon	نئون
neptunium	نپتونیم
neutral	خنثی
nickel	نیکل
niobium	نیوبیم
nitrogen	نیتروژن
nobelium	نوبلیم
noble gas	گاز نجیب
noble gas configuration	آرایش گاز نجیب
noble metal	فلز نجیب
nodal plane	صفحه گرهی
nodal sphere	کره گرهی
node	گره
nonmetal	نافلز، غیرفلز
nonvolatile	غیر فرار
normalization	نرمال کردن
normalize	نرمال کردن
normalized function	تابع نرمال (شده)
normalizing coefficient	ضریب نرمال کننده
notation	نمادگذاری، علامتگذاری
nuclear chemistry	شیمی هسته‌ای
nuclear fission	شقاف هسته‌ای
nuclear forces	نیروهای هسته‌ای

nuclear fusion	همجوشی هسته‌ای
nucleon	نوکلئون
nucleus	هسته

O

observation	مشاهده
observed value	مقدار تجربی، مقدار مشاهده شده
odd-electron	الکترون منفرد
operator	اپراتور، عملگر
orbit	مدار
orbital	اوربیتال
orbital quantum number	عدد کوآنتمی اوربیتالی
orbital symmetry	تقارن اوربیتال
orientation	جهت‌گیری، جهت‌یابی
orthogonal	متعامد
orthogonal functions	توابع متعامد
orthogonality	تعامد
oscillator	نوسانگر، موج‌ساز
oscillograph	نوسانگار
oscilloscope	نوسان‌نما
osmium	اسمیم
oxidation	اکسیداسیون، اکسایش
oxidation degree	درجه اکسایش
oxidation number	عدد اکسایش
oxidation state	حالت اکسایش
oxide	اکسید
oxygen	اکسیژن

P	
palladium	پالادیم
parameter	پارامتر
parity	زوجیت، پاریته
partial charge	بازجزی
partial ionic character	خصلت بونی جزی
partial term	ترم جزئی
particle	ذره
Paschen series	سری پاشن
pattern	طرح، الگو
: pauli exclusion principle	اصل طرد پاوی
penetration	نفوذ
period	تناوب، دوره
periodic table	جدول تناوبی
periodic trend	روند تناوبی
periodic table of the elements	جدول تناوبی عناصر
periodicity	خصلت تناوبی
Pfund series	سری پفوند
phenomenon	رویداد، پدیده
phosphorus	فسفر
photoelectric cell	سلول فتوالکتریک
photoelectric effect	اثر فتوالکتریک
photoelectron	فتون الکترون
photon	فوتون
physical changes	تغییرات شیمیایی
physical constants	ثابت‌های فیزیکی
physical phenomenon	پدیده فیزیکی
physical state	حالت فیزیکی
pi accepting ability	قدرت پی پذیری
pi bond	پیوند پی
picometer (pm)	پیکومتر (برابر 10^{-12} متر)
plane of incidence	صفحة تابش

platinum	پلاتین
plot	نمودار، رسم کردن
polar	قطبی
polar bond	پیوند قطبی
polar coordinates	مختصات قطبی
polarity	قطبیت
pole	قطب
polonium	پولونیم
polynomial	چند جمله‌ای
positive charge	بارمثبت
positive ion	یون مثبت
positive rays	پرتوهای مثبت
post - transition metals	فنازات پس واسطه
postulate	پذیره
potassium	پتاسیم
potential barrier	سد پتانسیل
potential well	چاه پتانسیل
praseodymium	پرازئودیمیم
precession motion	حرکت تقدیمی
precision	دقت
pressure	فشار
principal quantum number	عدد کوانتمی اصلی
proincipal spectrum	طیف اصلی
prism	منشور
probability density	دانسیتی احتمال
probability distribution	توزیع احتمال
problem	مسئله
process	فرآیند
promotion energy	انرژی ارتقا
proportionality constant	ثابت تناسب
protactinium	پروتاکتینیم

proton	پروتون
pseudo noble gas configuration	آرایش شبه‌گاز بی‌اثر

Q

qualitative	کیفی
qualitative analysis	تجزیه‌کیفی
quanta	کوآنتمها
quantitative	کمی
quantity	کمیت
quantized	کوآنتمی، کوانتیده
quantum	کوآنتم
quantum chemistry	شیمی کوآنتمی
quantum fundamental unit	واحد بنیادی کوآنتم
quantum mechanics	مکانیک کوآنتمی
quantum model of atom	مدل اتمی کوآنتمی
quantum number	عدد کوآنتمی
quantum state	حالت کوآنتمی
quantum theory	نظریه کوآنتمی
quartet	چهار تایی
quintet	پنج تایی

R

radial	شعاعی
radial function	تابع شعاعی
radial portion of wave function	جزء شعاعی تابع موج
radial probability distribution	توزیع احتمال شعاعی
radial quantum number	عدد کوآنتمی
radiant energy	انرژی تابشی
radiation	تابش
radioactive	پرتوزایی، رادیو اکتیو

radioactive decay	تجزیه رادیو اکتیوی
radioactivity	رادیو اکتیوی
radiochemistry	پرتو شیمی
radium	رادیم
radius	شعاع
radon	رادون
random	بی‌نظم، تصادفی
rare earth elements	عناصر خاکهای کمیاب
rare gas	گاز کمیاب
rate	سرعت
ratio	نسبت
ray	پرتو، شعاع
Rayleigh - Jeans equation	معادله رالی - جینز
rays	پرتوها
reaction	واکنش
reactive	واکنش پذیر
reactivity	فعالیت شیمیایی، قدرت واکنش دهنده‌گی
real function	تابع حقیقی
reduced mass	جرم کاسته
reference	مرجع، مأخذ
reflection	انعکاس، بازتابش
relative density	چگالی نسبی، دانسیتی نسبی
relative stability	پایداری نسبی
repulsion force	نیروی دافعه
resistance	مقاومت
resonance	تشدید، رزونانس
rhenium	رنیم
rhodium	رودیم
root	ریشه، جذر
rotation	دوران، چرخش

row relationship	تشابه در دوره، تشابه (ارتباط) افقی
rubidium	روبیدیم
Russell Saunders coupling	جفت‌شدن یا کوپلینگ راسل-ساندرز
ruthenium	روتنیم
Rutherford atomic model	مدل اتمی رادرفورد
Rutherford scattering	پخش رادرفورد
Rydberg constant	ثابت ریدبرگ

S

salt	نمک
samarium	ساماریم
sample	نمونه
scalar quantity	کمیت عددی
scale	مقیاس، ترازو
scandium	اسکاندیم
scatter	پراکندن
scattered	پراکنده
scattering	پراکنده‌گری
schematic diagram	نمودار شماتیک، نمودار اجمالی
scheme	طرح، شما، شکل
schrödinger equation	معادله شرودینگر
screening constant	ثابت (اثر) پوشش
screening effect	اثر حایلی، اثر پوششی
screening electrons	الکترونهای پوشش‌دهنده، الکترونهای پوششی
second long period	دومین دوره بلند
section	بخش
selenium	سلنیم
self consistent	خودسازگار
separation	جداسازی
separation methods	روشهای جداسازی

septet	هفتایی
series	سری ، رشته
set	مجموعه ، دسته
shaded	سایه‌دار
shell	لایه
shielding effect	اثر پوششی، اثر حفاظتی
sigma bond	پیوند سیگما
signal	علامت
silicon	سیلیسیم
silver	نقره
similarity principle	اصل تشابه
single crystal	تلک بلور
singlet	یکتاًی
single value function	تابع یک ارزشی
slater rules	قواعد اسلایتر
sodium	سدیم
soft X - rays	پرتوهای ایکس کم نفوذ ، پرتوهای ایکس نرم
solid line	خط پر
solid state	حالت جامد
solution	محلول
spectra	طیفها
spectral band	نوار طیفی
spectral line	خط طیفی
spectrochemical series	سری اسپکتروشیمیایی
spectrograph	طیف‌نگار
spectrography	طیف‌نگاری
spectrometer	طیف‌سنج
spectrophotometer	اسپکتروفوتومتر
spectroscope	(دستگاه) طیف‌نما یا طیف‌بین
spectroscopy	(مبحث) طیف‌بینی

sphere	کره
spherical	گروی
spin	اسپین
spin angular momentum	اندراه حرکت زاویه‌ای اسپین
spin coupling	جفت شدن اسپین
spin - orbit coupling	جفت شدن اسپین - اوربیتال
spin quantum number	عدد کوآنتمی اسپین
spin factoring	فاکتورگیری از اسپین
spin - spin coupling	جفت شدن اسپین
square root	ریشه دوم ، جذر
stable	پایدار
standard conditions	شرایط متعارفی
static	ساکن
static electricity	الکتریسیته ساکن
stationary orbit	مدار ایستاده
stationary state	حالت ایستاده
stationary wave	موج ایستاده
Stefan - Boltzmann constant	ثابت استفان - بولتسمن
strontium	استرنیم
sublimation	تصعید-فرازش
subscript	زیر و ند
subshell	لایه فرعی ، زیر لایه
substance	جسم ماده
substituent	گروه جانشینی ، گروه استخلافی
substitution	جانشین ، استخلاف
sulfur	گوگرد
superscript	بالاوند ، بالانویس
symmetry	تقارن
symmetry element	عنصر تقارن
symmetry plane	صفحة تقارن

دستگاه، سیستم

system

T

table of contents	فهرست مطالب
tantalum	تانتال
technetium	تکنسیم
tellurium	تلوریم، تلور
temperature	دما
terbium	تر بیم
term	ترم، جمله طیفی، جمله
termal neutron	نوترون گرمایی
term symbol	نشانه جمله طیفی، نماد ترم
test	آزمایش
tetragon	چهار گوش، چهارضلعی
tetrahedral	چهار وجهی
thallium	تالیم
theorem	قضیه
theoretical chemistry	شیمی نظری
theoretical method	روش نظری
theoretical value	مقدار نظری
theory	نظریه، تئوری
thermometer	دما سنج
third long period	سومین دوره بلند
thorium	توردیم
thulium	تولیم
tin	قلع
titanium	تیتان (یا تیتانیم)
transition probability	احتمال جهش، احتمال انتقال
translation	انتقال
translational motion	حرکت انتقالی

tritium	تریتیم
tungsten	تنگستن

U

ultraviolet	فرا بنسن ، ماوراء بنسن
uncertainty	عدم قطعیت
uncertainty principle	اصل عدم قطعیت
uranium	اورانیم

V

valence electron	الکترون والانس
valence shell	لایه والانس
vanadium	وانادیم
vapor	بخار
vaporization	تبخیر
vector	بردار
vector quantity	کمیت برداری
velocity	سرعت
vibration	ارتعاش
vibrational motion	حرکت ارتعاشی
visible	مرئی
volatile	فرار
volatile compound	ترکیب فرار
volume	حجم

W

wave	موج
wave equation	معادله موج
wave function	تابع موج

wavelength	طول موج
wave mechanics	مکانیک موجی
wave motion	حرکت موجی
wave number	عدد موجی

X

xenon	گز نون، زنون
X - rays	پرتوهای ایکس
X - ray diffraction	پراش پرتوهای ایکس

Y

Ytterbium	ایتربیم
Yttrium	ایترویم

Z

Zeemann effect	اثرزیمان
zinc	روی
zirconium	زیرکنیم

References

1. F. A. Cotton and G. Wilkinson , " *Advanced Inorganic Chemistry* , " 4th Ed., John Wiley and Sons , New York , 1980 .
2. J E. Huheey, " *Inorganic Chemistry*," Third Ed. , Harper and Row, New York, 1983.
3. K. F. Purcell and J. C. Kotz, " *Inorganic Chemistry*," W. B. Saunders Company, Japan, 1985.
4. B . E . Douglas , D·H · Mc Daniel and J . J . Alexander , " *Concepts and Models of Inorganic Chemistry*," 2nd Ed. , John Wiley and Sons, Inc. New York 1983.
5. B . E . Douglas , D · H · Mc Daniel and J . J . Alexander , " *Problems for Inorganic Chemistry*," John Wiley and Sons, Inc. New York, 1983.
6. R. B. Heslop and P. L. Robinson," *Inorganic Chemistry*," Third Ed. , Elsevier, New York, 1967 .
7. B. E. Douglas and D. H. Mc Daniel , " *Concepts and Models of Inorganic Chemistry*," Xerox, Massachusetts, 1965.
8. T. Moeller, " *Inorganic Chemistry and Advanced textbook*," John Willey and Sons, New York, 1965 .

9. R. L. Dekock and H. B. Gray , “*Chemical Structure and Bonding*,” The Benjamin/Cummings Publishing Company, Menlo Park, California, 1980.
10. G. Herzberg, “*Atomic Spectra and Atomic Structure*,” Dover Publications, Inc. New York, 1944.
11. Pierre Laszlo , “*La liaison Chimique* ,” Hermann , Paris , 1974.
12. G. Pannetier, “*Chimie Physique Générale*,” Masson et Cie éditeurs, Paris, 1969.
13. G. I. Brown, “*A New Guide to Modern Valency Theory*,”, Longman, London, 1972.
14. F . A . Cotton and G . Wilkinson , “*Basic Inorganic Chemistry*,” Wiley International Edit, London, 1976 .
15. M. C. Day and J. Selbin,“*Theoretical Inorganic Chemistry*,” Champon and Hall Lid, London, 1962.
16. A . Michel et J . Bénard , “*Chimie minérale* ,” Masson et Cie éditeurs, Paris, 1964.
17. W . J . Moore , “*Chimie Physique* ,” (Traduit Par H . Aberdam), Dunod, Paris, 1961 .
18. K. B. Harvey et G. B. Porter, “*Introduction à la Chimie Physique minérale*,” Dunod, Paris, 1967.
19. C. W· Keenan, D. C. Kleinfelter and J. H. Wood, “*General College Chemistry* ,” Sixth Ed. , Harper and Row , New York , 1980 .
20. C. E. Mortimer , “*Chemistry* ” Fifth Ed . , Wadsworth Publishing Company, Belmont, California, 1983.
21. B· M. Mahan and R· J. Myers , “*University Chemistry* ,”

- Fourth Ed., the Benjamin/Cummings Publishing Company, Inc. Menlo Park, California, 1987.
22. J.C. and K.F. Purcell, "Chemistry and Chemical Reactivity," Saunders College Publishing, New York, 1987.
23. J. E. Brady and G. E. Humiston, "General Chemistry," John Wiley and Sons, Inc. New York, 1975.
24. J.W. Moore, W.G. Davies, and R. W. Collins, "Chemistry" Mc Graw - Hill Inc. London, 1978.
25. D. H. Andrews, "Introductory Physical Chemistry," Mc Graw - Hill Inc. New York, 1970.
26. R. O' Connor, "Fundamental of Chemistry," 2nd Ed., Harper and Row Publishers, New York 1977.
27. W. L. Jolly, "The Principles of Inorganic Chemistry," Mc Graw - Hill Inc. London 1976.
28. J. C. Bailar, Jr ; T. Moeller, J. Kleinberg, G. O. Guss, M. E. Castellion, and C. Metz, "Chemistry," Academic Press Inc. New York, 1978.
29. Oliver and Boyd, Edited by R. M. Tennent, "Science Data Book," C. Nicholls and Company Ltd. The Philips Park Press, Manchester, 1971.
- (۳۵) شیمی معدنی جلد دوم . تأثیف دکتر اکبر رئیسی‌شهری و دکتر محمد رضا ملادردی ، انتشارات دانشگاه تربیت معلم، ۱۳۶۲.
- (۳۶) تشوری گروه و تقارن در شیمی. تأثیف دکتر حسین آفابزرگ و دکتر منصور عابدینی انتشارات جهاد دانشگاهی، ۱۳۶۸.